



TUGAS AKHIR – RC14-1501

**PERENCANAAN STRUKTUR JEMBATAN TRUCUK
KABUPATEN BOJONEGORO DENGAN
MENGUNAKAN METODE *SEMI-HARP PATTERN
CABLE STAYED***

RIZAL NUR SYAMSU
NRP 3114 105 038

Dosen Pembimbing I
Prof. TAVIO, ST., MT., Ph.D.
NIP. 197003271997021001

Dosen Pembimbing II
Dr. Ir. Hidayat Soegihardjo M., MS.
NIP. 195503251980031004

DEPARTEMEN TEKNIK SIPIL
Fakultas Teknik Sipil dan Perencanaan
Institut Teknologi Sepuluh Nopember
Surabaya 2017



TUGAS AKHIR - RC14-1501

**DESAIN STRUKTUR JEMBATAN TRUCUK
KABUPATEN BOJONEGORO DENGAN
MENGUNAKAN METODE *SEMI-HARP PATTERN
CABLE STAYED***

RIZAL NUR SYAMSU
NRP 3114 105 038

Dosen Pembimbing I :
Prof. TAVIO, ST., MT., Ph.D.
NIP. 197003271997021001

Dosen Pembimbing II :
Dr. Ir. Hidayat Soegihardjo M., MS.
NIP. 195503251980031004

JURUSAN TEKNIK SIPIL
Fakultas Teknik Sipil dan Perencanaan
Institut Teknologi Sepuluh Nopember
Surabaya 2017



FINAL PROJECT – RC14-1501

**DESIGN STRUCTURE OF TRUCUK BRIDGE
BOJONEGORO WITH USE SEMI-HARP PATTERN
CABLE STAYED METHOD**

RIZAL NUR SYAMSU
NRP 3114 105 038

Supervisor I :
Prof. Tavo, ST., MT., Ph.D.
NIP. 197003271997021001

Supervisor II :
Dr. Ir. Hidayat Soegihardjo M., MS.
NIP. 195503251980031004

DEPARTMENT OF CIVIL ENGINEERING
Faculty of Civil Engineering and Planning
Sepuluh Nopember Institute of Technology
Surabaya 2017

**DESAIN STRUKTUR JEMBATAN TRUCUK
KABUPATEN BOJONEGORO DENGAN
MENGUNAKAN METODE *SEMI-HARP PATTERN*
*CABLE STAYED***

TUGAS AKHIR

Diajukan Untuk Memenuhi Salah Satu Syarat
Memperoleh Gelar Sarjana Teknik
pada
Program Studi S-1 Lintas Jalur Jurusan Teknik Sipil
Fakultas Teknik Sipil dan Perencanaan
Institut Teknologi Sepuluh Nopember

Oleh :

RIZAL NUR SYAMSU
NRP. 3114 105 038

Disetujui oleh Pembimbing Tugas Akhir

1. Prof. Tavio, ST., MT., Ph.D. (Pembimbing I)
2. Dr. Ir. Hidayat Soegihardjo M., MS. (Pembimbing II)

**SURABAYA
JUNI 2017**

“Halaman ini sengaja dikosongkan”

DESAIN STRUKTUR JEMBATAN TRUCUK KABUPATEN BOJONEGORO DENGAN MENGUNAKAN METODE *SEMI-HARP PATTERN* *CABLE STAYED*

Nama Mahasiswa : Rizal Nur Syamsu
NRP : 3114105038
Jurusan : Teknik Sipil FTSP-ITS
Dosen Pembimbing : Prof. Tavio, ST., MT., Ph.D
Dr. Ir. Hidayat S. M., MS

Abstrak

Di suatu daerah kecamatan Trucuk Kabupaten Bojonegoro dilalui oleh sungai Bengawan Solo. Banyak masyarakat yang akan melewati sungai tersebut harus memutar lebih jauh sehingga pemerintahan Kabupaten Bojonegoro akan membangun sebuah jembatan agar memudahkan masyarakat setempat sekaligus menjadi salah satu jalan alternatif untuk tidak terlalu memutar lebih jauh. Jembatan Trucuk Kabupaten Bojonegoro dengan bentang 147m kurang efektif jika didesain menggunakan beton prategang karena akan membutuhkan banyak pilar. Jembatan dengan bentang tersebut akan lebih efektif menggunakan jembatan *cable stayed* dimana jembatan tersebut termasuk jembatan bentang panjang.

Dalam perencanaan ini jembatan Terucuk akan didesain menggunakan konstruksi *semi-harp pattern cable stayed* dengan *double plane system* atau sistem dua bidang menggunakan dek baja. Dengan menggunakan *double plane system* dapat menyeimbangkan dan mengurangi torsi yang berlebihan. Untuk lantai kendaraan akan didesain berupa pelat baja (*orthotropic*). Keuntungan dari *deck* baja ialah berat sendiri yang tidak terlalu besar. Dalam penelitian lantai kendaraan yang lebih efektif, kemanduan besar telah dibuat dengan perkembangan dek baja *orthotropic*. Gelagar memanjang (rusuk) berupa *open ribs* dan gelagar utamanya berupa *box girder* dengan material baja karena

lebih ringan daripada beton. Sedangkan pilar atau *pylon* akan menggunakan material beton berongga.

Pada permodelan akan menggunakan program bantu *software* MIDAS CIVIL 2011 dan SAP 2000 V14. Dari hasil analisa mendapatkan dimensi tebal pelat *orthotropic* dengan ketebalan 1,5 cm yang bekerjasama dengan gelagar memanjang (*ribs*) dengan dimensi profil T 175.175.7.1. Pada gelagar melintang berupa profil T 700.300.18.34 sedangkan gelagar kantilever berupa profil T T 400.200.8.13. Untuk gelagar utama berupa *box girder* dengan dimensi 1800.1200.50.50 dengan pengaku 150.18 yang memiliki sambungan baut mengelilingi penampang. Kabel menggunakan *VSL SSI 2000 7-wire strand*, tipe ASTM A 416-05 Grade 270 dengan jumlah *strand* bervariasi mulai dari 12,31 dan 43 untaian *strand*. *Pylon* menggunakan dimensi 4x2,5 m untuk *section A-A*, sedangkan *section B-B* yang merupakan balok pengaku bawah memiliki dimensi 2,5x2 m dan *section C-C* untuk balok pengaku atas berukuran 1,5x1,2m.

Kata kunci : *cable stayed, semi harp pattern, dan orthotropic*

DESIGN STRUCTURE OF TRUCUK BRIDGE BOJONEGORO WITH USE SEMI-HARP PATTERN CABLE STAYED METHOD

ABSTRACT

Name Student : Rizal Nur Syamsu
NRP : 3114105038
Major : Civil Engineering FTSP-ITS
Supervisor : Prof. Tavio, ST., MT., Ph.D
Dr. Ir. Hidayat S. M., MS

Abstract

The bridge is located at Trucuk Village Bojonegoro District which passes over the Bengawan Solo River. The bridge facilitates the vehicles to pass over the river without taking more distance to reach the destination at the other side of the river. Therefore, the Bojonegoro Government needs to build a bridge to facilitate the resident and it can become one of the alternative way to pass over the Bengawan Solo river. The Trucuk Bridge has a full-length of 147 meter is considered not suitable if it is designed using segmental concrete bridge girders due to the number of pillars required to support the bridge. The bridge uses *VSL SSI 2000 7-wire strand*, type ASTM A 416-05 Grade 270 for the cables. The pylon dimensions is 4 x 2.5 m, 2.5 x 2 m, 1.5 x 1,2 m for A – A, B – B, and C – C sections, respectively.

Keywords : *cable stayed, concrete, orthotropic, semi harp pattern, steel structure.*

“Halaman ini sengaja dikosongkan”

KATA PENGANTAR

Tersusunnya Tugas Akhir ini juga tidak terlepas dari dukungan dan motivasi berbagai pihak yang banyak membantu dan memberi masukan. Untuk itu ucapan terima kasih ditujukan terutama kepada :

1. Orang tua dan segenap keluarga besar penulis sebagai penyemangat terbesar bagi kami, dan yang telah banyak memberi dukungan moril maupun materiil terutama doanya.
2. Bapak Prof. Tavio, ST., MT., Ph.D. dan Bapak Dr. Ir. Hidayat Soegihardjo M., MS., selaku dosen pembimbing yang telah banyak memberikan bimbingan, arahan, petunjuk, dan motivasi dalam penyusunan tugas akhir ini.
3. Teman-teman yang telah memberikan semangat, dukungan, dan bantuan ketika penulis menghadapi permasalahan sehingga dapat menemukan solusi atas permasalahan yang dihadapi.
4. Segenap Dosen dan Staf Jurusan Teknik Sipil, FTSP, ITS.
5. Dan pihak-pihak lain yang telah membantu penulis baik secara langsung maupun tidak langsung dalam pengerjaan Tugas Akhir ini.

Kami menyadari bahwa dalam penyusunan Tugas Akhir ini masih banyak kekurangan dan masih jauh dari sempurna, untuk itu kami mengharapkan kritik dan saran yang membangun demi kesempurnaan Tugas Akhir ini.

Surabaya, Juni 2017

Penulis

“Halaman ini sengaja dikosongkan”

DAFTAR ISI

JUDUL	i
TITLE	ii
LEMBAR PENGESAHAN	iii
ABSTRAK	v
ABSTRACT	vii
KATA PENGANTAR	ix
DAFTAR ISI	xi
DAFTAR TABEL	xv
DAFTAR GAMBAR	xvii
BAB I	1
PENDAHULUAN	1
1.1.Latar Belakang	1
1.2.Perumusan Masalah	2
1.3.Batasan Masalah.....	2
1.4.Tujuan	3
1.4.1. Tujuan Umum.....	3
1.4.2. Tujuan Khusus.....	3
1.5.Manfaat	3
BAB II	5
TINJAUAN PUSTAKA	5
2.1.Umum.....	5
2.2.Tipe Kabel.....	5
2.2.1. Susunan Kabel	6
2.3.Gelagar Utama (<i>Girder</i>).....	10
2.4. <i>Deck</i> (Lantai Kendaraan)	12
2.5. <i>Pylon</i> (tiang).....	14
BAB III	15
METODOLOGI	15
3.1.Bagan Alir Metodologi	15
3.2.Metodologi Pengerjaan Tugas Akhir	16
3.2.1. Studi Literatur	16

3.2.2. Pengumpulan Data.....	16
3.3. <i>Preliminary Design</i>	17
3.3.1. Susunan Kabel	17
3.3.2. Dimensi Gelagar	18
3.3.3. Dimensi Kabel	19
3.3.4. Dimensi <i>Pylon</i>	20
3.4. Permodelan Struktur.....	21
3.4.1. Pembebanan Statis	21
3.4.2. Pembebanan Dinamis	25
3.4.3. Metode Pelaksanaan	26
3.5. Kontrol Stabilitas	27
3.6. Gambar Teknik	30
BAB IV	31
PEMBAHASAN.....	31
4.1. <i>Preliminary Design</i>	31
4.1.1. Konfigurasi Susunan Kabel	31
4.1.2. Dimensi Gelagar	34
4.1.3. Dimensi Kabel dan Anker	36
4.1.4. Dimensi <i>Pylon</i>	40
4.2. Struktur Sekunder	43
4.2.1. Tiang dan Pipa Sandaran	43
4.2.2. Perencanaan Pelat Lantai Kendaraan	49
4.2.3. Perencanaan Rusuk di Atas Perletakan Kaku ..	52
4.3. Gelagar Melintang & Gelagar Kantilever	76
4.3.1. Gelagar Melintang	76
4.3.2. Gelagar Kantilever.....	98
4.4. Permodelan Sehubung Metode Pelaksanaan.....	116
4.4.1. Permodelan Struktur	116
4.4.2. <i>Staging analysis</i>	136
4.5. Gelagar Utama	157
4.5.1. Data Gelagar Utama	157
4.5.2. Hasil Analisa Struktur.....	159
4.5.3. Sambungan Gelagar Utama	167
4.6. Struktur Kabel	175

4.6.1. Data Perencanaan.....	175
4.6.2. Gaya Tarik (<i>Stressing</i>) Kabel	176
4.6.3. Analisa Penampang Kabel dengan A_{pakai}	178
4.6.4. Analisa Anker pada gelagar.....	180
4.7. Struktur <i>Pylon</i>	185
4.7.1. Gaya Dalam pada <i>Pylon</i>	185
4.7.2. Analisa Penampang <i>Pylon Section A-A</i>	187
4.7.3. Perhitungan Tulangan Daerah Pengangkuran.....	203
4.7.4. Analisa Balok Pengaku.....	205
4.8. Anker Pada <i>Pylon</i>	224
4.8.1. Gaya Dalam pada <i>Pylon</i>	224
4.8.2. Perhitungan Anker Pada <i>Pylon</i>	224
4.9. Desain Perletakkan.....	228
4.9.1. Desain <i>Pot Bearing</i>	228
4.9.2. Desain <i>Expansion Joint</i>	231
4.10. Kontrol Stabilitas Aeorodinamis.....	233
4.10.1. Frekuensi Alami.....	233
4.10.2. Efek vortex-shedding.....	236
4.10.3. Efek <i>Flutter</i> (Ayunan)	241
BAB V.....	247
PENUTUP.....	247
5.1. Kesimpulan	247
5.2. Saran.....	249
DAFTAR PUSTAKA	251
BIODATA PENULIS	255
LAMPIRAN.....	257

“Halaman ini sengaja dikosongkan”

DAFTAR TABEL

Tabel 3.1 Nilai V_0 dan Z_0 untuk variasi kondisi permukaan hulu	24
Tabel 3.2 Tekanan angin dasar	25
Tabel 4.1 Jenis Kabel dan Anker	37
Tabel 4.2 Dimensi kabel	39
Tabel 4.4 Gaya Aksial pada <i>Pylon</i>	40
Tabel 4.5 Rekapitulasi pembebanan gelagar melintang.....	81
Tabel 4.6 Kombinasi pembebanan.....	81
Tabel 4.7 Hasil analisa struktur dengan MIDAS CIVIL V2011.	82
Tabel 4.8 Hasil analisa gaya geser (BTR + BGT)	85
Tabel 4.9 Hasil analisa lendutan gelagar melintang	88
Tabel 4.10 Rekapitulasi Pembebanan Gelagar Kantilever.....	101
Tabel 4.11 Kombinasi Pembebanan	101
Tabel 4.12 Hasil analisa gaya dalam gelagar kentilever	102
Tabel 4.12 Hasil analisa lendutan gelagar melintang	106
Tabel 4.13 Nilai V_0 dan Z_0 untuk variasi kondisi permukaan hulu	122
Tabel 4.14 Tekanan angin dasar	122
Tabel 4.15 Nilai <i>response spectrum</i> pada arah Y	126
Tabel 4.16 Nilai <i>response spectrum</i> pada arah X	126
Tabel 4.17 Kombinasi pembebanan untuk analisa statik	132
Tabel 4.18 Ilustrasi dari konfigurasi beban tampak atas.....	132
Tabel 4.19 Kombinasi pembebanan untuk analisa dinamik	134
Tabel 4.20 Ilustrasi dari konfigurasi beban tampak atas.....	134
Tabel 4.21 FT-S form traveler overhead model specification ..	143
Tabel 4.22 Konfigurasi pembebanan saat <i>staging analysis</i>	145
Tabel 4.23 Hasil dari pembebanan saat <i>staging analysis</i> untuk <i>box girder</i>	153
Tabel 4.24 Hasil dari pembebanan saat <i>staging analysis</i> untuk kabel	153
Tabel 4.25 Hasil dari pembebanan saat <i>staging analysis</i> untuk <i>pylon</i>	154
Tabel 4.26 Hasil beban <i>ultimate</i> untuk <i>box girder</i>	154
Tabel 4.27 Hasil beban layan untuk <i>box girder</i>	154

Tabel 4.28 Hasil beban <i>ultimate</i> untuk kabel.....	155
Tabel 4.29 Hasil beban layan untuk kabel.....	155
Tabel 4.30 Hasil beban <i>ultimate</i> untuk <i>pylon</i>	155
Tabel 4.31 Hasil beban layan untuk <i>pylon</i>	156
Tabel 4.32 Gaya dalam pada gelagar utama	159
Tabel 4.33 Jumlah <i>strand</i> dan luas kabel pada preliminary desain	176
Tabel 4.34 Gaya tarik awal (<i>stressing</i>) pada masing-masing kabel	177
Tabel 4.35 Kebutuhan luas akibat <i>pretension</i>	177
Tabel 4.36 Gaya tarik masing-masing kabel.....	178
Tabel 4.37 Kebutuhan <i>strand</i> dan luas penampang sebenarnya.....	178
Tabel 4.38 Hasil analisa gaya tarik dari A_{pakai}	179
Tabel 4.39 Kemampuan kabel dari A_{Spakai}	179
Tabel 4.41 Perhitungan angker keseluruhan.....	182
Tabel 4.42 Gaya dalam pada <i>pylon section A-A</i>	186
Tabel 4.43 Gaya dalam pada <i>pylon section B-B</i>	186
Tabel 4.44 Gaya dalam pada <i>pylon section C-C</i>	187
Tabel 4.45 kebutuhan tulangan pada daerah angkur kabel	205
Tabel 4.46 Hasil analisa gaya tarik dari A_{pakai}	224
Tabel 4.47 Data anker yang digunakan	225
Tabel 4.48 Kontrol tegangan beton pada <i>pylon</i> saat <i>stressing</i> ..	227
Tabel 4.49 Kapasitas <i>unidirectional pot bearing</i> dengan tipe PU 1120/800/H2 EN.....	230
Tabel 4.51 Nilai f_B dan f_T	236

DAFTAR GAMBAR

Gambar 2.1 Sistem satu bidang (<i>one-plane bridge</i>)	7
Gambar 2.2 Sistem dua bidang (<i>two-plane bridge</i>)	7
Gambar 2.3 Sistem tiga bidang (<i>three-plane bridge</i>)	8
Gambar 2.4 <i>Harp pattern</i> (pola kecapi).....	9
Gambar 2.5 <i>Fan pattern</i> (pola kipas).....	9
Gambar 2.6 <i>Semi Harp pattern</i> (pola setengah kecapi)	10
Gambar 2.7 <i>Asymmetric pattern</i> (pola tidak simetris)	10
Gambar 2.8 Macam macam <i>steel girders</i> (Troitsky, 1977)	11
Gambar 2.9 Macam macam <i>trusses</i>	11
Gambar 2.10 Macam macam <i>concrete girders</i>	12
Gambar 2.11 <i>Orthotopic deck</i> dengan sistem (a) <i>open ribs</i> ; (b) <i>close ribs</i> (Heins, 2000).....	13
Gambar 2.12 Gelagar komposit pada jembatan cable stayed (Brockenbrough and Merrit, 2011).....	14
Gambar 2.13 Tipe bidang <i>pylon</i> (tiang)	14
Gambar 3.1 Bagan Alir Metodologi Pengerjaan Tugas Akhir...	15
Gambar 3.2 Tampak Memanjang Jembatan Trucuk.....	17
Gambar 3.3 Tinggi optimum <i>pylon</i>	18
Gambar 3.4 Bentuk <i>pylon</i> menggunakan bentuk <i>Twin Tower</i> ...	21
Gambar 3.5 Beban lajur “D”	22
Gambar 3.6 Beban Truk “T” (500 kN)	23
Gambar 3.7 Metode pelaksanaan kantilever	26
Gambar 3.8 Metode pelaksanaan kantilever	26
Gambar 3.9 Efek angin	28
Gambar 3.10 Efek ayunan dengan beda fase $\pi/2$	30
Gambar 4.1 Susunan kabel arah memanjang berupa <i>semi-harp pattern</i> (dalam meter)	32
Gambar 4.2 Susunan kabel arah melintang berupa <i>double planes system</i> (dalam meter).....	33
Gambar 4.3 Preliminary <i>box girder</i> (dalam meter).....	34
Gambar 4.4 Penampang melintang dek (dalam meter).....	36
Gambar 4.5 Penampang <i>pylon</i> (dalam meter).....	42
Gambar 4.6 Tiang sandaran (dalam m).....	43

Gambar 4.7	Profil sandaran (dalam mm).....	44
Gambar 4.8	Penampang pipa sandaran.....	45
Gambar 4.9	Sambungan las (dalam mm).....	47
Gambar 4.10	Beban Roda Truck Pada Lantai kendaraan	51
Gambar 4.11	Reaksi pada rusuk (dalam mm).....	54
Gambar 4.12	Geometri rusuk (dalam mm)	56
Gambar 4.14	Beban truk pada rusuk di tumpuan.....	61
	(satuan dalam mm)	61
Gambar 4.15	Beban mati yang dipikul satu rusuk	64
Gambar 4.16	Sambungan rusuk terhadap gelagar melintang	67
Gambar 4.17	Sambungan las pada rusuk.....	67
Gambar 4.18	Sambungan balok pada rusuk.....	75
Gambar 4.19	Gelagar melintang dan gelagar kantilever.....	76
Gambar 4.20	Potongan gelagar melintang (dalam mm)	77
Gambar 4.21	Pembebanan gelagar melintang (dalam m)	78
Gambar 4.22	Beban hidup (BTR+BGT) max pada gelagar melintang (dalam meter).....	78
Gambar 4.23	Beban Truk (T_1) dan (T_2) pada gelagar melintang (dalam meter)	80
Gambar 4.24	Beban geser max pada gelagar melintang akibat beban BGT + BTR (dalam meter)	85
Gambar 4.25	Gaya geser akibat beban Truk (dalam m)	85
Gambar 4.26	Sketsa lebar efektif gelagar melintang	87
Gambar 4.27	Sambungan gelagar melintang ke <i>box girder</i>	89
Gambar 4.28	Tebal efektif las sudut	91
Gambar 4.29	Sambungan gelagar melintang	97
Gambar 4.30	Ilustrasi beban mati pada gelagar kantilever	99
Gambar 4.31	Ilustrasi beban mati tambahan pada gelagar kantilever (dalam m)	100
Gambar 4.32	Sambungan gekagar melintang ke <i>box girder</i>	107
Gambar 4.33	Tebal efektif las sudut	109
Gambar 4.34	Sambungan gelagar melintang	115
Gambar 4.35	Tampak perspektif jembatan	116
Gambar 4.36	Tampak melintang jembatan	117
Gambar 4.37	Tampak memanjang jembatan	117

Gambar 4.38 Tampak atas jembatan.....	117
Gambar 4.39 Tampak melintang dek jembatan	118
Gambar 4.40 Ilustrasi beban rem berupa gaya horizontal dan momen torsi.....	120
Gambar 4.41 Ilustrasi beban angin kendaraan menjadi momen torsi.....	124
Gambar 4.42 Grafik respon spektra	125
Gambar 4.43 Grafik <i>response spectrum</i>	127
Gambar 4.44 Grafik <i>response spectrum</i> pada MIDAS CIVIL	128
Gambar 4.45 Peta respon spektra Indonesia	129
Gambar 4.46 Gaya tarik awal tiap kabel.....	136
Gambar 4.47 Pendirian <i>pylon</i> dan penempatan <i>deck</i> D1 & D1'	137
Gambar 4.48 Pemasangan kabel C1 & C1'	138
Gambar 4.49 Pemasangan <i>deck</i> D2-D4 & D2'-D4'	138
Gambar 4.50 Pemasangan kabel C2& C2'	139
Gambar 4.51 Pemasangan <i>deck</i> D5-D6 & D5'-D6'	139
Gambar 4.52 Pemasangan kabel C3 & C3'	140
Gambar 4.53 Pemasangan <i>deck</i> D7-D9 & D7'-D9'	140
Gambar 4.54 Pemasangan kabel C4 & C4'	141
Gambar 4.55 Pemasangan <i>deck</i> D10-D11 & D10'-D11'	141
Gambar 4.56 Pemasangan kabel C5 & C5'	141
Gambar 4.57 Pemasangan <i>deck</i> D12-D13 & D12'-D13'	142
Gambar 4.58 Contoh <i>form traveler</i> yang digunakan	142
Gambar 4.59 Segmen <i>deck</i> pada saat pengangkatan.....	144
Gambar 4.60 (A) tampak depan, (B) potongan A-A.....	146
Gambar 4.61 Permodelan dan input beban untuk <i>form traveler</i>	146
Gambar 4.62 Hasil analisa reaksi untuk <i>form traveler</i>	147
Gambar 4.64 Permodelan saat <i>Constraction Stage</i> 1 (CS 1) ...	148
Gambar 4.65 Permodelan saat <i>Constraction Stage</i> 2 (CS 2) ...	148
Gambar 4.66 Permodelan saat <i>Constraction Stage</i> 3 (CS 3) ...	148
Gambar 4.67 Permodelan saat <i>Constraction Stage</i> 4 (CS 4) ...	148
Gambar 4.68 Permodelan saat <i>Constraction Stage</i> 5 (CS 5) ...	148
Gambar 4.73 Permodelan saat <i>Constraction Stage</i> 16 (CS 16)...	149

Gambar 4.74	Permodelan saat <i>Contraction Stage</i> 18 (CS 18)	149
Gambar 4.75	Permodelan saat <i>Contraction Stage</i> 19 (CS 19)	150
Gambar 4.76	Permodelan saat <i>Contraction Stage</i> 23 (CS 23)	150
Gambar 4.77	Permodelan saat <i>Contraction Stage</i> 29 (CS 29)	151
Gambar 4.78	Permodelan saat <i>Contraction Stage</i> 31 (CS 31)	151
Gambar 4.79	Permodelan saat <i>Contraction Stage</i> 32 (CS 32)	152
Gambar 4.80	Permodelan saat <i>Contraction Stage</i> 33 (CS 33)	152
Gambar 4.81	Dimensi gelagar utama (dalam cm)	157
Gambar 4.82	Analisa section data dan section properties	159
Gambar 4.83	Penampang <i>Box</i>	164
Gambar 4.84	Arah gaya dalam <i>box girder</i>	168
Gambar 4.85	Sambungan pada sayap atau sisi atas dan bawah	171
Gambar 4.86	Sambungan pada badan atau sisi samping	173
Gambar 4.87	Sambungan pada potongan melintang gelagar utama (dalam mm)	174
Gambar 4.89	Spesifikasi teknis dan karakteristik anker	180
Gambar 4.90	Pelat anker dan dimensi	182
Gambar 4.91	Struktur <i>pylon</i> (dalam cm)	185
Gambar 4.92	Section properties penampang <i>pylon section A-A</i>	189
Gambar 4.93	Gambar grafik diagram interaksi <i>SpColumn</i>	193
Gambar 4.94	Desain penampang <i>section A-A</i>	203
Gambar 4.95	Daerah pengangkuran pada <i>pylon</i>	204
Gambar 4.96	Section properties penampang <i>pylon section B-B</i>	207
Gambar 4.97	Gambar grafik diagram interaksi <i>SpColumn</i>	208
Gambar 4.98	Desain penampang <i>section B-B</i>	214
Gambar 4.99	Section properties penampang <i>pylon section C-C</i>	215
Gambar 4.100	Gambar grafik diagram interaksi <i>SpColumn</i>	216
Gambar 4.101	Desain penampang <i>section C-C</i>	223
Gambar 4.102	Detail anker VSL SSI 2000 untuk <i>pylon</i>	224
Gambar 4.103	Spesifikasi anker VSL SSI 2000 untuk <i>pylon</i>	225
Gambar 4.104	Sketsa dimensi anker	225

Gambar 4.105 Penerapan piramida terpancung untuk mencari A2 dalam tumpuan berundak atau miring.	226
Gambar 4.106 <i>Layout</i> penempatan perletakan.....	228
Gambar 4.107 Unidirectional pot bearing.....	229
Gambar 4.108 <i>Pot bearing</i> tampak atas.....	230
Gambar 4.110 Mode 1 - 16 frekuensi lentur (f_B) dan	235
Gambar 4.111 Koefisien C_N	238
Gambar 4.112 Macam-macam penampang <i>deck</i>	238
Gambar 4.113 Klasifikasi efek psikologis berdasarkan amplitudo (Walther, 1999).....	240
Gambar 4.114 Klasifikasi efek psikologis berdasarkan percepatan getaran (Walther, 1999).....	241
Gambar 4.115 Efek ayunan dengan beda fase $\pi/2$	242
Gambar 4.116 Efek <i>flutter</i> pada <i>mode</i> pertama	243
Gambar 4.117 Kecepatan kritis teoritis untuk <i>flutter</i>	244
Gambar 4.118 Grafik koefisien koreksi	245

“ Halaman ini Sengaja Dikosongkan ”

BAB I

PENDAHULUAN

1.1. Latar Belakang

Jembatan merupakan suatu infrastuktur penunjang sarana transportasi yang terputus oleh adanya rintangan tanpa menutup rintangan antara lain sungai, jurang, lembah, laut, selat, jalan raya maupun jalan kereta api. Dalam perencanaan tidak hanya meninjau dari segi struktural tetapi juga memperhitungkan segi arsitektural atau nilai estetika.

Pada suatu kecamatan Trucuk, Kabupaten Bojonegoro yang dilalui oleh sungai Bengawan Solo sehingga pemerintahan Kabupaten Bojonegoro akan berencana membangun sebuah jembatan. Jembatan Trucuk akan direncanakan memiliki bentang 145m dan lebar jembatan 12,4m.

Fungsi dari pembangunan jembatan Trucuk adalah untuk mempersingkat waktu tanpa memutar lebih jauh untuk melewati Sungai Bengawan Solo. Dengan adanya jembatan Trucuk akan menghubungkan jalan arteri pada Kabupaten Bojonegoro yang mengakibatkan semakin baiknya mobilitas masyarakat. Jembatan Trucuk dapat menggunakan tipe jembatan kabel (jembatan *cable stayed*) karena dapat menambah nilai estetika jembatan tersebut dan menjadi salah satu objek pariwisata yang menarik pengunjung. Beberapa pertimbangan untuk memilih jembatan tipe *cable stayed*, antara lain :

- Defleksi yang terjadi pada jembatan tipe *cable stayed* lebih kecil daripada jembatan dengan tipe *suspended bridge*, selain itu pada tipe *cable stayed* mempunyai kekakuan struktur lebih tinggi (Troistsky, 1977).
- Untuk panjang bentang jembatan tipe *cable stayed* dapat mencapai 110m – 480m tetapi bentang terpanjang untuk jembatan *cable stayed* memiliki bentang lebih dari 1100m yaitu pada jembatan Russky, Rusia (Jani Juvani & Olli Lipponen, 2012).

- Jembatan tipe *cable stayed* mampu menopang bentang yang sangat panjang dan proses ereksinya dengan cara kantilever bebas sehingga tidak mengganggu aktifitas di bawahnya (O'Connor, 1971).
- Nilai estetika yang cukup tinggi.

Dalam proyek akhir ini jembatan Trucuk akan direncanakan sebagai jembatan *cable stayed* sehingga dengan ini akan didapatkan manfaat ialah dapat menghubungkan wilayah yang dilalui sungai. Manfaat lainnya adalah dapat menambah *icon* pada Kabupaten Bojonegoro yang didapatkan dari segi estetika dari jembatan *cable stayed*.

1.2. Perumusan Masalah

Dalam penyusunan rumusan masalah berdasarkan uraian latar belakang yang perlu ditinjau adalah :

1. Bagaimana cara merencanakan jembatan *cable stayed* dengan baik dan benar?
2. Bagaimana merencanakan lantai kendaraan, kabel, gelagar dan *pylon* pada jembatan?
3. Bagaimana menentukan jenis pembebanan untuk jembatan *cable stayed*?
4. Bagaimana permodelan dan menganalisa struktur jembatan pada program bantu?
5. Bagaimana mengontrol beban-beban yang bekerja pada jembatan?
6. Bagaimana hasil akhir dari perencanaan ini?

1.3. Batasan Masalah

Untuk membatasi dan menghindari penyimpangan pembahasan dari masalah yang diuraikan di atas, maka batasan masalah sebagai berikut :

1. Perencanaan jembatan hanya meninjau struktur saja (tanpa meninjau pembahasan analisa biaya dan manajemen konstruksi)

2. Tidak memperhitungkan kondisi waktu pelaksanaan.
3. Perhitungan sambungan dibatasi pada bagian-bagian tertentu yang dianggap mewakili secara keseluruhan.
4. Tidak memperhitungkan saluran drainase jembatan, dan perkerasan jalan.
5. Tidak merencanakan struktur bawah.

1.4. Tujuan

1.4.1. Tujuan Umum

Mengetahui analisa perhitungan struktur jembatan dengan tipe *cabl stayed*.

1.4.2. Tujuan Khusus

Tujuan dari penyusunan Tugas Akhir ini adalah :

1. Dapat mengetahui dan memahami cara merencanakan jembatan *cabl stayed* dengan baik dan benar.
2. Dapat merencanakan lantai kendaraan, kabel, balok dan *pylon* pada jembatan.
3. Tahu akan pembebanan yang akan digunakan pada jembatan *cabl stayed*.
4. Dapat mengetahui memodelkan dan menganalisa struktur jembatan pada program bantu.
5. Dapat memahami kontrol-kontrol apa saja yang diperlukan pada pembebanan jembatan.
6. Memperoleh hasil akhir yang berupa gambar, dimensi, dan kebutuhan tulangan maupun baut.

1.5. Manfaat

Adapun manfaat dari penulisan Tugas Akhir ini adalah:

1. Bagi penulis :
 - Dapat menerapkan ilmu perencanaan jembatan.
 - Menambah pengetahuan akan perencanaan jembatan dengan menggunakan metode *cabl stayed*.
 - Mengetahui lantai kendaraan yang berupa baja (*orthotopic*)

2. Bagi umum :
 - Sebagai bahan pertimbangan dalam merencanakan jembatan Trucuk sebagai *icon* baru pada Kabupaten Bojonegoro.

BAB II

TINJAUAN PUSTAKA

2.1. Umum

Sistem yang digunakan jembatan *cable stayed* merupakan salah satu inovasi teknologi yang menggunakan kabel yang membuktikan semakin berkembangnya inovasi yang telah dilakukan oleh para arsitek dan para insinyur.

Dalam sistem *cable stayed* memiliki keuntungan tersendiri antara lain karakteristik-karakteristik secara struktural, efisiensi, dan pengaplikasian yang sangat luas. Selain itu juga, sistem tersebut menghadirkan suatu sistem ruang yang terdiri dari balok-balok pengaku (*stiffening girder*) dan lantai jembatan baja atau beton.

Jembatan *cable stayed* ini memiliki ciri khas sendiri dengan satu atau dua tiang (*pylon*) yang berdiri di atas *pier* (pilar) di tengah-tengah bentang. Kabel yang terpasang secara diagonal untuk *girder* untuk memberikan dukungan tambahan dan bentuk *pylon* pemikul beban utama struktural dalam hal jembatan kabel. (Olfat S, 2012).

Sistem ini dapat diterapkan pada bentang menengah, panjang bahkan sangat panjang. Sistem ini juga memberikan solusi dimana sistem struktural yang terdiri dari lantai *orthotropic* dan gelagar yang menerus ditopang oleh kabel pengaku.

2.2. Tipe Kabel

Perkuatan struktur pada umumnya bertujuan untuk Beberapa jembatan menggunakan *cable stayed* yang terdiri dari 7 buah kabel pratekan. *Cable stayed* terdiri batang baja bulat dengan diameter 26-36 mm dan ditutupi oleh pipa baja. Kabel merupakan bagian yang paling penting dalam desain jembatan *cable stayed*, karena berfungsi menyalurkan beban mati dari struktur atas (lantai jembatan) menuju ke *pylon* (tiang) (Walther, 1999). Biasanya kabel yang digunakan berupa kabel prategang yang ditempatkan pada lantai jembatan. Kabel ini dapat

mentransferkan beban mati *deck* (lantai jembatan) ke tiang (Olfat S, 2012). Ada beberapa susunan kabel yang umum digunakan. Pemilihan jenis kabel tergantung pada segi pelaksanaan, struktur, dan keuangan.

2.2.1. Susunan Kabel

Sistem pada susunan kabel jembatan *cable stayed* memiliki beberapa macam. Pemilihan tatanan (konfigurasi) dan jumlah kabel tersebut didasarkan atas berbagai hal antara lain panjang bentang, jenis beban, jalur atau lebar jembatan, tinggi menara, estetika. Susunan kabel merupakan pokok persoalan dalam desain jembatan *cable stayed*. Tidak hanya berefek pada kekuatan struktur jembatan tetapi juga metode pelaksanaan dan biaya. Susunan kabel berdasarkan tatanan yang digunakan dari jembatan *cable stayed* sebagai berikut :

➤ Susunan kabel berdasarkan tatanan kabel transversal

1) Sistem satu bidang

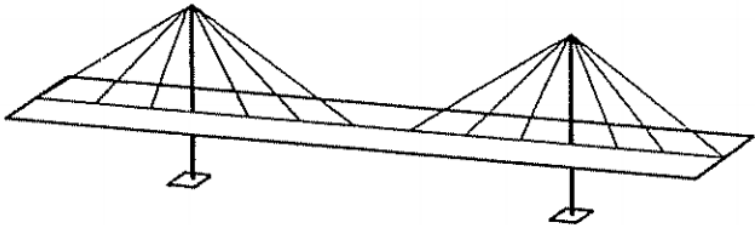
Sistem ini sangat menguntungkan dari segi estetika karena tidak terjadi kabel bersilangan yang terlihat oleh pandangan sehingga terlihat penampilan struktur yang indah (Walther, 1988). Dengan sistem satu bidang maka kabel akan diletakkan pada tengah-tengah bentang dek yang mengakibatkan torsi yang besar. Tipe jembatan ini tidak sesuai untuk jembatan dengan dua jalur (Walther, 1988). Dapat dilihat pada Gambar 2.1.

2) Sistem dua bidang

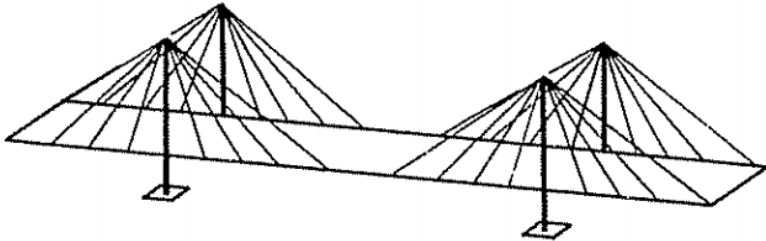
Penggantung dengan dua bidang dapat berupa dua bidang vertical sejajar atau bidang miring. Pada ujung balok melintang dimana akan dipasang anker kabel, kemungkinan akan terjadi kesulitan pada pendetailan konstruksi apabila terjadi berbenturan antara anker kabel pada dek dengan prategang melintang (Walther, 1988). Dapat dilihat pada Gambar 2.2.

3) Sistem tiga bidang

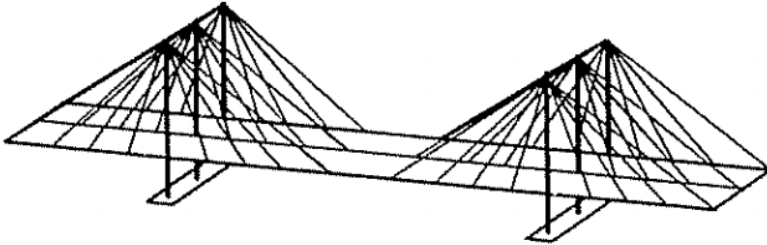
Pada jembatan yang memiliki bentang yang sangat lebar akan membutuhkan jalur lalu lintas yang banyak, akan ditemukan torsi yang besar bila menggunakan kabel satu bidang dan momen lentur yang besar pada tengah balok melintang jika menggunakan sistem dua bidang. Hal tersebut mengakibatkan gelagar yang sangat besar dan tidak ekonomis lagi. Dengan menggunakan tiga bidang dapat mengurangi torsi, momen lentur, dan gaya geser yang berlebihan (Walther, 1988). Dapat dilihat pada Gambar 2.3.



Gambar 2.1 Sistem satu bidang (*one-plane bridge*)



Gambar 2.2 Sistem dua bidang (*two-plane bridge*)



Gambar 2.3 Sistem tiga bidang (*three-plane bridge*)

➤ Susunan kabel berdasarkan tatanan kabel longitudinal
Tatanan kabel longitudinal sendiri masih terbagi beberapa macam bentuk sebagai berikut :

1) *Harp pattern* (pola kecap))

Pada pola susunan *harp* (kecap), susunan kabelnya dibuat saling berdekatan dan sejajar dengan meletakkannya pada titik yang berbeda pada tiang seperti pada Gambar 2.4. Penyusunan kabel yang sejajar memberikan penampilan yang menarik untuk susunan *harp* (kecap) (Bernard et al 1988). Pola ini tidak efisien untuk bentang panjang dikarenakan pengaturan membutuhkan lebih banyak kabel baja, memberikan kompresi di dek dan menghasilkan momen lentur di tiang (Olfat S, 2012).

2) *Fan pattern* (pola kipas)

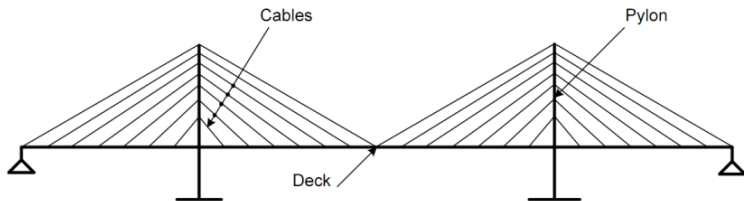
Ada beberapa literatur yang menyebut pola ini dengan pola *radial* (melingkar), namun disini disebut pola *fan* (kipas). Susunan pola ini, semua kabel dihubungkan pada satu titik di puncak tiang seperti pada Gambar 2.5. Secara relatif, tinggi kemiringan dari kabel menghasilkan potongan melintang yang lebih kecil dibandingkan dengan pola *harp* (kecap). Selain itu, gaya horizontal kabel pada lantai jembatan pada susunan ini lebih kecil dari tipe *harp* (kecap) (Bernard et al., 1988). Namun kesulitan yang jelas dengan perlindungan korosi kabel di kepala tiang (Gerard P, Nigel W, 2008)

3) *Semi harp pattern* (pola setengah kecapi)

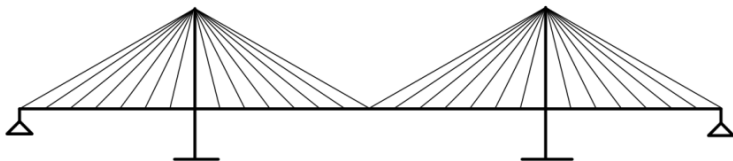
Beberapa jembatan *cable stayed* yang *modern* di dunia telah dibangun menggunakan pola *semi harp* guna efisiensi. Pola ini merupakan modifikasi dari pola *harp* dan *fan*. Seperti pada Gambar 2.6. pada susunan pola ini, kabel dihubungkan pada bagian atas tiang yang lebih tinggi dengan saling berdekatan (Bernard et al., 1988). Susunan pola *semi harp* mempunyai penampilan yang lebih baik dibandingkan *fan pattern*.

4) *Asymmetric pattern* (pola tidak simetris)

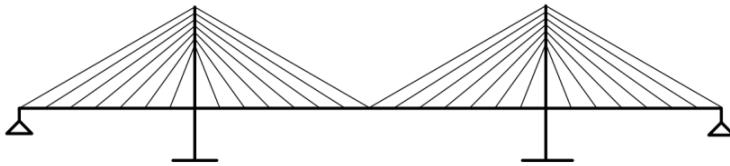
Akibat kondisi peta bumi dan jarak ruang memanjang sering kali mengharuskan untuk mendesain jembatan melewati rintangan dengan satu bentang, tanpa memungkinkan untuk menyeimbangkan struktur dengan bagian belakang yang menonjol Gambar 2.7. Pada kasus ini akan sangat membantu jika mengadopsi tali kekang dari jembatan tipe penggantung, dengan ciri pemusatan dari jangkar kabel. Pilihan dari landaian pada bagian belakang tali tergantung dari kondisi geologi dan geoteknikal (Walther, 1999).



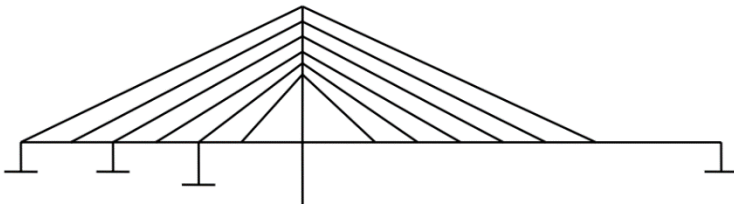
Gambar 2.4 *Harp pattern* (pola kecapi)



Gambar 2.5 *Fan pattern* (pola kipas)



Gambar 2.6 *Semi Harp pattern* (pola setengah kecapi)



Gambar 2.7 *Asymmetric pattern* (pola tidak simetris)

2.3. Gelagar Utama (*Girder*)

Gelagar utama pada jembatan yang paling sering digunakan adalah *stiffening truss* (digunakan untuk struktur baja) dan *solid web* (digunakan untuk struktur baja, beton, beton bertulang, maupun beton prategang) (Podolny and Scalzi, 1976). Bahannya dapat terbuat dari material yang berbeda seperti baja, beton atau komposit baja-beton. Gelagar utama yang tersusun dari *solid web* cenderung berupa *plate girder* (gelagar pelat) atau *box girder* (gelagar kotak). Pilihan dari material untuk gelagar utama tergantung dari parameter biaya. Berat dari gelagar utama mempunyai pengaruh yang signifikan pada kebutuhan kabel, tiang, dan pondasi. Berikut ini penjelasan gelagar utama yang sering digunakan :

1) Gelagar baja (*steel girders*)

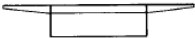
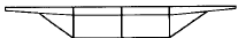
Beberapa jembatan dibangun dengan jaringan yang kaku pada *girder* utama yang dibagi menjadi dua jenis : konstruksi dengan girder I dan satu atau lebih *girder* kotak seperti pada Gambar 2.8.

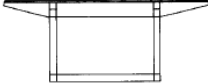
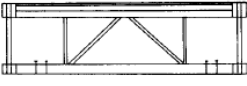
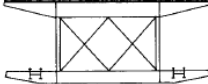
2) Gelagar rangka (*trusses girder*)

Dari beberapa dekade terakhir, kerangka (*trusses*) jarang digunakan pada pembangunan jembatan dibandingkan dengan *steel girders* dikarenakan memerlukan banyak fabrikasi dan pemeliharaan dan perlindungan terhadap korosi sulit. Contoh gelagar utama yang menggunakan *trusses* pada Gambar 2.9.

3) Gelagar beton pratekan (*prestressed concrete*)

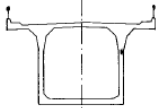
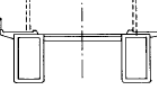
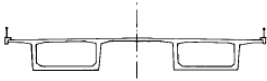
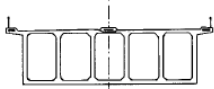
Selama beberapa tahun banyak jembatan *cable stayed* yang telah dibangun dengan gelagar beton bertulang maupun pratekan dan girder utama. Jembatan yang menggunakan bahan beton ini memiliki keunggulan dari ekonomi, kekakuan yang tinggi dan defleksi yang kecil (Troitsky, 1977), penampang yang sering digunakan seperti Gambar 2.10.

Types of main girder		
Arrangement		Deck cross - sections
1	Twin I girder	
2	Single rectangular box girder	
3	Central box girder and side single web girders	
4	Single twin cellular box girder and sloping struts	
5	Single trapezoidal box girder	
6	Twin rectangular box girder	
7	Twin trapezoidal box girder	

Types of stiffening truss		
Type of bridge		Deck cross-section
1	Highway	
2	Highway and railroad (project)	
3	Highway and railroad (project)	
4	Highway and railroad (project)	

Gambar 2.8 Macam macam *steel girders* (Troitsky, 1977)

Gambar 2.9 Macam macam *trusses* (Troitsky, 1977)

Type of girder	Deck cross - section
1 Single box girder (Wadi Kuf Bridge, Libya)	
2 Twin box girders (River Parana Bridge, Argentina)	
3 Twin box girders (River Waal Bridge, Holland)	
4 Multiple box girder (Polcevera Viaduct, Italy)	

Gambar 2.10 Macam macam *concrete girders*
(Troitsky, 1977)

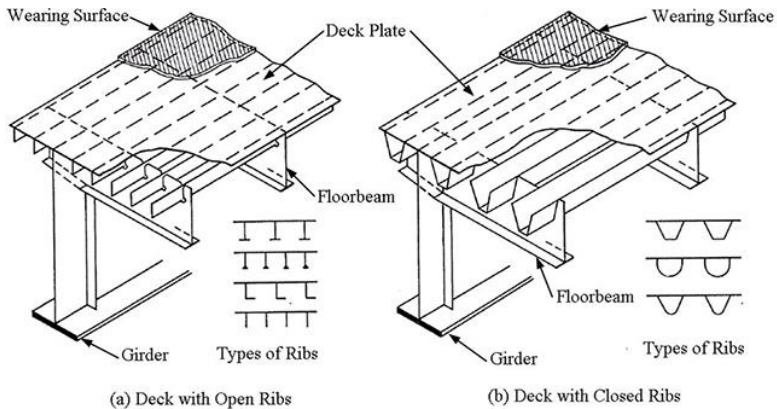
2.4. Deck (Lantai Kendaraan)

Lantai kendaraan (deck) merupakan lantai yang diperuntukkan kendaraan melintasi di atas permukaan jembatan *cable stayed*. Deck dibagi beberapa berdasarkan bahan materialnya sebagai berikut :

1. Deck baja

Keuntungan dari *deck* baja ialah berat sendiri yang tidak terlalu besar. Dalam penelitian lantai kendaraan yang lebih efektif, kemanjuan besar telah dibuat dengan perkembangan dek baja *orthotropic* (Troitsky,1977). Jembatan dengan dek baja *orthotropic* biasanya disebut sebagai jembatan *orthotropic* yang bekerja pelat pengaku baja yang mendukung beban roda kendaraan daripada sebuah pelat beton bertulang yang digunakan pada konstruksi jembatan konvensional (Heins, 2000). Pelat

orthotropic merupakan pelat baja monolit dengan rusuk-rusuk (*ribs*) yang sejajar, defleksi *orthotropic* mencapai $1/6$ dari defleksi pelat biasa (O'Connor, 1971).



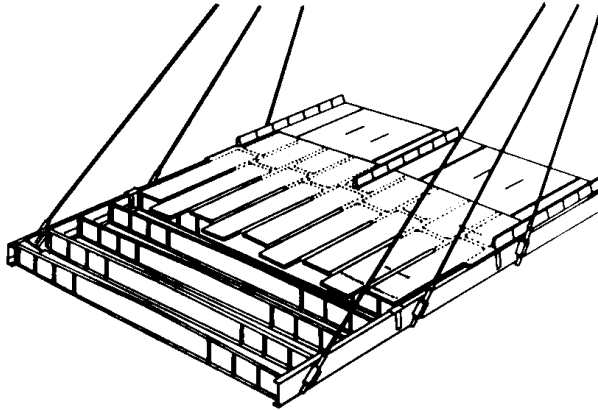
Gambar 2.11 *Orthotropic deck* dengan sistem (a) *open ribs*; (b) *close ribs* (Heins, 2000)

2. *Deck* beton

Dalam pelaksanaan ada 2 metode konstruksi *deck* beton antara lain dicor ditempat (*cast in-situ*) dan pracetak (*precast*). Dengan metode konstruksi tersebut, *deck* dicor monolit dengan gelagar utama dimana tidak menjadikan profil *massive*.

3. *Deck* komposit

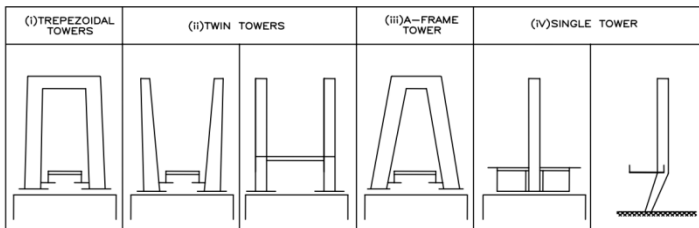
Deck komposit ialah gabungan dari beton dengan baja secara monolit dimana kedua elemen bekerja sama saat beban bekerja. Dengan digabungannya dua elemen tersebut mengakibatkan menurunnya berat sendiri dan kemudahan saat pendirian bagian-bagian baja (Walther, 1999). Pada *deck* komposit dimana pelat beton akan menyalurkan gaya tekan aksial. Pelat beton dihubungkan pada gelagar baja dengan *shear stud*.



Gambar 2.12 Gelagar komposit pada jembatan *cable stayed* (Brockenbrough and Merrit, 2011)

2.5. *Pylon* (tiang)

Pylon (tiang) jembatan *cable stayed* berfungsi untuk menahan beban mati dan hidup yang bekerja pada struktur, tiang dapat dibuat berongga dari konstruksi baja maupun beton. Ada beberapa bentuk tiang yang berbeda satu sama lain seperti, *single pylon* (tiang tunggal), *twin pylon* (tiang kembar), *A-Frame pylon* (tiang berbentuk A), dan portal. Bentuk-bentuk tersebut dipilih berdasarkan susunan kabel, keindahan, bentang memanjang, kebutuhan perencanaan, pertimbangan biaya, dan parameter lainnya. Berikut ilustrasi susunan melintang jembatan *cable stayed* :

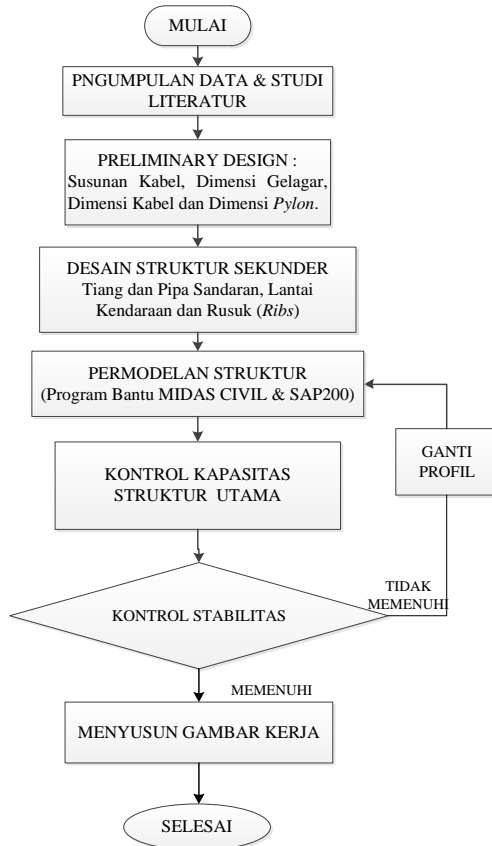


Gambar 2.13 Tipe bidang *pylon* (tiang) (Troitsky, 1988)

BAB III METODOLOGI

3.1. Bagan Alir Metodologi

Bagan Alir Metodologi pengerjaan tugas akhir ini dapat



Gambar 3.1 Bagan Alir Metodologi Pengerjaan Tugas Akhir

3.2. Metodologi Pengerjaan Tugas Akhir

3.2.1. Studi Literatur

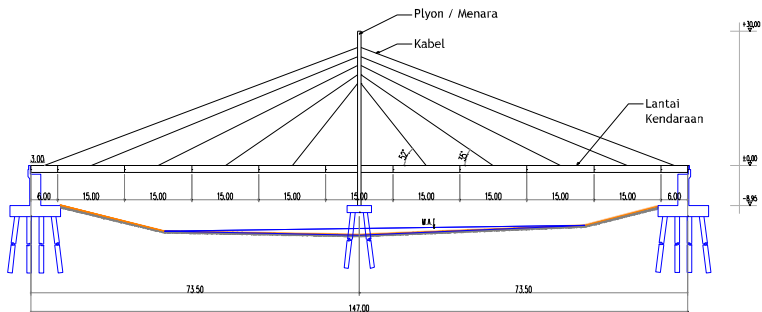
Dalam studi literature penulis menggunakan beberapa referenensi terkait, beberapa jurnal, buku, peraturan maupun artikel di internet. Untuk lebih jelasnya berikut rinciannya :

1. E-Book - *Cable Stayed Bridges-Thomas Telford Publishing (1999)* - Rene Walther B. Houriet W. Isler P.Mota
2. E-Book - *Cable Supported Bridges Concept and Design (1983)* - Niels J. Gimsing
3. E-Book - *Cable Supported Bridges Concept and Design, Third Edition (2012)* - Niels J. Gimsing, Christos T. Georgakis(auth.)
4. E-Book - *Cable-Stayed Bridges Theory and Design 2nd Edition(1988)*- M. S. Troitsky.
5. <https://fadlysutrisno.wordpress.com/2010/07/17/jembatan-cable-stayed/>
6. http://www.academia.edu/11194642/BAB_II_Desain_Cable_Stayed

3.2.2. Pengumpulan Data

Data perencanaan yang dibutuhkan antara lain :

1. Nama dan lokasi : Jembatan Trucuk – Bojonegoro
2. Bentang yang direncanakan : 147 m
3. Lebar yang direncanakan : 7 m
4. Tinggi bebas : minimal 3,5 m
5. Material utama yang direncanakan :
 - Struktur atas berupa beton untuk lantai kendaraan dan sedangkan gelagar akan menggunakan plat girder
 - Tiang terdiri dari kolom ganda yang terbuat dari beton



Gambar 3.2 Tampak Memanjang Jembatan Trucuk

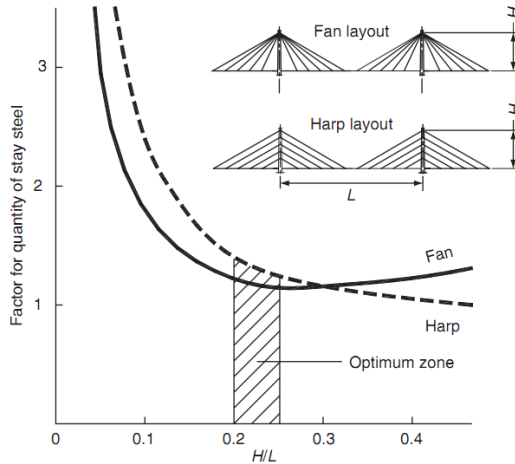
3.3. Preliminary Design

3.3.1. Susunan Kabel

Susunan kabel untuk arah melintang seperti pada Gambar 2.2 berupa *double plane system*, sedangkan untuk susunan arah memanjang seperti pada Gambar 2.6 berupa *semi-harp pattern* yang merupakan pengembangan dari *fan pattern* dan *harp pattern*. Susunan ini lebih menguntungkan karena desain *pylon* menjadi tidak terlalu tinggi dan juga pemasangan kabel pada *pylon* tidak serumit sistem *fan pattern* karena terdapat ruang yang cukup untuk pengangkatan dengan jarak antara 1,5m – 2,5m (Parke and Huson, 2008). Berikut penjelasan untuk desain :

- Jarak kabel pada gelagar :
 - Jika berupa gelagar baja maka jaraknya (15m s.d. 25m) (Walther dkk, 1999)
 - Jika berupa gelagar beton maka jaraknya (5m s.d. 10m) (Walther dkk, 1999)
- Tinggi *Pylon* (h)

Perencanaan untuk tinggi *pylon* dapat dilakukan dengan membandingkan antara tinggi rencana (H) dengan panjang bentang *deck* (L) dengan range nilai 0,2 – 0,25 (Parke and Huson, 2008), lihat Gambar 3.3.



Gambar 3.3 Tinggi optimum pylon

3.3.2. Dimensi Gelagar

1. Gelagar Utama *Rectangular Twin Box Girder*

Menurut Podolny (1976) dalam bukunya "*Construction & Design of Cable-Stayed Bridges*", nilai perbandingan antara tinggi gelagar dengan bentang jembatan bervariasi antara (1/40) s.d. (1/100).

$$\text{Tinggi box girder (h)} = \frac{1}{40}L \geq h \geq \frac{1}{100}L$$

2. Rusuk (*ribs*)

Dimensi rusuk (*ribs*) menggunakan persamaan sebagai berikut ini :

$$\text{Tinggi ribs (d)} \geq \frac{L}{12}$$

3. Gelagar melintang

Dimensi rusuk (*ribs*) menggunakan persamaan sebagai berikut ini :

$$\text{Tinggi gelagar melintang (d)} \geq \frac{L}{9}$$

4. Gelagar kantilever

Dimensi rusuk (*ribs*) menggunakan persamaan sebagai berikut ini :

$$\text{Tinggi gelagar melintang (d)} \geq \frac{L}{6}$$

3.3.3. Dimensi Kabel

Kabel digunakan dalam satu helai terdiri dari 7 kawat, untuk dimensi awal kabel dapat diperkirakan menggunakan persamaan berikut :

$$N_{g,i} = R_{g,i} / \sin \alpha_i$$

Dengan pengertian :

$N_{g,i}$: gaya kabel utama

$R_{g,i}$: reaksi perletakan bentang sederhana akibat berat sendiri dan beban tetap

α_i : sudut kemiringan kabel terhadap sumbu memanjang jembatan.

$$\sigma_g = \sigma_{ijin} [g / (g + q)]$$

Dimana :

σ_g : tegangan ijin kabel akibat berat sendiri dan beban tetap

g : berat sendiri dan beban tetap

q : beban hidup merata

σ_{ijin} : tegangan ijin kabel akibat beban total = 0,45 σ_{putus} kabel.

$$A_i = \alpha N_{g,i} / \sigma_g$$

Dengan pengertian :

A_i : luas kabel utama

α : fraksi beban yang dipikul oleh kabel
($0 < \alpha < 1$), 1 bila kabel sangat kaku,
0 bila gelagar sangat kaku

$N_{g,i}$: gaya kabel utama

Analisa jembatan *cable stayed* didasarkan pada analisa elastisitas baja. Asumsi awal yang digunakan adalah ketika menerima beban mati kabel tetap akan terlihat melengkung, oleh karena lengkungan akibat beban mati modulus elastis efektif (E_{eff}) mempunyai nilai yang lebih kecil dari modulus elastic kabel baja (E_0). Jika kabel disimulasikan sebagai elemen sebenarnya dalam komputer maka akan didapat nilai (E_{eff}) < (E_0), hal ini seharusnya digunakan terutama untuk kondisi kabel dengan bentang yang sangat panjang. Nilai (E_{eff}) selain dipengaruhi oleh panjang dan gaya juga oleh berat sendiri kabel. Modulus elastis efektif dapat direncanakan dengan formula berikut (Walther dkk, 1999).

$$E_{eff} = E_0 \frac{1}{1 + \frac{\gamma^2 L_h^2 E_0}{12\sigma^3}}$$

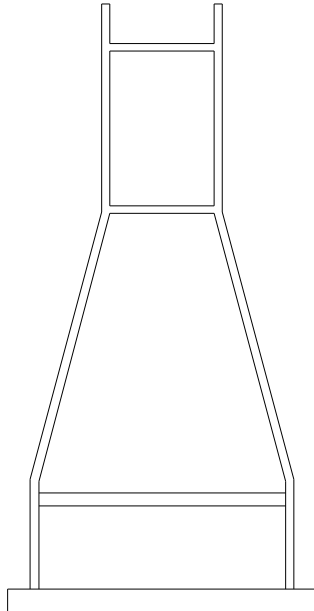
Dimana :

- E_{eff} : efektif modulus elastis (N/mm²)
- E_0 : modulus elastis dari material kabel tetap (N/mm²)
- γ : berat jenis dari material kabel (N/mm³)
- L_h : panjang kabel yang direncanakan (jarak titik gantung kabel) (mm)
- σ : tegangan tarik dalam kabel (N/mm²)

3.3.4. Dimensi Pylon

Preliminary design pylon menggunakan perkiraan berdasarkan nilai gaya aksial tekan pada satu sisi kolom vertikal *pylon*.

1. Material : Beton bertulang
2. f'_c : 50 Mpa
3. f_y : 400 Mpa
4. Bentuk : *Pylon Twin Tower* dengan posisi kabel *two vertical planes system*



Gambar 3.4 Bentuk *pylon* menggunakan bentuk *Twin Tower*

3.4. Permodelan Struktur

Pada permodelan struktur ini dimana berkaitan dengan pembebanan pada struktur dimana terdapat beban statis, beban dinamis dan pembebanan pada kabel serta metode pelaksanaan.

3.4.1. Pembebanan Statis

Beban statis terdiri dari :

1. Beban tetap
 - a) Berat sendiri

Berat sendiri merupakan berat bagian dan elemen-elemen struktur lain yang dipikul. (SNI 1725:2016 Pasal 7.2.)

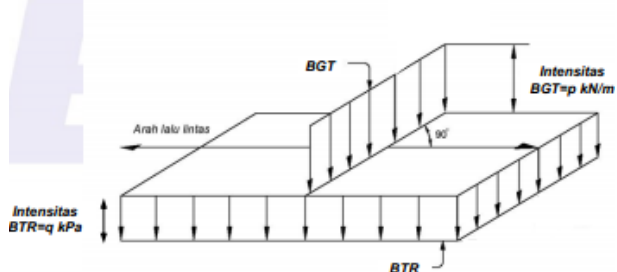
b) Beban mati tambahan

Beban mati tambahan merupakan berat seluruh bahan yang membentuk suatu beban pada struktur yang merupakan elemen non struktural, dan besarnya dapat berubah selama umur jembatan. (SNI 1725:2016 Pasal 7.3.)

2. Beban Lalu lintas

1) Beban lajur “D” (SNI 1725:2016 Pasal 8.3.)

Beban lajur “D” terdiri dari beban tersebar merata (BTR/UDL) yang digabung dengan beban garis (BGT/KEL), lihat Gambar 3.5 berikut :



Gambar 3.5 Beban lajur “D”
(SNI 1725:2016, Gambar 24)

Beban terbagi rata (BTR/UDL) mempunyai intensitas q kPa, dengan besarnya q tergantung pada panjang total :

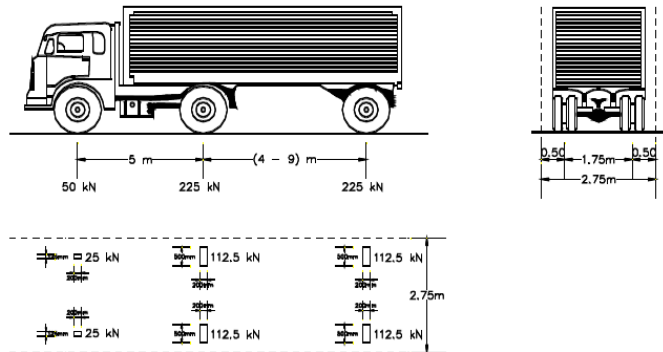
$$L \leq 30\text{m} : q = 9,0 \text{ kPa}$$

$$L \geq 30\text{m} : q = 9,0 (0,5 + 15/L) \text{ kPa}$$

Panjang yang dibebankan L adalah panjang total BTR (UDL) yang bekerja pada jembatan. Beban garis (BGT/KEL) dengan intensitas p KN/m harus ditempatkan tegak lurus arah lalu-lintas pada jembatan. Besarnya intensitas p adalah 49,0 kN/m.

2) Beban truk “T”

Pembebanan truk “T” terdiri dari kendaraan truk semi trailer yang mempunyai susunan dan berat as seperti pada Gambar 3.6. Berat sendiri dari masing-masing as disebar menjadi dua beban merata sama besar yang merupakan bidang kontak antara roda dengan permukaan lantai. Jarak antara dua as tersebut antara 4,0 m sampai dengan 9,0m, hal ini dikarenakan untuk mendapatkan pengaruh terbesar pada arah memanjang jembatan. Kendaraan truk “T” ini harus ditempatkan di tengah-tengah lajur lalu lintas rencana.



Gambar 3.6 Beban Truk “T” (500 kN)
(SNI 1725:2016, Gambar 26)

3. Beban angin

a) Beban angin pada struktur

Berdasarkan SNI 1725-2016 pasal 9.6.1, tekanan angin horizontal untuk bagian jembatan dengan elevasi lebih tinggi dari 10000 mm di atas permukaan tanah atau permukaan air maka kecepatan angin rencana, V_{DZ} , sebagai berikut

$$V_{DZ} = 2,5 \cdot V_0 \left(\frac{V_{10}}{V_B} \right) \ln \left(\frac{Z}{Z_0} \right)$$

Dimana :

V_{DZ} = kecepatan angin rencana pada elevasi rencana, Z (km/jam)

V_{10} = kecepatan angin pada elevasi 10000 mm dia atas permukaan tanahatau di atas permukaan air rencana (km/jam)

V_B = kecepatan angin rencana yaitu 90 hingga 126 km/jam pada elevasi 10000 mm yang akan menghasilkan tekanan

Z = elevasi struktur diukur dari permukaan tanah atau dari permukaan air dimana beban angin dihitung ($Z > 10000$ mm)

V_0 = kecepatan gesekan angin, yang merupakan karakteristik meteorologi, ditentukan dalam Tabel 7.1

Z_0 = panjang gesekan di hulu jembatan, yang merupakan karakteristik meteorologi ditentukan dalam Tabel 7.1

V_{10} dapat diperoleh dari :

- Grafik kecepatan angin dasar untuk berbagai periode ulang
- Survey angin pada lokasi jembatan
- Jika tidak ada data yang lebih baik maka perencana dapat mengasumsikan bahwa $V_{10} = V_B = 90$ s/d 126 km/jam

Tabel 3.1 Nilai V_0 dan Z_0 untuk variasi kondisi permukaan hulu

Kondisi	Lahan Terbuka	Sub Urban	Kota
V_0 (km/jam)	13,2	17,6	19,3
Z_0 (mm)	70	1000	2500

Dengan mengetahui kecepatan angin yang bekerja, dapat ditentukan beban angin pada struktur dimana tekanan angin rencana dalam MPa dengan menggunakan persamaan

$$P_D = P_B \left(\frac{V_{DZ}}{V_B} \right)^2$$

Dimana :

P_B = tekanan angin dasar yang ditentukan dalam Tabel 7.2

Tabel 3.2 Tekanan angin dasar

Komponen bangunan atas	Angin tekan (MPa)	Angin hisap (MPa)
Rangka, kolom, dan pelengkung	0,0024	0,0012
Balok	0,0024	N/A
Permukaan datar	0,0019	N/A

b) Beban angin pada kendaraan

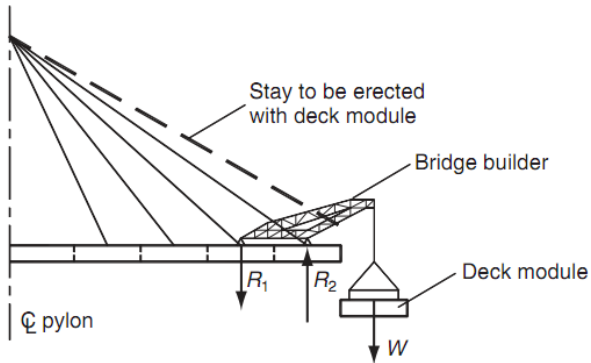
Beban angin juga akan dibebankan pada kendaraan yang melintas (EW_i) dimana telah diatur di SNI 1725-2016 pasal 9.6.1.2 dengan asumsi sebagai tekanan yang menerus sebesar 1,46 N/mm yang bekerja tegak lurus dan bekerja diatas 1800mm diatas permukaan jalan.

3.4.2. Pembebanan Dinamis

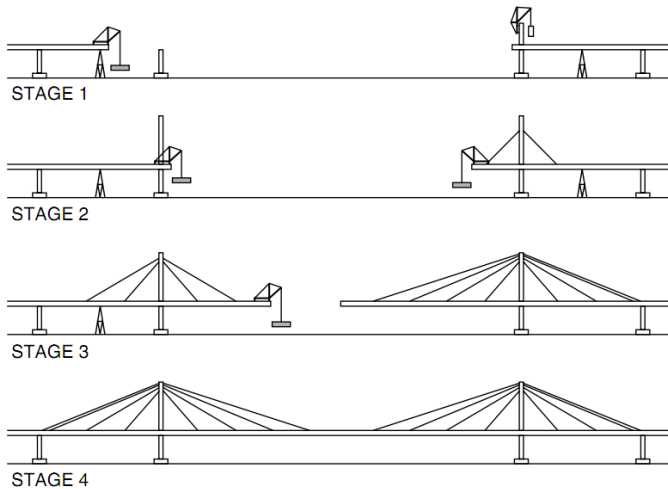
Dalam analisa beban gempa sesuai dengan RSNI2 2833:201X dimana akan ditinjau secara analisa dinamis 3 dimensi. Fungsi *response spectrum* yang untuk daerah Kabupaten Bojonegoro menggunakan peta gempa untuk probabilitas 7% dalam 75 tahun atau memiliki periode ulang 1000 tahun.

3.4.3. Metode Pelaksanaan

Metode pelaksanaan dilakukan dengan cara kantilever, karena pada kondisi lapangan tidak memungkinkan untuk dipasang perancah (penyokong sementara), lihat Gambar 3.7 dan 3.8.



Gambar 3.7 Metode pelaksanaan kantilever
(Parke and Huson, 2008).



Gambar 3.8 Metode pelaksanaan kantilever
(Gimsing dan T. Christos , 2012).

Didalam empat tahap yang ditunjukkan, pekerjaan yang dilakukan :

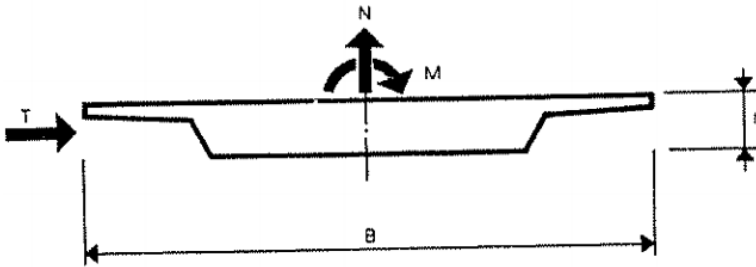
- Stage 1 : Penarikan dek pada sisi bentang menggunakan pendukung sementara, diikuti dengan penarikan dari *pylon* ketika mencapai pilar utama.
- Stage 2 : Satu sisi kantilever bebas dari bentang utama dek dengan pemasangan kedua bentang dan bentang sisi kabel tetap yang sesuai sebagai poin angkur dalam bentang utama yang dicapai
- Stage 3 : Setelah selesai setengah jembatan, kantilever dari setengah lainnya berlangsung
- Stage 4 : Menutup jembatan di tengah bentang utama

3.5. Kontrol Stabilitas

Kontrol stabilitas yang perlu dilakukan adalah akibat aerodinamis akibat angin pada jembatan *cable stayed* perlu dianalisa karena salah penyebab terjadinya kegagalan struktur. Analisa stabilitas pada aerodinamis meliputi *vortex-shedding* (tumpahan pusaran angin) dan *flutter* (efek ayunan). Akan tetapi untuk mengetahui efek angin yang bekerja, perlunya analisa tersebut menggunakan model pada terowongan angin (*wind tunnel*).

Nilai gaya – gaya tersebut bergantung pada beberapa faktor berikut :

1. Tekanan angin q
2. Bentuk penampang (koefisien C_T , C_N , dan C_M)
3. Sudut datang angin pada lantai kendaraan, α



Gambar 3.9 Efek angin
(Walther dkk, 1999).

$$T = C_T \cdot q \cdot h \cdot l$$

$$N = C_N \cdot q \cdot h \cdot l$$

$$M = C_M \cdot q \cdot h \cdot l$$

Dimana :

l = panjang struktur

h = tinggi total lantai kendaraan

B = lebar lantai kendaraan

Pada kecepatan angin tertentu yang disebut dengan kecepatan kritis, akan terjadi pusaran angin (vortex-shedding). Untuk memperoleh nilai percepatan kritis tersebut, digunakan persamaan angka Strouhal (S).

$$S = \frac{f_B \cdot h}{V} \quad (\text{Walther, 1999, 7.3.2 - 7.11})$$

Dimana :

S = angka Strouhal

f_B = frekwensi alami lentur balok

h = tinggi lantai kendaraan

V = kecepatan angin yang dihitung berdasarkan angka Strouhal

Selanjutnya dilakukan evaluasi efek pusaran dengan angka *Reynold* (Re). Akibat kecepatan angin yang bekerja besarnya

angka *Reynold* harus memenuhi persyaratan, nilai *Re* harus berkisar antara $10^5 - 10^7$. Berikut persamaan untuk angka *Reynold*.

$$Re = \frac{VB}{\bar{\nu}} \text{ (Walther, 1999, 7.3.2 – 7.10)}$$

Dimana :

Re = angka *Reynold*

V = kecepatan angin yang dihitung berdasarkan angka *Strouhal*

B = lebar lantai kendaraan

$\bar{\nu}$ = viskositas kinematik udara (0,15 cm²/dt)

Akibat adanya terpaan angin, akan terjadi gaya angkat (*uplift*) yang besarnya dapat dihitung dengan persamaan berikut :

$$Fo = \rho \frac{V^2}{2} Ch \text{ (Walther, 1999, 7.3.2 – 7.13)}$$

Dimana :

Fo = gaya angkat

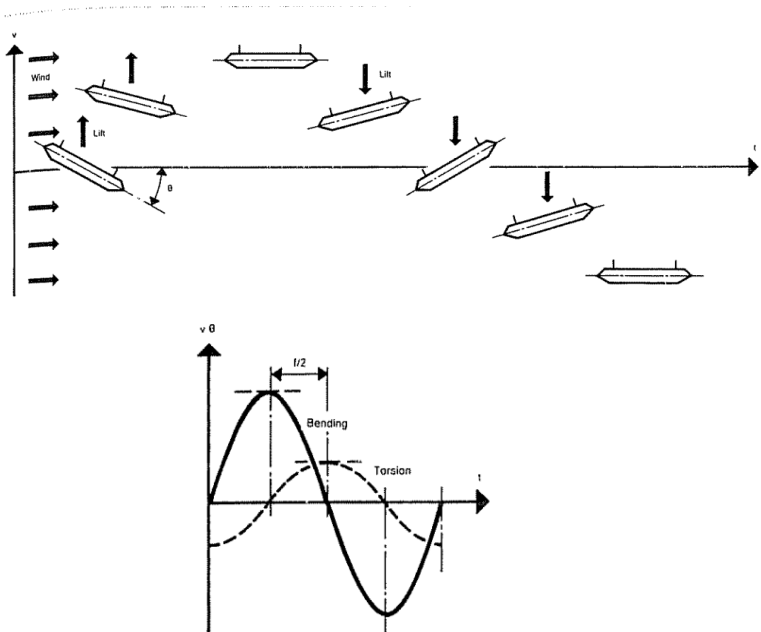
ρ = berat volume udara (1,3 kg/m³)

V = kecepatan angin yang dihitung berdasarkan angka *Strouhal*

C = koefisien gaya angkat lantai kendaraan

h = tinggi lantai kendaraan

Fenomena efek ayunan yang terjadi pada kecepatan kritis akan menimbulkan ayunan lentur (f_B) dan ayunan torsi (f_T), yang harus dihindari adalah nilai amplitudo akibat ayunan lentur dan ayunan torsi tidak terjadi secara bersamaan. Maka dari itu desain yang ideal, nilai perbandingan dari keduanya sebaiknya memiliki perbedaan fase sebesar $\pi/2$ atau berkisar 1,57 detik. Untuk lebih jelasnya lihat ilustrasi pada Gambar 3.10 berikut ini.



Gambar 3.10 Efek ayunan dengan beda fase $\pi/2$ (Walther, 1999).

3.6. Gambar Teknik

Tahapan akhir dari perencanaan berupa penyusunan gambar kerja, dalam pengerjaannya digunakan program bantu AutoCAD. Susunan gambar kerja berupa :

- Denah jembatan
- Potongan melintang dan memanjang
- Detail Penulangan dan sambungan
- Konfigurasi kabel
- Struktur utama

BAB IV PEMBAHASAN

4.1. *Preliminary Design*

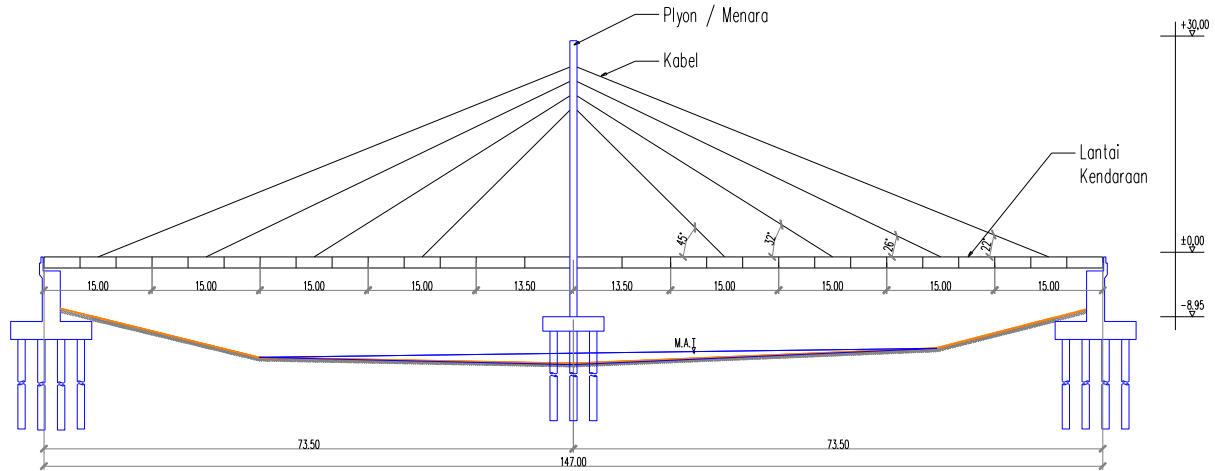
Sebelum melakukan perhitungan struktur sekunder perlu dilakukan perkiraan dimensi awal berdasarkan referensi yang diperlukan dengan menyesuaikan pada parameter yang ada. Dimensi awal yang perlu diperkirakan antara lain meliputi susunan kabel, dimensi gelagar, kabel dan *pylon*, yang kemudian akan digunakan sebagai data awal dalam analisa struktur. Jika ternyata dalam analisa diketahui kemampuan struktur tidak memenuhi syarat, maka perlu dilakukan perubahan pada parameter yang telah ditentukan.

4.1.1. Konfigurasi Susunan Kabel

Konfigurasi susunan kabel pada arah melintang berupa *Double Planes System*, sedangkan untuk arah memanjang berupa *Semi Harp Pattern*, lihat Gambar 4.1.

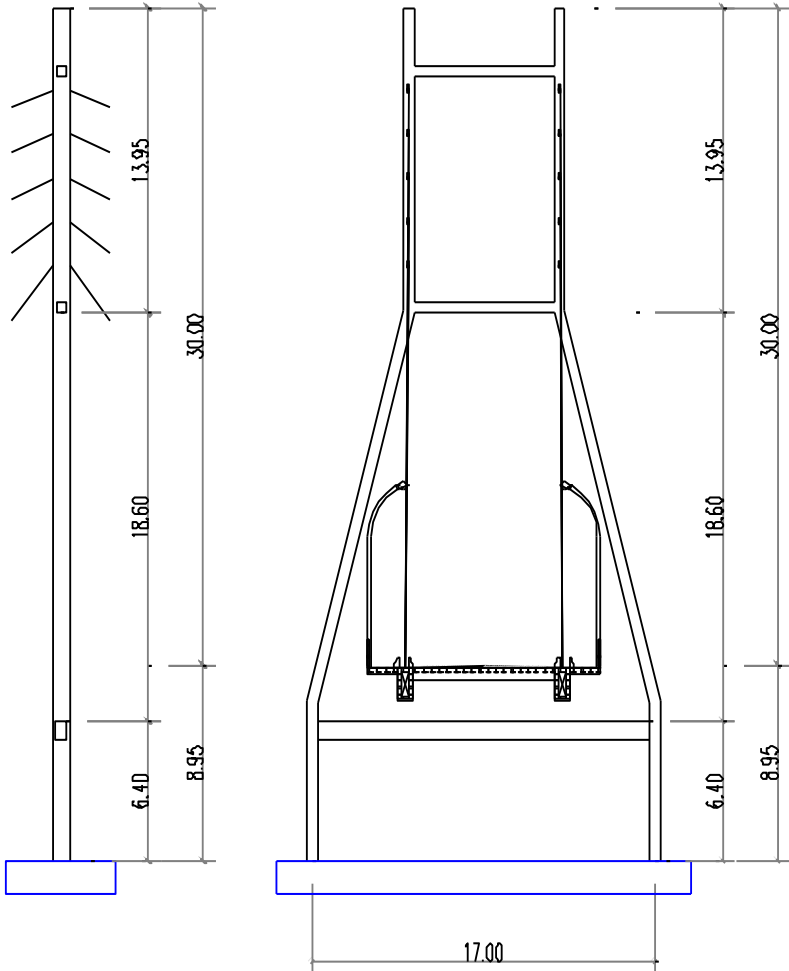
- 1) Jarak kabel pada gelagar menurut Walther dkk. (1999) :
Dek beton (5 m – 10m)
Dek baja (15 m – 25 m)
Pada desain ini dipakai jarak kabel pada gelagar 15 m.
- 2) Tinggi *pylon* (h), menurut Parke dan Hewson (2008) (pada buku *ICE manual of bridge engineering* halaman 377) dapat diperkirakan dengan perbandingan antara tinggi rencana (H) dengan panjang bentang utama (L) dengan kisaran nilai 0,2 – 0,25.

$$\begin{aligned} \text{Direncanakan (H/L)} &= 0,25 \\ L &= 73,5 \text{ m} \\ \text{Maka diperoleh H} &= 73,5 \text{ m} \cdot 0,25 \\ &= 18,75 \text{ m} \approx 30 \text{ m}. \end{aligned}$$



Gambar 4.1 Susunan kabel arah memanjang berupa *semi-harp pattern* (dalam meter)

Berikut ilustrasi susunan kabel arah melintang jembatan, dapat dilihat pada Gambar 4.2.



Gambar 4.2 Susunan kabel arah melintang berupa *double planes system* (dalam meter)

4.1.2. Dimensi Gelagar

1) Gelagar Utama *Rectangular Twin Box Girder*

Menurut Podolny (1976) dalam bukunya “*Contruction & Design of Cable-Stayed Bridges*”, nilai perbandingan antara tinggi gelagar dengan bentang jembatan bervariasi antara (1/40) s.d. (1/100).

$$\begin{aligned} \text{Tinggi } box \text{ girder } (h) &= \frac{1}{40} L \geq h \geq \frac{1}{100} L \\ &= \frac{1}{40} 73.5\text{m} \geq h \geq \frac{1}{100} 73,5\text{m} \\ &= 1.84\text{m} \geq h \geq 0.2\text{m} \end{aligned}$$

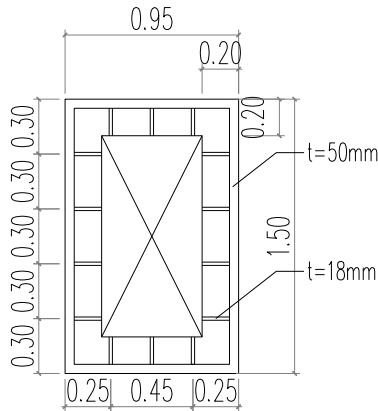
Dalam desain ini, nilai tinggi *box girder* direncanakan dengan perbandingan (L/50).

$$\begin{aligned} h &= \frac{1}{50} 73.5\text{m} \\ &= 1,47 \text{ m} \approx 1,5 \text{ m} \end{aligned}$$

Dipakai perkiraan awal dimensi *box girder* :

$$\begin{aligned} h &= 1,5 \text{ m} \\ b &= 0,95 \text{ m} \end{aligned}$$

untuk lebih jelasnya lihat Gambar 4.3



Gambar 4.3 Preliminary *box girder* (dalam meter)

2) Rusuk (*rib*)

Jarak antar balok melintang direncanakan sebesar 3,00 m, dengan gelagar melintang berupa profil WF.

$$\begin{aligned} \text{Tinggi ribs (d)} &\geq \frac{L}{12} \\ &\geq \frac{3,0\text{m}}{12} = 0,25\text{m} \end{aligned}$$

Direncanakan menggunakan profil WF 300.150.6,5.9

$$\begin{aligned} d &= 300 \text{ mm} & tw &= 6,5 \text{ mm} \\ bf &= 150 \text{ mm} & tf &= 9 \text{ mm} \\ r &= 13 \text{ mm} & w &= 36,7 \text{ kg/m} \end{aligned}$$

sifat mekanis baja struktural

$$\begin{aligned} BJ &= 41 \\ f_u &= 410 \text{ MPa} \\ f_y &= 250 \text{ MPa} \end{aligned}$$

3) Gelagar melintang direncanakan menggunakan profil WF

Tinggi balok ($d \geq (L/9)$), dimana L = panjang balok.

$$\begin{aligned} d &\geq \frac{L}{9} \\ &\geq \frac{7\text{m}}{9} = 0,77 \text{ m} \end{aligned}$$

Direncanakan menggunakan profil WF 800.300.14.26

$$\begin{aligned} d &= 800 \text{ mm} & tw &= 14 \text{ mm} \\ bf &= 300 \text{ mm} & tf &= 26 \text{ mm} \\ r &= 28 \text{ mm} & w &= 210 \text{ kg/m} \end{aligned}$$

sifat mekanis baja struktural

$$\begin{aligned} BJ &= 41 \\ f_u &= 410 \text{ MPa} \\ f_y &= 250 \text{ MPa} \end{aligned}$$

- 4) Gelagar kantilever direncanakan menggunakan profil WF Tinggi balok ($d \geq (L/6)$), dimana L = panjang balok.

$$d \geq \frac{L}{6}$$

$$\geq \frac{1,5\text{m}}{6} = 0,25 \text{ m}$$

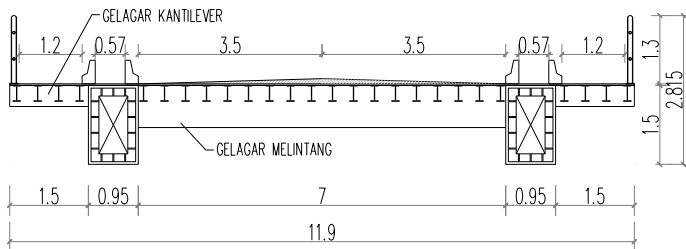
Direncanakan menggunakan profil WF 400.200.8.13

$$\begin{aligned} d &= 400 \text{ mm} & tw &= 8 \text{ mm} \\ bf &= 200 \text{ mm} & tf &= 13 \text{ mm} \\ r &= 16 \text{ mm} & w &= 66 \text{ kg/m} \end{aligned}$$

sifat mekanis baja struktural

$$\begin{aligned} BJ &= 41 \\ f_u &= 410 \text{ MPa} \\ f_y &= 250 \text{ MPa} \end{aligned}$$

Berikut ilustrasi penampang melintang dek dapat dilihat pada Gambar 4.4.



Gambar 4.4 Penampang melintang dek (dalam meter)

4.1.3. Dimensi Kabel dan Anker

Menurut RSNI T-03-2005 pasal 12.6 kabel pemikul utama yang dipergunakan untuk struktur-struktur jembatan kabel dan jembatan gantung harus dibuat dari material mutu tinggi dengan kuat tarik minimum 1800 N/mm^2 .

Ada dua jenis kabel paralel *VSL 7-wire strand* yang dapat digunakan untuk jembatan kabel, lihat tabel 4.1

Tabel 4.1 Jenis Kabel dan Anker

Standard	ASTM A 416-06 Grade 270	Euronorme 138-3
Ø (mm)	15,2	15,7
A _s (mm ²)	140	150
f _u (f _{ijin} =0,7f _u)(MPa)	1860 (1302)	1770 (1239)
Ukuran anker	7, 12, 19, 31, 37, 61, dan 91 strand	

Dalam desain ini digunakan kabel tipe ASTM A 416-06 Grade 270.

$$N_{g,i} = R_{g,i} \cdot \cos \alpha$$

Dimana :

$N_{g,i}$ = gaya kabel utama

$R_{g,i}$ = (DL + LL)

α_i = sudut kemiringan kabel

Dead Load (DL)

Berat gelagar *box* pada bentang 15 m

$$\begin{aligned} W &= 2 \cdot A_{box} \text{ (didapat dari MIDAS). BJ baja} \\ &= 2 \cdot 0,263 \text{m}^2 \cdot 77 \text{kN/m}^3 \\ &= 40.53 \text{ kN/m} \end{aligned}$$

$$\begin{aligned} W \cdot \lambda \cdot FB &= 40.53 \text{ kN/m} \cdot 15 \text{m} \cdot 1,1 \\ &= 668.7912 \text{ kN} \end{aligned}$$

Live Load (LL)

Beban Terbagi Rata (BTR)

$$\text{BTR} = 9 \text{ kN/m}^2 \quad \dots \text{ (SNI 1725-2016 Pasal 8.3.1)}$$

$$\begin{aligned} W_{LL1} &= \text{BTR} \cdot \lambda \cdot \text{Lebar jembatan} \cdot FB \\ &= 9 \text{kN/m}^2 \cdot 15 \text{m} \cdot 12,4 \text{m} \cdot 2 \\ &= 3132 \text{ kN} \end{aligned}$$

Beban Garis (BGT)

$$\text{BGT} = 49 \text{ kN/m} \quad \dots (\text{SNI 1725-2016 Pasal 6.3.1})$$

$$\begin{aligned} W_{LL2} &= \text{BGT} \cdot \text{Lebar jembatan} \cdot \text{FB} \\ &= 49 \text{ kN/m} \cdot 12,4 \text{ m} \cdot 2 \\ &= 1136,8 \text{ kN} \end{aligned}$$

Beban Truk "T"

$$\begin{aligned} T &= 112,5 \text{ kN} \cdot 2 \quad \dots (\text{SNI 1725-2016 Pasal 8.4.1}) \\ &= 225 \text{ kN} \end{aligned}$$

$$\begin{aligned} W_{LL\text{-TOTAL}} &= W_{LL1} + W_{LL2} + T \\ &= 3132 \text{ kN} + 1136,8 \text{ kN} + 2225 \text{ kN} \\ &= 4493,8 \text{ kN} \end{aligned}$$

$$\sigma_g = \frac{\sigma_{ijin} \cdot \sin 2\alpha}{2} - \gamma \cdot L$$

Dimana :

σ_g = tegangan ijin kabel akibat berat sendiri dan beban tetap

γ = berat jenis kabel (77 kN/m^3)

L = jarak antar kabel (15 m)

σ_{ijin} = tegangan ijin kabel akibat beban total = $0,8 \sigma_{putus \text{ kabel}}$

$$\begin{aligned} \sigma_{ijin} &= 0,8 \cdot 1860 \text{ N/mm}^2 \\ &= 1488 \text{ N/mm}^2 \\ &= 1488000 \text{ kN/m}^2 \end{aligned}$$

$$\begin{aligned} \sigma_g &= \frac{1488000 \cdot \sin(2 \cdot 21)}{2} - 77 \cdot 15 \\ &= 496678,17 \text{ kN/m}^2 \end{aligned}$$

$$A_i = \frac{\alpha N_{gi}}{\sigma_g}$$

Dimana :

A_i = luas kabel utama

α = fraksi beban yang dipikul oleh kabel ($0 < \alpha < 1$), 1 bila kabel sangat kaku, 0 bila gelagar sangat kaku. Maka akan digunakan 1.

$N_{g,i}$ = gaya kabel utama

Perhitungan luasan kabel yang dibutuhkan dapat dilihat pada Tabel 4.2.

Tabel 4.2 Dimensi kabel

No	$S_i = m_1$	α	sin α	cos α	W_{DL}	W_{LL}
		derajat			kN	kN
1	1	22	0.375	0.927	668.791	4493.8
2	2	26	0.438	0.899	668.791	4493.8
3	3	32	0.530	0.848	668.791	4493.8
4	4	45	0.707	0.707	668.791	4493.8
5	5	75	0.966	0.259	668.791	4493.8
No	$N_{gi} = (WDL + WLL) \cdot \cos \alpha$		$\sigma_g = ((\sigma_{ijin} \sin 2 \alpha) / 2) - \gamma L$		$A_i = \alpha \cdot N_{gi} / \sigma_g$	$n = A_i / A_s$
	kN		kN/m ²		mm ²	Buah
1	4,786.671		515,670.828		9,282.416	66.30
2	4,640.106		585,125.001		7,930.111	56.64
3	4,378.126		667,547.770		6,558.520	46.85
4	3,650.503		742,845.000		4,914.219	35.10
5	1,336.177		370,845.000		3,603.060	25.74

Dalam pelaksanaan, kabel akan mengalami lendutan (melengkung) akibat berat sendiri. Namun dalam analisa dianggap lurus dengan memberikan faktor koreksi pada E (Modulus Elastisitas) dengan persamaan sebagai berikut :

$$E_{\text{eff}} = \frac{E_0}{1 + \left(\frac{\gamma^2 \cdot L^2 \cdot E_0}{12 \cdot \sigma^3} \right)}$$

Dimana :

E_{eff} = modulus elastisitas ekivalen

E_0 = modulus elastisitas kabel (2.10^5 MPa)

γ = berat jenis kabel
 $= 77 \text{ kN/m}^3 = 77 \cdot 10^{-6} \text{ N/mm}^3$

L = panjang horizontal kabel (mm)

σ = tegangan tarik kabel
 $= 0,7 \cdot f_u$
 $= 1302 \text{ N/mm}^2$

Perhitungan nilai modulus elastisitas efektif ekivalen dapat dilihat pada Tabel 4.3.

Tabel 4.3 Modulus Elastisitas Efektif Ekivalen (E_{eff})

No	$S_i = m_1$	L	E_0	γ	σ	E_{eff}
		(m)	N/mm ²	N/mm ²	N/mm ²	N/mm ²
1	1	70.6	200,000	0.000077	1,302	199,999.420378
2	2	56.0	200,000	0.000077	1,302	199,999.635320
3	3	42.0	200,000	0.000077	1,302	199,999.794867
4	4	29.0	200,000	0.000077	1,302	199,999.902201
5	5	19.2	200,000	0.000077	1,302	199,999.957310

4.1.4. Dimensi *Pylon*

Besarnya dimensi *pylon* diperkirakan berdasar nilai jumlah gaya aksial tekan kabel untuk satu sisi kolom vertikal.

- 1) Material *pylon* = beton bertulang
- 2) f'_c = 50 Mpa
- 3) f_y = 400 Mpa

Besarnya gaya yang terjadi pada *pylon* akibat kabel dapat dilihat pada tabel 4.4.

Tabel 4.4 Gaya Aksial pada *Pylon*

No	$S_i = m_1$	α	W_{DL}	W_{LL}	$(W_{DL} + W_{LL}) \cdot \sin a$
		derajat	kN	kN	kN
1	1	22	668.7912	4493.8	1933.941
2	2	26	668.7912	4493.8	2263.131
3	3	32	668.7912	4493.8	2735.757
4	4	45	668.7912	4493.8	3650.503
5	5	75	668.7912	4493.8	4986.680

Total

15,570.01

Dimensi *pylon* :

$$A = \frac{2 \cdot N_{gi}}{f'_c}$$

$$\begin{aligned} &= \frac{2.10583,33.1000N}{40N/mm^2} \\ &= 529166,58 \text{ mm}^2 \\ &= 5291,67 \text{ cm}^2 \end{aligned}$$

Luas Penampang direncanakan :

$$A = b \cdot (1,5 \cdot b)$$

$$= 1,5 \cdot b^2$$

$$b = \frac{A}{1,5}$$

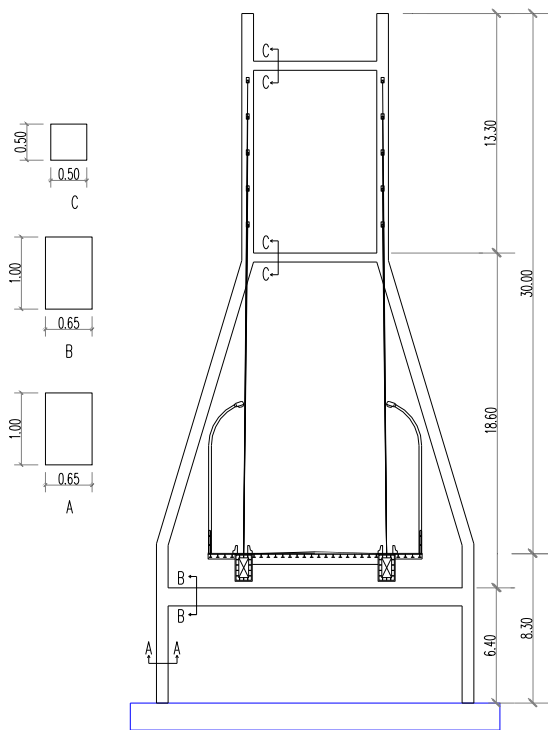
$$= \sqrt{\frac{5291,67}{1,5}}$$

$$= 63,28 \text{ cm} \approx 65 \text{ cm}$$

$$h = 1,5 \cdot 65 \text{ cm}$$

$$= 97,5 \text{ cm} \approx 100 \text{ cm}$$

Jadi dipakai dimensi *pylon* $b = 65 \text{ cm}$ dan $h = 100 \text{ cm}$



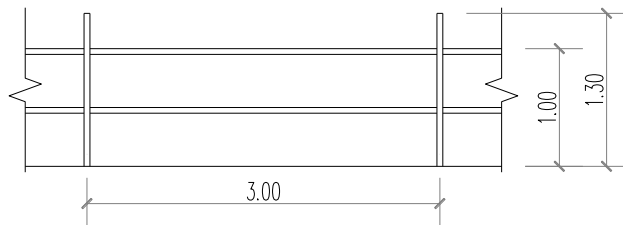
Gambar 4.5 Penampang *pylon* (dalam meter)

4.2. Struktur Sekunder

Struktur sekunder pada jembatan ini terdiri dari tiang sandaran, pipa sandaran, dan pelat lantai. Dalam perhitungan, struktur sekunder tidak dianalisa bersama-sama dengan struktur utama, melainkan dianalisa secara terpisah. Hal ini karena struktur sekunder dianggap tidak banyak mempengaruhi perilaku struktur utama. Hasil perhitungan struktur sekunder berlaku sebagai beban saat menganalisa struktur utama.

4.2.1. Tiang dan Pipa Sandaran

Berdasarkan pada RSNI T-02-2005 pasal 12.5, beban yang bekerja pada sandaran adalah berupa gaya horizontal dan vertikal sebesar $w = 0,75 \text{ kN/m}$ dan bekerja pada ketinggian 100 cm dari lantai trotoar. Sandaran menggunakan profil pipa dengan diameter 60,5 mm, lihat Gambar 4.6.



Gambar 4.6 Tiang sandaran (dalam m)

Data perencanaan sandaran :

Panjang total jembatan = 147 m

Jarak tiang sandaran = 3 m

Bahan yang digunakan :

1. Tiang sandaran BJ 37 :

f_u = 370 MPa

f_y = 240 MPa

2. Pipa sandaran 2":

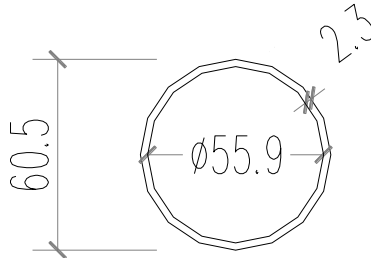
Diameter luar (d_0) = 60,5 mm

Tebal pipa (t) = 2,3 mm

Berat pipa (q) = 5,4 kg/m

Mutu baja = BJ 41
 f_u = 410 MPa
 f_y = 250 MPa

Berikut ilustrasi profil pipa sandaran dapat dilihat pada Gambar 4.7.



Gambar 4.7 Profil sandaran (dalam mm)

4.2.1.1. Perhitungan Pipa Sandaran

a. Perhitungan momen pada pipa

- Akibat berat sendiri

$$\begin{aligned} M_{VD} &= (1/8) \cdot q \cdot l^2 \\ &= (1/8) \cdot 5,4 \text{ kg/m} \cdot (3\text{m})^2 \\ &= 6,075 \text{ kgm} = 0,06075 \text{ kNm} \end{aligned}$$

- Akibat beban vertikal

$$\begin{aligned} M_{VL} &= (1/8) \cdot w \cdot l^2 \\ &= (1/8) \cdot 0,75\text{kN/m} \cdot (3\text{m})^2 \\ &= 0,84375 \text{ kNm} \end{aligned}$$

$$\begin{aligned} M_V &= M_{VD} + M_{VL} \\ &= (0,06075 + 0,84375) \text{ kNm} \\ &= 0,905 \text{ kNm} \end{aligned}$$

- Akibat horizontal

$$\begin{aligned} M_H &= (1/8) \cdot w \cdot l^2 \\ &= (1/8) \cdot 0,75\text{kN/m} \cdot (3\text{m})^2 \\ &= 0,84375 \text{ kNm} \end{aligned}$$

Momen resultan (M_R)

$$M_R = \sqrt{M_H^2 + M_V^2}$$

$$= \sqrt{(0,84375^2 + 0,905^2)} \text{ kNm}$$

$$= 1,24 \text{ kNm}$$

b. Cek Kekuatan Profil

- Batas kelangsingan profil

$$\lambda = \frac{d_o}{t} = \frac{60,5}{2,3} = 26,3$$

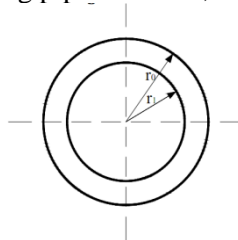
$$\lambda_p = \frac{14800}{f_y} = \frac{14800}{250} = 59,2$$

Karena $\lambda < \lambda_p$ (penampang kompak) maka kuat lentur nominal penampang adalah $M_n = M_p = Z_x \cdot f_y$

- Kuat lentur nominal

$$Z_x = \frac{4}{3} (r_o^3 - r_i^3) = \frac{4}{3} (30,25^3 - 29,1^3) = 12265,35 \text{ mm}^3$$

Ilustrasi penampang pipa sandaran, lihat Gambar 4.8.



Gambar 4.8 Penampang pipa sandaran

$$M_n = Z_x \cdot f_y = 12265,35 \text{ mm}^3 \cdot 250 \text{ N/mm}^2$$

$$= 3066337,46 \text{ Nmm}$$

$$= 3,07 \text{ kNm}$$

$$\phi M_n = 0,9 \cdot 3,07 = 2,76 \text{ kNm} > M_R = 1,24 \text{ kNm}$$

Maka profil dapat digunakan.

4.2.1.2. Perhitungan Tiang Sandaran

Direncanakan tiang sandaran menggunakan baja profil WF 100.50.5.7 dengan spesifikasi :

$$\begin{aligned} d &= 100 \text{ mm} & tw &= 5 \text{ mm} \\ bf &= 50 \text{ mm} & tf &= 8 \text{ mm} \\ r &= 8 \text{ mm} & w &= 9,3 \text{ kg/m} \\ I_x &= 187 \text{ cm}^4 & I_y &= 14,8 \text{ cm}^4 \end{aligned}$$

Sifat mekanis baja struktural

$$\begin{aligned} BJ &= 37 \\ f_u &= 370 \text{ MPa} \\ f_y &= 240 \text{ MPa} \end{aligned}$$

$$\begin{aligned} \text{Beban horizontal} &= 3 \text{ m. } 0,75 \text{ kN/m} \\ &= 2,25 \text{ kN} \end{aligned}$$

$$\text{Tinggi tiang sandaran} = 1,3 \text{ m}$$

$$\begin{aligned} \text{Momen yang terjadi} &= 1,3 \text{ m. } 2,25 \text{ kN} \\ &= 2,925 \text{ kNm} \end{aligned}$$

Cek tegangan yang terjadi pada tiang sandaran

$$\sigma_u < \sigma_{ijin}$$

$$\sigma_u = \frac{M}{w}$$

$$w = \frac{I_x}{y}$$

$$= \frac{187 \text{ cm}^4}{5 \text{ cm}}$$

$$= 66,08 \text{ cm}^3$$

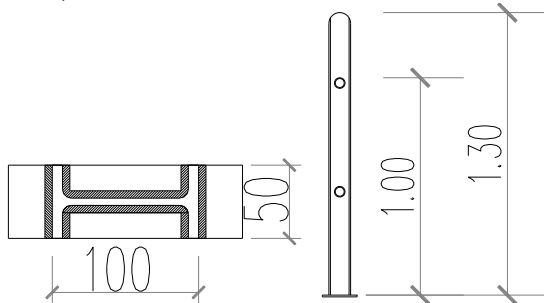
$$\sigma_u = \frac{29250 \text{ kgcm}}{37,4 \text{ cm}^3}$$

$$= 782,09 \text{ kg/cm}^2 < \sigma_{ijin} = 2400 \text{ kg/cm}^2 \dots \text{OK}$$

4.2.1.3. Perhitungan Sambungan Las Tiang Sandaran

$$q_{\text{eff tiang}} = 0,707 \frac{f_u}{F_{E60}} t_w$$

$$\begin{aligned}
 &= 0,707 \frac{3700 \text{ kg / cm}^2}{60.70,33 \text{ kg / cm}^2} 0,5 \text{ cm} \\
 &= 0,309 \text{ cm} \\
 &= 3,09 \text{ mm} \\
 Q_{\text{pelat}} &= 1,41 \frac{f_u}{F_{E60}} t_p \\
 &= 1,41 \frac{3700 \text{ kg / cm}^2}{60.70,33 \text{ kg / cm}^2} 0,8 \text{ cm} \\
 &= 0,989 \text{ cm} \\
 &= 9,89 \text{ mm}
 \end{aligned}$$



Gambar 4.9 Sambungan las (dalam mm)

Dicoba $t_e = 1 \text{ cm}$

$$\begin{aligned}
 A &= 2 \cdot 5 \text{ cm} + (2(10 \text{ cm} - (2 \cdot 0,7 \text{ cm})) + (2(5 \text{ cm} - 0,5 \text{ cm}))) \\
 &= 36,2 \text{ cm}^2
 \end{aligned}$$

$$S_x = 37,5 \text{ cm}^3$$

Menghitung gaya yang terjadi

$$H_{ux} = H_{uy}$$

$$f_{hx} = f_{hy}$$

$$= H_{ux}/A$$

$$= (0,75 \text{ kg/cm} \cdot 300 \text{ cm}) / 36,2 \text{ cm}^2$$

$$= 6,22 \text{ kg}$$

$$P_{ux} = P_{uy}$$

$$f_{vx} = f_{vy}$$

$$\begin{aligned}
 &= P_{ux}/A \\
 &= (0,75\text{kg/cm} \cdot 300\text{cm})/ 36,2 \text{ cm}^2 \\
 &= 6,22 \text{ kg} \\
 M_{ux} &= f_z \\
 &= M_{ux}/S_x \\
 &= (300\text{cm} \cdot 0,75\text{kg/cm} \cdot 130\text{cm})/ 37,5\text{cm}^3 \\
 &= 780 \text{ kg/cm}^2
 \end{aligned}$$

$$\begin{aligned}
 f_0 &= \sqrt{\left(\sqrt{\left(f_{hx}^2 + f_{hy}^2\right)}\right)^2 + \left(f_{ux} + f_{uy}\right)^2} \\
 &= \sqrt{\left(\sqrt{\left(6,22^2 + 6,22^2\right)}\right)^2 + \left(6,22 + 6,22\right)^2} \\
 &= 15,22 \text{ kg/cm}^2
 \end{aligned}$$

$$\begin{aligned}
 f_{tot} &= \sqrt{f_0^2 + f_z^2} \\
 &= \sqrt{780^2 + 15,22^2} \\
 &= 780,15 \text{ kg/cm}^2
 \end{aligned}$$

$$\begin{aligned}
 \emptyset_n &= 0,75 \cdot \text{tw} \cdot F_{E60} \\
 &= 0,75 \cdot 0,5 \cdot 60 \cdot 70,33 \text{ kg/cm}^2 \\
 &= 1582,425 \text{ kg/cm}^2 > f_{tot} = 780,15 \text{ kg/cm}^2
 \end{aligned}$$

$$\begin{aligned}
 te_{\text{perlu}} &= f_{tot}/ \emptyset_n \\
 &= \frac{780,15 \text{ kg} / \text{cm}^2}{1582,425\text{kg} / \text{cm}^2} \\
 &= 0,49 \text{ cm} \approx 5 \text{ mm}
 \end{aligned}$$

$$\begin{aligned}
 a_{\text{perlu}} &= te_{\text{perlu}}/ 0,707 \\
 &= 0,5/ 0,707 \\
 &= 0,707 \text{ cm} \\
 &= 7,07 \text{ mm} \approx 8 \text{ mm}
 \end{aligned}$$

4.2.2. Perencanaan Pelat Lantai Kendaraan

Pada perhitungan pelat lantai kendaraan mengacu pada buku “*Design of Modern Steel Highway Bridges*” C.P Heins & D.A Firmage persamaan 6.25 sebagai berikut.

$$t_p = 0,0065a\sqrt[3]{P}$$

Dimana :

t_p = tebal minimum pelat (in)

a = jarak antar rusuk (in)

P = tekanan akibat roda truk

Faktor Beban Dinamis (FBD) untuk pembebanan truk diambil 30%, SNI 1725-2016 pasal 8.6.

$$P = \frac{(100\% + 30\%)T}{A}$$

Dimana :

P = tekanan akibat roda truk

T = besarnya beban roda truk, 11,25 T (22,5 kip)
SNI 1725-2016 pasal 8.4.1

A = Luas bidang kontak (in)

Berdasarkan AASHTO 1.7.140, nilai lebar dan panjang bidang kontak roda truk dapat dicari menggunakan persamaan berikut.

$$\text{Lebar} = 20 + 2t$$

$$\text{Panjang} = 8 + 2t$$

Dimana :

t = ketebalan aspal (in)

Direncanakan ketebalan aspal 8 cm (3,15 in), maka didapat.

$$\text{Lebar} = 20 + (2 \cdot 3,15)$$

$$= 26,3 \text{ in}$$

$$= 668 \text{ mm}$$

$$\text{Panjang} = 8 + (2 \cdot 3,15)$$

$$= 14,3 \text{ in}$$

$$= 363,2 \text{ mm}$$

$$A = 26,3 \text{ in} \cdot 14,3 \text{ in}$$

$$\begin{aligned}
 P &= 376 \text{ in}^2 = 9551,86 \text{ mm}^2 \\
 &= \frac{(100\% + 30\%) 22,5 \text{ kip}}{376 \text{ in}^2} \\
 &= 0,07778 \text{ kip/in}^2 \\
 &= 77,78 \text{ psi} \\
 &= 0,54 \text{ N/mm}^2
 \end{aligned}$$

Pada desain struktur jembatan, akan sangat membantu jika tahu desain pada umumnya. Dalam buku “Design of Modern Steel Highway Bridges” C.P Heins & D.A Firmage, dijelaskan tren susunan dek yang ada dari hasil studi lapangan menunjukkan:

- (1) Dek dengan rusuk terbuka
 - Ukuran rusuk = 3/8 in x 8 in – 1 in x 12 in
 - Spasi rusuk = 12 in – 16 in
- (2) Dek dengan rusuk tertutup
 - Ukuran rusuk = 12 in x 12 in x 5/12 in
 - Spasi rusuk = 24 in – 28 in

Direncanakan jarak antar rusuk (*rib*) 40 cm (15,75 in), maka diperoleh tebal minimum pelat baja:

$$\begin{aligned}
 t_p &= 0,0065a\sqrt[3]{P} \\
 &= 0,0065.15,75. \sqrt[3]{77,78} \\
 &= 0,44 \text{ in} \\
 &= 1,11 \text{ cm, diambil tebal pelat 1,5 cm (0,59 in)}
 \end{aligned}$$

Cek dengan tegangan yang diijinkan

$$\sigma_{ijin} = \frac{M}{\frac{1}{6} \cdot b \cdot t^2}$$

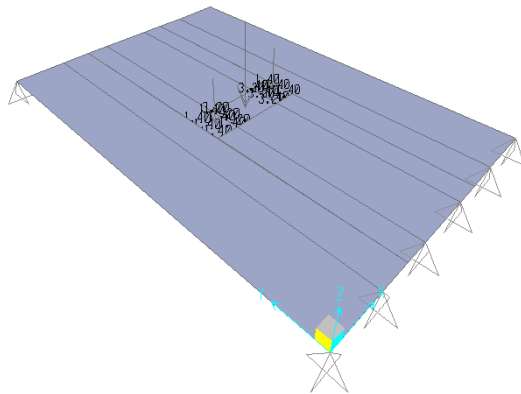
Dengan tebal lantai kendaraan direncanakan 1,5cm

Beban roda dijadikan beban terpusat

$$q = \frac{P}{\text{Luas roda}}$$

$$\begin{aligned}
 &= \frac{11250\text{kg}}{75\text{cm} \cdot 25\text{cm}} \\
 &= 6 \text{ kg/cm}^2
 \end{aligned}$$

Dengan program bantuan SAP2000 untuk mengetahui momen yang terjadi pada lantai kendaraan dengan beban roda truk yang berupa beban merata. Dapat dilihat pada Gambar 4.10.



Gambar 4.10 Beban Roda Truck Pada Lantai kendaraan

Momen yang dihasilkan adalah 9812,15 kgcm

$$\begin{aligned}
 \sigma_{ijin} &= \frac{9182,15}{\frac{1}{6} \cdot 300 \cdot 1,5^2} \\
 1666 \text{ kg/cm}^2 &> 87,22 \text{ kg/cm}^2 \dots \text{OK}
 \end{aligned}$$

Maka tebal lantai kendaraan biasa digunakan 1,5 cm

$$\begin{aligned}
 t &= 1,5 \text{ cm} \\
 &= 0,59 \text{ in}
 \end{aligned}$$

4.2.2.1. Kontrol Lendutan Pelat

Lendutan yang terjadi pada pelat lantai kendaraan menurut buku “*Design of Modern Steel Highway Bridges*” C.P

Heins & D.A Firmage, adalah sama dengan yang terjadi pada balok dikalikan dengan 5/6.

$$W = \frac{5}{6} \cdot \frac{1}{384} \cdot \frac{pl^4}{EI} \leq \frac{1}{300}$$

Dimana :

W = lendutan maksimum dari pelat lantai kendaraan di bawah beban roda.

p = beban roda per satuan luas (77,78 psi = 0.54 N/mm²)

l = jarak antar rusuk (15,75 in = 400 mm)

$$I = \frac{t_p^3}{12}$$

$$= \frac{0,59^3}{12}$$

$$= 0,017$$

$$E = 20 \cdot 10^5 \text{ N/mm}^2$$

$$= 29 \cdot 10^6 \text{ psi}$$

$$W = \frac{5}{6} \cdot \frac{1}{384} \cdot \frac{77,78 \cdot 15,75^4}{29 \cdot 10^6 \cdot 0,017} \leq \frac{15,75}{300}$$

$$= 0,02086 \text{ in (0,53 mm)} < 0,0525 \text{ in (1,33 mm)} \dots \text{OK}$$

4.2.3. Perencanaan Rusuk di Atas Perletakan Kaku

(1) Perhitungan penampang efektif rusuk

Beban roda truk "T" = 22,5 kip

= 11,25 T

= 11250 kg

Panjang efektif rusuk menurut "Design of Modern Steel Highway Bridges" C.P Heins & D.A Firmage, dapat dihitung dengan persamaan sebagai berikut :

$$I_1 = 0,7l$$

Dimana :

l = jarak antar gelagar melintang, direncanakan sejarak 3 m.

$$I_1 = 0,7 \cdot (3 \text{ m}) \\ = 2,1 \text{ m}$$

Lebar efektif rusuk (a_0) :

$$\frac{B}{a} = \frac{\text{Lebar Kontak Roda Truk}}{\text{Jarak Antar Rusuk}} \\ = \frac{50\text{cm}}{40\text{cm}} \\ = 1,25$$

Dari gambar 6.7 “Design of Modern Steel Highway Bridges” C.P Heins & D.A Firmage, *Ideal spacing of flexible ribs*, didapat nilai

$$\frac{a^*}{a} = 1,75$$

maka dapat dihitung spasi rusuk ideal (a^*)

$$a^* = a \cdot 1,75 \\ = 40 \text{ cm} \cdot 1,75 \\ = 70 \text{ cm}$$

$$\beta = \frac{\pi a^*}{l_1} \\ = \frac{\pi 70}{210} \\ = 1,05$$

Dari gambar 6.6 “Design of Modern Steel Highway Bridges” C.P Heins & D.A Firmage, *effective width of orthotropic deck plate*, didapat.

$$\lambda = \frac{a_0}{a^*}$$

$$= 0,90$$

maka dapat dihitung lebar efektif pelat yang dibebankan ke rusuk (a_0)

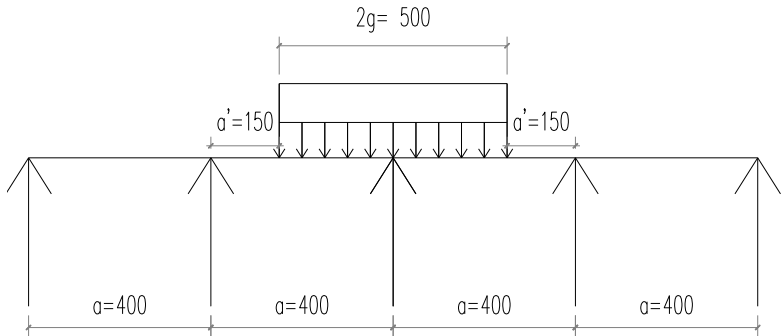
$$a_0 = a^* \cdot 0,90$$

$$= 70 \text{ cm} \cdot 0,90$$

$$= 63 \text{ cm}$$

(2) Perencanaan Geometri Rusuk

Reaksi pada rusuk akibat menerima beban roda truk, lihat Gambar 4.11



Gambar 4.11 Reaksi pada rusuk (dalam mm)

Beban roda truk "T"

$$T = 22,5 \text{ kip}$$

$$= 11,25 \text{ T}$$

$$= 11250 \text{ kg}$$

$$q = \frac{T}{2g}$$

Dimana :

$2g$ = lebar kontak roda truk

$$q = \frac{11250 \text{ kg}}{50 \text{ cm}}$$

$$= 225 \text{ kg/cm}$$

$$\begin{aligned}
 \Sigma M_A &= 0 \\
 R.a &= q \cdot (0,5.g) \cdot (a'+a') \\
 R.40\text{cm} &= 225 \text{ kg/cm} \cdot (0,5.25) \cdot (15+15) \\
 R &= 84375 \text{ kg.cm}/40\text{cm} \\
 &= 2109,39 \text{ kg} \\
 2.R &= 2 \cdot 2109,39 \text{ kg} \\
 &= 4218,75 \text{ kg}
 \end{aligned}$$

Momen tengah bentang rusuk sepanjang 3 m :

$$\begin{aligned}
 M &= \frac{1}{4} \cdot R.L \\
 &= 0,25 \cdot 1,3 \cdot 4218,75 \text{ kg} \cdot 300 \text{ cm} \\
 &= 316406,25 \text{ kgcm}
 \end{aligned}$$

Direncanakan sifat mekanis baja struktural

$$\begin{aligned}
 BJ &= 41 \\
 f_u &= 410 \text{ MPa} \\
 f_y &= 250 \text{ MPa}
 \end{aligned}$$

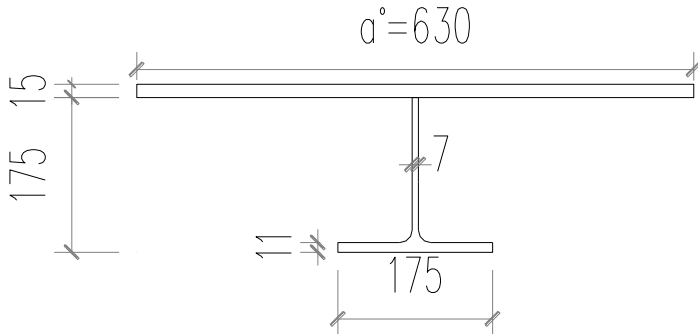
maka dapat dihitung *section* modulus minimum (S_{perlu})

$$\begin{aligned}
 S_{\text{perlu}} &= \frac{M}{\sigma} \\
 &= \frac{316406,25 \text{ kgcm}}{2500 \text{ kg/cm}^2} \\
 &= 126,56 \text{ cm}^3
 \end{aligned}$$

Profil yang digunakan saat preliminary menggunakan profil WF 300.150.6.5.9 maka digunakan profil T dari WF yang dipotong pada webnya. Tetapi tinggi profil kurang maka menggunakan profil 175.175.7.11

$$\begin{aligned}
 d &= 175 \text{ mm} & tw &= 7 \text{ mm} \\
 bf &= 175 \text{ mm} & tf &= 11 \text{ mm} \\
 r &= 14 \text{ mm} & w &= 49,6 \text{ kg/m} \\
 A &= 63,14 \text{ cm}^2
 \end{aligned}$$

Jadi penampang profil dengan lantai kendaraan seperti pada Gambar 4.12 berikut ini.



Gambar 4.12 Geometri rusuk (dalam mm)

sifat mekanis baja struktural

$$BJ = 41$$

$$f_u = 410 \text{ MPa}$$

$$f_y = 250 \text{ MPa}$$

$$A_{\text{plate}} = 63 \text{ cm} \cdot 1,5 \text{ cm} \\ = 94,5 \text{ cm}^2$$

$$A_{\text{profil}} = 0,5 \cdot 63,14 \\ = 31,57 \text{ cm}^2$$

$$A_{\text{total}} = 94,5 \text{ cm}^2 + 31,57 \text{ cm}^2 \\ = 126,07 \text{ cm}^2$$

Letak garis netral y

$$y = \frac{\left(252 \text{ cm}^2 \cdot \left(\frac{1}{2} \cdot 1,5 \text{ cm} + 17,5 \text{ cm} \right) \right) + \left((17,5 \text{ cm} \cdot 1,1 \text{ cm}) \cdot \left(\frac{1}{2} \cdot 1,1 + 16,4 \text{ cm} \right) \right)}{126,07 \text{ cm}^2} +$$

$$\begin{aligned}
& \left(\frac{(16,4\text{cm} \cdot 0,7\text{cm}) \cdot \left(\frac{1}{2} \cdot 16,4 + 1,1\right)\text{cm}}{126,07\text{cm}^2} \right) + \\
& \left(\frac{(17,5\text{cm} \cdot 1,1\text{cm}) \cdot \left(\frac{1}{2} \cdot 1,1\right)}{126,07\text{cm}^2} \right) \\
& = \frac{1724,63\text{cm}^3 + 326,2875\text{cm}^3 + 106,764\text{cm}^3}{126,07\text{cm}^2} \\
& + \frac{10,5875}{126,07\text{cm}^2} \\
& = 17,2 \text{ cm (dari serat bawah)}
\end{aligned}$$

Momen inersia I dan *section* modulus :

$$\begin{aligned}
I &= \frac{1}{12} bh^3 + Ad^2 \\
&= (1/12 \cdot 0,7 \cdot 16,4^3) + (94,5 \cdot ((17,5 + 0,5 \cdot 1,5) - 17,2)^2) + \\
& (17,5 \cdot 1,1 \cdot ((17,5 - 1,1 + 0,5 \cdot 1,1) - 17,2)^2) + (17,5 \cdot 0,7 \cdot ((17,5 + \\
& 1,1) - 17,2)^2) + (17,5 \cdot 1,1 \cdot ((0,5 \cdot 1,1) - 17,2)^2) \\
&= 257,31 + 104,41 + 716,27 + 5335,82 \\
&= 6413,8 \text{ cm}^4
\end{aligned}$$

$$\begin{aligned}
S_{\text{atas}} &= \frac{I}{(t_{\text{tot}} - y)} \\
&= \frac{6413,8 \text{ cm}^4}{(1,5 + 17,5 - 17,2) \text{ cm}} \\
&= 3561,02 \text{ cm}^3
\end{aligned}$$

$$S_{\text{bawah}} = \frac{I}{y}$$

$$\begin{aligned}
 &= \frac{6413,8\text{cm}^4}{17,2\text{cm}} \\
 &= 372,92\text{ cm}^3 > S_{\text{perlu}} = 126,56\text{ cm}^3
 \end{aligned}$$

4.2.3.1. Perhitungan Beban Berjalan Diatas Rusuk

(1) Beban Hidup

Pada perhitungan sebelumnya didapat nilai $\frac{B}{a} = 1,25$

Berdasarkan Gambar 6.8 pada buku “*Design of Modern Steel Highway Bridges*” C.P. Heins & D.A Firmage,

didapatkan $\frac{R_o}{P_1} = 0,78$

Maka untuk beban roda depan truk sebesar 25 kN (5 kip)

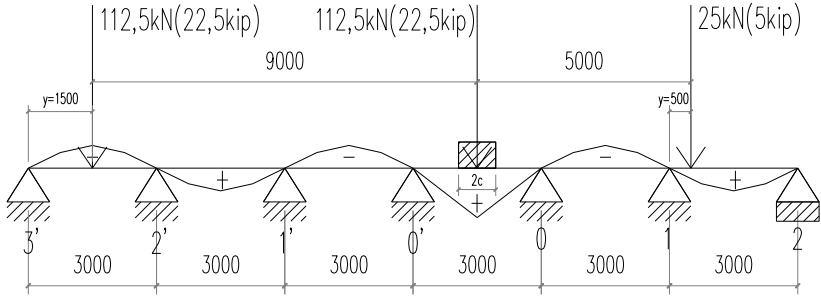
$$\begin{aligned}
 R_0 &= \frac{R_o}{P_1} \cdot P_1 \\
 &= 0,78 \cdot 1,3 \cdot 5\text{ kip} \\
 &= 5,07\text{ kip} \\
 &= 25,35\text{ kN}
 \end{aligned}$$

Untuk roda belakang dengan beban sebesar 112,5 kN (22,5 kip)

$$\begin{aligned}
 R_0 &= \frac{R_o}{P_1} \cdot P_1 \\
 &= 0,78 \cdot 1,3 \cdot 22,5\text{ kip} \\
 &= 22,815\text{ kip} \\
 &= 114,08\text{ kN}
 \end{aligned}$$

(2) Momen di Tengah Bentang Rusuk (Mc) Akibat Beban Hidup

Berikut pembebanan truk untuk menghitung momen rusuk pada tengah bentang dapat dilihat pada Gambar 4.13.



Gambar 4.13 Pembebanan truk pada rusuk di tengah bentang (dalam mm)

- 1) Momen $M_{c0-0'}$ akibat beban roda belakang (22,5 kip)

$$M_{c0-0'} = 2R_0cl \left[0,1708 - 0,25 \left(\frac{c}{l} \right) + 0,1075 \left(\frac{c}{l} \right)^2 \right]$$

Dimana :

$$R_0 = 22,815 \text{ kip (114,08 kN)}$$

$$c = 0,5 \text{ ft (152,4 mm) (C.P Heins \& D.A Firmage 6.3.4)}$$

$$l = 3 \text{ m} = 9,84 \text{ ft}$$

$$M_{c0-0'} = 2 \cdot 22,815 \text{ kip} \cdot 0,5 \cdot 9,84 \text{ ft}$$

$$\left[0,1708 - 0,25 \left(\frac{0,5}{9,84} \right) + 0,1075 \left(\frac{0,5}{9,84} \right)^2 \right]$$

$$= 35,555 \text{ kip-ft}$$

$$= 48,21 \text{ kN-m}$$

- 2) Momen M_{c1-2} akibat beban roda depan (5 kip)

$$\left[\frac{M_c}{Pl} \right]_m = \left[-0,183 \frac{y}{l} + 0,317 \left(\frac{y}{l} \right)^2 - 0,134 \left(\frac{y}{l} \right)^3 \right] (-0,268)^m$$

$$M_{c1-2} = R_0 \cdot l \left[-0,183 \frac{y}{l} + 0,317 \left(\frac{y}{l} \right)^2 - 0,134 \left(\frac{y}{l} \right)^3 \right] (-0,268)^m$$

Dimana :

$$R_0 = 5,07 \text{ kip (25,35 kN)}$$

$$l = 9,84 \text{ ft (3 m)}$$

$$y = 0,5 \text{ m}$$

$$= 1,64 \text{ ft}$$

$$M_{c1-2} = 5,07 \text{ kip} \cdot 9,84 \text{ ft.}$$

$$\left[-0,183 \frac{1,64}{9,84} + 0,317 \left(\frac{1,64}{9,84} \right)^2 - 0,134 \left(\frac{1,64}{9,84} \right)^3 \right] (-0,268)^0$$

$$= -1,113 \text{ kip-ft}$$

$$= -1,51 \text{ kN-m}$$

3) Momen $M_{c2-3'}$ akibat beban roda belakang (22,5 kip)

$$\left[\frac{M_c}{Pl} \right]_m = \left[-0,183 \frac{y}{l} + 0,317 \left(\frac{y}{l} \right)^2 - 0,134 \left(\frac{y}{l} \right)^3 \right] (-0,268)^m$$

(6.16b)

$$M_{c2-3'} =$$

$$R_0 \cdot l \left[-0,183 \frac{y}{l} + 0,317 \left(\frac{y}{l} \right)^2 - 0,134 \left(\frac{y}{l} \right)^3 \right] (-0,268)^m$$

Dimana :

$$R_0 = 22,815 \text{ kip}$$

$$l = 9,84 \text{ ft}$$

$$y = 1,5 \text{ m}$$

$$= 4,92 \text{ ft}$$

$$M_{c2-3'} = 22,815 \text{ kip} \cdot 9,84 \text{ ft.}$$

$$\left[-0,183 \frac{4,92}{9,84} + 0,317 \left(\frac{4,92}{9,84} \right)^2 - 0,134 \left(\frac{4,92}{9,84} \right)^3 \right] (-0,268)^1$$

$$= 1,745 \text{ kip-ft} = 2,37 \text{ kN-m}$$

Total momen pada tengah bentang :

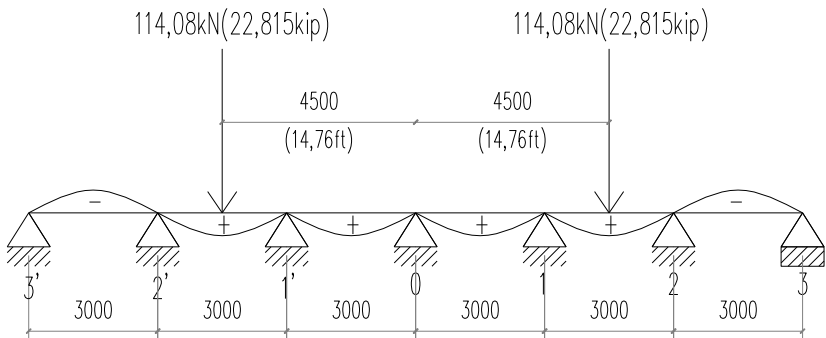
Mc dengan memperhitungkan beban roda depan 5 kip

$$\begin{aligned} Mc &= (35,555 - 1,113 + 1,745) \text{ kip-ft} \\ &= 36,187 \text{ kip-ft} \\ &= 49,07 \text{ kNm} \end{aligned}$$

Mc tanpa memperhitungkan beban roda depan 5 kip

$$\begin{aligned} Mc &= (35,555 + 1,745) \text{ kip-ft} \\ &= 37,3 \text{ kip-ft (menentukan)} \\ &= 50,579 \text{ kNm} \\ &= 505790 \text{ kgcm} \end{aligned}$$

- (3) Momen Perletakan pada Rusuk (Ms) Akibat Beban Hidup
Untuk memperoleh momen terbesar, maka diatur perletakan pembebanan dengan roda belakang truk. Berikut ilustrasi pembebanan untuk menghitung momen rusuk, lihat Gambar 4.14.



Gambar 4.14 Beban truk pada rusuk di tumpuan
(satuan dalam mm)

$$\left[\frac{M_s}{Pl} \right] = \left[-0,5 \frac{y}{l} + 0,866 \left(\frac{y}{l} \right)^2 - 0,366 \left(\frac{y}{l} \right)^3 \right] (-0,268)^m$$

$$M_s = R_0 l \left[-0,5 \frac{y}{l} + 0,866 \left(\frac{y}{l} \right)^2 - 0,366 \left(\frac{y}{l} \right)^3 \right] (-0,268)^m$$

Dimana :

$$R_0 = 22,815 \text{ kip (114,08 kN)}$$

$$l = 9,84 \text{ ft (300 m)}$$

$$y = 14,76 \text{ ft (4500 mm)}$$

Untuk beban pada bentang 0-2 dan 0-2', nilai $(-0,268)^m$ dianggap = 1 (C.P Heins & A.H Firmage Design Example 6.1)

$$M_{s-y_1} = 22,815 \text{ kip} \cdot 9,84 \text{ ft}$$

$$\left[-0,5 \frac{14,76}{9,84} + 0,866 \left(\frac{14,76}{9,84} \right)^2 - 0,366 \left(\frac{14,76}{9,84} \right)^3 \right]$$

$$= -8,28 \text{ kip-ft}$$

$$= -11,23 \text{ kN.mm}$$

$$M_s = 2 \cdot (-8,28) \text{ kip-ft}$$

$$= -16,56 \text{ kip-ft}$$

$$= -22,46 \text{ kN.mm}$$

- (4) Tegangan Lendutan yang Terjadi pada Rusuk Akibat Momen Lendutan oleh Beban Hidup Kendaraan.

$$\sigma_{\text{atas}} = \frac{M}{S_{\text{atas}}}$$

$$= \frac{505790 \text{ kgcm}}{3561,02 \text{ cm}^3}$$

$$= 142,03 \text{ kg/cm}^2$$

$$\begin{aligned}
 \sigma_{\text{bawah}} &= \frac{M}{S_{\text{bawah}}} \\
 &= \frac{505790 \text{ kgcm}}{372,92 \text{ cm}^3} \\
 &= 1356,3 \text{ kg/cm}^2 < \sigma_{\text{ijin}} = 2500 \text{ kg/cm}^2 \text{ (OK)}
 \end{aligned}$$

Kontrol lendutan rusuk, dengan jarak antar balok melintang 3 m

$$W = \frac{1}{48} \cdot \frac{pa^3}{EI} \leq \frac{a}{300}$$

Dimana :

W = lendutan maksimum dari pelat lantai kendaraan di bawah beban roda.

p = beban roda per satuan luas
 $= (11250 + 30\% \cdot 11250) \text{ kg}$
 $= 14625 \text{ kg}$

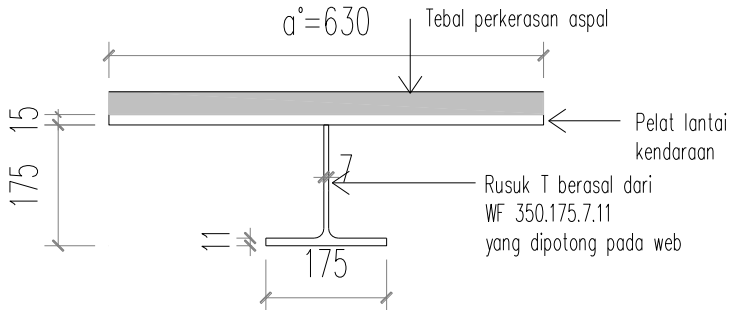
a = jarak antar balok melintang
 $= 3 \text{ m}$
 $= 300 \text{ cm}$

E = $2,1 \cdot 10^6 \text{ kg/cm}^2$

I = momen inersia rusuk
 $= 6413,8 \text{ cm}^4$

$$\begin{aligned}
 W &= \frac{1}{48} \cdot \frac{14625 \cdot 300^3}{2,1 \cdot 10^6 \cdot 6413,8} \leq \frac{300}{300} \\
 &= 0,611 \text{ cm} < 1,0 \text{ cm} \dots \text{OK}
 \end{aligned}$$

- (5) Momen Luntur pada Rusuk Akibat Beban Mati
 Berikut ilustrasi beban yang dipikul untuk satu rusuk, lihat Gambar 4.15



Gambar 4.15 Beban mati yang dipikul satu rusuk
(satuan dalam mm)

1. Perkerasan aspal 8 cm
 $= 0,08\text{m} \cdot 0,4\text{m} \cdot 1.2240 \text{ kg/m}^3$
 $= 71,68 \text{ kg/m}$
2. Pelat lantai 1,5 cm
 $= 0,015\text{m} \cdot 0,4\text{m} \cdot 1.7850 \text{ kg/m}^3$
 $= 47,1 \text{ kg/m}$
3. Rusuk,
 $= 31,57 \cdot 10^{-2} \cdot 7850$
 $= 24,78 \text{ kg/m}$

Beban mati total untuk satu rusuk dengan jarak antar rusuk 40 cm didapat :

$$= (71,68 + 47,1 + 24,78)\text{kg/m}$$

$$= 143,56 \text{ kg/m}$$

Momen yang terjadi pada tengah bentang dan pada perletakan adalah sebagai berikut :

$$M_t = -(1/12) \cdot q \cdot l^2$$

$$= -(1/12) \cdot 143,56 \text{ kg/m} \cdot (3 \text{ m})^2$$

$$= -107,67 \text{ kgm}$$

$$M_l = (1/24) \cdot q \cdot l^2$$

$$= (1/24) \cdot 143,56 \text{ kg/m} \cdot (3 \text{ m})^2$$

$$= 53,84 \text{ kgm}$$

4.2.3.2. Kontrol Kelangsingan Rusuk

Kontrol kelangsingan rusuk menurut buku “*Design of Modern Steel Highway Bridges*” C.P. Heins & D.A Firmage 6.4.7 Maximum Slenderness of Longitudinal Bibs. AASHTO 1.7.144 dapat dihitung menurut persamaan berikut.

$$\left(\frac{L}{r}\right) = 1000 \sqrt{\frac{1500}{f_y} - \frac{2700F}{f_y^2}}$$

Dimana :

L = jarak antar balok melintang (3 m = 118,11 in)

r = jari-jari girasi rusuk, termasuk lebar efektif dari pelat dek.

F = *maximum compressive stress* pada pelat dek yang berlaku sebagai sayap atas (psi).

f_y = tegangan leleh material rusuk BJ 41 (psi).

$$\begin{aligned} r &= \sqrt{\frac{I}{A}} \\ &= \sqrt{\frac{6413,8\text{cm}^4}{31,57\text{cm}^2}} \\ &= 14,25 \text{ cm} \\ &= 5,61 \text{ in} \end{aligned}$$

$$\begin{aligned} \left(\frac{L}{r}\right) &= \frac{118,11\text{in}}{5,61\text{in}} \\ &= 21,05 \end{aligned}$$

$$\left(\frac{L}{r}\right) = 1000 \sqrt{\frac{1500}{f_y} - \frac{2700F}{f_y^2}}$$

$$\begin{aligned} F &= \sigma_{\text{atas}} \\ &= 165,69 \text{ kg/cm}^2 \\ &= 23,56 \text{ psi} \end{aligned}$$

$$\begin{aligned}
 f_y &= 250 \text{ Mpa} \\
 &= 36259,44 \text{ psi}
 \end{aligned}$$

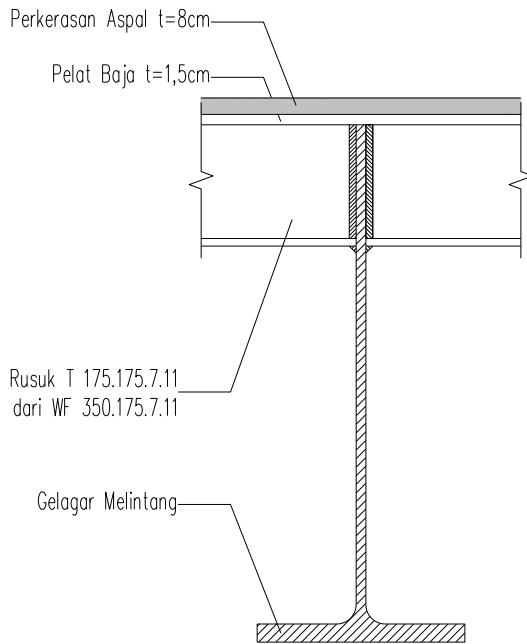
$$\begin{aligned}
 \left(\frac{L}{r} \right) &= 1000 \sqrt{\frac{1500}{36259,43} - \frac{2700 \cdot 23,56}{36259,43^2}} \\
 21,05 &= 203,274 \\
 21,05 &< 203,274 \dots (\text{OK})
 \end{aligned}$$

4.2.3.3. Sambungan Rusuk terhadap Gelagar Melintang

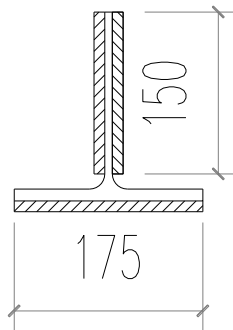
Sambungan rusuk terhadap gelagar melintang didesain berupa sambungan sederhana (simple connection). Pada desain ini diasumsikan sambungan menerima beban V_u , pada baut menerima beban V_u dan M_u , namun nilai momen biasanya kecil sehingga diabaikan.

$$\begin{aligned}
 V_u &= q_{\text{beban mati}} \cdot 0,5 \cdot 3 \text{ m} + P \\
 &= 143,56 \text{ kg/m} \cdot 0,5 \cdot 3 \text{ m} + 14625 \text{ kg} \\
 &= 14840,34 \text{ kg}
 \end{aligned}$$

Berikut ilustrasi sambungan pada gelagar melintang dapat dilihat pada Gambar 4.16, dan Gambar 4.17.



Gambar 4.16 Sambungan rusuk terhadap gelagar melintang



Gambar 4.17 Sambungan las pada rusuk
(satuan dalam mm)

Dari perhitungan sebelumnya didapat nilai gaya sebagai berikut :

$$\begin{aligned} V_u &= 14840,34 \text{ kg} \\ M_u &= 22,46 \text{ kNm} \\ &= 224700 \text{ kgcm} \end{aligned}$$

$$\begin{aligned} S_x &= 3561,02 \text{ cm}^3 \\ t_e &= 1 \text{ cm} \\ A &= (15 \text{ cm} \cdot 1 \text{ cm} \cdot 2) + (17,5 \text{ cm} \cdot 1 \text{ cm}) \\ &= 47,5 \text{ cm}^2 \end{aligned}$$

Akibat V_u :

$$\begin{aligned} f_v &= \frac{V_u}{A} \\ &= \frac{14840,34 \text{ kg}}{47,5 \text{ cm}^2} \\ &= 312,43 \text{ kg/cm}^2 \end{aligned}$$

Akibat M_u :

$$\begin{aligned} f_h &= \frac{M_u}{S_x} \\ &= \frac{224700 \text{ kgcm}}{3561,02 \text{ cm}^3} \\ &= 63,1 \text{ kg/cm}^2 \\ f_{\text{total}} &= \sqrt{f_h^2 + f_v^2} \\ &= \sqrt{63,1^2 + 312,43^2} \\ &= 318,74 \text{ kg/cm}^2 \end{aligned}$$

$$\begin{aligned} \phi f_n &= \phi \cdot 0,6 \cdot E70 \\ &= 0,75 \cdot 0,6 \cdot 70 \cdot 70,3 \text{ kg/cm}^2 \\ &= 2214,45 \text{ kg/cm}^2 \end{aligned}$$

$$\begin{aligned}
 t_{e\text{-perlu}} &= \frac{f_{\text{total}}}{\phi f_n} \cdot 1 \text{ cm} \\
 &= \frac{318,74}{323,4} \cdot 1 \text{ cm} \\
 &= 0,14 \text{ cm} \\
 a &= \frac{t_e}{0,707} \\
 &= 0,2 \text{ cm} \approx \text{dipakai } a_{\text{min}} = 5 \text{ mm}
 \end{aligned}$$

4.2.3.4. Sambungan Pelat Kendaraan dengan Rusuk

Pada pertemuan antar segmen lantai kendaraan rusuk disambung menggunakan sambungan balok.

$$\begin{aligned}
 M_u &= 316406,25 \text{ kgcm} \\
 &= 3164,06 \text{ kgm} \\
 P_u &= V_u - q_{\text{bebanmati}} \cdot 0,5 \cdot L \\
 &= 14840,34 - 143,56 \cdot 0,5 \cdot 3 \\
 &= 14625 \text{ kg}
 \end{aligned}$$

Pembagian momen :

$$\begin{aligned}
 M_{u\text{-badan}} &= \frac{I_{bd}}{I_{prop}} \cdot M_u \\
 &= \frac{1}{12} (0,7)(13)^3 \\
 &= \frac{12}{809,33} \cdot 316406,25 \\
 &= 50072,17 \text{ kgcm} \\
 &= 5007217 \text{ Nmm}
 \end{aligned}$$

$$\begin{aligned}
 M_{u\text{-sayap}} &= M_u - M_{u\text{-badan}} \\
 &= (316406,25 - 50072,17) \text{ kgcm} \\
 &= 266334,08 \text{ kgcm} \\
 &= 26633408 \text{ Nmm}
 \end{aligned}$$

1. Sambungan pelat sayap bawah

Direncanakan baut $\varnothing 19$

$$f_u^b = 410 \text{ Mpa}$$

$$A_b = 283,53 \text{ mm}^2$$

Lubang perlemahan (d_p)

$$d_p = 19 \text{ mm} + 1,5 \text{ mm}$$

$$= 20,5 \text{ mm}$$

Pelat penyambung

$$t_p = 11 \text{ mm}$$

BJ41

$$f_u = 410 \text{ Mpa}$$

$$f_y = 250 \text{ Mpa}$$

Syarat jarak antar baut

$$3d_b \leq S \leq 15 \cdot t_p \text{ atau } 200 \text{ mm}$$

$$3 (19 \text{ mm}) \leq S \leq 15 (11 \text{ mm})$$

$$57 \text{ mm} \leq S \leq 165 \text{ mm}$$

Dipakai nilai $S = 100 \text{ mm}$ Syarat jarak baut ke tepi pelat

$$1,5d_b \leq S \leq 12 \cdot t_p \text{ atau } 150 \text{ mm}$$

$$1,5(19 \text{ mm}) \leq S \leq 12 (11 \text{ mm})$$

$$18 \text{ mm} \leq S \leq 132 \text{ mm}$$

Dipakai nilai $S = 30 \text{ mm}$

Kuat nominal satu (1) baut

a. Kuat geser (V_d)

$$r_1 = 0,5 \text{ (tanpa ulir pada bidang geser)}$$

$$m = 1 \text{ (dua bidang geser)}$$

$$\varnothing V_n = \varnothing \cdot r_1 \cdot f_u^b \cdot A_b \cdot m$$

$$= 0,75 \cdot 0,5 \cdot 410 \cdot 283,53 \cdot 1$$

$$= 43592,54 \text{ N (menentukan)}$$

b. Kuat tumpu (R_d)

$$\begin{aligned}\phi R_n &= \phi \cdot 2,4d_b \cdot t_p \cdot f_u \\ &= 0,75 \cdot 2,4 \cdot 19 \cdot 11 \cdot 410 \\ &= 154242 \text{ N}\end{aligned}$$

Dipakai nilai kuat nominal satu (1) baut

$$\phi V_n = 43592,54 \text{ N}$$

Momen sayap

$$M_u = 26633408 \text{ Nmm}$$

$$\begin{aligned}T_u &= \frac{M_u}{h} \\ &= \frac{26633408}{130} \\ &= 204872,37 \text{ N}\end{aligned}$$

Jumlah baut yang diperlukan

$$\begin{aligned}n &= \frac{T_u}{\phi V_n} \\ &= \frac{204872,37}{43592,54} \\ &= 4,7 \text{ buah} \approx 6 \text{ buah}\end{aligned}$$

2. Sambungan pelat badan

Direncanakan baut $\phi 19$

$$f_u^b = 410 \text{ Mpa}$$

$$A_b = 283,53 \text{ mm}^2$$

Lubang perlemahan (d_p)

$$\begin{aligned}d_p &= 19 \text{ mm} + 1,5 \text{ mm} \\ &= 20,5 \text{ mm}\end{aligned}$$

Dua (2) deret, $\mu = 100 \text{ mm}$

Pelat penyambung

$$t_p = 7 \text{ mm}$$

BJ41

$$f_u = 410 \text{ Mpa} \quad f_y = 250 \text{ Mpa}$$

Syarat jarak antar baut

$3d_b$	\leq	S	$\leq 15 \cdot t_p$ atau 200 mm
3 (19 mm)	\leq	S	≤ 15 (7 mm)
57 mm	\leq	S	≤ 105 mm

Dipakai nilai S = 70 mm

Syarat jarak baut ke tepi pelat

$1,5d_b$	\leq	S	$\leq 12 \cdot t_p$ atau 150 mm
1,5(19 mm)	\leq	S	≤ 12 (11 mm)
18 mm	\leq	S	≤ 132 mm

Dipakai nilai S = 30 mm

Kuat nominal satu (1) baut

a. Kuat geser (V_d)

$$\begin{aligned} r_1 &= 0,5 \text{ (tanpa ulir pada bidang geser)} \\ m &= 2 \text{ (dua bidang geser)} \\ \emptyset V_n &= \emptyset \cdot r_1 \cdot f_u^b \cdot A_b \cdot m \\ &= 0,75 \cdot 0,5 \cdot 410 \cdot 283,53 \cdot 2 \\ &= 87185,09 \text{ N (menentukan)} \end{aligned}$$

b. Kuat tumpu (R_d)

$$\begin{aligned} \emptyset R_n &= \emptyset \cdot 2,4d_b \cdot t_p \cdot f_u \\ &= 0,75 \cdot 2,4 \cdot 19 \cdot 7 \cdot 410 \\ &= 98154 \text{ N} \end{aligned}$$

Dipakai nilai kuat nominal satu (1) baut

$$\emptyset V_n = 87185,09 \text{ N}$$

Momen yang bekerja pada titik berat sambungan badan

$$\begin{aligned} M_{u_{tot}} &= M_{u_{badan}} + P_u \cdot e \\ &= 769,20 + 14625 \cdot 0,007 \\ &= 871,58 \text{ kgm} \\ &= 871580 \text{ Nmm} \end{aligned}$$

Jumlah baut yang diperlukan

$$n = \sqrt{\frac{6M_{\text{tot}}}{\mu \cdot (R_u \cdot P_o)}}$$

Dimana :

N = jumlah baut

M_{tot} = Momen total

μ = Jarak verikal baut
= 100 mm

P_o = Kapasitas baut

Selain beban momen, sambungan memikul beban P_o , maka R_u direduksi 0,7.

Susunan baut direncanakan lebih dari satu (1) deret, maka R_u dinaikkan 1,2

(Modul Struktur Baja I – Sambungan Baut)

$$n = \sqrt{\frac{6.871580}{100 \cdot (0,7 \cdot 1,2 \cdot 2.87185,09)}} \\ = 0,85 \text{ buah} \approx 4 \text{ buah}$$

Akibat P_u

$$K_{uv1} = \frac{P_u}{n} = \frac{14625}{4} \\ = 3656,25 \text{ kg} \\ = 36562,5 \text{ N}$$

Akibat M_u

$$\Sigma(x^2 + y^2) = 4 \cdot (52) + 4 \cdot (52) \\ = 200 \text{ cm}^2$$

$$K_{uv2} = \frac{M_{UT} \cdot x}{\Sigma(x^2 + y^2)} = \frac{871580.4}{200} \\ = 174,32 \text{ N}$$

$$K_{uh} = \frac{M_{UT} \cdot y}{\sum (x^2 + y^2)} = \frac{871580.4}{200}$$

$$= 174,32 \text{ N}$$

$$K_{utot} = \sqrt{(\sum K_{uv})^2 + (\sum K_{uh})^2}$$

$$= \sqrt{(36562,5 + 174,32)^2 + (174,32)^2}$$

$$= 36737,23 \text{ N} < \emptyset Vd = 87185,09 \text{ N}$$

Cek kemampuan penampang setelah ada sambungan baut berdasarkan kuat putus :

$$A_n = A_s - (n_{\text{baris-baut}} \cdot t \cdot d_p)$$

$$= 3157 \text{ mm}^2 - ((2.11 + 2.7) \cdot 20,5) \text{ mm}^2$$

$$= 2419 \text{ mm}^2$$

$$\emptyset N_n = \emptyset \cdot f_u \cdot A_e$$

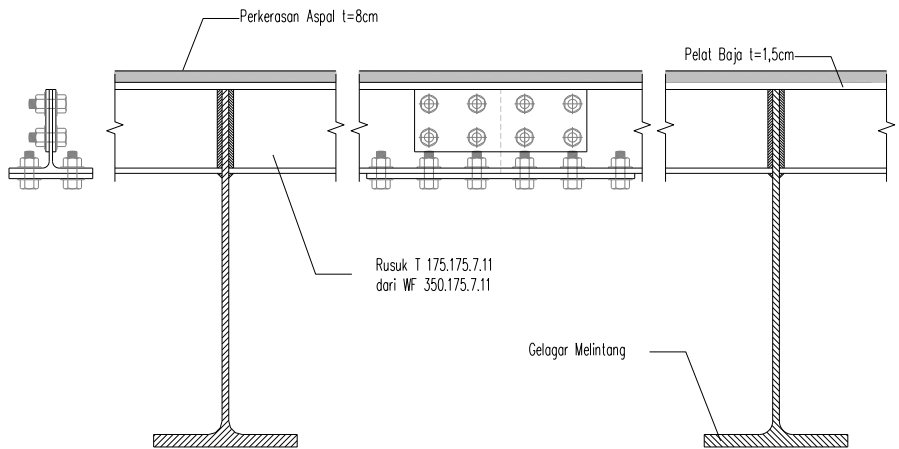
$$= 0,75 \cdot 410 \text{ N/mm}^2 \cdot 2419 \text{ mm}^2$$

$$= 159657,4 \text{ N}$$

$$\emptyset N_n > N_u \dots (\text{OK})$$

$$159657,4 \text{ N} > 93297,39 \text{ N}$$

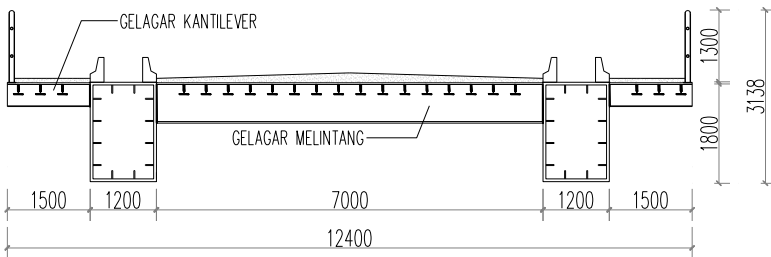
Berikut ilustrasi sambungan pelat dengan rusuk dapat dilihat pada Gambar 4.18.



Gambar 4.18 Sambungan balok pada rusuk
(dalam mm)

4.3. Gelagar Melintang & Gelagar Kantilever

Di bab ini akan membahas gelagar yang akan direncanakan yaitu gelagar melintang dan gelagar melintang. Gelagar melintang sendiri akan menyalurkan beban yang bekerja pada rusuk, lantai kendaraan dan beban lain ke struktur utama yaitu *box girder*. Untuk gelagar melintang akan menerima beban dari rusuk, lantai kendaraan yang berupa beban hidup pejalan kaki dan beban lainnya. Berikut ilustrasi potongan melintang pada Gambar 4.19



Gambar 4.19 Gelagar melintang dan gelagar kantilever (dalam milimeter)

4.3.1. Gelagar Melintang

Dari hasil preliminary desain didapat data perencanaan profil untuk gelagar melintang WF 800.300.14.26 diganti dengan profil T 700.300.15.28

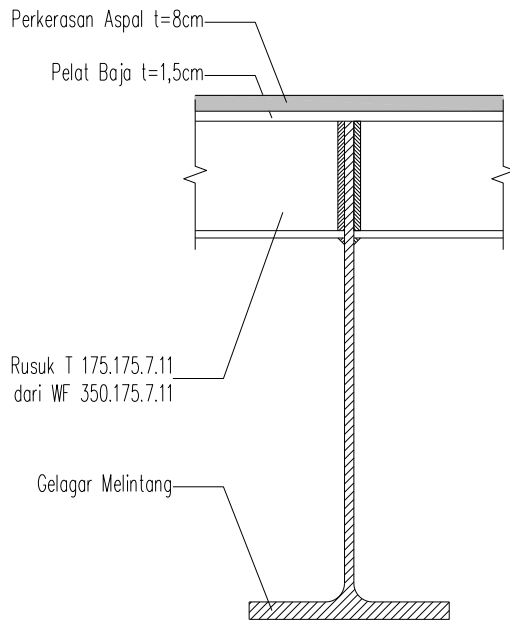
d	$= 700 \text{ mm}$	t_w	$= 15 \text{ mm}$
b_f	$= 300 \text{ mm}$	t_f	$= 28 \text{ mm}$
A	$= 606,8 \text{ cm}^2$	w	$= 476,36 \text{ kg/m}$
I_x	$= 337384 \text{ cm}^4$	i_x	$= 23,5798 \text{ cm}$
I_y	$= 3376886 \text{ cm}^4$	i_y	$= 74,5994 \text{ cm}$
S_x	$= 7423 \text{ cm}^3$	Z_x	$= 5753117 \text{ mm}^3$
S_y	$= 34067,8 \text{ cm}^3$	Z_y	$= 22512570 \text{ mm}^3$
E_s	$= 2 \cdot 10^5 \text{ MPa}$		

sifat mekanis baja struktural

BJ = 41

$F_u = 410 \text{ MPa}$ $F_y = 250 \text{ MPa}$

Berikut ini merupakan potongan gelagar melintang dapat dilihat pada Gambar 4.20.

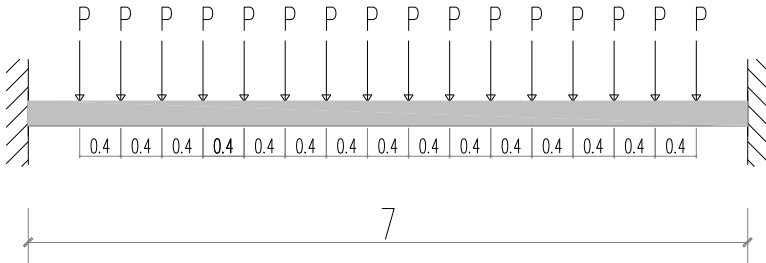


Gambar 4.20 Potongan gelagar melintang (dalam mm)

4.3.1.1. Pembebanan

1) Beban Mati

Berikut ilustrasi beban yang diterima gelagar melintang dapat dilihat pada Gambar 4.21. Pada desain ini sambungan gelagar melintang terhadap gelagar utama diasumsikan sebagai perletakan jepit.



Gambar 4.21 Pembebanan gelagar melintang (dalam m)

a) Berat sendiri profil gelagar melintang

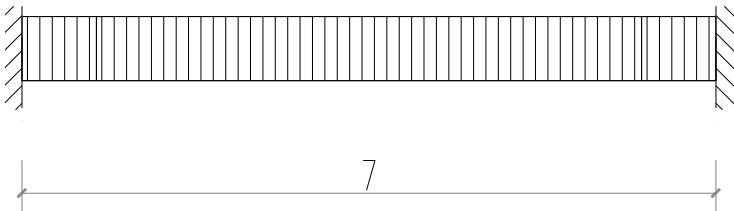
$$\begin{aligned}
 W &= 76,34 \text{ kg/m} \cdot 1,1 \\
 &\text{(faktor beban SNI 1725-2016 pasal 7.2)} \\
 &= 523,97 \text{ kg/m} \\
 &= 5,24 \text{ kN/m} \\
 \text{Faktor beban} &= 1,1
 \end{aligned}$$

b) Beban dari rusuk dan pelat lantai kendaraan

$$\begin{aligned}
 P &= q \cdot 3 \text{ m} \\
 &= 143,56 \text{ kg/m} \cdot 3 \text{ m} \\
 &= 431 \text{ kg} \\
 &= 4,31 \text{ kN} \\
 \text{Faktor beban} &= 2
 \end{aligned}$$

2) Beban Hidup

Beban hidup yang bekerja berupa BTR + BGT, dapat dilihat pada Gambar 4.22 berikut ini :



Gambar 4.22 Beban hidup (BTR+BGT) max pada gelagar melintang (dalam meter)

a) Beban Terbagi Rata (BTR)

Untuk $L \leq 30$ m : $q = 9$ kPa

Untuk $L > 30$ m : $q = 9,0 \left(0,5 + \frac{15}{L} \right)$ kPa

(SNI 1725-2016 pasal 8.3.1)

Karena L pada desain ini = 147 m. maka

$$q = 9,0 \left(0,5 + \frac{15}{147} \right) \text{ kPa}$$

$$= 5,42 \text{ kPa}$$

$$= 5,42 \text{ kN/m}^2$$

$$q = q_{\text{BTR}} \cdot \lambda \text{ (jarak gelagar melintang)}$$

$$= 5,2 \text{ kN/m}^2 \cdot 3\text{m}$$

$$= 16,26 \text{ kN/m}$$

Faktor beban = 2

b) Beban Garis Terpusat (BGT)

Menurut SNI 1725-2016 pasal 6.3.1 besarnya BGT adalah 49 kN/m. Sesuai dengan bentang total 147 maka Faktor Beban Dinamis (FBD) pada Gambar 28 SNI 1725-2016 adalah 30%

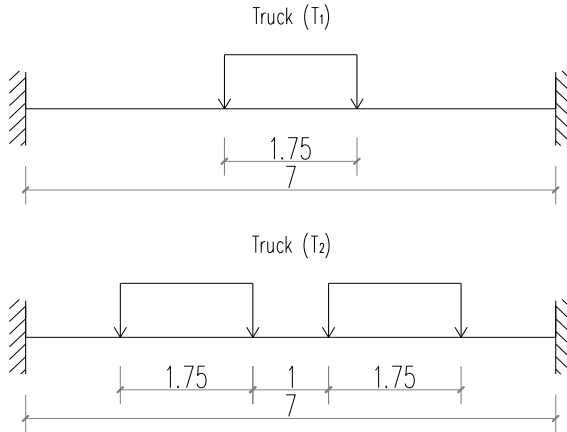
$$P = P_{\text{BGT}} (1 + \text{FBD})$$

$$= 49 \text{ kN/m} (1 + 30\%)$$

$$= 63,7 \text{ kN/m}$$

c) Beban Truk (T)

Beban truk dianalisa sebagai beban berjalan selebar lantai kendaraan, berikut ilustrasi pembebanan dapat dilihat pada Gambar 4.23.



Gambar 4.23 Beban Truk (T₁) dan (T₂) pada gelagar melintang (dalam meter)

Untuk pembebanan truk, FBD harus diambil sebesar 30% (SNI 1725-2016 ps. 8.6)

$$T = 112,5 \text{ kN/m (1+30\%)} \\ = 146,25 \text{ kN/m}$$

$$\text{Faktor beban} = 2$$

3) Beban pelaksanaan

Berdasarkan pada SNI 1725-2016 pasal 10.3 merupakan beban sementara yang mungkin bekerja pada struktur secara menyeluruh atau sebagian selama pelaksanaan. Pada desain ini diasumsikan sebesar 300 kg/m, dengan rincian :

1. Pekerja = 100 kg/m
 2. Peralatan, dll. = 200 kg/m
- Total q_{PL} = 300 kg/m
= 3 kN/m

$$\text{Faktor beban} = 1$$

4) Rekapitulasi beban

Berikut ini merupakan rekapitulasi beban yang akan bekerja di atas gelgar melintang pada Tabel 4.5.

Tabel 4.5 Rekapitulasi pembebanan gelagar melintang

Jenis Beban	Beban	F. Beban	Total
Beban Mati (DL)			
Berat Sendiri	5.24 kN/m	1.1	5.76 kN/m
Berat Rusuk, dll	4.31 kN	2	8.61 kN
Beban Hidup (LL)			
Beban BTR _{100%}	16.26 kN/m	2	32.51 kN/m
Beban BGT _{100%}	63.70 kN/m	1	63.70 kN/m
Beban Truck	146.3 kN/m	2	292.50 kN/m
Beban Pelaksanaan (PLL)			
Beban Pelaksanaan	3 kN/m	1	3.00 kN/m

5) Kombinasi pembebanan

Berdasarkan pada SNI 1725-2016 Tabel 1, untuk mendapatkan pengaruh paling kritis perlu untuk mengkombinasikan beban berdasarkan kondisi ultimit. Berikut dapat dilihat pada Tabel 4.6

Tabel 4.6 Kombinasi pembebanan

Kombinasi	Jenis Beban yang dikombinasikan
Komb. 1	DL + PLL
Komb. 2	DL + LL (BTR+BGT)
Komb. 3	DL + LL(T ₁)
Komb. 4	DL + LL(T ₂)

4.3.1.2. Hasil Analisa Gaya Dalam

Analisa gaya dalam untuk gelagar melintang menggunakan program bantu MIDAS CIVIL V2011. Struktur dimodelkan sebagai balok pada dua tumpuan dengan panjang 7m. Berikut hasil analisa dapat dilihat pada Tabel 4.7.

Tabel 4.7 Hasil analisa struktur dengan MIDAS CIVIL V2011

Load	Shear-z (kN)	Moment-y (kN·m)
DL + PLL	-87.12	-107.37
DL + PLL	87.12	-107.37
DL + LL (BTR+BGT)	-636.31	-748.08
DL + LL (BTR+BGT)	636.31	-748.08
DL + LL (T1)	-369.12	-582.19
DL + LL (T1)	369.12	-582.19
DL + LL (T2)	-651.86	-962
DL + LL (T2)	671.39	-965.95

Dari hasil analisa struktur diatas dapat dilihat bahwa kombinasi 4 lebih menentukan baik pada pengaruh momen maupun gaya geser.

4.3.1.3. Analisa Kapasitas

a. Analisa Kapasitas Gelagar Melintang

Analisa kapasitas pada gelagar dilakukan guna mengetahui kuat lentur, geser, dan lendutan, Direncanakan menggunakan profil T 700.300.15.28.

d	= 700 mm	t _w	= 15 mm
b _f	= 300 mm	t _f	= 28 mm
A	= 606,8 cm ²	w	= 476,36 kg/m
I _x	= 337384 cm ⁴	i _x	= 23,5798 cm
I _y	= 3376886cm ⁴	i _y	= 74,5994 cm
S _x	= 7423 cm ³	Z _x	= 5753117 mm ³
S _y	= 34067,8 cm ³	Z _y	= 22512570 mm ³
E _s	= 2. 10 ⁵ MPa		

sifat mekanis baja struktural

$$BJ = 41$$

$$F_u = 410 \text{ MPa}$$

$$F_y = 250 \text{ MPa}$$

b. Kontrol Analisa Lentur

1) Kontrol Tekuk Lokal (SNI 1729-2015 B4.1)

Sayap

$$\begin{aligned}\lambda &= \frac{b_f}{2t_f} \\ &= \frac{300\text{mm}}{2.28\text{mm}} = 5,36\end{aligned}$$

$$\begin{aligned}\lambda_p &= 0,38 \cdot \sqrt{\frac{E}{F_y}} \\ &= 0,38 \cdot \sqrt{\frac{200000}{250}} = 33,94\end{aligned}$$

Badan

$$\begin{aligned}\lambda &= \frac{h}{t_w} = \frac{d}{t_w} \\ &= \frac{700\text{mm}}{15\text{mm}} \\ &= 46,67\end{aligned}$$

$$\begin{aligned}\lambda_p &= 0,84 \cdot \sqrt{\frac{E}{F_y}} \\ &= 0,84 \cdot \sqrt{\frac{200000}{250}} = 50,91\end{aligned}$$

Karena nilai $\lambda < \lambda_p$, penampang kompak maka kuat lentur nominal penampang (M_n) = $M_p = Z_x \cdot F_y$

$$M_n = Z_x \cdot F_y$$

$$\begin{aligned}
 &= 57653117 \text{ mm}^3 \cdot 250 \text{ N/mm}^2 \\
 &= 143279300 \text{ Nmm} \\
 &= 1437,93 \text{ kNm}
 \end{aligned}$$

2) Kontrol Tekuk Lateral

$$L_b = 400 \text{ mm}$$

$$\begin{aligned}
 L_p &= 1,76 \cdot i_y \sqrt{\frac{E}{F_y}} \\
 &= 1,76 \cdot 745,994 \sqrt{\frac{2 \cdot 10^5}{250}} \\
 &= 37135,82 \text{ mm}
 \end{aligned}$$

Karena $L_b < L_p$ maka termasuk bentang pendek maka kuat nominal komponen struktur terhadap momen lentur harus memenuhi persamaan berikut.

$$M_n = M_p \leq 1,5M_y$$

$$\begin{aligned}
 M_y &= S_x \cdot F_y \\
 &= 7423 \cdot 10^3 \text{ mm}^3 \cdot 250 \text{ N/mm}^2 \\
 &= 1,86 \cdot 10^8 \text{ Nmm} \\
 &= 1855,77 \text{ kNm}
 \end{aligned}$$

$$M_n = 1437,93 \text{ kNm} > 1,5 \cdot M_y = 2783,65 \text{ kNm}$$

Maka yang dipakai adalah $M_n = 1437,93 \text{ kNm}$

3) Kontrol Kapasitas Momen

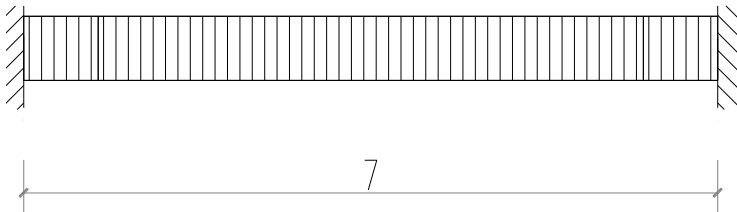
$$\begin{aligned}
 \phi M_n &= 0,9 \cdot 1437,93 \text{ kNm} \\
 &= 1294,45 \text{ kNm} > M_u = 965,95 \text{ kNm} \dots (\text{OK})
 \end{aligned}$$

Maka penampang balok memenuhi kekuatan lentur yang terjadi.

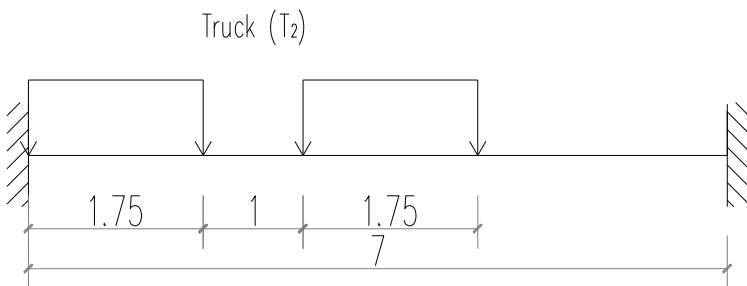
c. Kontrol Kapasitas Geser

Kontrol kapasitas geser direncanakan berdasarkan beban maksimum pada kombinasi dua ($DL + LL(\text{BTR} + \text{BGT})$) dan kombinasi empat ($DL + LL(\text{T}_2)$). Untuk Beban Truk agar mendapatkan gaya geser maksimal pada gelagar

melintang maka beban truk berada ditepi. Untuk lebih jelasnya dapat dilihat pada Gambar 4.24 dan Gambar 4.25.



Gambar 4.24 Beban geser max pada gelagar melintang akibat beban BGT + BTR (dalam meter)



Gambar 4.25 Gaya geser akibat beban Truk (dalam m)

Dari analisa struktur didapat gaya geser, lihat Tabel 4.8 sebagai berikut :

Tabel 4.8 Hasil analisa gaya geser (BTR + BGT)

Load	Shear-z (kN)	Moment-y (kN·m)
DL + LL (T ₂)	-651.86	-962
DL + LL (T ₂)	671.39	-965.95
DL + LL (geser)	-598.14	-836.61
DL + LL (geser)	432.61	-695.99

Berdasarkan SNI 1729-2015 G2.1 (b) untuk badan dari semua profil simetris ganda dan profil simetris tunggal serta kanal lainnya, kecuali *PSB* bundar, koefisien geser badan, C_v , dapat ditentukan dengan persamaan berikut.

(i) Bila $h/t_w \leq 1,10 \cdot \sqrt{k_v \cdot E / F_y}$

$$C_v = 1,0$$

(ii) Bila $1,10 \cdot \sqrt{k_v \cdot E / F_y} < h/t_w < 1,37 \cdot \sqrt{k_v \cdot E / F_y}$

$$C_v = \frac{1,10 \cdot \sqrt{k_v \cdot E / F_y}}{h / t_w}$$

(iii) Bila $h/t_w \geq 1,37 \cdot \sqrt{k_v \cdot E / F_y}$

$$C_v = \frac{1,10 \cdot E}{(h / t_w)^2 \cdot F_y}$$

Dimana :

$$k_v = 1,2 \text{ (untuk profil T)}$$

$$h/t_w = \frac{700}{15} = 46,67$$

$$1,10 \cdot \sqrt{k_v \cdot E / F_y} = 1,10 \cdot \sqrt{1,2 \cdot 20 \cdot 10^5 / 250} = 34,08$$

$$1,37 \cdot \sqrt{k_v \cdot E / F_y} = 1,37 \cdot \sqrt{1,2 \cdot 20 \cdot 10^5 / 250} = 42,45$$

Maka termasuk persamaan (iii)

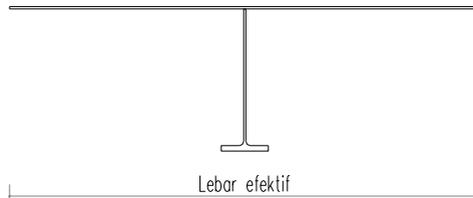
$$1,10 \cdot \sqrt{k_v \cdot E / F_y} < h/t_w < 1,37 \cdot \sqrt{k_v \cdot E / F_y}$$

Dimana C_v didapatkan

$$C_v = \frac{1,10 \cdot E}{(h / t_w)^2 \cdot F_y} = \frac{1,10 \cdot 2 \cdot 10^5}{(46,67)^2 \cdot 250} = 0,6612$$

Maka kuat geser ϕV_n dapat dihitung dengan persamaan berikut.

$$\begin{aligned}\phi V_n &= \phi \cdot 0,6 \cdot F_y \cdot A_w \cdot C_v \\ &= \phi \cdot 0,6 \cdot F_y \cdot (d \cdot t_w) \\ &= 0,9 \cdot 0,6 \cdot 250 \text{ N/mm}^2 \cdot (715 \cdot 15) \text{ mm}^2 \cdot 0,6612 \\ &= 937285,7 \text{ N} \\ &= 937,3 \text{ kN} > V_u = 671,39 \text{ kN} \dots (\text{OK})\end{aligned}$$



Gambar 4.26 Sketsa lebar efektif gelagar melintang

Lebar efektif

$$\begin{aligned}Be_1 &\leq S \\ Be_2 &\leq L/4\end{aligned}$$

Dimana :

S = jarak antar gelagar

L = lebar jembatan

$$\begin{aligned}Be_1 &\leq 300 \text{ cm} \\ Be_2 &\leq 1240 \text{ cm}/4 \\ &\leq 310 \text{ cm}\end{aligned}$$

Maka lebar efektif pelat baja 300 cm

d. Interaksi Geser & Lentur

Apabila seluruh penampang balok diasumsikan menahan momen lentur, maka sesuai dengan RSNI T-03-2005 ps. 7.9.3 gelagar harus didesain mampu untuk menahan kombinasi lentur dan geser dengan persamaan sebagai berikut :

$$\frac{M_u}{\phi M_n} + 0,625 \frac{V_u}{\phi V_n} \leq 1,375$$

$$\frac{965,95}{1294,45} + 0,625 \frac{671,39}{147,9} \leq 1,375$$

$$1,04 < 1,375 \dots (\text{OK})$$

e. Kontrol Lendutan

Lendutan dianalisa berdasarkan kemampuan layan akibat beban hidup. Menurut RSNI T-03-2005 pasal 4.7.2 lendutan maksimum gelagar diatas dua tumpuan adalah $L/800$.

$$\begin{aligned} \text{Lendutan ijin} &= 7\text{m}/800 \\ &= 0,00875 \text{ m} \\ &= 8,75 \text{ mm} \end{aligned}$$

Dari hasil analisa struktur didapat nilai lendutan akibat tiap kombinasi, lihat Tabel 4.9 sebagai berikut :

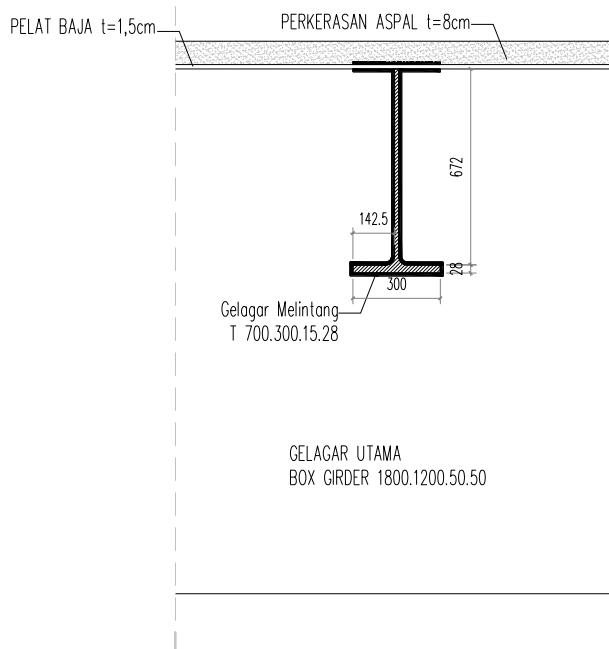
Tabel 4.9 Hasil analisa lendutan gelagar melintang

Load	DX (mm)	DY (mm)	DZ (mm)
DL + PLL	0	0	0
DL + PLL	0	0	0
DL + PLL	0	0	-0.376629
DL + LL (BTR+BGT)	0	0	0
DL + LL (BTR+BGT)	0	0	0
DL + LL (BTR+BGT)	0	0	-2.6148
DL + LL (T1)	0	0	0
DL + LL (T1)	0	0	0
DL + LL (T1)	0	0	-2.334901
DL + LL (T2)	0	0	0
DL + LL (T2)	0	0	0
DL + LL (T2)	0	-0.001335	-3.623985

Dari nilai lendutan yang didapat akibat keempat kombinasi < lendutan ijin, maka profil T 715.300.15.28 dapat dipakai sebagai gelagar melintang.

4.3.1.4. Sambungan Las

Sambungan gelagar melintang terhadap *box girder* berupa sambungan las. Dalam perhitungan sambungan ini akan di hitung kekuatan sambungan las.



Gambar 4.27 Sambungan gelagar melintang ke *box girder*

$$\begin{aligned} V_u &= 671,39 \text{ kN} \\ M_u &= 965,95 \text{ kNm} \\ &= 9659500 \text{ kgcm} \end{aligned}$$

Digunakan mutu las :

$$E70_{xx} = 70 \text{ Kips}$$

Misal $t_e = 1 \text{ cm}$

$$\begin{aligned} A &= (30 \text{ cm. } 1\text{cm. } 2) + (28,5 \text{ cm. } 1\text{cm. } 2) + (67,2\text{cm. } 1\text{cm.} 2) \\ &\quad + (2,8\text{cm. } 1\text{cm. } 2) \\ &= 257 \text{ cm}^2 \end{aligned}$$

Titik berat las

$$2570 \cdot y_a = 285.15 + 285.687 + 300.715 + 2.672.57.5 + 2.28.701$$

$$\begin{aligned} y_a &= 934306\text{mm}^2 / 2570\text{mm} \\ &= 363,54 \text{ mm} \end{aligned}$$

$$\begin{aligned} y_b &= 715 - y_a \\ &= 915 - 363,54 \\ &= 351,46 \text{ mm} \end{aligned}$$

Momen Inersia

$$\begin{aligned} I_x' &= I_x + A \cdot a_y^2 \\ &= ((1/12.30.1^3)+(30.1.36,354^2))+((1/12.28,5.1^3)+ \\ &\quad (28,5.1.34,854^2))+((1/12.28,5.1^3)+(28,5.1.32,346^2))+ \\ &\quad ((1/12.30.1^3)+(30.1.35,146^2))+2.((1/12.1.67,2^3)+ \\ &\quad (1.67,2.0,604^3))+2.((1/12.1.2,8^3)+(1.2,8.33,746^3)) \\ &= 406972,7 \text{ cm}^4 \end{aligned}$$

Modulus penampang las

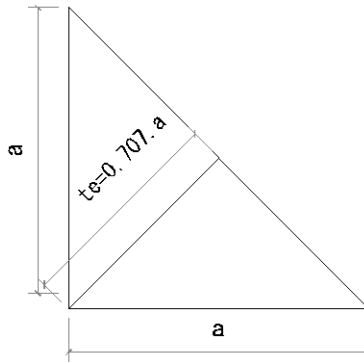
$$\begin{aligned} S_x &= I_x' / y_b \\ &= \frac{406972,7\text{cm}^4}{35,146\text{cm}} \\ &= 11579,59 \text{ kg/cm}^3 \end{aligned}$$

Akibat V_u :

$$\begin{aligned} f_v &= \frac{V_u}{A} \\ &= \frac{671,39100\text{kg}}{257 \text{ cm}^2} \\ &= 261,24 \text{ kg/cm}^2 \end{aligned}$$

Akibat M_u :

$$\begin{aligned}
 f_h &= \frac{M_u}{S_x} \\
 &= \frac{9659500 \text{ kgcm}}{11579,59 \text{ cm}^3} \\
 &= 834,18 \text{ kg/cm}^2 \\
 f_{\text{total}} &= \sqrt{f_h^2 + f_v^2} \\
 &= \sqrt{834,18^2 + 261,24^2} \\
 &= 874,13 \text{ kg/cm}^2
 \end{aligned}$$



Gambar 4.28 Tebal efektif las sudut

$$\begin{aligned}
 \phi f_n &= \phi \cdot 0,6 \cdot E70xx \\
 &= 0,75 \cdot 0,6 \cdot 70 \cdot 70,3 \text{ kg/cm}^2 \\
 &= 2214,45 \text{ kg/cm}^2
 \end{aligned}$$

$$\begin{aligned}
 t_{e\text{-perlu}} &= \frac{f_{\text{total}}}{\phi f_n} \cdot 1 \text{ cm} \\
 &= \frac{874,13}{2214,45} \cdot 1 \text{ cm}
 \end{aligned}$$

$$= 0,39\text{cm}$$

$$a = \frac{t_e}{0,707}$$

$$= 0,56 \text{ cm}$$

SNI 1729-2015 pasal J2b

- Untuk tebal las minimum (a_{\min}):

$$13 \text{ mm} < t_{\text{profil}} \leq 19 \text{ mm}$$

$$a_{\min} = 6 \text{ mm}$$

- Untuk tebal las maksimum (a_{\max}):

$$t_{\text{profil}} > 6 \text{ mm}$$

$$a_{\max} = t_{\text{profil}} - 2 \text{ mm}$$

$$a_{\max} = 13 \text{ mm}$$

dipakai $a = 6 \text{ cm}$ dengan tebal efektif $t_e = 4,3 \text{ mm}$

4.3.1.5. Sambungan Baut

Sambungan baut dilakukan pada gelagar melintang dengan gelagar melintang pada jarak 110 cm dari tumpuan. Maka pada gelagar melintang diputus pada jarak tersebut untuk mempermudah proses pelaksanaan.

$$P_u = 67139 \text{ kg}$$

$$M_u = 2539300 \text{ kg.cm (pada jarak 110cm dari tumpuan)}$$

Pembagian momen

$$M_{u\text{-badan}} = \frac{I_{bd}}{I_{prop}} \cdot M_u$$

$$= \frac{1}{12} (1,5)(67,2)^3$$

$$= \frac{1}{337384,3} \cdot 2539300$$

$$= 285500,57 \text{ kgcm}$$

$$= 28550057 \text{ Nmm}$$

$$\begin{aligned}
 M_{u-\text{sayap}} &= M_u - M_{u-\text{badan}} \\
 &= (2539300 - 285500,57) \text{ kgcm} \\
 &= 2253799,43 \text{ kgcm} \\
 &= 225379943 \text{ Nmm}
 \end{aligned}$$

1. Sambungan pelat sayap bawah

Direncanakan baut $\varnothing 24$

$$f_u^b = 410 \text{ Mpa}$$

$$A_b = 452,39 \text{ mm}^2$$

Lubang perlemahan (d_p)

$$d_p = 24 \text{ mm} + 1,5 \text{ mm}$$

$$= 25,5 \text{ mm}$$

Pelat penyambung

$$t_p = 28 \text{ mm}$$

BJ41

$$F_u = 410 \text{ Mpa}$$

$$F_y = 250 \text{ Mpa}$$

Syarat jarak antar baut

$$3d_b \leq S \leq 15 \cdot t_p \text{ atau } 200 \text{ mm}$$

$$3 (24 \text{ mm}) \leq S \leq 15 (28 \text{ mm})$$

$$72 \text{ mm} \leq S \leq 420 \text{ mm}$$

Dipakai nilai $S = 100 \text{ mm}$

Syarat jarak baut ke tepi pelat

$$1,5d_b \leq S \leq 12 \cdot t_p \text{ atau } 150 \text{ mm}$$

$$1,5(24 \text{ mm}) \leq S \leq 12 (34 \text{ mm})$$

$$36 \text{ mm} \leq S \leq 408 \text{ mm}$$

Dipakai nilai $S = 50 \text{ mm}$

Kuat nominal satu (1) baut

a. Kuat geser (V_d)

$$r_1 = 0,5 \text{ (tanpa ulir pada bidang geser)}$$

$$m = 1 \text{ (dua bidang geser)}$$

$$\varnothing V_n = \varnothing \cdot r_1 \cdot f_u^b \cdot A_b \cdot m$$

$$= 0,75 \cdot 0,5 \cdot 410 \cdot 452,39 \cdot 1$$

$$= 69554,86 \text{ N (menentukan)}$$

b. Kuat tumpu (R_d)

$$\phi R_n = \phi \cdot 2,4d_b \cdot t_p \cdot f_u$$

$$= 0,75 \cdot 2,4 \cdot 24 \cdot 28 \cdot 410$$

$$= 495936 \text{ N}$$

Dipakai nilai kuat nominal satu (1) baut

$$\phi V_n = 69554,86 \text{ N}$$

Momen sayap

$$M_u = 225379943 \text{ Nmm}$$

$$T_u = \frac{M_u}{h}$$

$$= \frac{225379943}{672}$$

$$= 335386,82 \text{ N}$$

Jumlah baut yang diperlukan

$$n = \frac{T_u}{\phi V_n}$$

$$= \frac{335386,82}{69554,86}$$

$$= 4,82 \text{ buah} \approx 6 \text{ buah}$$

2. Sambungan pelat badan

Direncanakan baut $\phi 24$

$$f_u^b = 410 \text{ Mpa}$$

$$A_b = 452,39 \text{ mm}^2$$

Lubang perlemahan (d_p)

$$d_p = 24 \text{ mm} + 1,5 \text{ mm}$$

$$= 25,5 \text{ mm}$$

Pelat penyambung

$$t_p = 15 \text{ mm}$$

BJ41

$$F_u = 410 \text{ Mpa}$$

$$F_y = 250 \text{ Mpa}$$

Syarat jarak antar baut

$$3d_b \leq S \leq 15 \cdot t_p \text{ atau } 200 \text{ mm}$$

$$3 (24 \text{ mm}) \leq S \leq 15 (15 \text{ mm})$$

$$72 \text{ mm} \leq S \leq 225 \text{ mm}$$

Dipakai nilai $S = 100 \text{ mm}$

Syarat jarak baut ke tepi pelat

$$1,5d_b \leq S \leq 12 \cdot t_p \text{ atau } 150 \text{ mm}$$

$$1,5(24 \text{ mm}) \leq S \leq 12 (15 \text{ mm})$$

$$36 \text{ mm} \leq S \leq 180 \text{ mm}$$

Dipakai nilai $S = 50 \text{ mm}$

Kuat nominal satu (1) baut

a. Kuat geser (V_d)

$$r_1 = 0,5 \text{ (tanpa ulir pada bidang geser)}$$

$$m = 2 \text{ (dua bidang geser)}$$

$$\emptyset V_n = \emptyset \cdot r_1 \cdot f_u^b \cdot A_b \cdot m$$

$$= 0,75 \cdot 0,5 \cdot 410 \cdot 452,39 \cdot 2$$

$$= 139109,72 \text{ N (menentukan)}$$

b. Kuat tumpu (R_d)

$$\emptyset R_n = \emptyset \cdot 2,4 d_b \cdot t_p \cdot f_u$$

$$= 0,75 \cdot 2,4 \cdot 24 \cdot 15 \cdot 410$$

$$= 265680 \text{ N}$$

Dipakai nilai kuat nominal satu (1) baut

$$\emptyset V_n = 139109,72 \text{ N}$$

Momen yang bekerja pada titik berat sambungan badan

$$M_{\text{tot}} = M_{\text{ubadan}} + P_u \cdot e$$

$$= 25393 + 67139 \cdot 0,015$$

$$= 26400,85 \text{ kgm}$$

$$= 26400085 \text{ Nmm}$$

Jumlah baut yang diperlukan

$$n = \sqrt{\frac{6M_{\text{utot}}}{\mu R_u}}$$

Dimana :

N = jumlah baut

M_{utot} = Momen total

μ = Jarak verikal baut

= 100 mm

P_o = Kapasitas baut

Selain beban momen, sambungan memikul beban P_u , maka R_u direduksi 0,7.

(Modul Struktur Baja I – Sambungan Baut)

$$n = \sqrt{\frac{6.26400085}{100 \cdot (0,7 \cdot 139109,72)}}$$

$$= 4,03 \text{ buah} \approx 5 \text{ buah}$$

Akibat P_u

$$K_{uv1} = \frac{P_u}{n} = \frac{67139}{5}$$

$$= 13427,8 \text{ kg}$$

$$= 13278 \text{ N}$$

Akibat M_u

$$\Sigma(x^2 + y^2) = 5 \cdot (5^2) + 4 \cdot ((10^2) + (20^2))$$

$$= 2125 \text{ cm}^2$$

$$K_{uv2} = \frac{M_{\text{UT}} \cdot x}{\Sigma(x^2 + y^2)} = \frac{26400085.5}{2125}$$

$$= 621,18 \text{ N}$$

$$K_{uh} = \frac{M_{\text{UT}} \cdot y}{\Sigma(x^2 + y^2)} = \frac{26400085.20}{2125}$$

$$= 2484,71 \text{ N}$$

$$\begin{aligned}
 \text{Kutot} &= \sqrt{(\sum K_{uv})^2 + (\sum K_{uh})^2} \\
 &= \sqrt{(13278 + 621,18)^2 + (2484,71)^2} \\
 &= 134922,06 \text{ N} < \emptyset V_n = 139109,72 \text{ N}
 \end{aligned}$$

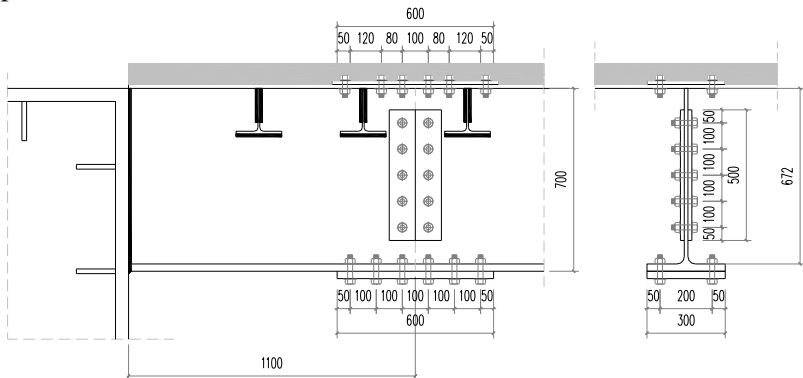
Cek kemampuan penampang setelah ada sambungan baut berdasarkan kuat putus :

$$\begin{aligned}
 A_n &= A_s - (n_{\text{baris-baut}} \cdot t \cdot d_p) \\
 &= 60680 \text{ mm}^2 - ((1.28 + 1.15 + 5.15) \cdot 25,5) \text{ mm}^2 \\
 &= 57671 \text{ mm}^2
 \end{aligned}$$

$$\begin{aligned}
 \emptyset N_n &= \emptyset \cdot F_u \cdot A_e \\
 &= 0,75 \cdot 410 \text{ N/mm}^2 \cdot 57671 \text{ mm}^2 \\
 &= 17733832,5 \text{ N}
 \end{aligned}$$

$$\begin{aligned}
 \emptyset N_n &> N_u \dots (\text{OK}) \\
 17733832,5 \text{ N} &> 335386,82 \text{ N}
 \end{aligned}$$

Berikut ilustrasi pada gelagar melintang dapat dilihat pada Gambar 4.29.



Gambar 4.29 Sambungan gelagar melintang

4.3.2. Gelagar Kantilever

Hasil preliminary desain didapat data perencanaan profil untuk gelagar kantilever WF 400.200.8.13, diganti dengan profil T 400.200.8.13 dengan data sebagai berikut :

d	= 400 mm	t _w	= 8 mm
b _f	= 200 mm	t _f	= 13 mm
A	= 56,96 cm ²	w	= 44,71 kg/m
I _x	= 9521 cm ⁴	i _x	= 12,93 cm
I _y	= 868 cm ⁴	i _y	= 3,90 cm
S _x	= 608 cm ³	Z _x	= 1131152 mm ³
S _y	= 136,19 cm ³	Z _y	= 265984 mm ³
E _s	= 2. 10 ⁵ MPa		

sifat mekanis baja struktural

BJ	= 41
F _u	= 410 MPa
F _y	= 250 MPa

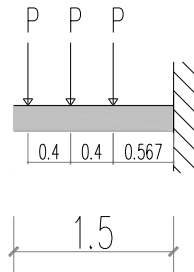
4.3.2.1. Pembebanan

(1)Beban Mati

- Berat sendiri gelagar kantilever
 $W = 44,7 \text{ kg/m.}$
 $= 0,447 \text{ kN/m}$
- Beban dari rusuk dan pelat lantai kendaraan
 $P = q. 3 \text{ m}$
 $= 143,56 \text{ kg/m. } 3 \text{ m}$
 $= 431 \text{ kg}$
 $= 4,31 \text{ kN}$

Faktor beban = 1,1

Pada desain ini sambungan gelagar kantilever terhadap gelagar utama diasumsikan sebagai perletakan jepit bebas. Berikut ilustrasi pembebanan dapat dilihat pada Gambar 4.30.



Gambar 4.30 Ilustrasi beban mati pada gelagar kantilever (dalam m)

(2) Beban mati Tambahan

Beban tambahan berupa tiang sandaran, tiang lampu, ditahan oleh gelagar kantilever.

- P tiang sandaran

$$\begin{aligned} \text{Berat pipa (q)} &= 2.5,4 \text{ kg/m} \cdot 3 \text{ m} \\ &= 32,4 \text{ kg} \end{aligned}$$

$$\begin{aligned} \text{Berat tiang} &= 9,3 \text{ kg/m} \cdot 1,3 \text{ m} \\ &= 12 \text{ kg} \end{aligned}$$

$$\begin{aligned} \text{P total} &= 32,4 \text{ kg} + 12 \text{ kg} \\ &= 44 \text{ kg} \\ &= 0,44 \text{ kN} \end{aligned}$$

- P Tiang Lampu

Pipa 6" dengan tebal 7,1 mm

$$\begin{aligned} P &= 27,7 \text{ kg/m} \cdot 9 \text{ m} \\ &= 249 \text{ kg} \\ &= 2,49 \text{ kN} \end{aligned}$$

Berat box lampu

$$W = 0,08 \text{ kN}$$

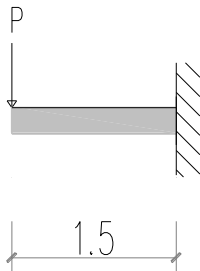
$$\begin{aligned} \text{Berat total} &= 2,49 \text{ kN} + 0,08 \text{ kN} \\ &= 2,57 \text{ kN} \end{aligned}$$

Berat isi tiang diasumsikan 10% berat total

$$\begin{aligned} &= 2,57 \text{ kN} \cdot 0,1 \\ &= 0,257 \text{ kN} \end{aligned}$$

$$\begin{aligned}
 P \text{ tiang} &= (2,57 + 0,257) \text{ kN} \\
 &= 2,83 \text{ kN} \\
 \text{Faktor beban} &= 2
 \end{aligned}$$

Berikut ilustrasi pembebanan dapat dilihat pada Gambar 4.31.



Gambar 4.31 Ilustrasi beban mati tambahan pada gelagar kantilever (dalam m)

(3) Beban Hidup

Jembatan dengan komponen trotoar dengan lebar lebih dari 600mm direncanakan untuk memikul beban pejalan kaki 5 kPa (SNI 1725-2016 pasal 8.9)

$$\begin{aligned}
 W \text{ pejalan kaki} &= 5 \text{ kN/m}^2 \cdot 3\text{m} \\
 &= 15 \text{ kN/m}
 \end{aligned}$$

$$\text{Faktor beban} = 1,8$$

(4) Beban Pelaksanaan

Berdasarkan pada SNI 1725-2016 pasal 10.3 merupakan beban sementara yang mungkin bekerja pada struktur secara menyeluruh atau sebagian selama pelaksanaan. Pada desain ini diasumsikan sebesar 300 kg/m, dengan rincian :

1. Pekerja = 100 kg/m
 2. Peralatan, dll. = 200 kg/m
- $$\begin{aligned}
 \text{Total } q_{PL} &= 300 \text{ kg/m} \\
 &= 3 \text{ kN/m}
 \end{aligned}$$

Faktor beban = 1

(5) Rekapitulasi Beban

Berikut akan ditampilkan rekapitulasi beban yang bekerja diatas gelagar melintang, dapat dilihat pada Tabel 4.10.

Tabel 4.10 Rekapitulasi Pembebanan Gelagar Kantilever

Jenis Beban	Beban	F. Beban	Total
Beban Mati (DL)			
Berat Sendiri	0.447 kN/m	1.1	0.49 kN/m
Berat Rusuk, dll	4.31 kN	2	8.61 kN
Beban Mati Tambahan (ADL)			
Tiang Sandaran	0.44 kN	2	0.89 kN
Tiang Lampu	2.83 kN	2	5.67 kN
Beban Hidup (LL)			
Pejalan kaki	15 kN/m	1.8	27.00 kN/m
Beban Pelaksanaan (PLL)			
Beban Pelaksanaan	3 kN/m	1	3.00 kN/m

(6) Kombinasi Pembebanan

Berdasarkan pada SNI 1725-2016 Tabel 1, untuk mendapatkan pengaruh paling kritis perlu untuk mengkombinasikan beban berdasarkan kondisi ultimit. Berikut dapat dilihat pada Tabel 4.11

Tabel 4.11 Kombinasi Pembebanan

Kombinasi	Jenis Beban yang dikombinasikan
Komb. 1	DL + ADL + PLL
Komb. 2	DL + ADL + LL

4.3.2.2. Hasil Analisa Gaya Dalam

Analisa gaya dalam untuk gelagar melintang menggunakan program bantu MIDAS CIVIL V2011. Struktur dimodelkan sebagai balok tumpuan jepit bebas dengan panjang 1,5m. Berikut hasil analisa dapat dilihat pada Tabel 4.12.

Tabel 4.12 Hasil analisa gaya dalam gelagar kantilever

Load	Shear-z (kN)	Moment-y (kN·m)
DL + ADL + PLL	6.11	0
DL + ADL + PLL	35.52	-40.16
DL + ADL + LL	6.11	0
DL + ADL + LL	76.02	-70.53

4.3.2.3. Analisa Kapasitas

a. Analisa Kapasitas Gelagar Kantilever

Analisa kapasitas pada gelagar dilakukan guna mengetahui kuat lentur, geser, dan lendutan, Direncanakan menggunakan profil WF 400.200.8.13, diganti dengan profil T 400.200.8.13 dengan data sebagai berikut :

$$\begin{aligned}
 d &= 400 \text{ mm} & t_w &= 8 \text{ mm} \\
 b_f &= 200 \text{ mm} & t_f &= 13 \text{ mm} \\
 A &= 56,96 \text{ cm}^2 & w &= 44,71 \text{ kg/m} \\
 I_x &= 9521 \text{ cm}^4 & i_x &= 12,93 \text{ cm} \\
 I_y &= 868 \text{ cm}^4 & i_y &= 3,90 \text{ cm} \\
 S_x &= 608 \text{ cm}^3 & Z_x &= 1131152 \text{ mm}^3 \\
 S_y &= 136,19 \text{ cm}^3 & Z_y &= 265984 \text{ mm}^3 \\
 E_s &= 2 \cdot 10^5 \text{ MPa} \\
 \text{sifat mekanis baja struktural} \\
 BJ &= 41 \\
 F_u &= 410 \text{ MPa} \\
 F_y &= 250 \text{ MPa}
 \end{aligned}$$

b. Kontrol Analisa Lentur

1) Kontrol Tekuk Lokal (SNI 1729-2015 B4.1)

Sayap

$$\begin{aligned}
 \lambda &= \frac{b_f}{2t_f} \\
 &= \frac{200\text{mm}}{2 \cdot 13\text{mm}} = 7,69
 \end{aligned}$$

$$\begin{aligned}\lambda_p &= 0,38 \cdot \sqrt{\frac{E}{F_y}} \\ &= 0,38 \cdot \sqrt{\frac{200000}{250}} = 33,94\end{aligned}$$

Badan

$$\begin{aligned}\lambda &= \frac{h}{t_w} = \frac{d}{t_w} \\ &= \frac{340\text{mm}}{8\text{mm}} \\ &= 50\end{aligned}$$

$$\begin{aligned}\lambda_p &= 0,84 \cdot \sqrt{\frac{E}{F_y}} \\ &= 0,84 \cdot \sqrt{\frac{200000}{250}} = 50,91\end{aligned}$$

Karena nilai $\lambda < \lambda_p$, penampang kompak maka kuat lentur nominal penampang (M_n) = $M_p = Z_x \cdot F_y$

$$\begin{aligned}M_n &= Z_x \cdot F_y \\ &= 113152 \text{ mm}^3 \cdot 250 \text{ N/mm}^2 \\ &= 28278800 \text{ Nmm} \\ &= 282,788 \text{ kNm}\end{aligned}$$

2) Kontrol Tekuk Lateral

$$L_b = 400 \text{ mm}$$

$$\begin{aligned}L_p &= 1,76 \cdot i_y \sqrt{\frac{E}{f_y}} \\ &= 1,76 \cdot 12,93 \sqrt{\frac{2 \cdot 10^5}{250}} \\ &= 6435,8 \text{ mm}\end{aligned}$$

Karena $L_b < L_p$ maka termasuk bentang pendek. Nilai kuat nominal komponen struktur terhadap momen lentur harus memenuhi persamaan berikut.

$$M_n = M_p \leq 1,5M_y$$

$$\begin{aligned} M_y &= S_x \cdot F_y \\ &= 608 \cdot 10^3 \text{ mm}^3 \cdot 250 \text{ N/mm}^2 \\ &= 1,52 \cdot 10^8 \text{ Nmm} \\ &= 152 \text{ kNm} \end{aligned}$$

$$M_n = 283 \text{ kNm} > 1,5 \cdot M_y = 228,11 \text{ kNm}$$

Maka yang dipakai adalah $M_n = 228,11 \text{ kNm}$

3) Kontrol Kapasitas Momen

$$\phi M_n = 0,9 \cdot 228,11 \text{ kNm}$$

$$= 205,3 \text{ kNm} > M_u = 70,53 \text{ kNm} \dots (\text{OK})$$

Maka penampang balok memenuhi kekuatan lentur yang terjadi.

c. Kontrol Kapasitas Geser

Berdasarkan SNI 1729-2015 G2.1 (b) untuk badan dari semua profil simetris ganda dan profil simetris tunggal serta kanal lainnya, kecuali *PSB* bundar, koefisien geser badan, C_v , dapat ditentukan dengan persamaan berikut.

$$(i) \text{ Bila } h/t_w \leq 1,10 \cdot \sqrt{k_v \cdot E / F_y}$$

$$C_v = 1,0$$

$$(ii) \text{ Bila } 1,10 \cdot \sqrt{k_v \cdot E / F_y} < h/t_w < 1,37 \cdot \sqrt{k_v \cdot E / F_y}$$

$$C_v = \frac{1,10 \cdot \sqrt{k_v \cdot E / F_y}}{h / t_w}$$

$$(iii) \text{ Bila } h/t_w \geq 1,37 \cdot \sqrt{k_v \cdot E / F_y}$$

$$C_v = \frac{1,10 \cdot E}{(h / t_w)^2 \cdot F_y}$$

Dimana :

$$K_v = 1,2 \text{ (untuk profil T)}$$

$$h/t_w = \frac{400}{8} = 50$$

$$1,10 \cdot \sqrt{k_v \cdot E / F_y} = 1,10 \cdot \sqrt{1,2 \cdot 20 \cdot 10^5 / 250} = 34,08$$

$$1,37 \cdot \sqrt{k_v \cdot E / F_y} = 1,37 \cdot \sqrt{1,2 \cdot 20 \cdot 10^5 / 250} = 42,45$$

Maka termasuk persamaan (iii)

$$1,10 \cdot \sqrt{k_v \cdot E / F_y} < h/t_w < 1,37 \cdot \sqrt{k_v \cdot E / F_y}$$

Dimana C_v didapatkan

$$C_v = \frac{1,10 \cdot E}{(h/t_w)^2 \cdot F_y} = \frac{1,10 \cdot 2 \cdot 10^5}{(46,67)^2 \cdot 250} = 0,6612$$

Maka kuat geser ϕV_n dapat dihitung dengan persamaan berikut.

$$\begin{aligned} \phi V_n &= \phi \cdot 0,6 \cdot F_y \cdot A_w \cdot C_v \\ &= \phi \cdot 0,6 \cdot F_y \cdot (d \cdot t_w) \cdot C_v \\ &= 0,9 \cdot 0,6 \cdot 250 \text{ N/mm}^2 \cdot (400,8) \text{ mm}^2 \cdot 0,6612 \\ &= 345250,15 \text{ N} \\ &= 345,3 \text{ kN} > V_u = 76,02 \text{ kN} \dots \text{ (OK)} \end{aligned}$$

d. Interaksi Geser dan Lentur

Apabila seluruh penampang balok diasumsikan menahan momen lentur, maka menurut RSNI T-03-2005 ps. 7.9.3 gelagar harus didesain mampu untuk menahan kombinasi lentur dan geser dengan persamaan sebagai berikut :

$$\frac{M_u}{\phi M_n} + 0,625 \frac{V_u}{\phi V_n} \leq 1,375$$

$$\frac{70,53}{205,3} + 0,625 \frac{76,02}{432} \leq 1,375$$

$$0,45 < 1,375 \dots \text{ (OK)}$$

e. Kontrol Lentutan

Lendutan dianalisa berdasarkan kemampuan layan akibat beban hidup. Menurut RSNI T-03-2005 ps. 4.7.3 lendutan maksimum gelagar diatas adalah $L/375$.

$$\begin{aligned} \text{Lendutan ijin} &= 1,5\text{m}/375 \\ &= 0,004 \text{ m} \\ &= 4 \text{ mm} \end{aligned}$$

Dari hasil analisa struktur didapat nilai lendutan akibat tiap kombinasi, lihat Tabel 4.12 sebagai berikut :

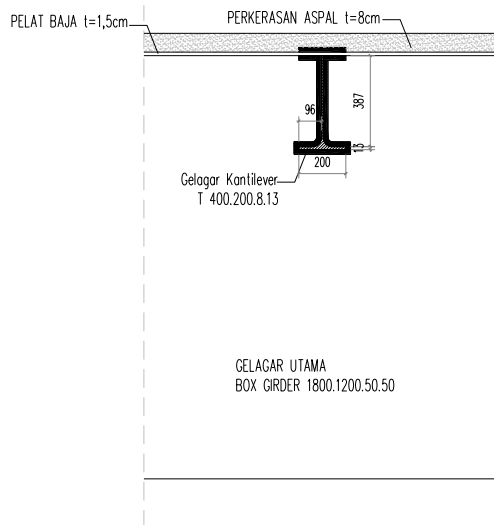
Tabel 4.12 Hasil analisa lendutan gelagar melintang

Load	DX (mm)	DY (mm)	DZ (mm)
DL + ADL + PLL	0	0	0
DL + ADL + PLL	0	0.351025	-1.440115
DL + ADL + LL	0	0	0
DL + ADL + LL	0	0.567364	-2.38511

Karena nilai lendutan akibat kedua kombinasi $<$ lendutan ijin, maka profil T 400.200.8.13 dapat dipakai sebagai gelagar melintang.

4.3.2.4. Sambungan Las

Sambungan gelagar melintang terhadap *box girder* berupa sambungan las. Dalam perhitungan sambungan ini akan di hitung kekuatan sambungan las.



Gambar 4.32 Sambungan gekagar melintang ke *box girder*

$$\begin{aligned} V_u &= 76,02 \text{ kN} \\ M_u &= 70,53 \text{ kNm} \\ &= 705300 \text{ kgcm} \end{aligned}$$

Titik berat las

$$\begin{aligned} 1584 \cdot y_a &= 192.15 + 192.402 + 200.415 + 2.387.207,5 + \\ &\quad 2.13.408,5 \\ y_a &= 334290 \text{ mm}^2 / 1584 \text{ mm} \\ &= 211,04 \text{ mm} \\ y_b &= 415 - y_a \\ &= 415 - 211,04 \\ &= 203,96 \text{ mm} \end{aligned}$$

Digunakan mutu las :

$$E70_{xx} = 70 \text{ Kips}$$

Misal $t_e = 1 \text{ cm}$

$$\begin{aligned} A &= (19,2 \text{ cm} \cdot 1 \text{ cm} \cdot 2) + (38,7 \text{ cm} \cdot 1 \text{ cm} \cdot 2) + \\ &\quad (1,3 \text{ cm} \cdot 1 \text{ cm} \cdot 2) + (200 \text{ cm} \cdot 1 \text{ cm} \cdot 2) \end{aligned}$$

$$= 158,4 \text{ cm}^2$$

Momen Inersia

$$\begin{aligned} I_x' &= I_x + A \cdot a_y^2 \\ &= ((1/12 \cdot 20 \cdot 1^3) + (20 \cdot 1 \cdot 21,104^2)) + ((1/12 \cdot 19,2 \cdot 1^3) + \\ &\quad (19,2 \cdot 1 \cdot 19,604^2)) + ((1/12 \cdot 19,2 \cdot 1^3) + (19,2 \cdot 1 \cdot 19,096^2)) + \\ &\quad ((1/12 \cdot 20 \cdot 1^3) + (20 \cdot 1 \cdot 20,396^2)) + 2 \cdot ((1/12 \cdot 1 \cdot 38,7^3) + \\ &\quad (1 \cdot 38,7 \cdot 0,354^3)) + 2 \cdot ((1/12 \cdot 1 \cdot 1,3^3) + (1 \cdot 1,3 \cdot 19,746^3)) \\ &= 61295,79 \text{ cm}^4 \end{aligned}$$

Modulus penampang las

$$\begin{aligned} S_x &= I_x' / y_b \\ &= \frac{61295,79 \text{ cm}^4}{20,396 \text{ cm}} \\ &= 3005,31 \text{ kg/cm}^3 \end{aligned}$$

Akibat V_u :

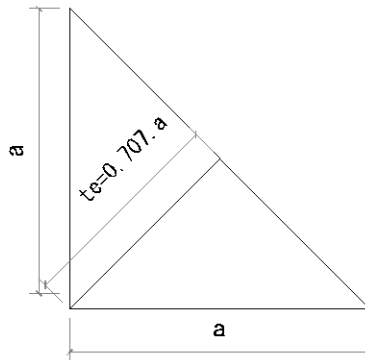
$$\begin{aligned} f_v &= \frac{V_u}{A} \\ &= \frac{76,02 \cdot 100 \text{ kg}}{158,4 \text{ cm}^2} \\ &= 47,99 \text{ kg/cm}^2 \end{aligned}$$

Akibat M_u :

$$\begin{aligned} f_h &= \frac{M_u}{S_x} \\ &= \frac{705300 \text{ kgcm}}{3005,31 \text{ cm}^3} \\ &= 234,68 \text{ kg/cm}^2 \end{aligned}$$

$$\begin{aligned}
 f_{\text{total}} &= \sqrt{f_h^2 + f_v^2} \\
 &= \sqrt{239,54^2 + 47,99^2} \\
 &= 239,54 \text{ kg/cm}^2
 \end{aligned}$$

$$\begin{aligned}
 \phi f_n &= \phi \cdot 0,6 \cdot E70 \\
 &= 0,75 \cdot 0,6 \cdot 70 \cdot 70,3 \text{ kg/cm}^2 \\
 &= 2214,45 \text{ kg/cm}
 \end{aligned}$$



Gambar 4.33 Tebal efektif las sudut

$$\begin{aligned}
 t_{e\text{-perlu}} &= \frac{f_{\text{total}}}{\phi f_n} \cdot 1 \text{ cm} \\
 &= \frac{239,54}{2214,45} \cdot 1 \text{ cm} \\
 &= 0,11 \text{ cm}
 \end{aligned}$$

$$a = \frac{t_e}{0,707} = 0,15 \text{ cm}$$

SNI 1729-2015 pasal J2b

- Untuk tebal las minimum (a_{\min}):

$$6 \text{ mm} < t_{\text{profil}} \leq 13 \text{ mm}$$

$$a_{\min} = 5 \text{ mm}$$

- Untuk tebal las maksimum (a_{\max}):

$$t_{\text{profil}} > 6 \text{ mm}$$

$$a_{\max} = t_{\text{profil}} - 2 \text{ mm}$$

$$a_{\max} = 6 \text{ mm}$$

dipakai $a = 5 \text{ cm}$ dengan tebal efektif $t_e = 3,6 \text{ mm}$

4.3.2.5. Sambungan Baut

Sambungan baut dilakukan pada gelagar melintang dengan gelagar melintang pada jarak 700 cm dari tumpuan. Maka pada gelagar melintang diputus pada jarak tersebut untuk mempermudah proses pelaksanaan.

$$P_u = 7602 \text{ kg}$$

$$M_u = 194700 \text{ kg.cm (pada jarak 70cm dari tumpuan)}$$

Pembagian momen

$$\begin{aligned} M_{u\text{-badan}} &= \frac{I_{bd}}{I_{prop}} \cdot M_u \\ &= \frac{1}{12} (0,8)(38,7)^3 \\ &= \frac{9520,51}{9520,51} \cdot 194700 \\ &= 79021,87 \text{ kgcm} \\ &= 7902187 \text{ Nmm} \end{aligned}$$

$$\begin{aligned} M_{u\text{-sayap}} &= M_u - M_{u\text{-badan}} \\ &= (194700 - 79021,87) \text{ kgcm} \\ &= 115678,12 \text{ kgcm} \\ &= 11567812 \text{ Nmm} \end{aligned}$$

1. Sambungan pelat sayap bawah

Direncanakan baut $\varnothing 16$

$$f_u^b = 410 \text{ Mpa}$$

$$A_b = 201,06 \text{ mm}^2$$

Lubang perlemahan (d_p)

$$\begin{aligned} d_p &= 16 \text{ mm} + 1,5 \text{ mm} \\ &= 17,5 \text{ mm} \end{aligned}$$

Pelat penyambung

$$t_p = 13 \text{ mm}$$

BJ41

$$F_u = 410 \text{ Mpa}$$

$$F_y = 250 \text{ Mpa}$$

Syarat jarak antar baut

$$3d_b \leq S \leq 15 \cdot t_p \text{ atau } 200 \text{ mm}$$

$$3(16 \text{ mm}) \leq S \leq 15(13 \text{ mm})$$

$$48 \text{ mm} \leq S \leq 195 \text{ mm}$$

Dipakai nilai $S = 100 \text{ mm}$

Syarat jarak baut ke tepi pelat

$$1,5d_b \leq S \leq 12 \cdot t_p \text{ atau } 150 \text{ mm}$$

$$1,5(16 \text{ mm}) \leq S \leq 12(13 \text{ mm})$$

$$24 \text{ mm} \leq S \leq 156 \text{ mm}$$

Dipakai nilai $S = 35 \text{ mm}$

Kuat nominal satu (1) baut

a. Kuat geser (V_d)

$$r_1 = 0,5 \text{ (tanpa ulir pada bidang geser)}$$

$$m = 1 \text{ (dua bidang geser)}$$

$$\begin{aligned} \emptyset V_n &= \emptyset \cdot r_1 \cdot f_u^b \cdot A_b \cdot m \\ &= 0,75 \cdot 0,5 \cdot 410 \cdot 201,06 \cdot 1 \\ &= 30913,27 \text{ N (menentukan)} \end{aligned}$$

b. Kuat tumpu (R_d)

$$\begin{aligned} \emptyset R_n &= \emptyset \cdot 2,4d_b \cdot t_p \cdot f_u \\ &= 0,75 \cdot 2,4 \cdot 16 \cdot 13 \cdot 410 \\ &= 153504 \text{ N} \end{aligned}$$

Dipakai nilai kuat nominal satu (1) baut
 $\phi V_n = 30913,27 \text{ N}$

Momen sayap

$$M_u = 11567812 \text{ Nmm}$$

$$\begin{aligned} T_u &= \frac{M_u}{h} \\ &= \frac{11567812}{387} \\ &= 29890,99 \text{ N} \end{aligned}$$

Jumlah baut yang diperlukan

$$\begin{aligned} n &= \frac{T_u}{\phi V_n} \\ &= \frac{29890,99}{30913,27} \\ &= 0,97 \text{ buah} \approx 4 \text{ buah} \end{aligned}$$

2. Sambungan pelat badan

Direncanakan baut $\phi 16$

$$f_u^b = 410 \text{ Mpa}$$

$$A_b = 201,06 \text{ mm}^2$$

Lubang perlemahan (d_p)

$$\begin{aligned} d_p &= 16 \text{ mm} + 1,5 \text{ mm} \\ &= 17,5 \text{ mm} \end{aligned}$$

Pelat penyambung

$$t_p = 8 \text{ mm}$$

BJ41

$$F_u = 410 \text{ Mpa}$$

$$F_y = 250 \text{ Mpa}$$

Syarat jarak antar baut

$$3d_b \leq S \leq 15 \cdot t_p \text{ atau } 200 \text{ mm}$$

$$3 (16 \text{ mm}) \leq S \leq 15 (8 \text{ mm})$$

$$48 \text{ mm} \leq S \leq 120 \text{ mm}$$

Dipakai nilai $S = 100 \text{ mm}$

Syarat jarak baut ke tepi pelat

$$1,5d_b \leq S \leq 12 \cdot t_p \text{ atau } 150 \text{ mm}$$

$$1,5(16 \text{ mm}) \leq S \leq 12 (8 \text{ mm})$$

$$24 \text{ mm} \leq S \leq 96 \text{ mm}$$

Dipakai nilai $S = 50 \text{ mm}$

Kuat nominal satu (1) baut

a. Kuat geser (V_d)

$$r_1 = 0,5 \text{ (tanpa ulir pada bidang geser)}$$

$$m = 2 \text{ (dua bidang geser)}$$

$$\begin{aligned} \emptyset V_n &= \emptyset \cdot r_1 \cdot f_u^b \cdot A_b \cdot m \\ &= 0,75 \cdot 0,5 \cdot 410 \cdot 201,06 \cdot 2 \\ &= 61826,54 \text{ N (menentukan)} \end{aligned}$$

b. Kuat tumpu (R_d)

$$\begin{aligned} \emptyset R_n &= \emptyset \cdot 2,4d_b \cdot t_p \cdot f_u \\ &= 0,75 \cdot 2,4 \cdot 16 \cdot 8 \cdot 410 \\ &= 94464 \text{ N} \end{aligned}$$

Dipakai nilai kuat nominal satu (1) baut

$$\emptyset V_n = 61826,54 \text{ N}$$

Momen yang bekerja pada titik berat sambungan badan

$$\begin{aligned} M_{\text{tot}} &= M_{\text{u badan}} + P_u \cdot e \\ &= 194700 + 7602 \cdot 0,008 \\ &= 2007,816 \text{ kgm} \\ &= 2007816 \text{ Nmm} \end{aligned}$$

Jumlah baut yang diperlukan

$$n = \sqrt{\frac{6M_{\text{utot}}}{\mu R_u}}$$

Dimana :

N = jumlah baut

M_{utot} = Momen total

μ = Jarak verikal baut

= 100 mm

P_o = Kapasitas baut

Selain beban momen, sambungan memikul beban P_u , maka R_u direduksi 0,7.

(Modul Struktur Baja I – Sambungan Baut)

$$n = \sqrt{\frac{6.2007816}{100.(0,7.61826,54)}}$$

$$= 1,67 \text{ buah} \approx 3 \text{ buah}$$

Akibat P_u

$$K_{uv1} = \frac{P_u}{n} = \frac{7602}{3}$$

$$= 2534 \text{ kg} = 25340 \text{ N}$$

Akibat M_u

$$\Sigma(x^2 + y^2) = 3 \cdot (5^2) + 2 (5^2)$$

$$= 2125 \text{ cm}^2$$

$$K_{uv2} = \frac{M_{\text{UT}} \cdot x}{\Sigma(x^2 + y^2)} = \frac{2007816.5}{125}$$

$$= 803,13 \text{ N}$$

$$K_{uh} = \frac{M_{\text{UT}} \cdot y}{\Sigma(x^2 + y^2)} = \frac{2007816.5}{125}$$

$$= 803,13 \text{ N}$$

$$\begin{aligned}
 K_{\text{utot}} &= \sqrt{(\sum K_{uv})^2 + (\sum K_{uh})^2} \\
 &= \sqrt{(25340 + 803,13)^2 + (803,13)^2} \\
 &= 26155,46 \text{ N} < \emptyset \text{ Vd} = 61826,54 \text{ N}
 \end{aligned}$$

Cek kemampuan penampang setelah ada sambungan baut berdasarkan kuat putus :

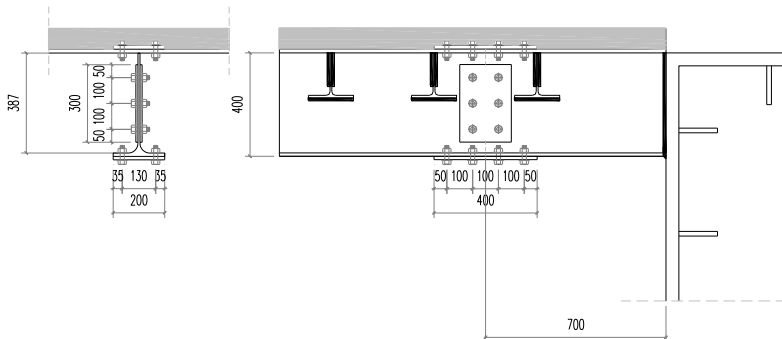
$$\begin{aligned}
 A_n &= A_s - (n_{\text{baris-baut}} \cdot t \cdot d_p) \\
 &= 5696 \text{ mm}^2 - ((1.13+3.8) \cdot 17,5) \text{ mm}^2 \\
 &= 5048,5 \text{ mm}^2
 \end{aligned}$$

$$\begin{aligned}
 \emptyset N_n &= \emptyset \cdot F_u \cdot A_e \\
 &= 0,75 \cdot 410 \text{ N/mm}^2 \cdot 5048,5 \text{ mm}^2 \\
 &= 1552413,75 \text{ N}
 \end{aligned}$$

$$\emptyset N_n > N_u \dots (\text{OK})$$

$$1552413,75 \text{ N} > 29890,99 \text{ N}$$

Berikut ilustrasi pada gelagar melintang dapat dilihat pada Gambar 4.34



Gambar 4.34 Sambungan gelagar melintang

4.4. Permodelan Sehubung Metode Pelaksanaan

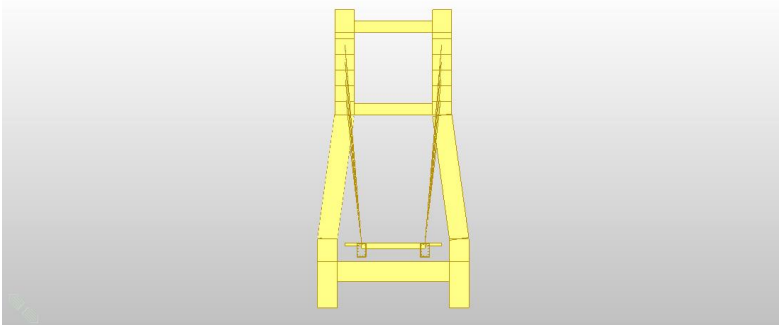
Pada bab ini akan membahas mulai dari permodelan struktur yang digunakan, pembebanan, hingga *construction stage analysis*. Pembebanan yang akan menghasilkan gaya-gaya yang terjadi pada struktur utama berupa gelagar utama yang berupa *box girder*, kabel, *block anchor*, *pylon*, dan perletakan. Dalam melakukan analisa akan menggunakan program bantu MIDAS CIVIL 2011. Beban yang bekerja berupa beban statik (berat sendiri, beban mati tambahan, beban hidup, dan beban angin), dinamik (beban gempa dengan menggunakan analisa *response spectrum*), dan *staging analysis* (beban yang bekerja saat pelaksanaan atau pendirian jembatan).

4.4.1. Permodelan Struktur

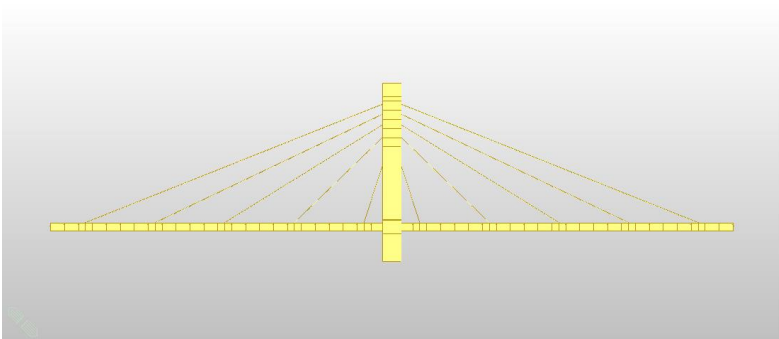
Permodelan struktur jembatan menggunakan permodelan dengan tiga dimensi, untuk lebih jelasnya seperti pada Gambar 4.35 sampai dengan Gambar 4.39 berikut ini :



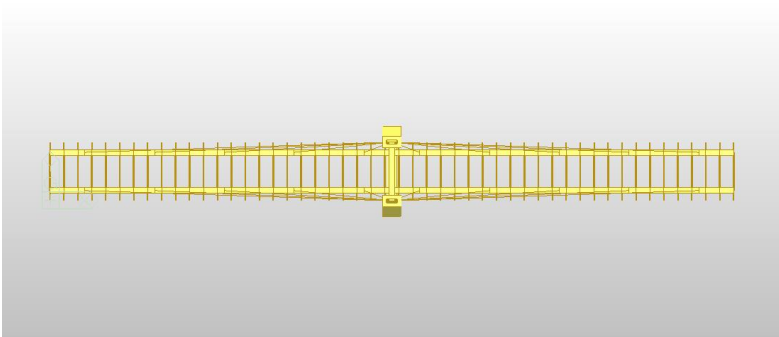
Gambar 4.35 Tampak perspektif jembatan



Gambar 4.36 Tampak melintang jembatan



Gambar 4.37 Tampak memanjang jembatan



Gambar 4.38 Tampak atas jembatan



Gambar 4.39 Tampak melintang dek jembatan

4.4.1.1. Analisa Statik

Beberapa beban yang termasuk beban statik antara lain beban tetap (berat sendiri dan beban mati tambahan), beban hidup, dan beban angin. Untuk beban sendiri struktur seperti *box girder*, *pylon*, dan kabel akan hitung secara otomatis oleh program bantu MIDAS CIVIL 2011.

Pembebanan

1. Beban mati

a) Beban dari rusuk dan pelat lantai kendaraan

$$\begin{aligned}
 P &= q \cdot \text{jarak antar gelagar melintang} \\
 &= 143,56 \text{ kg/m} \cdot 3 \text{ m} \\
 &= 431 \text{ kg} \\
 &= 4,31 \text{ kN}
 \end{aligned}$$

b) Beban mati tambahan

- P tiang dan pipa sandaran

$$\begin{aligned}
 \text{Berat pipa} &= 2 \cdot 5,4 \text{ kg/m} \cdot 3 \text{ m} \\
 &= 32 \text{ kg} \\
 &= 0,32 \text{ kN}
 \end{aligned}$$

$$\begin{aligned}
 \text{Berat tiang} &= 9,3 \text{ kg/m} \cdot 1,3 \text{ m} \\
 &= 12 \text{ kg} \\
 &= 0,12 \text{ kN}
 \end{aligned}$$

$$\begin{aligned}
 P \text{ total} &= (0,32 + 0,12) \text{ kN} \\
 &= 0,44 \text{ kN}
 \end{aligned}$$

- P tiang lampu
 Pipa 6" dengan tebal 7,1 mm
 Dari perhitungan pada balok melintang didapat
 - P = $q \cdot L$
 = $27,7 \text{ kg/m} \cdot 9\text{m}$
 = $249,3 \text{ kg}$
 = $2,49 \text{ kN}$
 - Berat *box* lampu
 W = 8 kg
 = $0,08 \text{ kN}$
 - Berat total
 P + W = $(2,49 + 0,08) \text{ kN}$
 = $2,58 \text{ kN}$
 - P tiang = $(2,58 + 2,58 \cdot 10\%) \text{ kN}$
 = $2,83 \text{ kN}$

2. Beban Hidup

a) Beban Terbagi Rata (BTR)

Untuk $L \leq 30 \text{ m}$: $q = 9 \text{ kPa}$

Untuk $L > 30 \text{ m}$: $q = 9,0 \left(0,5 + \frac{15}{L} \right) \text{ kPa}$

(SNI 1725-2016 pasal. 8.3.1)

Karena L pada desain ini = 147 m. maka

$$q = 9,0 \left(0,5 + \frac{15}{147} \right) \text{ kPa}$$

$$= 5,42 \text{ kPa}$$

$$= 5,42 \text{ kN/m}^2$$

$$q = q_{\text{BTR}} \cdot 3\text{m}$$

$$= 5,42 \text{ kN/m}^2 \cdot 3\text{m}$$

$$= 16,25 \text{ kN/m}$$

d) Beban Garis Terpusat (BGT)

Menurut SNI 1725-2016 pasal 8.3.1 besarnya BGT adalah 49 kN/m. Dengan bentang total jembatan pada desain ini adalah 147 m maka nilai Faktor Beban Dinamis (FDB) diambil sebesar 30% (SNI 1725-2016 Gambar 28)

$$\begin{aligned}
 P &= P_{BGT} (1+FBD) \\
 &= 49 \text{ kN/m} (1+30\%) \\
 &= 63,7 \text{ kN/m}
 \end{aligned}$$

3. Gaya Rem(TB)

Untuk gaya rem, sesuai dengan SNI 1726-2016 pasal 8.7 gaya yang diambil terbesar dari :

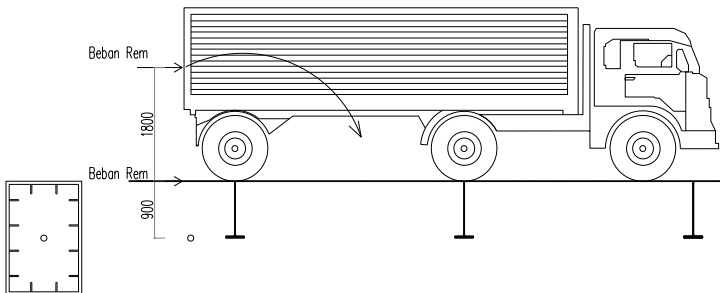
- 25% dari berat gandar truk desain

$$\begin{aligned}
 TB &= 25 \% \cdot (T \cdot 2\text{roda}) \cdot \text{tinggi} \\
 &= 25 \% \cdot (112,5\text{kN} \cdot 2) \cdot 1,8\text{m} \\
 &= 101,25 \text{ kNm}
 \end{aligned}$$
- 5% dari berat truk rencana ditambah beban lajur terbagi rata BTR

$$\begin{aligned}
 TB &= 5\% \cdot (\text{beban truk} + \text{BTR}) \cdot \text{tinggi} \\
 &= 5\% \cdot (500 \text{ kN} + 16,255\text{kN/m} \cdot 3,5\text{m}) \cdot 1,8\text{m} \\
 &= 50,12 \text{ kNm}
 \end{aligned}$$
- Untuk beban horizontal

$$\begin{aligned}
 TB &= 25 \% \cdot (T \cdot 2\text{roda}) \\
 &= 25 \% \cdot (112,5\text{kN} \cdot 2) \\
 &= 56,25 \text{ kN}
 \end{aligned}$$

Dari hasil diatas akan diambil nilai terbesar dari gaya rem sebesar 101,25 kNm dimana beban rem akan dijadikan sebagai momen torsi dan beban horizontal sebesar 56,25 kN.



Gambar 4.40 Ilustrasi beban rem berupa gaya horizontal dan momen torsi

4. Beban Pejalan Kaki

Sesuai dengan SNI 1725-2016 pasal 8.9 semua komponen trotoar lebih lebar dari 600 mm harus direncanakan untuk memikul beban pejalan kaki dengan intensitas 5 kPa

$$\begin{aligned} W \text{ pejalan kaki} &= 5 \text{ kN/m}^2 \cdot 3\text{m} \\ &= 15 \text{ kN/m} \end{aligned}$$

5. Beban Angin

a) Beban angin pada struktur

Berdasarkan SNI 1725-2016 pasal 9.6.1, tekanan angin horizontal untuk bagian jembatan dengan elevasi lebih tinggi dari 10000 mm di atas permukaan tanah atau permukaan air maka kecepatan angin rencana, V_{DZ} , sebagai berikut

$$V_{DZ} = 2,5 \cdot V_0 \left(\frac{V_{10}}{V_B} \right) \ln \left(\frac{Z}{Z_0} \right)$$

Dimana :

V_{DZ} = kecepatan angin rencana pada elevasi rencana, Z (km/jam)

V_{10} = kecepatan angin pada elevasi 10000 mm di atas permukaan tanah atau di atas permukaan air rencana (km/jam)

V_B = kecepatan angin rencana yaitu 90 hingga 126 km/jam pada elevasi 10000 mm yang akan menghasilkan tekanan

Z = elevasi struktur diukur dari permukaan tanah atau dari permukaan air dimana beban angin dihitung ($Z > 10000$ mm)

V_0 = kecepatan gesekan angin, yang merupakan karakteristik meteorologi, ditentukan dalam Tabel 7.1

Z_0 = panjang gesekan di hulu jembatan, yang merupakan karakteristik meteorologi ditentukan dalam Tabel 4.13

V_{10} dapat diperoleh dari :

- Grafik kecepatan angin dasar untuk berbagai periode ulang
- Survey angin pada lokasi jembatan
- Jika tidak ada data yang lebih baik maka perencana dapat mengasumsikan bahwa $V_{10} = V_B = 90$ s/d 126 km/jam

Tabel 4.13 Nilai V_0 dan Z_0 untuk variasi kondisi permukaan hulu

Kondisi	Lahan Terbuka	Sub Urban	Kota
V_0 (km/jam)	13,2	17,6	19,3
Z_0 (mm)	70	1000	2500

$$\begin{aligned}
 V_{DZ} &= 2,5 \cdot 13,2 \left(\frac{100}{100} \right) \ln \left(\frac{13000}{70} \right) \\
 &= 172,4 \text{ km/jam} \\
 &= 47,889 \text{ m/s}
 \end{aligned}$$

Dengan mengetahui kecepatan angin yang bekerja, dapat ditentukan beban angin pada struktur dimana tekanan angin rencana dalam MPa dengan menggunakan persamaan

$$P_D = P_B \left(\frac{V_{DZ}}{V_B} \right)^2$$

Dimana :

P_B = tekanan angin dasar yang ditentukan dalam Tabel 4.14

Tabel 4.14 Tekanan angin dasar

Komponen bangunan atas	Angin tekan (MPa)	Angin hisap (MPa)
Rangka, kolom, dan pelengkung	0,0024	0,0012
Balok	0,0024	N/A
Permukaan datar	0,0019	N/A

$$\begin{aligned}
 P_D &= 0,0024 \left(\frac{172,4}{100} \right)^2 \\
 &= 0,00714 \text{ MPa} \\
 &= 7,14 \text{ kN/m}^2
 \end{aligned}$$

Beban pada struktur akan diterima pada gelegar utama yang berupa *box girder* sehingga dikalikan dengan tinggi penampang *box girder*.

$$\begin{aligned}
 P_D &= 7,14 \text{ kN/m}^2 \cdot 1,5 \text{ m} \\
 &= 10,71 \text{ kN/m} \\
 &= 10,71 \text{ N/mm}
 \end{aligned}$$

$$P_D > P_{D\min}$$

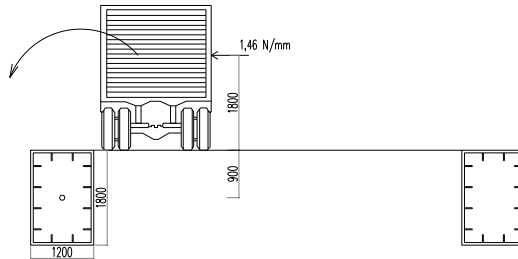
$$10,71 \text{ kN/m} > 4,4 \text{ kN/m (SNI 1725-2016 pasal 9.6.1.1)}$$

b) Beban angin pada kendaraan

Beban angin juga akan dibebankan pada kendaraan yang melintas (EW_1) dimana telah diatur di SNI 1725-2016 pasal 9.6.1.2 dengan asumsi sebagai tekanan yang menerus sebesar 1,46 N/mm yang bekerja tegak lurus dan bekerja diatas 1800mm diatas permukaan jalan. Maka beban angin pada kendaraan yang akan diinput.

$$\begin{aligned}
 EW_1 &= 1,46 \text{ N/mm} \\
 &= 1,46 \text{ kN/m} \cdot (\text{tinggi} + \frac{1}{2} t_{\text{boxgirder}}) \cdot \text{panjang segmen} \\
 &= 1,46 \text{ kN/m} \cdot (1,8\text{m} + 0,9\text{m}) \cdot 3\text{m} \\
 &= 11,826 \text{ kNm}
 \end{aligned}$$

Untuk beban angin pada kendaraan akan diinput sebagai momen torsi.



Gambar 4.41 Ilustrasi beban angin kendaraan menjadi momen torsi

4.4.1.2. Analisa Dinamis

Dalam analisa beban gempa menggunakan RSNi2 2833:201X dimana akan menggunakan *response spectrum* yang didapatkan dari website <http://petagempa.pusjatan.pu.go.id> untuk Kabupaten Bojonegoro dengan tanah sedang. Data yang diambil dari website tersebut adalah PGA , S_s dan S_1 . Dari data tersebut dilanjutkan pada perhitungan sebagai berikut :

RSNi2 2833:201X pasal 4.4.1.2

$$A_s = PGA \cdot F_{PGA}$$

$$PGA = 0,265$$

$$F_{PGA} = 1,27 \quad (\text{diperoleh dari interpolasi})$$

$$A_s = 0,337$$

RSNi2 2833:201X pasal 4.4.1.3

$$S_{DS} = F_a \cdot S_s$$

$$S_s = 0,529$$

$$F_a = 1,377 \quad (\text{diperoleh dari interpolasi})$$

$$S_{DS} = 0,728$$

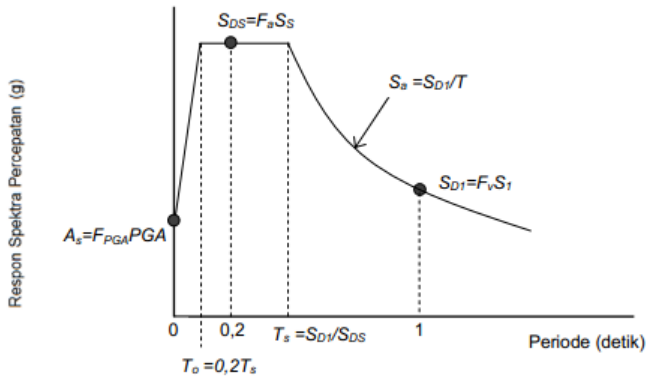
$$S_{D1} = F_v \cdot S_1$$

$$S_1 = 0,242$$

$$F_a = 1,916 \quad (\text{diperoleh dari interpolasi})$$

$$S_{D1} = 0,464$$

Untuk memperoleh grafik respon spektra harus sesuai dengan RSN12 2833:201X. Berikut ini adalah gambar grafik respon spektra.



Gambar 4.42 Grafik respon spektra

$$T_s = \left(\frac{S_{D1}}{S_{DS}} \right) = \left(\frac{0,464}{0,728} \right)$$

$$T_s = 0,637$$

$$T_o = 0,2 \cdot T_s$$

$$T_o = 0,127$$

Dari perhitungan di atas didapat nilai respon spektra, maka nilai respon spektra perlu direduksi dengan $R = 3$ untuk arah melintang atau arah Y dan $R = 1,5$ untuk arah memanjang atau arah X. Menurut kesepakatan komisi keselamatan jembatan dan terowongan jalan dilakukan reduksi gempa pada struktur jembatan arah X memiliki faktor modifikasi respons (R) yang lebih kecil dari gempa pada struktur jembatan arah Y, hal ini terjadi karena pada arah memanjang tidak boleh ada struktur yang leleh. Sedangkan untuk reduksi arah Y memiliki faktor lebih besar karena pada arah melintang diperbolehkan struktur yang leleh contohnya balok penguat pada *pylon*. Untuk lebih jelasnya dapat

dilihat hasil dari perhitungan gempa pada Tabel 4.15 dan Tabel 4.16.

Tabel 4.15 Nilai *response spectrum* pada arah Y

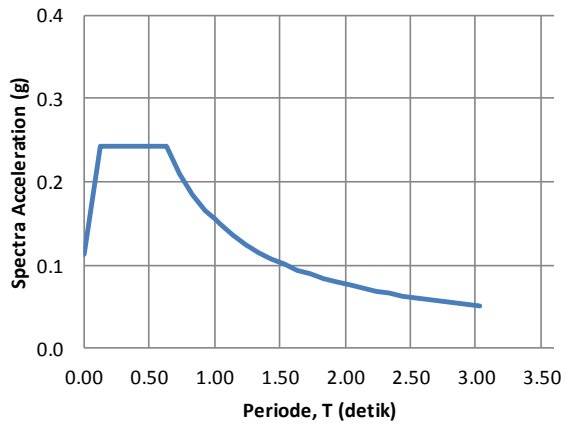
T (detik)	SA (g)	T (detik)	SA (g)	T (detik)	SA (g)
0.000	0.112	1.337	0.116	2.237	0.069
0.127	0.243	1.437	0.108	2.337	0.066
0.637	0.243	1.537	0.101	2.437	0.063
0.737	0.210	1.637	0.094	2.537	0.061
0.837	0.185	1.737	0.089	2.637	0.059
0.937	0.165	1.837	0.084	2.737	0.056
1.037	0.149	1.937	0.080	2.837	0.054
1.137	0.136	2.037	0.076	2.937	0.053
1.237	0.125	2.137	0.072	3.037	0.051

Tabel 4.16 Nilai *response spectrum* pada arah X

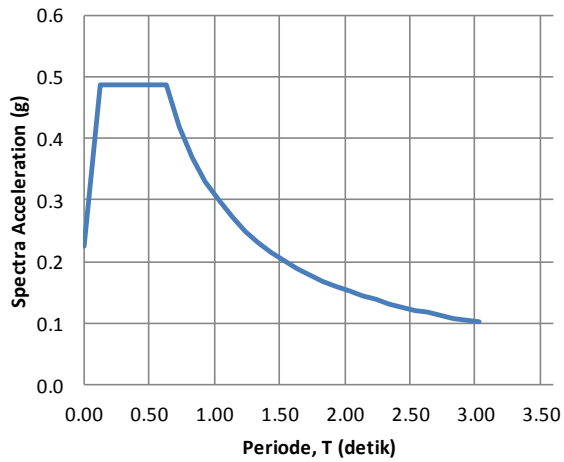
T (detik)	SA (g)	T (detik)	SA (g)	T (detik)	SA (g)
0.000	0.224	1.337	0.231	2.237	0.138
0.127	0.486	1.437	0.215	2.337	0.132
0.637	0.486	1.537	0.201	2.437	0.127
0.737	0.420	1.637	0.189	2.537	0.122
0.837	0.369	1.737	0.178	2.637	0.117
0.937	0.330	1.837	0.168	2.737	0.113
1.037	0.298	1.937	0.160	2.837	0.109
1.137	0.272	2.037	0.152	2.937	0.105
1.237	0.250	2.137	0.145	3.037	0.102

Berikut ini grafik *response spectrum* yang didapat dari puskim dan MIDAS CIVIL dapat dilihat dari Gambar 4.43 dan Gambar 4.44. Untuk zona gempa Kabupaten Bojonegoro dapat dilihat pada Gambar 4.45.

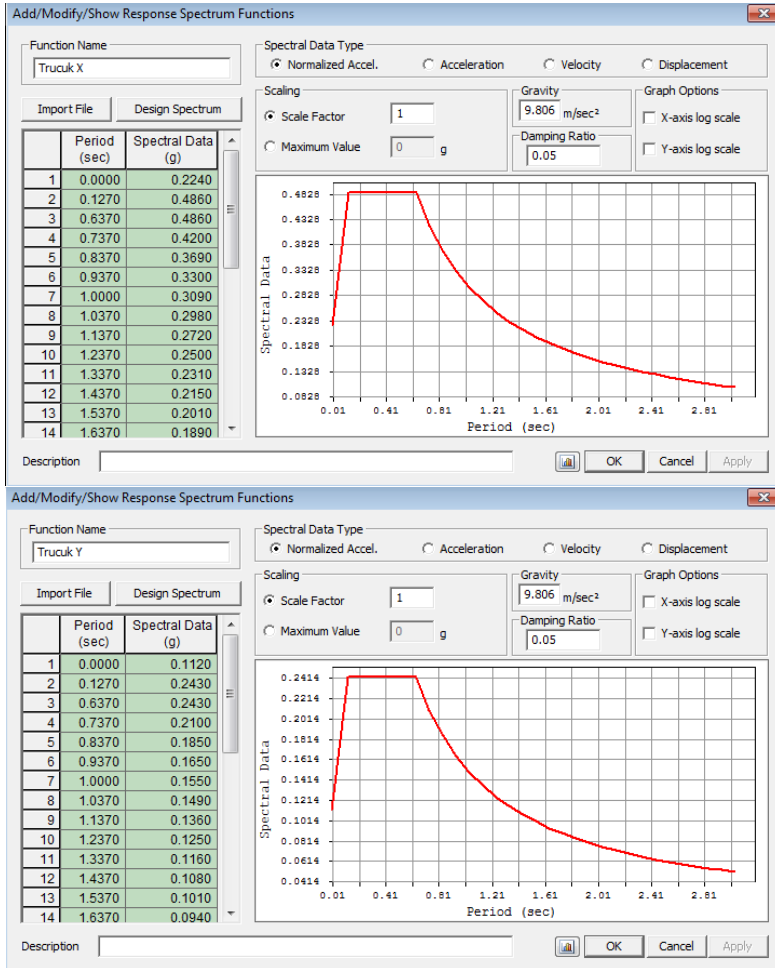
Respond Spectrum Arah Y



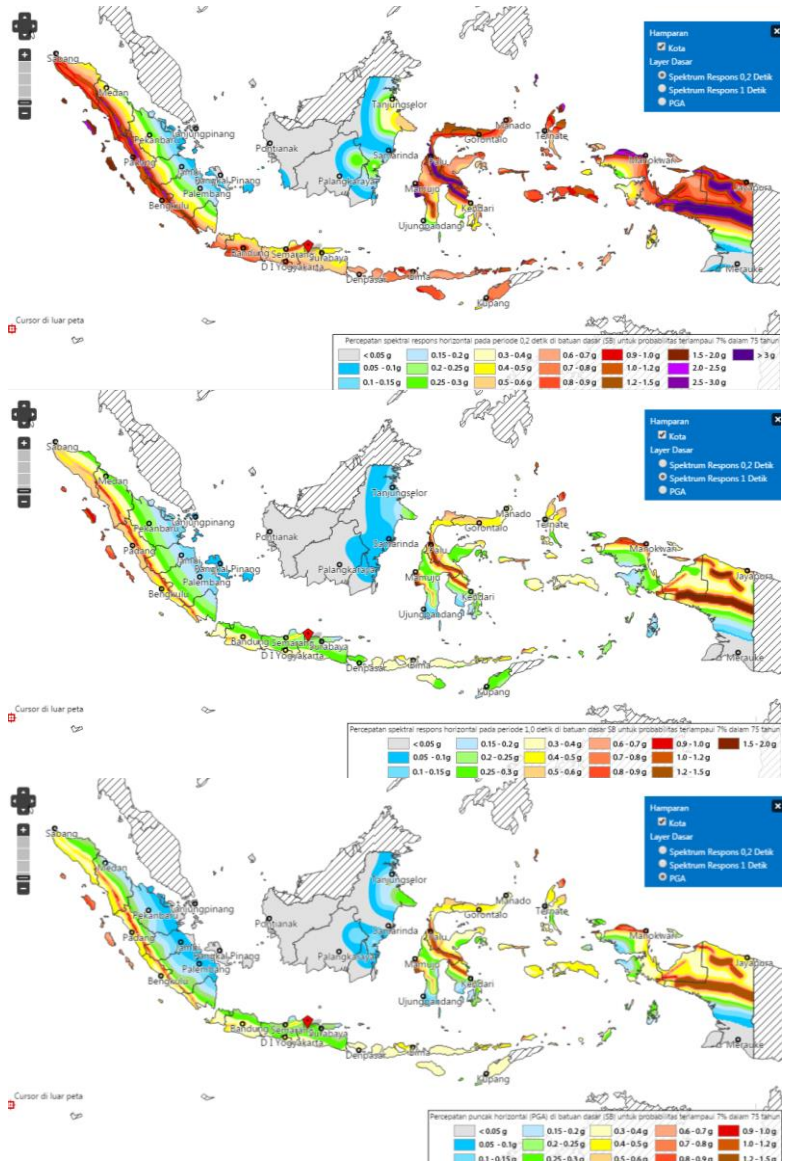
Respond Spectrum Arah X



Gambar 4.43 Grafik *response spectrum*



Gambar 4.44 Grafik *response spectrum* pada MIDAS CIVIL



Gambar 4.45 Peta respon spektra Indonesia

Dari pembebanan gempa diperoleh nilai *base share* ke arah x sebesar 4128,04 kN dan *base share* ke arah y sebesar 2622,15 kN. Untuk periode struktur yang terjadi adalah 3,856 detik. Dari hasil base shear tersebut akan dibandingkan dengan V_{statik} . Sesuai dengan RSN12 2833:201X pasal 5 V_{statik} dapat diperoleh dengan rumus sebagai berikut ini.

$$E_Q = \frac{C}{R} \cdot W_t$$

Dimana :

E_Q = gempa statik (kN)

C = koefisien respon elastis

R = faktor modifikasi respon

= untuk arah Y $R = 3$ (kesepakatan komisi keselamatan jembatan dan terowongan jalan)

= untuk arah X $R = 1,5$ (kesepakatan komisi keselamatan jembatan dan terowongan jalan)

W_t = berat total struktur dari beban mati (36027,72 kN)

Sebelum perhitungan tersebut dilakukan perhitungan periode alami yang terjadi pada jembatan dengan rumus sebagai berikut:

$$T = 2 \cdot \pi \cdot \sqrt{\frac{W}{g \cdot K}}$$

Dimana :

T = gempa statik (kN)

g = percepatan gravitasi (m/detik²)

K = kekakuan struktur yaitu gaya yang diperlukan untuk menimbulkan satu satuan simpangan pada bagian pilar atau kolom (kN/m)

W_t = berat total struktur dari beban mati (36027,72 kN)

Dengan diketahui periode pada jembatan yaitu 3,856 detik maka C diketahui dengan rumus:

$$C = \frac{S_{D1}}{T} = \frac{0,464}{3,856} = 0,12$$

Gempa arah Melintang Y

$$\begin{aligned} E_{QY} &= \frac{0,12}{3} \cdot 36027,72 \text{ kN} \\ &= 1443,99 \text{ kN} \end{aligned}$$

Gempa arah Memanjang X

$$\begin{aligned} E_{QX} &= \frac{0,12}{1,5} \cdot 36027,72 \text{ kN} \\ &= 2887,97 \text{ kN} \end{aligned}$$

Base share dari akibat beban gempa respon harus lebih besar dari 0,85 beban gempa statik. Berikut ini adalah hasil perbandingan beban gempa respon dengan beban gempa statik.

$$\begin{aligned} 0,85 E_{QY} &= 1227,39 \text{ kN} < E_{QY \text{ respon}} = 2622,15 \text{ kN} \\ 0,85 E_{QX} &= 2454,78 \text{ kN} < E_{QX \text{ respon}} = 4128,04 \text{ kN} \end{aligned}$$

Dari hasil tersebut maka tidak perlu adanya pembesaran untuk gempa respon.

4.4.1.3. Kombinasi Pembebanan

a) Kombinasi Beban Analisa Statik

Berikut ini beberapa kombinasi beban untuk analisa statik berdasarkan dari SNI 1725-2016 dengan beberapa konfigurasi yang sesuai dengan 08/SE/M/2015 pasal 10.1 agar mendapatkan pengaruh yang maksimum dapat dilihat pada Tabel 4.17 dan Tabel 4.18.

Tabel 4.17 Kombinasi pembebanan untuk analisa statik

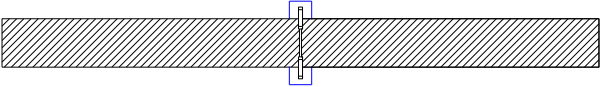
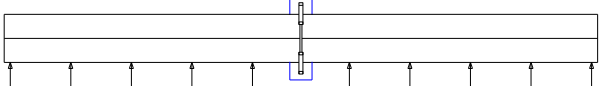
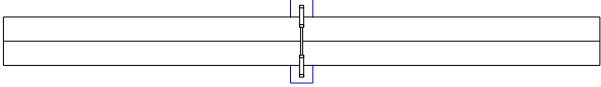
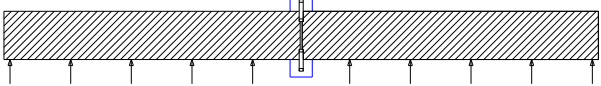
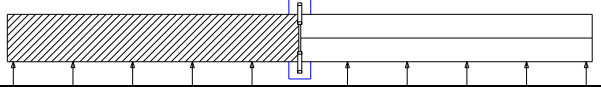
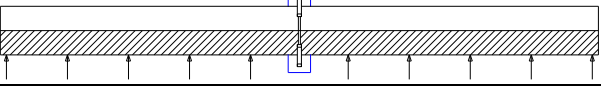
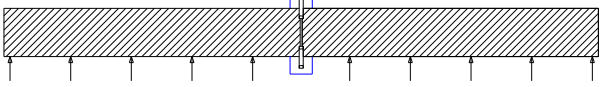
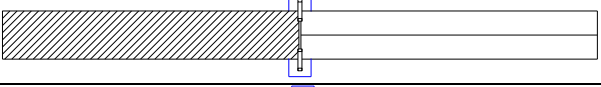
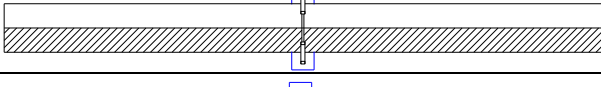
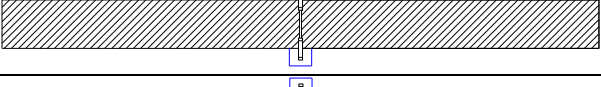
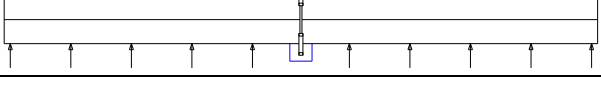
Kasus	Konfigurasi Beban
1	$1,1DL+2ADL+2TD+1,8TB+1,8TP$
2	$1,1DL+2ADL+2TD+1,8TB+1,8TP$
3	$1,1DL+2ADL+2TD+1,8TB+1,8TP$
4	$1,1DL+2ADL+1,4EW_s$
5	$1,1DL+2ADL$
6	$1,1DL+2ADL+0,4EW_s+EW_1$
7	$DL+ADL+TD+TB+TP+0,3EW_s+EW_1$
8	$DL+ADL+TD+TB+TP+0,3EW_s+EW_1$
9	$DL+ADL+TD+TB+TP+0,3EW_s+EW_1$
10	$DL+ADL+1,3TD+1,3TB+1,3TP$
11	$DL+ADL+1,3TD+1,3TB+1,3TP$
12	$DL+ADL+1,3TD+1,3TB+1,3TP$
13	$DL+ADL+0,7EW_s$

Keterangan	
DL	Berat Sendiri
ADL	Beban Mati Tambahan
TD	Beban "D" (BTR & BGT)
BTR	Beban Terbagi Rata
BGT	Beban Garis Terpusat
TB	Beban Rem
TP	Beban Hidup Pejalan Kaki
EW_s	Beban Angin

Tabel 4.18 Ilustrasi dari konfigurasi beban tampak atas

Kasus	Ilustrasi
1	
2	

Tabel 4.18 Ilustrasi dari konfigurasi beban tampak atas (lanjutan)

3	
4	
5	
6	
7	
8	
9	
10	
11	
12	
13	

b) Konfigurasi Beban Analisa Statik

Berikut ini konfigurasi beban untuk analisa dinamik yang berupa beban gempa *response rectrum* dan beban tetap dapat dilihat pada Tabel 4.19 dan Tabel 4.20.

Tabel 4.19 Kombinasi pembebanan untuk analisa dinamik

Kasus	Konfigurasi Beban
14	$1,1DL+2ADL+0,3TD+0,3TB+0,3TP+Ex+0,3Ey$
15	$1,1DL+2ADL+0,3TD+0,3TB+0,3TP+Ex+0,3Ey$
16	$1,1DL+2ADL+0,3TD+0,3TB+0,3TP+Ex+0,3Ey$
17	$1,1DL+2ADL+0,3TD+0,3TB+0,3TP+Ey+0,3Ex$
18	$1,1DL+2ADL+0,3TD+0,3TB+0,3TP+Ey+0,3Ex$
19	$1,1DL+2ADL+0,3TD+0,3TB+0,3TP+Ey+0,3Ex$

Tabel 4.20 Ilustrasi dari konfigurasi beban tampak atas

Kasus	Ilustrasi
14	
15	
16	
17	
18	
19	

4.4.1.4. Pembebanan Kabel

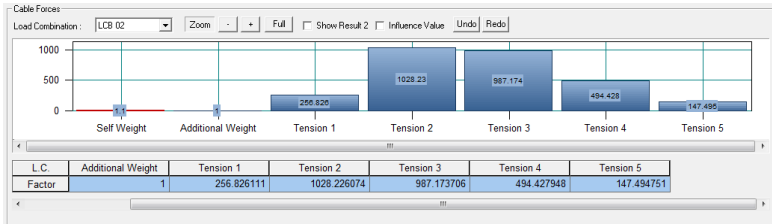
Dalam pelaksanaannya, pada tiap kabel akan diberikan gaya tarik sebelum dibebani. Dengan adanya gaya tarik terlebih dahulu agar dapat mengatur posisi akhir pada gelagar sebelum diberi beban. Bila kabel tidak dibebani terlebih dahulu akan mengakibatkan gelagar akan melendut terlebih dahulu sebelum adanya beban yang bekerja pada lantai kendaraan.

Dengan adanya program MIDAS CIVIL yang dapat membantu menganalisa besarnya gaya tarik pada tiap kabel dengan salah satu fitur yang ada yaitu *unknown load factor calculation*. Berikut ini langkah-langkah dalam melakukan analisa gaya tarik pada tiap kabel dapat dijelaskan sebagai berikut ini:

1. Memberikan gaya tarik (*stressing*) pada kabel sebesar 1 kN pada tiap kabel.
2. Memberikan batasan deformasi untuk tiap nodal pada lantai kendaran. Hal ini dimaksudkan untuk memberikan input program kondisi akhir yang diinginkan untuk lantai kendaraan. Batasan yang diberikan sebesar +0,01 m dan -0,01 m. Hal tersebut dilakukan agar mendapatkan hasil akhir pada lantai kendaraan yang melendut sebesar 0,01m setelah dilakukan penarikan kabel.
3. Ditentukan beban-beban yang bekerja yang dapat mempengaruhi hasil akhir sebelum adanya beban hidup. Beban-beban yang bekerja antara lain adalah beban mati (berat sendiri lantai kendaraan) dan beban mati tambahan.
4. Data yang telah diperlukan oleh program MIDAS CIVIL sehingga dapat melakukan iterasi. Program tersebut akan melakukan iterasi dari gaya yang diberikan sebelumnya sebesar 1 kN dengan batasan yang diberikan yaitu 0,01 m pada lantai kendaraan.
5. Hasil dari analisa adalah *load factor* untuk tiap kabel. Dari gaya tarik sebesar 1 kN diberikan *load factor* oleh program MIDAS CIVIL dari hasil iterasi. Hal ini

berhubungan dengan salah satu fitur adalah *unknown load factor calculation*.

Hasil iterasi pada tiap gaya kabel yang diperoleh dari *cable force tuning* dapat dilihat pada Gambar 4. 46 sebagai berikut.



Gambar 4.46 Gaya tarik awal tiap kabel

4.4.2. Staging analysis

Staging analysis merupakan salah satu fitur dari program bantu MIDAS CIVIL dimana dapat simulasikan metode pelaksanaan yang menggunakan *balance cantilever* dan dipengaruhi oleh beban *form traveler* dan lantai kendaraan. Sebelum dimodelkan, beban yang bekerja seperti *form traveler* dan lantai kendaraan akan dihitung. Karena *form traveler* akan mengangkat lantai kendaraan.

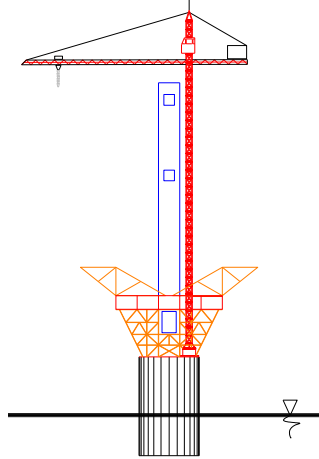
a) Pelaksanaan

Seperti penjelasan sebelumnya, bahwa program bantu MIDAS CIVIL terdapat fitur yang memudahkan dalam mensimulasikan metode pelaksanaan. Berikut ini tahapan yang akan dilakukan dalam hal pelaksanaannya.

Tahapannya sebagai berikut :

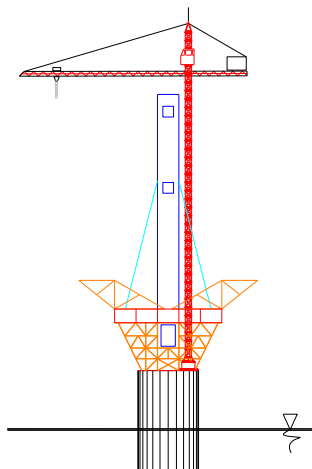
1. Pembangunan struktur bawah yang meliputi pemancangan, pembuatan *pilecap*, dan membangun *abutmen* serta mendirikan tower crane untuk membantu proses pengangkatan bekisting *pylon*.
2. Membangun *pylon* dengan pengecoran persegman *pylon* hingga selesai.

3. Saat pembangunan *abutmen* dan *pylon* dikerjakan, perangkatan *deck* per segmen sepanjang 6m (penyesuaian dengan kemampuan angkat *form traveler*) dilakukan fabrikasi. Setelah struktur bawah dan *pylon* berdiri, dimulai perakitan perancah untuk menempatkan *deck* D1 & D1' pada tengah-tengah *pylon*. Pada tepi gelagar utama terdapat *form traveler* untuk menaikkan segmen *deck* lainnya.



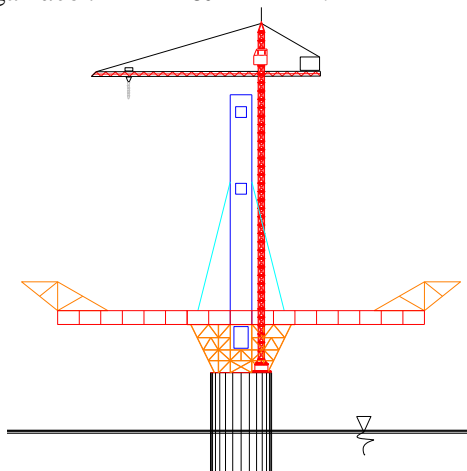
Gambar 4.47 Pendirian *pylon* dan penempatan *deck* D1 & D1'

4. Pemasangan kabel C1 & C1' dapat dilaksanakan pada saat beton *pylon* mencapai umur 14 hari.



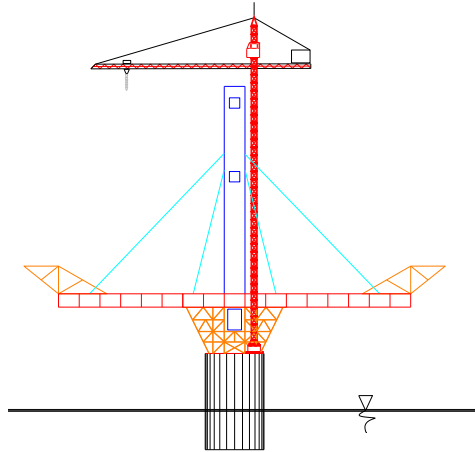
Gambar 4.48 Pemasangan kabel C1 & C1'

5. Pemasangan *deck* D2-D4 & D2'-D4'.



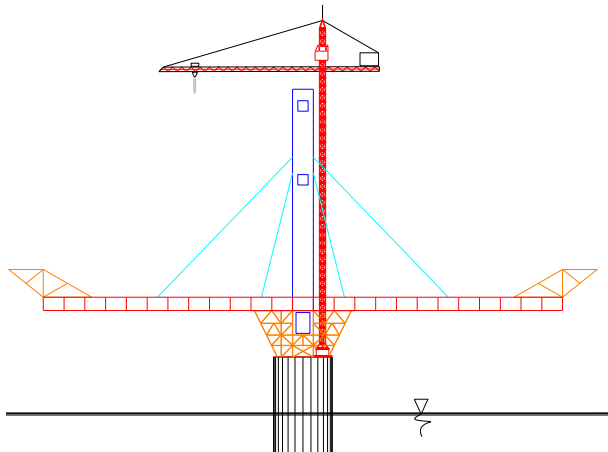
Gambar 4.49 Pemasangan *deck* D2-D4 & D2'-D4'

6. Pemasangan kabel C2& C2'.



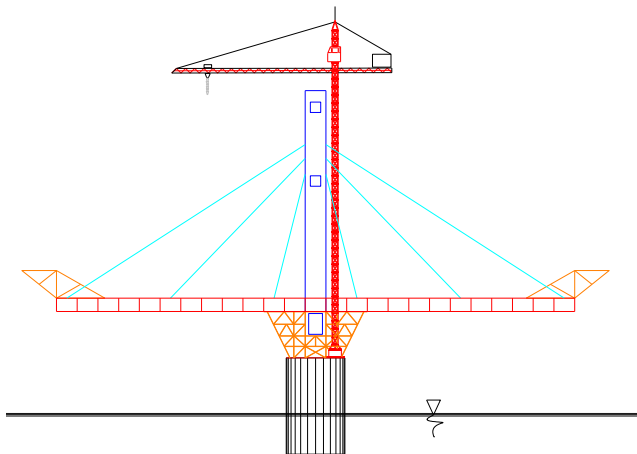
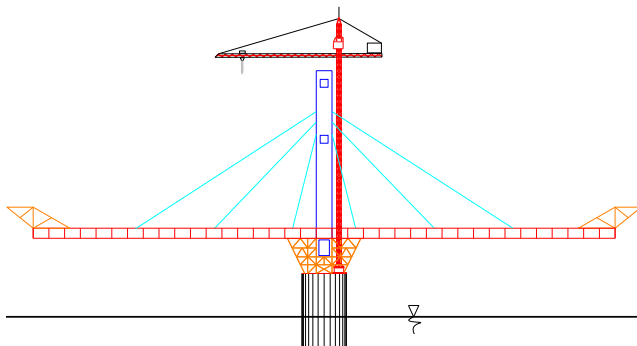
Gambar 4.50 Pemasangan kabel C2& C2'

7. Pemasangan *deck* D5-D6 & D5'-D6'.

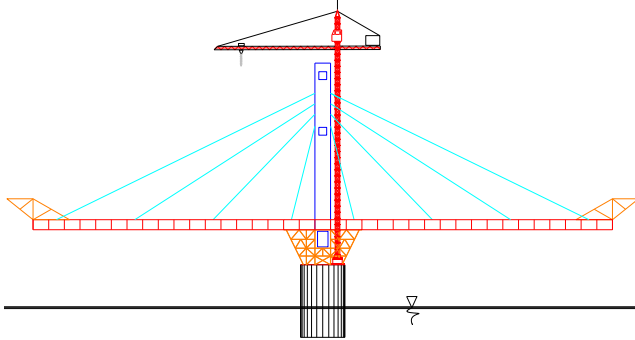
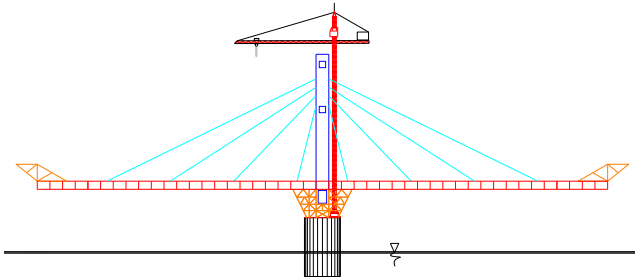


Gambar 4.51 Pemasangan *deck* D5-D6 & D5'-D6'

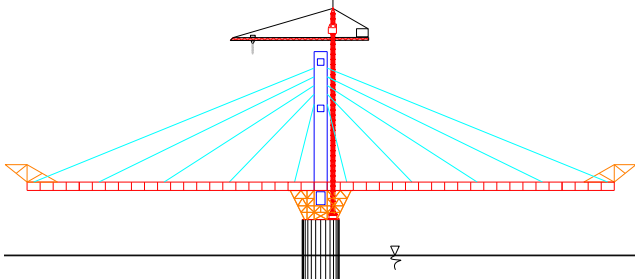
8. Pemasangan kabel C3 & C3'.

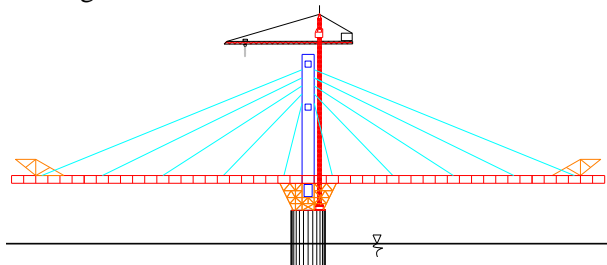
**Gambar 4.52** Pemasangan kabel C3 & C3'9. Pemasangan *deck* D7-D9 & D7'-D9'.**Gambar 4.53** Pemasangan *deck* D7-D9 & D7'-D9'

10. Pemasangan kabel C4 & C4'.

**Gambar 4.54** Pemasangan kabel C4 & C4'11. Pemasangan *deck* D10-D11 & D10'-D11'.**Gambar 4.55** Pemasangan *deck* D10-D11 & D10'-D11'

12. Pemasangan kabel C5 & C5'.

**Gambar 4.56** Pemasangan kabel C5 & C5'

13. Pemasangan *deck* D12-D13 & D12'-D13'.

Gambar 4.57 Pemasangan *deck* D12-D13 & D12'-D13'

b) **Pembebanan**

Untuk melakukan *staging analysis*, terlebih dahulu dilakukan perhitungan pembebanan untuk form traveler dengan beban lantai kendaraan.

1. Beban *form traveler* (P_{FT})

Pada pelaksanaan akan menggunakan *form traveler* dengan tipe *overhead*. *Form traveler* akan membebani struktur yang berupa *balace cantilever*.



Gambar 4.58 Contoh *form traveler* yang digunakan

Spesifikasi form traveler menggunakan dari Handan China Railway Bridge Machinery Co. Ltd., berikut spesifikasi *form traveler* :

Tabel 4.21 FT-S form traveler overhead model specification

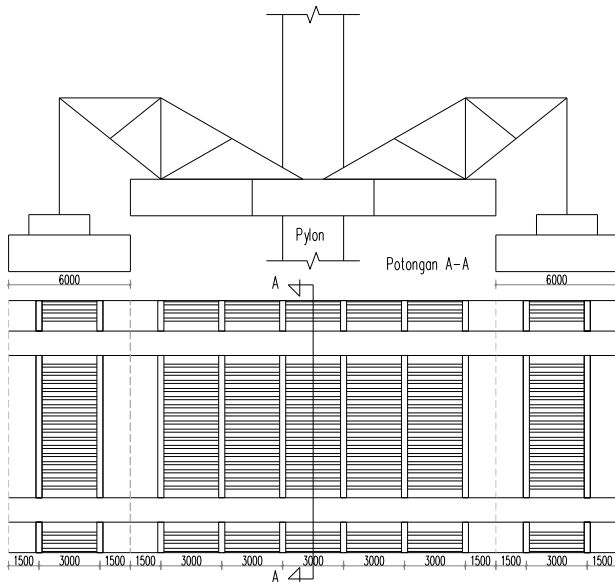
Item	Description		Specification
1	Model		FT-S
2	Capacity		100t ~ 480t
3	Segment Length		3.5m ~ 7.0m
4	Deck Width		5m ~ 35m
5	Bridge Curvature Radius		100m-unlimited
6	Bridge Type		Balance Cantilever Box Girder or Cable Stay
7	Launching Mechanism		Hydraulic
8	Formwork Material		Metal Sheet or Plywood Sheet
9	Shape of Bridge Section		Any shape
10	Production Cycle time		5 days – 7 days depend on site condition, concreting capacity, concrete design, pier height, reinforcement fabrication method etc.
11	Max. Bridge Slope	Longitudinal	7%
		Transverse	5%

Beban form traveler (P_{FT})

$$P_{FT} = 1000\text{kN}$$

2. Beban lantai kendaraan

Direncanakan beban lantai kendaraan dengan segmen per 6m dengan lebar lantai kendaraan 12,4m yang akan diangkat oleh *form traveler*.



Gambar 4.59 Segmen *deck* pada saat pengangkatan (dalam mm)

- Gelagar utama (main girder) :
 - $w = A \text{ (luas)} \cdot \text{massa jenis} \cdot \text{bentang} \cdot n$
 - $= 0,3424 \text{ m}^2 \cdot 7850 \text{ kg/m}^3 \cdot 6 \text{ m} \cdot 2$
 - $= 32354,08 \text{ kg}$
- Balok melintang (floor beam) :
 - $w = q \cdot \text{bentang} \cdot n$
 - $= 476,34 \text{ kg/m} \cdot 7 \text{ m} \cdot 2$
 - $= 3334,37 \text{ kg}$
- Balok kantilever (floor beam) :
 - $w = q \cdot \text{bentang} \cdot n$
 - $= 44,71 \text{ kg/m} \cdot 1,5 \text{ m} \cdot 4 = 268,28 \text{ kg}$
- Rusuk, pelat, aspal :
 - $w = q \cdot \text{bentang} \cdot n$
 - $= 143,56 \text{ kg/m} \cdot 6 \text{ m} \cdot 16$
 - $= 13782 \text{ kg}$

- Berat total persegmen *deck* :

$$\begin{aligned} w_{\text{tot}} &= (32254,08 + 3334,37 + 268,28 + 13782)\text{kg} \\ &= 49638,72 \text{ kg} \\ &= 496,39 \text{ kN} \approx 500 \text{ kN} \end{aligned}$$

3. Beban angin

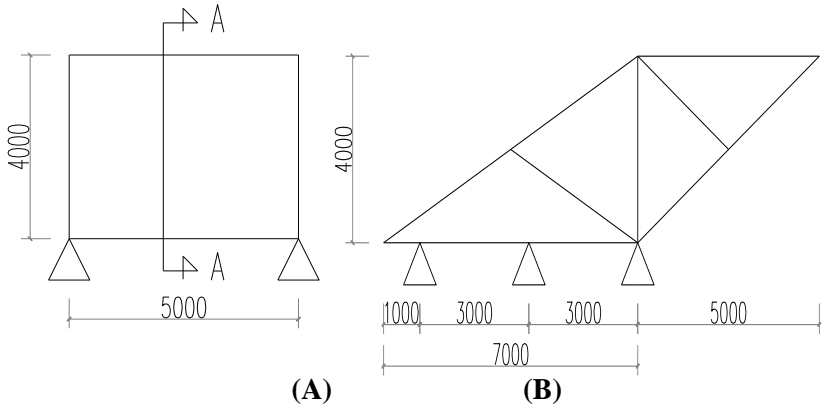
Beban angin diinput dengan besaran seperti pembebanan angin sebelumnya yang dibebankan pada samping gelagar utama untuk mencari gaya dalam terbesar saat kritis.

Pada saat pelaksanaan *staging analysis* beban *deck* akan dipikul oleh *form traveler* kemudian akan disalurkan pada jembatan. Konfigurasi pembebanan dapat dilihat pada Tabel 4.22 berikut ini.

Tabel 4.22 Konfigurasi pembebanan saat *staging analysis*

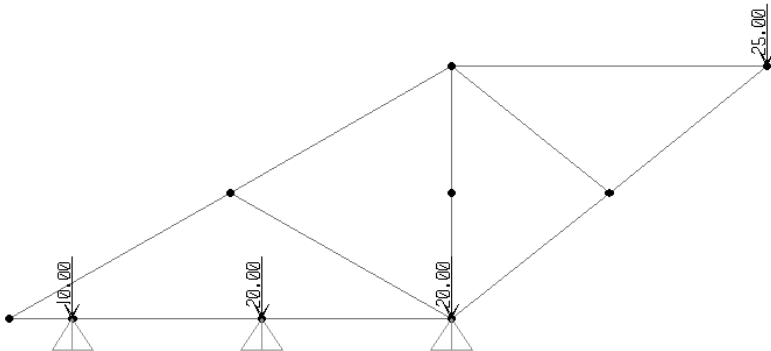
Kasus	Konfigurasi Beban
1	DL + ADL + <i>Form Traveler</i> + EW _s

Berikut ini adalah dimensi *form traveler* yang digunakan dalam *staging analysis* dapat dilihat pada Gambar 4.60.



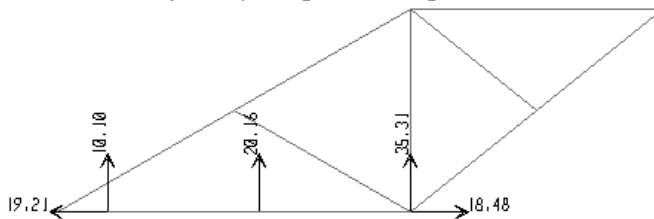
Gambar 4.60 (A) tampak depan, (B) potongan A-A
(dalam mm)

Sebelum beban *staging analysis* diinputkan pada program MIDAS CIVIL 2011, terlebih dahulu dianalisa distribusi pembebanan yang akan diterima pada *form traveler*. Dalam analisa akan menggunakan program bantu SAP2000 karena sudah terbiasa menggunakan program tersebut sehingga terkesan lebih mudah dan cepat, berikut ini ilustrasi analisa yang akan dilakukan sesuai pada Gambar 4.61.



Gambar 4.61 Permodelan dan input beban untuk *form traveler*

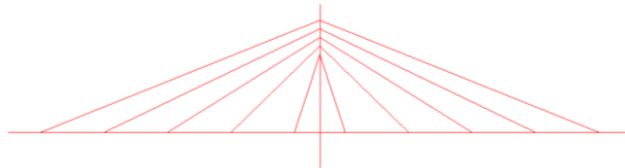
Dalam penginputan beban pada *form traveler* saat permodelan di SAP2000, berat sendiri profil baja diabaikan sehingga beban dianalisa hanya 1500 kN dari perhitungan sebelumnya yang meliputi beban *deck* dan beban *form traveler* yang sebesar 1000 kN. Untuk pembagian beban dibagi menjadi 2 yaitu tiap sisi *form traveler* menerima 750 kN dimana 50 ton untuk berat sendiri, dan 25 ton berat *deck* sehingga total beban yang diterima untuk *form traveler* sebesar 1500 kN. Dari pembebanan tersebut didapat hasil dari analisa SAP2000 untuk *form traveler*. Untuk lebih jelasnya dapat dilihat pada Gambar 4.62.



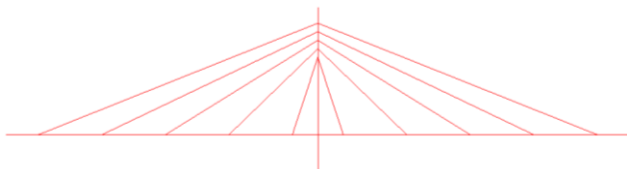
Gambar 4.62 Hasil analisa reaksi untuk *form traveler*

c) Hasil Analisa

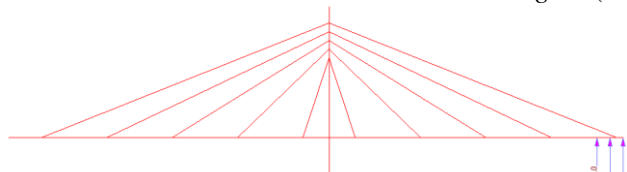
Untuk penginputan beban pada program bantu MIDAS CIVIL seperti pada Gambar 4.63 – Gambar 4.80 . Untuk permodelan *constaction stage* akan dilakukan metode *demolishing procedure* melalui *backward solution* dimana metode dengan pembongkaran dari jembatan sudah terpasang utuh dengan berlawanan arah. Beban yang diinput berupa reaksi perlawanan dari *deck*. Berikut ini tahapan *staging analysis* beserta pembebanan dari *form traveler*.



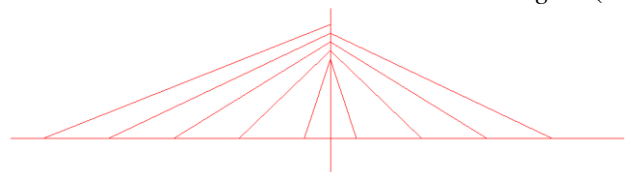
Gambar 4.63 Permodelan saat *Constraction Stage 0 (CS 0)*



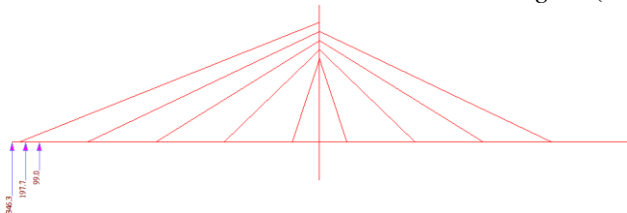
Gambar 4.64 Permodelan saat *Construction Stage 1* (CS 1)



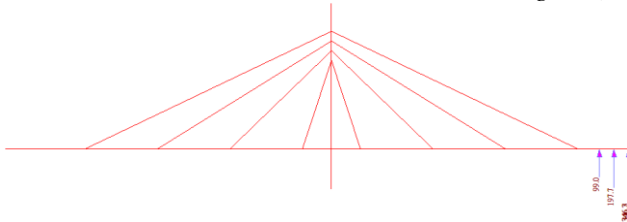
Gambar 4.65 Permodelan saat *Construction Stage 2* (CS 2)



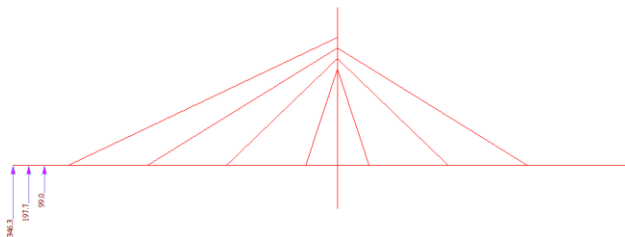
Gambar 4.66 Permodelan saat *Construction Stage 3* (CS 3)



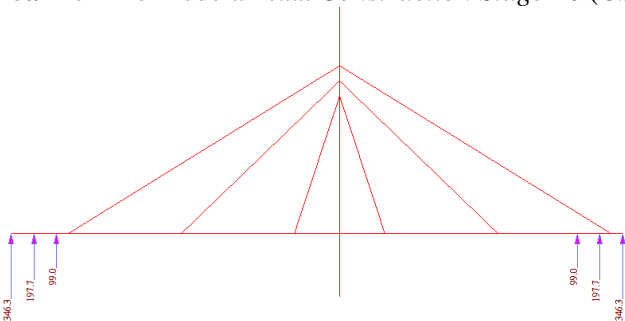
Gambar 4.67 Permodelan saat *Construction Stage 4* (CS 4)



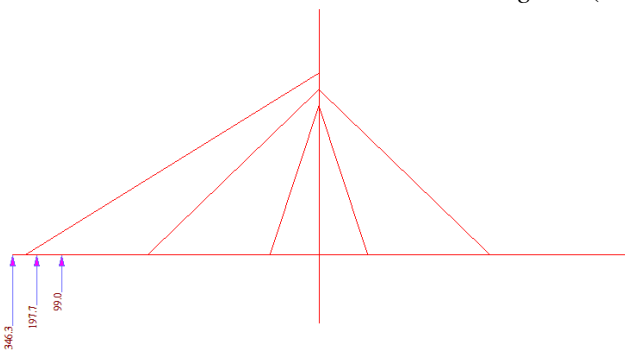
Gambar 4.68 Permodelan saat *Construction Stage 5* (CS 5)



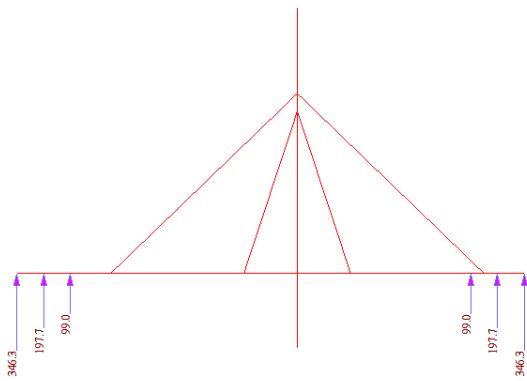
Gambar 4.72 Permodelan saat *Construction Stage 10 (CS 10)*



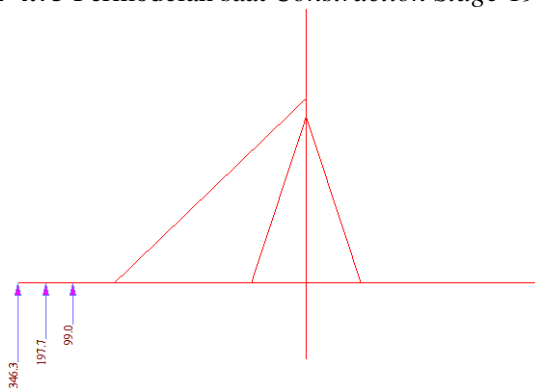
Gambar 4.73 Permodelan saat *Construction Stage 16 (CS 16)*



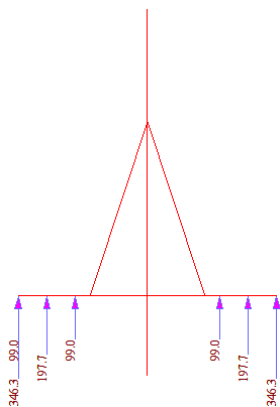
Gambar 4.74 Permodelan saat *Construction Stage 18 (CS 18)*



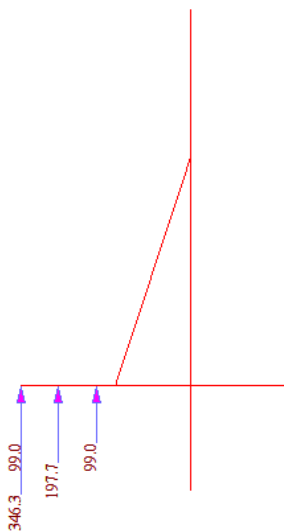
Gambar 4.75 Permodelan saat *Construction Stage 19* (CS 19)



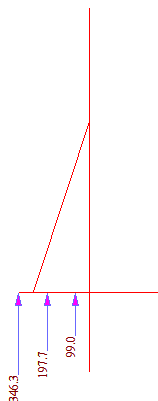
Gambar 4.76 Permodelan saat *Construction Stage 23* (CS 23)



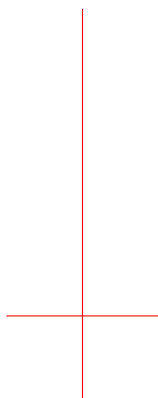
Gambar 4.77 Permodelan saat *Construction Stage 29* (CS 29)



Gambar 4.78 Permodelan saat *Construction Stage 31* (CS 31)



Gambar 4.79 Permodelan saat *Constraction Stage 32* (CS 32)



Gambar 4.80 Permodelan saat *Constraction Stage 33* (CS 33)

Berikut ini adalah hasil dari *staging analysis* tersebut yang menggunakan metode *demolishing procedure* dan hasil dari beberapa kombinasi pada Tabel 4.23, Tabel 4.24, dan Tabel 4.25 :

Tabel 4.23 Hasil dari pembebanan saat *staging analysis* untuk *box girder*

Elem	Load	Stage	Axial (kN)	Shear-y (kN)	Shear-z (kN)	Torsion (kN·m)	Moment-y (kN·m)	Moment-z (kN·m)
215	Summation	CS 25	6232.18	200.85	-71.02	-80.44	1176.25	391.39
353	Summation	CS 30	637.99	534.12	-169.77	-244.64	333.42	868.2
215	Summation	CS 26	-460.88	35.87	-715.84	-114.82	-3720.79	-34.66
353	Summation	CS 31	0	-33.46	-164.88	-758.55	3477.29	190.54
350	Summation	CS 26	-17.52	184.49	220.26	-541.6	10313.78	457.95
222	Summation	CS 30	-26.22	358.46	120.68	-577.07	1041.73	1859.82

Tabel 4.24 Hasil dari pembebanan saat *staging analysis* untuk kabel

Kabel	Elem	Load	Stage	Step	Force-I (kN)	Force-J (kN)
kabel 1	334	Summation	CS 0	001(last)	6.39911	-7.39911
	316	Summation	CS 1	001(last)	5.39911	-8.39911
kabel 2	322	Summation	CS 0	001(last)	8.65956	-9.15687
	320	Summation	CS 1	001(last)	6.6582	-10.1582
kabel 3	324	Summation	CS 0	001(last)	845.415	754.1714
	340	Summation	CS 1	001(last)	765.415	874.1714
kabel 4	328	Summation	CS 1	001(last)	868.074	720.3919
	344	Summation	CS 0	001(last)	728.074	950.3919
kabel 5	358	Summation	CS 0	001(last)	871.931	536.8576
	360	Summation	CS 0	001(last)	536.858	871.9309

Tabel 4.25 Hasil dari pembebanan saat *staging analysis* untuk *pylon*

Potongan Pylon	Elem	Load	Stage	Axial (kN)	Shear-y (kN)	Shear-z (kN)	Torsion (kN·m)	Moment-y (kN·m)	Moment-z (kN·m)
A-A	153	Summation	CS 0	-16052.1	-155.28	0	0	0	-770.79
	154	Summation	CS 0	-9283.14	-1203.62	0	0	0	1051.53
	162	Summation	CS 11	-2746.32	76.18	8.06	0.42	11.51	405.17
	152	Summation	CS 11	-5876.87	572.56	-4.06	-18.04	76.07	828.88
	153	Summation	CS 11	-8171.88	-164.81	4.06	6.23	156.04	-354.92
	152	Summation	CS 1	-8752.9	902.86	0	0	0	1875.1
B-B	155	Summation	CS 0	868.34	0	763.39	0	-2314.33	0
C-C	156	Summation	CS 0	-2506.41	0	-266.74	0	-533.11	0
	156	Summation	CS 0	-1006.41	0	767.06	0	-535.09	0
	315	Summation	CS 0	-224.65	0	-267.03	0	-869.38	0
	156	Summation	CS 11	-496.38	0	-266.93	0	-558.7	1.47

Tabel 4.26 Hasil beban *ultimate* untuk *box girder*

Elem	Load	Part	Axial (kN)	Shear-y (kN)	Shear-z (kN)	Torsion (kN·m)	Moment-y (kN·m)	Moment-z (kN·m)
221	Kasus 3	I[106]	-8729.54	195.52	877.39	279.36	-17284.83	-77.5
266	Kasus 4	J[197]	-90.75	-747.6	1062.68	2777.99	37.11	372.58
170	Kasus 1	I[2]	0.27	396.05	-3646.95	-1112.31	-0.11	0.14
252	Kasus 4	I[165]	-455.6	-329.27	138.06	6640.06	13776.2	-7935.45
323	Kasus 1	J[33]	969.08	31.26	-128.82	-484.95	33996.2	36.84
206	Kasus 4	J[77]	-4810.77	46.49	299.21	-4046.04	-4424.52	-11058.08

Tabel 4.27 Hasil beban layan untuk *box girder*

Elem	Load	Part	Axial (kN)	Shear-y (kN)	Shear-z (kN)	Torsion (kN·m)	Moment-y (kN·m)	Moment-z (kN·m)
353	Kasus 9	I[356]	-5780.19	161.45	-813.1	-969.33	-15439.64	-7265.94
266	Kasus 9	J[197]	-61.21	-621.19	1361.13	2195.1	25.04	251.6
169	Kasus 7	I[3]	64.79	206.56	-2896.68	-1142.99	-26.5	265.02
323	Kasus 9	J[33]	-523.2	243.13	-175.86	-4998.96	15197.08	-5553.64
323	Kasus 10	J[33]	1272.52	16.06	-20.17	-283.13	24007.97	21.5
231	Kasus 9	J[355]	-2703.43	37.76	15.82	3357.25	-2710.13	-8019.92

Tabel 4.28 Hasil beban *ultimate* untuk kabel

Kabel	Elem	Load	Force-I (kN)	Force-J (kN)
Kabel 1	318	Kasus 1	-2422.12	-2442.88
Kabel 2	322	Kasus 3	2352.335	2335.874
Kabel 3	340	Kasus 3	4125.01	4112.479
Kabel 4	328	Kasus 1	4175.06	4166.437
Kabel 5	360	Kasus 3	3157.369	3162.983

Tabel 4.29 Hasil beban layan untuk kabel

Kabel	Elem	Load	Force-I (kN)	Force-J (kN)
Kabel 1	318	Kasus 10	-2060.93	-2079.8
Kabel 2	322	Kasus 12	1344.28	1329.316
Kabel 3	340	Kasus 12	2673.672	2662.281
Kabel 4	330	Kasus 7	2814.251	2806.413
Kabel 5	359	Kasus 9	2731.265	2726.161

Tabel 4.30 Hasil beban *ultimate* untuk *pylon*

Potongan Pylon	Elem	Load	Part	Axial (kN)	Shear-y (kN)	Shear-z (kN)	Torsion (kN·m)	Moment-y (kN·m)	Moment-z (kN·m)
A-A	362	Kasus 3	I[204]	-26157.3	333.14	96.84	-1232.49	2587.87	7292.49
	368	Kasus 1	I[218]	-2666.98	3271.3	446.72	149.42	2155.72	12524.68
	363	Kasus 19	J[206]	-15790.9	658.37	2935.25	953.84	5356.09	14424.44
	363	Kasus 14	I[202]	-16678.2	2048.65	2082.69	4245.41	5255.2	53865.94
	363	Kasus 18	I[202]	-15530.1	523.37	2890.61	672.18	14595.71	12655.4
	375	Kasus 14	I[203]	-18359.8	2064.03	235.54	3234.53	2068.16	65952.78
B-B	155	Kasus 3	J[202]	2452.63	70.49	789.49	356.7	-2992.59	-599.21
	155	Kasus 2	J[202]	1974.44	70.49	1034.11	356.7	-4869.51	-978.65
	155	Kasus 18	J[202]	1640.15	11.75	1666.97	59.46	4166.5	121.09
	155	Kasus 4	J[202]	1496.25	0	1207.56	0	-6141.49	0
	155	Kasus 16	I[201]	1713.94	11.75	-534.87	59.47	-516.47	1047.22
C-C	156	Kasus 3	J[208]	-3726.05	-105.73	295.05	250.11	-538.3	666.11
	315	Kasus 2	I[210]	-519.24	-276.73	-497.84	244.23	-2000.81	-1699.54
	156	Kasus 18	J[208]	-2402.4	-17.62	1119.42	41.69	4115.89	160.75
	156	Kasus 18	I[207]	-2402.4	-17.62	532.25	41.69	4634.64	-61.28
	315	Kasus 2	J[209]	-519.24	-276.73	89.33	244.23	572.81	1787.27

Tabel 4.31 Hasil beban layan untuk *pylon*

Potongan Pylon	Elem	Load	Part	Axial (kN)	Shear-y (kN)	Shear-z (kN)	Torsion (kN-m)	Moment-y (kN-m)	Moment-z (kN-m)
A-A	362	Kasus 12	I[204]	-19048.4	240.6	95.94	-890.13	1671.12	5266.8
	368	Kasus 10	I[218]	-1713.33	2186.04	318.38	99.87	1301.28	8369.8
	363	Kasus 9	I[202]	-14536.82	145.92	1874.31	-1017.61	6190.32	3206.54
	385	Kasus 11	I[205]	-14820.07	-774.69	692.07	-2553.78	5370.79	-17710.17
	376	Kasus 8	I[205]	-15385.32	595.91	-1067	-78.72	-8752.04	-13763.89
	375	Kasus 11	I[203]	-16902.59	-825.6	23.97	56.38	749.97	-24728.16
B-B	155	Kasus 12	J[202]	1689.56	50.91	717.23	257.62	-2487.85	-432.76
	155	Kasus 8	J[202]	1295.84	39.16	1144.41	198.17	-5952.25	-543.69
	155	Kasus 11	J[202]	1369.66	50.91	883.73	257.62	-3767.73	-706.8
C-C	156	Kasus 12	J[208]	-2544.12	-76.36	267.78	180.63	-512.12	481.08
	315	Kasus 12	I[210]	-432.01	-199.86	-267.62	176.39	-646.2	-1259.13
	156	Kasus 8	J[208]	-1926.17	-58.74	699.55	138.95	-3250.98	343.3
	315	Kasus 11	J[209]	-321.12	-199.86	128	176.39	257.12	1290.8

Dari tabel diatas dapat dilihat bahwa gaya-gaya yang dihasilkan saat *staging analysis* tidak menentukan, karena gaya yang diperoleh lebih kecil saat beban layan bekerja.

4.5. Gelagar Utama

Desain gelagar utama berbeda dengan hasil perhitungan preliminary karena penampang preliminary tidak mencukupi sehingga mengganti dimensi. Gelagar utama didesain menggunakan *twin rectangular box girder* dengan dimensi 1800.1200.50.50 dimana terdapat rusuk pada sisi kanan, kiri, atas dan bawah sesuai pada Gambar 4.81 Pada bab ini akan menghitung kemampuan gelagar utama yang menerima gaya akibat berbagai beban dan kombinasi yang telah direncanakan sebelumnya.

4.5.1. Data Gelagar Utama

Data perencanaan gelagar :

BJ 41 → f_u = 410 MPa

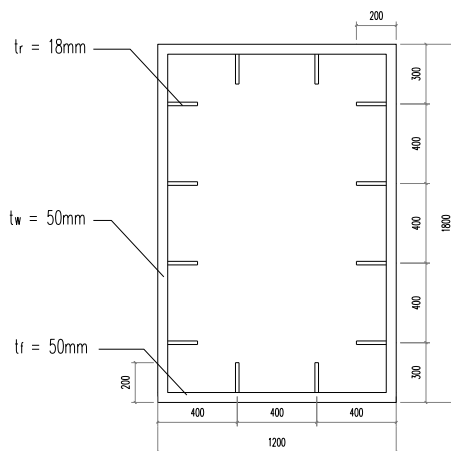
f_y = 250 Mpa

H = 1800 mm S_1 sayap = 400 mm

B = 1200 mm S_2 badan = 400 mm

t_f = 50 mm t_r = 18 mm

t_w = 50 mm h_r = 200 mm



Gambar 4.81 Dimensi gelagar utama (dalam cm)

$$\begin{aligned}
 A &= 3524 \text{ cm}^2 & r_x &= 686,097 \text{ mm} \\
 I_x &= 16588494 \text{ cm}^4 & r_y &= 599,541 \text{ mm} \\
 I_y &= 12666996 \text{ cm}^4 \\
 Z_x &= 219430 \text{ cm}^3 \\
 Z_y &= 195700 \text{ cm}^3
 \end{aligned}$$

Berikut ini *section data* dan *section properties* didapat dari program bantu MIDAS CIVIL dan SAP2000 dapat dilihat pada Gambar 4.82

The image shows two windows from a structural analysis software. The left window is titled 'Section Data' and the right window is titled 'Section Properties'.

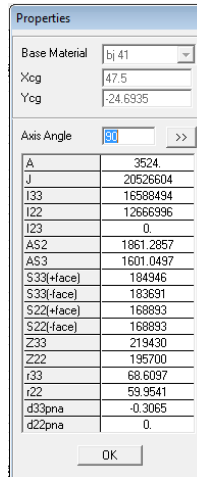
Section Data Window:

- DB/User |
- Section ID: 1
- Box with Stiffener
- Name: G. U. BOX
- User: DB | AISCRK(JIS)
- Sect. Name: (empty)
- Built-Up Section:
- Get Data from Single Angle:
 - D6 Name: AISCRK(JIS)
 - Sect. Name: (empty)
- Dimensions:
 - H: 180 cm
 - B: 120 cm
 - tf: 5 cm
 - tw: 5 cm
 - S1: 40 cm
 - Hr1: 15 cm
 - tr1: 1.8 cm
 - S2: 40 cm
 - Hr2: 15 cm
 - tr2: 1.8 cm
- Consider Shear Deformation.
- Offset: Center-Top
- Buttons: Show Calculation Results..., OK, Cancel, Apply

Section Properties Window:

	Value	Unit
Area	3524000e+003	cm ²
Asy	1.716000e+003	cm ²
Asz	1.908000e+003	cm ²
Ibx	2.012191e+007	cm ⁴
Iyy	1.666442e+007	cm ⁴
Izz	1.264270e+007	cm ⁴
Cyp	7.500000e+001	cm
Cym	7.500000e+001	cm
Czp	9.000000e+001	cm
Czm	9.000000e+001	cm
Qyb	1.102550e+004	cm ³
Qzb	9.758000e+003	cm ³
Peri.0	6.600000e+002	cm
Peri.1	9.800000e+002	cm
Center.y	7.500000e+001	cm
Center.z	9.000000e+001	cm
y1	-7.500000e+001	cm
z1	9.000000e+001	cm
y2	7.500000e+001	cm
z2	9.000000e+001	cm
y3	7.500000e+001	cm
z3	-9.000000e+001	cm
y4	-7.500000e+001	cm
z4	-9.000000e+001	cm

Buttons: Close



Gambar 4.82 Analisa section data dan section properties

4.5.2. Hasil Analisa Struktur

Analisa struktur gelagar utama dilakukan menggunakan program bantu MIDAS CIVIL sehingga mendapatkan hasil output dengan berbagai kombinasi yang sesuai dengan bab sebelumnya dengan maksud mendapatkan nilai gaya maksimum dan minimum lihat Tabel 4.32 berikut ini.

Tabel 4.32 Gaya dalam pada gelagar utama

Load	Axial (kN)	Shear-y (kN)	Shear-z (kN)	Torsion (kN-m)	Moment-y (kN-m)	Moment-z (kN-m)
Maksimum	2261.14	747.6	3017.12	6640.06	33996.2	3206.72
Minimum	-8729.54	-747.6	-3646.95	-6640.06	-19515.12	-11058.08

Kontrol Kemampuan Penampang

a. Analisa Kuat Aksial

Analisa Batang Tarik (SNI 1729-2015 D)

$$\begin{aligned}
 N_n &= A_g \cdot f_y \\
 &= 3524 \cdot 10^2 \text{ mm}^2 \cdot 250 \text{ N/mm}^2 \\
 &= 88100000 \text{ N} = 88100 \text{ kN}
 \end{aligned}$$

Syarat $N_u < \phi N_n$

$$N_u = 8729,54 \text{ kN}$$

$$\begin{aligned}\phi N_n &= 0,9 \cdot 88100 \text{ kN} \\ &= 79290 \text{ kN}\end{aligned}$$

$$\begin{array}{rcl} N_u & < & \phi N_n \\ 8729,54 \text{ kN} & < & 79290 \text{ kN} \dots \text{ (OK)} \end{array}$$

Analisa Batang Tekan (SNI 1729-2015 E)

Analisa kelangsingan

- *Sumbu Z*

$$\begin{aligned}\lambda_r &= 5,70 \sqrt{\frac{E}{f_y}} \\ &= 5,70 \sqrt{\frac{200000}{250}} \\ &= 161,22\end{aligned}$$

$$\begin{aligned}h/t_w &= \frac{1700}{50} \\ &= 34\end{aligned}$$

$h/t_w < \lambda_r$, maka termasuk elemen non langsing

$$\lambda_x = \frac{k_x \cdot L_x}{r_x}$$

$L_x = 6000 \text{ mm}$ (panjang segmen deck yang diangkat)

$$\begin{aligned}\lambda_x &= \frac{1 \cdot 6000}{667,5509} \\ &= 8,99\end{aligned}$$

- *Sumbu Y*

$$\begin{aligned}\lambda_x &= 1,40 \sqrt{\frac{E}{f_y}} \\ &= 1,40 \sqrt{\frac{200000}{250}} \\ &= 39,6 \\ \frac{b}{t_f} &= \frac{1100}{50} \\ &= 22\end{aligned}$$

$b/t_f < \lambda_x$, maka termasuk elemen non langsing

$$\begin{aligned}\lambda_y &= \frac{k_y \cdot L_y}{r_y} \\ L_y &= 6200 \text{ mm (B + 0,5 g. melintang + g. kantilever)} \\ \lambda_y &= \frac{1 \cdot 6200}{599,541} \\ &= 10,34 \text{ (menentukan)}\end{aligned}$$

Digunakan nilai λ dengan nilai terbesar = 10,34
Tegangan kritis, F_{cr} ditentukan sebagai berikut :

$$\begin{aligned}\lambda_y &= \frac{k_y \cdot L_y}{r_y} < 4,71 \sqrt{\frac{E}{f_y}} \\ &= 10,34 < 133,22\end{aligned}$$

Nilai F_{cr} diperoleh sebagai berikut: (SNI 1729-2015 E3-2)

$$F_{cr} = \left[0,658^{\frac{f_y}{F_c}} \right] \cdot f_y$$

$$\begin{aligned}
 F_e &= \frac{\pi^2 \cdot E}{\left(\frac{K \cdot L}{r}\right)^2} \\
 &= \frac{\pi^2 \cdot 200000}{10,34^2} \\
 &= 190878,47 \text{ MPa}
 \end{aligned}$$

$$\begin{aligned}
 F_{cr} &= \left[0,658^{\frac{500}{190878,47}} \right] \cdot 250 \\
 &= 249,9 \text{ MPa}
 \end{aligned}$$

$$\begin{aligned}
 \phi N_n &= \phi \cdot F_{cr} \cdot A_g \\
 &= 0,9 \cdot 249,9 \cdot 3524 \cdot 100 \\
 &= 79246545,96 \text{ N} \\
 &= 79246,54 \text{ kN}
 \end{aligned}$$

$$\begin{array}{lcl}
 N_u & < & \phi N_n \\
 8729,54 \text{ kN} & < & 79246,54 \text{ kN} \dots \text{ (OK)}
 \end{array}$$

b. Analisa Kuat Geser

Kontrol Geser Arah Y (pada sayap)

$$V_{uy} = 747,6 \text{ kN}$$

$$A_f = 2 \cdot t_f \cdot B$$

$$= 2 \cdot 50 \text{ mm} \cdot 1200 \text{ mm}$$

$$= 120000 \text{ mm}^2$$

$$b/t_f = \frac{1100}{50}$$

$$= 22$$

$$k_v = 5 + \frac{5}{(a_1/b)^2} \text{ (SNI 1729-2015 G2)}$$

$$a_1 = S_{1 \text{ sayap}} = \text{jarak bersih antara pengaku} = 400 \text{ mm}$$

$$k_v = 5 + \frac{5}{(400/1100)^2}$$

$$= 42,813$$

$$1,10 \cdot \sqrt{k_v \cdot E / f_y} = 1,10 \cdot \sqrt{42,813 \cdot 200000 / 250} = 203,57$$

$$b/t_f \leq 1,10 \cdot \sqrt{k_v \cdot E / f_y}, \text{ maka } C_v = 1,0$$

$$\begin{aligned} \phi V_n &= \phi \cdot 0,6 \cdot f_y \cdot A_f \cdot C_v \\ &= 0,75 \cdot 0,6 \cdot 250 \text{ N/mm}^2 \cdot 120000 \text{ mm}^2 \cdot 1 \\ &= 13500000 \text{ N} \\ &= 13500 \text{ kN} \end{aligned}$$

$$\begin{array}{rcl} V_{uy} & < & \phi V_{ny} \\ 747,6 \text{ kN} & < & 13500 \text{ kN} \dots \text{ (OK)} \end{array}$$

Kontrol Geser Arah Z (pada badan)

$$V_{uz} = 3646,95 \text{ kN}$$

$$\begin{aligned} A_b &= 2 \cdot t_w \cdot h \\ &= 2 \cdot 50 \text{ mm} \cdot (1800 - 100) \text{ mm} \\ &= 170000 \text{ mm}^2 \end{aligned}$$

$$\begin{aligned} h/t_w &= \frac{1700}{50} \\ &= 34 \end{aligned}$$

$$k_v = 5 + \frac{5}{(a_1/b)^2} \text{ (SNI 1729-2015 G2)}$$

$$a_2 = S_2 \text{ badan} = \text{jarak bersih antara pengaku} = 400 \text{ mm}$$

$$\begin{aligned} k_v &= 5 + \frac{5}{(400/1700)^2} \\ &= 95,313 \end{aligned}$$

$$1,10 \cdot \sqrt{k_v \cdot E / f_y} = 1,10 \cdot \sqrt{95,313 \cdot 200000 / 250} = 303,75$$

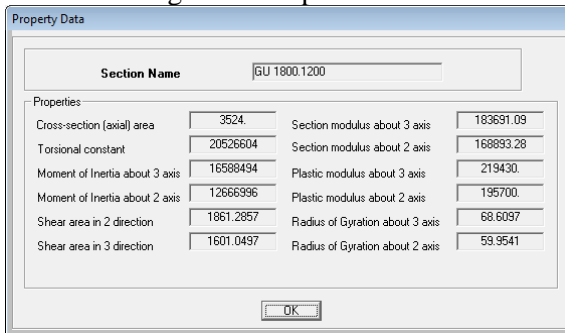
$$h/t_w \leq 1,10 \cdot \sqrt{k_v \cdot E / f_y}, \text{ maka } C_v = 1,0$$

$$\begin{aligned} \phi V_n &= \phi \cdot 0,6 \cdot f_y \cdot A_b \cdot C_v \\ &= 0,75 \cdot 0,6 \cdot 250 \text{ N/mm}^2 \cdot 170000 \text{ mm}^2 \cdot 1 \\ &= 19125000 \text{ N} \\ &= 19125 \text{ kN} \end{aligned}$$

$$\begin{aligned} V_{uz} &< \phi V_{nz} \\ 3646,95 \text{ kN} &< 19125 \text{ kN} \dots (\text{OK}) \end{aligned}$$

c. Analisa Kuat Lentur

Untuk memperoleh nilai modulus plastis penampang box girder 1800.1200.50.50 menggunakan program bantu SAP2000 sebagai berikut pada Gambar 4.83.



Gambar 4.83 Penampang *Box*

Dari analisa menggunakan SAP2000 didapat nilai berikut ini :

$$\begin{aligned} Z_x &= Z_y = 219430 \text{ cm}^3 \\ Z_y &= Z_z = 195700 \text{ cm}^3 \end{aligned}$$

Kontrol Tekuk Lokal (SNI 1729-2015 Tabel B4.1)

$$\begin{aligned} \lambda &= \frac{b}{2.t} & \lambda_p &= 1,12 \cdot \sqrt{\frac{E}{f_y}} \\ &= \frac{1100}{2.50} & &= 1,12 \cdot \sqrt{\frac{200000}{250}} \\ &= 11 & &= 31,68 \\ & & \lambda &< \lambda_p \dots (\text{OK}) \end{aligned}$$

$$\begin{aligned} \lambda &= \frac{h}{2.t} & \lambda_p &= 2,42 \cdot \sqrt{\frac{E}{f_y}} \\ &= \frac{1700}{2.50} & &= 2,42 \cdot \sqrt{\frac{200000}{250}} \\ &= 17 & &= 68,5 \\ & & \lambda &< \lambda_p \dots (\text{OK}) \end{aligned}$$

Karena nilai $\lambda < \lambda_p$, maka gelagar utama *box girder* termasuk penampang kompak.

Momen Arah Y (pada sayap)

$$\begin{aligned} M_{uy} &= 33996,2 \text{ kNm} \\ M_{ny} &= M_{py} \\ &= Z_y \cdot f_y \\ &= (219430 \cdot 10^3 \cdot 250) \text{ Nmm} \\ &= 5,48575 \cdot 10^{10} \text{ Nmm} \\ &= 54857,5 \text{ kNm} \\ \phi M_{ny} &= 0,9 \cdot 54857,5 \text{ kNm} \\ &= 49371,75 \text{ kNm} \end{aligned}$$

$$\begin{aligned} M_{uy} &< \phi M_{ny} \\ 33996,2 \text{ kNm} &< 49371,75 \text{ kNm} \dots (\text{OK}) \end{aligned}$$

Momen Arah Z

$$M_{uz} = 11058,08 \text{ kNm}$$

$$\begin{aligned} M_{nz} &= M_{py} \\ &= Z_z \cdot f_y \\ &= (195700 \cdot 10^3 \cdot 250) \text{ Nmm} \\ &= 4,8925 \cdot 10^{10} \text{ Nmm} \\ &= 48925 \text{ kNm} \end{aligned}$$

$$\begin{aligned} \phi M_{nz} &= 0,9 \cdot 48925 \text{ kNm} \\ &= 44032,5 \text{ kNm} \end{aligned}$$

$$\begin{aligned} M_{uz} &< \phi M_{nz} \\ 11058,08 \text{ kN} &< 44032,5 \text{ kN} \dots (\text{OK}) \end{aligned}$$

d. Kombinasi Lentur dan Aksial

Kontrol kemampuan penampang yang berupa simetris ganda dengan interaksi lentur dan aksial. (SNI 1729-2015 H1)

$$\begin{aligned} P_r &= P_u = 8729,54 \text{ kN} \\ P_c &= \phi P_n = 79246,55 \text{ kN} \\ M_{rx} &= M_{uy} = 33996,2 \text{ kNm} \\ M_{cx} &= \phi M_{ny} = 49371,75 \text{ kNm} \\ M_{ry} &= M_{uz} = 11058,08 \text{ kNm} \\ M_{cy} &= \phi M_{nz} = 44032,5 \text{ kNm} \end{aligned}$$

$$\frac{P_r}{P_c} = \frac{8729,54}{79246,55} = 0,11 \leq 0,2$$

maka digunakan rumus 2 sebagai berikut :

$$\frac{P_r}{2P_c} + \left(\frac{M_{rx}}{M_{cx}} + \frac{M_{ry}}{M_{cy}} \right) \leq 1,0$$

$$0,99479 \leq 1,0$$

e. Analisa Kuat Torsi

Kontrol kemampuan torsi untuk penampang persegi berongga

$$\begin{aligned} T_u &= 6640,06 \text{ kNm} \\ &= 6640060000 \text{ Nmm} \end{aligned}$$

$$\begin{aligned} \frac{h}{t} &= \frac{1700}{50} \\ &= 34 \end{aligned}$$

$$2,45 \sqrt{\frac{E}{f_y}} = 2,45 \sqrt{\frac{200000}{250}}$$

$$= 69,3$$

$$\begin{aligned} \text{Maka } f_{cr} &= 0,6 \cdot f_y \\ &= 0,6 \cdot 250 \text{ N/mm}^2 \\ &= 150 \text{ N/mm}^2 \end{aligned}$$

$$\begin{aligned} C &= 2 \cdot (B - t) \cdot (H - t) \cdot t - 4,5 \cdot (4 - \pi \cdot t)^3 \\ &= 2 \cdot (1200 - 50) \cdot (1800 - 50) \cdot 50 - \\ &4,5 \cdot (4 - \pi \cdot 50)^3 \\ &= 217392275,24 \text{ mm}^3 \end{aligned}$$

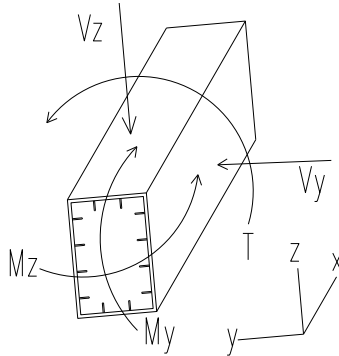
$$\begin{aligned} T_c &= 0,9 \cdot f_{cr} \cdot C \\ &= 0,9 \cdot 150 \text{ N/mm}^2 \cdot 217392275,24 \text{ mm}^3 \\ &= 29347957157,29 \text{ Nmm} \\ &= 29347,96 \text{ kNm} \end{aligned}$$

$$\begin{aligned} T_u &< T_c \\ 6640,06 \text{ kNm} &< 29347,96 \text{ kNm} \dots (\text{OK}) \end{aligned}$$

4.5.3. Sambungan Gelagar Utama

Sambungan antar gelagar utama berupa sambungan baut dengan pelat baja sebagai penyambung. Sambungan dilakukan pada setiap pertemuan *segmen deck* dimana sambungan tersebut mengelilingi gelagar utama. Beban yang diterima oleh gelagar utama dianggap memikul beban yang sama pada tiap *segmen*. Berikut gaya maksimum dari gelagar utama dan arah gaya dalam *box girder* dapat dilihat pada Gambar 4.84:

$$\begin{aligned}
 N_u &= 8729,54 \text{ kN} \\
 T_u &= 6640,06 \text{ kNm} \\
 V_{uy} &= 747,6 \text{ kN} \\
 V_{uz} &= 3646,95 \text{ kN} \\
 M_{uy} &= 33996,2 \text{ kNm} \\
 M_{uz} &= 11058,08 \text{ kNm}
 \end{aligned}$$



Gambar 4.84 Arah gaya dalam *box girder*

Direncanakan baut $\text{Ø}32 \text{ mm}$

$$f_u^b = 500 \text{ Mpa}$$

$$\begin{aligned}
 A_b &= 0,25 \cdot \pi \cdot (32 \text{ mm})^2 \\
 &= 804,25 \text{ mm}^2
 \end{aligned}$$

Lubang perlemahan (d_p)

$$\begin{aligned}
 d_p &= 32 \text{ mm} + 1,5 \text{ mm} \\
 &= 33,5 \text{ mm (di bor)}
 \end{aligned}$$

Pelat penyambung

$$t_p = 25 \text{ mm (dipasang dua bidang geser, luar dan dalam)}$$

$$BJ = 41$$

$$f_u = 410 \text{ Mpa}$$

$$f_y = 250 \text{ Mpa}$$

- Kuat nominal satu (1) baut
- a. Kuat geser (Vd)
- $$r_1 = 0,5 \text{ (tidak ada ulir pada bidang geser)}$$
- $$m = 1 \text{ (satu bidang geser)}$$
- $$\begin{aligned} \phi V_n &= \phi_f \cdot r_1 \cdot f_u^b \cdot A_b \cdot m \\ &= 0,75 \cdot 0,5 \cdot 500 \cdot 804,25 \cdot 2 \\ &= 301592,89 \text{ N} \\ &= 301,59 \text{ kN (menentukan)} \end{aligned}$$
- b. Kuat tumpu (Rd)
- $$\begin{aligned} \phi R_n &= \phi_f \cdot 2,4 \cdot d_b \cdot t_p \cdot f_u \\ &= 0,75 \cdot 2,4 \cdot 32 \cdot 25 \cdot 410 \\ &= 590400 \text{ N} \\ &= 590,4 \text{ kN} \end{aligned}$$
- Dipakai nilai kuat nominal satu (1) baut
- $$\phi V_n = 301,59 \text{ kN}$$

Pelat Badan (samping)

- Syarat jarak antar baut

$$\begin{aligned} 3d_b &\leq S \leq 15 \cdot t_p \text{ atau } 200 \text{ mm} \\ 3(32 \text{ mm}) &\leq S \leq 15(25 \text{ mm}) \text{ atau } 200 \text{ mm} \\ 96 \text{ mm} &\leq S \leq 375 \text{ mm atau } 200 \text{ mm} \end{aligned}$$

Dipakai nilai $S = 140 \text{ mm}$

- Syarat jarak baut ke tepi pelat

$$\begin{aligned} 1,5d_b &\leq S \leq 12 \cdot t_p \text{ atau } 150 \text{ mm} \\ 1,5(32 \text{ mm}) &\leq S \leq 12(25 \text{ mm}) \text{ atau } 150 \text{ mm} \\ 48 \text{ mm} &\leq S \leq 300 \text{ mm atau } 150 \text{ mm} \end{aligned}$$

Dipakai nilai $S = 50 \text{ mm}$

Pelat Sayap (atas)

- Syarat jarak antar baut

$$\begin{aligned} 3d_b &\leq S \leq 15 \cdot t_p \text{ atau } 200 \text{ mm} \\ 3(32 \text{ mm}) &\leq S \leq 15(25 \text{ mm}) \text{ atau } 200 \text{ mm} \\ 96 \text{ mm} &\leq S \leq 375 \text{ mm atau } 200 \text{ mm} \end{aligned}$$

Dipakai nilai $S = 150 \text{ mm}$

- Syarat jarak baut ke tepi pelat

$$1,5db \leq S \leq 12 \cdot tp \text{ atau } 150 \text{ mm}$$

$$1,5(32 \text{ mm}) \leq S \leq 12(25 \text{ mm}) \text{ atau } 200 \text{ mm}$$

$$48 \text{ mm} \leq S \leq 300 \text{ mm atau } 200 \text{ mm}$$

Dipakai nilai $S = 50 \text{ mm}$

➤ Kebutuhan baut sayap

Untuk menghitung kebutuhan jumlah baut pada sayap *box girder*, maka perlu pembagian gaya dalam yang bekerja pada bagian sayap.

$$\begin{aligned} N_u \text{ untuk sayap} &= N_u \cdot \left(\frac{B}{2(B+H)} \right) \\ &= 8729,54 \cdot \left(\frac{1,2}{2(1,2+1,8)} \right) \\ &= 1745,91 \text{ kN} \end{aligned}$$

$$\begin{aligned} T_u \text{ untuk sayap} &= T_u \cdot \left(\frac{B}{2(B+H)} \right) \\ &= 6640,06 \cdot \left(\frac{1,2}{2(1,2+1,8)} \right) \\ &= 1328,01 \text{ kNm} \end{aligned}$$

$$V_y = 747,6 \text{ kN}$$

$$M_y = 33996,2 \text{ kNm}$$

Untuk arah x

$$\begin{aligned} N_u + M_y/H &= 1745,54 + \left(\frac{33996,2}{1,8} \right) \\ &= 20632,69 \text{ kN} \end{aligned}$$

Untuk arah y

$$T_u/H + V_y = \left(\frac{1328,01}{1,8} \right) + 747,6 \text{ kN}$$

$$= 1485,38 \text{ kN}$$

$$R = \sqrt{x^2 + y^2}$$

$$= \sqrt{20632,69^2 + 1485,38^2}$$

$$= 20686,08 \text{ kN}$$

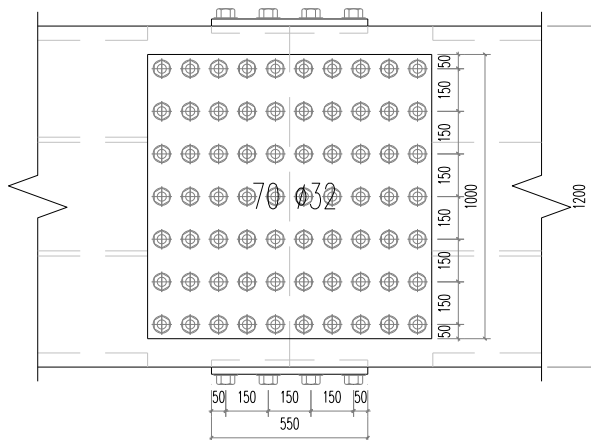
$$N_{\text{baut}} = R/R_u$$

$$= \left(\frac{20686,08}{301,59} \right)$$

$$= 68,59 \text{ buah}$$

Maka dipasang pada sisi bawah dan atas sebanyak 70 buah

Berikut ini ilustrasi sambungan baut pada gelagar utama pada bagian sayap atau sisi atas dan bawah pada Gambar 4.85.



Gambar 4.85 Sambungan pada sayap atau sisi atas dan bawah (dalam mm)

➤ Kebutuhan baut badan

Untuk menghitung kebutuhan jumlah baut pada badan *box girder*, maka perlu pembagian gaya dalam yang bekerja pada bagian badan.

$$\begin{aligned} N_u \text{ untuk badan} &= N_u \cdot \left(\frac{H}{2(B+H)} \right) \\ &= 8729,54 \cdot \left(\frac{1,8}{2(1,2+1,8)} \right) \\ &= 2618,86 \text{ kN} \end{aligned}$$

$$\begin{aligned} T_u \text{ untuk badan} &= T_u \cdot \left(\frac{H}{2(B+H)} \right) \\ &= 6640,06 \cdot \left(\frac{1,8}{2(1,2+1,8)} \right) \\ &= 1992,02 \text{ kNm} \end{aligned}$$

$$\begin{aligned} V_z &= 3646,95 \text{ kN} \\ M_z &= 11058,08 \text{ kNm} \end{aligned}$$

Untuk arah x

$$\begin{aligned} N_u + M_z/B &= 2618,86 + \left(\frac{11058,08}{1,2} \right) \\ &= 11833,93 \text{ kN} \end{aligned}$$

Untuk arah z

$$\begin{aligned} T_u/B + V_z &= \left(\frac{1992,02}{1,2} \right) + 3646,95 \text{ kN} \\ &= 5306,97 \text{ kN} \end{aligned}$$

$$\begin{aligned} R &= \sqrt{x^2 + z^2} \\ &= \sqrt{11833,93^2 + 5306,97^2} \end{aligned}$$

$$= 12969,42 \text{ kN}$$

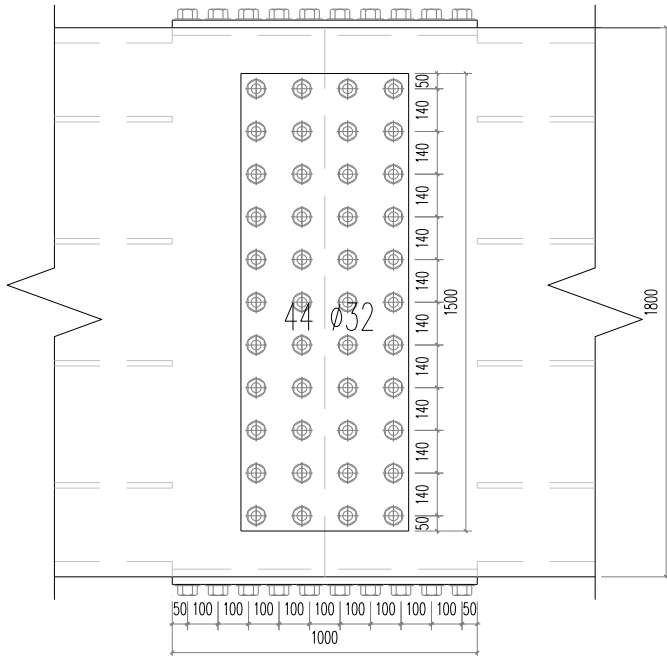
$$N_{\text{baut}} = R/R_u$$

$$= \left(\frac{12969,42}{301,59} \right)$$

$$= 43 \text{ buah}$$

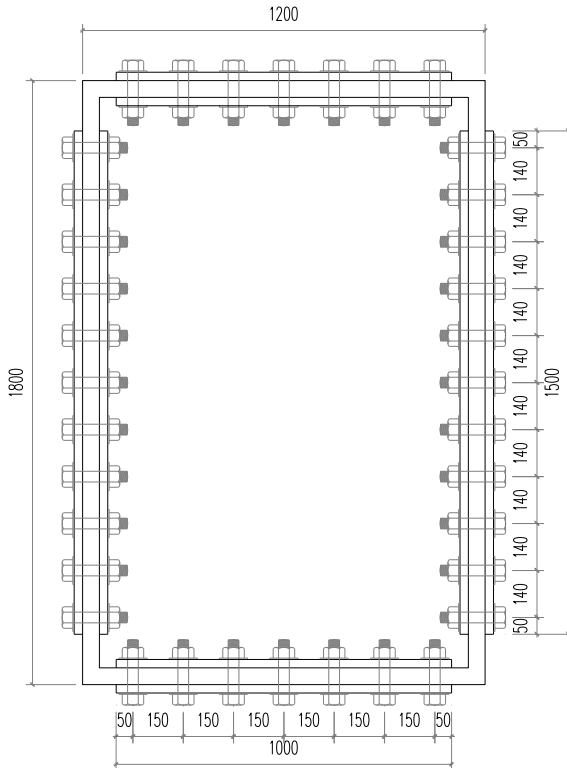
Maka dipasang pada sisi kanan dan kiri sebanyak 44 buah

Berikut ini ilustrasi sambungan baut pada gelagar utama pada bagian badan atau sisi samping pada Gambar 4.86.



Gambar 4.86 Sambungan pada badan atau sisi samping (dalam mm)

Untuk sambungan gelagar utama pada potongan melintang akan terlihat sambungan pada sayap atau sisi atas dan bawah dan sambungan pada badan atau sisi samping dapat dilihat pada Gambar 4.87.



Gambar 4.87 Sambungan pada potongan melintang gelagar utama (dalam mm)

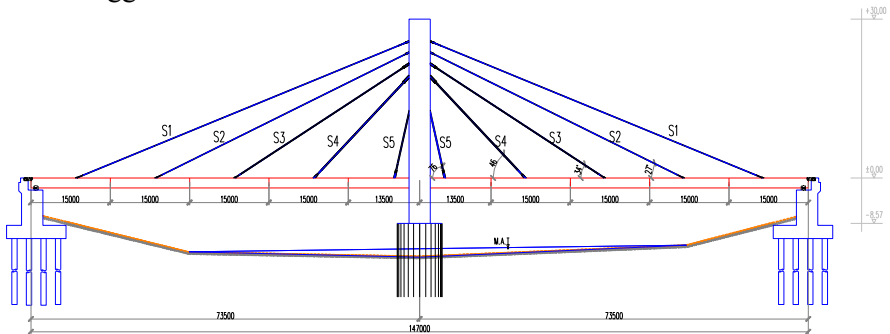
4.6. Struktur Kabel

Struktur kabel merupakan struktur yang penting untuk jembatan *cable stayed*, karena kabel tersebut akan memikul lantai kendaraan dimana lantai kendaraan akan menerima beberapa beban antara lain adalah berat sendiri, beban mati, beban hidup, beban angin, beban saat pelaksanaan, dan beban gempa. Semua beban tersebut akan disalurkan ke *pylon*.

4.6.1. Data Perencanaan

Seerti pada bab sebelumnya yaitu bab preliminary desain menggunakan jenis kabel paralel *VSL 7-wires strand*. Untuk desain kabel, seperti yang dijelaskan pada RSNI T-03-2005 pasal 12.6 dimana kabel yang menjadi pemikul utama harus dibuat dengan material mutu tinggi dengan kuat tarik minimal 1860 N/mm^2 . maka dipakai kabel dengan tipe ASTM A 416-05 Grade 270.

Penamaan dan penomoran untuk kabel dapat dilihat pada Gambar. 4.88. Dengan pylon berada di tengah bentang dan susunan kabel yang sama sehingga penamaan kabel dengan menggunakan simbol “s”.



Gambar 4.88 Penamaan dan penomoran kabel

Jumlah strand dan luas kabel pada awalnya sudah ditentukan pada bab preliminary desain seperti pada Tabel 4.33. Luas kabel yang didapatkan dari bab preliminary desain akan

dianalisa dengan bantuan program MIDAS CIVIL sehingga akan diperoleh gaya dalam pada kabel. Setelah gaya dalam kabel diperoleh akan didapatkan luas kabel yang sebenarnya dan kemudian diiterasi kembali pada program MIDAS CIVIL untuk memperoleh gaya dalam kabel yang lebih akurat.

Tabel 4.33 Jumlah *strand* dan luas kabel pada preliminary desain

No	$S_i = m_1$	α	$\sin \alpha$	$\cos \alpha$	W_{DL}	W_{LL}
		derajat			kN	kN
1	1	22	0.375	0.927	668.791	4493.8
2	2	26	0.438	0.899	668.791	4493.8
3	3	32	0.530	0.848	668.791	4493.8
4	4	45	0.707	0.707	668.791	4493.8
5	5	75	0.966	0.259	668.791	4493.8
No	$N_{gi} = (WDL + WLL) \cdot \cos \alpha$		$\sigma_g = ((\sigma_{ijin} \sin 2 \alpha) / 2) - \gamma L$		$A_i = \alpha \cdot N_{gi} / \sigma_g$	$n = A_i / A_s$
	kN		kN/m ²		mm ²	Buah
1	4,786.671		515,670.828		9,282.416	66.30
2	4,640.106		585,125.001		7,930.111	56.64
3	4,378.126		667,547.770		6,558.520	46.85
4	3,650.503		742,845.000		4,914.219	35.10
5	1,336.177		370,845.000		3,603.060	25.74

4.6.2. Gaya Tarik (*Stressing*) Kabel

Seperti yang sudah dijelaskan pada Bab VII dimana kabel akan digaya tarik terlebih dahulu untuk mengetahui gaya tarik awal. Dengan bantuan program bantu MIDAS CIVIL didapatkan gaya tarik dari proses iterasi yang dilakukan secara otomatis oleh program tersebut. Berikut ini adalah hasil dari gaya tarik pada tiap kabel dapat dilihat pada Tabel 4.34.

Tabel 4.34 Gaya tarik awal (*stressing*) pada masing-masing kabel

Kabel	Force (kN)
S1	256.83
S2	1,028.23
S3	987.17
S4	494.43
S5	147.49

Hasil yang didapat dari hasil iterasi pada tiap kabel yang diperoleh seperti pada Tabel 4.35 sebagai berikut ini :

$$\begin{aligned} \text{Fu kabel} &= 1860 \text{ MPa} \\ \text{Fu ijin} &= 0,45 \times 1860 \text{ MPa} \\ &= 837 \text{ MPa} \\ &= 0,837 \text{ kN/mm}^2 \end{aligned}$$

Tabel 4.35 Kebutuhan luas akibat *pretension*

Kabel	t_{ijin} (kN/mm ²)	Force (kN)	A_{pre} (mm ²)	n_{pre}	$A_{perlu} = P/t_{ijin}$ (mm ²)	$n_{perlu} =$ $A/A_{s-kabel}$	N_{pakai}	$A_{pakai} =$ $n * A_s$
S1	0.837	256.83	9,282.42	66.30	306.84	2.19	12	1680
S2	0.837	1,028.23	7,930.11	56.64	1228.47	8.77	12	1680
S3	0.837	987.17	6,558.52	46.85	1179.42	8.42	12	1680
S4	0.837	494.43	4,914.22	35.10	590.71	4.22	12	1680
S5	0.837	147.49	3,603.06	25.74	176.22	1.26	12	1680

Kemudian diinputkan A_{pakai} ke program bantu MIDAS, akan diperoleh gaya maksimum dari semua kombinasi yang ada. Untuk lebih jelasnya dapat dilihat sebagai berikut :

Tabel 4.36 Gaya tarik masing-masing kabel

Kabel	Force (kN)
S1	692.14
S2	1,117.03
S3	2,324.83
S4	3,428.48
S5	4,417.33

Dari gaya maksimum diatas didapat kebutuhan *strand* dan luas penampang yang sebenarnya. Untuk lebih jelasnya dapat dilihat pada Tabel 4.37.

Tabel 4.37 Kebutuhan *strand* dan luas penampang sebenarnya

Kabel	t_{ijin} (kN/mm ²)	Force (kN)	A_{pre} (mm ²)	n_{pre}	$A_{perlu} = P/t_{ijin}$ (mm ²)	$n_{perlu} =$ $A/A_{s-kabel}$	N_{pakai}	$A_{pakai} =$ $n * A_s$
S1	0.837	692.14	1,680	12	826.93	5.91	12	1680
S2	0.837	1,117.03	1,680	12	1334.56	9.53	12	1680
S3	0.837	2,324.83	1,680	12	2777.58	19.84	31	4340
S4	0.837	3,428.48	1,680	12	4096.15	29.26	43	6020
S5	0.837	4,417.33	1,680	12	5277.58	37.70	43	6020

4.6.3. Analisa Penampang Kabel dengan A_{pakai}

Setelah didapatkan nilai luas penampang, A_{pakai} , dari perhitungan sebelumnya. Nilai A_{pakai} yang telah didapat dimasukkan dalam MIDAS CIVIL untuk memperoleh gaya kabel yang sebenarnya. Berikut hasil yang diperoleh dari analisa program MIDAS CIVIL dapat dilihat dari Tabel 4.38 sebagai berikut ini.

Tabel 4.38 Hasil analisa gaya tarik dari A_{pakai}

Kabel	Force (kN)
S1	815.71
S2	796.96
S3	3,309.64
S4	4,944.02
S5	3,285.39

Dari tabel diatas, didapatkan nilai gaya tarik (*stressing*) kabel yang sebenarnya kemudian dicek kembali dengan A_{pakai} yang telah dihitung. Jika kabel dengan menggunakan desain A_{pakai} tersebut mampu menahan gaya kabel, maka A_{pakai} telah memenuhi gaya yang dibutuhkan. Berikut ini sebagai contoh perhitungan mencari gaya yang mampu diterima oleh kabel.

Kabel S_1 :

$$A_{Spakai} = 1680 \text{ mm}$$

$$\begin{aligned} P_n &= f_{ijin} \cdot A_{Spakai} \\ &= 0,837 \text{ kN/mm}^2 \cdot 1680 \text{ mm}^2 \\ &= 1406 \text{ kN} \end{aligned}$$

$$P = 953,3 \text{ kN} \dots (P_n > P \dots \text{OK})$$

Untuk perhitungan kemampuan kabel yang dapat memikul gaya tarik dengan penampang yang digunakan dapat dilihat pada Tabel 4.39 berikut ini.

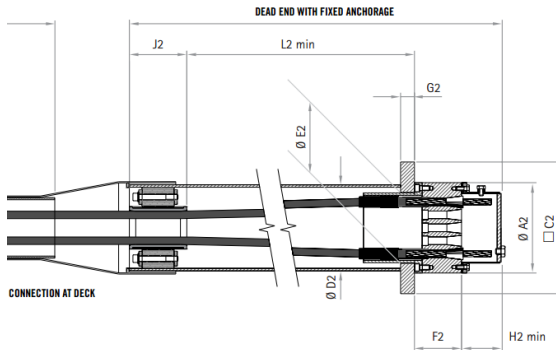
Tabel 4.39 Kemampuan kabel dari A_{Spakai}

Kabel	A_{Spakai} (mm ²)	P_n (kN)	Force (kN)	Kontrol	
S1	1,680.00	1,406.16	815.71	$P_n > P$	[OK]
S2	1,680.00	1,406.16	796.96	$P_n > P$	[OK]
S3	4,340.00	3,632.58	3,309.64	$P_n > P$	[OK]
S4	6,020.00	5,038.74	4,944.02	$P_n > P$	[OK]
S5	6,020.00	5,038.74	3,285.39	$P_n > P$	[OK]

Dari hasil di atas dapat disimpulkan bahwa luas penampang dan jumlah *strand* yang dibutuhkan mampu menahan gaya tarik yang terjadi.

4.6.4. Analisa Anker pada gelagar

Desain anker dipasang sesuai dengan jumlah kebutuhan *strand* yang direncanakan. Pada perhitungan anker terdapat kontrol yang perlu diperhitungkan antara lain adalah cek kontrol tegangan plat baja akibat gaya tarik dari kabel. Berikut ini spesifikasi jumlah strand dan dimensi anker pada Gambar 4.89.



DEAD END

TENDON UNIT	ØA2	C2	ØD2	ØE2	F2	G2	H2 min	J2	L2min	ØA3
	mm	mm	mm	mm	mm	mm	mm	mm	mm	mm
6-12	185	260	177.8/4.5	150	105	35	105	160	900	6-12
6-19	230	335	219.1/6.3	190	120	50	105	180	1200	6-19
6-22	250	355	219.1/6.3	205	120	50	105	210	1350	6-22
6-31	280	415	244.5/6.3	230	145	60	105	210	1550	6-31
6-37	300	455	273/6.3	255	170	70	105	210	1750	6-37
6-1943	340	505	323.9/7.1	285	175	75	105	210	2000	6-43
6-55	380	550	323.9/7.1	310	195	75	105	260	2050	6-55
6-61	380	585	355.6/8	330	215	85	105	260	2050	6-61
6-73	430	650	406.4/8.8	370	215	95	120	290	2450	6-73
6-85	430	685	406.4/8.8	370	245	110	120	290	2600	6-85
6-91	480	730	457/10	420	255	110	120	320	2800	6-91
6-109	495	775	457/10	420	265	120	120	320	3000	6-109
6-127	550	845	508/11	475	315	130	120	340	3350	6-127

SUMBER: Brosur VSL pada lampiran

Gambar 4.89 Spesifikasi teknis dan karakteristik anker

Berikut ini contoh perhitungan anker yang digunakan pada S₄ dengan gaya yang paling besar sebagai berikut.

Data perencanaan :

Tabel 4.40 Data anker yang dipakai

Anker	Strand		
	12	31	43
ØA2	185	280	340
C2	260	415	505

Perhitungan untuk kabel S₄ dengan strand 43

$$P = 4944,02 \text{ kN}$$

$$\text{ØA1} = 340 \text{ mm}$$

$$C1 = 505 \text{ mm}$$

$$A_{p'} = C1^2 = 255025 \text{ mm}^2$$

$$A_p = A_{p'} - 0,25 \cdot \pi \cdot (\text{ØA1})^2 = 255025 - 0,25 \cdot \pi \cdot (340)^2 = 164232,97 \text{ mm}^2$$

Tegangan ijin pelat baja pada saat pemberian gaya tarik :

Pelat baja BJ41

$$f_y = 250 \text{ MPa}$$

$$f_u = 410 \text{ MPa}$$

$$f_{yp} = 0,8 \cdot f_y \cdot \sqrt{\frac{A_{p'}}{A_p} - 0,2} = 0,8 \cdot 250 \cdot \sqrt{\frac{255025}{164232,97} - 0,2} = 232,622 \text{ MPa}$$

Tegangan di bawah pelat anker :

$$f_t = \frac{P}{A_p}$$

$$= \frac{4944,02 \cdot 1000}{164232,97} = 30,1 \text{ MPa}$$

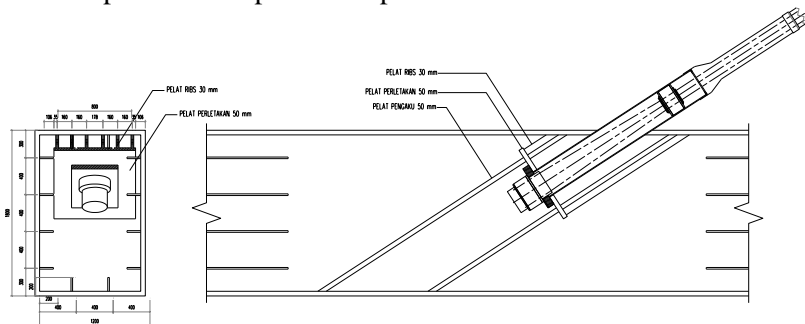
$$\begin{array}{lcl} f_t & < & f_{yp} \\ 30,1 \text{ kN} & < & 232,622 \text{ kN... (OK)} \end{array}$$

Untuk perhitungan kontrol tagangan anker yang lain dapat dilihat pada Tabel 4.41 berikut ini.

Tabel 4.41 Perhitungan anker keseluruhan

Kabel	Anker	Force (kN)	Ap' (mm ²)	Ap (mm ²)	fyp MPa	ft MPa	Kontrol
S1	12	815.71	67,600	40,719.75	241.6715257	20.03	fyp>ft [OK]
S2	12	796.96	67,600	40,719.75	241.6715257	19.57	fyp>ft [OK]
S3	31	3,309.64	172,225	110,649.78	232.9366823	29.91	fyp>ft [OK]
S4	43	4,944.02	255,025	164,232.97	232.6219768	30.10	fyp>ft [OK]
S5	43	3,285.39	255,025	164,232.97	232.6219768	20.00	fyp>ft [OK]

Untuk kontrol anker yang menerima gaya tarik (*stressing*) berikut ilustrasi plat anker dapat dilihat pada Gambar 4.90.



Gambar 4.90 Pelat anker dan dimensi

1. Untuk 43 strand, di kontrol S₄ sebagai gaya yang terbesar mewakili anker lain
 - a. Kuat lentur pelat sayap
SNI03- 1729-2002, ps. 8.10.2

$$\begin{aligned}
 \phi R_b &= \phi \cdot 6,25 \cdot t_f^2 \cdot f_y \\
 &= 0,85 \cdot 6,25 \cdot (50\text{mm})^2 \cdot 250\text{N/mm}^2 \\
 &= 3320312,5 \text{ N} \\
 &= 3320,3 \text{ kN}
 \end{aligned}$$

- b. Kuat leleh pelat badan
SNI03-1729-2002, ps. 8.10.3

$$\phi R_b = \phi \cdot (5k + N) \cdot t_w \cdot f_y$$

dimana :

k = tebal pelat sayap ditambah jari-jari peralihan

N = dimensi arah longitudinal pelat perletakan atau tumpuan, minimal sebesar k .

$$\begin{aligned}
 \phi R_b &= 0,85 \cdot (5 \cdot 50 + 505)\text{mm} \cdot 50\text{mm} \cdot 250 \text{ N/mm}^2 \\
 &= 8021875 \text{ N} \\
 &= 8021,875 \text{ kN}
 \end{aligned}$$

- c. Kuat tekuk dukung pelat badan
SNI03-1729-2002, ps. 8.10.4 (8.10-4.c)

$$\begin{aligned}
 \phi R_b &= 0,39 \cdot t_w^2 \left[1 + \left\{ 4 \left(\frac{N}{d} \right) - 0,2 \right\} \left(\frac{t_w}{t_f} \right)^{1,5} \right] \sqrt{\frac{E \cdot f_y \cdot t_f}{t_w}} \\
 &= 0,85 \cdot 0,39 \cdot 50^2 \left[1 + \left\{ 4 \left(\frac{505}{1800} \right) - 0,2 \right\} \left(\frac{50}{50} \right)^{1,5} \right] \sqrt{\frac{2 \cdot 10^5 \cdot 250 \cdot 50}{50}} \\
 &= 39504288 \text{ N} \\
 &= 3950,29 \text{ kN}
 \end{aligned}$$

- d. Kuat tekuk lentur pelat badan
SNI03-1729-2002, ps. 8.10.6

$$\begin{aligned}
 \phi R_b &= \frac{12,08 t_w^3}{h} \sqrt{E f_y} \\
 &= 0,85 \cdot \frac{12,08 \cdot 50^3}{1800} \sqrt{2 \cdot 10^5 \cdot 250}
 \end{aligned}$$

$$= 5931840,22 \text{ N}$$

$$= 5931,84 \text{ kN}$$

Dari perhitungan di atas dipakai nilai ϕR_b yang terkecil sebesar 3320,313 kN.

Pada setiap satu anker ditumpu oleh 2 plat sehingga gaya yang diterima pada satu anker adalah

$$P = 0,5 \cdot 4944,02 \text{ kN}$$

$$= 2472,01 \text{ kN}$$

$$P < \phi R_b$$

$$2472,01 \text{ kN} < 3320,313 \text{ kN}$$

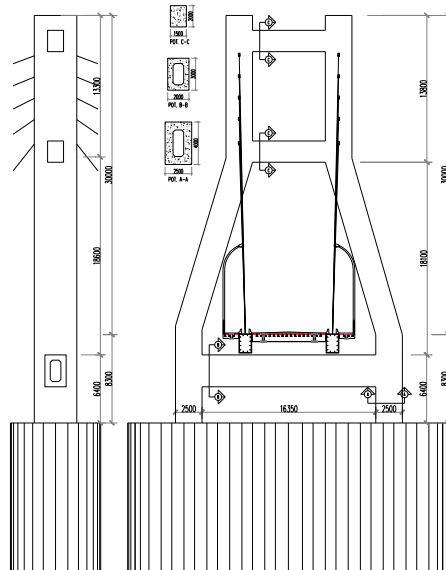
Dari perhitungan diatas maka didapat bahwa $P < \phi R_b$, maka pelat mampu menahan beban yang terjadi.

4.7. Struktur Pylon

Desain jembatan *cable stayed* untuk struktur *pylon* (menara) adalah bagian yang menerus dari bangunan bawah hingga ke atas. Beban yang didapatkan *pylon* berasal dari beban lantai kendaraan baik beban mati maupun hidup yang disalurkan melalui kabel menuju ke *pylon* dan akan meneruskan beban ke pondasi.

4.7.1. Gaya Dalam pada Pylon

Untuk menganalisa penampang *pylon* perlu di kontrol terhadap kelangsingan kolom. Kelangsingan tersebut akan mengakibatkan tekuk sebelum mencapai keadaan limit kegagalan material dimana sebelum terjadinya regangan pada beton pada luas area kolom yang tertekan mencapai 0,003. Untuk dimensi *pylon* sendiri diganti dari preliminary desain. Untuk lebih jelasnya dapat dilihat pada Gambar 4.91 sebagai berikut.



Gambar 4.91 Struktur *pylon* (dalam cm)

Perhitungan kebutuhan tulangan pada pylon akan dibagi menjadi beberapa bagian antara lain A_1 , A_2 dan A_3 seperti pada Tabel 4.42. Gaya dalam yang akan diambil untuk perhitungan terdiri dari beban akibat gempa, beban akibat statak dan beban akibat pelaksanaan.

Tabel 4.42 Gaya dalam pada *pylon section A-A*

Beban statik

Elem	Load	Part	Axial (kN)	Shear-y (kN)	Shear-z (kN)	Torsion (kN·m)	Moment-y (kN·m)	Moment-z (kN·m)
362	Kasus 3	I[204]	-25501.9	308.66	98.69	-995.02	2486.26	6356.37
368	Kasus 1	I[218]	-2130.91	1909.87	462.89	94.89	2001.75	6386.24
363	Kasus 3	J[206]	-22975.8	254.89	2473.84	-1452.05	-5406.04	4158.43
363	Kasus 2	I[202]	-18569.4	-555.12	2208.15	-3117.77	5297.85	-15968.15
376	Kasus 4	I[205]	-17343.1	0	-1260.16	0	-9283.3	0
375	Kasus 2	I[203]	-22508.6	-1118.65	68.19	296.77	817.99	-32013.63

Beban gempa

Elem	Load	Part	Axial (kN)	Shear-y (kN)	Shear-z (kN)	Torsion (kN·m)	Moment-y (kN·m)	Moment-z (kN·m)
362	Kasus 16	I[204]	-18480.7	2038.14	457.6	2928.66	5264.91	58110.29
376	Kasus 15	J[201]	-16351.8	2143.43	-1321	4002.2	4713.05	41058.58
363	Kasus 19	I[202]	-15820.6	632.71	2901.78	946.66	14272.04	14431.96
363	Kasus 18	I[202]	-15047.9	497.71	2861.22	669.04	14807.71	10952.21
362	Kasus 14	I[204]	-17883.9	1986.69	458.56	3118.3	5179.25	58683.44

Staging analysis

Potongan Pylon	Elem	Load	Stage	Axial (kN)	Shear-y (kN)	Shear-z (kN)	Torsion (kN·m)	Moment-y (kN·m)	Moment-z (kN·m)
A-A	153	Summation	CS 0	-11052.1	-155.28	0	0	0	-770.79
	154	Summation	CS 0	-9283.14	-903.62	0	0	0	1051.53
	162	Summation	CS 11	-2746.32	76.18	4.06	0.42	11.51	405.17
	152	Summation	CS 11	-5876.87	572.56	-4.06	-8.04	76.07	828.88
	153	Summation	CS 11	-8171.88	-164.81	4.06	6.23	112.04	-354.92
	152	Summation	CS 1	-8752.9	902.86	0	0	0	1617.1

Tabel 4.43 Gaya dalam pada *pylon section B-B*

Beban statik

Elem	Load	Part	Axial (kN)	Shear-y (kN)	Shear-z (kN)	Torsion (kN·m)	Moment-y (kN·m)	Moment-z (kN·m)
155	Kasus 3	J[202]	2435.75	73.31	899.44	353.11	-3776.41	-623.11
155	Kasus 4	J[202]	1558.85	0	1342.81	0	-6923.02	0
155	Kasus 2	J[202]	1997.3	73.31	1126.4	353.1	-5394.59	-1029.36

Beban gempa

Elem	Load	Part	Axial (kN)	Shear-y (kN)	Shear-z (kN)	Torsion (kN-m)	Moment-y (kN-m)	Moment-z (kN-m)
155	Kasus 12	I[201]	1726.28	52.94	-815.2	255.03	-3065.97	450.03
155	Kasus 15	J[202]	1648.14	12.31	1238.73	59.52	-930.15	814.68
155	Kasus 18	J[202]	1648.21	12.25	1948.64	59.05	5104.1	124.31
155	Kasus 18	J[202]	1648.21	12.25	1948.64	59.05	5104.1	124.31
155	Kasus 18	I[201]	1648.21	12.25	152.94	59.05	5726.79	332.22
155	Kasus 16	I[201]	1715.84	12.31	-592.62	59.52	-658.46	1090.79

Staging analysis

Potongan Pylon	Elem	Load	Stage	Axial (kN)	Shear-y (kN)	Shear-z (kN)	Torsion (kN-m)	Moment-y (kN-m)	Moment-z (kN-m)
B-B	155	Summation	CS 0	748.34	0	716.39	0	-2132.33	0

Tabel 4.44 Gaya dalam pada *pylon section C-C*

Beban statik

Elem	Load	Part	Axial (kN)	Shear-y (kN)	Shear-z (kN)	Torsion (kN-m)	Moment-y (kN-m)	Moment-z (kN-m)
156	Kasus 3	J[208]	-3753.57	-85.68	491.09	426.43	-840.91	539.76
315	Kasus 2	I[210]	-478.94	-258.97	-673.64	360.1	-2351.75	-1545.46
156	Kasus 4	J[208]	-2284.47	0	1110.8	0	-4838.78	0
315	Kasus 2	J[209]	-478.94	-258.97	304.98	360.1	-29.19	1717.52

Beban gempa

Elem	Load	Part	Axial (kN)	Shear-y (kN)	Shear-z (kN)	Torsion (kN-m)	Moment-y (kN-m)	Moment-z (kN-m)
156	Kasus 16	J[208]	-2527.68	-14.04	865.61	71.64	1451.27	521.15
315	Kasus 19	J[209]	-412.09	-43.06	1351.02	60.12	4294.52	396.43
156	Kasus 18	J[208]	-2414.09	-14.21	1793.08	71.24	6632	201.32
156	Kasus 18	I[207]	-2414.09	-14.21	814.45	71.24	7300.87	21.15
315	Kasus 15	J[209]	-393.46	-42.82	718.58	60.34	684.51	701.29

Staging analysis

Potongan Pylon	Elem	Load	Stage	Axial (kN)	Shear-y (kN)	Shear-z (kN)	Torsion (kN-m)	Moment-y (kN-m)	Moment-z (kN-m)
C-C	156	Summation	CS 0	-1006.41	0	-266.74	0	-533.11	0
	156	Summation	CS 0	-1006.41	0	267.06	0	-535.09	0
	315	Summation	CS 0	-224.65	0	-267.03	0	-579.38	0
	156	Summation	CS 11	-496.38	0	-266.93	0	-558.7	0.47

4.7.2. Analisa Penampang Pylon Section A-A

Dari gaya dalam yang didapatkan dengan nilai maksimum dari semua kombinasi yang telah direncanakan maka dapat

dilakukan perhitungan pada penampang *pylon*. Berikut ini perhitungan penampang *pylon* pada *section A-A*.

4.7.2.1. Perhitungan Tulangan Lentur *section A-A*

Gaya dalam yang digunakan dengan nilai maksimum

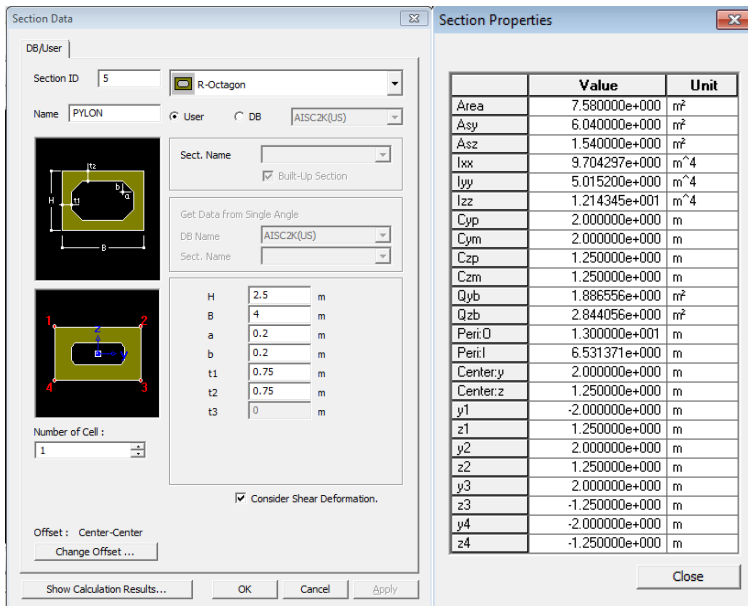
P_u	= 25501,86 kN	M_{Yns}	= 9283,30 kNm
V_{uy}	= 2143,43 kN	M_{Zns}	= 32013,63 kNm
V_{uz}	= 2901,78 kN	M_{Ys}	= 14807,71 kNm
M_t	= 4002,20 kNm	M_{Zs}	= 58683,44 kNm

Berikut ini data perencanaan yang berupa section properties dari *pylon* yang didapatkan dari program bantu MIDAS CIVIL dapat dilihat pada Gambar 4.91.

Mutu Beton (f'_c)	= 50 MPa
Mutu Tulangan (f_y)	= 400 MPa
Luas Penampang (A_g)	= 7,58 m ² = 75800 cm ²
Inersia arah y (I_y)	= 501520000 cm ⁴
Inersia arah z (I_z)	= 1214345000 cm ⁴
Modulus Elastisitas	= 33234,02 MPa

Tulangan yang digunakan adalah :

Tulangan utama (lentur)	= 36 mm
Tulangan sengkang (geser)	= 22 mm
Tulangan puntir (torsi)	= 36 mm
Tebal selimut beton	= 50 mm



Gambar 4.92 Section properties penampang pylon section A-A

Perhitungan Tulangan Longitudinal

Untuk perhitungan struktur *pylon* harus diperhitungkan perbesaran momen terhadap sumbu y dan sumbu z.

Perbesaran momen terhadap sumbu y

Pada sumbu y diperhitungkan menggunakan rumus rangka bergoyang. Terlebih dahulu akan dicek pada komponen struktur tekan termasuk kolom bergoyang atau tidak. Lalu pengaruh kelangsingan komponen pada struktur tekan boleh diabaikan pada struktur bergoyang apabila memenuhi berikut ini :

$$Q_y = \frac{\sum P_u \cdot \Delta_{ox}}{V_{uz} \cdot I_x} < 0,05 \dots \text{(SNI 2847-2013 pasal 10.10.5.2)}$$

Dimana:

P_u = gaya tekan terfaktor (kN)

Δ_o = simpangan relative

$$= 0,06\text{m}$$

$$Q = \frac{25501,86 \cdot 0,06}{2143,43 \cdot 12,14}$$

$$= 0,063 > 0,05 \quad (\text{kolom bergoyang})$$

Dari hasil perhitungan tersebut maka dikategorikan kolom bergoyong dimana dicek akan pengaruh kelangsingan pada komponen struktur tekan.

$$\frac{k \cdot l_u}{r} < 22 \dots (\text{SNI 2847-2013 pasal 10.10.1.a})$$

Dimana :

k = faktor panjang efektif komponen struktur tekan (2,0)

l_u = panjang bebas komponen tekan (38,5m)

r = jari-jari girasi penampang (m)

$$r = \sqrt{\frac{I_x}{A}}$$

$$= \sqrt{\frac{502000000}{75800}}$$

$$= 81\text{cm}$$

$$= 0,81 \text{ m}$$

$$\frac{k \cdot l_u}{r} = \frac{2,0 \cdot 38,5}{0,81}$$

$$= 94,66 > 22 \quad (\text{kolom langsing})$$

Maka pembesaran momen yang pada penampang pylon tidak dapat diabaikan. Untuk menghitung pembesaran momen yang terjadi berdasarkan kolom bergoyang sebagai berikut

$$\delta_s = \frac{1}{1-Q} \geq 1 \dots (\text{SNI 2847-2013 pasal 10.10.7.3})$$

$$= \frac{1}{1-0,063} \geq 1$$

$$= 1,07 \geq 1$$

$$\delta_s = \frac{1}{1-Q} \leq 1,5 \dots (\text{SNI 2847-2013 pasal 10.10.7.3})$$

$$= 1,07 < 1,5 \dots (\text{OK})$$

$$\delta_s \cdot M_{Ys} = 1,07 \cdot 14622,63 \text{ kNm}$$

$$= 15798,34 \text{ kNm}$$

$$M_Y = M_{Yns} + \delta_s \cdot M_{Ys} \dots (\text{SNI 2847-2013 pasal 10.10.7})$$

$$= 9283,2 \text{ kNm} + 15798,34 \text{ kNm}$$

$$= 25081,64 \text{ kNm}$$

Perbesaran momen terhadap sumbu z

Pada sumbu z diperhuitungkan menggunakan rumus rangka tak bergoyang. Pengaruh kelangsingan komponen pada struktur tekan boleh diabaikan pada struktur bergoyang apabila memenuhi berikut ini :

$$\frac{k \cdot lu}{r} < 34 - \left(12 \cdot \frac{M_1}{M_2} \right) < 40 \dots (\text{SNI 2847-2013 pasal 10.10.1.b})$$

Dimana :

k = faktor panjang efektif komponen struktur tekan (1,0)

lu = panjang bebas komponen tekan (38,5m)

r = jari-jari girasi penampang (m)

$$\begin{aligned} r &= \sqrt{\frac{I_x}{A}} \\ &= \sqrt{\frac{1214000000}{75800}} \\ &= 127 \text{cm} = 1,27 \text{ m} \end{aligned}$$

$$\frac{k \cdot l_u}{r} < 34 - \left(12 \cdot \frac{M_1}{M_2} \right) < 40$$

$$\frac{1,0 \cdot 38,5}{1,27} < 34 - \left(\frac{14622,63}{32013,63} \right) < 40$$

$$= 30,42 > 28,52 \quad (\text{kolom langsing})$$

$$\beta_{dns} = \frac{\text{Aksial}_{DL}}{\text{Aksial}_{\text{kombinasi terbesar}}} \dots (\text{SNI 2847-2013 pasal 10.10.6.2})$$

$$= \frac{18197,81 \text{ kN}}{25501,85 \text{ kN}}$$

$$= 0,71$$

$$EI = \frac{0,4 \cdot E_c \cdot I_z}{1 + \beta_{dns}} \dots (\text{SNI 2847-2013 pasal 10.10.6.1})$$

$$= \frac{0,4 \cdot 33234,02 \text{ MPa} \cdot 12,14 \cdot 10^{12} \text{ mm}^4}{1 + 0,71}$$

$$= 9,42 \cdot 10^{17} \text{ Nmm}^2$$

$$P_c = \frac{\pi^2 \cdot EI}{(k \cdot l_u)^2} \dots (\text{SNI 2847-2013 pasal 10.10.6})$$

$$= \frac{\pi^2 \cdot 9,42 \cdot 10^{17} \text{ Nmm}^2}{(1,38,5 \cdot 10^3)^2}$$

$$= 6,27 \cdot 10^9 \text{ N}$$

$$C_m = 1 \dots (\text{SNI 2847-2013 pasal 10.10.6.4})$$

$$\delta_{ns} = \frac{C_m}{1 - \frac{P_u}{0,75 \cdot P_c}} \geq 1 \dots (\text{SNI 2847-2013 pasal 10.10.7.3})$$

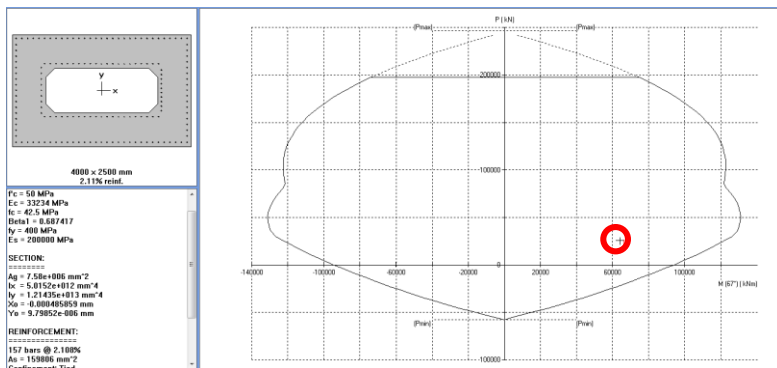
$$= \frac{1}{1 - \frac{25501,86 \cdot 10^3 \text{ N}}{0,75 \cdot 6,27 \cdot 10^9 \text{ N}}} \geq 1$$

$$= 1,01 \geq 1$$

$$\delta_{ns} \cdot M_{zs} = 1,06 \cdot 58683,44 \text{ kNm} \dots (\text{SNI 2847-2013 pasal 10.10.6})$$

$$= 59003,28 \text{ kNm}$$

Perencanaan untuk tulangan longitudinal menggunakan tulangan D36 dan untuk tulangan transversal menggunakan tulangan D22 dimana mutu tulangan menggunakan f_y 400 MPa. Untuk kebutuhan tulangan longitudinal direncanakan dan dianalisa menggunakan program bantu spColumn. Lebih lanjutnya dapat dilihat pada Gambar 4.93 sebagai berikut ini.



Gambar 4.93 Gambar grafik diagram interaksi *SpColumn*

Dari hasil analisa didapat :

157 buah D36 (2,11%)

$A_s = 159806 \text{ mm}^2$

Kontrol jarak antar tulangan

$$\begin{aligned}
 S_y &= \frac{b_w - 2 \cdot h_{\text{selimut}} - 2 \cdot d_{\text{tul.sengkan}} - n_{\text{tul.utama}}}{n - 1} \\
 &= \frac{4000 - 2 \cdot 50 - 2 \cdot 22 - 31 \cdot 36}{31 - 1} \\
 &= 91,33 \text{ mm} \dots (\text{OK}) > 40 \text{ mm} \dots (\text{SNI 2847-2013 ps 7.6.3})
 \end{aligned}$$

$$\begin{aligned}
 S_z &= \frac{b_w - 2 \cdot h_{\text{selimut}} - 2 \cdot d_{\text{tul.sengkan}} - n_{\text{tul.utama}}}{n - 1} \\
 &= \frac{2500 - 2 \cdot 50 - 2 \cdot 22 - 19 \cdot 36}{19 - 1} \\
 &= 92,89 \text{ mm} \dots (\text{OK}) > 40 \text{ mm} \dots (\text{SNI 2847-2013 ps 7.6.3})
 \end{aligned}$$

Jarak antar tulangan memenuhi, sehingga penampang *pylon section* A-A dan tulangan desain dapat digunakan.

4.7.2.2. Perhitungan Tulangan Geser section A-A

Gaya dalam yang terjadi pada *pylon* :

$$P_u = 25501,86 \text{ kN}$$

$$V_{uy} = 2143,43 \text{ kN}$$

$$V_{uz} = 2901,78 \text{ kN}$$

Menghitung tinggi efektif

$$\begin{aligned}
 d_y &= h - h_{\text{selimut}} - D_{\text{tul. sengan}} - \frac{1}{2} D_{\text{tul.utama}} \\
 &= 2500 - 50 - 22 - \frac{1}{2} \cdot 36 \\
 &= 2410 \text{ mm}
 \end{aligned}$$

$$\begin{aligned}
 d_z &= h - h_{\text{selimut}} - D_{\text{tul. sengan}} - \frac{1}{2} D_{\text{tul.utama}} \\
 &= 4000 - 50 - 22 - \frac{1}{2} \cdot 36 \\
 &= 3910 \text{ mm}
 \end{aligned}$$

Penulangan geser sumbu y pada pylon

$$V_c = 0,17 \cdot \left(1 + \frac{N_u}{14A_g} \right) \cdot \lambda \cdot \sqrt{f_c} \cdot b_w \cdot d$$

..(SNI 2847-2013 pasal 11.2.1.2)

$$= 0,17 \cdot \left(1 + \frac{25501,86 \cdot 10^3 \text{ N}}{14,7,58 \cdot 10^6 \text{ mm}} \right) \cdot 1 \cdot \sqrt{50} \text{ MPa} \cdot 4 \cdot 10^3 \text{ mm} \cdot 2410 \text{ mm}$$

$$= 14372811,83 \text{ N}$$

$$\phi V_c = 0,85 \cdot 14372811,83 \text{ N}$$

$$= 12216890,06 \text{ N}$$

$$0,5\phi V_c = 0,5 \cdot 12216890,06 \text{ N} \cdot \text{(SNI 2847-2013 pasal 11.4.6.1)}$$

$$= 6108445,03 \text{ N}$$

Nilai $0,5\phi V_c > V_u = 2143430 \text{ N}$, maka tidak perlu tulangan geser

Menggunakan geser minimum

$$V_u \leq \phi V_n \dots \text{(SNI 2847-2013 pasal 11.1.1)}$$

$$V_n = V_c + V_s$$

$$V_u < \phi (V_c + V_s)$$

$$A_{v_{\min}} = 0,35 b_w \cdot \frac{s}{f_{yt}} \dots \text{(SNI 2847-2013 pasal 11.4.6.3)}$$

$$V_s = \frac{A_v \cdot f_{yt} \cdot d_y}{s} \dots \text{(SNI 2847-2013 pasal 11.4.7.2)}$$

$$V_s = \frac{\left(0,35 \cdot b_w \cdot \frac{s}{f_{yt}} \right) \cdot f_{yt} \cdot d_y}{s}$$

$$\begin{aligned} V_s &= 0,35 \cdot b_w \cdot d_y \\ &= 0,35 \cdot 4 \cdot 10^3 \cdot 2410 \\ &= 3374000 \text{ N} \end{aligned}$$

$$\begin{aligned}
 V_s &= 0,33 \cdot \sqrt{f'_c} \cdot b_w \cdot d_y \cdot \text{. (SNI 2847-2013 pasal 11.4.5.2)} \\
 &= 0,33 \sqrt{50} \cdot 4 \cdot 10^3 \cdot 2410 \\
 &= 22494480,92 \text{ N}
 \end{aligned}$$

$$\begin{aligned}
 V_s = 0,35 \cdot b_w \cdot d_y &< V_s = 0,33 \cdot \sqrt{f'_c} \cdot b_w \cdot d_y \\
 3374000 \text{ N} &< 22494480,92 \text{ N ... (OK)}
 \end{aligned}$$

$$\begin{aligned}
 V_u &< \phi (V_c + V_s) \\
 V_u/\phi &< (V_c + V_s) \\
 2143430/0,85 &< (14372811,83 + 3374000) \\
 2521682,35 \text{ N} &< 17746811,83 \text{ N ... (OK)}
 \end{aligned}$$

Maka dipakai 2D22

$$\begin{aligned}
 V_s &= \frac{A_v \cdot f_{yt} \cdot d_y}{s} \\
 s &= \frac{A_v \cdot f_{yt} \cdot d_y}{V_s} \\
 &= \frac{(2 \cdot 0,25 \cdot \pi \cdot 22^2) \cdot 400 \cdot 2410}{3374000} \\
 &= 217,22 \text{ mm}
 \end{aligned}$$

Berdasarkan SNI 2847-2013 pasal 21.3.5.2 spasi antar tulangan geser tidak boleh kurang dari :

$$\begin{aligned}
 \frac{1}{2} \text{ penampang terkecil kolom} &= \frac{1}{2} \cdot 2500 &= 1250 \text{ mm} \\
 8 D_{\text{tul. longitudinal}} &= 8 \cdot 36 &= 288 \text{ mm} \\
 24 D_{\text{tul. transversal}} &= 24 \cdot 22 &= 528 \text{ mm}
 \end{aligned}$$

Atau 300

Maka jarak sengkang yang digunakan adalah 2D22-200

Penulangan geser sumbu z pada pylon

$$V_c = 0,17 \cdot \left(1 + \frac{N_u}{14A_g} \right) \cdot \lambda \cdot \sqrt{f_c} \cdot b_w \cdot d$$

..(SNI 2847-2013 pasal 11.2.1.2)

$$= 0,17 \cdot \left(1 + \frac{25501,86 \cdot 10^3 \text{ N}}{14,7,58 \cdot 10^6 \text{ mm}} \right) \cdot 1 \cdot \sqrt{50 \text{ MPa}} \cdot 2,5 \cdot 10^3 \text{ mm} \cdot 3910 \text{ mm}$$

$$= 14574090,83 \text{ N}$$

$$\phi V_c = 0,85 \cdot 14574090,83 \text{ N}$$

$$= 12387977,21 \text{ N}$$

$$0,5\phi V_c = 0,5 \cdot 12387977,21 \text{ N} \cdot \text{(SNI 2847-2013 pasal 11.4.6.1)}$$

$$= 6193988,6 \text{ N}$$

Nilai $0,5\phi V_c > V_u = 2901780 \text{ N}$, maka tidak perlu tulangan geser

Menggunakan geser minimum

$$V_u \leq \phi V_n \dots \text{(SNI 2847-2013 pasal 11.1.1)}$$

$$V_n = V_c + V_s$$

$$V_u < \phi (V_c + V_s)$$

$$A_{v_{\min}} = 0,35 b_w \cdot \frac{s}{f_{yt}} \dots \text{(SNI 2847-2013 pasal 11.4.6.3)}$$

$$V_s = \frac{A_v \cdot f_{yt} \cdot d_y}{s} \dots \text{(SNI 2847-2013 pasal 11.4.7.2)}$$

$$V_s = \frac{\left(0,35 \cdot b_w \cdot \frac{s}{f_{yt}} \right) \cdot f_{yt} \cdot d_y}{s}$$

$$\begin{aligned} V_s &= 0,35 \cdot b_w \cdot d_y \\ &= 0,35 \cdot 2,5 \cdot 10^3 \cdot 3910 \\ &= 3421250 \text{ N} \end{aligned}$$

$$\begin{aligned}
 V_s &= 0,33 \cdot \sqrt{f'_c} \cdot b_w \cdot d_y \cdot \text{. (SNI 2847-2013 pasal 11.4.5.2)} \\
 &= 0,33 \cdot \sqrt{50} \cdot 2,5 \cdot 10^3 \cdot 3910 \\
 &= 22809496,99 \text{ N}
 \end{aligned}$$

$$\begin{aligned}
 V_s = 0,35 \cdot b_w \cdot d_y &< V_s = 0,33 \cdot \sqrt{f'_c} \cdot b_w \cdot d_y \\
 3421250 \text{ N} &< 22809496,99 \text{ N ... (OK)}
 \end{aligned}$$

$$\begin{aligned}
 V_u &< \phi (V_c + V_s) \\
 V_u/\phi &< (V_c + V_s) \\
 2901780/0,85 &< (14574090,83 + 3421250) \\
 3413858,82 \text{ N} &< 17995340,83 \text{ N ... (OK)}
 \end{aligned}$$

Maka dipakai 2D22

$$\begin{aligned}
 V_s &= \frac{A_v \cdot f_{yt} \cdot d_y}{s} \\
 s &= \frac{A_v \cdot f_{yt} \cdot d_y}{V_s} \\
 &= \frac{(2 \cdot 0,25 \cdot \pi \cdot 22^2) \cdot 400 \cdot 3910}{3421250} \\
 &= 347,55 \text{ mm}
 \end{aligned}$$

Berdasarkan SNI 2847-2013 pasal 21.3.5.2 spasi antar tulangan geser tidak boleh kurang dari :

$$\begin{aligned}
 \frac{1}{2} \text{ penampang terkecil kolom} &= \frac{1}{2} \cdot 2500 &= 1250 \text{ mm} \\
 8 D_{\text{tul. longitudinal}} &= 8 \cdot 36 &= 288 \text{ mm} \\
 24 D_{\text{tul. transversal}} &= 24 \cdot 22 &= 528 \text{ mm}
 \end{aligned}$$

Atau 300

Maka jarak sengkang yang digunakan adalah 2D22-200

4.7.2.3. Perhitungan Tulangan Puntir section A-A

Gaya dalam yang terjadi pada *pylon* :

$$P_u = 25501,86 \text{ kN}$$

$$M_t = 4002,2 \text{ kNm}$$

Kontrol terhadap puntir dapat diabaikan apabila kurang dari yang ditentukan oleh SNI 2847-2013 pasal 11.5.1.(a) untuk penampang berongga dimana A_g digunakan pengganti sebagai A_{cp}

$$A_{cp} = 75800000 \text{ mm}^2$$

$$P_{cp} = 2(2500 + 4000)\text{mm} = 13000 \text{ mm}$$

$$x_1 = 4000\text{mm} - 2(50 + 0,5 \cdot 22)\text{mm} = 3878 \text{ mm}$$

$$x_2 = 2500\text{mm} - 2(50 + 0,5 \cdot 22)\text{mm} = 2378 \text{ mm}$$

$$A_{oh} = (3878 \cdot 2378)\text{mm}^2 = 9221884 \text{ mm}^2$$

$$P_h = 2 \cdot (3878 + 2378)\text{mm} = 9512 \text{ mm}$$

Pengaruh torsi terkecil yang terdeteksi (*threshold*) boleh diabaikan bila momen torsi terfaktor T_u kurang dari :

$$T_u \leq \phi \cdot 0,083 \cdot \lambda \cdot \sqrt{f_c} \cdot \left(\frac{A_{cp}^2}{P_{cp}} \right)$$

..(SNI 2847-2013 pasal 11.5.1.(a))

$$4002,2 \text{ kN} \leq 0,85 \cdot 0,083 \cdot 1 \cdot \sqrt{50} \cdot \left(\frac{7580000^2}{13000} \right)$$

$$4002,2 \text{ kN} \leq 2204839999,93 \text{ Nmm}$$

$$4002,2 \text{ kN} > 2204,84 \text{ kNm} \dots \text{ maka perlu tulangan puntir}$$

Kuat geser yang disumbangkan oleh beton untuk struktur non prategang sesuai dengan SNI 2847-2013 pasal 11.2.1.2.

$$V_c = 0,17 \cdot \left(1 + \frac{N_u}{14A_g} \right) \cdot \lambda \cdot \sqrt{f_c} \cdot b_w \cdot d$$

..(SNI 2847-2013 pasal 11.2.1.2)

$$= 0,17 \cdot \left(1 + \frac{25501,86 \cdot 10^3 \text{ N}}{14,7,58 \cdot 10^6 \text{ mm}} \right) \cdot 1 \cdot \sqrt{50} \text{ MPa} \cdot 2,5 \cdot 10^3 \text{ mm} \cdot 3910 \text{ mm}$$

$$= 14574090,83 \text{ N}$$

Cek dimensi penampang rongga harus memenuhi dengan SNI 2847-2013 pasal 11.5.3.1.(b) dimensi penampang melintang harus memenuhi ketentuan berikut ini :

$$\left(\frac{V_u}{b_w \cdot d} \right) + \left(\frac{T_u \cdot P_h}{1,7 \cdot A_{oh}^2} \right) \leq \phi \left(\frac{V_c}{b_w \cdot d} + \frac{2}{3} \sqrt{f'_c} \right)$$

$$\left(\frac{2901780}{2500 \cdot 3910} \right) + \left(\frac{4002,2 \cdot 10^6 \cdot 12512}{1,7 \cdot 9221884} \right) \leq$$

$$0,75 \left(\frac{14574090,83}{2500 \cdot 3910} + \frac{2}{3} \sqrt{50} \right)$$

$$0,64 < 4,62 \dots (\text{penampang cukup besar})$$

Bila torsi melebihi torsi terkecil yang terdeteksi (*threshold*), maka desain penampang sebagai berikut :

$$\phi T_n = T_u \dots (\text{SNI 2847-2013 pasal 11.5.3.5})$$

$$T_n = T_u / \phi$$

$$= 4002,2 \cdot 10^6 / 0,85$$

$$= 4708470588,24 \text{ Nmm}$$

$$= 4708,47 \text{ kNm}$$

$$A_o = 0,85 \cdot A_{oh} \dots (\text{SNI 2847-2013 pasal 11.5.3.6})$$

$$= 0,85 \cdot 9221884 \text{ mm}^2$$

$$= 7838601,4 \text{ mm}^2$$

$$T_n = \frac{(2 \cdot A_o \cdot A_t \cdot f_{yt} \cdot \cot \theta)}{s} \dots (\text{SNI 2847-2013 pasal 11.5.3.6})$$

$$\begin{aligned}\frac{A_t}{s} &= \frac{T_n}{(2 \cdot A_o \cdot f_{yt} \cdot \cot\theta)} \\ &= \frac{4708470588,24}{2 \cdot 7838601,4 \cdot 400 \cdot \cot 45} = 0,75\end{aligned}$$

Luas tulangan longitudinal tambahan menahan torsi

$$\begin{aligned}A_1 &= \frac{A_t}{s} \cdot P_h \cdot \left(\frac{f_{yt}}{f_y} \right) \cdot \cot^2\theta \text{ ..(SNI 2847-2013 pasal 11.5.3.6)} \\ &= 0,75 \cdot 12512 \cdot \left(\frac{400}{400} \right) \cdot \cot^2 45 \\ &= 9394,59 \text{ mm}^2\end{aligned}$$

Luasan total minimum tulangan torsi longitudinal

$$\begin{aligned}A_{1min} &= \frac{0,42 \cdot \sqrt{f'_c} \cdot A_{cp}}{f_y} - \left(\frac{A_t}{s} \right) \cdot P_h \cdot \frac{f_{yt}}{f_y} \\ &\text{ ..(SNI 2847-2013 pasal 11.5.5.3)} \\ &= \frac{0,42 \cdot \sqrt{50} \cdot 7580000}{400} - (0,75) \cdot 12512 \cdot \frac{400}{400} \\ &= 46884,03 \text{ mm}^2\end{aligned}$$

Maka A_1 yang digunakan adalah 46884,03 mm²

Dipakai D36

$$\begin{aligned}n &= A_1 / (0,25 \cdot \pi \cdot D^2) \\ &= 46884,03 \text{ mm}^2 / (0,25 \cdot \pi \cdot 36^2) \\ &= 46,06 \text{ buah}\end{aligned}$$

Maka dipakai 48D32 (48858,05 mm²)

Tulangan sengkang untuk menahan puntir harus dipasang dengan perhitungan berikut ini :

$$T_n = \frac{(2 \cdot A_o \cdot A_t \cdot f_{yt} \cdot \cot\theta)}{s} \dots (\text{SNI 2847-2013 pasal 11.5.3.6})$$

$$A_t = \frac{T_n \cdot s}{(2 \cdot A_o \cdot f_{yt} \cdot \cot\theta)}$$

Untuk spasi tulangan torsi transversal sesuai dengan SNI 2847-2013 pasal 11.5.6.1 tidak memperbolehkan lebih kecil sebagai berikut :

$$Ph/8 = 12512/8 = 1564 \text{ mm}$$

Atau 300 mm

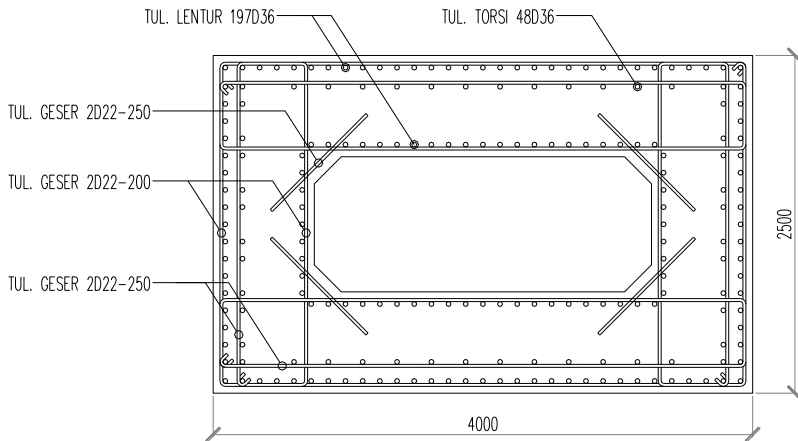
Maka dipakai spasi, $s = 250 \text{ mm}$

$$\begin{aligned} A_t &= \frac{4708470588,24 \cdot 250}{(2 \cdot 7838601,4 \cdot 400 \cdot \cot 45)} \\ &= 187,71 \text{ mm}^2 \end{aligned}$$

Dipakai 2D22-250 untuk tulangan torsi transversal

$$A_s = 760,27 \text{ mm}^2$$

Berikut ini ilustrasi tulangan pada penampang *pylon section* A-A dapat dilihat pada Gambar 4.94.



Gambar 4.94 Desain penampang *section A-A*

4.7.3. Perhitungan Tulangan Daerah Pengangkuran

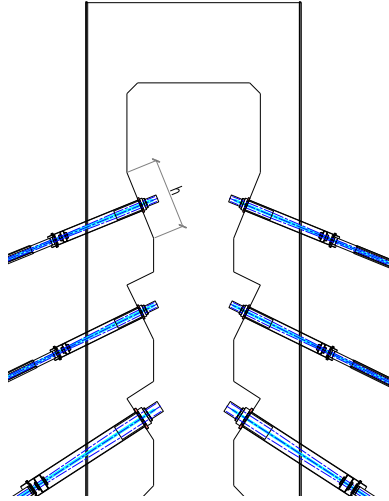
Pada daerah pengangkuran dibutuhkan tambahan penulangan untuk menahan pancaran (*bursting*) dan pengelupasan (*spalling*) agar saat kabel dilakukan *stressing* pada *pylon* tidak mengalami hancur pada beton.

Perhitungan tulangan pancaran (*bursting*) dan pengelupasan (*spalling*) dicontohkan pada angkur kabel S_1 .

$$P_{pu} = 815,71 \text{ kN}$$

$$a = C1 = 290 \text{ mm (brosur VSL SSI 2000 Streessing End)}$$

$$h = 1327 \text{ mm (sesui gambar)}$$



Gambar 4.95 Daerah pengangkuruan pada *pylon*

1. Akibat pancaran (*bursting*)

$$T_{\text{pencar}} = 0,25 \cdot P_{\text{pu}} \text{..(SNI 2847-2013 pasal 18.13.3.3)}$$

$$T_{\text{pencar}} = 0,25 \cdot P_{\text{pu}} \cdot \left(1 - \frac{a}{h}\right)$$

$$T_{\text{pencar}} = 0,25 \cdot 815,7 \cdot 10^3 \cdot \left(1 - \frac{290}{1327}\right)$$

$$T_{\text{pencar}} = 159362,5 \text{ N}$$

$$d_{\text{pencar}} = 0,5 h = 0,5 (1327) = 663,5 \text{ mm}$$

Digunakan sengkang D16 ($A_s = 201,06 \text{ mm}^2$)

$$\begin{aligned} A_{S\text{perlu}} &= T_{\text{pencar}} / f_{ys} \\ &= 159362,5 \text{ N} / 400 \text{ N/mm}^2 \\ &= 398,41 \text{ mm}^2 \end{aligned}$$

$$\begin{aligned} n &= A_{S\text{perlu}} / A_s \\ &= 398,41 / 201,06 \\ &= 1,98 \text{ buah} \approx 2 \text{ buah} \end{aligned}$$

Menentukan jarak antar sengkang untuk menahan pancaran

$$S = d_{\text{pencar}} / n = 663,5 / 2 = 331,75$$

Maka dipasang sengkang 2D16-150

2. Akibat pengelupasan (*spalling*)

Untuk mencegah terjadi pecah (*spalling*), dipasang tulangan dengan kuat tarik 3%P

$$2\% \cdot P = 0,2 \cdot 815,71 \cdot 10^3 = 24471,44 \text{ N}$$

$$\begin{aligned} A_{S_{\text{perlu}}} &= 2\% \cdot P / f_y \\ &= 24471,44 / 400 \\ &= 61,18 \text{ mm}^2 \end{aligned}$$

Digunakan tulangan UD16 ($A_s = 201,06 \text{ mm}^2$)

$$\begin{aligned} n &= A_{S_{\text{perlu}}} / A_s \\ &= 61,18 / 201,06 \\ &= 0,31 \text{ buah} \approx 2 \text{ buah} \end{aligned}$$

Untuk kebutuhan tulangan pada kabel yang lain akan dapat dilihat pada Tabel 4.45.

Tabel 4.45 Kebutuhan tulangan pada daerah angkur kabel

Kabel	Anker	C1 (mm)	P (kN)	Pencaran (<i>bursting</i>)				Pecah (<i>Spalling</i>)	
				Tpencar	As	n	jarak	As	n
S1	12	290	815.71	159,362.50	398.41	4	165.88	61.18	2
S2	12	290	796.96	148,421.55	371.05	4	142.13	59.77	2
S3	31	440	3,309.64	432,122.16	1,080.31	6	76.75	248.22	2
S4	43	540	4,944.02	274,271.77	685.68	4	86.75	370.80	2
S5	43	540	3,285.39	55,323.91	138.31	4	72.38	246.40	2

4.7.4. Analisa Balok Pangaku

Untuk analisa balok pangaku akan menggunakan dari gaya dalam dengan beberapa kondisi pembebanan antara lain adalah beban statik, beban dinamik (gempa) dan beban saat pelaksanaan. Akan tetapi beban yang digunakan merupakan beban dengan nilai gaya dalam terbesar dari kombinasi yang direncanakan.

4.7.4.1. Perhitungan Tulangan Lentur balok *section B-B*

Gaya dalam yang digunakan dengan nilai maksimum

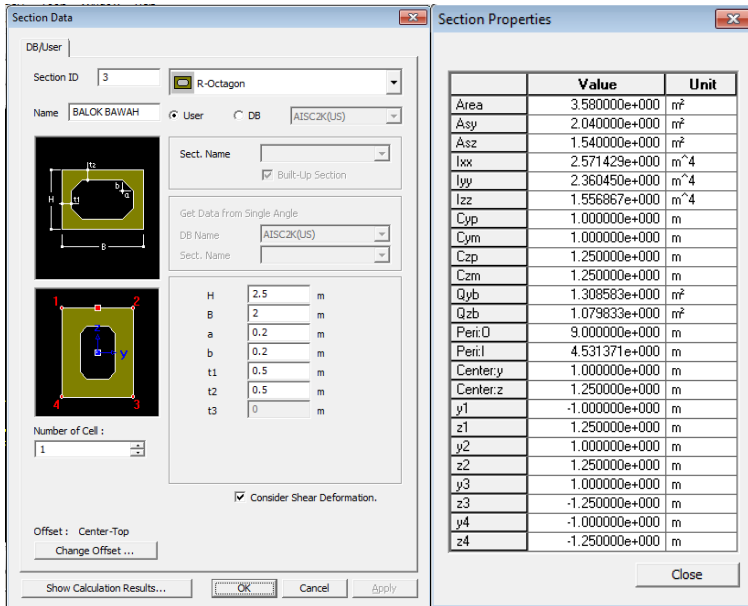
$$\begin{array}{ll}
 P_u & = 2375,14 \text{ kN} & M_Y & = 6285,38 \text{ kNm} \\
 V_{uy} & = 53,77 \text{ kN} & M_Z & = 930,99 \text{ kNm} \\
 V_{uz} & = 1697,71 \text{ kN} & & \\
 M_t & = 307,87 \text{ kNm} & &
 \end{array}$$

Berikut ini data perencanaan yang berupa section properties dari pylon yang didapatkan dari program bantu MIDAS CIVIL dapat dilihat pada Gambar 4.96.

$$\begin{array}{ll}
 \text{Mutu Beton (f'c)} & = 50 \text{ MPa} \\
 \text{Mutu Tulangan (fy)} & = 400 \text{ MPa} \\
 \text{Luas Penampang (Ag)} & = 3,58 \text{ m}^2 \\
 & = 35800 \text{ cm}^2 \\
 \text{Inersia arah y (Iy)} & = 236045000 \text{ cm}^4 \\
 \text{Inersia arah z (Iz)} & = 155686700 \text{ cm}^4 \\
 \text{Modulus Elastisitas} & = 33234,02 \text{ MPa}
 \end{array}$$

Tulangan yang digunakan adalah :

$$\begin{array}{ll}
 \text{Tulangan utama (lentur)} & = 22 \text{ mm} \\
 \text{Tulangan sengkang (geser)} & = 16 \text{ mm} \\
 \text{Tulangan puntir (torsi)} & = 22 \text{ mm} \\
 \text{Tebal selimut beton} & = 50 \text{ mm}
 \end{array}$$



Gambar 4.96 Section properties penampang pylon section B-B

Perhitungan Tulangan Longitudinal

Struktur yang mengalami tekan dapat diabaikan bila kurang dari berikut ini :

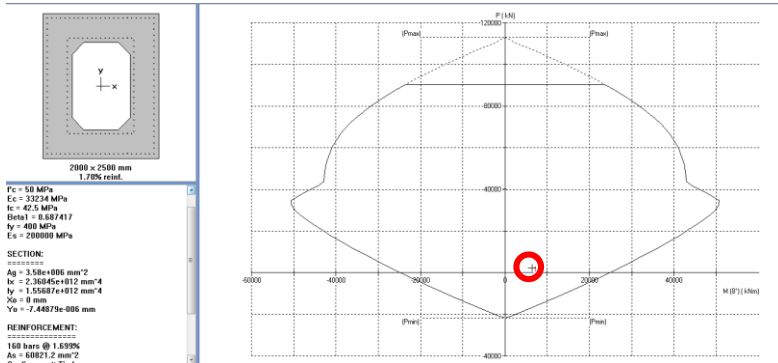
$$\begin{aligned}
 P_u &< 0,1 \cdot f'_c \cdot A_g \\
 P_u &< 0,1 \cdot 50 \cdot 3,58 \cdot 10^6 \\
 P_u &< 17,9 \cdot 10^6 \text{ N} \\
 2375,14 \text{ kN} &< 17900 \text{ kN}
 \end{aligned}$$

Maka gaya aksial tekan dapat diabaikan

Direncanakan tulangan longitudinal menggunakan D22 ($f_y = 400 \text{ MPa}$), sedangkan untuk tulangan geser menggunakan D16 ($f_y = 400 \text{ MPa}$).

Penampang balok pengaku akan dianalisa menggunakan *Spcolumn* untuk menganalisa gaya dalam akibat beban aksial dan

momen, untuk lebih jelas dapat dilihat pada Gambar 4.97 berikut ini :



Gambar 4.97 Gambar grafik diagram interaksi *SpColumn*

Dari hasil analisa didapat :
 160 buah D22 (1,70%)
 $A_s = 60821,2 \text{ mm}^2$

Kontrol jarak antar tulangan

$$\begin{aligned}
 S_y &= \frac{b_w - 2 \cdot h_{\text{selimut}} - 2 \cdot \text{tul.sengkang} - n_{\text{tul.utama}}}{n - 1} \\
 &= \frac{2000 - 2 \cdot 50 - 2 \cdot 16 - 25 \cdot 22}{25 - 1} \\
 &= 54,92 \text{ mm} \dots (\text{OK}) > 40 \text{ mm} \dots (\text{SNI 2847-2013 ps 7.6.3}) \\
 S_z &= \frac{b_w - 2 \cdot h_{\text{selimut}} - 2 \cdot \text{tul.sengkang} - n_{\text{tul.utama}}}{n - 1} \\
 &= \frac{2500 - 2 \cdot 50 - 2 \cdot 16 - 25 \cdot 22}{25 - 1} \\
 &= 75,75 \text{ mm} \dots (\text{OK}) > 40 \text{ mm} \dots (\text{SNI 2847-2013 ps 7.6.3})
 \end{aligned}$$

Jarak antar tulangan memenuhi, sehingga penampang *pylon section* B-B dan tulangan desain dapat digunakan.

4.7.4.2. Perhitungan Tulangan Geser *section* B-B

Gaya dalam yang terjadi pada *section* B-B :

$$P_u = 2375,14 \text{ kN}$$

$$V_{uy} = 53,77 \text{ kN}$$

$$V_{uz} = 1697,71 \text{ kN}$$

Menghitung tinggi efektif

$$\begin{aligned} d_y &= h - h_{\text{selimut}} - D_{\text{tul. sengkang}} - \frac{1}{2} D_{\text{tul. utama}} \\ &= 2500 - 50 - 16 - \frac{1}{2} \cdot 22 \\ &= 2423 \text{ mm} \end{aligned}$$

$$\begin{aligned} d_z &= h - h_{\text{selimut}} - D_{\text{tul. sengkang}} - \frac{1}{2} D_{\text{tul. utama}} \\ &= 2000 - 50 - 16 - \frac{1}{2} \cdot 22 \\ &= 1923 \text{ mm} \end{aligned}$$

Penulangan geser sumbu y pada pylon

$$V_c = 0,17 \cdot \left(1 + \frac{N_u}{14A_g} \right) \cdot \lambda \cdot \sqrt{f'_c} \cdot b_w \cdot d$$

..(SNI 2847-2013 pasal 11.2.1.2)

$$\begin{aligned} &= 0,17 \cdot \left(1 + \frac{2375,14 \cdot 10^3 \text{ N}}{14 \cdot 3,58 \cdot 10^6 \text{ mm}^2} \right) \cdot 1 \cdot \sqrt{50 \text{ MPa}} \cdot 2 \cdot 10^3 \text{ mm} \cdot 2423 \text{ mm} \\ &= 6101342 \text{ N} \end{aligned}$$

$$\begin{aligned} \phi V_c &= 0,85 \cdot 6101342 \text{ N} \\ &= 5186140,7 \text{ N} \end{aligned}$$

$$\begin{aligned} 0,5\phi V_c &= 0,5 \cdot 5186140,7 \text{ N} \cdot (\text{SNI 2847-2013 pasal 11.4.6.1}) \\ &= 2593070,35 \text{ N} \end{aligned}$$

Nilai $0,5\phi V_c > V_u = 53770 \text{ N}$, maka tidak perlu tulangan geser
Menggunakan geser minimum

$$V_u \leq \phi V_n \dots (\text{SNI 2847-2013 pasal 11.1.1})$$

$$V_n = V_c + V_s$$

$$V_u < \phi (V_c + V_s)$$

$$A_{v_{\min}} = 0,35 b_w \cdot \frac{s}{f_{yt}} \dots (\text{SNI 2847-2013 pasal 11.4.6.3})$$

$$V_s = \frac{A_v \cdot f_{yt} \cdot d_y}{s} \dots (\text{SNI 2847-2013 pasal 11.4.7.2})$$

$$V_s = \frac{\left(0,35 \cdot b_w \cdot \frac{s}{f_{yt}} \right) \cdot f_{yt} \cdot d_y}{s}$$

$$\begin{aligned} V_s &= 0,35 \cdot b_w \cdot d_y \\ &= 0,35 \cdot 2 \cdot 10^3 \cdot 2423 \\ &= 1696100 \text{ N} \end{aligned}$$

$$\begin{aligned} V_s &= 0,33 \cdot \sqrt{f'_c} \cdot b_w \cdot d_y \dots (\text{SNI 2847-2013 pasal 11.4.5.2}) \\ &= 0,33 \cdot \sqrt{50} \cdot 2 \cdot 10^3 \cdot 2423 \\ &= 11307910,22 \text{ N} \end{aligned}$$

$$\begin{aligned} V_s = 0,35 \cdot b_w \cdot d_y &< V_s = 0,33 \cdot \sqrt{f'_c} \cdot b_w \cdot d_y \\ 1696100 \text{ N} &< 11307910,22 \text{ N} \dots (\text{OK}) \end{aligned}$$

$$\begin{aligned} V_u &< \phi (V_c + V_s) \\ V_u/\phi &< (V_c + V_s) \\ 53770/0,85 &< (6101342 + 1696100) \\ 63258,82 \text{ N} &< 7797442 \text{ N} \dots (\text{OK}) \end{aligned}$$

Maka dipakai 2D16

$$V_s = \frac{A_v \cdot f_{yt} \cdot d_y}{s}$$

$$\begin{aligned}
 s &= \frac{A_v \cdot f_{yt} \cdot d_y}{V_s} \\
 &= \frac{(2 \cdot 0,25 \cdot \pi \cdot 16^2) \cdot 400 \cdot 2423}{1696100} \\
 &= 229,79 \text{ mm}
 \end{aligned}$$

Berdasarkan SNI 2847-2013 pasal 21.3.4.2 spasi antar tulangan geser tidak boleh kurang dari :

$$\begin{aligned}
 d_y/4 &= 2423/4 &= 1250 \text{ mm} \\
 8 D_{\text{tul. longitudinal}} &= 8 \cdot 22 &= 176 \text{ mm} \\
 24 D_{\text{tul. transversal}} &= 24 \cdot 16 &= 384 \text{ mm}
 \end{aligned}$$

Atau 300

Maka jarak sengkang yang digunakan adalah 2D16-150

Penulangan geser sumbu z pada pylon

$$\begin{aligned}
 V_c &= 0,17 \cdot \left(1 + \frac{N_u}{14A_g} \right) \cdot \lambda \cdot \sqrt{f'_c} \cdot b_w \cdot d \\
 &\quad \dots (\text{SNI 2847-2013 pasal 11.2.1.2})
 \end{aligned}$$

$$\begin{aligned}
 &= 0,17 \cdot \left(1 + \frac{2375,14 \cdot 10^3 \text{ N}}{14,3,58 \cdot 10^6 \text{ mm}^2} \right) \cdot 1 \cdot \sqrt{50 \text{ MPa}} \cdot 2,5 \cdot 10^3 \text{ mm} \cdot 1923 \text{ mm} \\
 &= 6052868,69 \text{ N}
 \end{aligned}$$

$$\begin{aligned}
 \phi V_c &= 0,85 \cdot 6052868,69 \text{ N} \\
 &= 5144938,39 \text{ N}
 \end{aligned}$$

$$\begin{aligned}
 0,5\phi V_c &= 0,5 \cdot 5144938,39 \text{ N} \dots (\text{SNI 2847-2013 pasal 11.4.6.1}) \\
 &= 2572469,19 \text{ N}
 \end{aligned}$$

Nilai $0,5\phi V_c > V_u = 1697710 \text{ N}$, maka tidak perlu tulangan geser

Menggunakan geser minimum

$$V_u \leq \phi V_n \dots (\text{SNI 2847-2013 pasal 11.1.1})$$

$$V_n = V_c + V_s$$

$$V_u < \phi (V_c + V_s)$$

$$A_{V_{\min}} = 0,35 b_w \cdot \frac{S}{f_{yt}} \dots (\text{SNI 2847-2013 pasal 11.4.6.3})$$

$$V_s = \frac{A_v \cdot f_{yt} \cdot d_y}{s} \dots (\text{SNI 2847-2013 pasal 11.4.7.2})$$

$$V_s = \frac{\left(0,35 \cdot b_w \cdot \frac{S}{f_{yt}} \right) \cdot f_{yt} \cdot d_y}{s}$$

$$\begin{aligned} V_s &= 0,35 \cdot b_w \cdot d_y \\ &= 0,35 \cdot 2,5 \cdot 10^3 \cdot 2923 \\ &= 1682625 \text{ N} \end{aligned}$$

$$\begin{aligned} V_s &= 0,33 \cdot \sqrt{f'_c} \cdot b_w \cdot d_y \dots (\text{SNI 2847-2013 pasal 11.4.5.2}) \\ &= 0,33 \cdot \sqrt{50} \cdot 2,5 \cdot 10^3 \cdot 1923 \\ &= 11218072,31 \text{ N} \end{aligned}$$

$$\begin{aligned} V_s = 0,35 \cdot b_w \cdot d_y &< V_s = 0,33 \cdot \sqrt{f'_c} \cdot b_w \cdot d_y \\ 1682625 \text{ N} &< 11218072,31 \text{ N} \dots (\text{OK}) \end{aligned}$$

$$\begin{aligned} V_u &< \phi (V_c + V_s) \\ V_u/\phi &< (V_c + V_s) \\ 1697710/0,85 &< (6052868,69 + 1682625) \\ 1997305,88 \text{ N} &< 7735493,69 \text{ N} \dots (\text{OK}) \end{aligned}$$

Maka dipakai 2D16

$$\begin{aligned} V_s &= \frac{A_v \cdot f_{yt} \cdot d_y}{s} \\ s &= \frac{A_v \cdot f_{yt} \cdot d_y}{V_s} \end{aligned}$$

$$\begin{aligned}
 &= \frac{(2 \cdot 0,25 \cdot \pi \cdot 16^2) \cdot 400 \cdot 1923}{1682625} \\
 &= 183,83 \text{ mm}
 \end{aligned}$$

Berdasarkan SNI 2847-2013 pasal 21.3.4.2 spasi antar tulangan geser tidak boleh kurang dari :

$$\begin{aligned}
 d_z/4 &= 1923/4 &&= 480,75 \text{ mm} \\
 8 D_{\text{tul. longitudinal}} &= 8 \cdot 22 &&= 176 \text{ mm} \\
 24 D_{\text{tul. transversal}} &= 24 \cdot 16 &&= 384 \text{ mm} \\
 &\text{Atau } 300
 \end{aligned}$$

Maka jarak sengkang yang digunakan adalah 2D16-150

4.7.4.3. Perhitungan Tulangan Puntir *section B-B*

Gaya dalam yang terjadi pada *section B-B* :

$$\begin{aligned}
 P_u &= 2375,14 \text{ kN} \\
 M_t &= 307,87 \text{ kNm}
 \end{aligned}$$

Kontrol terhadap puntir dapat diabaikan apabila kurang dari yang ditentukan oleh SNI 2847-2013 pasal 11.5.1.(a) untuk penampang berongga dimana A_g digunakan pengganti sebagai A_{cp}

$$\begin{aligned}
 A_{cp} &= &&= 3580000 \text{ mm}^2 \\
 P_{cp} &= 2(2500 + 2000)\text{mm} &&= 9000 \text{ mm} \\
 x_1 &= 2000\text{mm} - 2(50 + 0,5 \cdot 16)\text{mm} &&= 1884 \text{ mm} \\
 x_2 &= 2500\text{mm} - 2(50 + 0,5 \cdot 16)\text{mm} &&= 2384 \text{ mm} \\
 A_{oh} &= (1884 \cdot 2384)\text{mm}^2 &&= 4491456 \text{ mm}^2 \\
 P_h &= 2 \cdot (1884 + 2384)\text{mm} &&= 8536 \text{ mm}
 \end{aligned}$$

Pengaruh torsi terkecil yang terdeteksi (*threshold*) boleh diabaikan bila momen torsi terfaktor T_u kurang dari :

$$T_u \leq \phi \cdot 0,083 \cdot \lambda \cdot \sqrt{f_c} \cdot \left(\frac{A_{cp}^2}{P_{cp}} \right)$$

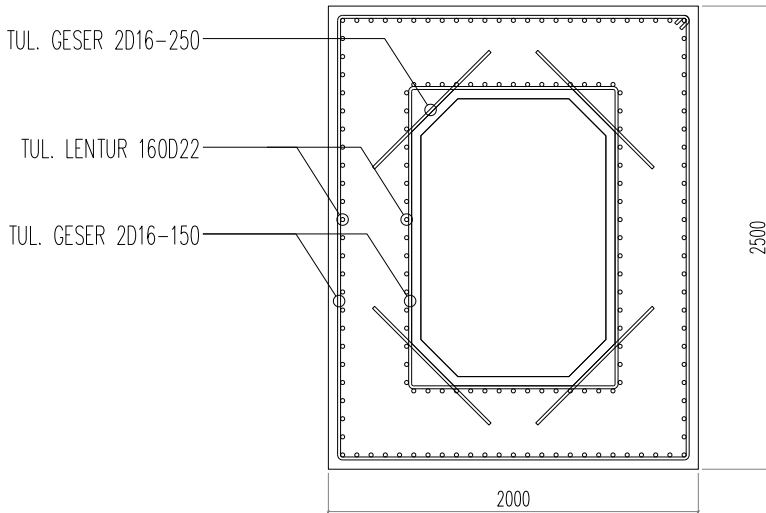
..(SNI 2847-2013 pasal 11.5.1.(a))

$$307,87 \text{ kN} \leq 0,85 \cdot 0,083 \cdot 1 \cdot \sqrt{50} \cdot \left(\frac{3580000^2}{9000} \right)$$

$$307,87 \text{ kN} \leq 710404271,52 \text{ Nmm}$$

307,87 kN < 710,4 kNm... maka tidak perlu tulangan puntir

Berikut ini ilustrasi tulangan pada penampang balok pengaku *section B-B* dapat dilihat pada Gambar 4.987.



Gambar 4.98 Desain penampang *section B-B*

4.7.4.4. Perhitungan Tulangan Lentur balok *section C-C*

Gaya dalam yang digunakan dengan nilai maksimum

$$P_u = 2527,68 \text{ kN}$$

$$M_Y = 7300,87 \text{ kNm}$$

$$V_{uy} = 43,06 \text{ kN}$$

$$M_Z = 701,29 \text{ kNm}$$

$$V_{uz} = 1793,08 \text{ kN}$$

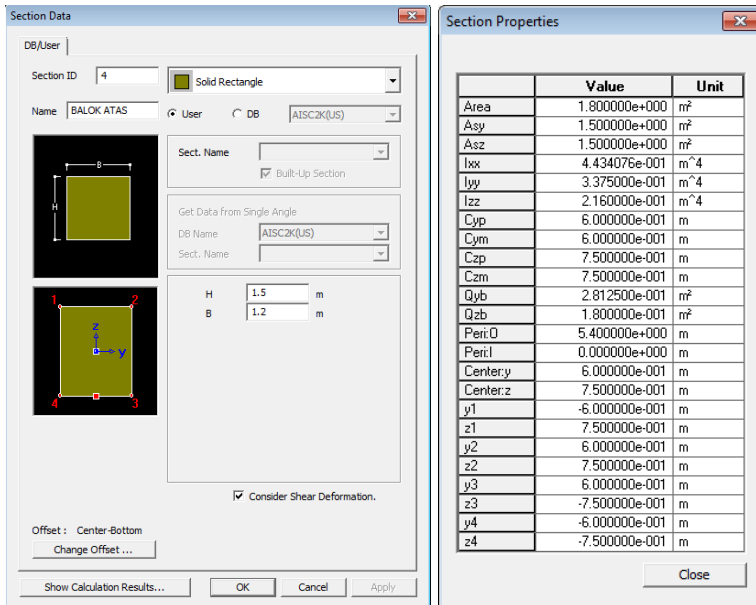
$$M_t = 71,64 \text{ kNm}$$

Berikut ini data perencanaan yang berupa section properties dari pylon yang didapatkan dari program bantu MIDAS CIVIL dapat dilihat pada Gambar 4.99.

Mutu Beton ($f'c$)	= 50 MPa
Mutu Tulangan (f_y)	= 400 MPa
Luas Penampang (A_g)	= 1,8 m ² = 18000 cm ²
Inersia arah y (I_y)	= 33750000 cm ⁴
Inersia arah z (I_z)	= 21600000 cm ⁴
Modulus Elastisitas	= 33234,02 MPa

Tulangan yang digunakan adalah :

Tulangan utama (lentur)	= 22 mm
Tulangan sengkang (geser)	= 16 mm
Tulangan puntir (torsi)	= 22 mm
Tebal selimut beton	= 50 mm



Gambar 4.99 Section properties penampang pylon section C-C

Perhitungan Tulangan Longitudinal

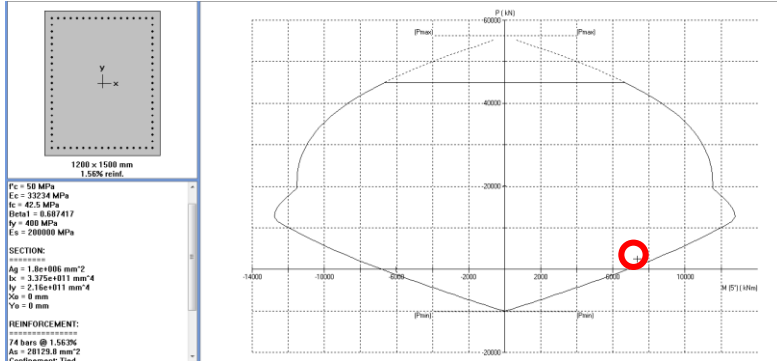
Struktur yang mengalami tekan dapat diabaikan bila kurang dari berikut ini :

$$\begin{aligned} P_u &< 0,1 \cdot f'_c \cdot A_g \\ P_u &< 0,1 \cdot 50 \cdot 1,8 \cdot 10^6 \\ P_u &< 9 \cdot 10^6 \text{ N} \\ 2527,68 \text{ kN} &< 9000 \text{ kN} \end{aligned}$$

Maka gaya aksial tekan dapat diabaikan

Direncanakan tulangan longitudinal menggunakan D22 ($f_y = 400 \text{ MPa}$), sedangkan untuk tulangan geser menggunakan D16 ($f_y = 400 \text{ MPa}$).

Penampang balok pengaku akan dianalisa menggunakan *Spcolumn* untuk menganalisa gaya dalam akibat beban aksial dan momen, untuk lebih jelas dapat dilihat pada Gambar 4.100 berikut ini :



Gambar 4.100 Gambar grafik diagram interaksi *SpColumn*

Dari hasil analisa didapat :

74 buah D22 (1,56%)

$A_s = 60821,2 \text{ mm}^2$

Kontrol jarak antar tulangan

$$\begin{aligned}
 S_y &= \frac{b_w - 2 \cdot h_{\text{selimut}} - 2 \cdot d_{\text{tul.sengkan}} - n_{\text{tul.utama}}}{n - 1} \\
 &= \frac{1200 - 2 \cdot 50 - 2 \cdot 16 - 18 \cdot 22}{18 - 1} \\
 &= 39,53 \text{ mm} \dots (\text{OK}) > 33 \text{ mm} \dots (\text{SNI 2847-2013 ps 7.6.3})
 \end{aligned}$$

$$\begin{aligned}
 S_z &= \frac{b_w - 2 \cdot h_{\text{selimut}} - 2 \cdot d_{\text{tul.sengkan}} - n_{\text{tul.utama}}}{n - 1} \\
 &= \frac{1500 - 2 \cdot 50 - 2 \cdot 16 - 21 \cdot 22}{21 - 1} \\
 &= 45,30 \text{ mm} \dots (\text{OK}) > 33 \text{ mm} \dots (\text{SNI 2847-2013 ps 7.6.3})
 \end{aligned}$$

Jarak antar tulangan memenuhi, sehingga penampang *pylon section* C-C dan tulangan desain dapat digunakan.

4.7.4.5. Perhitungan Tulangan Geser *section* C-C

Gaya dalam yang terjadi pada *pylon* :

$$\begin{aligned}
 P_u &= 2527,68 \text{ kN} \\
 V_{uy} &= 43,77 \text{ kN} \\
 V_{uz} &= 1793,08 \text{ kN}
 \end{aligned}$$

Menghitung tinggi efektif

$$\begin{aligned}
 d_y &= h - h_{\text{selimut}} - D_{\text{tul. sengan}} - \frac{1}{2} D_{\text{tul.utama}} \\
 &= 1500 - 50 - 16 - \frac{1}{2} \cdot 22 \\
 &= 1423 \text{ mm}
 \end{aligned}$$

$$\begin{aligned}
 d_z &= h - h_{\text{selimut}} - D_{\text{tul. sengan}} - \frac{1}{2} D_{\text{tul.utama}} \\
 &= 1200 - 50 - 16 - \frac{1}{2} \cdot 22 \\
 &= 1123 \text{ mm}
 \end{aligned}$$

Penulangan geser sumbu y pada pylon

$$\begin{aligned}
 V_c &= 0,17 \cdot \left(1 + \frac{N_u}{14A_g} \right) \cdot \lambda \cdot \sqrt{f'_c} \cdot b_w \cdot d \\
 &\quad \dots (\text{SNI 2847-2013 pasal 11.2.1.2}) \\
 &= 0,17 \cdot \left(1 + \frac{2527,68 \cdot 10^3 \text{ N}}{14 \cdot 1,8 \cdot 10^6 \text{ mm}^2} \right) \cdot 1 \cdot \sqrt{50} \text{ MPa} \cdot 1,2 \cdot 10^3 \text{ mm} \cdot 1423 \text{ mm} \\
 &= 2258567,44 \text{ N} \\
 \phi V_c &= 0,85 \cdot 2258567,44 \text{ N} \\
 &= 1919782,32 \text{ N} \\
 0,5\phi V_c &= 0,5 \cdot 1919782,32 \text{ N} \dots (\text{SNI 2847-2013 pasal 11.4.6.1}) \\
 &= 959891,16 \text{ N}
 \end{aligned}$$

Nilai $0,5\phi V_c > V_u = 43060 \text{ N}$, maka tidak perlu tulangan geser

Menggunakan geser minimum

$V_u \leq \phi V_n \dots (\text{SNI 2847-2013 pasal 11.1.1})$

$V_n = V_c + V_s$

$V_u < \phi (V_c + V_s)$

$$A_{v_{\min}} = 0,35 b_w \cdot \frac{s}{f_{yt}} \dots (\text{SNI 2847-2013 pasal 11.4.6.3})$$

$$V_s = \frac{A_v \cdot f_{yt} \cdot d_y}{s} \dots (\text{SNI 2847-2013 pasal 11.4.7.2})$$

$$V_s = \frac{\left(0,35 \cdot b_w \cdot \frac{s}{f_{yt}} \right) \cdot f_{yt} \cdot d_y}{s}$$

$$\begin{aligned}
 V_s &= 0,35 \cdot b_w \cdot d_y \\
 &= 0,35 \cdot 1,2 \cdot 10^3 \cdot 1423 \\
 &= 597660 \text{ N}
 \end{aligned}$$

$$\begin{aligned}
 V_s &= 0,33 \cdot \sqrt{f'_c} \cdot b_w \cdot d_y \dots (\text{SNI 2847-2013 pasal 11.4.5.2}) \\
 &= 0,33 \sqrt{50} \cdot 1,2 \cdot 10^3 \cdot 1423 \\
 &= 39846023,28 \text{ N}
 \end{aligned}$$

$$\begin{aligned}
 V_s = 0,35 \cdot b_w \cdot d_y &< V_s = 0,33 \cdot \sqrt{f'_c} \cdot b_w \cdot d_y \\
 597660 \text{ N} &< 39846023,28 \text{ N} \dots (\text{OK})
 \end{aligned}$$

$$\begin{aligned}
 V_u &< \phi (V_c + V_s) \\
 V_u/\phi &< (V_c + V_s) \\
 43060/0,85 &< (2258567,44 + 597660) \\
 50658,82 \text{ N} &< 7797442 \text{ N} \dots (\text{OK})
 \end{aligned}$$

Maka dipakai 2D16

$$\begin{aligned}
 V_s &= \frac{A_v \cdot f_{yt} \cdot d_y}{s} \\
 s &= \frac{A_v \cdot f_{yt} \cdot d_y}{V_s} \\
 &= \frac{(2 \cdot 0,25 \cdot \pi \cdot 16^2) \cdot 400 \cdot 1423}{597660} \\
 &= 382,98 \text{ mm}
 \end{aligned}$$

Berdasarkan SNI 2847-2013 pasal 21.3.4.2 spasi antar tulangan geser tidak boleh kurang dari :

$$\begin{aligned}
 d_y/4 &= 1423/4 &= 355,75 \text{ mm} \\
 8 D_{\text{tul. longitudinal}} &= 8 \cdot 22 &= 176 \text{ mm} \\
 24 D_{\text{tul. transversal}} &= 24 \cdot 16 &= 384 \text{ mm}
 \end{aligned}$$

Atau 300

Maka jarak sengkang yang digunakan adalah 2D16-150

Penulangan geser sumbu z pada pylon

$$\begin{aligned}
 V_c &= 0,17 \cdot \left(1 + \frac{N_u}{14A_g} \right) \cdot \lambda \cdot \sqrt{f'_c} \cdot b_w \cdot d \\
 &\quad \dots (\text{SNI 2847-2013 pasal 11.2.1.2}) \\
 &= 0,17 \cdot \left(1 + \frac{2527,68 \cdot 10^3 \text{ N}}{14,1 \cdot 8 \cdot 10^6 \text{ mm}^2} \right) \cdot 1 \cdot \sqrt{50 \text{ MPa}} \cdot 1,5 \cdot 10^3 \text{ mm} \cdot 1123 \text{ mm} \\
 &= 2228014,08 \text{ N} \\
 \phi V_c &= 0,85 \cdot 2228014,08 \text{ N} \\
 &= 1893811,97 \text{ N} \\
 0,5\phi V_c &= 0,5 \cdot 1893811,97 \text{ N} \dots (\text{SNI 2847-2013 pasal 11.4.6.1}) \\
 &= 946905,98 \text{ N}
 \end{aligned}$$

Nilai $0,5\phi V_c > V_u = 1793080 \text{ N}$, maka perlu tulangan geser minimum

Menggunakan geser minimum

$$V_u \leq \phi V_n \dots (\text{SNI 2847-2013 pasal 11.1.1})$$

$$V_n = V_c + V_s$$

$$V_u < \phi (V_c + V_s)$$

$$A_{v_{\min}} = 0,35 b_w \cdot \frac{s}{f_{yt}} \dots (\text{SNI 2847-2013 pasal 11.4.6.3})$$

$$V_s = \frac{A_v \cdot f_{yt} \cdot d_y}{s} \dots (\text{SNI 2847-2013 pasal 11.4.7.2})$$

$$V_s = \frac{\left(0,35 \cdot b_w \cdot \frac{s}{f_{yt}} \right) \cdot f_{yt} \cdot d_y}{s}$$

$$\begin{aligned}
 V_s &= 0,35 \cdot b_w \cdot d_y \\
 &= 0,35 \cdot 1,5 \cdot 10^3 \cdot 1123 \\
 &= 589575 \text{ N}
 \end{aligned}$$

$$\begin{aligned}
 V_s &= 0,33 \cdot \sqrt{f'_c} \cdot b_w \cdot d_y \dots (\text{SNI 2847-2013 pasal 11.4.5.2}) \\
 &= 0,33 \sqrt{50} \cdot 1,5 \cdot 10^3 \cdot 1123 \\
 &= 3930700,53 \text{ N}
 \end{aligned}$$

$$\begin{aligned}
 V_s = 0,35 \cdot b_w \cdot d_y &< V_s = 0,33 \cdot \sqrt{f'_c} \cdot b_w \cdot d_y \\
 589575 \text{ N} &< 3930700,53 \text{ N} \dots (\text{OK})
 \end{aligned}$$

$$\begin{aligned}
 V_u &< \phi (V_c + V_s) \\
 V_u/\phi &< (V_c + V_s) \\
 1793080/0,85 &< (2228014,08 + 589575) \\
 2109505,88 \text{ N} &< 2817589,08 \text{ N} \dots (\text{OK})
 \end{aligned}$$

Maka dipakai 2D16

$$\begin{aligned}
 V_s &= \frac{A_v \cdot f_{yt} \cdot d_y}{s} \\
 s &= \frac{A_v \cdot f_{yt} \cdot d_y}{V_s} \\
 &= \frac{(2 \cdot 0,25 \cdot \pi \cdot 16^2) \cdot 400 \cdot 1123}{589575} \\
 &= 306,38 \text{ mm}
 \end{aligned}$$

Berdasarkan SNI 2847-2013 pasal 21.3.4.2 spasi antar tulangan geser tidak boleh kurang dari :

$$\begin{aligned}
 d_z/4 &= 1123/4 &= 280,75 \text{ mm} \\
 8 D_{\text{tul. longitudinal}} &= 8 \cdot 22 &= 176 \text{ mm} \\
 24 D_{\text{tul. transversal}} &= 24 \cdot 16 &= 384 \text{ mm}
 \end{aligned}$$

Atau 300

Maka jarak sengkang yang digunakan adalah 2D16-150

4.7.4.6. Perhitungan Tulangan Puntir *section C-C*

Gaya dalam yang terjadi pada *pylon* :

$$P_u = 2527,68 \text{ kN}$$

$$M_t = 71,64 \text{ kNm}$$

Kontrol terhadap puntir dapat diabaikan apabila kurang dari yang ditentukan oleh SNI 2847-2013 pasal 11.5.1.(a) untuk penampang solid dimana A_g digunakan pengganti sebagai A_{cp}

$$A_{cp} = (1500 \cdot 1200) \text{ mm}^2 = 1800000 \text{ mm}^2$$

$$P_{cp} = 2(1500 + 1200) \text{ mm} = 5400 \text{ mm}$$

$$x_1 = 1200 \text{ mm} - 2(50 + 0,5 \cdot 16) \text{ mm} = 1084 \text{ mm}$$

$$x_2 = 1500 \text{ mm} - 2(50 + 0,5 \cdot 16) \text{ mm} = 1384 \text{ mm}$$

$$A_{oh} = (1084 \cdot 1384) \text{ mm}^2 = 1500256 \text{ mm}^2$$

$$P_h = 2 \cdot (1884 + 2384) \text{ mm} = 4936 \text{ mm}$$

Pengaruh torsi terkecil yang terdeteksi (*threshold*) boleh diabaikan bila momen torsi terfaktor T_u kurang dari :

$$T_u \leq \phi \cdot 0,083 \cdot \lambda \cdot \sqrt{f'_c} \cdot \left(\frac{A_{cp}^2}{P_{cp}} \right)$$

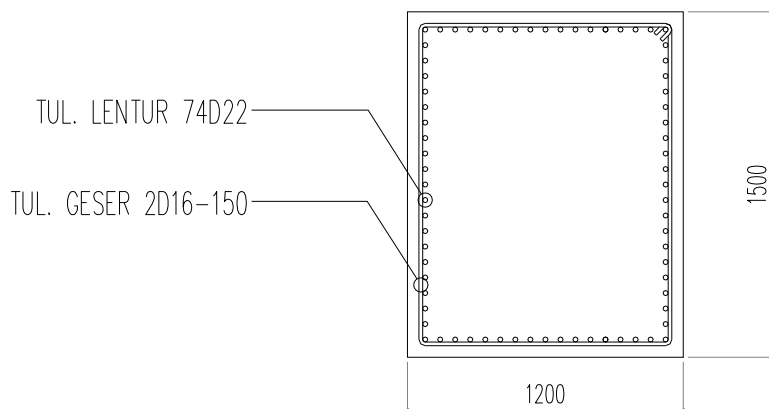
..(SNI 2847-2013 pasal 11.5.1.(a))

$$71,64 \text{ kN} \leq 0,85 \cdot 0,083 \cdot 1 \cdot \sqrt{50} \cdot \left(\frac{1800000^2}{5400} \right)$$

$$71,64 \text{ kN} \leq 299318300,48 \text{ Nmm}$$

$$71,64 \text{ kN} < 292,32 \text{ kNm} \dots \text{ maka tidak perlu tulangan puntir}$$

Berikut ini ilustrasi tulangan pada penampang balok pengaku *section C-C* dapat dilihat pada Gambar 4.101.



Gambar 4.101 Desain penampang *section C-C*

4.8. Anker Pada Pylon

Anker dipasang dengan menyesuaikan jumlah *strand* yang telah dihitung. Analisa yang digunakan meliputi cek tegangan pada beton saat pemberian gaya tarik (*stressing*).

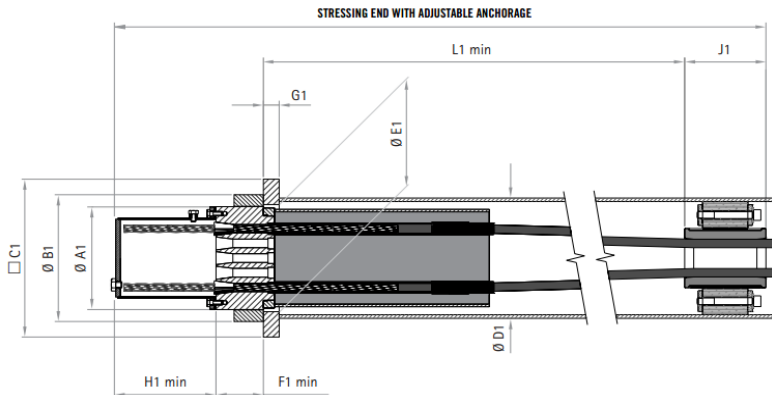
4.8.1. Gaya Dalam pada Pylon

Gaya dalam yang dipakai dari output program bantu MIDAS ialah gaya tarik yang memiliki nilai tertinggi. Berikut ini adalah nilai gaya tarik yang terjadi dapat dilihat pada Tabel 4.46

Tabel 4.46 Hasil analisa gaya tarik dari A_{pakai}

Kabel	Force (kN)
S1	815.71
S2	796.96
S3	3,309.64
S4	4,944.02
S5	3,285.39

4.8.2. Perhitungan Anker Pada Pylon

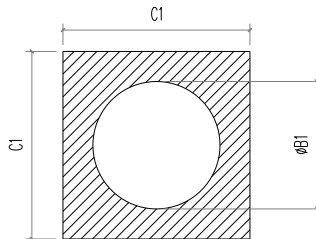


Gambar 4.102 Detail anker VSL SSI 2000 untuk *pylon*

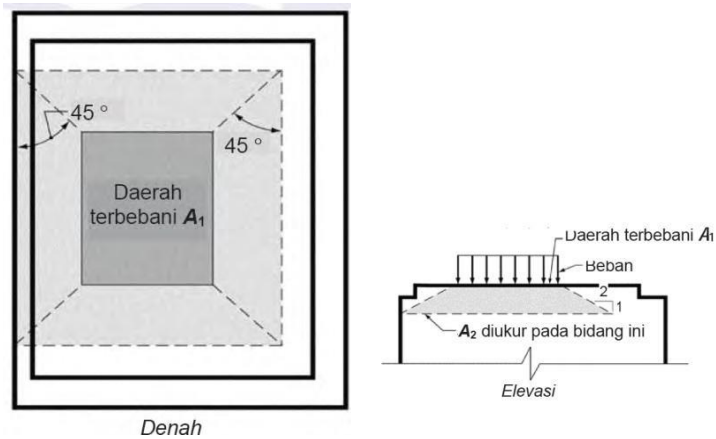
STRESSING END

TENDON UNIT	Number of strands	Minimum breaking load	Force at 45%	Transverse force	$\phi A1$	$\phi B1$	C1	$\phi D1$	$\phi E1$	F1 min	G1	H1 min	J1	L1 min
	n	kN	kN	kN	mm	mm	mm	mm	mm	mm	mm	mm	mm	mm
6-12	12	3348	1507	50	190	230	290	219.1/6.3	196	85	30	235	160	1500
6-19	19	5301	2385	80	235	285	355	267/6.3	241	100	35	245	180	1750
6-22	22	6138	2762	90	255	310	385	298.5/7.1	261	110	40	245	210	1900
6-31	31	8649	3892	130	285	350	440	323.9/7.1	291	130	45	275	210	2100
6-37	37	10323	4645	150	310	380	485	355.6/8.0	316	140	50	295	210	2300
6-43	43	11997	5399	180	350	425	540	406.4/8.8	356	145	55	305	260	2550
6-55	55	15345	6905	230	385	470	585	419/10	391	165	60	325	260	2650
6-61	61	17019	7659	250	385	470	600	419/10	391	180	65	345	290	2850
6-73	73	20367	9165	300	440	530	680	508/11	446	180	75	345	290	3050
6-85	85	23715	10672	350	440	540	710	508/11	446	210	80	375	290	3150
6-91	91	25389	11425	375	490	590	760	559/12.5	496	195	80	385	320	3400
6-109	109	30411	13685	450	505	610	795	559/12.5	511	215	90	400	320	3550
6-127	127	35433	15945	525	560	670	865	610/12.5	566	255	95	410	340	3950

SUMBER: Brosur VSL pada lampiran

Gambar 4.103 Spesifikasi anker VSL SSI 2000 untuk pylon**Gambar 4.104** Sketsa dimensi anker**Tabel 4.47** Data anker yang digunakan

Anker	12	31	43
$\phi B1$ (mm)	230	350	425
C1 (mm)	290	440	540



Gambar 4.105 Penerapan piramida terpancung untuk mencari A_2 dalam tumpuan berundak atau miring.

Berikut ini adalah contoh perhitungan anker S4 yang memiliki gaya tarik paling besar.

$$\begin{aligned}
 P &= 4944,02 \text{ kN} \\
 h &= 694 \text{ mm} \\
 \text{ØB1} &= 425 \text{ mm} \\
 A_2 &= h \times h \\
 &= 481636 \text{ mm}^2 \\
 C1 &= 540 \text{ mm} \\
 A_1 &= (C1 \cdot C1) - \text{area } \text{ØB1} \\
 &= (540 \cdot 540) - (0,25 \cdot \pi \cdot 425^2) \\
 &= 149737,46 \text{ mm}^2
 \end{aligned}$$

Pemberian gaya tarik dilakukan saat beton berusia 14 hari, dengan kuat tekan beton diperkirakan $85\% f'_c$

$$\begin{aligned}
 85\% \cdot f'_c &= 85\% \cdot 50 \text{ MPa} \\
 &= 42,5 \text{ MPa}
 \end{aligned}$$

$$f_{cp} = 85\% \cdot f'_c \cdot \sqrt{\frac{A_2}{A_1} - 0,2}$$

$$\begin{aligned}
 &= 42,5 \cdot \sqrt{\frac{481636}{149737,46}} - 0,2 \\
 &= 73,81 \text{ MPa}
 \end{aligned}$$

Tegangan yang terjadi di bawah pelat anker

$$\begin{aligned}
 f_t &= \frac{P}{A_1} \\
 &= \frac{4944,02 \cdot 10^3}{149737,46} \\
 &= 33,02 \text{ MPa}
 \end{aligned}$$

$$\begin{aligned}
 f_t &< f_{cp} \\
 33,02 \text{ MPa} &< 73,81 \text{ MPa} \dots (\text{OK})
 \end{aligned}$$

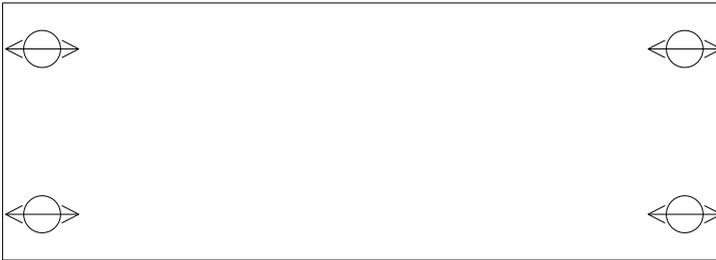
Untuk perhitungan anker yang lain dapat dilihat pada Tabel 10.14 berikut ini :

Tabel 4.48 Kontrol tegangan beton pada *pylon* saat *stressing*

Kabel	Anker	Force	f_{cp}	f_t	kontrol
	(Strand)	(kN)	(MPa)	(MPa)	($f_t < f_{cp}$)
S1	12	815.71	272.74	19.17	[OK]
S2	12	796.96	233.48	18.73	[OK]
S3	31	3309.64	123.98	33.98	[OK]
S4	43	4944.02	73.81	33.02	[OK]
S5	43	3285.39	60.69	21.94	[OK]

4.9. Desain Perletakan

Dengan adanya perletakan akan maka gaya dalam yang terjadi pada struktur atas akan disalurkan ke struktur bawah dan perletakan sendiri sebagai penompang jembatan. Berikut ini adalah *layout* dari penempatan perletakan yang digunakan pada Gambar 4.106.



Gambar 4.106 *Layout* penempatan perletakan

Dimana :

 = *pot bearing unidirectional*

4.9.1. Desain *Pot Bearing*

Pot bearing unidirectional merupakan jenis perletakan dimana hanya memungkinkan satu gerakan arah lateral. Berikut ini adalah model penggunaan *unidirectional pot bearing* tipe PU H2 dapat dilihat pada Gambar 4.107.



Gambar 4.107 Unidirectional pot bearing

Dari hasil analisa MIDAS CIVIL 2011 didapatkan reaksi pada arah y dengan kombinasi akibat kombinasi kuat 1 konfigurasi 3 (1,1DL+2ADL+2TD+1,8TB+1,8TP) dengan gaya sebagai berikut :

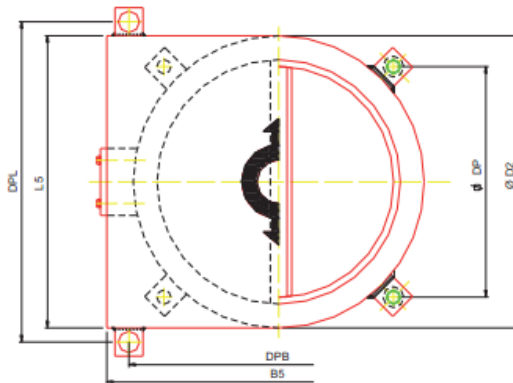
- V = 4054.81 kN
- H = 2181.62 kN

Maka hasil reaksi yang terjadi pada perletakkan *pot bearing*, maka akan direncanakan menggunakan *unidirectional pot bearing* dengan tipe PU 1120/800/H2 EN. Gaya dalam yang dapat diterima oleh *pot bearing* sebagai berikut :

- V = 11160 kN
- H = 2400 kN

Tabel 4.49 Kapasitas *unidirectional pot bearing* dengan tipe PU 1120/800/H2 EN

BEARING TYPE	V MAX ULS (kN)	H MAX ULS (kN)	V MAX SLS (kN)	H MAX SLS (kN)	V min SLS, ULS (kN)	Aprox. Weight (kg)
PU 100/70/H2 EN	977	210	700	140	350	40
PU 200/140/H2 EN	1.953	420	1.400	280	700	57
PU 300/220/H2 EN	3.069	660	2.200	440	1.100	101
PU 390/280/H2 EN	3.906	840	2.800	560	1.400	135
PU 490/350/H2 EN	4.883	1.050	3.500	700	1.750	172
PU 630/450/H2 EN	6.278	1.350	4.500	900	2.250	249
PU 700/500/H2 EN	6.975	1.500	5.000	1.000	2.500	320
PU 840/600/H2 EN	8.370	1.800	6.000	1.200	3.000	377
PU 900/650/H2 EN	9.068	1.950	6.500	1.300	3.250	421
PU 1000/700/H2 EN	9.765	2.100	7.000	1.400	3.500	450
PU 1120/800/H2 EN	11.160	2.400	8.000	1.600	4.000	515
PU 1200/850/H2 EN	11.858	2.550	8.500	1.700	4.250	559
PU 1320/950/H2 EN	13.253	2.850	9.500	1.900	4.750	633
PU 1400/1000/H2 EN	13.950	3.000	10.000	2.000	5.000	670
PU 1535/1100/H2 EN	15.345	3.300	11.000	2.200	5.500	843
PU 1700/1200/H2 EN	16.740	3.600	12.000	2.400	6.000	926
PU 1800/1300/H2 EN	18.135	3.900	13.000	2.600	6.500	1.042
PU 2000/1400/H2 EN	19.530	4.200	14.000	2.800	7.000	1.150
PU 2100/1500/H2 EN	20.925	4.500	15.000	3.000	7.500	1.287
PU 2250/1600/H2 EN	22.320	4.800	16.000	3.200	8.000	1.428
PU 2400/1700/H2 EN	23.715	5.100	17.000	3.400	8.500	1.559
PU 2500/1800/H2 EN	25.110	5.400	18.000	3.600	9.000	1.677
PU 2650/1900/H2 EN	26.505	5.700	19.000	3.800	9.500	1.780
PU 2800/2000/H2 EN	27.900	6.000	20.000	4.000	10.000	1.913
PU 3000/2200/H2 EN	30.690	6.600	22.000	4.400	11.000	2.367



Gambar 4.108 *Pot bearing* tampak atas

4.9.2. Desain *Expansion Joint*

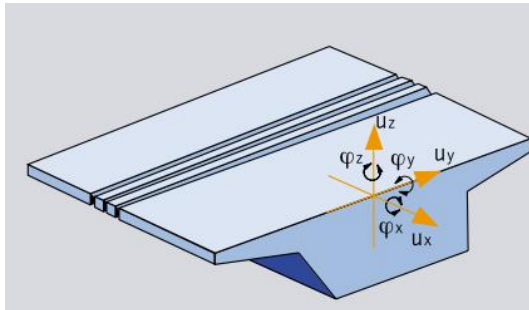
Perencanaan *expansion joint* pada jembatan untuk menanggulangi deformasi yang besar dan kompleks yang diperlukan karena alas geometrik dan biaya. Tipe yang akan digunakan adalah *modular expansion joint*. Modular expansion joint merupakan gabungan dari dua atau lebih strip seal joint untuk deformasi yang besar.

Dari hasil analisa MIDAS CIVIL 2011 didapatkan deformasi arah x dan arah y yang di peroleh dari kombinasi 1 konfigurasi 1 (1,1DL+2ADL+2TD+1,8TB+1,8TP), berikut ini nilai dari deformasi yang terjadi :

- Deformasi x = 241 mm
- Deformasi y = 1,43 mm

Maka hasil reaksi yang terjadi pada perletakkan *expansion joint*, maka akan direncanakan menggunakan *modular expansion joint* dengan tipe DS320. Gaya dalam yang dapat diterima oleh *pot bearing* sebagai berikut :

- u_x = 260 mm
- u_y = 160 mm



Gambar 4.109 Sketsa arah deformasi

Tabel 4.50 Kapasitas deformasi modular expansion joint dengan tipe DS320

type	weight [kg/m]	type	weight [kg/m]	n	type	u_x [mm]	u_y *) [mm]	u_z *) [mm]	α [°]	$\Delta\alpha$	β [°]
DS160	270	DS720	930					mid-position			
DS240	350	DS800	1030	2	DS160	130 (160)	± 80	± 10			
DS320	440	DS880	1140	3	DS240	195 (240)	± 120	± 15			
DS400	530	DS960	1260	4	DS320	260 (320)	± 160	± 20			
DS480	620	DS1040	1380	5	DS400	325 (400)	± 200	± 25			
DS560	720	DS1120	1500	6	DS480	390 (480)	± 240	± 30			
DS640	820	DS1200	1620	7	DS560	455 (560)	± 280	± 35			
				8	DS640	520 (640)	± 320	± 40	$90^\circ \pm 45^\circ$	any	any
				9	DS720	585 (720)	± 360	± 40			
				10	DS800	650 (800)	± 400	± 40			
				11	DS880	715 (880)	± 440	± 40			
				12	DS960	780 (960)	± 480	± 45			
				13	DS1040	845 (1040)	± 520	± 45			
				14	DS1120	910 (1120)	± 560	± 45			
				15	DS1200	975 (1200)	± 600	± 45			

The given numbers of the weight of joints is only to calculate the size of cranes and lifting devices.

*) Values apply to standard design, bigger values are possible, too.

4.10. Kontrol Stabilitas Aerodinamis

Aerodinamis akibat angin pada jembatan *cable stayed* perlu dianalisa karena salah satu penyebab terjadinya kegagalan struktur. Analisa stabilitas pada aerodinamis meliputi *vortex-shedding* (tumpahan pusaran angin) dan *flutter* (efek ayunan). Akan tetapi untuk mengetahui efek angin yang bekerja, perlunya analisa tersebut menggunakan model pada terowongan angin.

4.10.1. Frekuensi Alami

Frekuensi alami dihitung dengan frekuensi alami lentur (f_B) dan frekuensi alami torsi (f_T) yang didekati dengan menggunakan persamaan berikut ini :

$$f_B = \frac{1,1}{2\pi} \left(\frac{g}{v_{maks}} \right)^{1/2} \quad f_T = \frac{\bar{b}}{2 \cdot r} \cdot f_B$$

Dimana :

f_B = frekuensi alami lentur (Hz)

g = percepatan gravitasi (m/s^2) = $9,81 m/s^2$

v_{maks} = deformasi statis maksimum akibat berat sendiri (m)
= 0,516m (dari analisa MIDAS CIVIL)

f_T = frekuensi alami torsi (Hz)

\bar{b} = jarak kabel arah melintang (m) = 8,8m

r = jari-jari girasi penampang lantai kendaraan (m) = 2,21m

$$f_B = \frac{1,1}{2\pi} \left(\frac{9,81}{0,516} \right)^{1/2} \quad f_T = \frac{8,8}{2 \cdot 2,21} \cdot 0,763$$

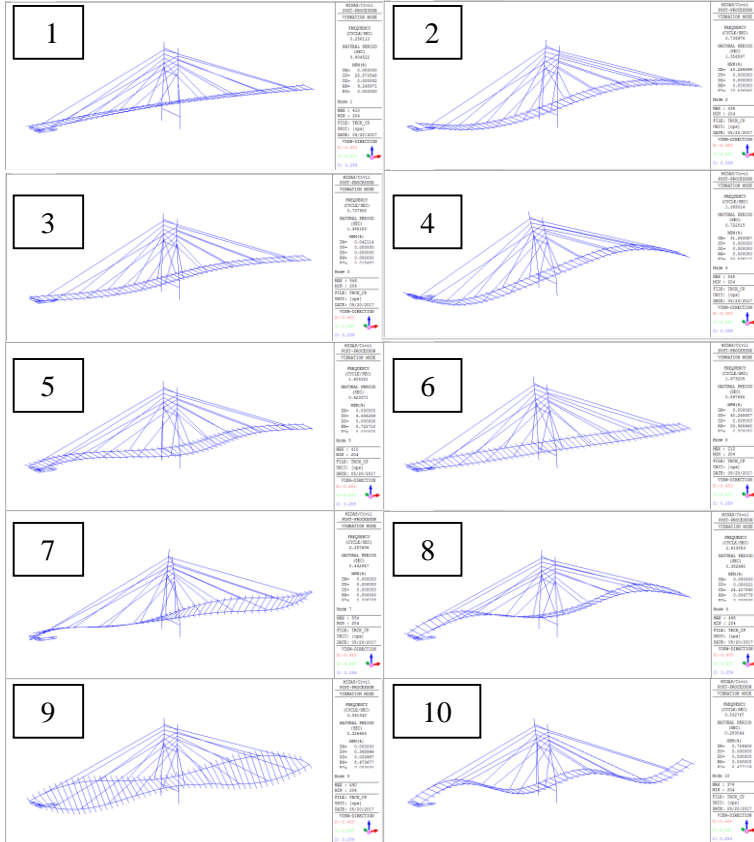
$$f_B = 0,763 \text{ Hz} \quad f_T = 1,52 \text{ Hz}$$

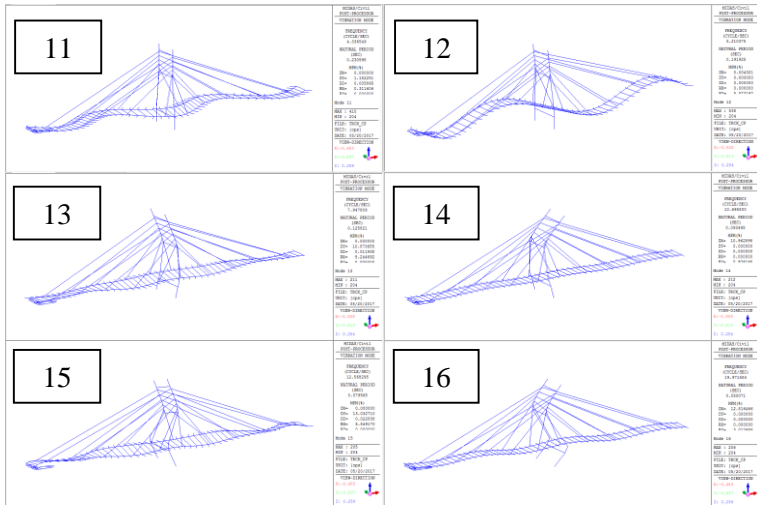
Dari frekuensi alami lentur dan frekuensi alami torsi dimana harus memenuhi persamaan Mathivat sebagai berikut :

$$\frac{f_T}{f_B} \cong 2,5 \rightarrow \frac{f_T}{f_B} = \frac{1,52}{0,763} = 1,992 \dots \text{ (oke)}$$

Akan tetapi didalam program bantu MIDAS CIVIL terdapat nilai frekuensi alami lentur (f_B) dan frekuensi alami torsi (f_T) terhadap

struktur dapat dicari dengan menggunakan *modal* tahapan *mode* pada *menu result – vibration mode shapes*. Sebagai berikut perolehan nilai frekuensi alami lentur (f_B) dan frekuensi alami torsi (f_T) dapat dilihat pada Gambar 4.110:





Gambar 4.110 Mode 1 - 16 frekuensi lentur (f_B) dan frekuensi torsi (f_T)

Berikut ini adalah rekapitulasi nilai frekuensi lentur dan frekuensi torsi dari analisa menggunakan program bantu MIDAS CIVIL dapat dilihat pada Tabel 4.51 :

Tabel 4.51 Nilai f_B dan f_T

Mode	Frekuensi Alami	Frequency	Natural Period
		(cycle/sec)	(sec)
1	Frekuensi Lentur (f_B)	0.736976	1.356897
2	Frekuensi Lentur (f_B)	0.737908	1.355183
3	Frekuensi Lentur (f_B)	1.385014	0.722015
4	Frekuensi Lentur (f_B)	1.473521	0.661429
5	Frekuensi Torsi (f_T)	1.604181	0.623371
6	Frekuensi Torsi (f_T)	1.673205	0.597655
7	Frekuensi Torsi (f_T)	2.257606	0.442947
8	Frekuensi Torsi (f_T)	2.613083	0.38269
9	Frekuensi Torsi (f_T)	3.061342	0.326654
10	Frekuensi Lentur (f_B)	3.532767	0.283064
11	Frekuensi Torsi (f_T)	4.336549	0.230598
12	Frekuensi Lentur (f_B)	5.210378	0.191925
13	Frekuensi Torsi (f_T)	7.947809	0.125821
14	Frekuensi Lentur (f_B)	10.6958	0.093495
15	Frekuensi Torsi (f_T)	12.568295	0.079565
16	Frekuensi Lentur (f_B)	19.971584	0.050071

4.10.2. Efek vortex-shedding

Pada kecepatan angin tertentu akan terjadi pusaran angin (*Vortex-Shedding*). Untuk memperoleh kecepatan angin yang mengakibatkan pusaran angin dapat dihitung menggunakan angka *Strouhal* (S) dengan persamaan sebagai berikut :

$$S = \frac{f_B \cdot h}{V}$$

Dimana :

S = angka *Strouhal*

V = kecepatan angin yang dihitung berdasarkan angka *Strouhal* (m/s)

h = tinggi lantai kendaraan (m) = 1,8m

f_B = frekwensi alami lentur (Hz)

Kecepatan angin (V) dicari dengan menggunakan persamaan angka *Strouhal*. Dipakai angka *Strouhal* (S) = 0,2, tinggi lantai kendaraan (h) = 1,8 m

$$\begin{aligned} V &= \frac{f_B \cdot h}{S} \\ &= \frac{0,763 \cdot 1,8}{0,2} \\ &= 6,87 \text{ m/s} \end{aligned}$$

Kemudian dilakukan pengecekan dengan menggunakan persamaan angka Reynold sebagai berikut :

$$Re = \frac{V \cdot B}{\nu}$$

Dimana :

Re = angka *Reynold*, bekisar antara 10^5 sampai 10^7

V = kecepatan angin yang dihitung berdasarkan angka *Strouhal*

B = lebar lantai kendaraan (12,4 m)

ν = viskositas kinematik udara ($0,15 \text{ cm}^2/\text{dt}$)

$$\begin{aligned} Re &= \frac{6,87 \cdot 13,6}{0,15 \cdot 10^{-4}} \\ &= 6,23 \cdot 10^6 \quad (10^5 < Re < 10^7) \end{aligned}$$

Dengan adanya terpaan angin yang mengakibatkan gaya angkat (*uplift*) maka gaya angkat (*uplift*) tersebut dapat dihitung dengan persamaan sebagai berikut :

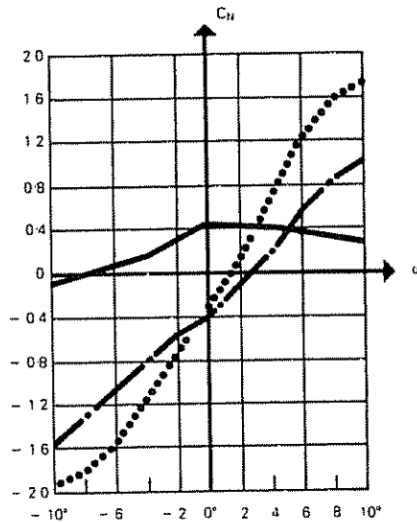
$$F_o = \rho \frac{V^2}{2} C \cdot h$$

Dimana :

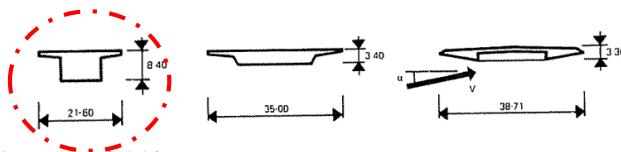
Fo = gaya angkat

- C = koefisien gaya angkat lantai kendaraan
 ρ = berat volume udara ($1,3 \text{ kg/m}^3$)
 V = kecepatan angin yang dihitung berdasarkan angka *Strouhal*
 h = tinggi lantai kendaraan

Besarnya nilai koefisien C didapat dari grafik pada Gambar 4.111 dan Gambar 4.112:



Gambar 4.111 Koefisien C_N



Gambar 4.112 Macam-macam penampang *deck*

Grafik koefisien C_N diatas adalah hasil percobaan dari bentuk penampang lantai kendaraan yang sudah didirikan. Dari beberapa macam bentuk penampang kendaraan, penampang yang

ditandai yang cukup mendekati penampang desain. Dengan diambil nilai α diambil 0° dengan nilai koefisien C_N sebesar 0,4.

$$\begin{aligned} F_o &= 1,3 \cdot 10 \cdot \frac{6,87^2}{2} \cdot 0,4 \cdot 1,8 \\ &= 220,89 \text{ N/m} \end{aligned}$$

Dari gaya ini akan menimbulkan osilasi gelagar yang amplitudonya dapat dihitung sebagai berikut :

$$\hat{v} = \frac{\pi}{\delta} \cdot \frac{F_o}{m} \cdot v_{\max}$$

Dimana :

\hat{v} = amplitudo osilasi

δ = penurunan logaritmik (koefisien peredaman)

F_o = gaya angkat

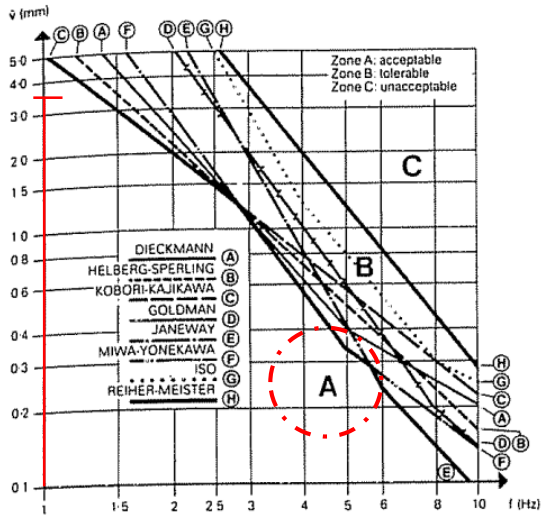
v_{\max} = deformasi statis maksimum karena berat sendiri

m = berat sendiri lantai kendaraan per meter panjang

Dari hasil analisa program MIDAS CIVIL diperoleh nilai v_{\max} akibat berat sendiri sebesar 0,516 m dimana berat sendiri lantai kendaraan adalah 98,47 kN/m. Penurunan logitmatik (koefisien peredaman) ditentukan sebesar 0,05.

$$\begin{aligned} \hat{v} &= \frac{\pi}{0,05} \cdot \frac{220,89}{98,47 \cdot 10^3} \cdot 0,516 \\ &= 0,03636 \text{ m} = 36,36 \text{ mm} \end{aligned}$$

Besarnya amplitudo getaran adalah 36,36 mm dengan deformasi sebesar 0,763 Hz masuk dalam kategori zona A yang diterima (*acceptabel*). Hal ini dapat dilihat pada grafik pada Gambar 4.113 sebagai berikut ini :

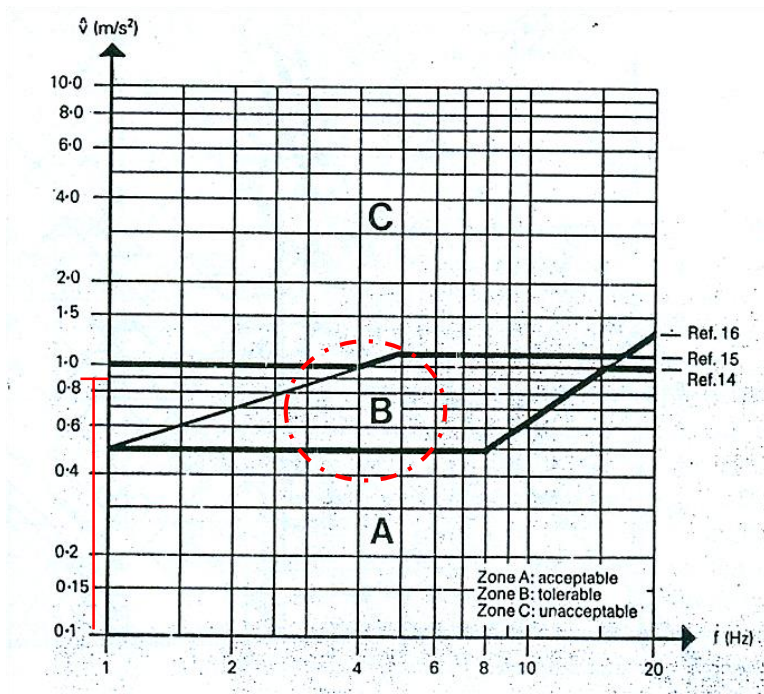


Gambar 4.113 Klasifikasi efek psikologis berdasarkan amplitudo (Walther, 1999)

Perhitungan tersebut dapat dilanjutkan dengan mencari nilai percepatan getaran yang dihasilkan dari persamaan berikut ini :

$$\begin{aligned}\hat{v} &= 4 \cdot \pi^2 \cdot f^2 \cdot \hat{v} \\ &= 4 \cdot \pi^2 \cdot 0,763^2 \cdot 0,03636 \\ &= 0,837 \text{ m/s}^2\end{aligned}$$

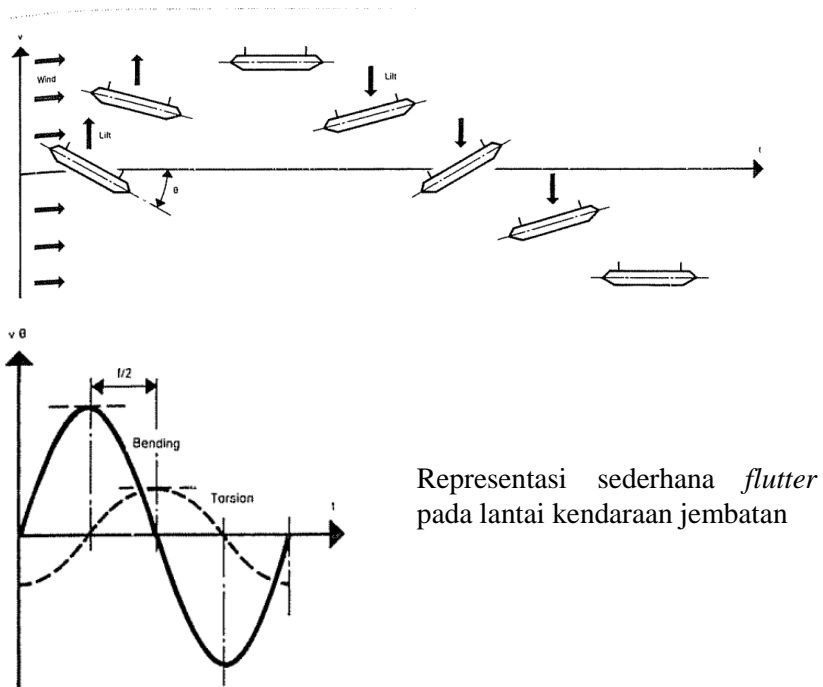
Percepatan getaran diperoleh sebesar 0,837 m/s² dengan frekuensi sebesar 0,763 Hz termasuk zona B yang ditoleransi (*tolerable*). Hal ini dapat dilihat dari grafik berikut ini :



Gambar 4.114 Klasifikasi efek psikologis berdasarkan percepatan getaran (Walther, 1999)

4.10.3. Efek *Flutter* (Ayunan)

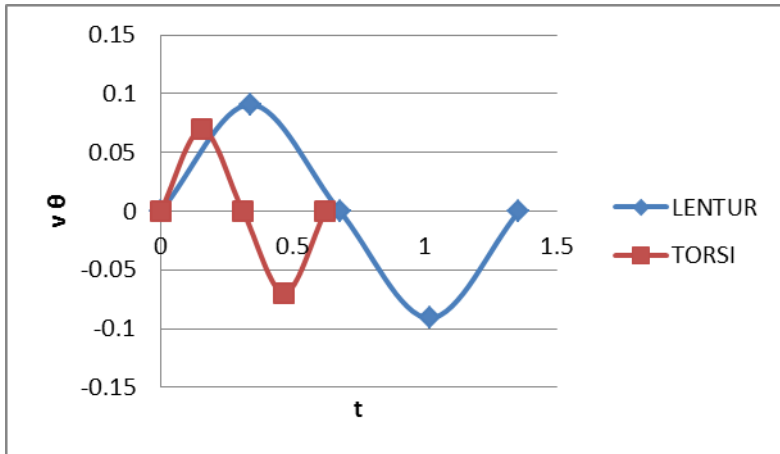
Kecepatan angin tertentu yang disebut kecepatan kritis yang mengakibatkan suatu efek ayunan. Fenomena efek ayunan ini berdampak terjadinya ayunan lentur dan ayunan torsi dimana keduanya memiliki perbedaan fase sebesar $\pi/2$. Apabila ayunan lentur dan ayunan torsi terjadi bersamaan meski kecepatan kritis tetap dan akan menyebabkan runtuhnya struktur. Berikut ini ilustrasi pada Gambar 4.115.



Representasi sederhana *flutter* pada lantai kendaraan jembatan

Gambar 4.115 Efek ayunan dengan beda fase $\pi/2$
(Walther, 1999)

Dari hasil MIDAS CIVIL, di dapatkan efek *flutter* yang dimana menggunakan perbandingan *displacement* dan rotasi dengan periode pada *mode* pertama untuk frekuensi alami lentur (f_B) dan frekuensi alami lentur (f_T). Berikut ini efek *flutter* dari hasil MIDAS CIVIL dapat dilihat pada Gambar 4.116.



Gambar 4.116 Efek *flutter* pada *mode* pertama

Untuk mendapatkan kecepatan kritis teoritis, dapat digunakan metode Klöppel, dengan persamaan sebagai berikut :

$$V_{\text{kritis teoritis}} = 2 \cdot \pi \cdot f_B \cdot b$$

$$b = \frac{1}{2} \text{ lebar lantai kendaraan}$$

Dimana nilai $V_{\text{kritis teoritis}}$ didapatkan menggunakan grafik pada Gambar 8.13 dan dilihat dari hasil dari tiga (3) besaran berikut ini:

$$(1) \quad \mu = \frac{m}{\pi \cdot \rho \cdot b^2}$$

Dimana :

ρ = Berat volume udara ($1,3 \text{ kg/m}^3$)

m = Berat sendiri lantai kendaraan per meter lari
(98470 N/m)

b = setengah lebar lantai kendaraan ($13,6 \cdot 0,5 = 6,8 \text{ m}$)

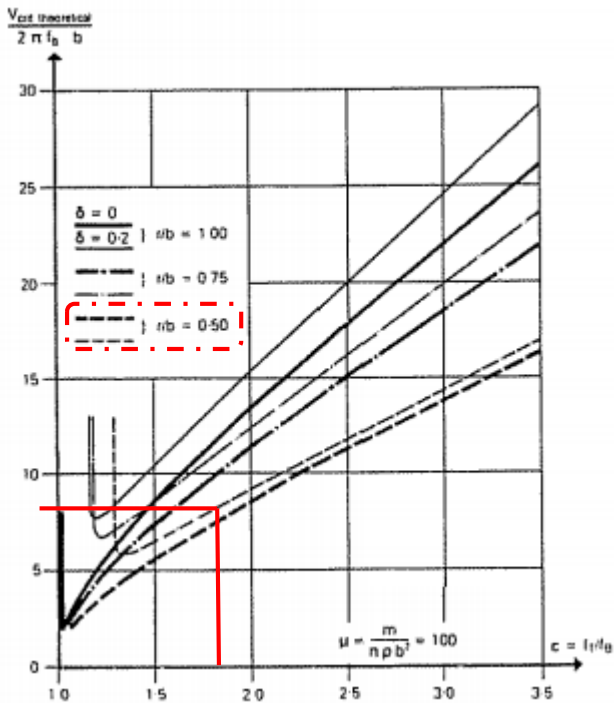
$$\mu = \frac{98470}{\pi \cdot 13,6 \cdot 8^2} = 61,724$$

$$(2) \quad \varepsilon = \frac{f_T}{f_B} = \frac{1,52}{0,763} = 1,992$$

$$(3) \quad \frac{r}{b} = \frac{2,21}{6,8} = 0,32$$

$\delta = 0,05$ (penurunan logaritmatik atau koefisien peredam)

Dari hasil tiga (3) besaran di atas maka akan diplotkan pada Gambar 4.117 akan mendapatkan faktor pengali untuk nilai kecepatan kritis teoritis.

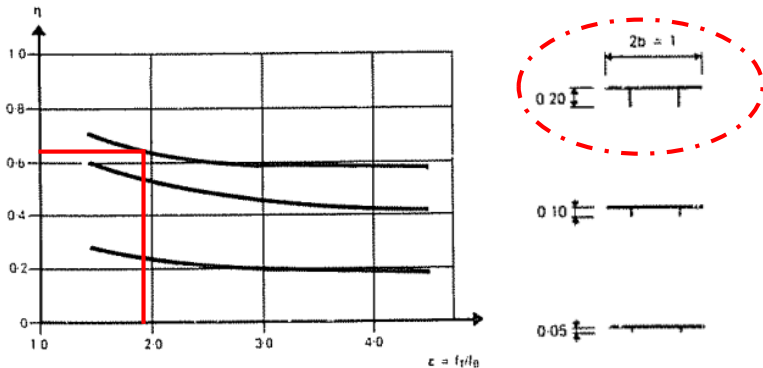


Gambar 4.117 Kecepatan kritis teoritis untuk *flutter* (Walther, 1999)

$$\frac{V_{\text{kritis-teoritis}}}{2 \cdot \pi \cdot f_B \cdot b} = 8,3 \dots \text{ (dari Gambar 8.13)}$$

$$\begin{aligned} V_{\text{kritis teoritis}} &= 8,3 \cdot (2 \cdot \pi \cdot f_B \cdot b) \\ &= 8,3 \cdot (2 \cdot \pi \cdot 0,763 \cdot 6,8) \\ &= 270,7 \text{ m/s} \end{aligned}$$

Besar kecepatan kritis teoritis ini harus dikoreksi menjadi kecepatan kritis actual, menggunakan grafik berikut, lihat Gambar 4.118.



Gambar 4.118 Grafik koefisien koreksi
(Walther, 1999)

Dari grafik diatas, dengan menyesuaikan bentuk penampang yang paling mendekati didapat nilai $\eta = 0,66$.

$$\begin{aligned} V_{\text{kritis aktual}} &= 0,66 \cdot V_{\text{kritis teoritis}} \\ &= 0,66 \cdot 270,7 \text{ m/s} \\ &= 178,662 \text{ m/s} \end{aligned}$$

Pada kondisi yang sebenarnya, angin tidak selalu mengenai lantai kendaraan dalam arah horizontal secara sempurna dengan nilai $\alpha = 0^\circ$. Terkadang nilai α dapat berubah sekitar 3° sampai dengan 9° , maka sebagai pembanding dicoba menggunakan nilai α rata-

rata sebesar 6° . untuk jenis kendaraan penampang box, perlu koreksi sebesar $1/3$ (Walther, 1999).

$$\begin{aligned}\eta(\alpha = \pm 6^\circ) &= (1/3).0,6 \\ &= 0,2\end{aligned}$$

Sehingga kecepatan kritis aktual :

$$\begin{aligned}V_{\text{kritis aktual}} &= 0,2. 270,7 \text{ m/s} \\ &= 54,14 \text{ m/s}\end{aligned}$$

$$\begin{array}{ll}V_{\text{desain}} &< V_{\text{kritis aktual}} \\ 47,889 \text{ m/s} &< 54,14 \text{ m/s... (OK)}\end{array}$$

Hal ini menunjukkan bahwa, apabila pada kondisi nyata dilapangan bertiup angin dengan kecepatan $54,14 \text{ m/s}$, maka akan muncul efek ayunan (*flutter*). Maka dari itu kecepatan angin di lapangan tidak boleh lebih dari itu, sedangkan pada perencanaan telah didesain besarnya kecepatan angin $47,889 \text{ m/s}$. Sehingga analisa efek ayunan memenuhi. Analisa ini perlu dilanjutkan dengan pembuktian menggunakan model pada terowongan angin, agar diperoleh hasil yang akurat.

BAB V PENUTUP

5.1. Kesimpulan

Dari hasil analisa dan kontrol yang telah dilakukan dalam mendesain jembatan cable stayed dengan *orthotropic deck*, maka dapat diringkaskan hasil tugas akhir yang disajikan sebagai berikut :

1. Jembatan yang memiliki panjang total 175 m yang dimana *pylon* berada di tengah bentang dengan lebar jembatan 12,4 m.
2. Tiang sandaran menggunakan profil baja WF 100.50.5.7 dengan ketinggian 1,3 m, sedangkan pipa sandaran berupa profil *hollow* dengan dimensi diameter 2" atau 60,5 mm.
3. Pelat lantai kendaraan yang berupa pelat baja atau *orthotropic deck* dengan rusuk terbuka (*open ribs*) dengan ketebalan pelat baja 1,5 cm. Rusuk (*ribs*) berupa profil T 175.175.7.11 dengan jarak antar rusuk 40 cm dimana sambungan rusuk dengan gelagar melintang berupa las dengan ketebalan $a = 2$ mm sedangkan untuk sambungan rusuk dengan pelat lantai kendaraan berupa sambungan baut dengan diameter baut $\varnothing 19$.
4. Gelagar melintang berupa profil T 700.300.18.34. Sambungan gelagar melintang dengan gelagar utama atau *box girder* berupa las dengan ketebalan $a = 6$ mm dan sambungan gelagar melintang dengan gelagar melintang dengan jarak 1100 mm berupa sambungan baut dengan diameter $\varnothing 24$. Gelagar kantilever yang berupa profil T 400.200.8.13. Sambungan gelagar kantilever dengan gelagar utama berupa sambungan las dengan ketebalan $a = 5$ mm dan sambungan gelagar kantilever dan gelagar kantilever dengan jarak 700 mm berupa sambungan baut dengan diameter $\varnothing 16$.
5. Analisa metode pelaksanaan atau *staging analysis* menggunakan program MIDAS CIVIL berupa *balanced cantilever* dengan menggunakan *form traveler* untuk menaikkan lantai kendaraan. *Staging analysis* menggunakan metode *backward solution*.

6. Gelagar utama berupa rectangular twin box girder 1800.1200.50.50 dengan pengaku 150.18. Sambungan antar gelagar utama menggunakan sambungan baut dengan diameter $\varnothing 32$ pada sekeliling gelagar utama.
7. Stabilitas aerodinamis jembatan menunjukkan frekuensi alami lentur (f_B) = 0,763 Hz dan torsi (f_T) = 1,52 Hz; efek *vortex-shedding* masuk kategori dalam zona A (*acceptable*) pada grafik klasifikasi efek psikologis berdasarkan *amplitude* (Gambar 8.10) dan zona B (*tolerable*) pada grafik klasifikasi efek psikologis berdasarkan percepatan (Gambar 8.11) dan hasil grafik yang diperoleh untuk efek *flutter* (Gambar 8.13) sesuai dengan grafik dari efek ayunan dengan beda fase $\pi/2$ (Gambar 8.12). efek *flutter* yang menghasilkan $V_{\text{kritis aktual}} = 54,14 \text{ m/dt} > V_{\text{rencana}} = 47,889 \text{ m/dt}$ yang artinya tidak terjadi efek *flutter*.
8. Kabel menggunakan *VSL SSI 2000 7-wire strand*, tipe ASTM A 416-05 Grade 270 dengan jumlah *strand* bervariasi mulai dari 12,31 dan 43 untaian *strand*.
9. Anker pada *deck* dan *pylon* menggunakan tipe *DRT stay cable system SSI 2000*
10. Struktur *pylon* terdiri dari beberapa bagian antara lain :
 - *Section A-A* berupa kolom *pylon* 2,5 x 4 m dengan tulangan terpasang 157D36 (2,11%) dengan tulangan sengkang 2D22-200 untuk arah y dan arah z, sedangkan tulangan puntir 48D36 yang terbagi merata pada sisi kolom.
 - *Section B-B* berupa balok pengaku 2,5 x 2 m yang berada di bawah. Dipasang tulangan 160D22 (1,70%) dengan tulangan geser 2D16-150 untuk arah y dan arah z.
 - *Section C-C* berupa balok pengaku 1,5 x 1,2 m yang berada di atas. Dipasang tulangan 74D22 (1,56%) dengan tulangan geser 2D16-150 untuk arah y dan arah z.

5.2. Saran

Dari hasil pengerjaan aporan tugas akhir ini msih terdapat kekurangan, maka dari itu untuk hasil yang lebih baik lagi perlu adanya hal hal yang harus diperhatikan saat merencanakan desain yang sejenis menjadi lebih baik, antara lain sebagai berikut ini:

- 1) Agar ketelitian dalam desain lebih baik dari desain ini, kedepannya perlu untuk meninjau atau menambahkan konfigurasi pembebanan (berupa beban statik) untuk mengantisipasi mendapatkan keadaan yang paling kritis sehingga desain bisa lebih aman saat konfigurasi tersebut.
- 2) Untuk menentukan distribusi pembebanan pada saat *staging analysis* tepatnya saat pembebanan *form traveler* terhadap lantai kendaraan supaya ditinjau kembali agar dapat mendekati kondisi yang sebenarnya saat pelaksanaan terjadi. Beban yang digunakan adalah beban mati, beban *form traveler* dan *deck* yang diangkat, serta beban angin.
- 3) Untuk desain dalam analisa aerodinamis yang diakibatkan oleh beban angin selain dilakukan kontrol menggunakan rumus empiris juga perlu dimodelkan pada terowongan angin. Maksud tersebut untuk bertujuan desain y akurat. Selain itu lebar jembatan sangat menentukan karena saat terjadinya jembatan Tacoma salah satu penyebab runtuhnya ialah lebar kendaraan yang tidak proposional dengan panjang jembatan sendiri.

“Halaman ini Sengaja Dikosongkan”

DAFTAR PUSTAKA

Troitsky, M.S. 1977. *Cable Stayed Bridges: Theory and Design*. Crosby Lockwood Staples, London

Juvani, Jani, and Olli Lipponen. 2012. “*Cable Stayed Bridge*”. Aalto University 7 (November).

O’Connor, C. 1971. *Design of Bridge Superstructure*. Wiley-Interscience.

<https://fadlysutrisno.wordpress.com/2010/07/17/jembatan-cable-stayed/>

Zadeh, Sarhang Olfat. 2012. *Comparison Between Three Types of Cable Stayed Bridges Using Structural Optimization*. The University of Western Ontario.

Walther, R. , Houriet, Isler, Moia, Klein. 1999. *Cable Stayed Bridge Second Edition*. London, Thomas Telford Publishing.

Parke, Gerard, and Nigel Hewson. 2008. *ICE Manual of Bridge Engineering Second Edition*. London, Thomas Telford Ltd

http://www.academia.edu/11194642/BAB_II_Desain_Cable_Stayed

- Standar Nasional Indonesia. *Pembebanan untuk Jembatan*. SNI 1725:2016. Departemen PU Dirjen Bina Marga
- Gimsing, Neils J. . 1983. *Cable Suported Bridge Concept and Design*. Denmark, John Wiley and Sons Ltd.
- Troitsky, M.S. .1988. *Cable-stayed Bridge Theory and Design*. London, BSp Professional Books.
- Gimsing, Neils J. , and Christos T. Georgakis. 2012. *Cable Suported Bridge Concept and Design Third Edition*. Denmark, John Wiley and Sons Ltd.
- .Standar Nasional Indonesia. *Standar Pembebanan untuk Jembatan*. RSNI T-02-2005. Deartemen PU Dirjen Bina Marga.
- Henis, C. P., D. A. Firmage. 2000. *Design of Modern Steel Highway Bridges*. New York, John Wiley and Sons Ltd.
- Nugroho, Gary. 2015. “Desain Struktur Jembatan *Semi-Harp Pattern Cable Stayed* Bedadung-Jember dengan *Double Planes System* Menggunakan Dek Baja”. Institut Teknologi Sepuluh Nopember.
- Prasetya, Dwi. 2011. “Modifikasi Perencanaan Bentang Tengah Jembatan Suramadu Dengan Dua Lantai Kendaraan Untuk Jalan Kendaraan Bermotor Dan Jalan Rel”. Institut Teknologi Sepuluh Nopember.

- Wijayakusuma, Akhdiat Fajar. 2010. “Perencanaan Struktur Jembatan *Asymmetrical Cable-Stayed* Ngrame II Mojosari-Mojokerto Dengan *Two Vertical Planes System*”. Institut Teknologi Sepuluh Nopember.
- Nugraha, Rizky. 2017. “Desain Alternatif Jembatan Musi III Menggunakan Sistem *Multi-Span Cable-Stayed* Dengan *Fishbone Model*”. Institut Teknologi Sepuluh Nopember.
- Standar Nasional Indonesia. Perencanaan Struktur Baja untuk Jembatan. RSNI T-03-2005. Departemen PU Dirjen Bina Marga.
- Surat Ederan Menteri Pekerjaan Umum dan Perumahan Rakyat. Pemanduan Perencanaan Teknis Jembatan Beruji Kabel. 08/SE/M/2015. Departemen PU Dirjen Bina Marga.
- Standar Nasional Indonesia. Tata Cara Pelaksanaan Struktur Baja Untuk Bangunan Gedung. SNI03- 1729-2002. Departemen Pekerjaan Umum.
- Standar Nasional Indonesia. Spesifikasi Untuk Bangunan Gedung Baja Struktural. SNI 1729-2015. Badan Standarisasi Nasional.
- Standar Nasional Indonesia. Persyaratan Beton Struktural Untuk Bangunan Gedung. SNI 2847-2013. Badan Standarisasi Nasional.

“ Halaman ini Sengaja Dikosongkan ”

BIODATA PENULIS



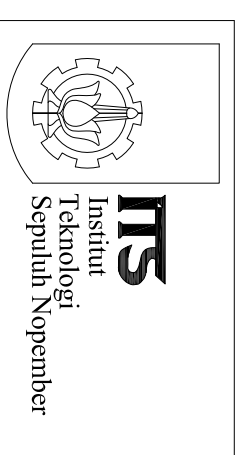
Penulis yang memiliki nama lengkap Rizal Nur Syamsu, dilahirkan di Surabaya, 5 November 1992, merupakan anak ketiga dari tiga bersaudara. ini telah menempuh pendidikan formal yaitu di SDN Kedurus VI 433 Surabaya, SMPN 16 Surabaya, SMAN 13 Surabaya dan Program Studi DIII Teknik Sipil FTSP-ITS Surabaya bidang konsentrasi Bangunan Gedung yang ditempuh selama 3 tahun dan lulus pada tahun 2014. Setelah lulus dari DIII Teknik Sipil FTSP-ITS Surabaya penulis melanjutkan pendidikan Sarjana di

Program Studi Lintas Jalur Teknik Sipil FTSP-ITS pada tahun 2014 dan terdaftar dengan NRP 3114 105 039. Apabila ada yang ingin ditanyakan terkait tugas akhir ini dapat menghubungi penulis pada alamat email berikut rizalsyams33@gmail.com.

“Halaman ini Sengaja Dikosongkan”

LAMPIRAN

GAMBAR RENCANA



DESAIN STRUKTUR JEMBATAN TRUCUK KABUPATEN BOJONEGORO DENGAN MENGGUNAKAN METODE *SEMI-HARP PATTERN CABLE STAYED*

OLEH :

RIZAL NUR SYAMSU
3114105038

DOSEN PEMBIMBING I :

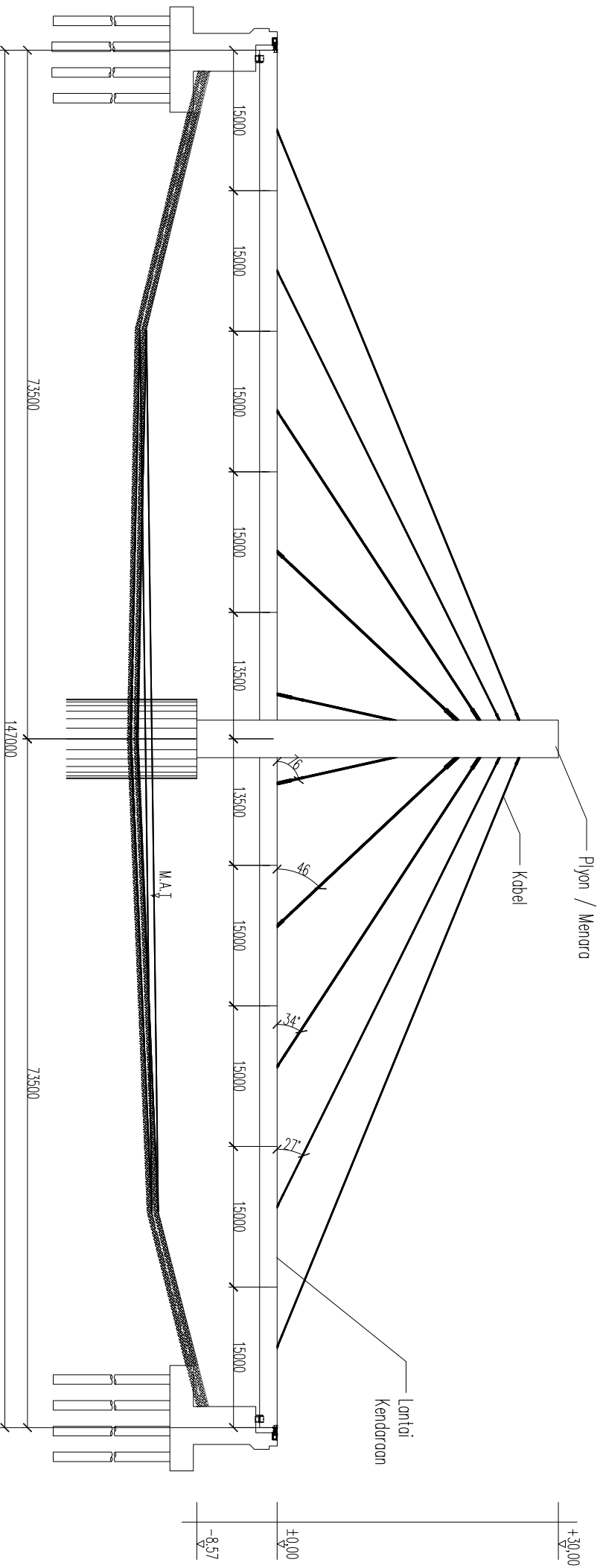
Prof. TAVIO, ST, MT, Ph.D
NIP. 197003271997021001

DOSEN PEMBIMBING II :

Dr. Ir. HIDAYAT S. M., MS
NIP. 195503251980031004

JURUSAN LINTAS JALUR S1 TEKNIK SIPIL
FAKULTAS TEKNIK SIPIL DAN DESAIN
INSTITUT TEKNOLOGI SEPULUH NOPEMBER SURABAYA

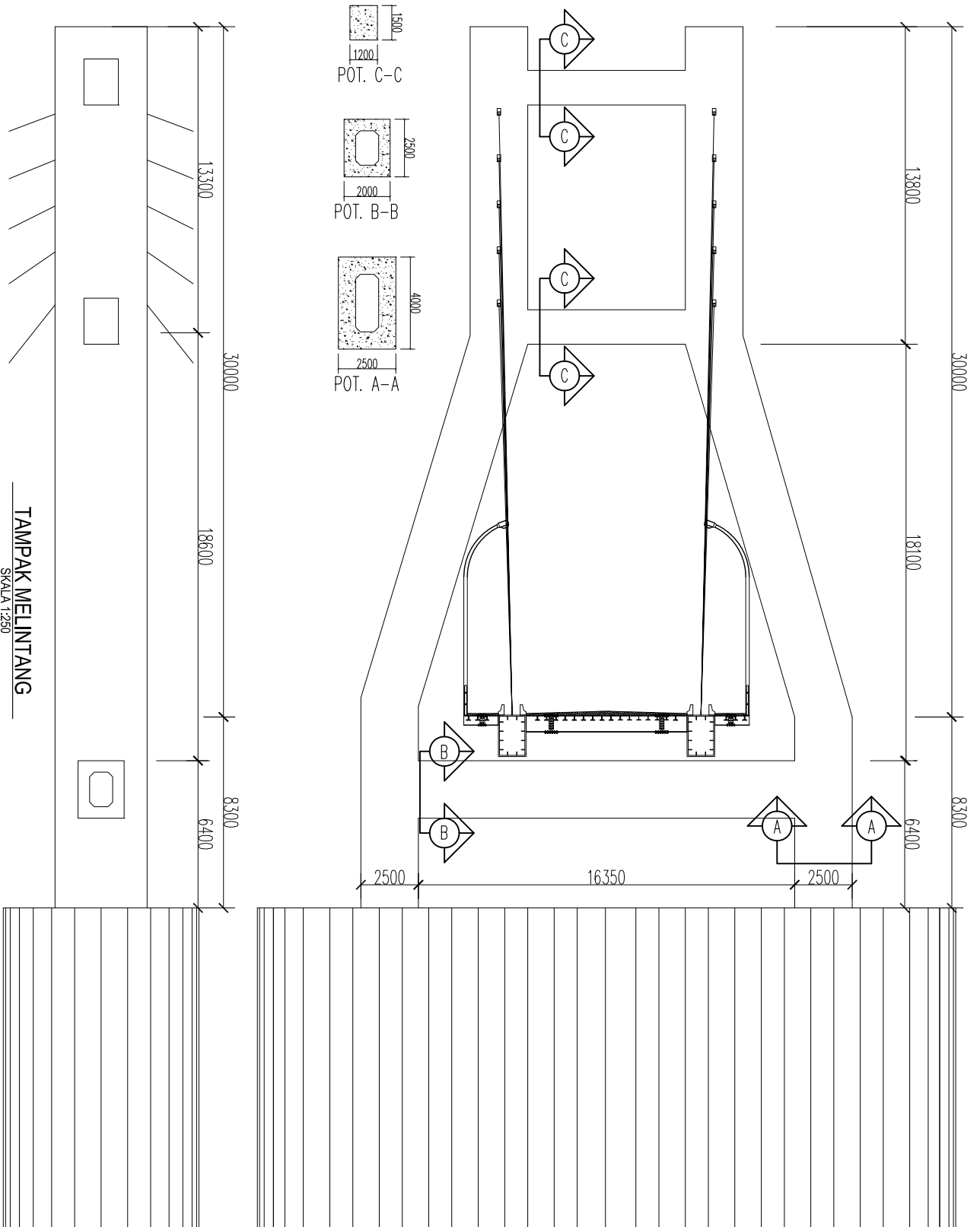
2017



TAMPAK MEMANJANG

SKALA 1:600

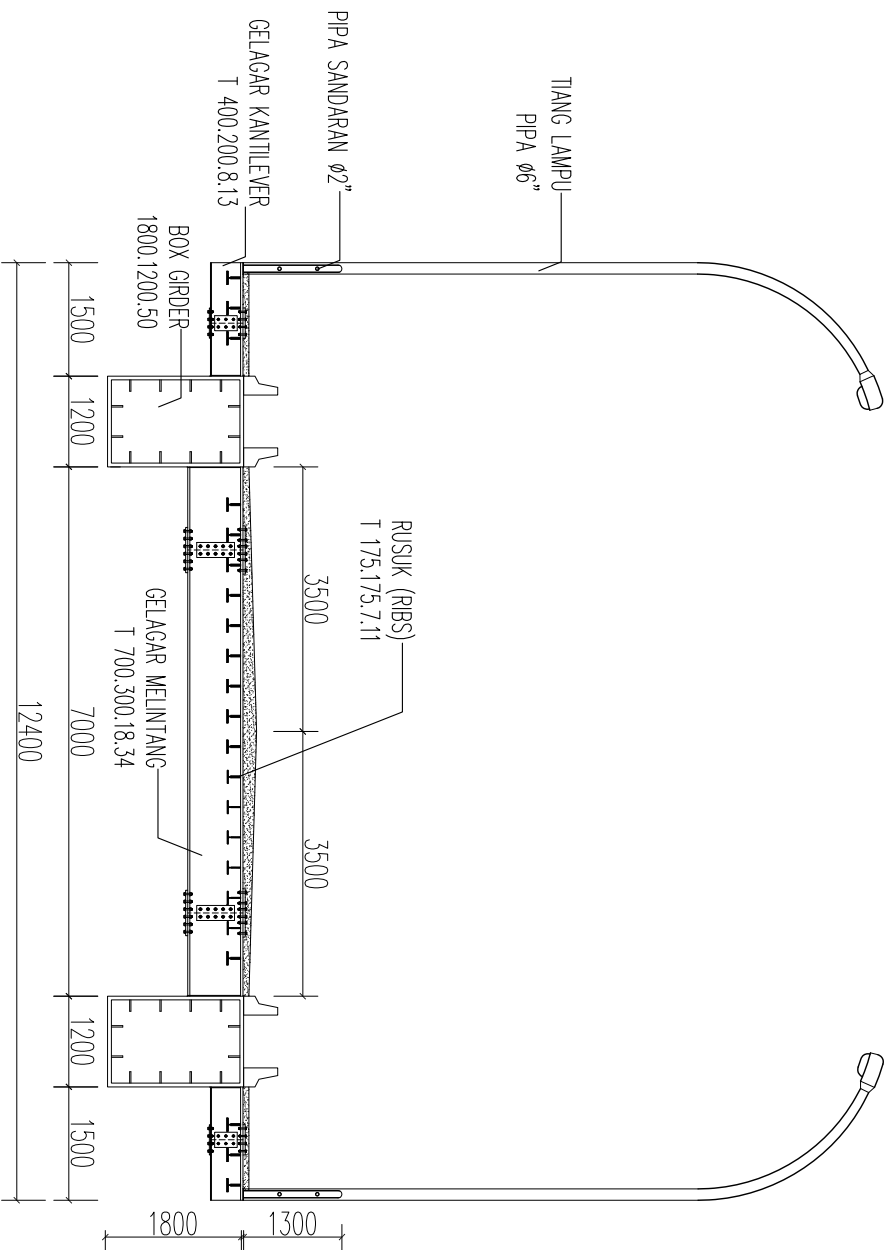
 ITS Institut Teknologi Sepuluh Nopember		JUDUL GAMBAR		SKALA		DIGAMBAR		DIPERIKSA		REVISI					
JUDUL TUGAS AKHIR		JUDUL GAMBAR		SKALA		DIGAMBAR		DIPERIKSA		REVISI					
DESAIN STRUKTUR JEMBATAN TRUSUK KABUPATEN BOJONEGORO DENGAN MENGGUNAKAN METODE SEMI-HARP PATTERN CABLE STAYED		TAMPAK MEMANJANG		1 : 600		MAHASISWA : RIZAL NUR SYAMSU NRP. 3114105038		DOSEN PEMBIMBING : Prof. TAMO, ST, MT, Ph.D NIP. 19703271997021001 Dr. Ir. HENKATIS, A., MS NIP. 195802271980031004		KODE GBR		NO. GBR		JUMLAH LBR	
										STR		01		43	



TAMPAK MELINTANG

SKALA 1:250

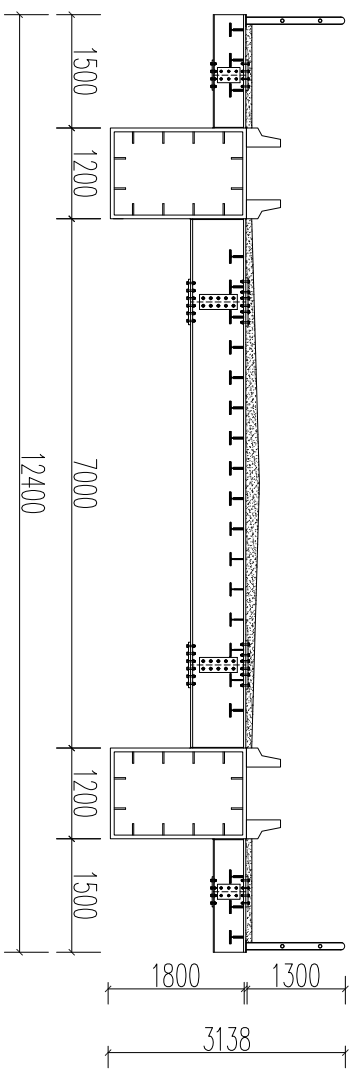
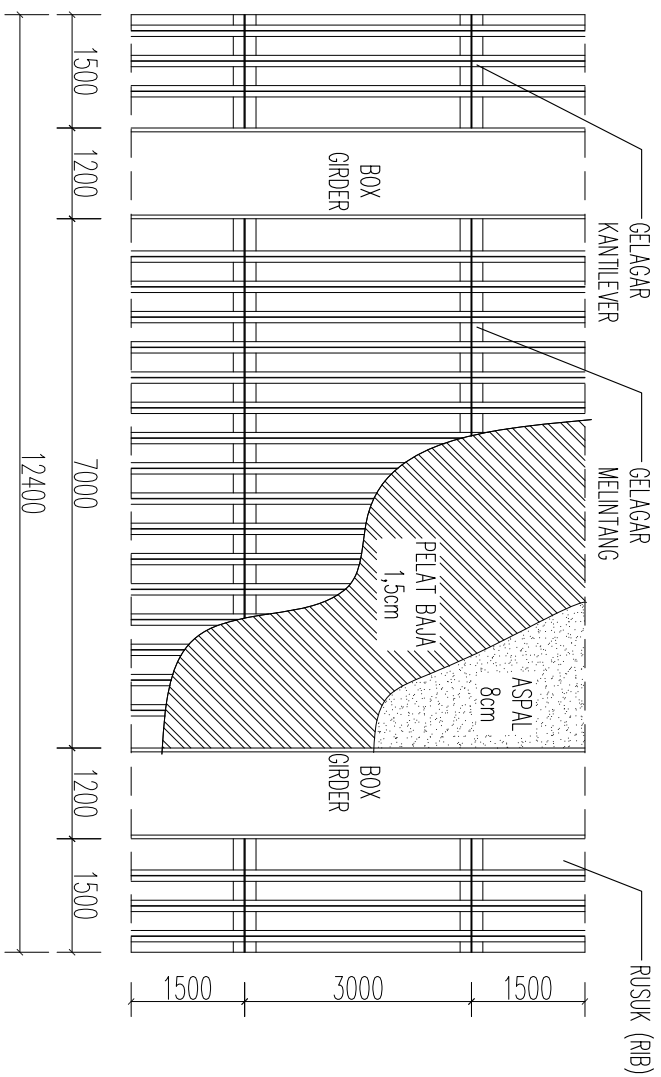
 ITS Institut Teknologi Sepuluh Nopember	JUDUL GAMBAR	SKALA	DIGAMBAR	DIPERIKSA	REVISI
	JUDUL TUGAS AKHIR	1 : 250	MAHASISWA :	DOSEN PEMBIMBING :	
DESAIN STRUKTUR JEMBATAN TRUSUK KABUPATEN BOJONEGORO DENGAN MENGUNAKAN METODE SEMI-HARP PATTERN CABLE STAYED	TAMPAK MELINTANG		RIZAL NUB SYAMSU NRP. 3114105038	Prof. TAMO, ST, MT, PhD NIP. 1970327197021001	KODE GBR
				Dr. Ir. HENDRI S. A. AS NIP. 195802271980031004	NO. GBR
					STR
					JUMLAH LBR
					02
					43



LANTAI KENDARAAN

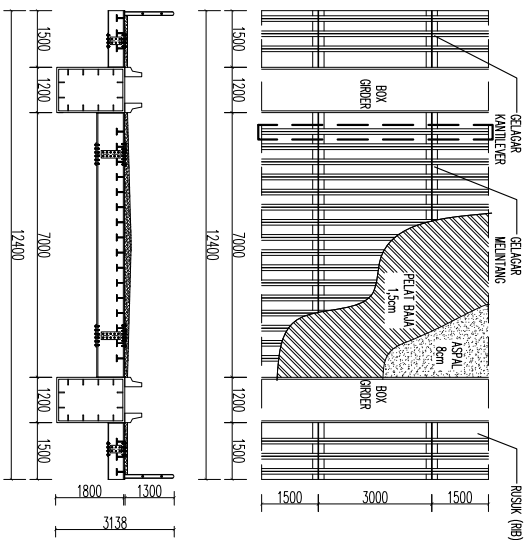
SKALA 1:100

 <p>ITS Institut Teknologi Sepuluh Nopember</p>	JUDUL TUGAS AKHIR	JUDUL GAMBAR	SKALA	DIGAMBAR	DIPERIKSA	REVISI	
	DESAIN STRUKTUR JEMBATAN TRUCUK KABUPATEN BOJONEGORO DENGAN MENGGUNAKAN METODE SEMI-HARP PATTERN CABLE STAYED	LANTAI KENDARAAN	1 : 100	MAHASISWA : RIZAL NUBR SYAMSU NRP. 3114105038	DOSEN PEMBIMBING : Prof. TAMO, ST, MT, Ph.D NIP. 19703271997021001 Dr. Ir. HENDAKTIS, A., MS NIP. 19582321980031004	KODE GBR STR	NO. GBR 03

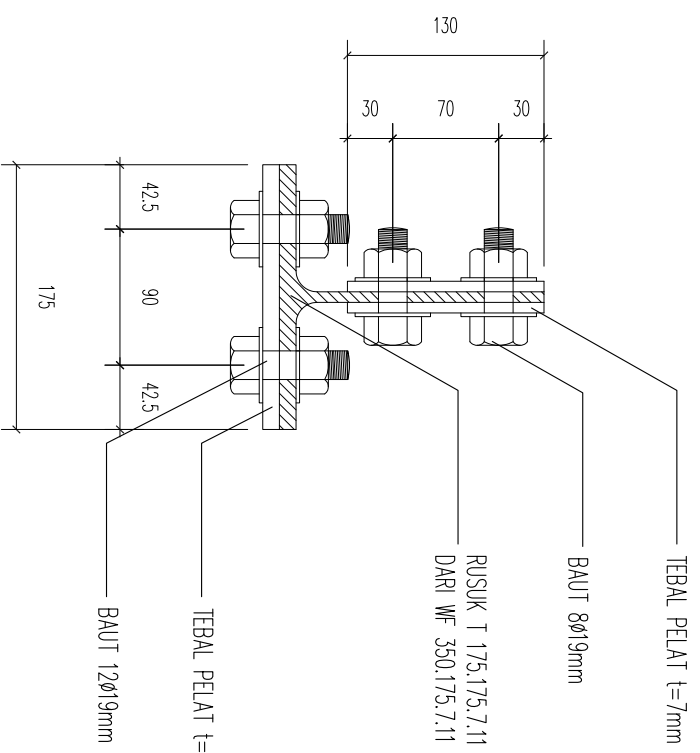


SEGMENT L.T. KENDARAAN
SKALA 1:100

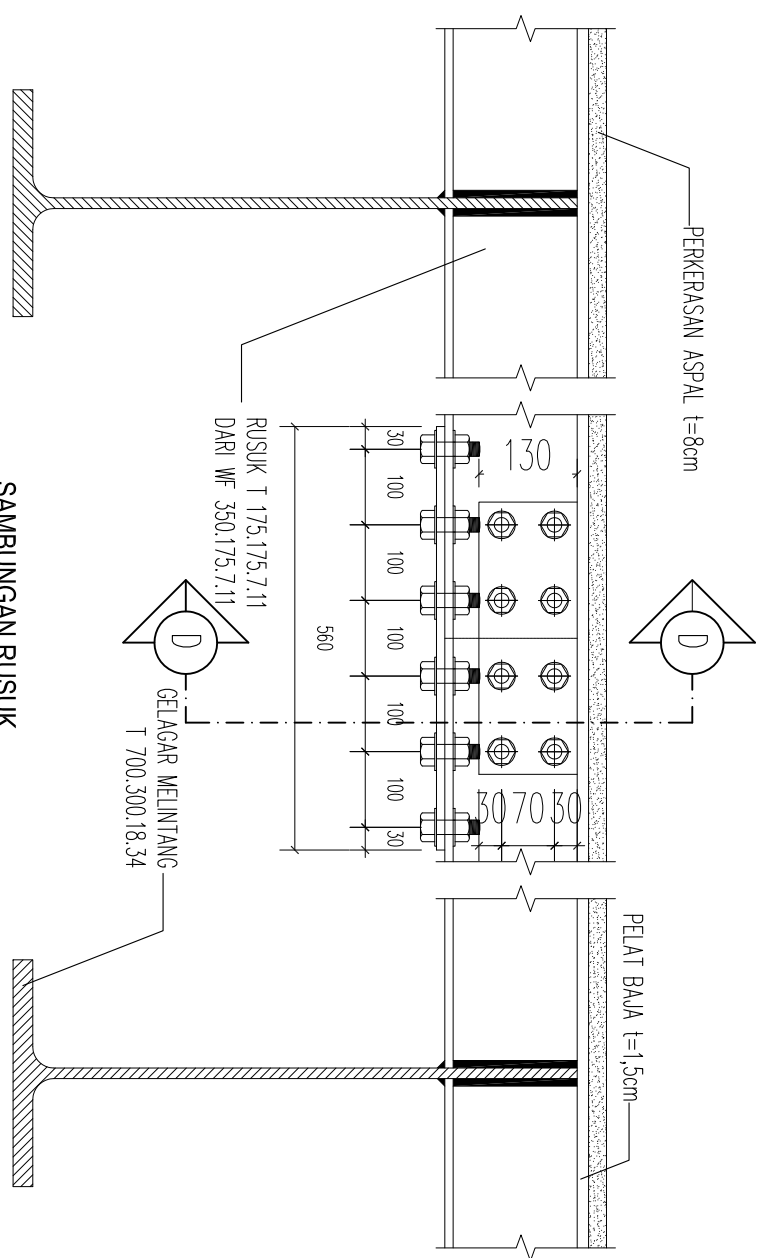
 <p>ITS Institut Teknologi Sepuluh Nopember</p>	JUDUL TUGAS AKHIR	JUDUL GAMBAR	SKALA	DIGAMBAR	DIPERIKSA	REVISI	
	DESAIN STRUKTUR JEMBATAN TRUSUK KABUPATEN BOJONEGORO DENGAN MENGGUNAKAN METODE SEMI-HARP PATTERN CABLE STAYED	SEGMENT LANTAI KENDARAAN	1 : 100	MAHASISWA : RIZAL NUB SYAMSU NRP. 3114105038	DOSEN PEMBIMBING : Prof. TAMO, ST, MT, Ph.D NIP. 19703271997021001 Dr. Ir. HENDAKI S. A., MS NIP. 195923271980031004	KODE GBR STR	NO. GBR 04



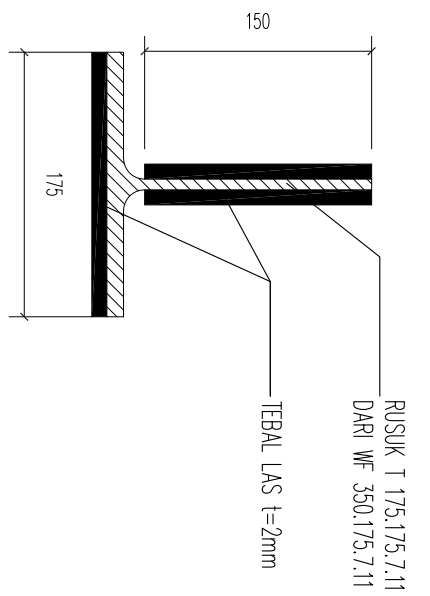
KEYPLAN



POTONGAN D-D
SKALA 1:5

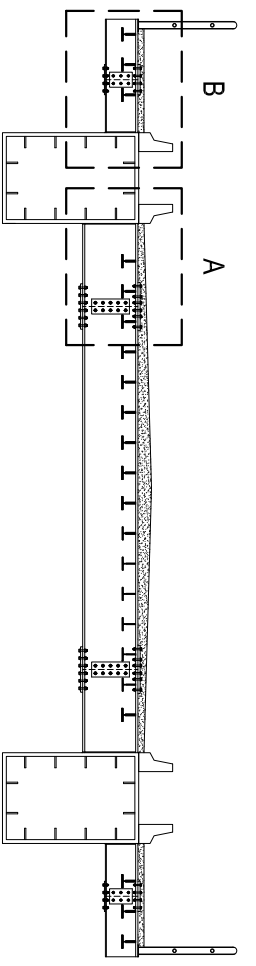


SAMBUNGAN RUSUK
SKALA 1:10

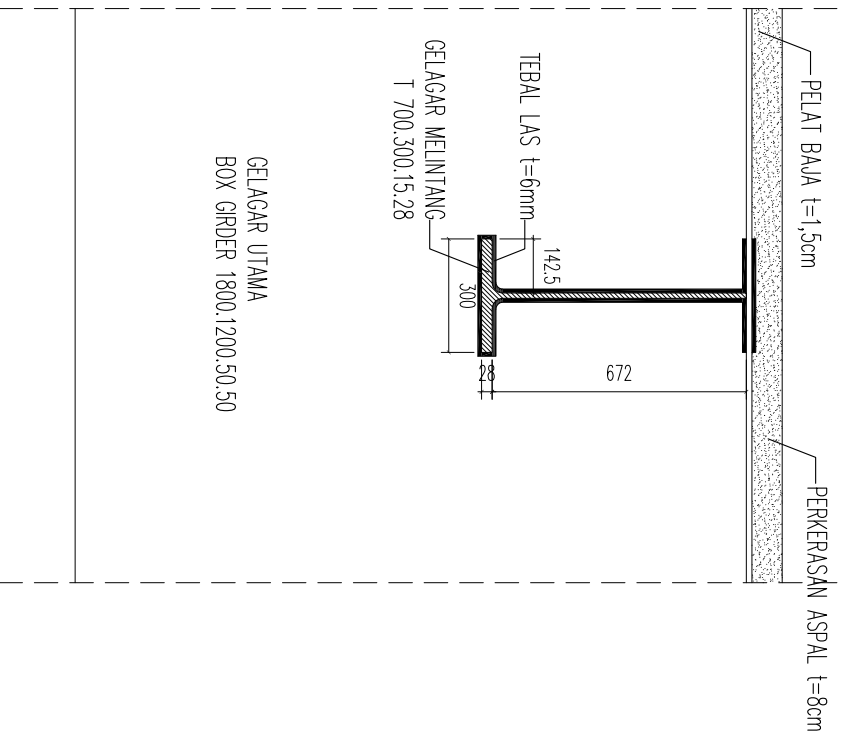


SAMBUNGAN LAS RUSUK
SKALA 1:5

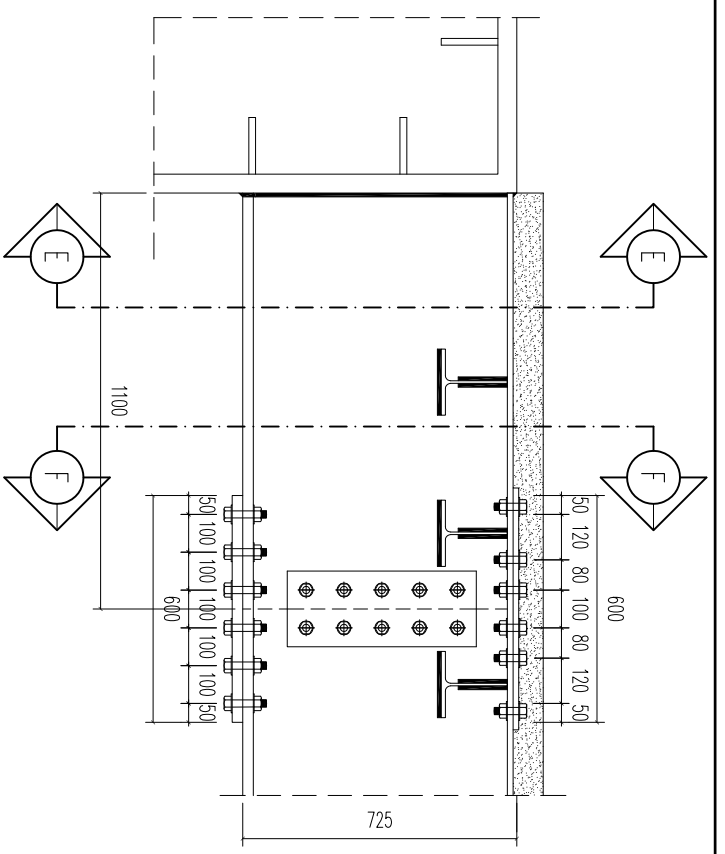
 ITS Institut Teknologi Sepuluh Nopember	JUDUL TUGAS AKHIR		JUDUL GAMBAR		SKALA	DIGAMBAR	DIPERIKSA	REVISI	
	DESAIN STRUKTUR JEMBATAN TRUSUK KABUPATEN BOJONEGORO DENGAN MENGGUNAKAN METODE SEMI-HARP PATTERN CABLE STAYED		SAMBUNGAN RUSUK SAMBUNGAN LAS RUSUK POTONGAN A-A		1 : 10 1 : 10 1 : 10	MAHASISWA : RIZAL NUBR SYAMSU NRP. 3114105038	DOSEN PEMBIMBING : Prof. TAMO, ST, MT, Ph.D NIP. 19703271997021007 Dr. Ir. HENDIATIS, A., MS NIP. 19592321980031004	KODE GBR STR	NO. GBR 05



KEYPLAN

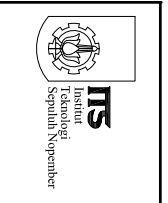


POTONGAN E-E
SKALA 1:20



DETAIL A
SKALA 1:20

POTONGAN F-F
SKALA 1:20



JUDUL TUGAS AKHIR
DESAIN STRUKTUR JEMBATAN TRUSUK
KABUPATEN BOJONEGORO DENGAN
MENGUNAKAN METODE SEMI-HARP PATTERN
CABLE STAYED

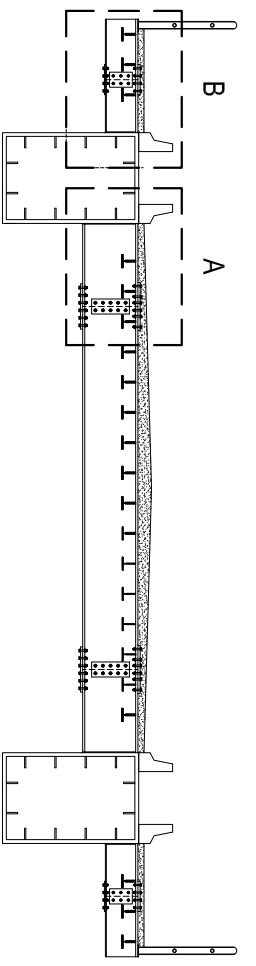
JUDUL GAMBAR
DETAIL A
POTONGAN E-E
POTONGAN F-F

SKALA
1 : 20
1 : 20
1 : 20

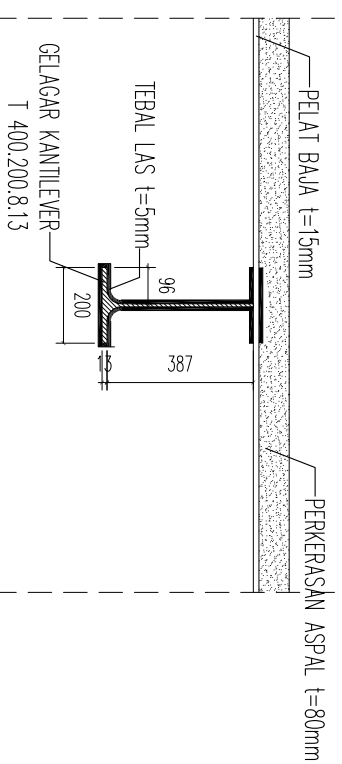
DIGAMBAR
MAHASISWA :
RIZAL NUR SYAMSU
NRP. 3114105038

DIPERIKSA
DOSEN PEMBIMBING :
Prof. JAVID, ST, MT, Ph.D
NIP. 1970327197021001
Dr. Ir. HIRNAYATI, S. A., MS
NIP. 195902251980031004

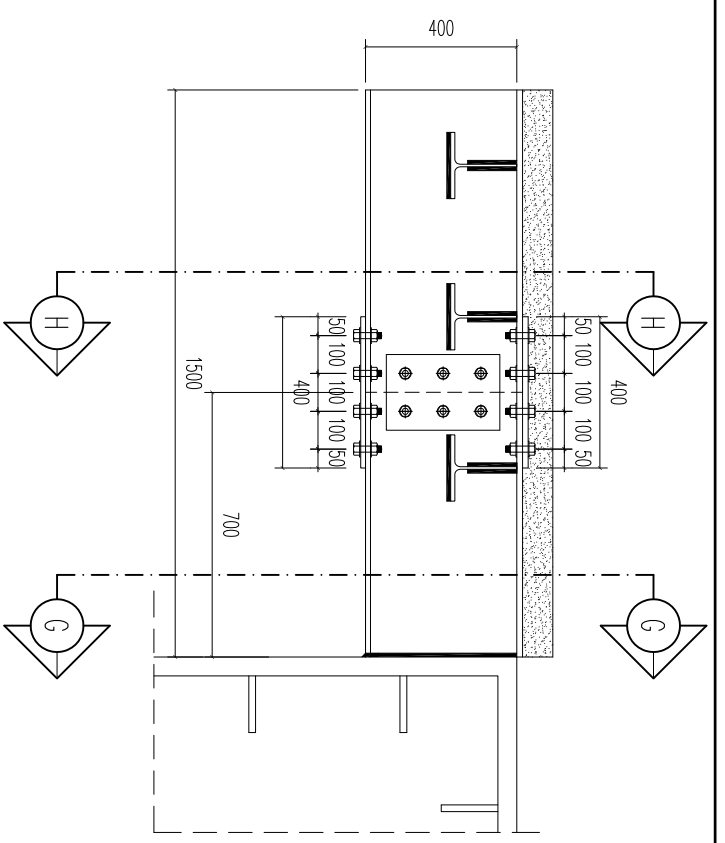
REVISI		NO. GBR	JUMLAH LBR
KODE GBR	STR	06	43



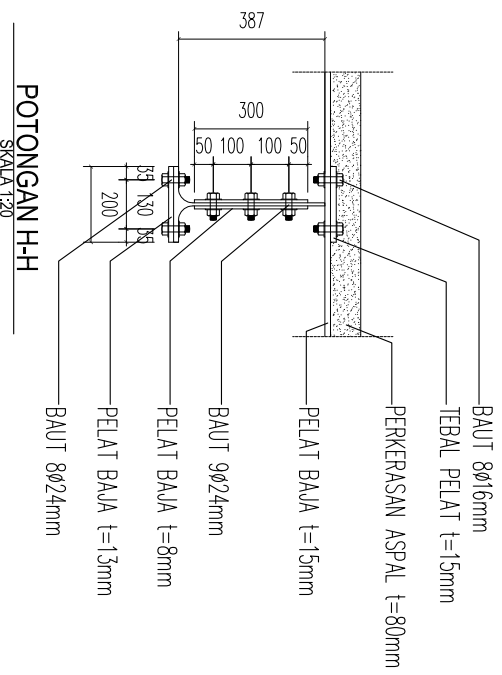
KEYPLAN



GELAGAR UTAMA
BOX GIRDER 1800.1200.50.50



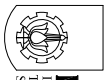
DETAIL B
SKALA 1:20

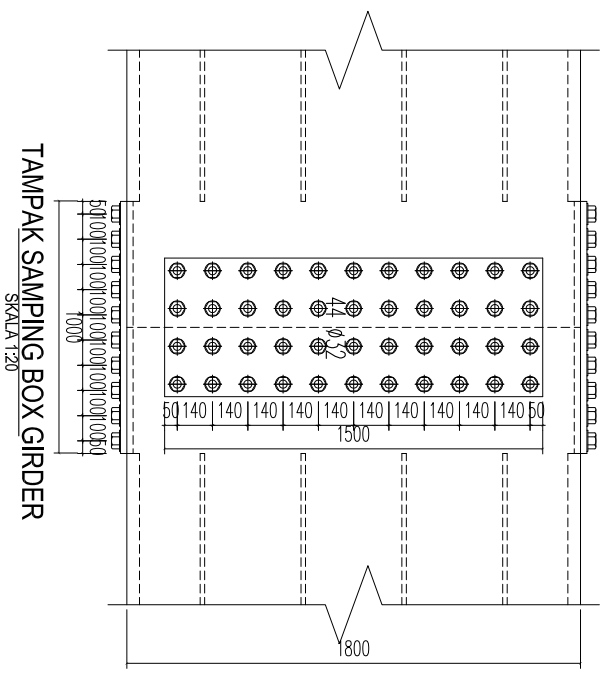
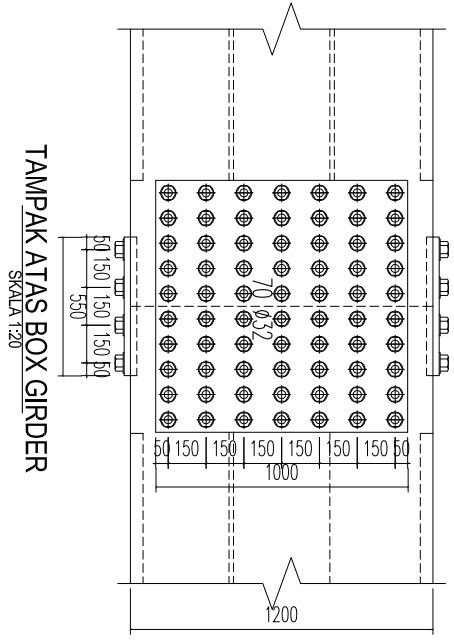
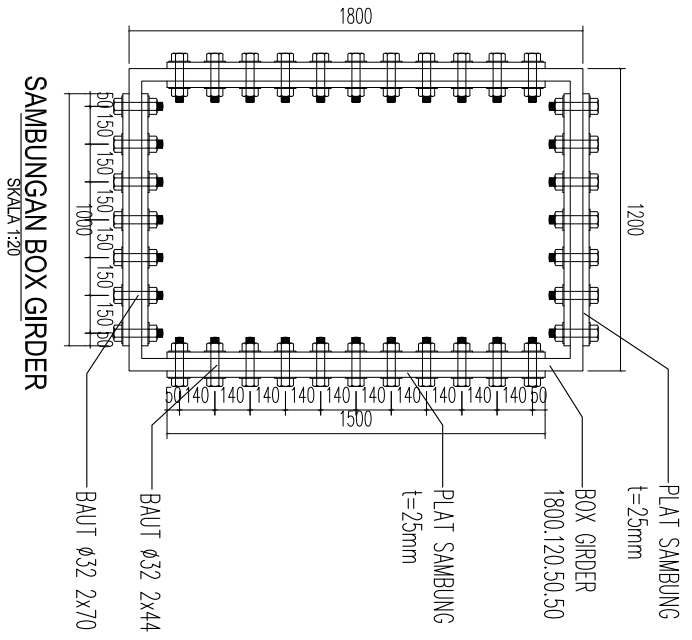
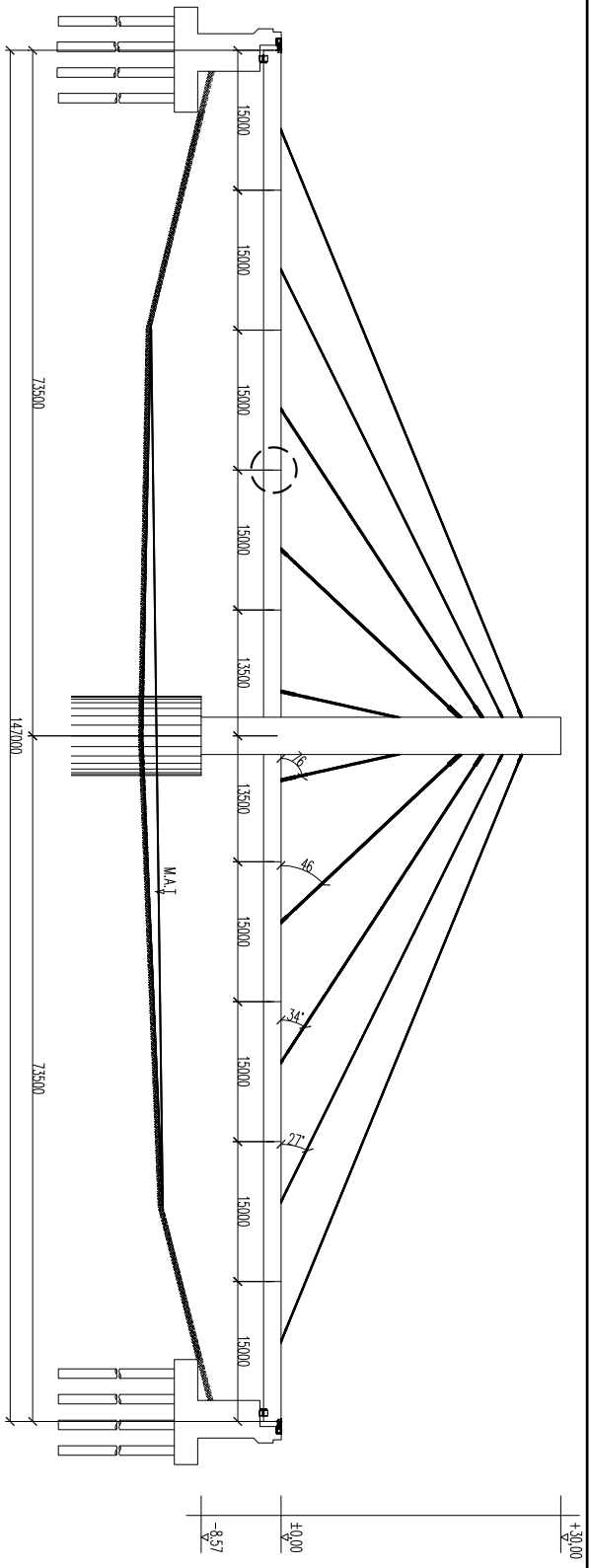


POTONGAN H-H
SKALA 1:20

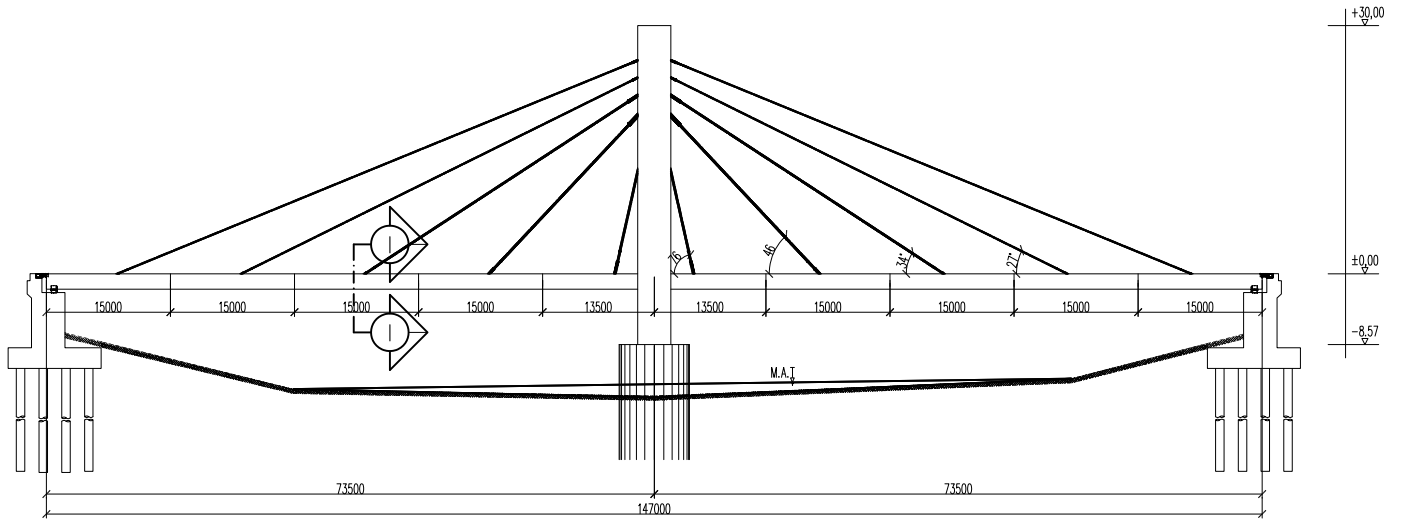
POTONGAN G-G

SKALA 1:20

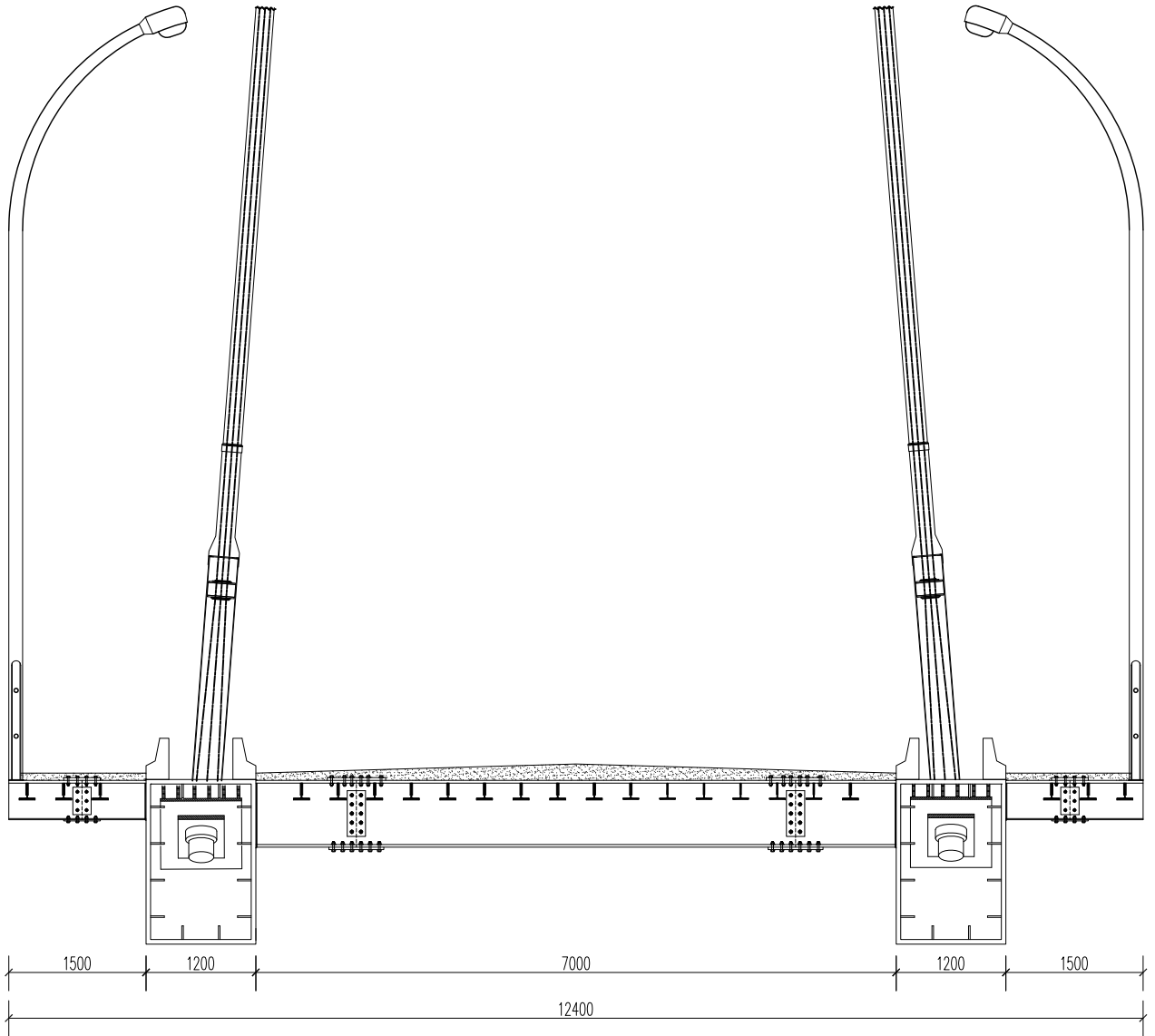
 ITS Institut Teknologi Sepuluh Nopember	JUDUL GAMBAR	JUDUL GAMBAR	SKALA	DIGAMBAR	DIPERIKSA	REVISI	
	DESAIN STRUKTUR JEMBATAN TRUSUK KABUPATEN BOJONEGORO DENGAN MENGGUNAKAN METODE SEMI-HARP PATTERN CABLE STAYED	DETAIL B POTONGAN G-G POTONGAN H-H	1 : 20 1 : 20 1 : 20	MAHASISWA : REZAL NUR SYAMSU NRP. 3114105038	DOSEN PEMBIMBING : Prof. JAVID, ST, MT, Ph.D NIP. 197032719797021001 Dr. Ir. HENKATIS, M. AS NIP. 19550231980031004	KODE GBR STR	NO. GBR 07



 ITS Institut Teknologi Sepuluh Nopember		JUDUL TUGAS AKHIR		JUDUL GAMBAR		SKALA		DIGAMBAR		DIPERIKSA		REVISI			
DESAIN STRUKTUR JEMBATAN TRUSUK KABUPATEN BOJONEGORO DENGAN MENGGUNAKAN METODE SEMI-HARP PATTERN CABLE STAYED		SAMBUNGAN END PLATE GELGAR POTONGAN E-E POTONGAN F-F		1 : 20 1 : 20 1 : 20		MAHASISWA : RIZAL NUR SYAMSU NRP. 3114105038		DOSEN PEMBIMBING : Prof. YANDI, ST, MT, Ph.D NRP. 1970232719797021001 Dr. Ir. HENDAYATI, S. M., MS NRP. 195923231980031004		KODE GBR STR		NO. GBR 08		JUMLAH LBR 43	



KEYPLAN



POTONGAN I-I
SKALA 1:50



JUDUL TUGAS AKHIR
DESAIN STRUKTUR JEMBATAN TRUSUK
KABUPATEN BOJONEGORO DENGAN
MENGUNAKAN METODE SEMI-HARP PATTERN
CABLE STAYED

JUDUL GAMBAR
POTONGAN I-I

SKALA
1 : 50

DIGAMBAR
MAHASISWA :
RIZAL NUR SYAMSU
NRP. 31114105038

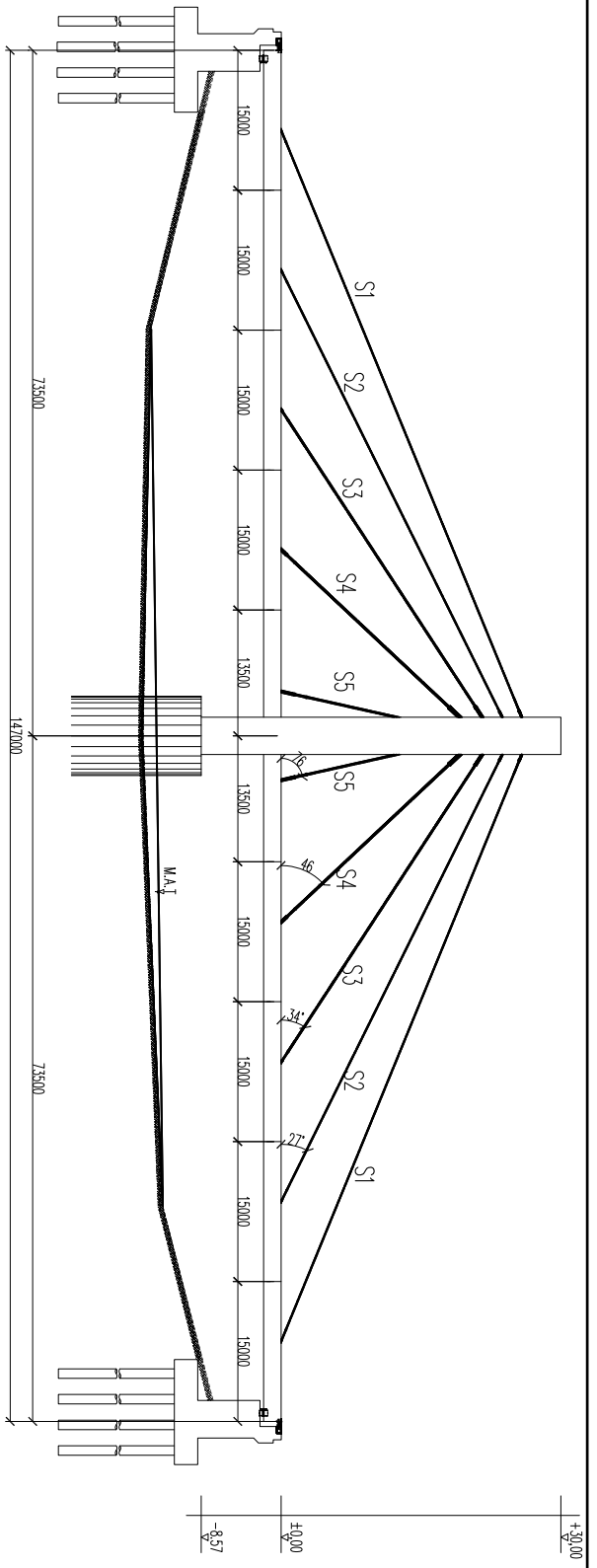
DIPERIKSA
DOSEN PEMBIMBING :
Prof. TAMO, ST, MT, Ph.D
NIP. 1970327197021001
Dr. Ir. HENDI A. S. A. MS
NIP. 195902271980031004

REVISI

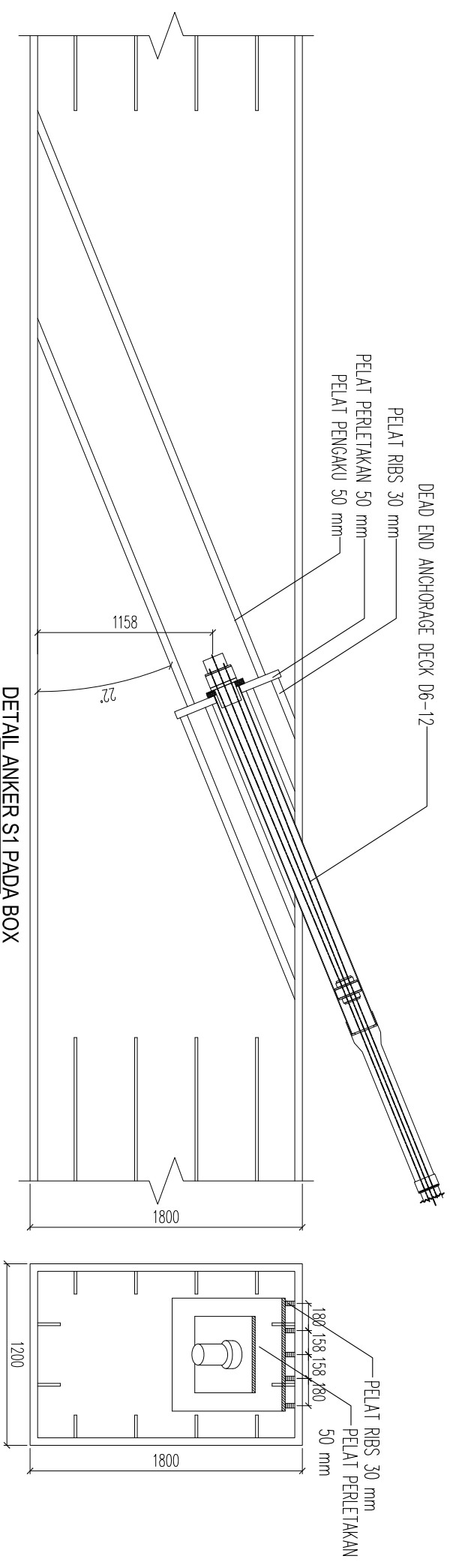
KODE GBR
STR

NO. GBR
09

JUMLAH LBR
43

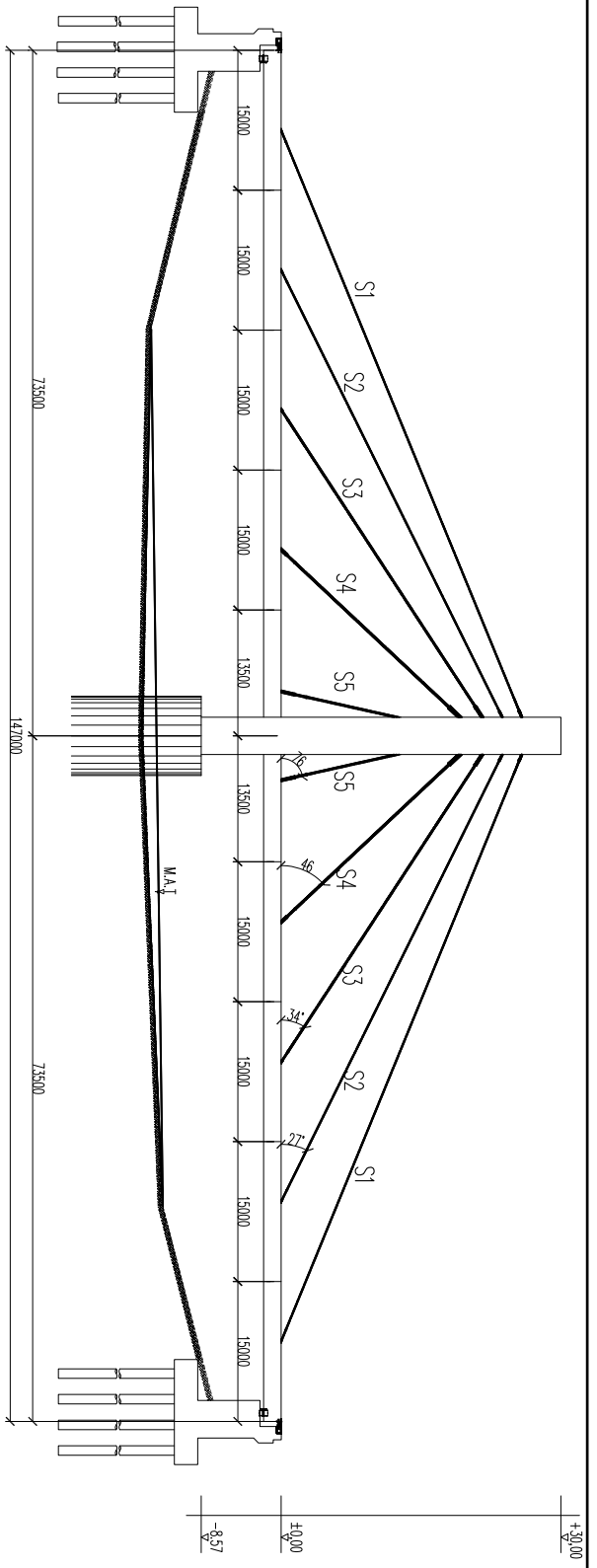


KEYPLAN

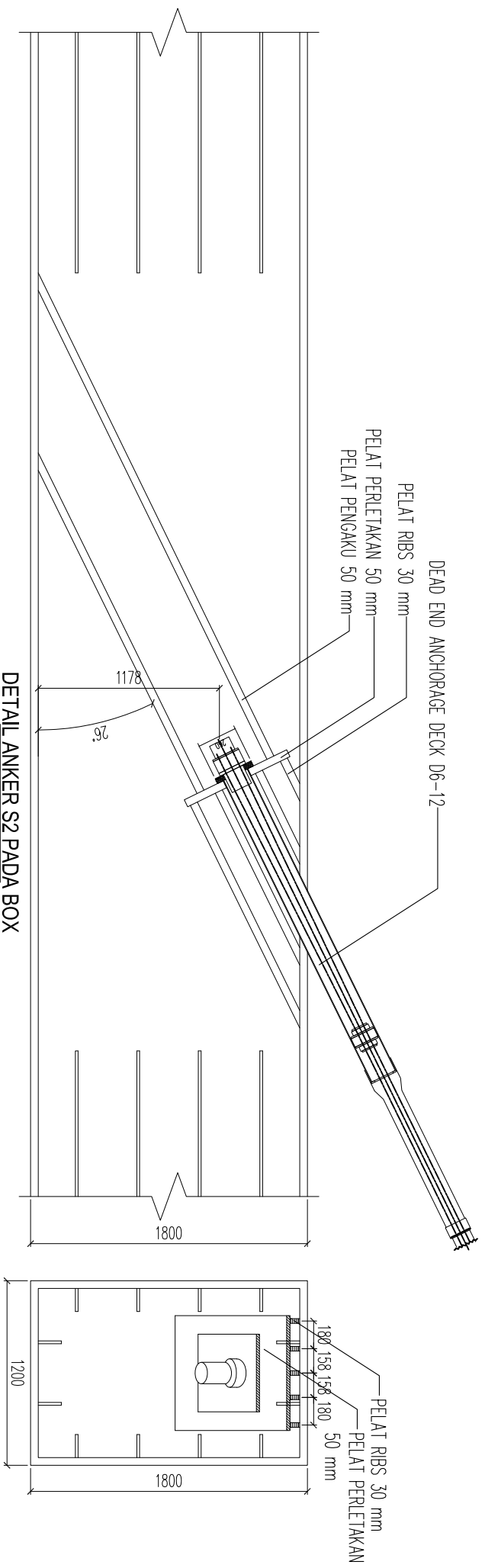


DETAIL ANKER S1 PADA BOX
SKALA 1:25

 <p>ITS Institut Teknologi Sepuluh Nopember</p>		<p>JUDUL GAMBAR</p>		<p>SKALA</p>		<p>DIGAMBAR</p>		<p>DIPERIKSA</p>		<p>REVISI</p>					
<p>JUDUL TUGAS AKHIR</p>		<p>DETAIL ANKER S1 PADA BOX</p>		<p>1 : 25</p>		<p>MAHASISWA :</p> <p>RIZAL NUR SYAMSU NRP. 3114105038</p>		<p>DOSEN PEMBIMBING :</p> <p>Prof. JAVO, ST, MT, Ph.D NIP. 1970327197021001</p> <p>Dr. Ir. HENYATI, S. A., MS NIP. 195502231980031004</p>		<p>KODE GBR</p> <p>STR</p>		<p>NO. GBR</p> <p>10</p>		<p>JUMLAH LBR</p> <p>43</p>	
<p>DESAIN STRUKTUR JEMBATAN TRUSUK KABUPATEN BOJONEGORO DENGAN MENGUNAKAN METODE SEMI-HARP PATTERN CABLE STAYED</p>															

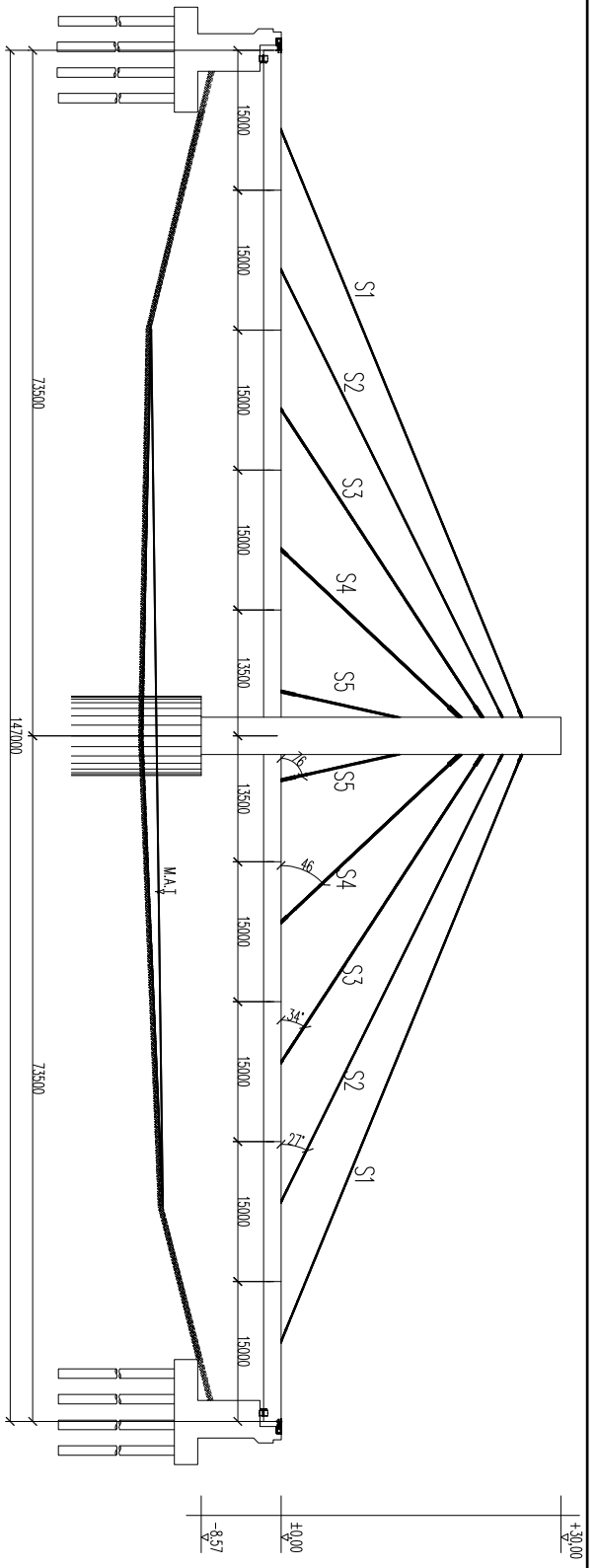


KEYPLAN

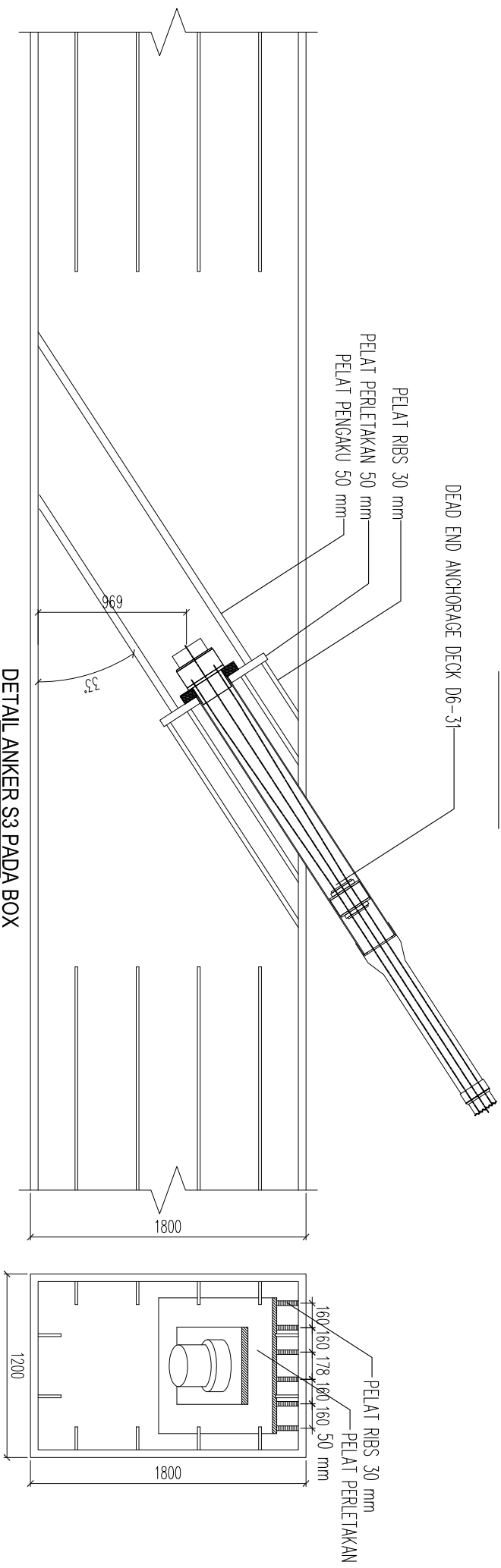


DETAIL ANKER S2 PADA BOX
SKALA 1:25

 <p>ITS Institut Teknologi Sepuluh Nopember</p>		<p>JUDUL TUGAS AKHIR</p>	
<p>DESAIN STRUKTUR JEMBATAN TRUSUK KABUPATEN BOJONEGORO DENGAN MENGUNAKAN METODE SEMI-HARP PATTERN CABLE STAYED</p>		<p>JUDUL GAMBAR</p>	
<p>1 : 25</p>		<p>SKALA</p>	
<p>MAHASISWA : RIZAL NUR SYAMSU NRP. 3114105038</p>		<p>DIGAMBAR</p>	
<p>DOKEN PEMBANGING : Prof. JAWO, ST, MT, Ph.D NIP. 1970327197021001 Dr. Ir. HENKATIS, M, MS NIP. 195502271980031004</p>		<p>DIPERIKSA</p>	
<p>KODE GBR</p>		<p>REVISI</p>	
<p>NO GBR</p>		<p>KODE GBR</p>	
<p>11</p>		<p>STR</p>	
<p>JUMLAH LBR</p>		<p>JUMLAH LBR</p>	
<p>43</p>		<p>43</p>	

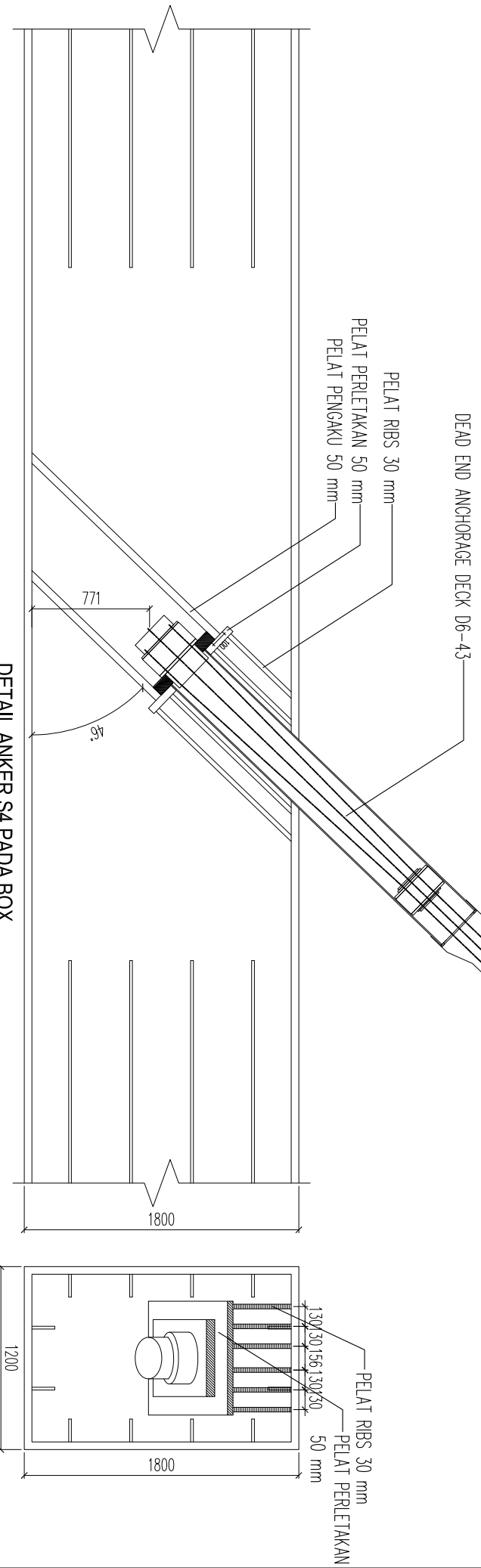
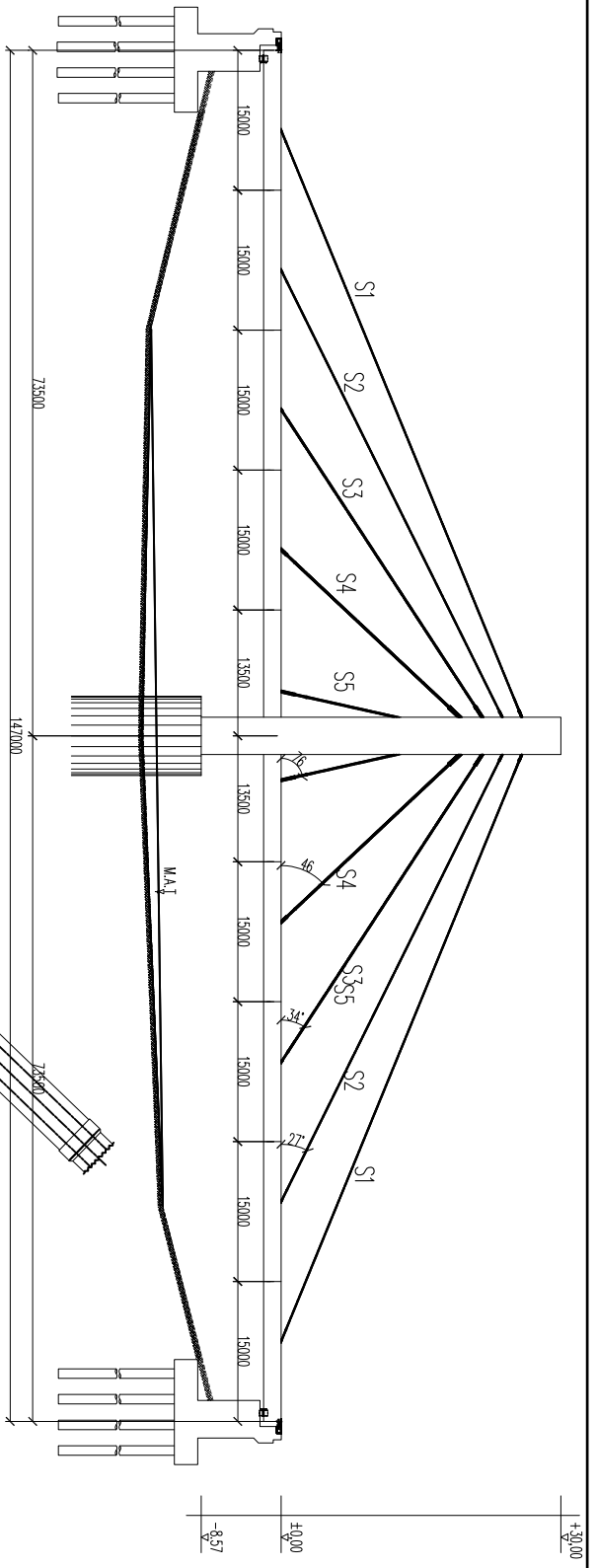


KEYPLAN



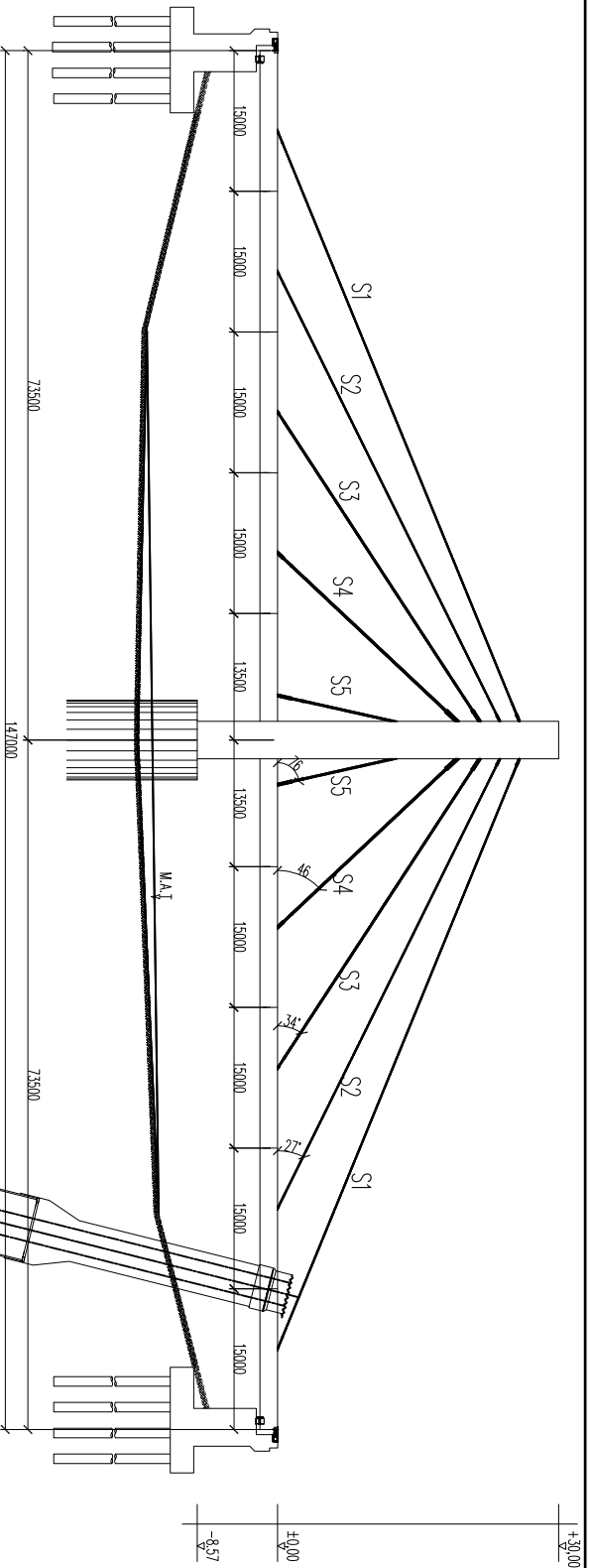
DETAIL ANKER S3 PADA BOX
SKALA 1:25

 <p>ITS Institut Teknologi Sepuluh Nopember</p>		<p>JUDUL GAMBAR</p>		<p>SKALA</p>		<p>DIGAMBAR</p>		<p>DIPERIKSA</p>		<p>REVISI</p>					
<p>JUDUL TUGAS AKHIR</p>		<p>DETAIL ANKER S3 PADA BOX</p>		<p>1 : 25</p>		<p>MAHASISWA :</p> <p>RIZAL NUR SYAMSU NRP. 3114105038</p>		<p>DOSEN PEMBIMBING :</p> <p>Prof. JAWO, ST, MT, Ph.D NIP. 1970327197921001</p> <p>Dr. Ir. HENRYATI, S. M, MS NIP. 195502271980031004</p>		<p>KODE GBR</p> <p>STR</p>		<p>NO GBR</p> <p>12</p>		<p>JUMLAH LBR</p> <p>43</p>	
<p>DESAIN STRUKTUR JEMBATAN TRUSUK KABUPATEN BOJONEGORO DENGAN MENGUNAKAN METODE SEMI-HARP PATTERN CABLE STAYED</p>															

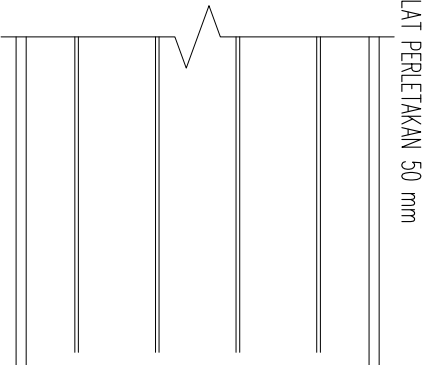
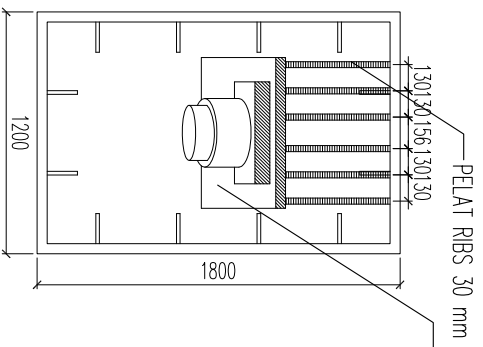


DETAIL ANKER S4 PADA BOX
SKALA 1:25

 <p>ITS Institut Teknologi Sepuluh Nopember</p>	JUDUL TUGAS AKHIR	JUDUL GAMBAR	SKALA	DIGAMBAR	DIPERIKSA	REVISI		
	DESAIN STRUKTUR JEMBATAN TRUSUK KABUPATEN BOJONEGORO DENGAN MENGGUNAKAN METODE SEMI-HARP PATTERN CABLE STAYED	DETAIL ANKER S4 PADA BOX	1 : 25	MAHASISWA : RIZAL NUR SYAMSU NRP. 3114105038	DOSEN PEMBIMBING : Prof. IYANG ST. ANT. Ph.D NIP. 19703271997021001 Dr. Ir. HENRYATI S. A., MS NIP. 195502271980031004		KODE GBR STR	NO. GBR 13

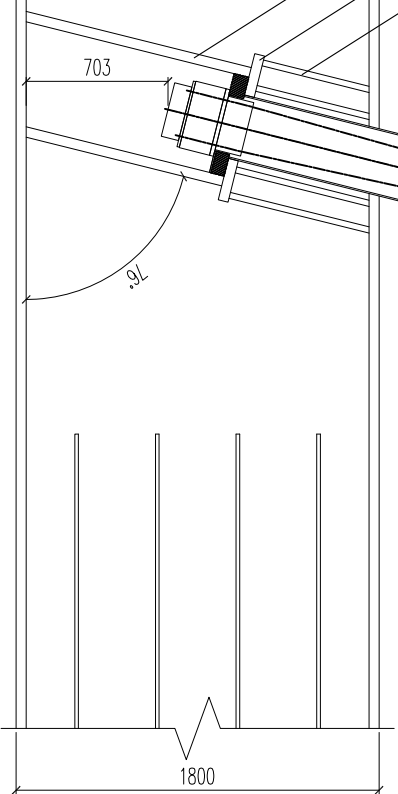


KEYPLAN



DETAIL ANKER SS PADA BOX

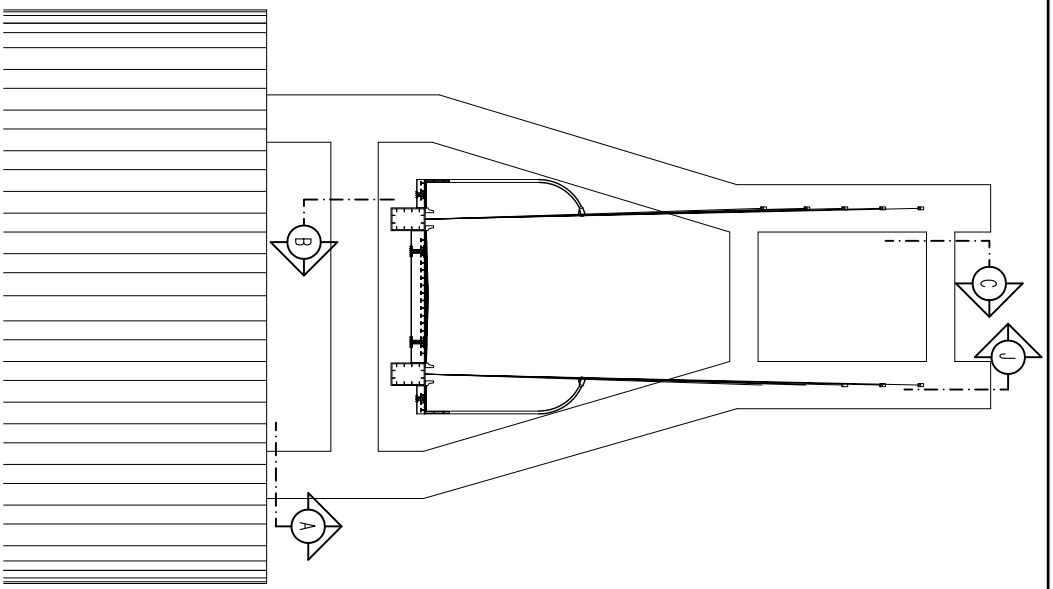
SKALA 1:25



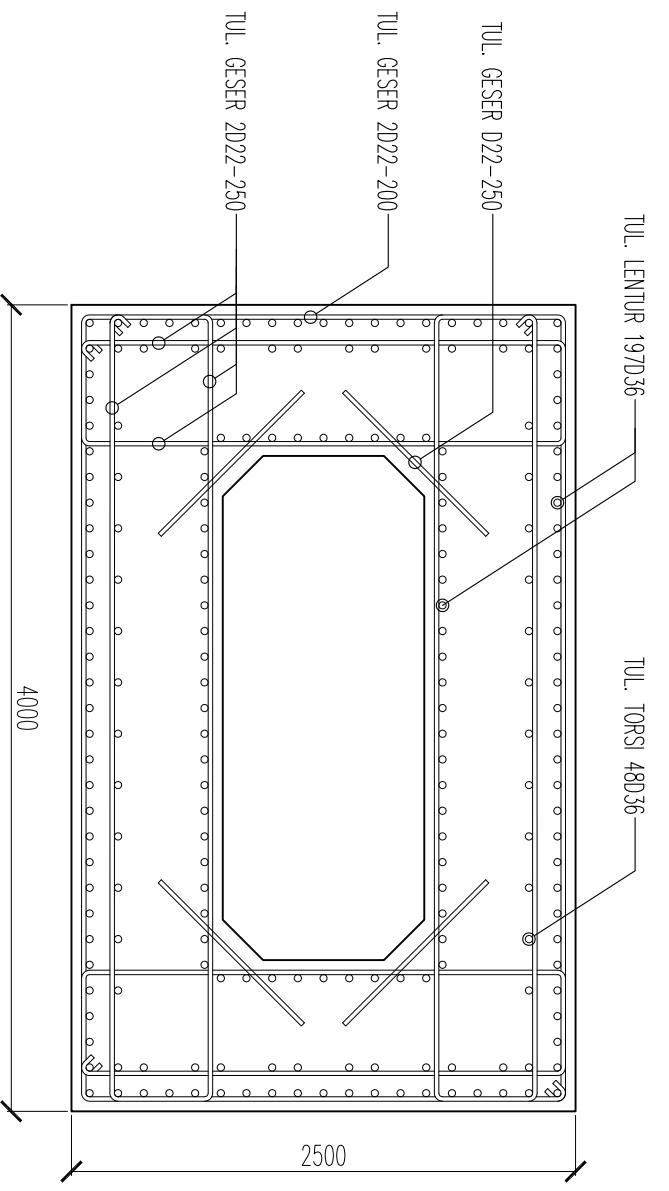
PELAT RIBS 30 mm
 PELAT PERLETAKAN 50 mm
 PELAT PENGAKU 50 mm

DEAD END ANCHORAGE DECK D6-43

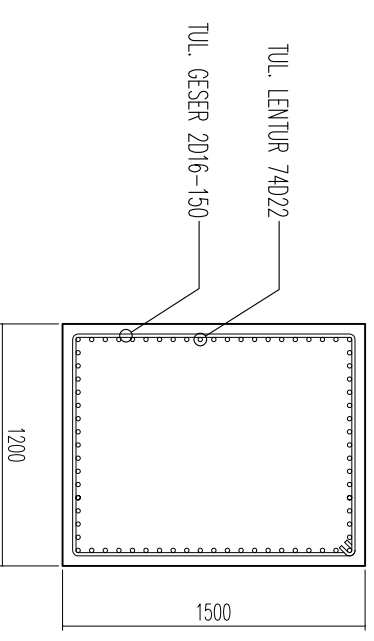
 ITS Institut Teknologi Sepuluh Nopember	JUDUL TUGAS AKHIR		SKALA 1 : 25	DIGAMBAR MAHASISWA : RIZAL NUR SYAMSU NRP. 3114105038	DIPERIKSA DOSEN PEMBIMBING : Prof. TAMO, ST, MT, Ph.D NIP. 19703271997021001 Dr. Ir. HENKATIS, M. AS NIP. 195823231980031004	REVISI
	DESAIN STRUKTUR JEMBATAN TRUSUK KABUPATEN BOJONEGORO DENGAN MENGGUNAKAN METODE SEMI-HARP PATTERN CABLE STAYED					



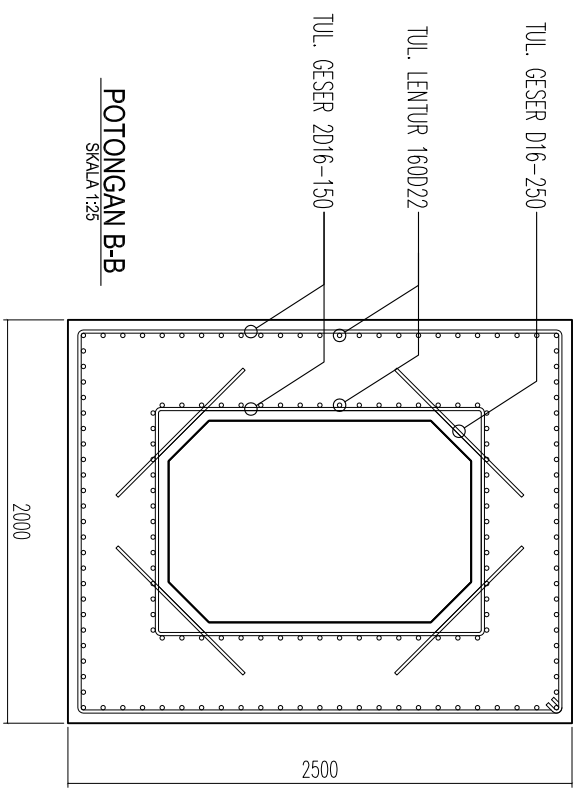
KEYPLAN



POTONGAN A-A
SKALA 1:25



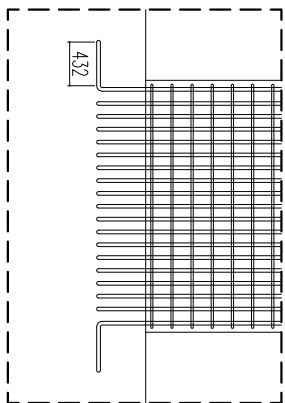
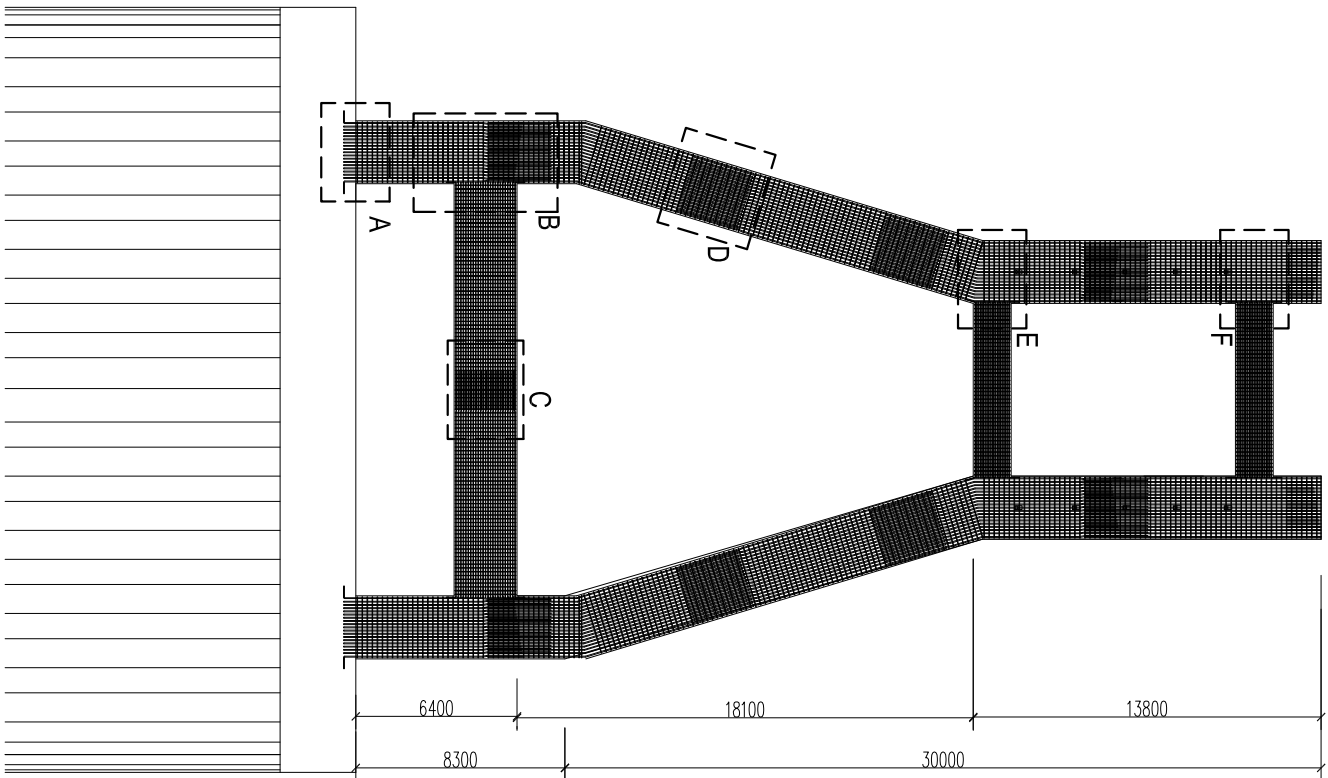
POTONGAN C-C
SKALA 1:25



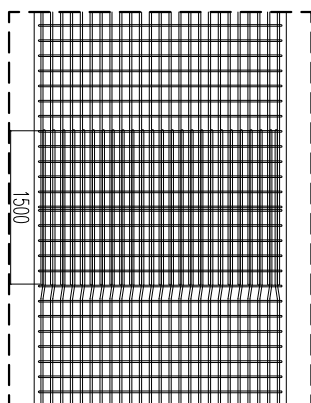
POTONGAN B-B
SKALA 1:25



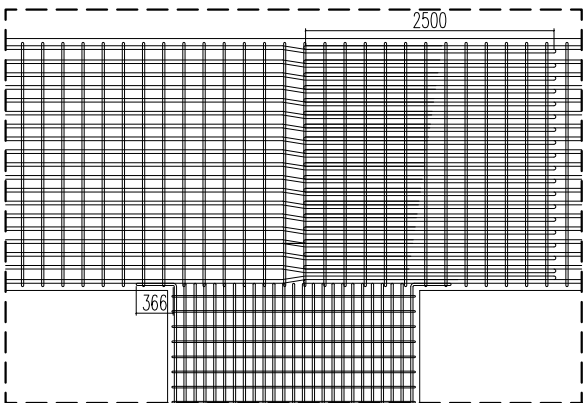
JUDUL TUGAS AKHIR		JUDUL GAMBAR		SKALA	DIGAMBAR	DIPERIKSA	REVISI		
DESAIN STRUKTUR JEMBATAN TRUSUK KABUPATEN BOJONEGORO DENGAN MENGUNAKAN METODE SEMI-HARP PATTERN CABLE STAYED		DETAIL A-A DETAIL B-B DETAIL C-C		1 : 25 1 : 25 1 : 25	MAHASISWA : RIZAL NUR SYAMSU NRP. 3114105038	DOSEN PEMBIMBING : Prof. TAMO, ST, MT, Ph.D NIP. 19703271997021001 Dr. Ir. HENYATI, S. A., MS NIP. 195802251980031004	KODE GBR STR	NO GBR 15	JUMLAH LBR 43



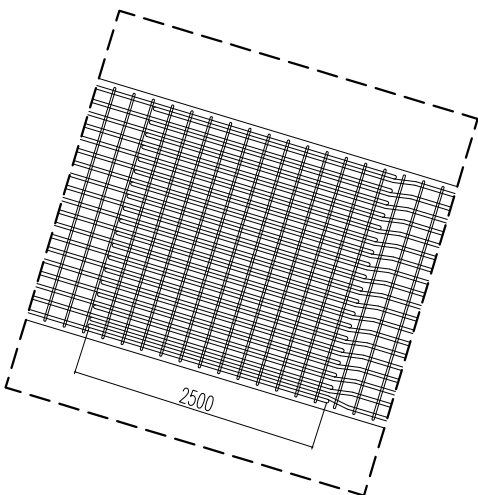
POTONGAN A-A
SKALA 1:50



POTONGAN C-C
SKALA 1:50

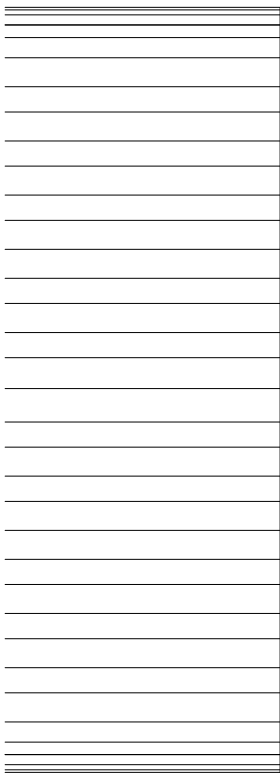


POTONGAN B-B
SKALA 1:50

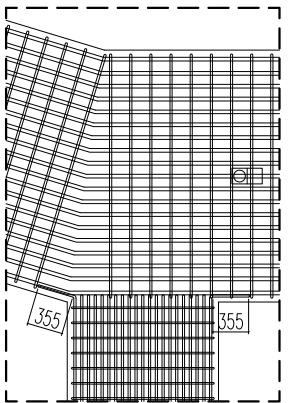
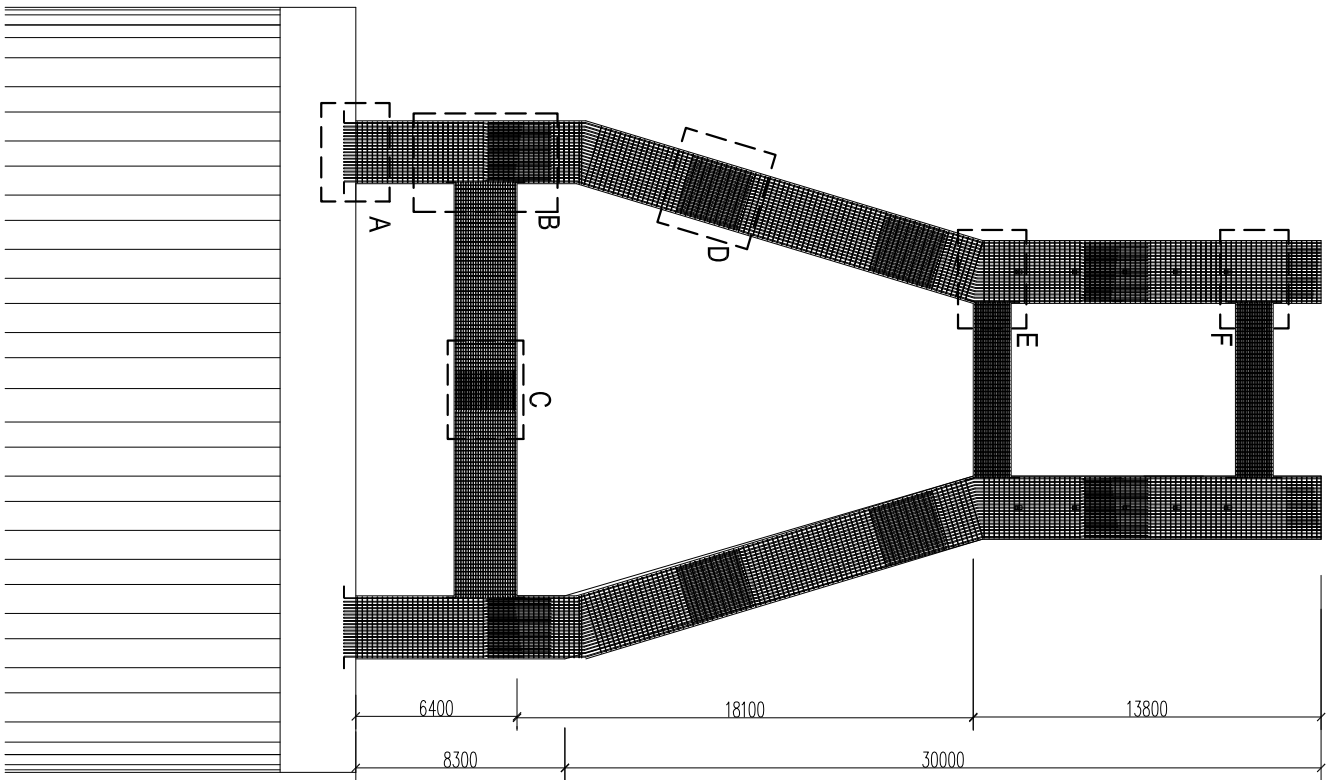


POTONGAN D-D
SKALA 1:50

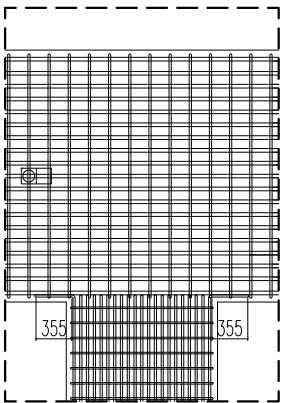
KEYPLAN



JUDUL TUGAS AKHIR	JUDUL GAMBAR	SKALA	DIGAMBAR	DIPERIKSA	REVISI	
DESAIN STRUKTUR JEMBATAN TRUSUK KABUPATEN BOJONEGORO DENGAN MENGGUNAKAN METODE SEMI-HARP PATTERN CABLE STAYED	POTONGAN A	1 : 50	MAHASISWA :	DOSEN PEMBIMBING :	KODE GBR STR	
	POTONGAN B	1 : 50	RIZAL NUR SYAMSU NRP. 3114105038	Prof. TAMO, ST, MT, Ph.D NIP. 1970327197021001		NO. GBR
	POTONGAN C	1 : 50		Dr. Ir. HIKMAYATI, S. M., MS NIP. 195502251980031004		17
POTONGAN C		1 : 50			JUMLAH LBR	
					43	

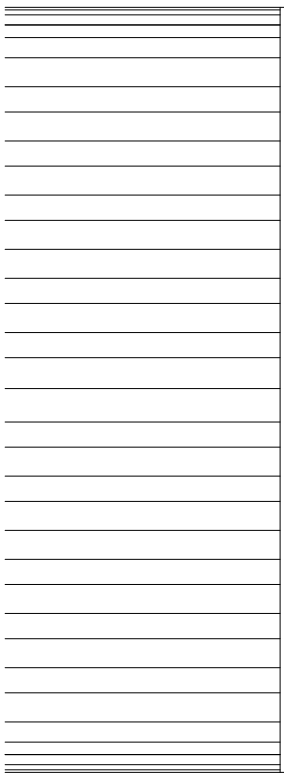


POTONGAN E-E
SKALA 1:50



POTONGAN F-F
SKALA 1:50

KEYPLAN



JUDUL TUGAS AKHIR
DESAIN STRUKTUR JEMBATAN TRUSUK
KABUPATEN BOJONEGORO DENGAN
MENGUNAKAN METODE SEMI-HARP PATTERN
CABLE STAYED

POTONGAN E
POTONGAN F

1 : 50
1 : 50

MAHASISWA :
RIZAL NUBR SYAMSU
NRP. 3114105038

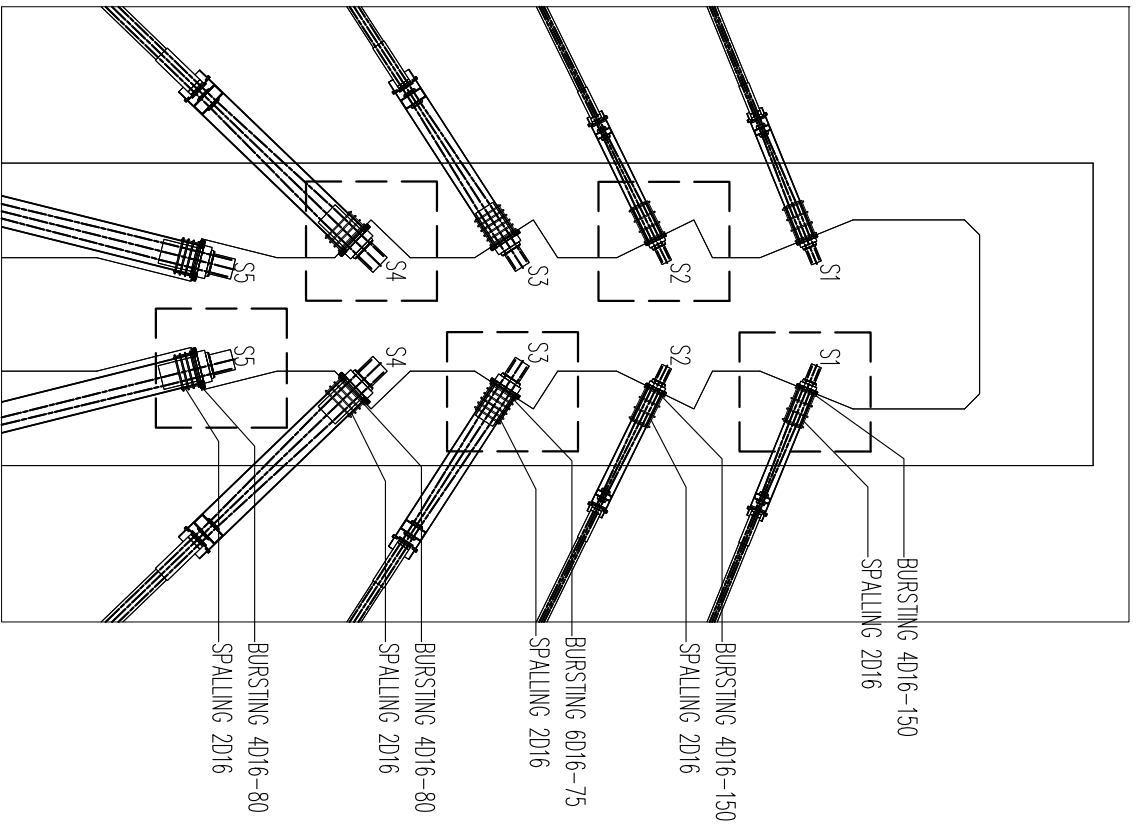
DOSEN PEMBIMBING :
Prof. TAMO, ST, MT, Ph.D
NIP. 19703221997021001
Dr. Ir. HENDYATI S. A., MS
NIP. 19582321980031004

REVISI

KODE GBR
STR

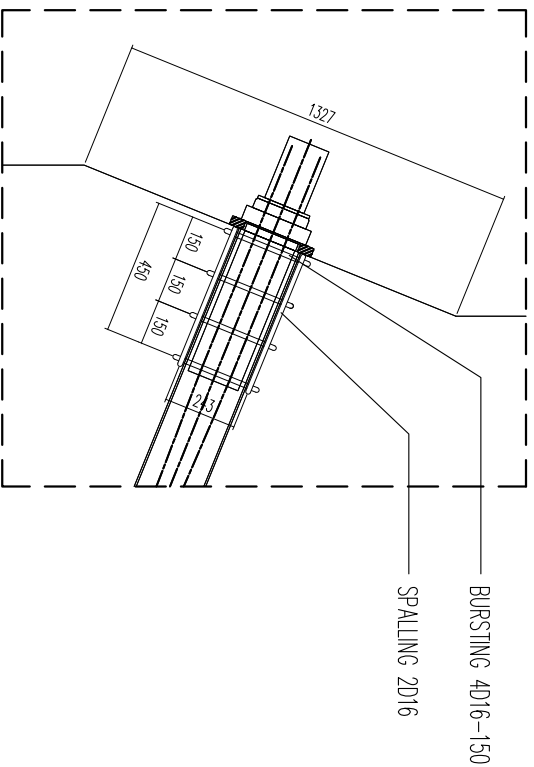
NO GBR
18

JUMLAH LBR
43



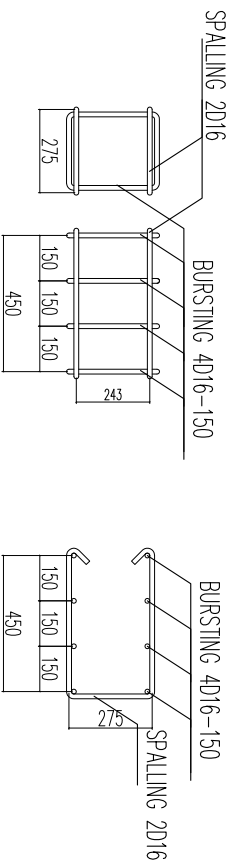
POTONGAN J-J

SKALA 1:100



DETAIL S1

SKALA 1:25



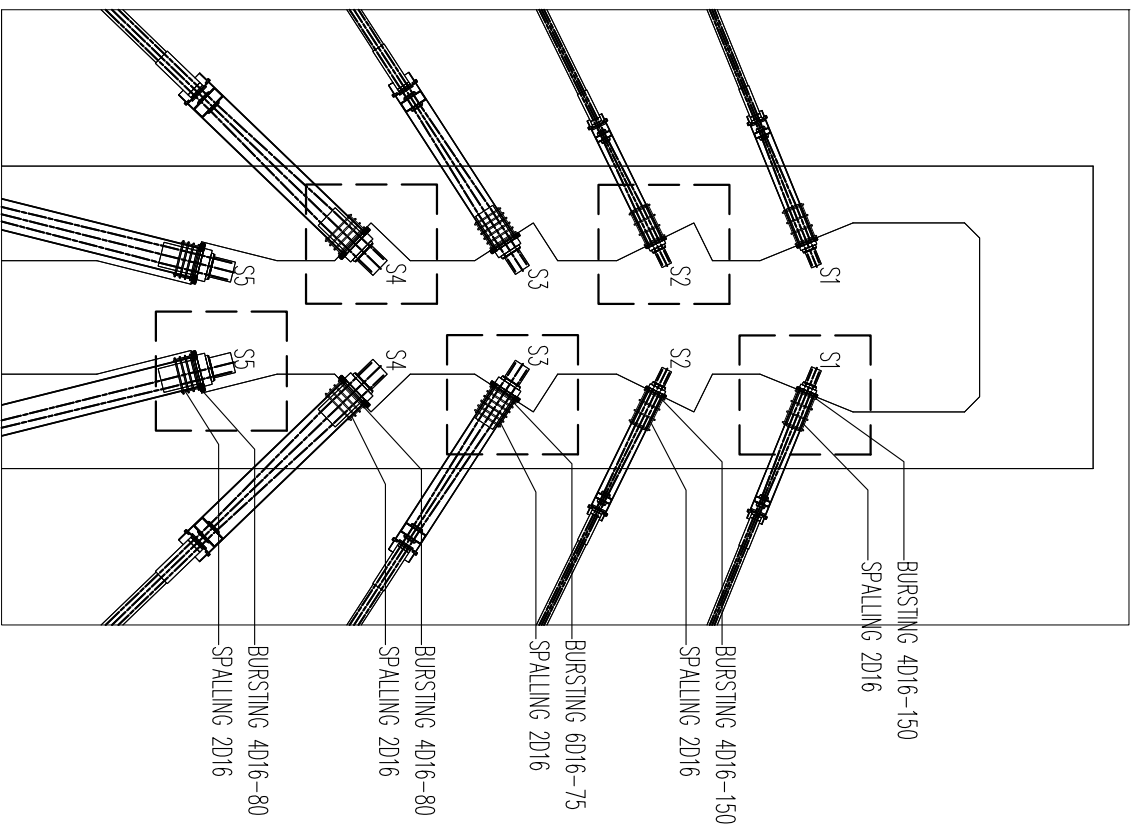
DETAIL TULANGAN BURSTING

SKALA 1:25

DETAIL TULANGAN SPALLING

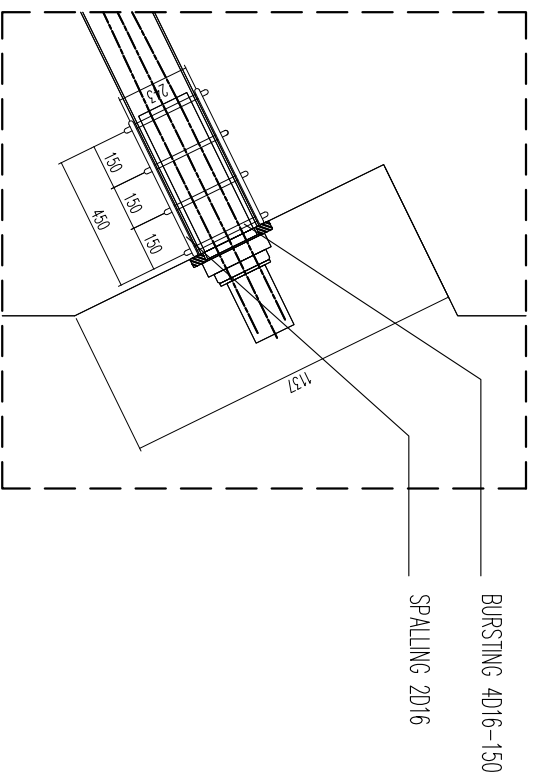
SKALA 1:25

 ITS Institut Teknologi Sepuluh Nopember		JUDUL GAMBAR		JUDUL GAMBAR		SKALA		DIGAMBAR		DIPERIKSA		REVISI					
JUDUL TUGAS AKHIR		DESAIN STRUKTUR JEMBATAN TRUSUK KABUPATEN BOJONEGORO DENGAN MENGGUNAKAN METODE SEMI-HARP PATERN CABLE STAYED		POTONGAN J-J DETAIL S1		1 : 100 1 : 50 1 : 25		MAHASISWA : RIZAL NUR SYAMSI NRP. 3114105038		DOSEN PEMBIMBING : Prof. JAVID, ST, MT, Ph.D NIP. 19703271997021001 Dr. Ir. HENDAKI S. A., MS NIP. 195502271980031004		KODE GBR STR		NO. GBR 19		JUMLAH LBR 43	



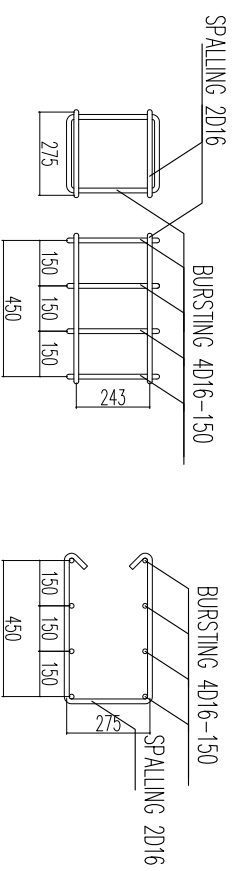
POTONGAN J-J

SKALA 1:100



DETAIL S2

SKALA 1:25



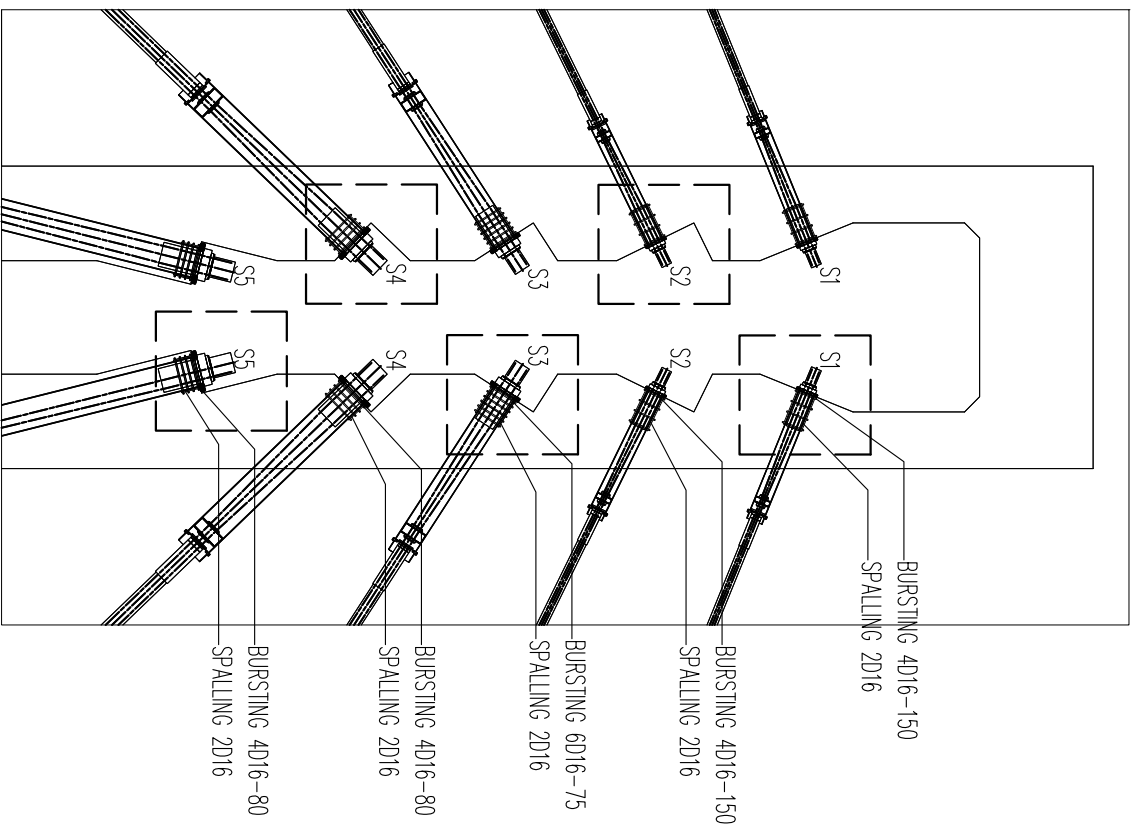
DETAIL TULANGAN BURSTING

SKALA 1:25

DETAIL TULANGAN SPALLING

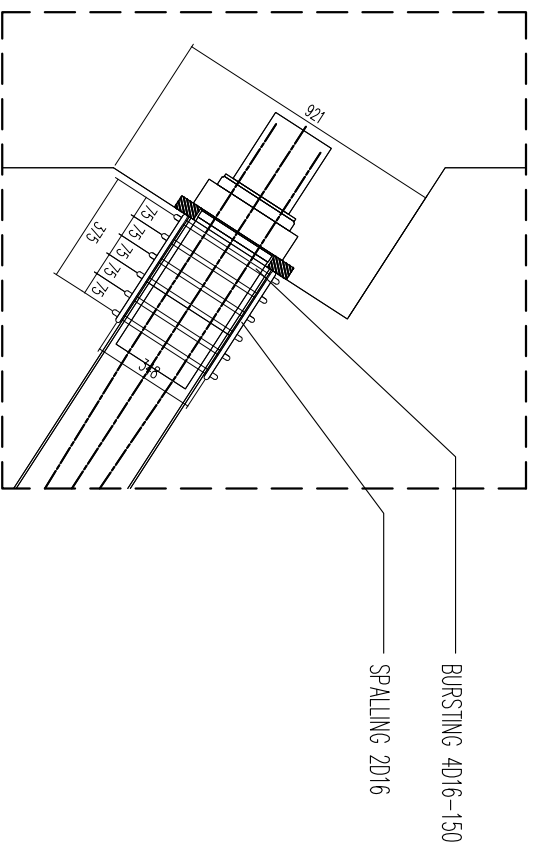
SKALA 1:25

 ITS Institut Teknologi Sepuluh Nopember	JUDUL TUGAS AKHIR	JUDUL GAMBAR	SKALA	DIGAMBAR	DIPERIKSA	REVISI	
	DESAIN STRUKTUR JEMBATAN TRUSUK KABUPATEN BOJONEGORO DENGAN MENGGUNAKAN METODE SEMI-HARP PATTERN CABLE STAYED	POTONGAN J-J DETAIL S2 DETAIL TULANGAN BURSTING DETAIL TULANGAN SPALLING	1 : 100 1 : 50 1 : 25 1 : 25	MAHASISWA : RIZAL NUR SYAMSU NRP: 3114105038	DOSEN PEMBIMBING : Prof. JAVID, ST, MT, Ph.D NIP. 19703271997021001 Dr. Ir. HIRNAYATI S. A., MS NIP. 195823271980031004	KODE GBR STR	NO. GBR 20



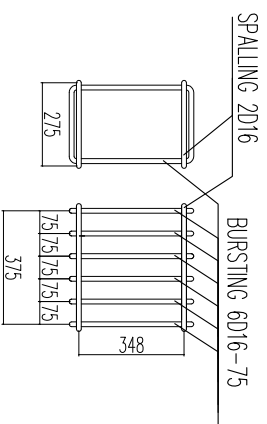
POTONGAN J-J

SKALA 1:100



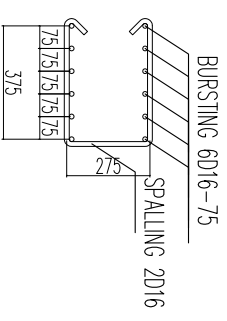
DETAIL S3

SKALA 1:25



DETAIL TULANGAN BURSTING

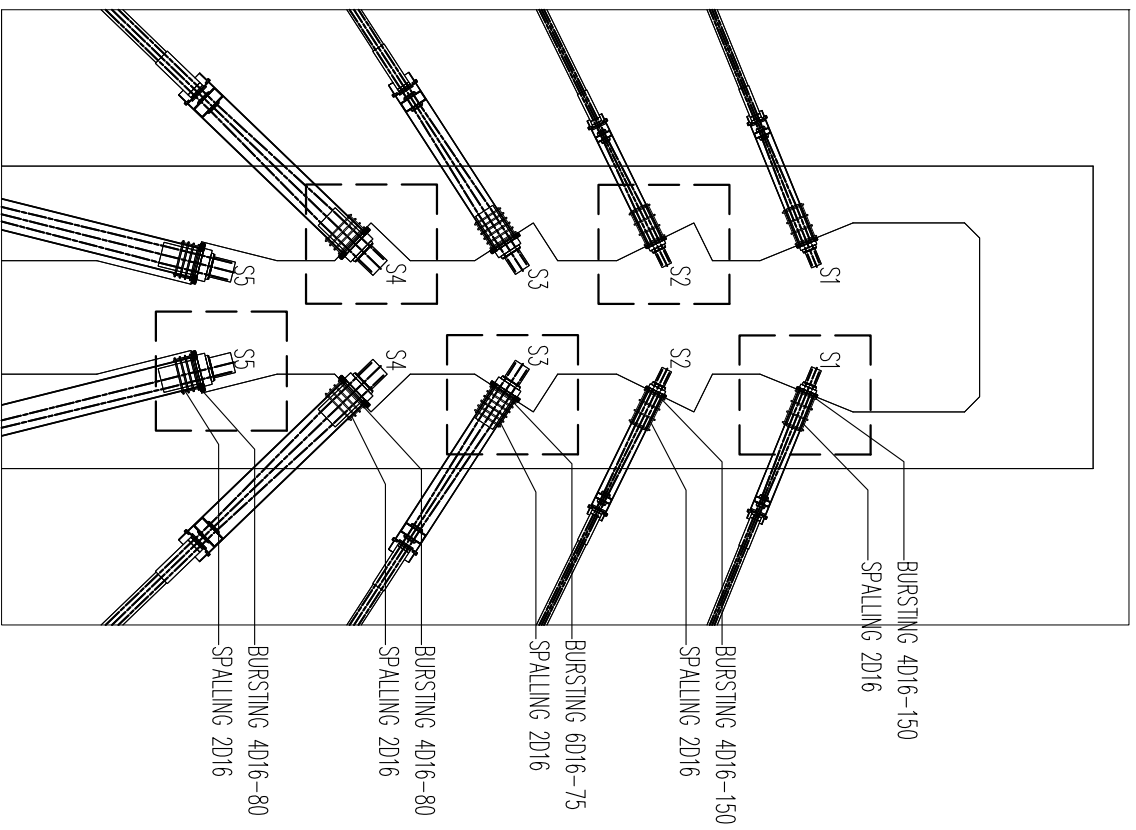
SKALA 1:25



DETAIL TULANGAN SPALLING

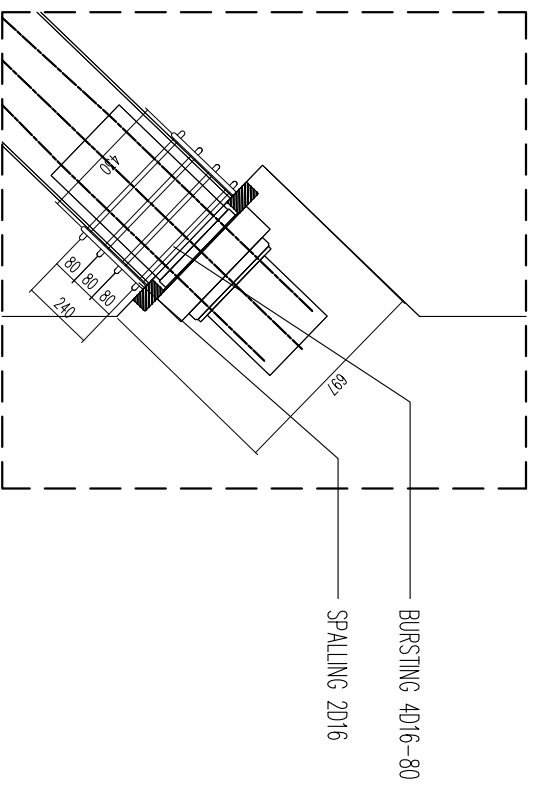
SKALA 1:25

 ITS Institut Teknologi Sepuluh Nopember	JUDUL TUGAS AKHIR	JUDUL GAMBAR	SKALA	DIGAMBAR	DIPERIKSA	REVISI	
	DESAIN STRUKTUR JEMBATAN TRUSUK KABUPATEN BOJONEGORO DENGAN MENGGUNAKAN METODE SEMI-HARP PATTERN CABLE STAYED	POTONGAN J-J DETAIL S3 DETAIL TULANGAN BURSTING DETAIL TULANGAN SPALLING	1 : 100 1 : 50 1 : 25 1 : 25	MAHASISWA : RIZAL NUR SYAMSU NRP. 3114105038	DOSEN PEMBIMBING : Prof. JAVID, ST, MT, Ph.D NIP. 19703271997021001 Dr. Ir. HENDAYATI, S. M, MS NIP. 195802271980031004	KODE GBR STR	NO. GBR 21



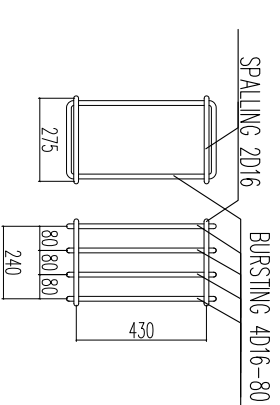
POTONGAN J-J

SKALA 1:100



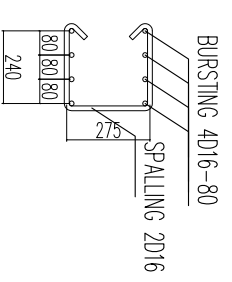
DETAIL S4

SKALA 1:25



DETAIL TULANGAN BURSTING

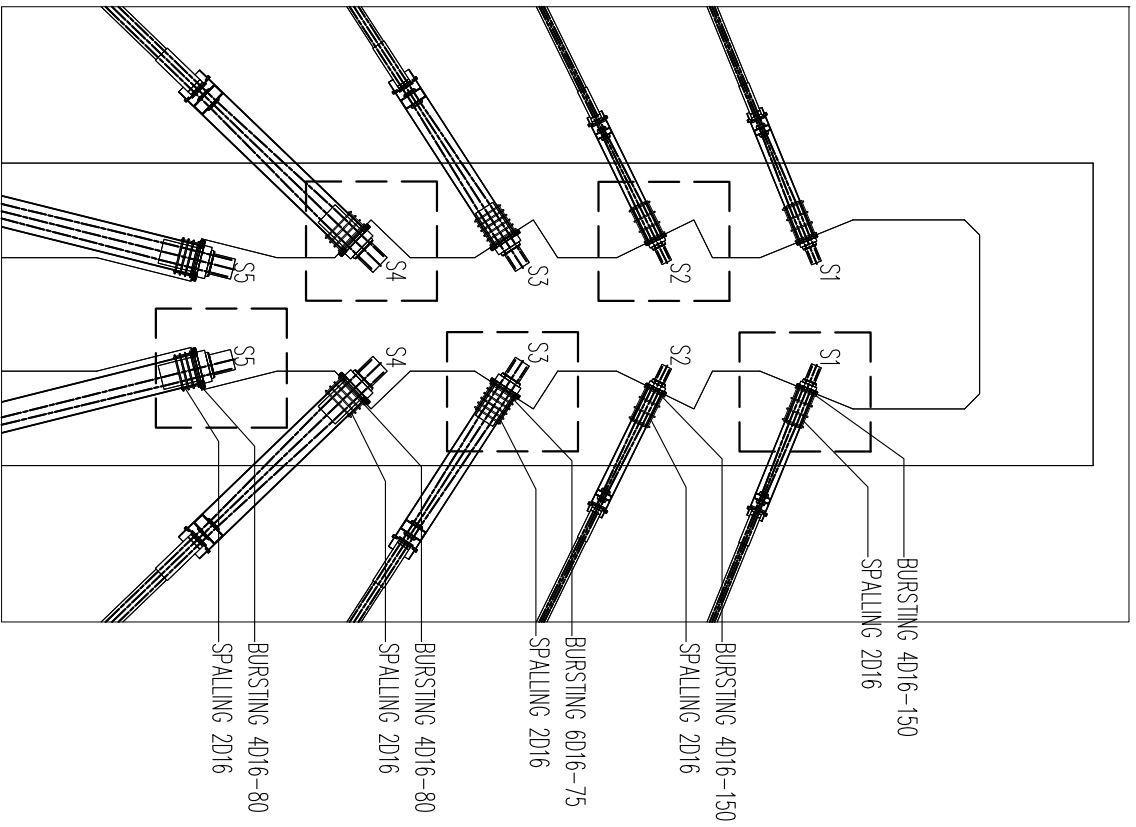
SKALA 1:25



DETAIL TULANGAN SPALLING

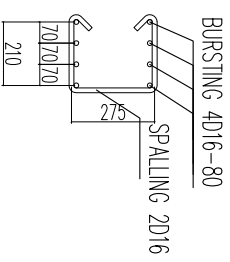
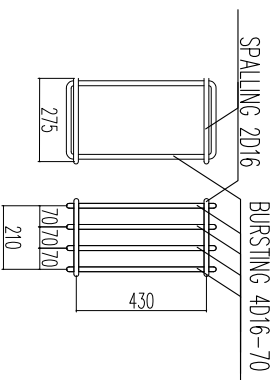
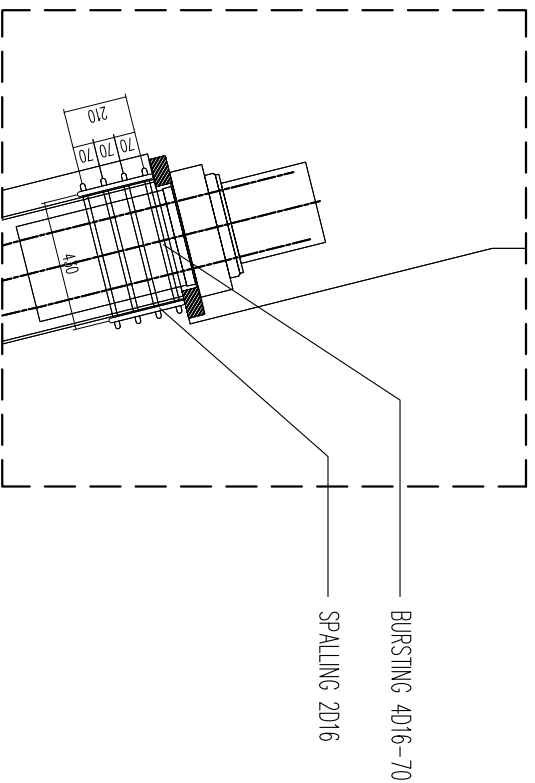
SKALA 1:25

 <p>ITS Institut Teknologi Sepuluh Nopember</p>	JUDUL TUGAS AKHIR	JUDUL GAMBAR	SKALA	DIGAMBAR	DIPERIKSA	REVISI	
	DESAIN STRUKTUR JEMBATAN TRUSUK KABUPATEN BOJONEGORO DENGAN MENGGUNAKAN METODE SEMI-HARP PATERN CABLE STAYED	POTONGAN J-J DETAIL S4 DETAIL TULANGAN BURSTING DETAIL TULANGAN SPALLING	1 : 100 1 : 50 1 : 25 1 : 25	MAHASISWA : RIZAL NUR SYAMSU NRP. 3114105038	DOSEN PEMBIMBING : Prof. TAMO, ST, MT, Ph.D NIP. 1970327197021001 Dr. Ir. HENDAYATI, S. M, MS NIP. 195802271980031004	KODE GBR STR	NO. GBR 22



POTONGAN J-J

SKALA 1:100



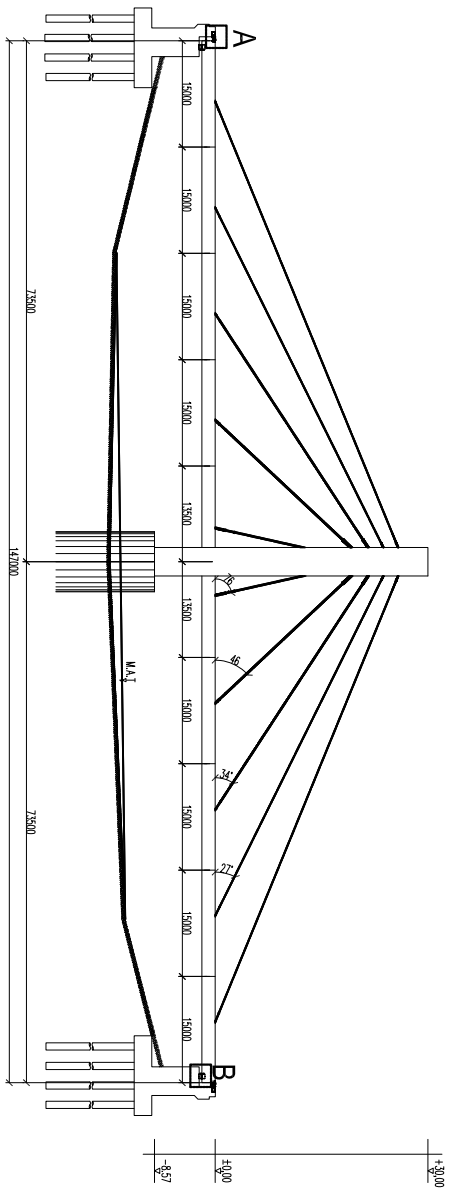
DETAIL TULANGAN BURSTING

SKALA 1:25

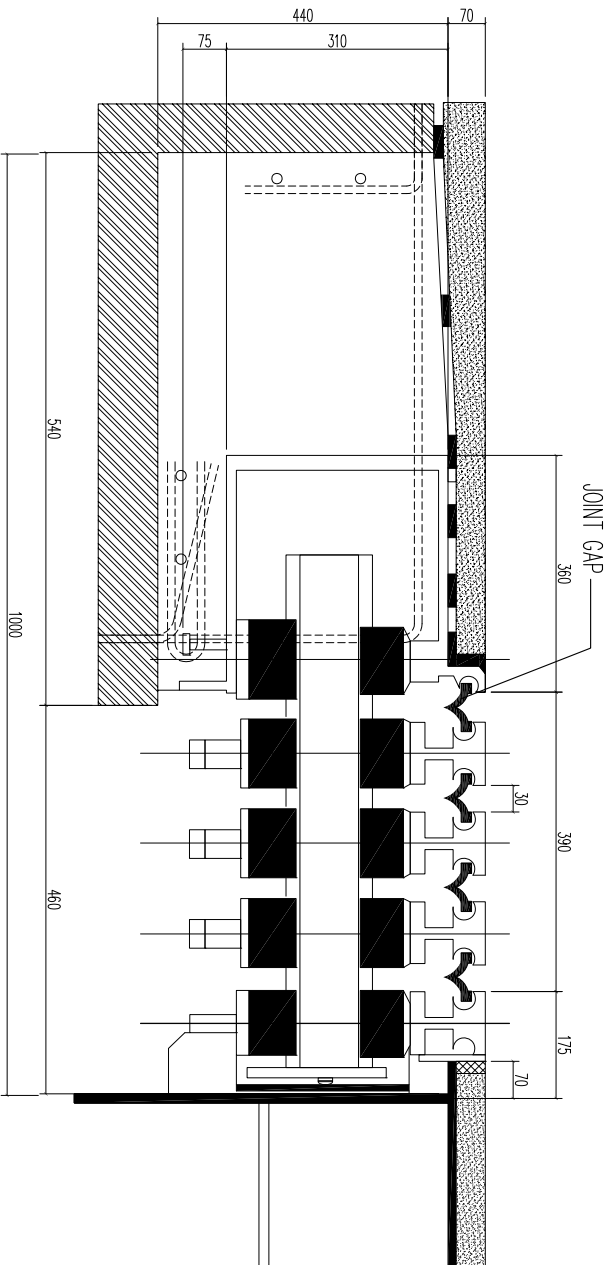
DETAIL TULANGAN SPALLING

SKALA 1:25

 <p>ITS Institut Teknologi Sepuluh Nopember</p>		<p>JUDUL GAMBAR</p>		<p>JUDUL TUGAS AKHIR</p>	
<p>POTONGAN J-J</p>		<p>DESAIN STRUKTUR JEMBATAN TRUSUK KABUPATEN BOJONEGORO DENGAN MENGUNAKAN METODE SEMI-HARP PATTERN CABLE STAYED</p>		<p>1 : 100</p>	
<p>DETAIL S5</p>		<p>DETAIL TULANGAN BURSTING</p>		<p>1 : 50</p>	
<p>DETAIL TULANGAN SPALLING</p>		<p>1 : 25</p>		<p>1 : 25</p>	
<p>DIPERIKSA :</p>		<p>DIGAMBAR :</p>		<p>MAHASISWA :</p>	
<p>DOSEN PEMBIMBING :</p>		<p>RIZAL NUR SYAMSU NRP. 3114105038</p>		<p>Prof. JAVID, ST, MT, Ph.D NIP. 19703271997021001</p>	
<p>REVISI</p>		<p>KODE GBR</p>		<p>NO. GBR</p>	
<p>STR</p>		<p>23</p>		<p>JUMLAH LBR</p>	
<p>43</p>		<p>43</p>		<p>43</p>	



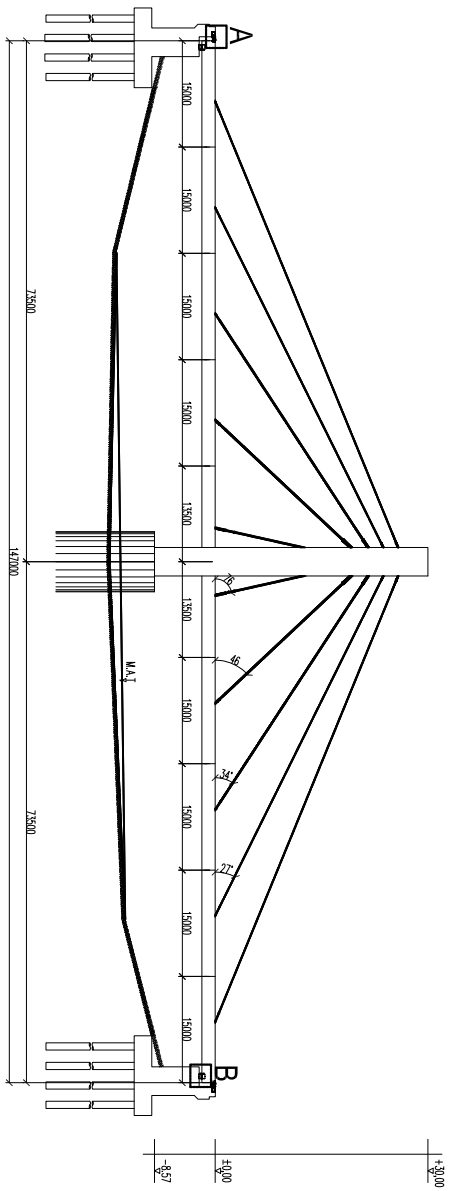
KEYPLAN



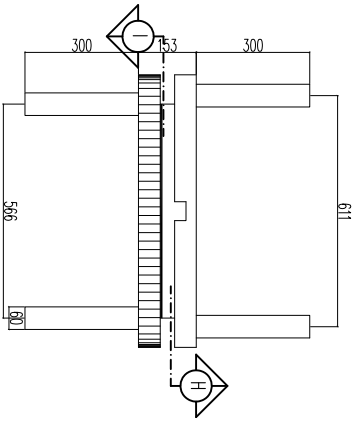
DETAIL A

SKALA 1:10

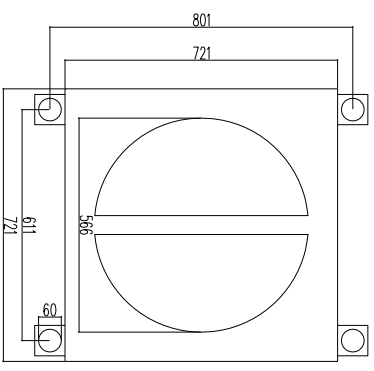
 ITS Institut Teknologi Sepuluh Nopember		JUDUL GAMBAR DESAIN STRUKTUR JEMBATAN TRUSUK KABUPATEN BOJONEGORO DENGAN MENGGUNAKAN METODE SEMI-HARP PATTERN CABLE STAYED		JUDUL GAMBAR DETAIL A		SKALA 1 : 10		DIGAMBAR MAHASISWA : RIZAL NUR SYAMSU NRP. 3114105038		DIPERIKSA DOSEN PEMBIMBING : Prof. TAMO, ST, MT, Ph.D NIP. 1970327197021001 Dr. Ir. HENDYATI S. A., MS NIP. 1958232198031004		REVISI			
										KODE GBR STR		NO. GBR 24		JUMLAH LBR 43	



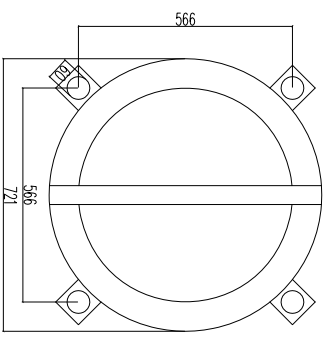
KEYPLAN



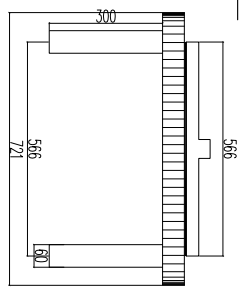
DETAIL B
SKALA 1:10



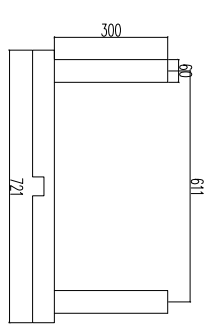
POTONGAN H-H
SKALA 1:10



POTONGAN I-I
SKALA 1:10

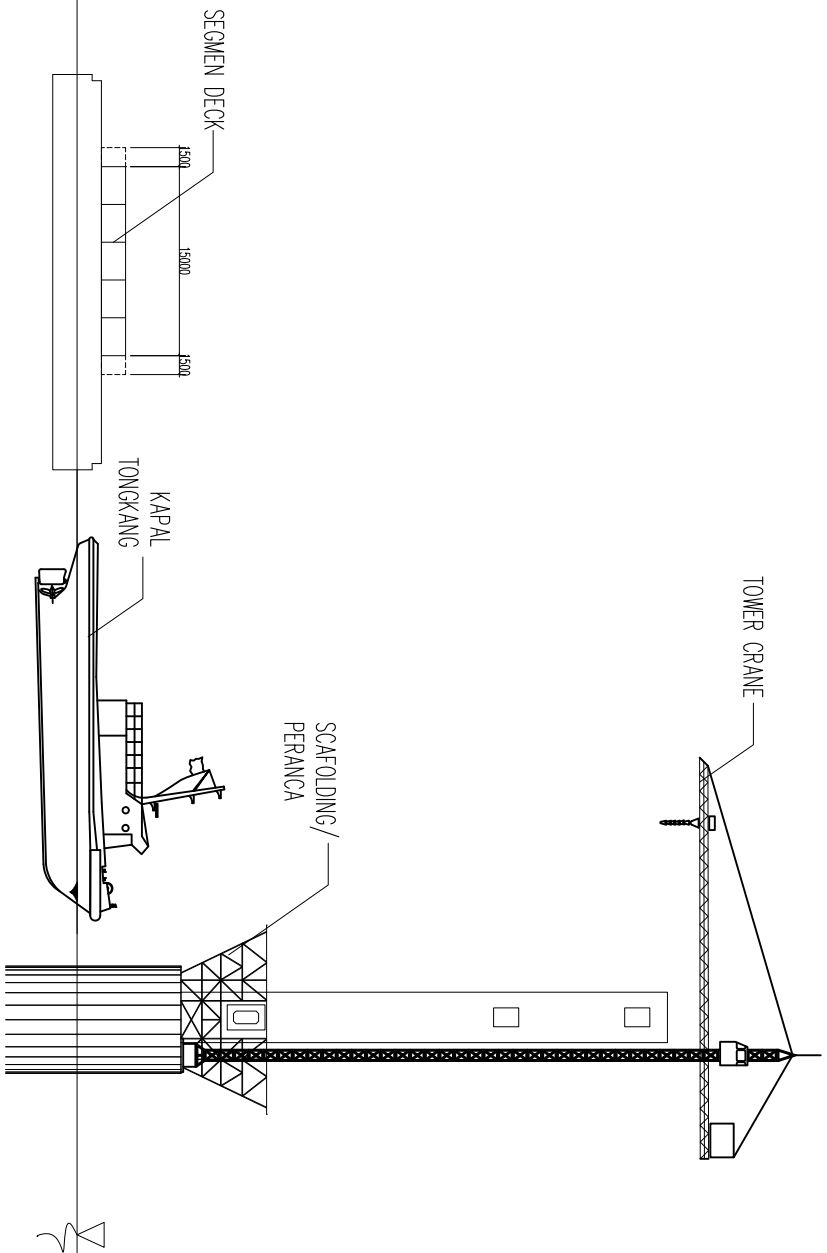


SISI BAWAH
SKALA 1:10



SISI ATAS
SKALA 1:10

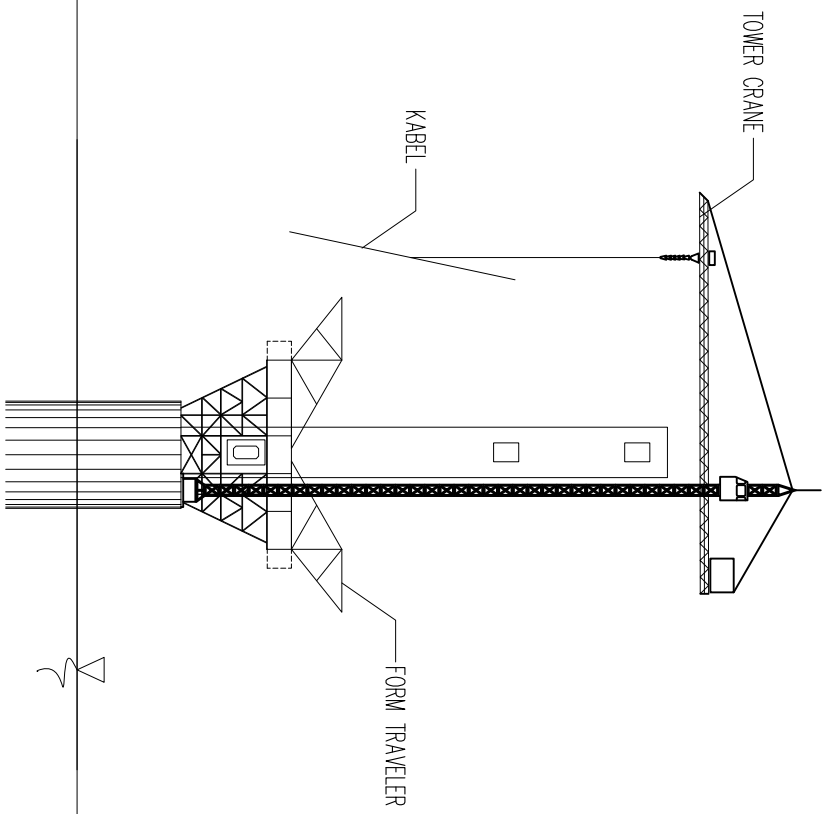
 <p>ITS Institut Teknologi Sepuluh Nopember</p>		<p>JUDUL TUGAS AKHIR</p>		<p>JUDUL GAMBAR</p>		<p>SKALA</p>		<p>DIGAMBAR</p>		<p>DIPERIKSA</p>		<p>REVISI</p>			
<p>DESAIN STRUKTUR JEMBATAN TRUSUK KABUPATEN BOJONEGORO DENGAN MENGUNAKAN METODE SEMI-HARP PATTERN CABLE STAYED</p>		<p>DETAIL B POTONGAN H-H POTONGAN I-I SISI BAWAH SISI ATAS</p>		<p>1 : 10 1 : 10 1 : 10 1 : 10 1 : 10</p>		<p>MAHASISWA : RIZAL NUR SYAMSU NRP. 3114105038</p>		<p>DOSEN PEMBIMBING : Prof. TAMO, ST, MT, Ph.D NIP. 19703271997021001</p>		<p>KODE GBR STR</p>		<p>NO. GBR 25</p>		<p>JUMLAH LBR 43</p>	



STAGE PENDIRIAN PYLON

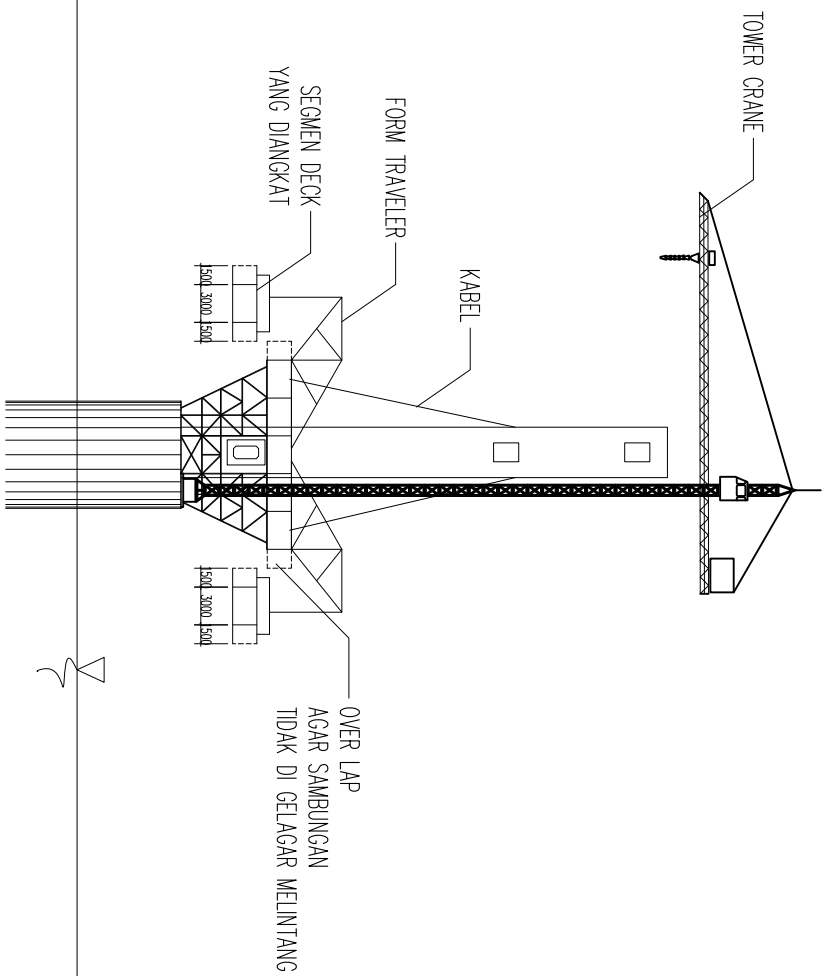
SKALA 1:500

 ITS Institut Teknologi Sepuluh Nopember		JUDUL GAMBAR STAGE PENDIRIAN PYLON		SKALA 1 : 600		DIGAMBAR MAHASISWA : RIZAL NUR SYAMSU NRP. 3114105038		DIPERIKSA DOSEN PEMBIMBING : Prof. TAMO, ST, MT, Ph.D NIP. 1970327197021001 Dr. Ir. HENDRIATIS, A., MS NIP. 19592327198031004		REVISI		
JUDUL TUGAS AKHIR DESAIN STRUKTUR JEMBATAN TRUSUK KABUPATEN BOJONEGORO DENGAN MENGGUNAKAN METODE SEMI-HARP PATTERN CABLE STAYED		JUDUL GAMBAR STAGE PENDIRIAN PYLON		SKALA 1 : 600		DIGAMBAR MAHASISWA : RIZAL NUR SYAMSU NRP. 3114105038		DIPERIKSA DOSEN PEMBIMBING : Prof. TAMO, ST, MT, Ph.D NIP. 1970327197021001 Dr. Ir. HENDRIATIS, A., MS NIP. 19592327198031004		KODE GBR STR	NO. GBR 26	JUMLAH LBR 43



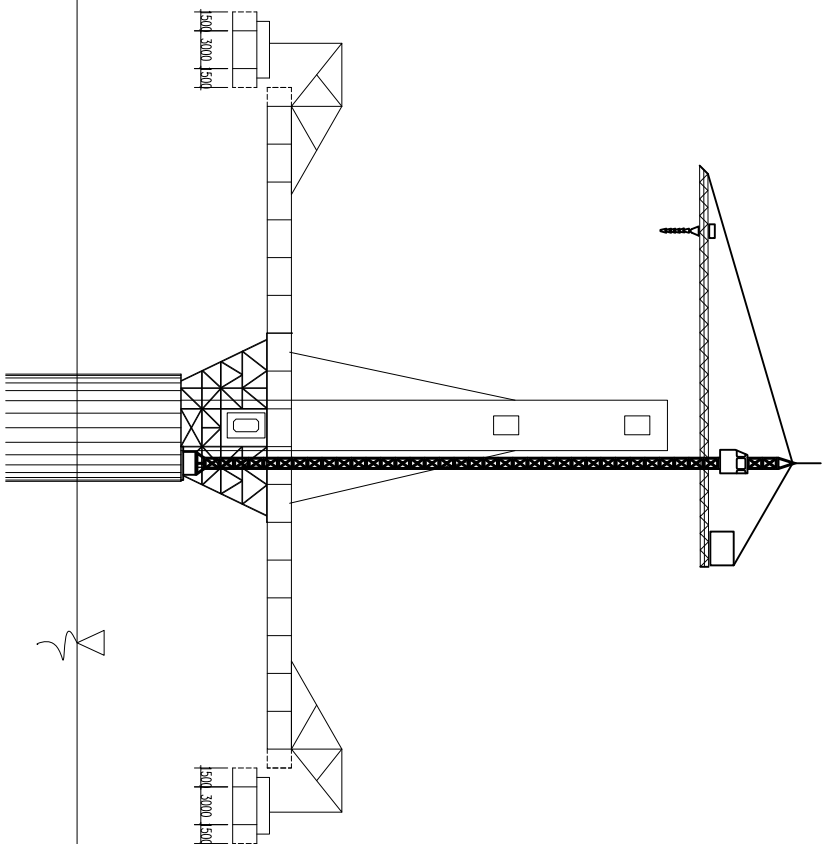
STAGE 1
SKALA 1:600

 ITS Institut Teknologi Sepuluh Nopember		JUDUL TUGAS AKHIR DESAIN STRUKTUR JEMBATAN TRUSUK KABUPATEN BOJONEGORO DENGAN MENGGUNAKAN METODE SEMI-HARP PATTERN CABLE STAYED		JUDUL GAMBAR STAGE 1		SKALA 1 : 600		DIGAMBAR MAHASISWA : RIZAL NUR SYAMSU NRP. 3114105038		DIPERIKSA DOSEN PEMBIMBING : Prof. TAMO, ST, MT, Ph.D NIP. 1970327197021001 Dr. Ir. HENDAKI S. A., MS NIP. 19582327198031004		REVISI <table border="1"> <tr> <td>KODE GBR</td> <td>NO. GBR</td> <td>JUMLAH LBR</td> </tr> <tr> <td>STR</td> <td>27</td> <td>43</td> </tr> </table>		KODE GBR	NO. GBR	JUMLAH LBR	STR	27	43
KODE GBR	NO. GBR	JUMLAH LBR																	
STR	27	43																	



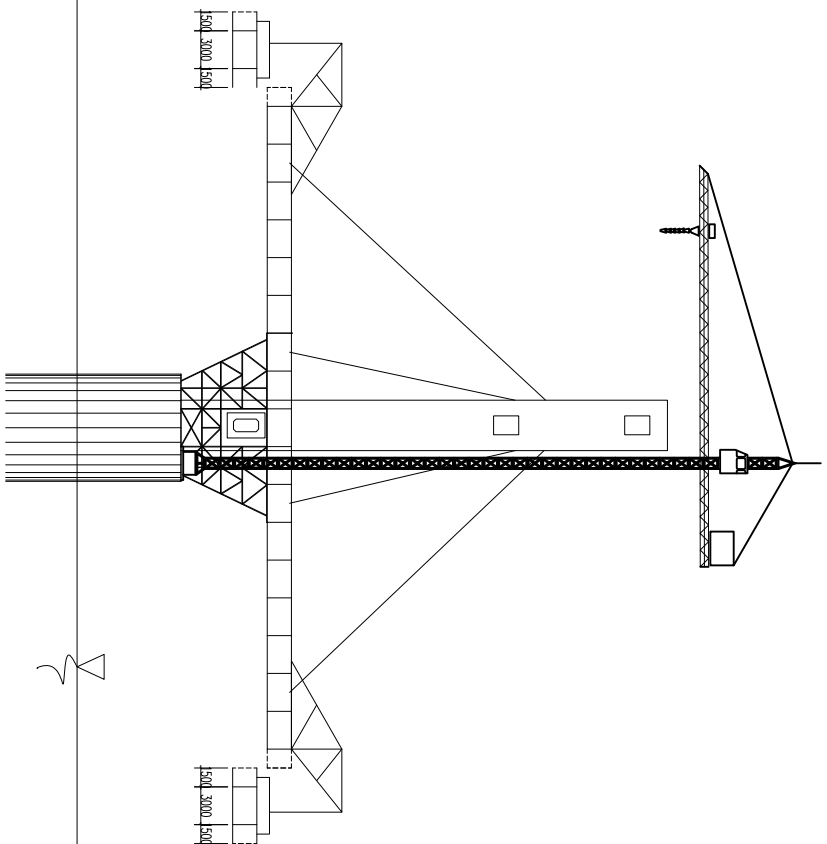
STAGE 2
SKALA 1:500

 ITS Institut Teknologi Sepuluh Nopember		JUDUL TUGAS AKHIR DESAIN STRUKTUR JEMBATAN TRUSUK KABUPATEN BOJONEGORO DENGAN MENGGUNAKAN METODE SEMI-HARP PATTERN CABLE STAYED		JUDUL GAMBAR STAGE 2		SKALA 1 : 600		DIGAMBAR MAHASISWA : RIZAL NUR SYAMSU NRP. 3114105038		DIPERIKSA DOSEN PEMBIMBING : Prof. TAMO, ST, MT, Ph.D NIP. 1970327197021001 Dr. Ir. HENDRIK S. A. AS NIP. 1958232198031004		REVISI	
		KODE GBR STR		NO. GBR 28		JUMLAH LBR 43							



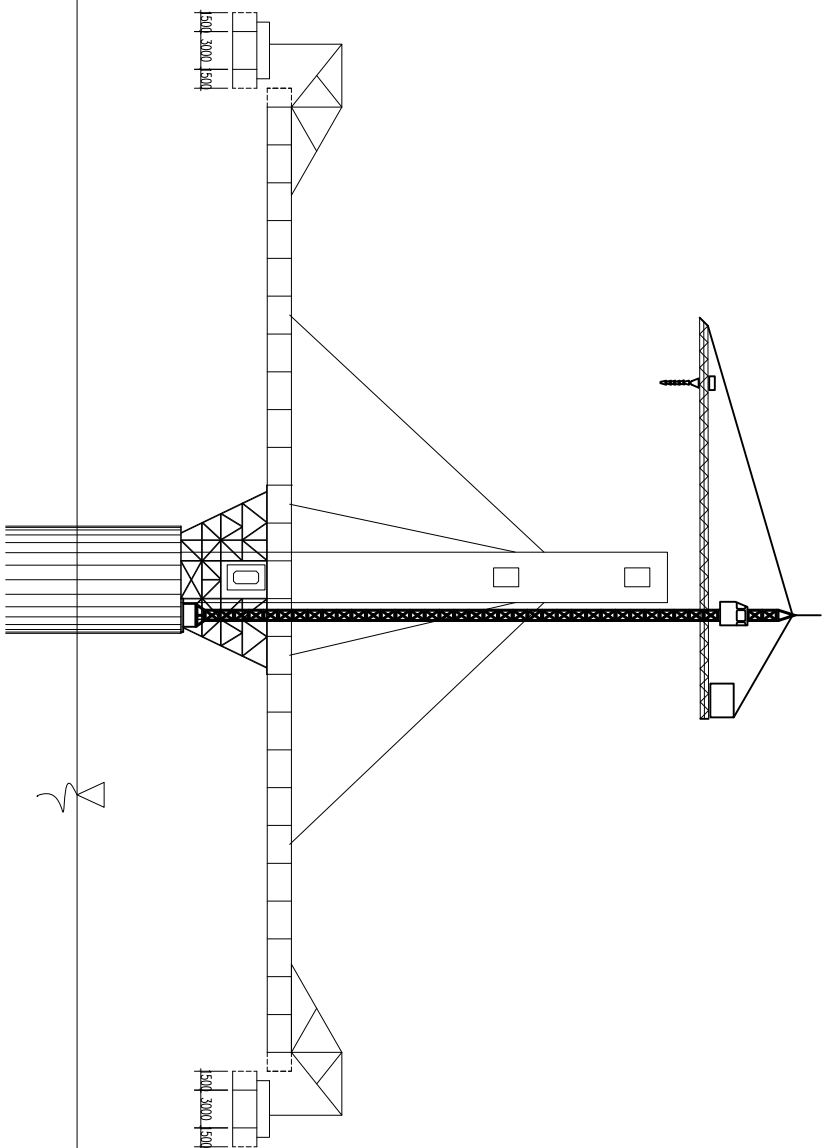
STAGE 3
SKALA 1:500

 ITS Institut Teknologi Sepuluh Nopember		JUDUL TUGAS AKHIR DESAIN STRUKTUR JEMBATAN TRUSUK KABUPATEN BOJONEGORO DENGAN MENGGUNAKAN METODE SEMI-HARP PATTERN CABLE STAYED		JUDUL GAMBAR STAGE 3		SKALA 1 : 600		DIGAMBAR MAHASISWA : <u>RIZAL NUR SYAMSU</u> NRP. 3114105038		DIPERIKSA DOSEN PEMBIMBING : Prof. TAMO, ST, MT, Ph.D NIP. 1970327197021001 Dr. Ir. HENDYATIS, M. AS NIP. 19550227198031004		REVISI	
		KODE GBR STR		NO. GBR 29		JUMLAH LBR 43							



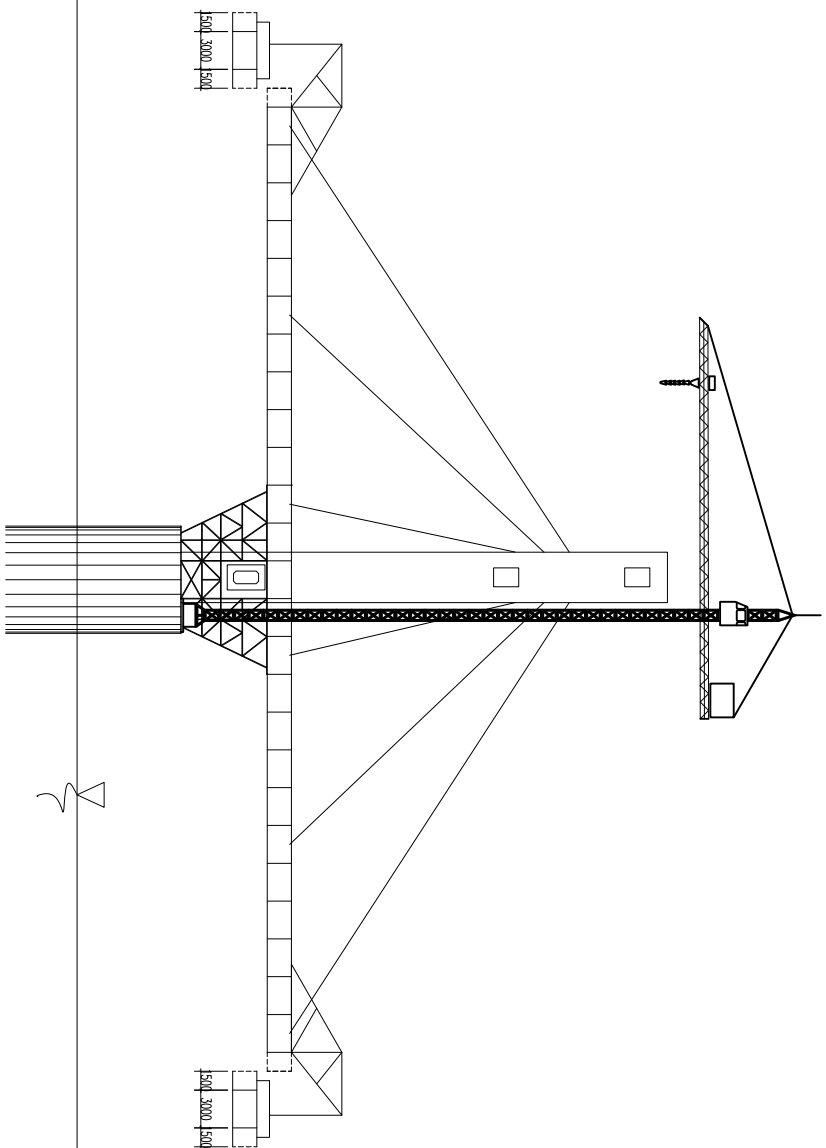
STAGE 4
SKALA 1:600

 <p>ITS Institut Teknologi Sepuluh Nopember</p>		<p>JUDUL GAMBAR</p>		<p>JUDUL TUGAS AKHIR</p>	
<p>DESAIN STRUKTUR JEMBATAN TRUSUK KABUPATEN BOJONEGORO DENGAN MENGUNAKAN METODE SEMI-HARP PATTERN CABLE STAYED</p>		<p>STAGE 4</p>		<p>1 : 600</p>	
<p>MAHASISWA : <u>RIZAL NUR SYAMSU</u> NRP. 3114105038</p>		<p>DIGAMBAR</p>		<p>SKALA</p>	
<p>DOSEN PEMBIMBING : Prof. TAMO, ST, MT, PhD NIP. 1970327197021001 Dr. Ir. HENDIATIS, A., MS NIP. 19592327198031004</p>		<p>REVISI</p>		<p>REVISI</p>	
<p>KODE GBR</p>		<p>NO. GBR</p>		<p>JUMLAH LBR</p>	
<p>STR</p>		<p>30</p>		<p>43</p>	



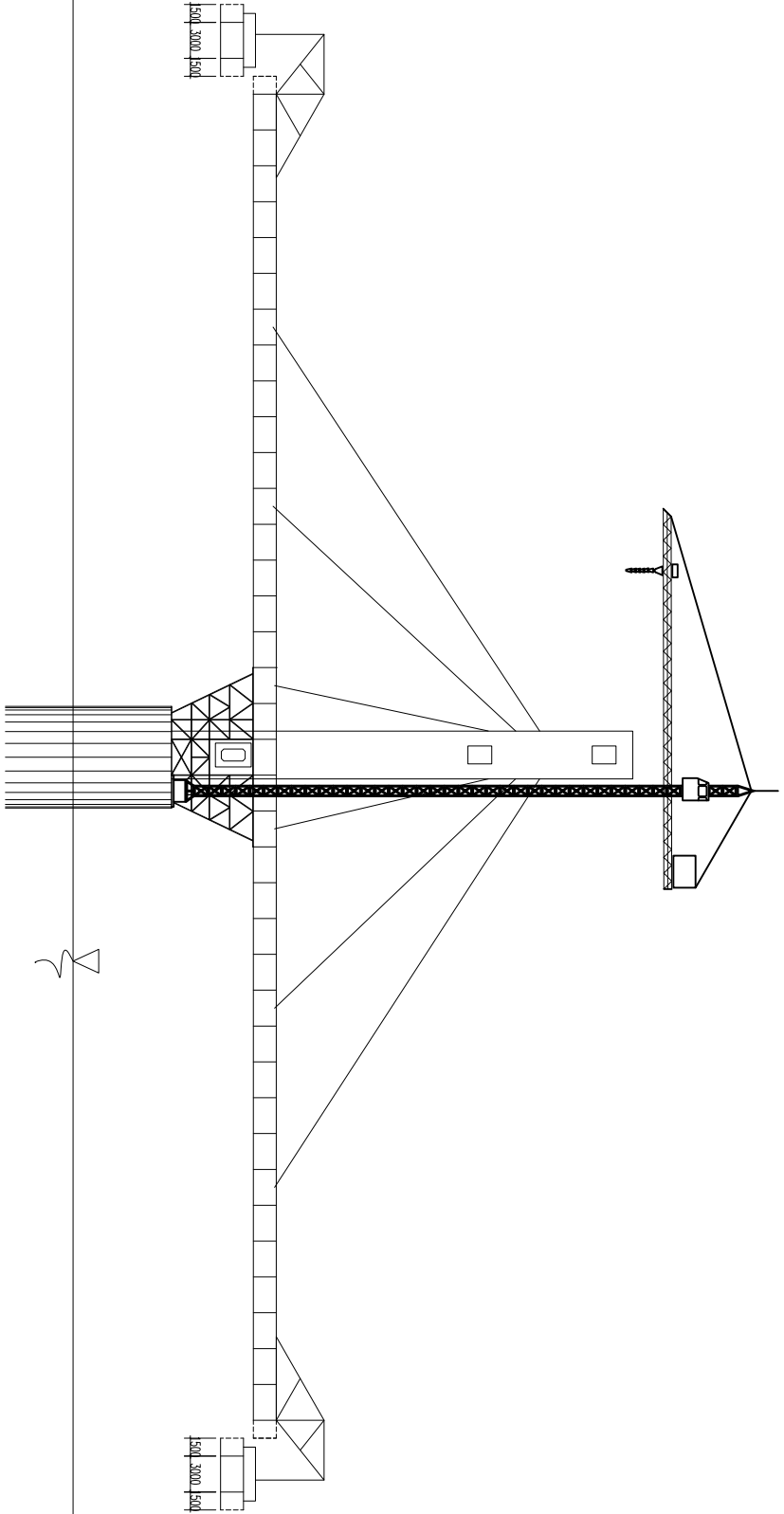
STAGE 5
SKALA 1:500

 ITS Institut Teknologi Sepuluh Nopember		JUDUL TUGAS AKHIR DESAIN STRUKTUR JEMBATAN TRUSUK KABUPATEN BOJONEGORO DENGAN MENGGUNAKAN METODE SEMI-HARP PATTERN CABLE STAYED		JUDUL GAMBAR STAGE 5		SKALA 1 : 600		DIGAMBAR MAHASISWA : <u>RIZAL NUR SYAMSU</u> NRP. 3114105038		DIPERIKSA DOSEN PEMBIMBING : Prof. TAMO, ST, MT, Ph.D NIP. 1970327197021001 Dr. Ir. HENDYATI S. A., MS NIP. 19582327198031004		REVISI	
		KODE GBR STR		NO. GBR 31		JUMLAH LBR 43							



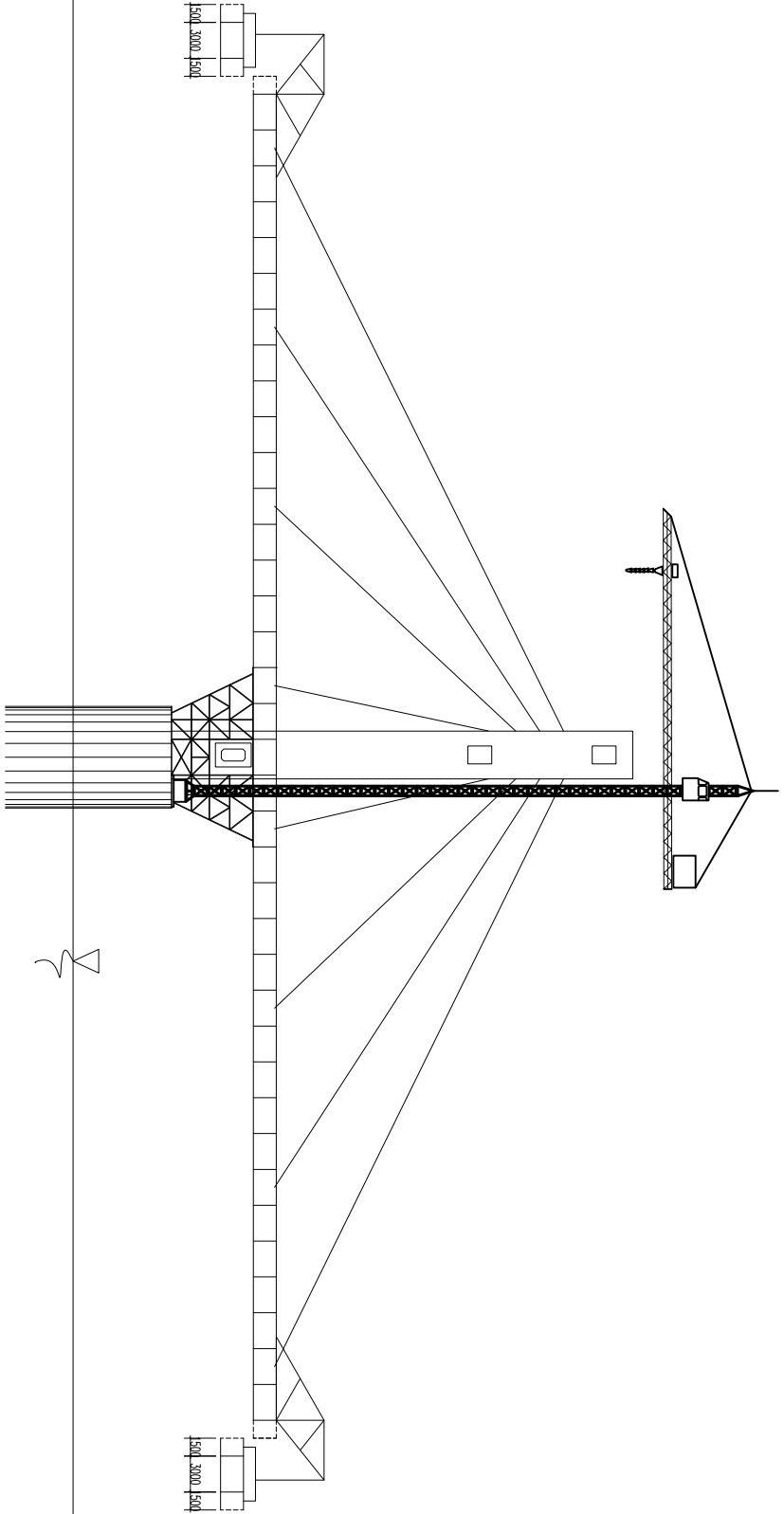
STAGE 6
SKALA 1:500

 ITS Institut Teknologi Sepuluh Nopember		JUDUL TUGAS AKHIR DESAIN STRUKTUR JEMBATAN TRUSUK KABUPATEN BOJONEGORO DENGAN MENGGUNAKAN METODE SEMI-HARP PATTERN CABLE STAYED		JUDUL GAMBAR STAGE 6		SKALA 1 : 600		DIGAMBAR MAHASISWA : <u>RIZAL NUR SYAMSU</u> NRP. 3114105038		DIPERIKSA DOSEN PEMBIMBING : Prof. TAMO, ST, MT, Ph.D NIP. 19703227197021001 Dr. Ir. HENDYATI S. A., MS NIP. 19592323198031004		REVISI			
										KODE GBR STR		NO. GBR 32		JUMLAH LBR 43	



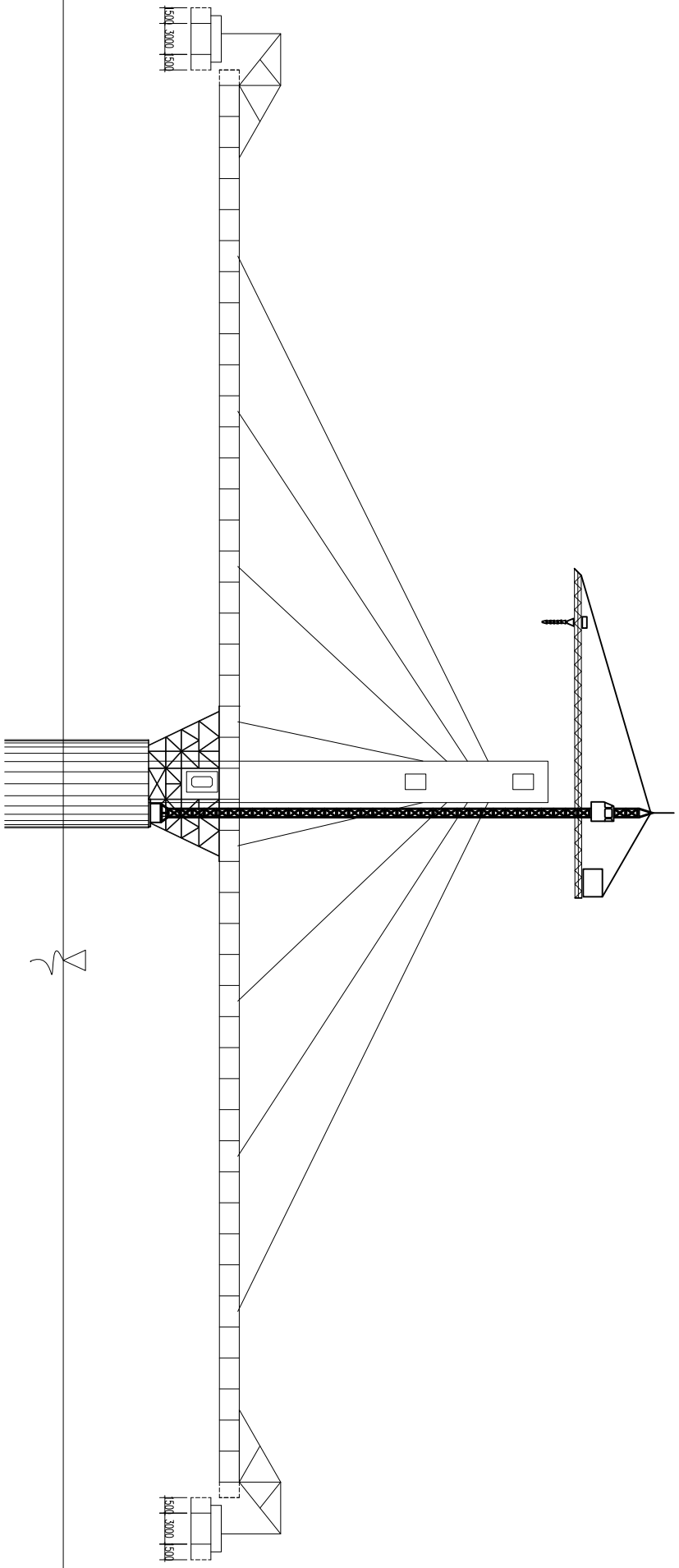
STAGE 7
SKALA 1:500

 ITS Institut Teknologi Sepuluh Nopember		JUDUL TUGAS AKHIR DESAIN STRUKTUR JEMBATAN TRUSUK KABUPATEN BOJONEGORO DENGAN MENGGUNAKAN METODE SEMI-HARP PATTERN CABLE STAYED		JUDUL GAMBAR STAGE 7		SKALA 1 : 600		DIGAMBAR MAHASISWA : RIZAL NUR SYAMSU NRP. 3114105038		DIPERIKSA DOSEN PEMBIMBING : Prof. TAMO, ST. MT., Ph.D NIP. 1970327197021001 Dr. Ir. HENDYATI S. A., MS NIP. 195802271980031004		REVISI	
KODE GBR STR		NO. GBR 33		JUMLAH LBR 43									



STAGE 8
SKALA 1:500

 ITS Institut Teknologi Sepuluh Nopember		JUDUL TUGAS AKHIR DESAIN STRUKTUR JEMBATAN TRUSUK KABUPATEN BOJONEGORO DENGAN MENGGUNAKAN METODE SEMI-HARP PATTERN CABLE STAYED		JUDUL GAMBAR STAGE 8		SKALA 1 : 600		DIGAMBAR MAHASISWA : RIZAL NUR SYAMSU NRP. 3114105038		DIPERIKSA DOSEN PEMBIMBING : Prof. TAMO, ST, MT, Ph.D NIP. 1970327197021001 Dr. Ir. HENDIATIS, A., MS NIP. 1958232198031004		REVISI	
KODE GBR STR		NO. GBR 34		JUMLAH LBR 43									



STAGE 9
SKALA 1:500

 ITS Institut Teknologi Sepuluh Nopember		JUDUL TUGAS AKHIR							
JUDUL GAMBAR		STAGE 9							
SKALA		1 : 600							
DIGAMBAR		MAHASISWA : RIZAL NIUR SYAMSU NRP. 3114105038							
DIPERIKSA		DOSEN PEMBIMBING : Prof. TAMO, ST, MT, Ph.D NIP. 1970327197021001 Dr. Ir. HENDYATIS, A., MS NIP. 19592327198031004							
REVISI		<table border="1"> <tr> <td>KODE GBR</td> <td>NO. GBR</td> <td>JUMLAH LBR</td> </tr> <tr> <td>STR</td> <td>35</td> <td>43</td> </tr> </table>		KODE GBR	NO. GBR	JUMLAH LBR	STR	35	43
KODE GBR	NO. GBR	JUMLAH LBR							
STR	35	43							



ITS
Institut
Teknologi
Sepuluh Nopember

**DESAIN STRUKTUR JEMBATAN TRUSUK
KABUPATEN BOJONEGORO DENGAN
MENGUNAKAN METODE SEMI-HARP PATTERN
CABLE STAYED**

STAGE 9

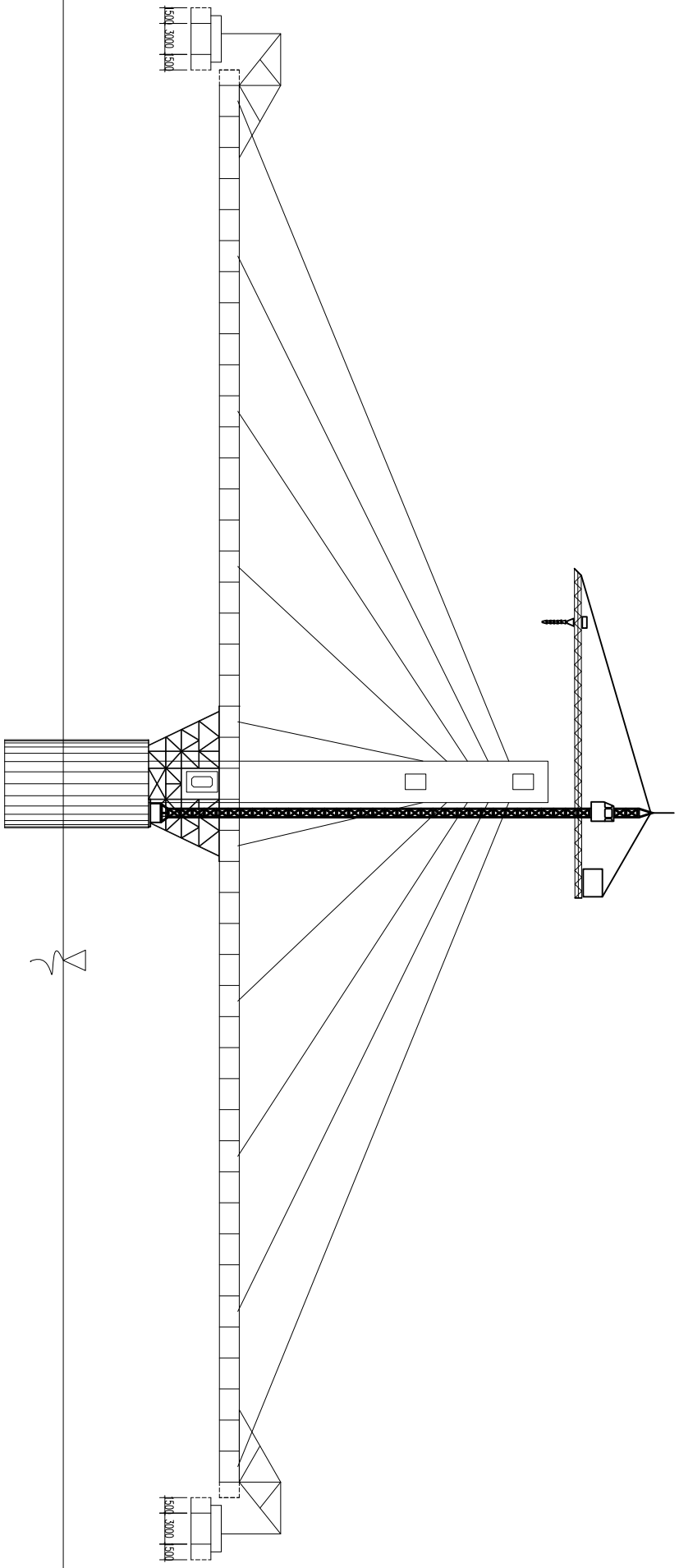
JUDUL GAMBAR

SKALA

DIGAMBAR

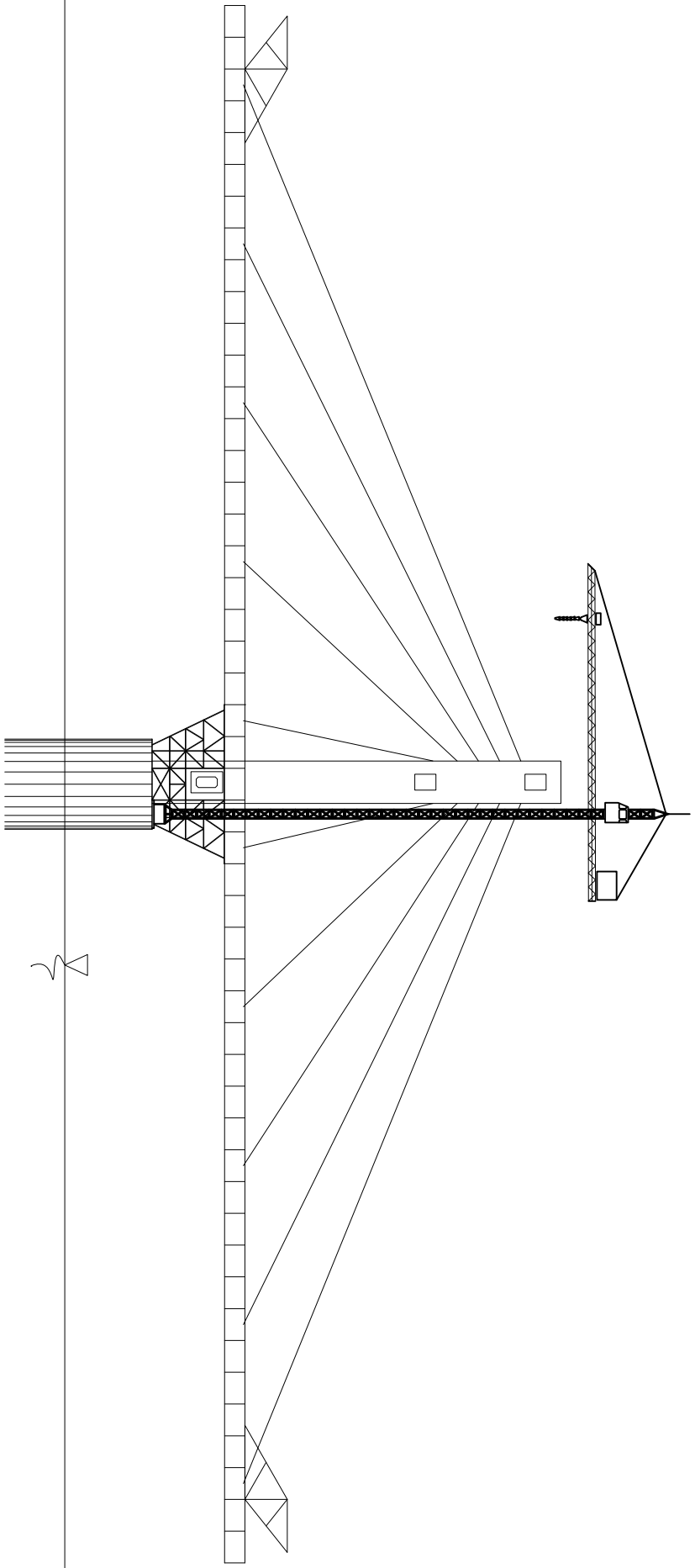
DIPERIKSA

KODE GBR	NO. GBR	JUMLAH LBR
STR	35	43



STAGE 10
SKALA 1:600

 ITS Institut Teknologi Sepuluh Nopember		JUDUL TUGAS AKHIR DESAIN STRUKTUR JEMBATAN TRUSUK KABUPATEN BOJONEGORO DENGAN MENGGUNAKAN METODE SEMI-HARP PATTERN CABLE STAYED		JUDUL GAMBAR STAGE 10		SKALA 1 : 600		DIGAMBAR MAHASISWA : <u>RIZAL NUR SYAMSU</u> NRP. 3114105038		DIPERIKSA DOSEN PEMBIMBING : <u>Prof. TAMO, ST, MT, Ph.D</u> NIP. 1970327197021001 Dr. Ir. HENDYATIS, A., MS NIP. 19592327198031004		REVISI	
		KODE GBR STR		NO. GBR 36		JUMLAH LBR 43							



STAGE 11
SKALA 1:500

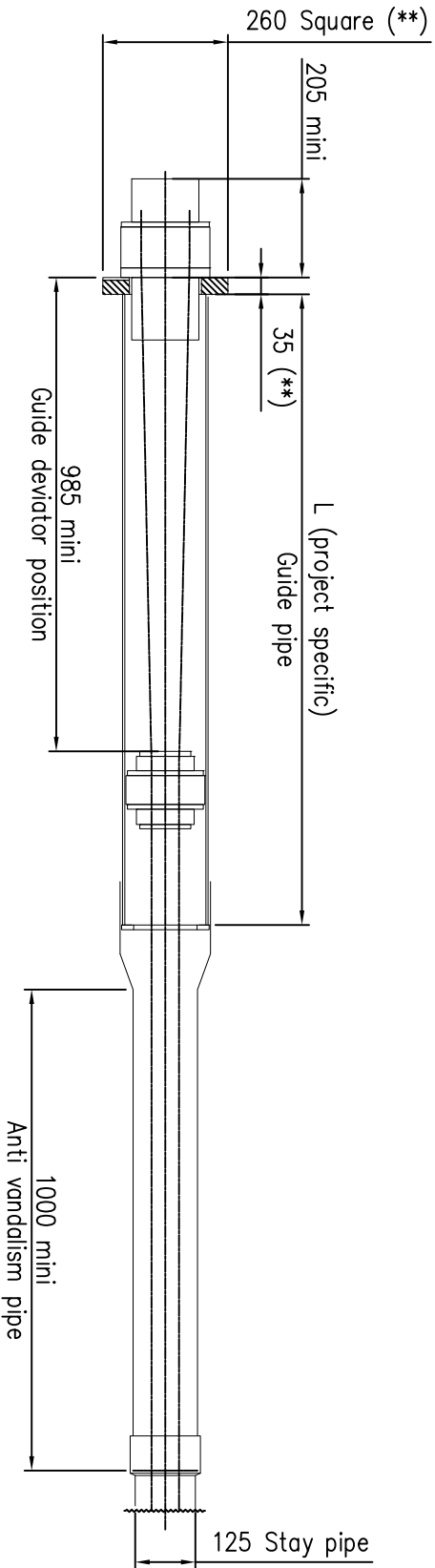
 ITS Institut Teknologi Sepuluh Nopember		DESAIN STRUKTUR JEMBATAN TRUSUK KABUPATEN BOJONEGORO DENGAN MENGGUNAKAN METODE SEMI-HARP PATTERN CABLE STAYED		STAGE 11	JUDUL GAMBAR	JUDUL TUGAS AKHIR
MAHASISWA : RIZAL NUR SYAMSU NRP. 3114105038		DOSEN PEMBIMBING : Prof. TAMO, ST, MT, Ph.D NIP. 1970327197021001 Dr. Ir. HENDIATIS, A., MS NIP. 19592327198031004		1 : 600	SKALA	REVISI
STR	KODE GBR	NO. GBR	JUMLAH LBR			
		37	43			



GENERAL ASSEMBLY
STAY CABLE SYSTEM SSI 2000

DEAD END ANCHORAGE DECK DS 6-12

Ver 1 - 27.03.2002



Dimension according to SSI 2000 standard anchorage

(**) Bearing Plate dimension are valid for nominal concrete strength 45MPa (cube), 36MPa (cylinder) at the time of stressing

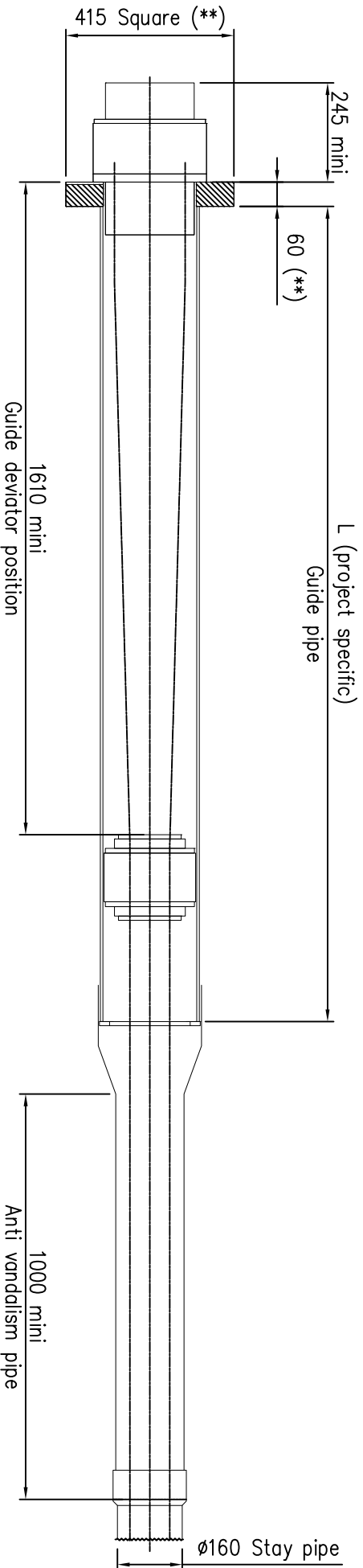
 ITS Institut Teknologi Sepuluh Nopember		DESAIN STRUKTUR JEMBATAN TRUSUK KABUPATEN BOJONEGORO DENGAN MENGUNAKAN METODE SEMI-HARP PATTERN CABLE STAYED		DETAIL ANCHORAGE DECK 12		1 : 1		MAHASISWA : RIZAL NUR SYAMSU NRP. 3114105038		DOSEN PEMBIMBING : Prof. TAMO, ST, MT, Ph.D NIP. 19703271997021001 Dr. Ir. HENDAKI S. A., MS NIP. 195902271980031004		REVISI	
JUDUL TUGAS AKHIR		JUDUL GAMBAR		SKALA		DIGAMBAR		DIPERIKSA		KODE GBR STR		NO. GBR 38	
										JUMLAH LBR 43			



GENERAL ASSEMBLY
STAY CABLE SYSTEM SSI 2000

DEAD END ANCHORAGE DECK DS 6-31

Ver 1 - 27.03.2002



Dimension according to SSI 2000 standard anchorage

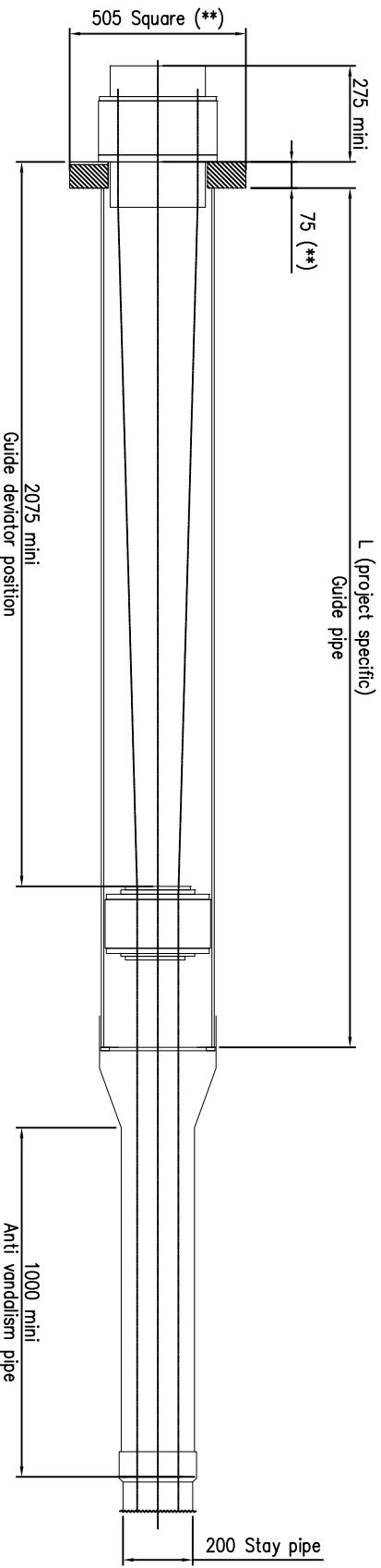
(**) Bearing Plate dimension are valid for nominal concrete strength 45MPa (cube),
36MPa (cylinder) at the time of stressing

 ITS Institut Teknologi Sepuluh Nopember		DESAIN STRUKTUR JEMBATAN TRUSUK KABUPATEN BOJONEGORO DENGAN MENGUNAKAN METODE SEMI-HARP PATTERN CABLE STAYED	
JUDUL GAMBAR	JUDUL GAMBAR	SKALA	1 : 1
JUDUL GAMBAR	JUDUL GAMBAR	SKALA	1 : 1
DIGAMBAR	DIGAMBAR	DIPERIKSA	DIPERIKSA
MAHASISWA :	MAHASISWA :	DOSEN PEMBIMBING :	DOSEN PEMBIMBING :
RIZAL NUR SYAMSU NRP. 3114105038	RIZAL NUR SYAMSU NRP. 3114105038	Prof. TAMO, ST, MT, Ph.D NIP. 19703271997021001	Prof. TAMO, ST, MT, Ph.D NIP. 19703271997021001
REVISI	REVISI	KODE GBR	KODE GBR
STR	STR	NO. GBR	NO. GBR
		39	39
JUMLAH LBR	JUMLAH LBR		
43	43		



**GENERAL ASSEMBLY
STAY CABLE SYSTEM SSI 2000
DEAD END ANCHORAGE DECK DS 6-43**

Ver 1 - 27.03.2002



Dimension according to SSI 2000 standard anchorage

(**) Bearing Plate dimension are valid for nominal concrete strength 45MPa (cube), 36MPa (cylinder) at the time of stressing

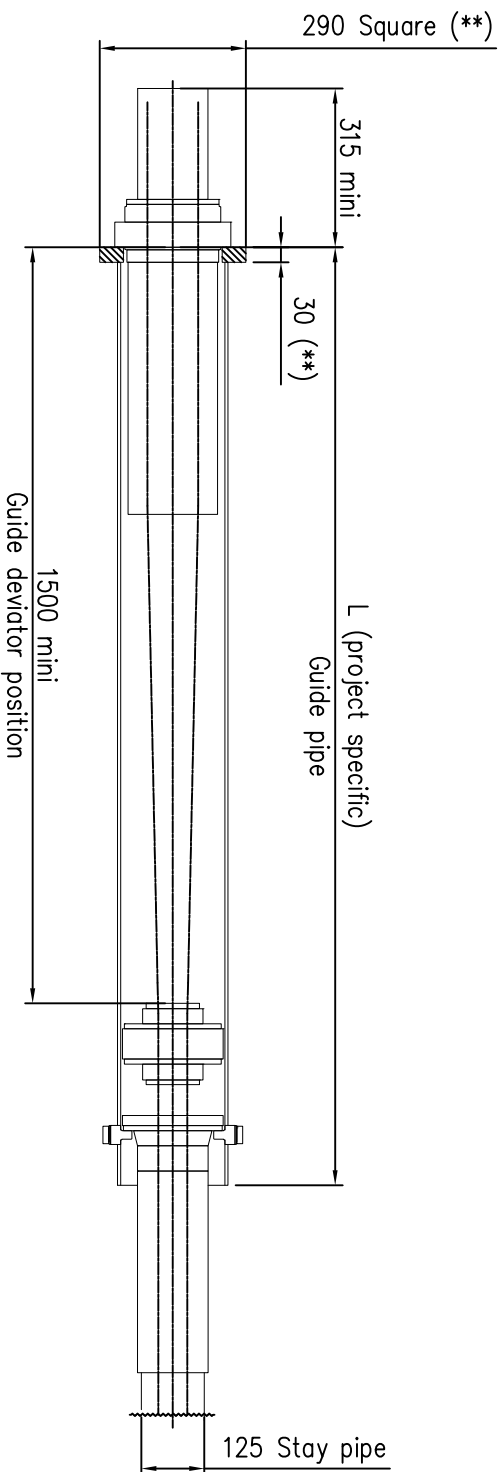
 ITS Institut Teknologi Sepuluh Nopember		DESAIN STRUKTUR JEMBATAN TRUSUK KABUPATEN BOJONEGORO DENGAN MENGGUNAKAN METODE SEMI-HARP PATTERN CABLE STAYED	
JUDUL TUGAS AKHIR	JUDUL GAMBAR	SKALA	DIGAMBAR
	DETAIL ANCHORAGE DECK 43	1 : 1	MAHASISWA : RIZAL NUR SYAMSU NRP. 3114105038
			DIPERIKSA Dosen Pembimbing : Prof. TAMO, ST, MT, Ph.D NIP. 19703271997021001 Dr. Ir. HENDRIK S. A. AS NIP. 195802251980031004
	REVISI		
KODE GBR	NO. GBR	JUMLAH LBR	
STR	40	43	



GENERAL ASSEMBLY
STAY CABLE SYSTEM SSI 2000

STRESSING END ANCHORAGE PYLON DRT 6-12

Ver 1 - 25.03.2002



Dimension according to SSI 2000 standard anchorage

(**) Bearing Plate dimension are valid for nominal concrete strength 45MPa (cube),
36MPa (cylinder) at the time of stressing

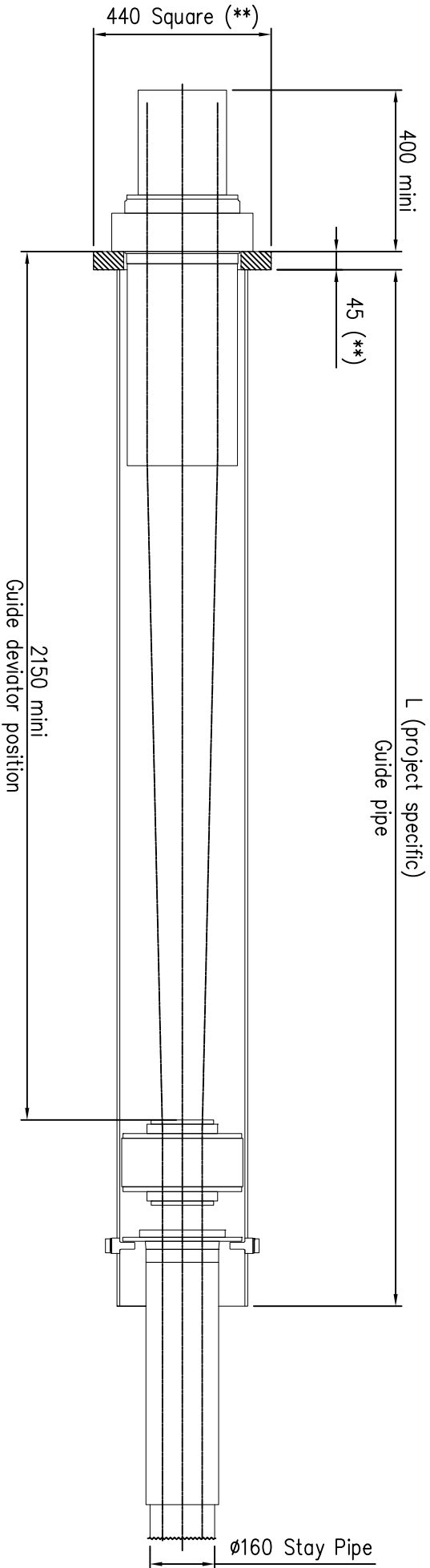
 ITS Institut Teknologi Sepuluh Nopember		DESAIN STRUKTUR JEMBATAN TRUSUK KABUPATEN BOJONEGORO DENGAN MENGGUNAKAN METODE SEMI-HARP PATTERN CABLE STAYED		DETAIL ANCHORAGE PYLON 12		1 : 1		DIGAMBAR : MAHASISWA : RIZAL NUR SYAMSU NRP. 3114105038		DIPERIKSA : DOSEN PEMBIMBING : Prof. TAMO, ST., MT., Ph.D NIP. 19703221997021001 Dr. Ir. HENDAKTIS, A., MS NIP. 195802251980031004		REVISI			
JUDUL TUGAS AKHIR		JUDUL GAMBAR		SKALA		MAHASISWA :		DOSEN PEMBIMBING :		KODE GBR		NO. GBR		JUMLAH LBR	
										STR		41		43	



GENERAL ASSEMBLY
STAY CABLE SYSTEM SSI 2000

STRESSING END ANCHORAGE PYLON DRT 6-31

Ver 1 - 25.03.2002



Dimension according to SSI 2000 standard anchorage

(**) Bearing Plate dimension are valid for nominal concrete strength 45MPa (cube),
36MPa (cylinder) at the time of stressing

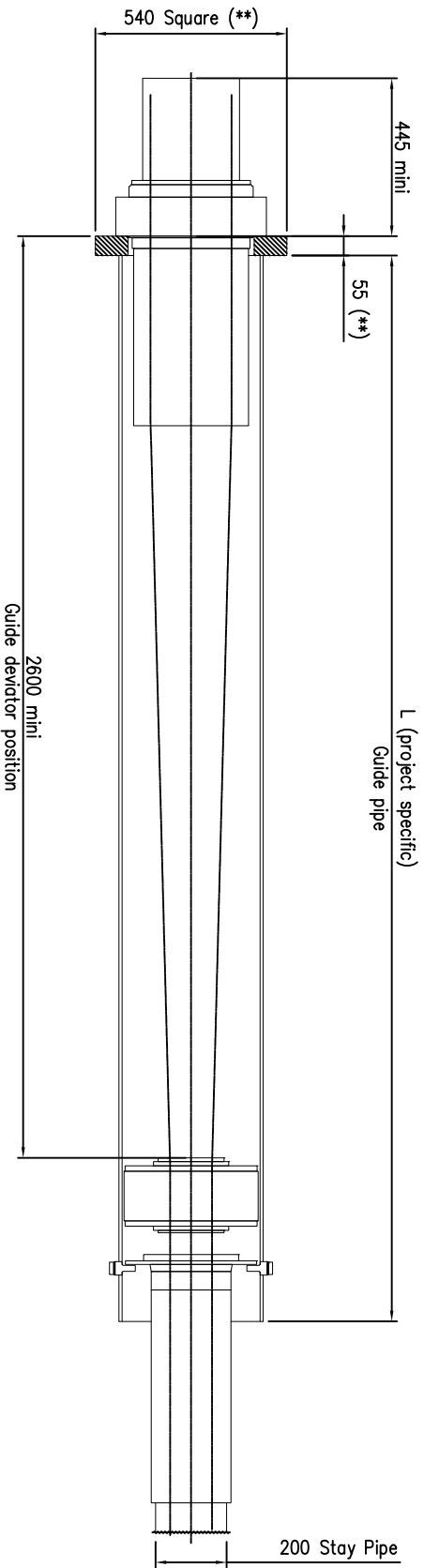
 ITS Institut Teknologi Sepuluh Nopember		DESAIN STRUKTUR JEMBATAN TRUSUK KABUPATEN BOJONEGORO DENGAN MENGUNAKAN METODE SEMI-HARP PATTERN CABLE STAYED		DETAIL ANCHORAGE PYLON 31		1 : 1		MAHASISWA : RIZAL NUR SYAMSU NRP. 3114105038		DOSEN PEMBIMBING : Prof. TAMO, ST. MT. Ph.D NIP. 19703271997021001 Dr. Ir. HENDAKI S. A. MS NIP. 195823271980031004		REVISI	
JUDUL TUGAS AKHIR		JUDUL GAMBAR		SKALA		DIGAMBAR		DIPERIKSA		KODE GBR		NO. GBR	
STR		STR		STR		STR		STR		42		43	



GENERAL ASSEMBLY STAY CABLE SYSTEM SSI 2000

STRESSING END ANCHORAGE PYLON DRT 6-43

Ver 1 - 26.03.2002



Dimension according to SSI 2000 standard anchorage

(**) Bearing Plate dimension are valid for nominal concrete strength 45MPa (cube),
36MPa (cylinder) at the time of stressing

 Institut Teknologi Sepuluh Nopember		JUDUL TUGAS AKHIR		JUDUL GAMBAR		SKALA		DIGAMBAR		DIPERIKSA		REVISI			
DESAIN STRUKTUR JEMBATAN TRUSUK KABUPATEN BOJONEGORO DENGAN MENGUNAKAN METODE SEMI-HARP PATTERN CABLE STAYED		DETAIL ANCHORAGE PYLON 43		1 : 1		MAHASISWA : RIZAL NUR SYAMSU NRP. 3114105038		DOSEN PEMBIMBING : Prof. TAMO, ST, MT, Ph.D NIP. 19703221997021001 Dr. Ir. HENDAKI S. A., MS NIP. 19580221980031004		KODE GBR		NO. GBR		JUMLAH LBR	
										STR		43		43	

VSL SSI 2000 STAY CABLE SYSTEM



DESIGN
ENGINEERING
SUPPLY
INSTALLATION
MONITORING

VSL LEADS THE WAY WITH A NEW STAY CABLE TECHNOLOGY



Uddevalle Bridge – Sweden, 1998 Stay cables installed strand-by-strand and equipped with anti-vibration friction dampers.



Sunshine Skyway Bridge – USA, 1986 Supply of post-tensioning and stay cables. Cables anchored to the pylon by saddles and equipped with hydraulic dampers.

VSL, a specialist stay cable contractor

Leader in the field of post-tensioning and related engineering, VSL operates as a worldwide network through 40 subsidiaries located on 5 continents. Its post-tensioning systems have been used throughout the world since 1956, earning a well-merited reputation for their quality and efficiency.

The SSI 2000 system reflects VSL's development of stay cable technology to provide the best solution for ever-changing and complex engineering requirements. The system offers high fatigue resistance, excellent corrosion protection, cable force monitoring, as well as strand adjustability, inspectability and replaceability. VSL can now deliver even faster installation and erection cycles.

Increasing spanning dimensions

Because of their structural and economic advantages, more cable-stayed structures such as footbridges, bridges and suspended roofs have been built over the last 30 years. Achievable spans dimensions have also considerably increased.

Stay cables used to be factory-manufactured and assembled from parallel or locked coil wires. Then, a high-quality seven-wire prestressing strand was developed for stay-cable applications. It was used in prefabricated stay cables installed in bridges using heavy equipment. These strands are placed in a steel or HDPE pipe and protected by cement grouting. Since the performance of a cable-stayed structure essentially depends on its stay cable properties, it became necessary to improve the



technology and develop new, modern stay cable systems able to meet demands such as increased span lengths and durability.

Stringent new standards

Modern engineering is setting stringent new standards for cable-stayed bridge systems. Designers and authorities throughout the world are demanding:

- Increased stay cable durability: Critical factors are corrosion protection, good anchorage conditions, easy inspection and maintenance, replaceability and prevention of cable vibration.
- Outstanding fatigue and static load performance levels (200MPa and 300MPa stress range fatigue test for the SSI 2000 anchorage assembly and its components respectively).

- Improved aesthetics, such as the use of coloured cables.
- Integration of damping systems into the anchorage.

Main contractors benefit from optimal construction schedules thanks to:

- A design which takes into account the tight interaction between the deck erection and the stay cable installation.
- Light equipment for installation works, allowing easier operations and flexibility.

Clients benefit from integration of enhanced durability protection and easier long-term maintenance, which can provide clients with substantial savings.

The VSL SSI 2000 stay cable system is designed to meet these requirements.



Koshiki Daimyojin Bridge – Japan, 1993
Technical consultation and supply of the prefabricated stay cables.



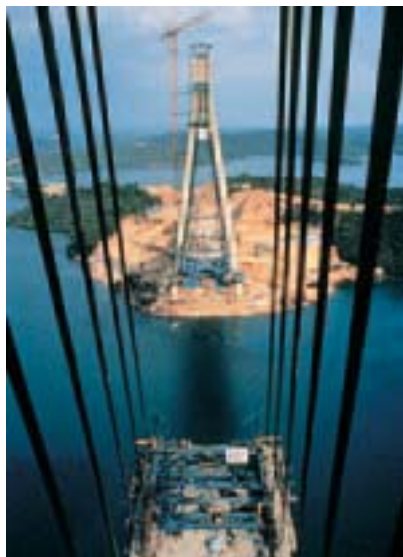
Alamo Dome Stadium Roof – USA, 1993 A typical use of stay cables for suspended roofs.



Ben Ahin Bridge – Belgium, 1988
Rotation of the entire bridge after stay cable installation.



Barrios de Luna Bridge – Spain, 1983
The cable strands are protected by grouting inside the stay pipe.



Batam Tonton Bridge – Indonesia, 1997
Package: design, supply and installation of stay cables, deck form-travellers and pylon formwork. Construction engineering for the superstructure construction.

VSL products and services

Stay cable structures provide owners and architects with a high level of design freedom. As a specialist stay cable contractor, VSL provides comprehensive technical assistance from the earliest stage of the preliminary studies right through to the detailed design and construction phases:

- consulting service to owners, engineers and contractors
- static analysis of the structure
- assistance in the dynamic analysis of cable vibrations and recommendation of solutions
- detailed design of the structure with optimised use of the stay cable system
- construction engineering
- geometry control during construction and final adjustment
- method statements for the construction of the structure and cable installation
- supply and installation of stay cables, with incorporation of monitoring and anti-vibration systems
- design and supply of special equipment such as formwork, launching truss, climbform, etc.
- products and services for inspection, maintenance and repair works.

VSL's capabilities, expertise and know-how are available to develop the best-adapted solutions in co-operation with all partners involved in the design, supply, installation and assembly of cable-suspended structures.

THE SSI 2000 SYSTEM'S FEATURES

Compatible with modern construction methods

Compact anchorages fully prefabricated in workshop, no anchorage component assembly on the deck, single strand installation with light equipment, easy force monitoring and adjustment.

Increased corrosion protection

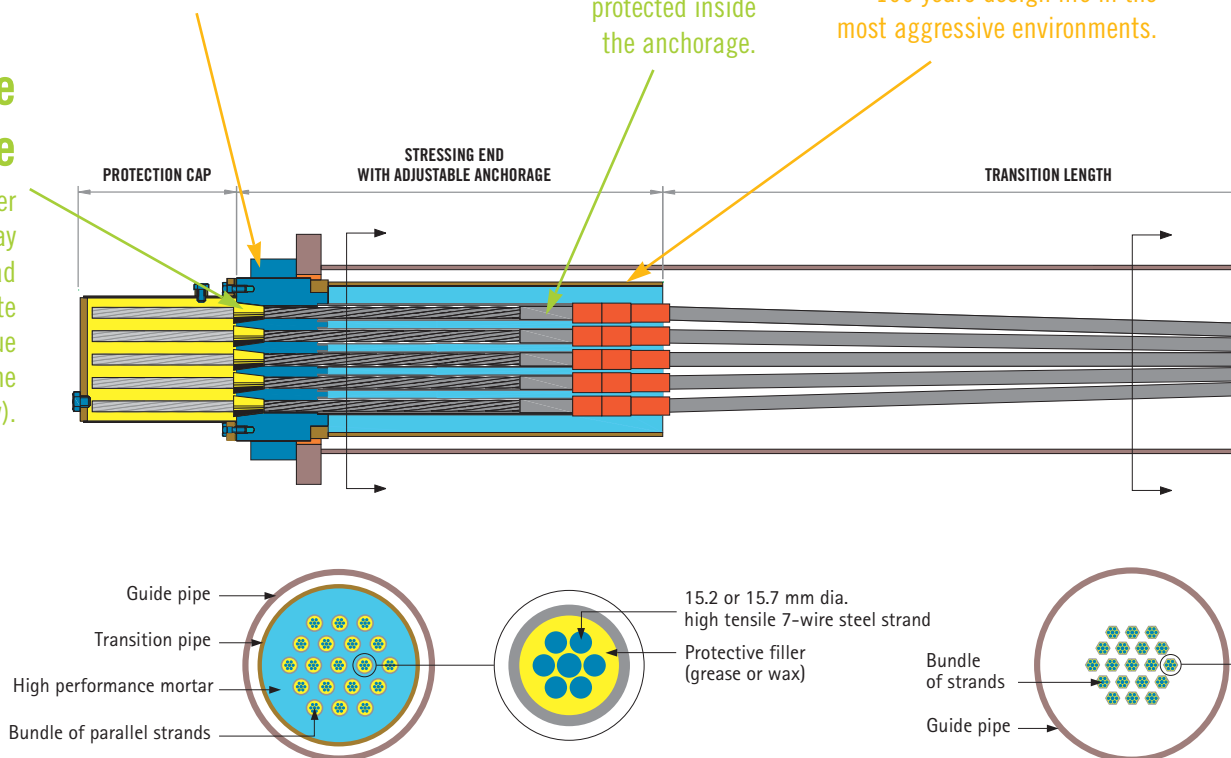
Factory-applied individual protection treatment, up to 100 years design life in the most aggressive environments.

Full encapsulation

Each strand separately protected inside the anchorage.

High fatigue resistance

200 MPa with an upper load of 45% of the stay capacity over 2×10^6 load cycles; excellent ultimate resistance after fatigue testing (min. 95% of the specified stay capacity).



SSI 2000: VSL STAY CABLE TECHNOLOGY FOR BRIDGES

The SSI 2000 stay cable system is based on the proven VSL stay cable wedge/strand anchorage technologies, which have been applied for over 20 years. Meeting the most stringent requirements, it has been used in more than 70 stay cable projects and successfully passed many full-scale tests.

Easier to use

The VSL SSI 2000 system is easier to use in all types of cable-stayed bridge designs. It incorporates multiple independent and hard-wearing protection layers to guarantee long-term performance. The system also allows

for easy inspection and, where required, cable replacement. It meets and often exceeds the requirements of the latest PTI recommendations for stay cable systems.

The system has been optimised to facilitate cable installation on site. Because it uses prefabricated anchorages, there is no anchorage component assembly on the deck or the pylon along the critical bridge erection path. These very compact anchorages permit easy installation in confined locations inside box girders or pylons. Single-strand installation and stressing are standard features of this system. The 15.2- or 15.7-mm diameter, high-tensile,

7-wire steel strand is the prime element of this stay cable. It is delivered as monostrand, i.e. greased or waxed and sheathed. The strand is factory-manufactured to VSL specifications. Either grease or wax is applied to fill the voids around wires. The strand is overlaid with a tightly extruded HDPE cover. While not required for durability, the SSI 2000 system can, on request, be delivered with a galvanised or other type of metallic coating.

Full individual encapsulation

The individual encapsulation of each strand avoids the risk of corrosion migration inside stay

Economical

Faster installation and erection cycles. Reduced maintenance.

Increased stay anchorage protection

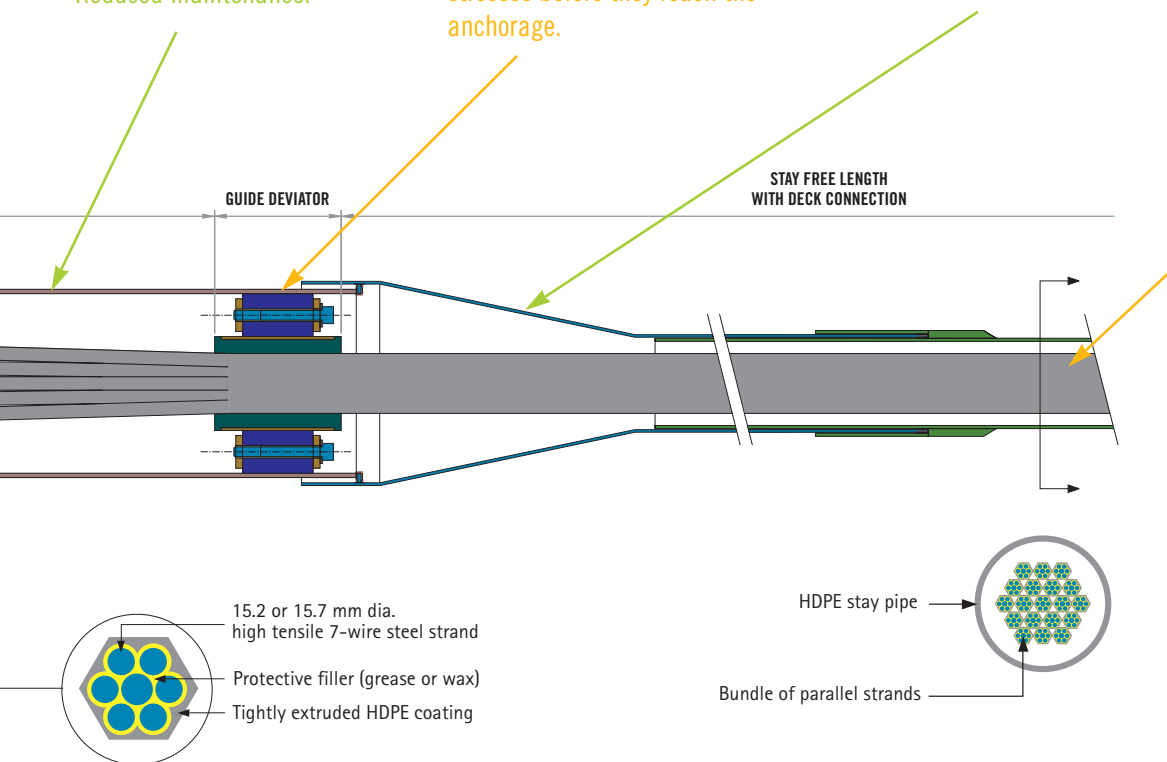
Deviator placed in the guide pipe provides an additional level of protection by filtering cable bending stresses before they reach the anchorage.

Versatile

Designed to receive in the future vibration damping systems (friction dampers) if necessary.

Replaceable strands

Ability to remove and to replace individual strands on demand.



cable areas that cannot be visually inspected. Full individual strand encapsulation is achieved by providing each strand with its own protection tube and sealing details in the anchorages. The performance of the seals can be checked at any time during the design life of the stay. This special sealing system also ensures full protection of the strand during the construction phase. The SSI 2000 system guarantees that the quality of the factory-applied individual protection treatment is maintained over the entire length of the strand: from wedge to wedge, and next to wedges where the protection treatment needs to be removed during installation.

Protections for higher durability

Anchorage details are designed to filter vibration and bending stresses in the cable before they reach the wedge anchorage. The deviator placed inside the guide pipe provides the anchorage with an additional level of protection from imposed cable rotations. The corrosion protection systems on the anchorages have been designed to provide up to 100 years of design life in the most aggressive environments.

Options

In its standard configuration, the VSL SSI 2000 stay cable system is delivered with its

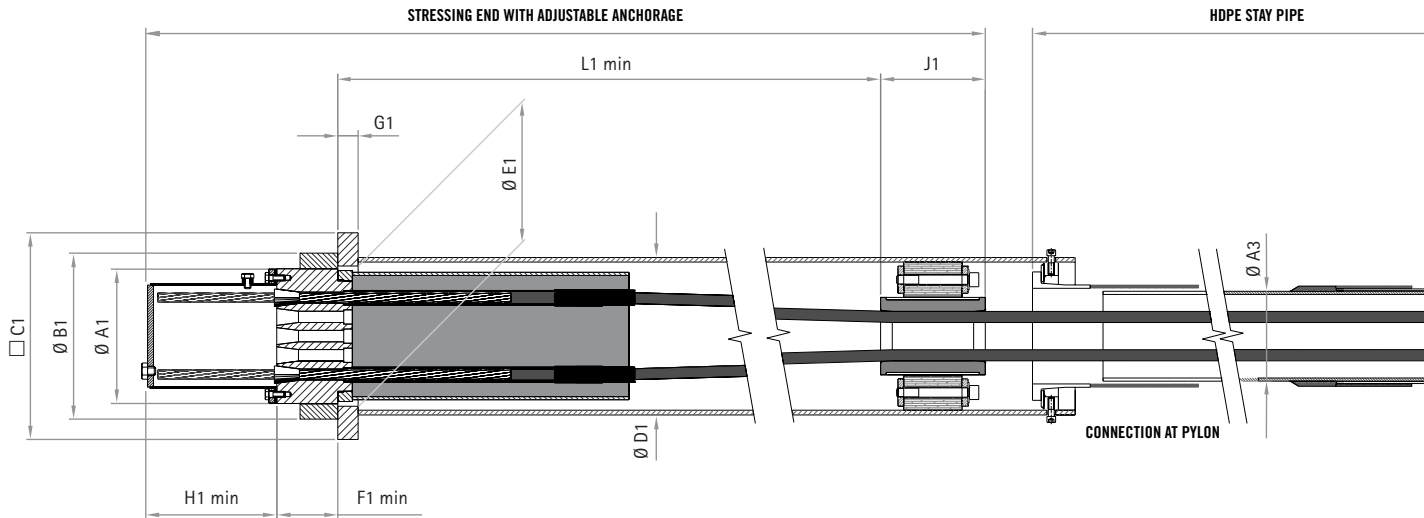
monostrands positioned inside a black HDPE stay pipe but without any metallic coating. It does not require grouting over the free length. The system can be supplied with a number of options, including: use of metal-coated (i.e. galvanised) monostrands; coloured HDPE stay pipe (co-extruded or fully coloured); special helical anti-vibration ribs on the stay pipe; stabilizing cables; special anti-vibration damper next to one end of the cable, generally at deck level for easy maintenance and designed to provide high performance and easy installation on both on new and existing bridges.

VSL SSI 2000 MAIN DIMENSIONS

SSI 2000 STRESSING AND ANCHORAGE
FOR 127 TENDON UNIT (PAPENDORPSE BRIDGE)



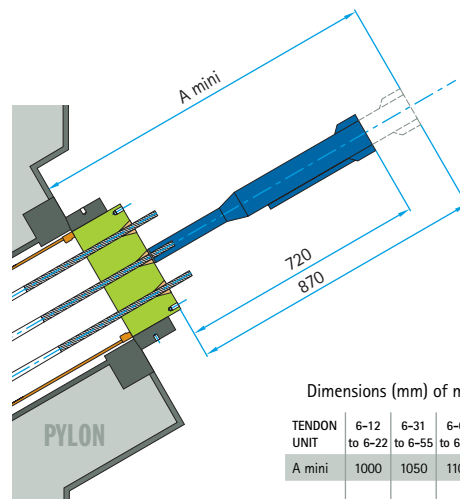
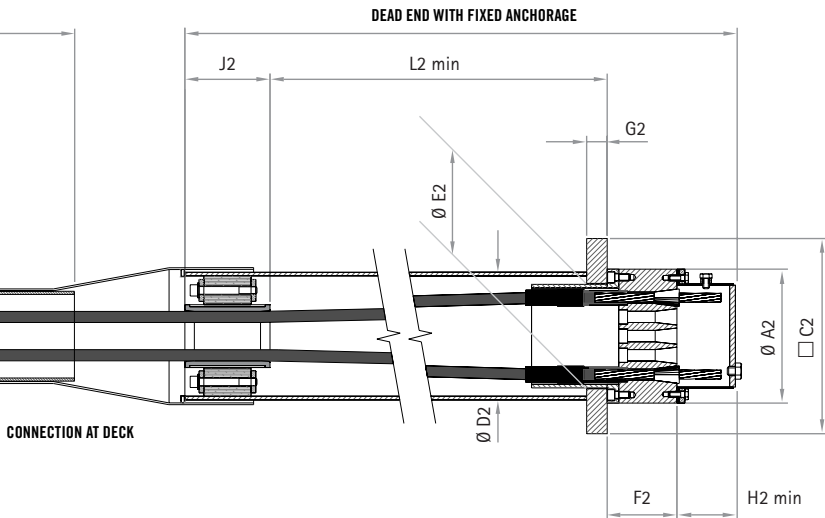
SSI 2000
DEAD END ANCHORAGE



Stay

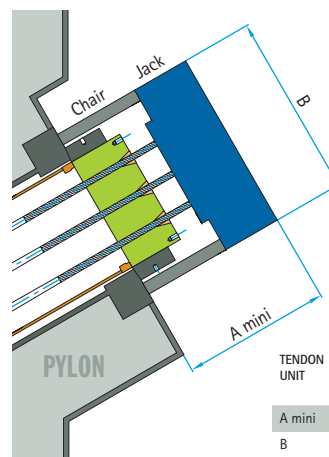
Stressing End

TENDON UNIT	Number of strands n	Minimum breaking load kN ¹	Force at 45% kN	Transverse force kN ²	TENDON UNIT	Ø A1 mm	Ø B1 mm	C1 mm ³	Ø D1 mm ⁴ ⁵	Ø E1 mm	F1 min mm ⁵	G1 mm ³	H1 min mm ⁶	J1 mm	L1 min mm
6-12	12	3,348	1,507	50	6-12	190	230	290	219.1/6.3	196	85	30	235	160	1,500
6-19	19	5,301	2,385	80	6-19	235	285	355	267/6.3	241	100	35	245	180	1,750
6-22	22	6,138	2,762	90	6-22	255	310	385	298.5/7.1	261	110	40	245	210	1,900
6-31	31	8,649	3,892	130	6-31	285	350	440	323.9/7.1	291	130	45	275	210	2,100
6-37	37	10,323	4,645	150	6-37	310	380	485	355.6/8.0	316	140	50	295	210	2,300
6-43	43	11,997	5,399	180	6-43	350	425	540	406.4/8.8	356	145	55	305	210	2,550
6-55	55	15,345	6,905	230	6-55	385	470	585	419/10	391	165	60	325	260	2,650
6-61	61	17,019	7,659	250	6-61	385	470	600	419/10	391	180	65	345	260	2,850
6-73	73	20,367	9,165	300	6-73	440	530	680	508/11	446	180	75	345	290	3,050
6-85	85	23,715	10,672	350	6-85	440	540	710	508/11	446	210	80	375	290	3,150
6-91	91	25,389	11,425	375	6-91	490	590	760	559/12.5	496	195	80	385	320	3,400
6-109	109	30,411	13,685	450	6-109	505	610	795	559/12.5	511	215	90	400	320	3,550
6-127	127	35,433	15,945	525	6-127	560	670	865	610/12.5	566	255	95	410	340	3,950



Dimensions (mm) of monostrand jack.

TENDON UNIT	6-12 to 6-22	6-31 to 6-55	6-61 to 6-85	6-91 to 6-109	6-127
A mini	1000	1050	1100	1150	1200



Dimensions (mm) of multistrand jack and chair.

TENDON UNIT	6-12 to 6-19	6-22 to 6-37	6-31 to 6-43	6-55 to 6-61	6-85 to 6-91	6-109 to 6-127
A mini	1000	1000	1100	1200	1300	1350
B	490	620	620	780	780	970

Dead End

TENDON UNIT	ØA2 mm	C2 mm	ØD2 mm	ØE2 mm	F2 mm	G2 mm	H2 min mm	J2 mm	L2min mm	ØA3 mm	TENDON UNIT
6-12	185	260	177.8/4.5	150	105	35	105	160	900	125/4.9	6-12
6-19	230	335	219.1/6.3	190	120	50	105	180	1,200	140/5.4	6-19
6-22	250	355	219.1/6.3	205	120	50	105	210	1,350	160/6.2	6-22
6-31	280	415	244.5/6.3	230	145	60	105	210	1,550	160/6.2	6-31
6-37	300	455	273/6.3	255	170	70	105	210	1,750	180/5.6	6-37
6-43	340	505	323.9/7.1	285	175	75	105	210	2,000	200/6.2	6-43
6-55	380	550	323.9/7.1	310	195	75	105	260	2,050	200/6.2	6-55
6-61	380	585	355.6/8	330	215	85	105	260	2,250	225/7.0	6-61
6-73	430	650	406.4/8.8	370	215	95	120	290	2,450	250/7.8	6-73
6-85	430	685	406.4/8.8	370	245	110	120	290	2,600	250/7.8	6-85
6-91	480	730	457/10	420	255	110	120	320	2,800	280/8.7	6-91
6-109	495	775	457/10	420	265	120	120	320	3,000	315/9.8	6-109
6-127	550	845	508/11	475	315	130	120	340	3,350	315/9.8	6-127

Stay Pipe

- Forces are indicated for strand EN 10138-3 1860S7 - 16.0 (Euronorm).
- Admissible transverse force on the standard guide deviator.
- Valid for nominal concrete strength at stressing to 45% of stay capacity: 45 MPa (cube), 36 MPa (cylinder). Dimension must be checked in case of other bearing condition.
- External diameter/wall thickness.
- Minimum height of anchor head allows an adjustability of 40 mm.
- Dimensions valid for load monitoring/adjustment with multi-strand jack.
- Non-grouted stay.
- Guide pipe to be checked for the actual transverse force.

SSI 2000, A NEW CONCEPT FOR DURABILITY

Today, bridges are generally designed for a life up to 100 years, and some constraints (traffic, maintenance, concession, ...) are becoming increasingly more demanding. Since durability is one of the most important requirements for a stay cable system, VSL has given special attention to the corrosion protection of anchorages and of stay cables between anchorages.

Up to 100-year design life

To meet future specifications for high durability in the most aggressive environments, the corrosion protection of the anchorages has been rationalised to provide up to 100-year design life in such environments. These are defined by the categories C4 and C5 in the ISO 12944 standard.

During this 100-year design life, the first maintenance operations on the accessible or replaceable components will be scheduled after 15 or 25 years, and subsequent maintenance operations every 15 years. Inaccessible parts have a protection system for the entire design life without maintenance.



(A) John Paul II (Marta Wisla) Bridge – Poland, 2001
Red stay pipe with helical rib.

Effective corrosion protection

The procedure to define the most effective corrosion protection for each component of the SSI 2000 anchorage was based on:

- a) Definition of the design life of the stay cable.
- b) Corrosivity aggressiveness.
- c) Analysis of particular details of the anchorage which may affect the choice of the corrosion protection (e.g. threaded parts).
- d) Ability to replace components during maintenance operations.
- e) Accessibility to components for maintenance works.
- f) Analysis of the galvanic corrosion.
- g) Identification of different corrosion protection systems with the required durability according to the environment. Selection of the most suitable corrosion protection systems.
- h) Definition of the maintenance programme covering the whole service life of the bridge.

Accessibility of components

The components of the anchorage have been classified in two categories, according to their accessibility during maintenance:

- The components that can be replaced or that are easily accessible: The protection system shall last the specified design life of the stay cable with regular maintenance operations, typically at intervals of 15 to 25 years.
- The components that are not accessible: The protection system shall last the specified design life of the cable without maintenance (50 or 100 years).

VIBRATION CONTROL: 3 OPTIONS WITH SSI 2000

Cable vibration remains a critical issue for the further development of cable-stayed bridges.

The VSL SSI 2000 system is adapted to receive three optional types of cable vibration control solutions which complement or replace the standard guide deviator:

- **Helical ribs: the stay pipe can be equipped with external helical ribs (A), (B).**
- **Friction dampers: they can be placed near the deck and fixed to the guide pipe (C),**
- **Stabilizing cables: they can interconnect the stay cables.**

The stay pipe with helical ribs has to be installed during the construction of the bridge. The two other solutions can be installed later should vibration problems occur. It is however advisable to include certain connection details during the bridge design stage in order to allow installation of dampers or stabilizing cables at a later date. VSL can provide information to meet the requirements of specific projects.

The SSI 2000 system allows the VSL friction damper to be easily installed on the stay cable in case of unexpected cable vibrations years after erection/construction. The damper can be adapted to suit existing structures where cables are subjected to unexpected vibrations resulting from new environmental conditions.



(C) Uddevalla Bridge – Sweden, 1998 Friction damper at installation.

(B) Uddevalla Bridge – Sweden, 1998
White stay pipe with helical rib.

SINGLE STRAND INSTALLATION WITH A

The concept underlying the system is the Single Strand Installation (SSI). Experienced technical staff will adapt and implement VSL standard method statements for the stay cable installation to any specific project, anywhere in the world.

1 - Stay pipe erection

The stay pipe is generally prefabricated on the deck and prepared (A) with the first strand installed (B). This strand is connected at both ends to the anchorages and then stressed to support the stay pipe. Given the reduced weight of the stay pipe with the strand, this is a quick and easy operation using light erection equipment.

2 - Pulling of strands

Once the stay pipe is erected, one or two strands at a time are pulled through the stay pipe, connected to the anchorages and individually stressed. This installation method ensures that all strands are parallel. The pulling equipment (C), typically a winch, can be placed at the top of the pylon or alongside the pylon, or on the deck, if strand installation is taking place at the same time as the pylon construction.



(D) WORK BENCH FOR STRAND PREPARATION

For small cable lengths and for more flexible erection organisation, strands can be prepared, cut to length and stored on the deck before being pulled through the stay pipe. The standard solution is to prepare the strand during its installation, with the strand coil placed in a dispenser on the deck (D).

The strand is then pulled through to a work bench (E), near the deck anchorage, for preparation prior to being pulled up through the stay pipe to the pylon anchorage by means of a winch. The repetition in this method allows a high level of productivity.

(B) LIFTING OF STAY PIPE

STANDARD PROCEDURE



(A) STAY PIPE PREPARATION

3 - Individual stressing with AMS control

Single strand installation with light erection equipment – the monostrand jack (F) weighs less than 20 kg – allows strands to be tensioned one by one. Today, increased flexibility of the structures requires more stay stressing operations during construction. To meet these requirements, VSL has developed the Automatic Monostrand Stressing System (AMS). The main control box (G) of the AMS is connected to the stressing jack and to the hydraulic pump equipped with sensors and transducers. Input parameters of each cable stressing operation can be pre-set on a floppy disk and loaded in the computer of the AMS. The AMS processor controls and registers all the parameters of the stressing operation. Results can be saved and processed for later stages.

(E) STRAND COIL DISPENSER



4 - Tensioning and final tuning

All stressing operations, including the final tuning, can be carried out using the AMS monostrand jack (F). The final tensioning of the cable will be generally achieved after 2 to 3 operations. The first stressing operation is achieved during the strand installation. Each strand of the cable is stressed with the AMS to a specific force level so that the cable has the force



(G) THE VSL AUTOMATIC MONOSTRAND STRESSING SYSTEM (AMS)



(C) PULLING EQUIPMENT

specified by the engineer and all the strands have the same tension. The automatic lift-off programme of the AMS detects, displays and can save the individual strand forces. In the subsequent stressing operations, each strand is stressed to the same elongation specified by the engineer. These iso-elongation operations are controlled by the AMS sensors to ensure the strands have the same elongation. Once all cables have been installed, the final tuning of the stays is generally combined with the geometry control of the deck.

De-tensioning

Stay installation methods should preferably be engineered to avoid any cable de-tensioning. When a final de-tensioning operation is unavoidable, it is performed using the compact VSL stay multistrand jack (see p.7).



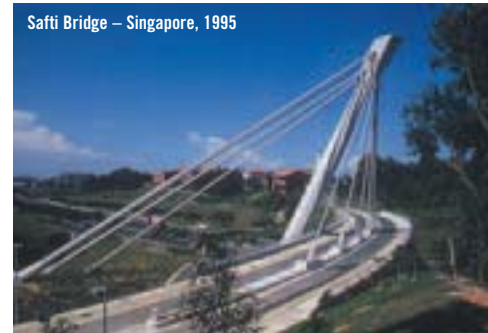
(F) LIGHTWEIGHT STRESSING EQUIPMENT

RELIABLE VSL TECHNOLOGY FOR ALL STAY CABLE ARRANGEMENTS

In the process of designing a cable-supported bridge, the choice of the cable system is one of the most decisive factors. The cable arrangement at tower level has a great influence on both the aesthetic and economic aspects of the project. Here are some experience.



Wadi Leban Bridge – Saudi Arabia, 1997



Safti Bridge – Singapore, 1995

Pylon arrangement

The shape of the tower varies depending on whether the cables lie in one or two planes. An inclined pylon can be stabilised by back-stay cables. This is an example of diversity in design.



River Leven – UK, 1995

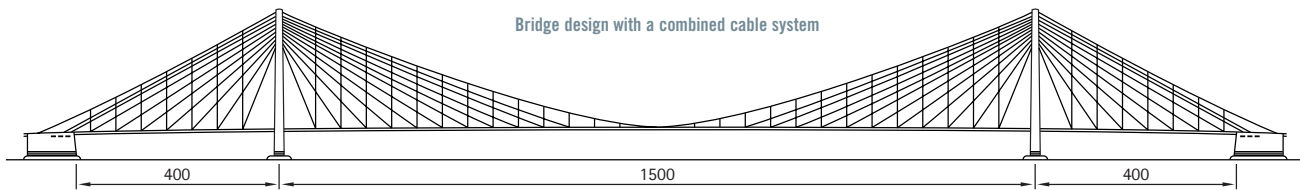
Connection below or above the deck

For concrete decks, the anchorage is generally placed below the deck. A guide pipe goes through the deck. This pipe can also be used to receive a vibration damping system. However, access platforms beneath the deck are needed for stressing and maintenance operations. For steel or composite decks, the anchorage can be placed above the deck. This solution makes cable erection and anchorage inspection easier, but it is not suitable for stressing at the deck level.

Anti-vandalism system

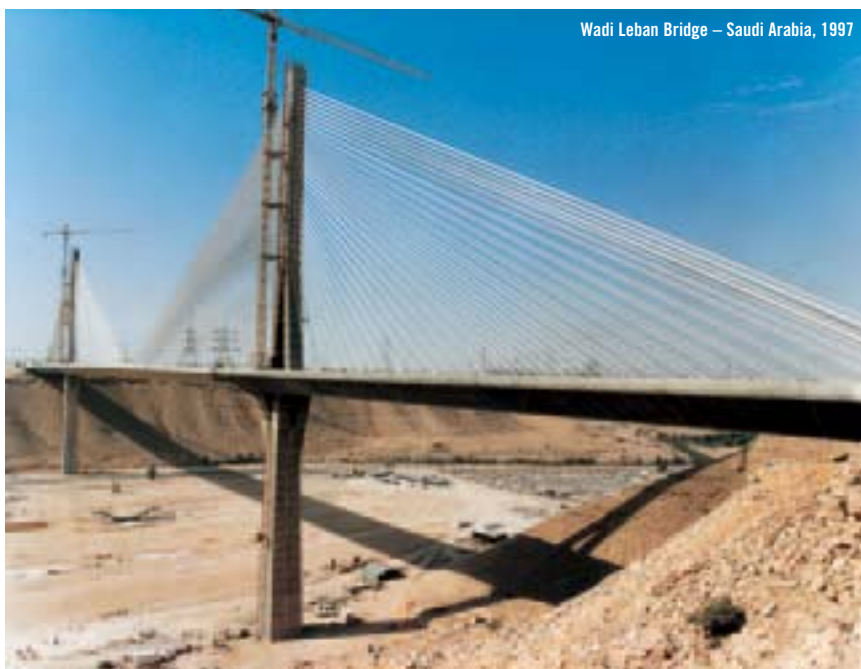
In some cases, the stay-cable deck connection has to be protected from potential damage caused by traffic accidents, vandalism and fire. Protection details vary from one project to another.





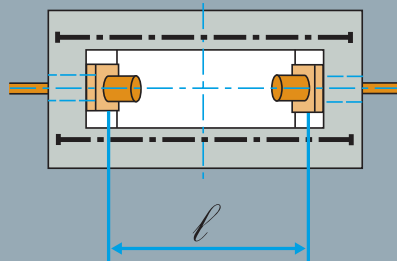
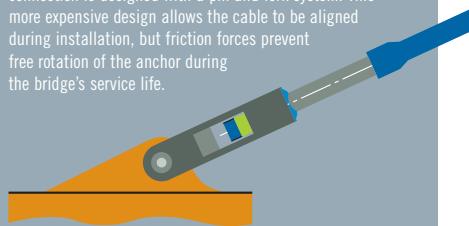
Saddle design

The design of cable-stayed structures using saddles can be aesthetically attractive. Saddle designs have to comply with the high fatigue and static resistance requirements specified for the anchorages. In some bridges, the saddles are designed to allow for cable replacement. The cable installation methods must adapt to the design of the saddle.



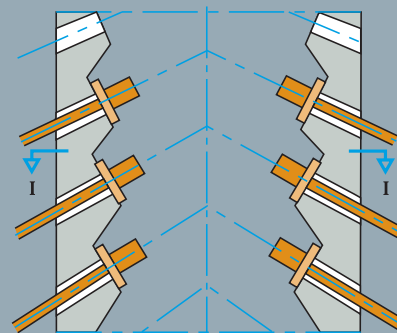
Pin and fork system

For some steel or composite decks, the stay-cable connection is designed with a pin and fork system. This more expensive design allows the cable to be aligned during installation, but friction forces prevent free rotation of the anchor during the bridge's service life.

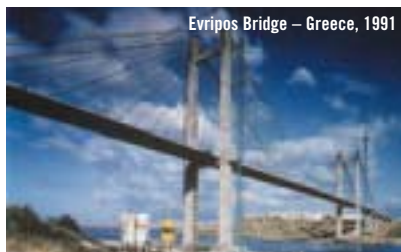


Minimum clearance

Care needs to be taken if the stressing anchorages are placed inside the pylon. A minimum clearance (l) is generally required for the installation and stressing of the cables. Although the recommended minimum clearance between facing stressing anchorage bearing plates is about 3.5 m, access conditions still have to be considered.

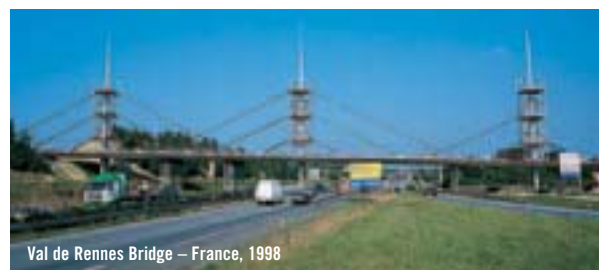


Axial or lateral planes
The stay cable can be arranged in one or two axial planes or in two lateral planes. The distance between the deck attachments must take into account the deck erection method. The cable size should be limited to allow easier replacement.

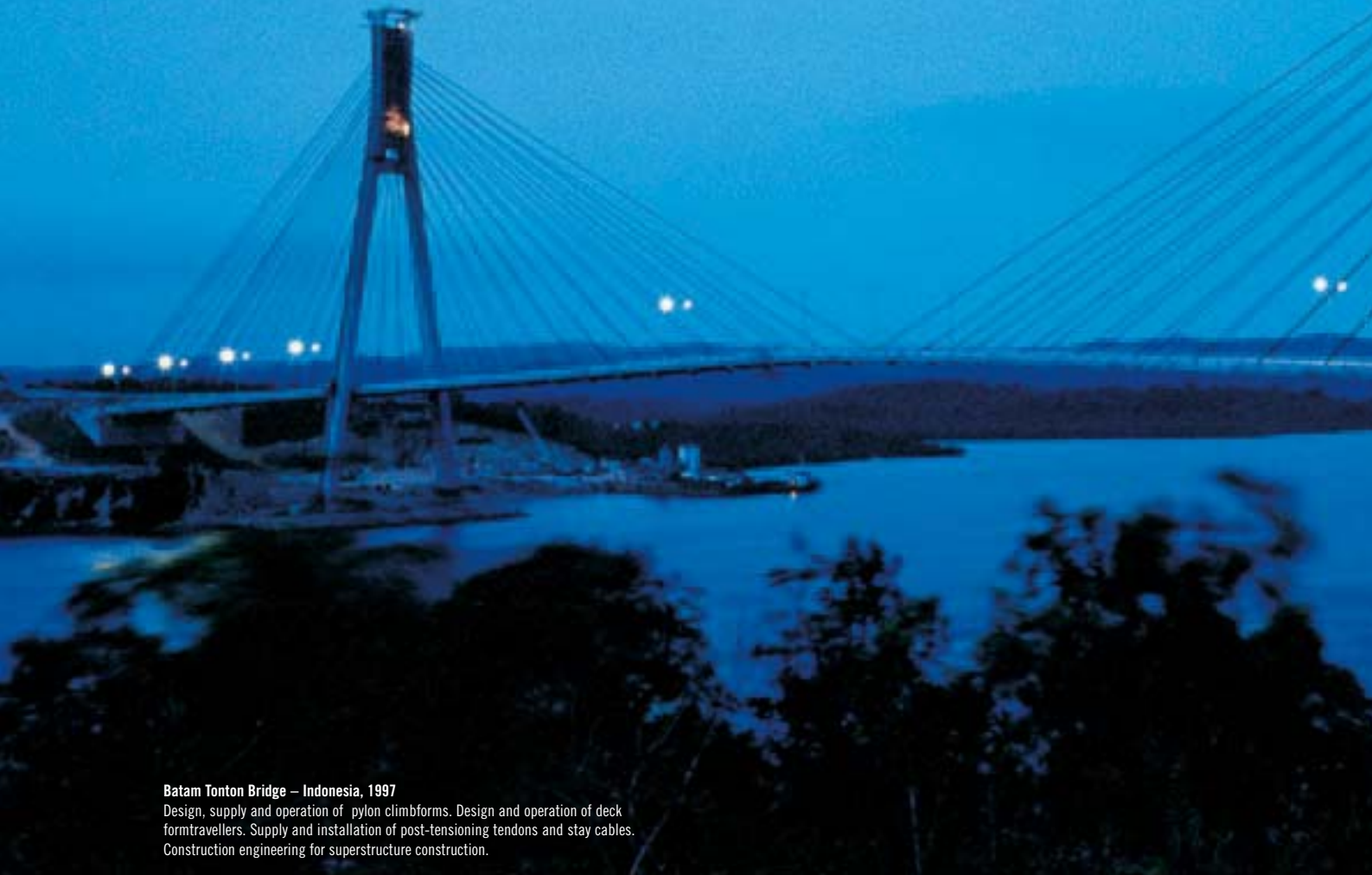


Fan and semi-fan systems

In the fan system, the cables are distributed over the upper part of the pylon. In the harp system, the stay cables are parallel with one another. With the pure fan system, all cables run from the bridge deck to a single point at the top of the tower. Most cable-stayed bridges use the semi-fan system because of its efficiency and the high level of geometrical freedom that it provides. Fan and semi-fan arrangement. To extend the practical span range of cable-supported bridges, a combination of suspension and cable-stayed systems could be used.



OVER 90 STAY CABLE BRIDGES IN 20



Batam Tonton Bridge – Indonesia, 1997

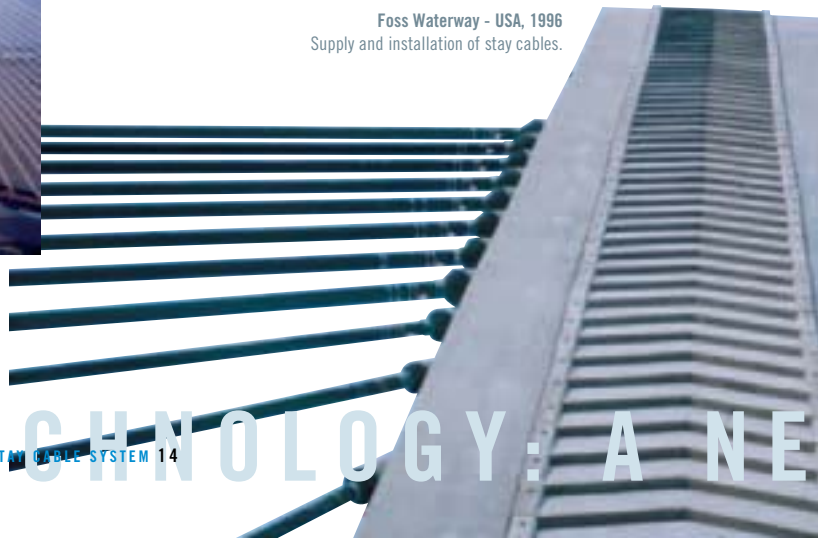
Design, supply and operation of pylon climbforms. Design and operation of deck formtravellers. Supply and installation of post-tensioning tendons and stay cables. Construction engineering for superstructure construction.



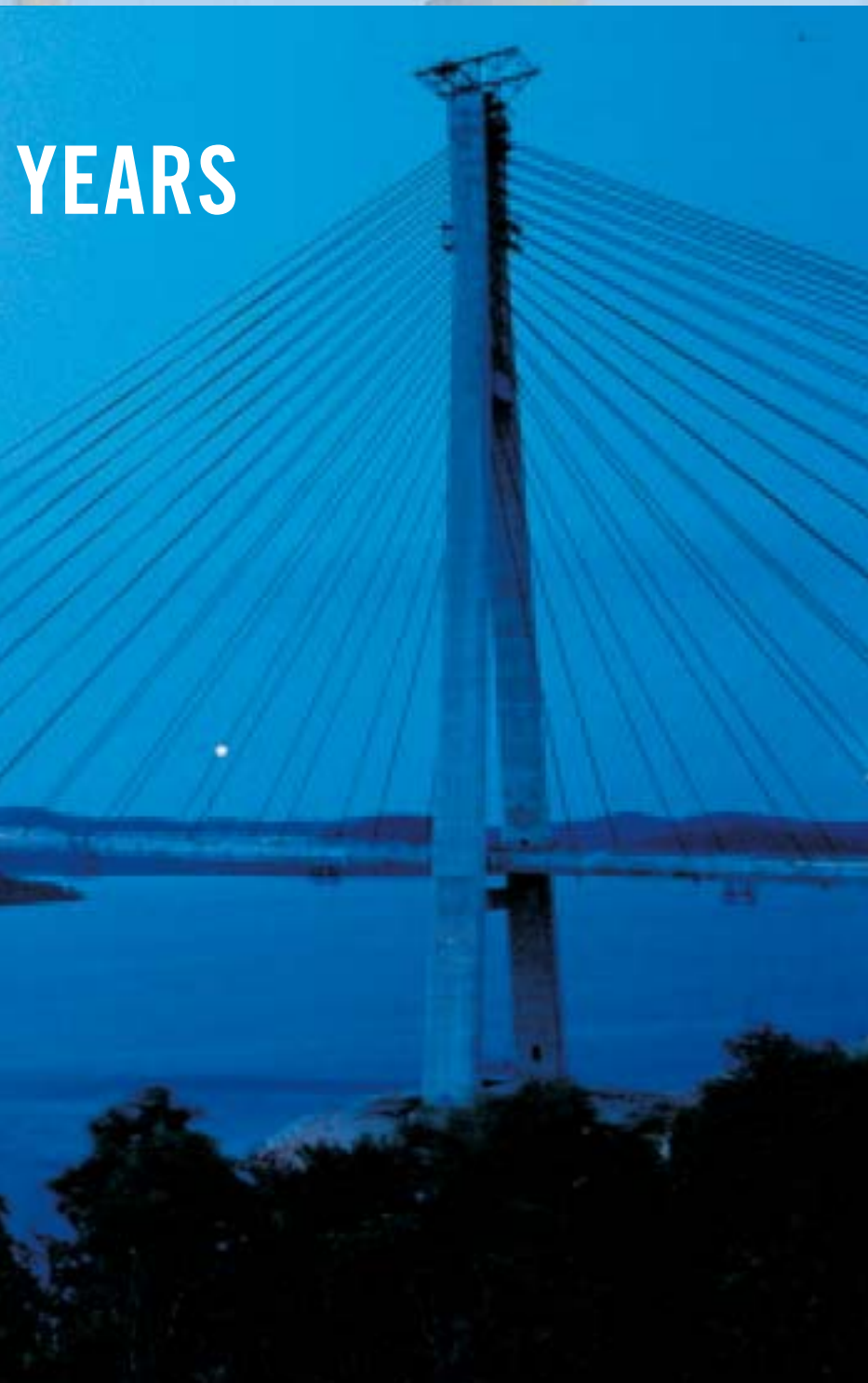
Yichong Yiling Bridge, Hubei – RPC, 2001

Supply of stay cable system, erection equipment, stay cable engineering, site management and site supervision.

Foss Waterway - USA, 1996
Supply and installation of stay cables.



YEARS



Ching Chau Min Jiang Bridge – China, 1999
Supply and strand-by-strand installation of cables (2 400 t), with a 605m-long main span.



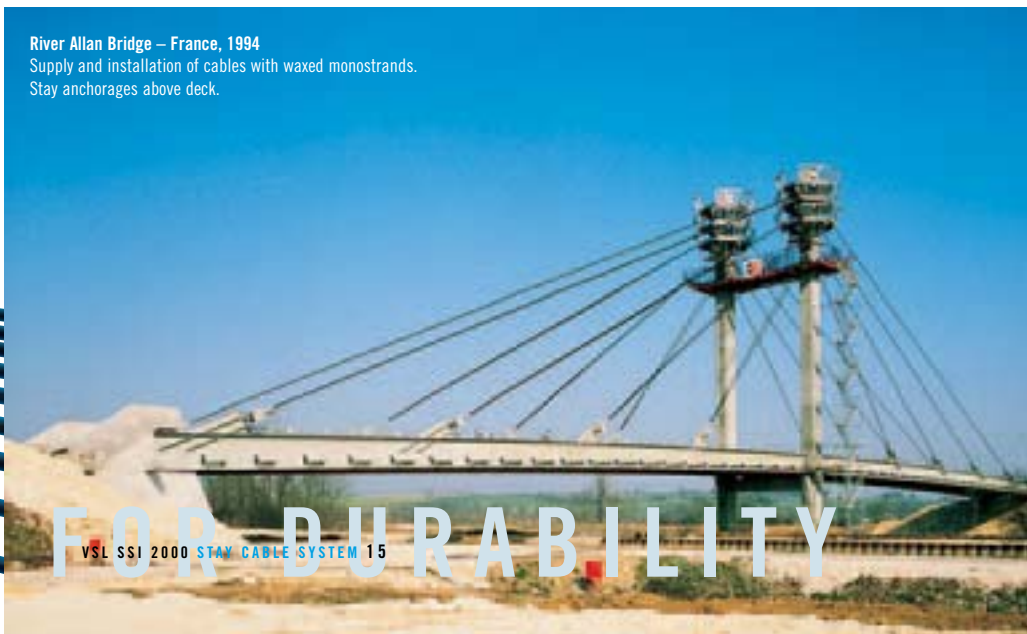
Maysville Bridge – USA, 1998
Supply of stay cables and technical supervision for installation.



River Ebro Bridge – Spain, 1978
Supply of stay cables, installation in cooperation with main contractor.

River Allan Bridge – France, 1994
Supply and installation of cables with waxed monostrands.
Stay anchorages above deck.

W CONCEPT



FOR DURABILITY

OVER 90 STAY CABLE BRIDGES IN 20 YEARS



Pakse Bridge – Laos, 2000

Production and erection of the precast segmental deck, including: design, supply and operation of casting cells and launching gantry; construction of cast-in-situ pier tables; geometry control; supply and installation of post-tensioning and stay cables.





Centenario Bridge – Spain, 1991
Supply of the stay cables. Supervision at the installation.



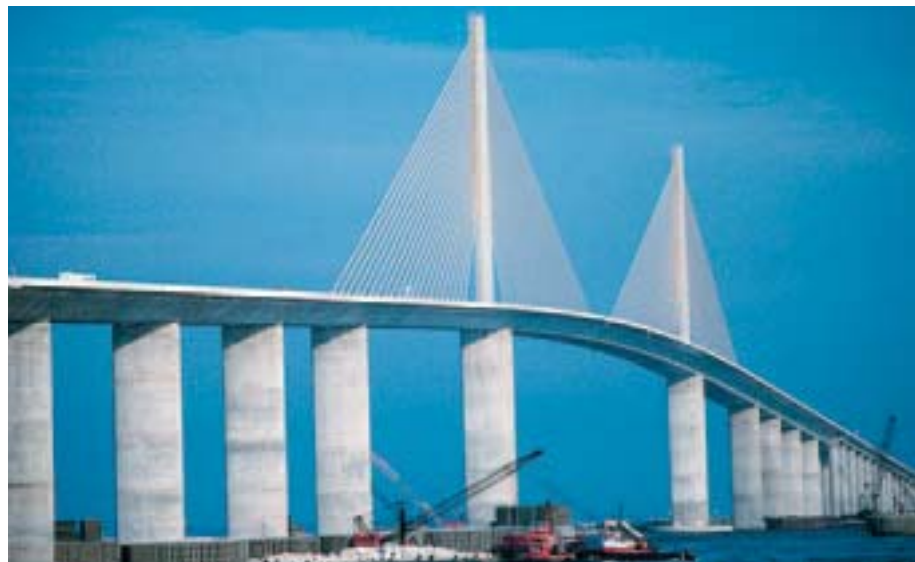
Do Comboio Viaduct – Portugal, 1999
Supply and strand by strand installation of stay cables.
Supply of pot bearings and joints.



Houston Ship Channel Bridge – USA, 1995
Supply of stay cables and supervision at installation.



Chongqing Maxangxi bridge– RPC, 2001
1455 tons of stay cables.
First bridge project in China using SSI 2000.



Sunshine Skyway, Florida – USA, 1986
Supply of post-tensioning and stay cables.



Viaduto de Corujeira – Portugal, 2001
Supply and installation of stay cables and post-tensioning.

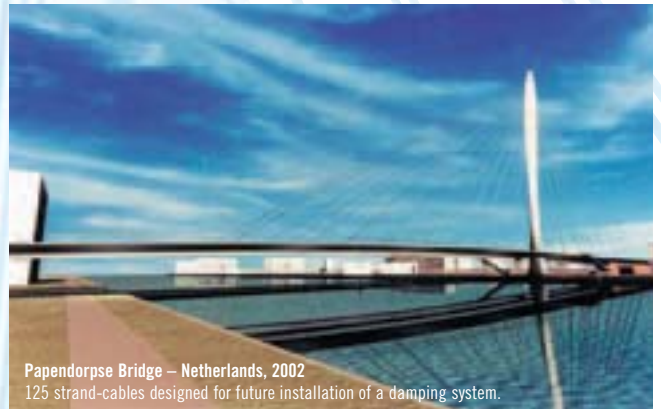
SSI 2000: TODAY'S STATE-OF-THE-ART TECHNOLOGY FOR THE FUTURE



Neva Bridge – Russia, 2002
Supply and installation of cables.



Puente Europa – Portugal, 2002
Design, supply and installation of post-tensioning.
Supply and installation of SSI 2000 stay cables.



Papendorpse Bridge – Netherlands, 2002
125 strand-cables designed for future installation of a damping system.



Puente de la Unidad – Mexico, 2003
In a 50/50 JV, VSL will provide project management, complete technical and method support and part of the production management. VSL Mexico will also supply and install the post-tensioning, and the SSI 2000 stay cable system.



Kien Bridge – Vietnam, 2003
Supply of bearings, supply and installation of SSI 2000 stay cables.

STAY CABLE SYSTEMS ADAPTED TO ALL TYPES OF SUSPENDED STRUCTURES



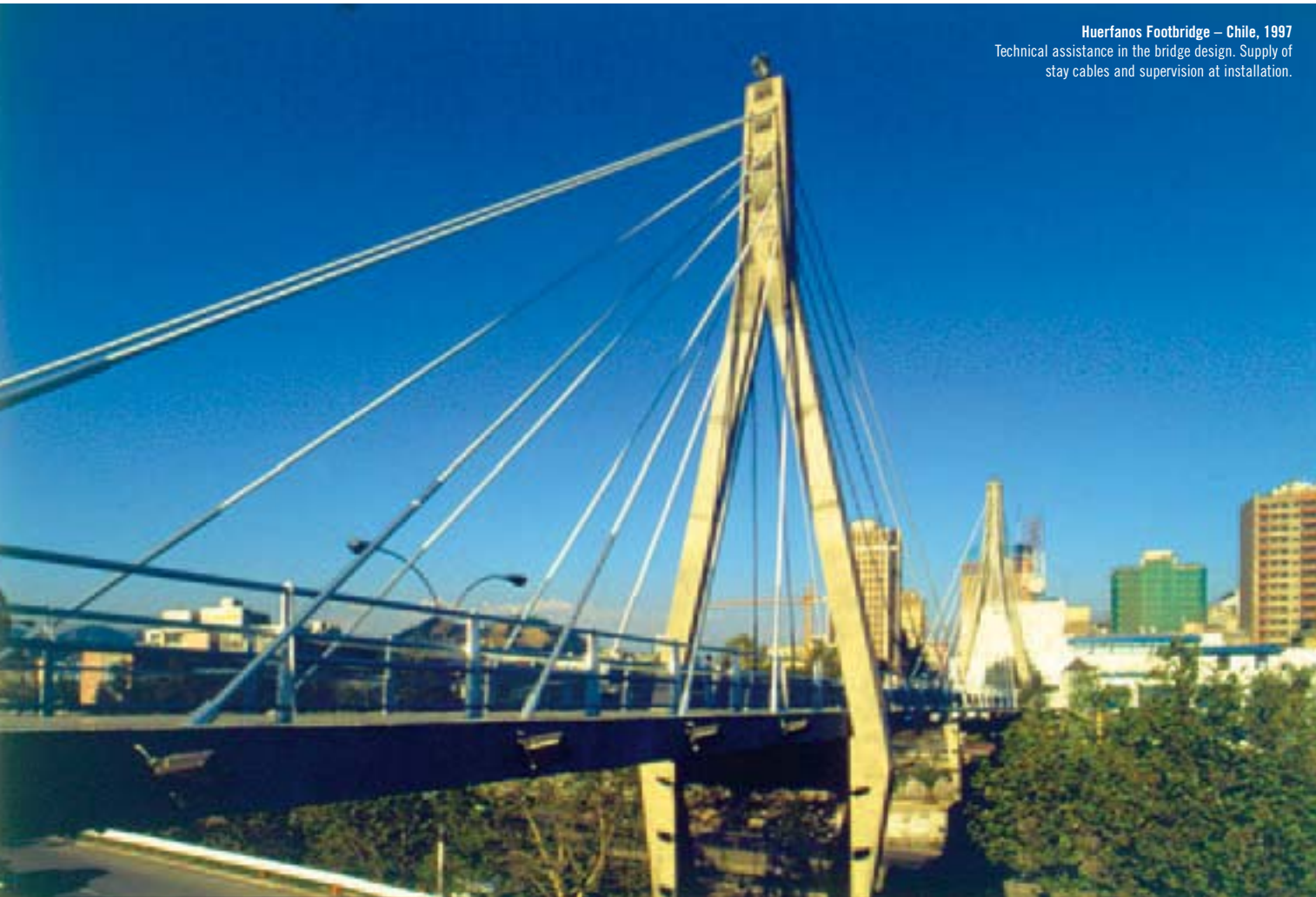
Las Glorias Footbridge - Spain, 1991
Supply of the stay cables and supervision at installation.

Cable-stayed structures are frequently used for small structures such as short-span pedestrian bridges. Because of their structural elegance, economic advantages and level of design freedom, more cable-stayed structures such as bridges and suspended roofs have been built over the last 30 years. Potential span have also considerably increased.

Riverview pedestrian Bridge, Queensland - Australia, 1992
Stressbar stay cables.



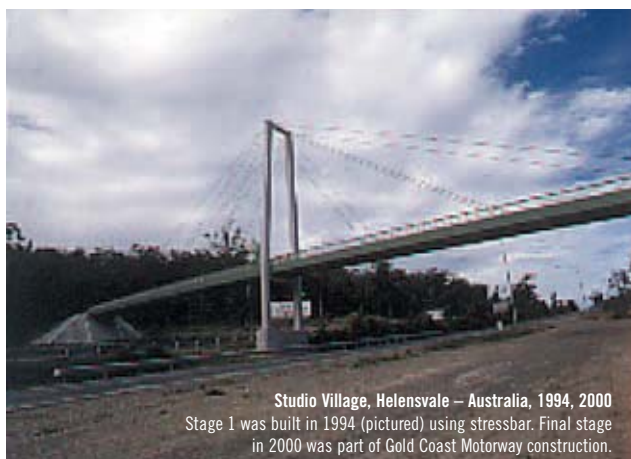
Washington Dulles International Airport - USA, 1996
Cable suspended roof.



Huerfanos Footbridge – Chile, 1997
Technical assistance in the bridge design. Supply of stay cables and supervision at installation.



Liebrüti Footbridge – Switzerland, 1978
Supply and installation of stay cables.



Studio Village, Helensvale – Australia, 1994, 2000
Stage 1 was built in 1994 (pictured) using stressbar. Final stage in 2000 was part of Gold Coast Motorway construction.



Ederval Bridge – Portugal
Supply of the stay cables. Supervision at the installation.

Seonyu Footbridge, South Korea
A world's first in Ductal®



Pot bearings.

Marga-Marga project, Chile
VSoL® walls for channelling of a river.



West-Rail Rail Link - Hong Kong
Erection works.



N'Kossa barge - France
Post-tensioning for special projects.



Normandy Bridge – France
Heavy lifting.



Groene Hart – Netherlands
108 columns anchored at a 50-m-depth.

THE VSL NETWORK

World-wide support.

Through 40 subsidiaries established on 5 continents, VSL operates as a world-wide network in the field of post-tensioning and related engineering. The group handles all PT works with its own personnel and equipment, and provides appropriate technical consultancy and support, both during planning and on site. Assistance can range from project planning to complete final designs, construction engineering and on-site activities.

PT, stay cables and foundations.

In addition to Post-tensioning and stay cables for buildings and civil engineering projects, the group's scope of works covers Deep foundations, Geotechnics, Monitoring and repair, Structural products, and Packages. VSL broadened its activities in 2001 with deep foundation and soil engineering activities by joining up with Intrafor.

Company values for adequate solutions.

All companies benefit from the unique international exchange of know-how within the VSL group network. All managers are entrepreneurs with good knowledge of local markets willing to provide adequate solutions and top quality services to customers.





Malley Ice Hockey Stadium Lausanne – Switzerland, 1984
Supply of the stay cables.



Borlange roof – Sweden
Concrete roof suspended with stay cables from two steel pylons. Supply of the stay cables.



Arrigorriaga Footbridge – Spain, 1986
Supply of stay cables and supervision at installation.



Bridge over Guadiana River – Spain
Supply of the stay cables, supervision at the installation.



Jubilee Fo Tan Footbridge - Hong Kong, 1988
Supply and installation of stay cables.



Trellins Bridge – France
Temporary stays during arch construction.
Supply and installation of the stay cables.

VSL-INTRAFOR LOCATIONS

www.vsl-intrafor.com

HEADQUARTERS

VSL International Ltd.
Scheibenstrasse 70 - Bern
CH-3014 - Switzerland
Phone: +41 32 613 30 30
Fax: +41 32 613 30 55

Americas

ARGENTINA

VSL Sistemas Especiales de
Construcción Argentina SA
BUENOS AIRES
Phone: +54 - 11 - 4393 - 28 07
Fax: +54 - 11 - 4326 - 26 50

CHILE

VSL Sistemas Especiales de
Construcción S.A.
SANTIAGO
Phone: +56 - 2 - 233 10 81
Fax: +56 - 2 - 233 67 39

MEXICO

VSL Corporation Mexico S.A de C.V.
MEXICO
Phone: +52 - 5 - 396 86 21
Fax: +52 - 5 - 396 84 88

UNITED STATES

VStructural LLC
BALTIMORE, MD
Phone: +1 - 410 - 850 - 7000
Fax: +1 - 410 - 850 - 4111

Middle East

UNITED ARAB EMIRATES

VSL Middle East Office
DUBAI
Phone: +971 - 4 - 282 08 03
Fax: +971 - 4 - 282 94 41

Africa

SOUTH AFRICA

VSL Systems (South Africa) Pty. Ltd.
Kya Sand, RANDBURG
Phone: +27 - 11 - 708 21 00
Fax: +27 - 11 - 708 21 20

Europe

AUSTRIA

Grund-Pfahl- und Sonderbau GmbH
Industriestrasse 27a
AT-2325 Humberg bei Wien
Phone: +43 - 2235 87 777
Fax: +43 - 2235 86 561

BELGIUM

N.V. Proceides VSL SA
BERCHEM
Phone: +32 3 230 36 34
Fax: +32 3 230 89 65

CZECH REPUBLIC

VSL Systemy (CZ), s. r. o.
PRAGUE
Phone: +420 - 2 - 67 07 24 20
Fax: +420 - 2 - 67 07 24 06

FRANCE

VSL France S.A.
ST-QUENTIN-EN-YVELINES
Phone: +33 - 1 - 39 44 85 85
Fax: +33 - 1 - 39 44 85 87

Intrafor S.A.
ST-QUENTIN-EN-YVELINES
Phone: +33 - 1 - 39 44 85 85
Fax: +33 - 1 - 39 44 85 86

GERMANY

VSL Systems GmbH
BERLIN
Phone: +49 30 53 01 35 32
Fax: +49 30 53 01 35 34

GREAT BRITAIN

VSL Systems (UK) Ltd.
CAMBRIDGESHIRE
Phone: +44 (0) 1480 404 401
Fax: +44 (0) 1480 404 402

Intrafor (UK)
BRACKNELL
Phone: +44 - 1 - 344 742 115
Fax: +44 - 1 - 344 742 146

GREECE

VSL Systems A/E
ATHENS
Phone: +30 - 1 - 0363 84 53
Fax: +30 - 1 - 0360 95 43

NETHERLANDS

VSL Benelux B.V.
AT LEIDEN
Phone: +31 - 71 - 576 89 00
Fax: +31 - 71 - 572 08 86

Intrafor (Netherlands)

AC LEIDERDORP
Phone: +31 - 71 - 581 70 22
Fax: +31 - 71 - 581 70 21

NORWAY

VSL Norge A/S
STAVANGER
Phone: +47 - 51 - 56 37 01
Fax: +47 - 51 - 56 27 21

POLAND

VSL Polska Sp. z o.o.
WARSAW
Phone: +48 - 22 817 84 22
Fax: +48 - 22 817 83 59

PORTUGAL

VSL Sistemas Portugal Pre-Esforço,
Equipamento e Montages S.A.
S. DOMINGO DE RANA
Phone: +351 - 21 - 445 83 10
Fax: +351 - 21 - 444 63 77

SPAIN

CTT Stronghold
BARCELONA
Phone: +34 - 93 - 289 23 30
Fax: +34 - 93 - 289 23 31

VSL-SPAM, S.A.
BARCELONA
Phone: +34 - 93 - 289 23 30
Fax: +34 - 93 - 289 23 31

SWEDEN

Internordisk Spännarmring AB
SOLNA
Phone: +46 - 8 - 504 37 200
Fax: +46 - 8 - 753 49 73

SWITZERLAND

VSL (Switzerland) Ltd.
SUBINGEN
Phone: +41 - 32 613 30 30
Fax: +41 - 32 613 30 15

VSL (Suisse) SA
PENTHAZ
Phone: +41 21 862 80 00
Fax: +41 21 862 80 02

Asia

BRUNEI

VSL Systems (B) Sdn. Bhd.
BRUNEI DARUSSALAM
Phone: +673 - 2 - 380 153 / 381 827
Fax: +673 - 2 - 381 954

HONG KONG

VSL Hong Kong Ltd.
WANCHAI
Phone: +852 - 2590 22 88
Fax: +852 - 2590 95 93

Intrafor (Hong Kong branch)

WANCHAI
Phone: +852 - 2836 31 12
Fax: +852 - 2591 61 39

INDIA

VSL India Private Ltd.
CHENNAI
Phone: +91 - 44 859 2538 / 39
Fax: +91 - 44 859 2537

INDONESIA

PT VSL Indonesia
JAKARTA
Phone: +62 - 21 - 570 07 86
Fax: +62 - 21 - 573 12 17

JAPAN

VSL Japan Corporation
TOKYO
Phone: +81 - 3 - 3346 - 8913
Fax: +81 - 3 - 3345 - 9153

KOREA

VSL Korea Co. Ltd.
SEOUL
Phone: +82 - 2 - 553 8200
Fax: +82 - 2 - 553 8255

MAINLAND CHINA

VSL Engineering Corp., Ltd.
HEFEI
Phone: +86 - 551 - 557 6008
Fax: +86 - 551 - 557 6018

VSL Engineering Corporation Ltd.

Shanghai Branch Co.
SHANGHAI
Phone: +86 - 21 - 6475 4906
Fax: +86 - 21 - 6475 4255

MALAYSIA

VSL Engineers (M) Sdn. Bhd.
KUALA LUMPUR
Phone: +603 - 7981 47 42
Fax: +603 - 7981 84 22

PHILIPPINES

VSL Philippines Inc.
MANDALUYONG CITY
Phone: +632 638 76 86
Fax: +632 638 76 91

SINGAPORE

VSL Singapore Pte. Ltd.
SINGAPORE
Phone: +65 - 6559 12 22
Fax: +65 - 6257 77 51

TAIWAN

VSL Taiwan Ltd.
TAIPEI
Phone: +886 - 2 - 2759 6819
Fax: +886 - 2 - 2759 6821

THAILAND

VSL (Thailand) Co. Ltd.
BANGKOK
Phone: +66 - 2 - 237 32 88 / 89 / 90
Fax: +66 - 2 - 238 24 48

VIETNAM

VSL Vietnam Ltd.
HANOI
Phone: +84 - 4 - 8245 488
Fax: +84 - 4 - 8245 717

Ho Chi Minh City
Phone: +84 - 8 - 8258 144
Fax: +84 - 8 - 9102 596

Australia/Pacific

AUSTRALIA - Queensland
VSL Prestressing (Aust.) Pty. Ltd.
GEEBUNG
Phone: +61 - 7 - 326 564 00
Fax: +61 - 7 - 326 575 34

AUSTRALIA - New South Wales
VSL Prestressing (Aust.) Pty. Ltd.
THORNLEIGH
Phone: +61 - 2 - 948 459 44
Fax: +61 - 2 - 987 538 94

AUSTRALIA - Southern Division
VSL Prestressing (Aust.) Pty. Ltd.
NOBLE PARK
Phone: +61 - 3 - 979 503 66
Fax: +61 - 3 - 979 505 47

GUAM
Structural Technologies Inc.
TUMON
Phone: +1 - 671 - 646 8010
Fax: +1 - 671 - 646 8060

VSL CTT POT BEARINGS



DESIGN
ENGINEERING

TECHNICAL
SUPPORT

BEARING
FABRICATION

CE

VSL-CTT BEARINGS

Worldwide references in specialised bridge construction and experienced engineering

VSL-CTT Pot Bearings benefit of the VSL Expertise in structural engineering and construction methodologies. VSL Pot Bearings have been used worldwide on various prestigious projects for their innovative user-friendly design, reliability and quality.

The company

Subsidiary of the VSL Group, CTT-Stronghold is a leader in the field of post-tensioning and related engineering in Spain. In conjunction with VSL R&D teams a wide range of technically proven structural products have been developed over many years.

Structural bearings are important elements of structures, most notably in bridges, providing a connection between the superstructure and substructure.



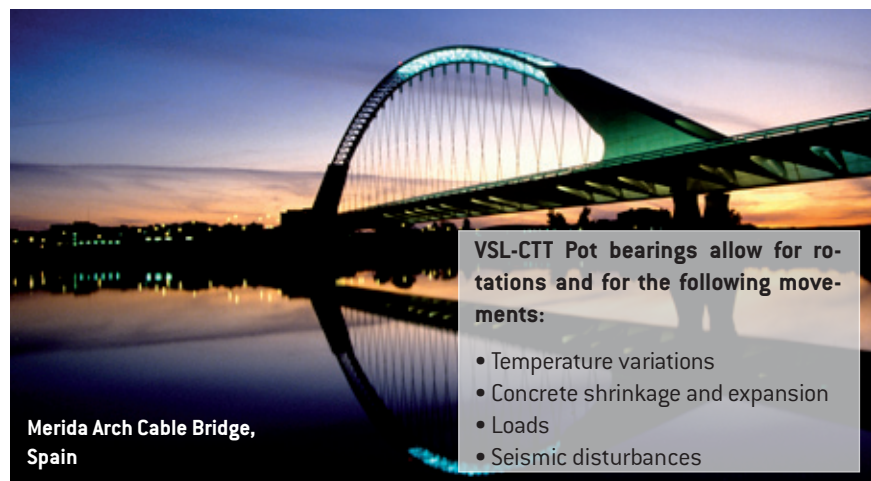
VSL-CTT Bearing Technology

There are different types of bearings; one of the most widely used is the pot bearing due to its versatility and ingenious design.

Pot bearings are capable of transmitting forces while absorbing the structures deformations and rotations.

The strength of the bearing elastomer is maximized by encasing it in a pot and placing a piston on top.

Under vertical load, the elastomer behaves like a viscous fluid, allowing rotations around the horizontal axis.



VSL's scope

Continuously trained VSL engineers propose tailor-made solutions within VSL's wide range of POT bearings to match the project's individual needs. As production processes for POT bearings are not standardized, the products will always be adapted to the even most challenging cases. At the factory, the quality of both factory production and testing are one of the main issues. Besides that VSL is the leader in short production time and fast delivery to the jobsites. – Depending on each country VSL's scope may include all steps from project consulting and installation of the bearings on site.



VSL-CTT Pot Bearings are made only from high-quality materials and designed to meet various codes and specifications.

COMPONENTS SPECIFICATIONS

High quality engineered solutions for every project

STAINLESS STEEL AND TOP PLATE

Transfers the vertical and horizontal load from the superstructure to the remaining parts of the bearing.

P.T.F.E. ¹

Transfers the vertical load from the top plate to the piston and provides a low-friction surface against the sliding surface of the upper plate during movement.

EXTERNAL SEALING RING

Prevents moisture and debris from entering the gap between the piston and the pot.

GUIDE² AND PISTON OF DU METAL

Transfers the horizontal load from the recess of the top plate to the pot and the vertical load to the elastomer.

A recess on the surface of the piston confines the PTFE.

INTERNAL SEALING RING

Prevents the extrusion of the Elastomer.

ELASTOMER PAD

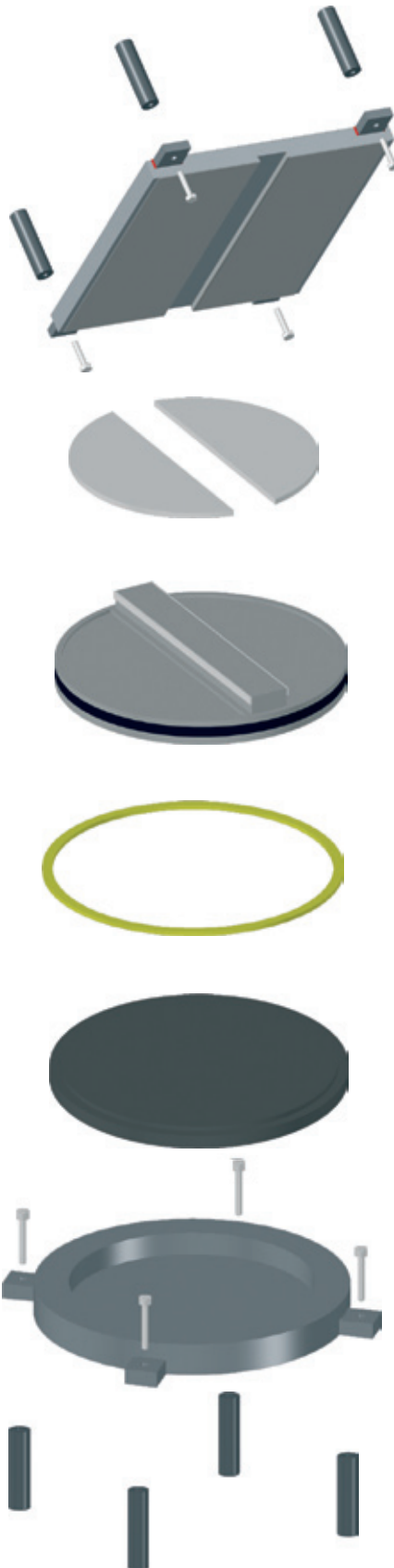
Transfers the vertical load from the piston to the pot and allows the bearing to rotate.

POT (STEEL RING + BASE PLATE)

Confines the elastomer and eventually transfer vertical and horizontal loads to the substructure and bolts, respectively.

BOLTS AND SOCKETS

Resist horizontal loads.



CE MARK



VSL-CTT Pot bearings are CE approved.

The quality of the materials and workmanship are ensured by Quality Control Plans regularly audited and revised to meet any particular specification.

CORROSION PROTECTION



Zinc Thickness Check

Steel areas exposed to the atmosphere are protected with a corrosion protection system in accordance with projects requirements and / or relevant international standards.

TESTING



Testing in Laboratory

The quality and conformity behaviour of VSL-CTT Pot Bearings are regularly checked at accredited test laboratories with:

- Vertical load tests
- Combined vertical and horizontal load tests
- Friction tests

1. For free and guided bearings only
2. For guided bearings only

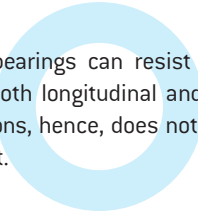
VSL-CTT Pot Bearings meet the industry's highest quality requirements.

STANDARD VSL-CTT POT BEARINGS:

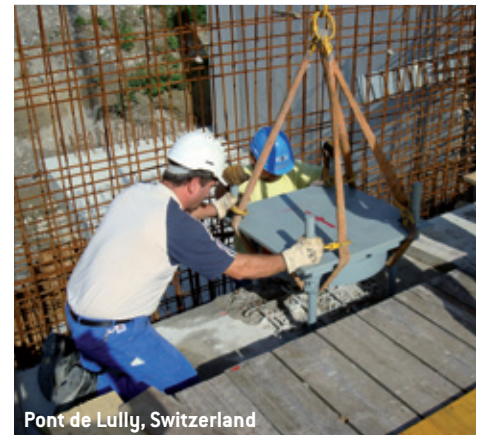
Providing the best solutions to meet the client's requirements



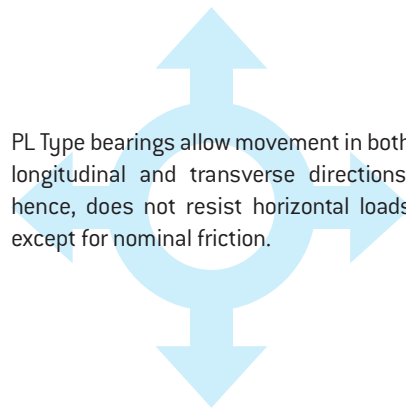
PF Type bearings can resist horizontal loads in both longitudinal and transverse directions, hence, does not allow any movement.



PU Type bearings allow movement in one direction and can resist horizontal loads perpendicular to the direction of movement



PL Type bearings allow movement in both longitudinal and transverse directions, hence, does not resist horizontal loads except for nominal friction.



CE MARK

VSL-CTT Pot bearings are designed in accordance to the most important standards worldwide:

- AASHTO – American Association of State Highway and Transport Officials
- BS 5400 – British Standard – Section 9.1 and 9.2
- EN 1337 – European Norm

All bearings designed and manufacturing according to Euronorm are CE Marked.



The flexibility of VSL-CTT Pot Bearings allow a most flexible freedom for design and construction.

SPECIAL POT BEARINGS:

Tailormade for even the most challenging project

VSL-CTT manufactures special tailor-made Pot Bearings designed to fit particular technical specifications and requirements of individual projects.

VSL-CTT offers a wide range of technical solutions for the design of special Pot Bearings.

VSL-CTT technical department has the capability to develop innovative alternatives to standard products.

The wide and elaborated range of VSL Pot Bearings and their advantageous under one roof manufacture make them to be a preference for any demanding bridge project.

ILM POT BEARING

- Bearings with low friction surface for the sliding of structures using the Incremental Launching Method.
- Bearings are temporary and permanent with significant cost saving.

ILM Pot bearing



LOAD CELL POT BEARING

- Bearings with electronic transducers for the monitoring of the vertical load.
- Data loads can be collected manually or automatically (optional).



ACCESSORIES

To meet the most stringent requirements

ANTI-DUST SKIRT

As the name suggests, this device is installed to protect the sliding surfaces of the bearing from dust which could affect the friction coefficient.

This is recommended for both PL and PU bearing types.

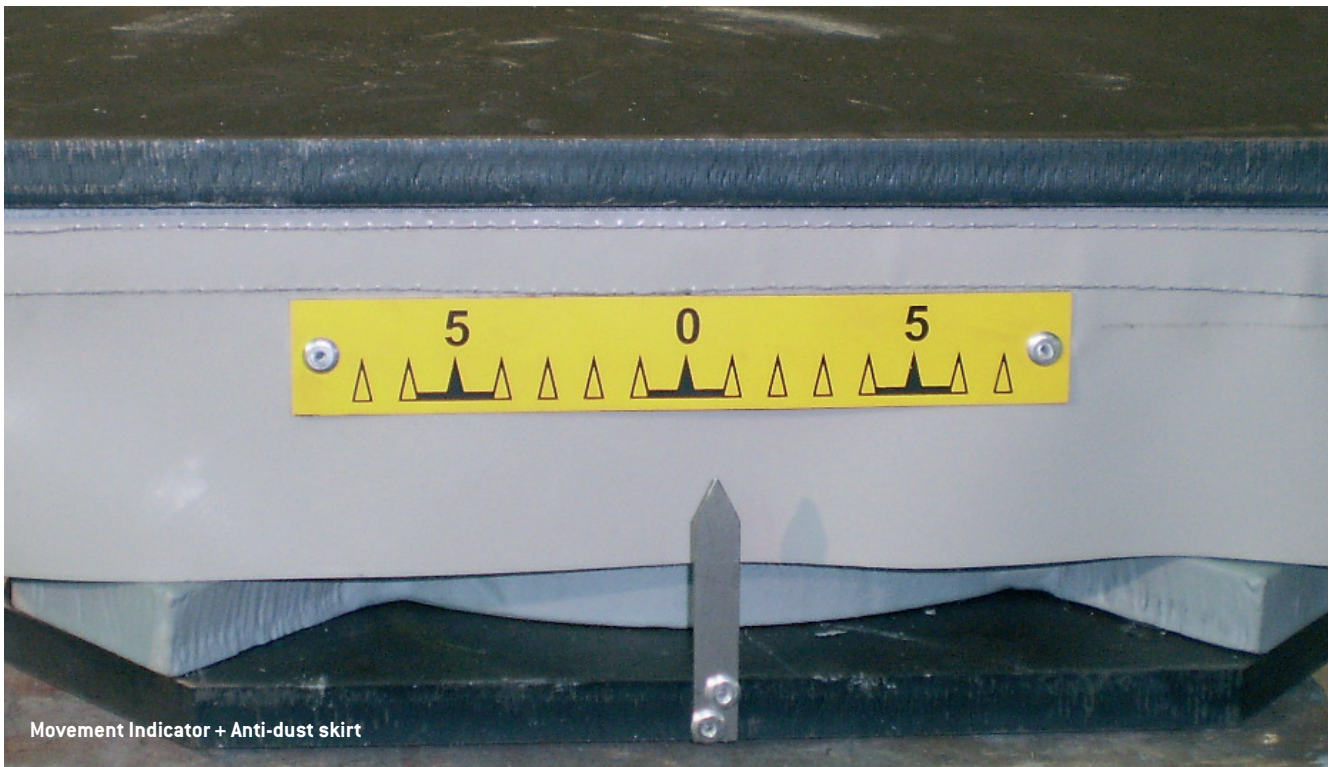
The neoprene skirts are attached to the top plate of the bearing through a metal ruler.

BEARING WITH ELECTRICAL ISOLATION

- Bearings with electrical isolation to avoid the pass of the electricity through the bearing.
- Required on some countries for Railway bridges.

MOVEMENT INDICATOR

This apparatus is designed to measure the horizontal movements of the bearing and indicate pre-setting.



DESIGN OF POT BEARINGS

Our Technical Department is available to supply any specific information in order to assist designers from the early conceptual stage.

It should be pointed out that the cost of Pot bearings varies with the changes in design parameters.

TECHNICAL DATA SHEETS

Design of Pot Bearings can be substantially influenced by local codes and projects requirements. VSL-CTT Pot bearings datasheets are available for design according to a variety of International Codes of designs and Practices.

For instance, the allowable bearing pressure on the concrete has a major influence. It is advised that bursting reinforcement should be designed and incorporated in concrete bearing seating areas to enhance its bearing capacity.

This will significantly reduce the size of

the bearings, which, in most cases result in savings.

To assess the optimum Pot Bearing dimensions for your application and to carry out a detailed design, please contact your local VSL-CTT office.

bearing in mind that they are calculated from the design assumptions table stated in the relevant Design code Technical datasheet. For other combinations of loadings and movements, please contact a VSL-CTT representative in your area.

VSL can offer the complete package

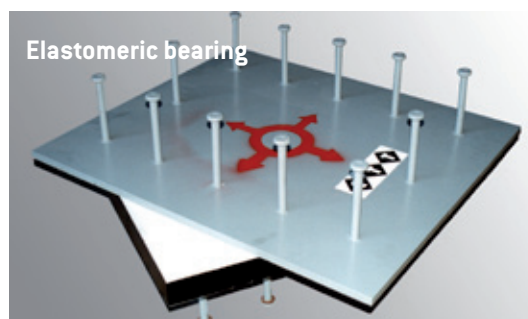
VSL does not only install bearings on new project, but can also advice you on replacement, maintenance and condition evaluation of existing bearings.

When replacing bearings VSL Heavy Lifting has the know-how and experinece to provide an economic and suitable solution. The approach of VSL Heavy Lifting Engineers is flexible and the range of services is tailored to the specific project requirements.

VSL-CTT bearings are also available on other types as elastomeric or spherical



For decades, VSL-CTT Pot Bearings have proven their reliability and durability in hundreds of references throughout the world. VSL-CTT know-how and experience is the best base for future projects.





HEADQUARTERS SPAIN

VSL / CTT-STRONGHOLD,S.A
BARCELONA

Phone: +34 93 289 23 30
Fax: +34 93 289 23 31

ALL YOU NEED IN BEARING'S TECHNOLOGY

VSL LOCATIONS

Americas

ARGENTINA

VSL Sistemas Especiales de
Construcción Argentina S.A.
BUENOS AIRES
Phone: +54 11 4326 06 09
Fax: +54 11 4326 26 50

BOLIVIA

Postensados de Bolivia
San Miguel, LA PAZ
Phone: +591 2 27 70 338
Fax: +591 2 27 96 183

CHILE

VSL Sistemas Especiales de
Construcción S.A.
SANTIAGO
Phone: +56 2 571 67 00
Fax: +56 2 571 67 01

COLOMBIA

Sistemas Especiales de
Construcción S.A.S.
BOGOTA
Phone: +57 1 226 62 30
Fax: +57 1 271 50 65

MEXICO

VSL Corporation Mexico
S.A. de C.V.
MEXICO
Phone: +52 55 55 11 20 36
Fax: +52 55 55 11 40 03

PERU

Sistemas Especiales de
Construcción Peru S.A.
LIMA
Phone: +51 1 349 38 38
Fax: +51 1 348 28 78

UNITED STATES

VStructural LLC
BALTIMORE, MD
Phone: +1 410 850 7000
Fax: +1 410 850 4111

VENEZUELA

Gestión de Obras y
Construcciones C.A.
CARACAS
Phone: +58 212 941 86 75
Fax: +58 212 941 86 75

Asia

BRUNEI

VSL Systems (B) Sdn. Bhd.
BRUNEI DARUSSALAM
Phone: +673 2 380 153 /
381 827
Fax: +673 2 381 954

CHINA PRC

VSL (China) Engineering
Corp., Ltd.
HEFEI
Phone: +86 551 382 29 18
Fax: +86 551 382 28 78

HONG KONG

VSL Hong Kong Ltd.
CHAI WAN
Phone: +852 2590 22 88
Fax: +852 2590 02 90

Intrafor Hong Kong Ltd.

CHAI WAN
Phone: +852 2836 31 12
Fax: +852 2591 61 39

FT Laboratories Ltd

PING CHE
Phone: +852 2758 48 61
Fax: +852 2758 89 62

INDIA

VSL India Private Ltd.
CHENNAI
Phone: +91 44 4225 11 11
Fax: +91 44 4225 10 10

INDONESIA

PT VSL Indonesia
JAKARTA
Phone: +62 21 570 07 86
Fax: +62 21 573 75 57

JAPAN

VSL Japan Corporation
TOKYO
Phone: +81 3 3346 8913
Fax: +81 3 3345 9153

KOREA

VSL Korea Co. Ltd.
SEOUL
Phone: +82 2 553 8200
Fax: +82 2 553 8255

MALAYSIA

VSL Engineers (M) Sdn. Bhd.
Kuala Lumpur
Phone: +60 3 7981 4742
Fax: +60 3 7981 8422

PHILIPPINES

VSL Philippines Inc.
PASIG City
Phone: +632 723 13 95
Fax: +632 723 13 95

SINGAPORE

VSL Singapore Pte. Ltd.
SINGAPORE
Phone: +65 6559 12 22
Fax: +65 6257 77 51

TAIWAN

VSL Taiwan Ltd.
TAIPEI
Phone: +886 2 2759 68 19
Fax: +886 2 2759 68 21

THAILAND

VSL (Thailand) Co. Ltd.
Bangkok
Phone : +66 2 679 76 15 – 19
Fax: +66 2 679 76 45

VIETNAM

VSL Vietnam Ltd.
HANOI
Phone: +84 4 3976 5088
Fax: +84 4 3976 5089

Ho Chi Minh City

Phone: +84 8 810 6817
Fax: +84 8 810 6818

Australia

VSL Australia Pty Ltd
NEW SOUTH WALES
Phone: +61 2 9484 5944
Fax: +61 2 9875 3894

QUEENSLAND

Phone: +61 7 3265 64 00
Fax: +61 7 3265 75 34

VICTORIA

Phone: +61 3 979 503 66
Fax: +61 3 979 505 47

SOUTH AUSTRALIA

Phone: +61 8 8354 4884
Fax: +61 8 8354 4883

TASMANIA

Phone: +61 3 6225 3567
Fax: +61 3 6225 2226

PERTH

Phone/Fax: +61 8 9523 4686

Europe

AUSTRIA

Grund-Pfahl- und Sonderbau
GmbH
HIMBERG
Phone: +43 2235 87 777
Fax: +43 2235 86 561

CROATIA

Tehni ki projekt d.o.o.
10000 Zagreb
Phone: +385 1 4664 586
Fax: +385 1 4664 549

CZECH REPUBLIC

VSL SYSTEMS (CZ) Ltd.
PRAGUE
Phone: +420 2 51 09 16 80
Fax: +420 2 51 09 16 99

FRANCE

VSL France S.A.
LABÈGE
Phone: +33 05 61 00 96 59
Fax: +33 05 61 00 96 62

GERMANY

VSL Systems GmbH
BERLIN
Phone: +49 30 53 028 060
Fax: +49 30 53 028 0699

GREAT BRITAIN

VSL Systems (UK) Ltd.
BEDFORDSHIRE
Phone: +41 58 456 30 30
Fax: +41 58 456 30 35

NETHERLANDS

Heijmans Beton en Water-
bouw B.V.
ROSMALLEN
Phone: +31 73 543 66 02
Fax: +31 73 543 66 11

NORWAY

SPENNARMERING NORGE AS
RUD
Phone: +47 98 21 02 66
Fax : +47 67 17 30 01

PORTUGAL

VSL Sistemas Portugal
Pre-Esforço, Equipamento
e Montagens SA
S. DOMINGOS DE RANA
Phone: +351 21 445 83 10
Fax: +351 21 444 63 77

VSL GEO

Sistemas de Aplicação em
Geotecnia SA
S. DOMINGOS DE RANA
Phone: +351 21 445 83 10
Fax: +351 21 445 83 28

SPAIN

CTT Stronghold
BARCELONA
Phone: +34 93 289 23 30
Fax: +34 93 289 23 31

VSL-SPAM, S.A.

BARCELONA
Phone: +34 93 846 70 07
Fax: +34 93 846 51 97

SWEDEN

Internordisk Spännarme-
ring AB
VÄSTERHANINGE
Phone: +46 10 448 74 29
Fax: +46 8 753 49 73

SWITZERLAND

VSL (Switzerland) Ltd.
SUBINGEN
Phone: +41 58 456 30 30
Fax: +41 58 456 30 35

VSL (Suisse) SA

SAINT LEGIER
Phone: +41 58 456 30 00
Fax: +41 58 456 30 95

TURKEY

MEGA YAPI Construction
& Trade Co. Ltd.
ANKARA
Phone: +90 312 490 90 66
Fax: +90 312 490 90 55

Africa

EGYPT

Matrix Engineering Company
CAIRO
Phone: +20 2 344 19 00
Fax: +20 2 346 04 57

SOUTH AFRICA

Tsala-RMS Construction
Solutions (Pty) Ltd
JOHANNESBURG
Phone: +27 11 878 6820
Fax: +27 11 878 6821

Middle East

UNITED ARAB EMIRATES

VSL Middle East LLC
DUBAI, UAE
Phone: +971 4 885 7225
Fax: +971 4 885 7226

Syria

Kahaleh for consulting engineering
DAMASCUS
Phone: +963 11 23 24 702
Fax: +963 11 22 14 595

DOHA, QATAR

Phone: +974 423 1117
Fax: +974 423 1100

VSL – CTT POT BEARINGS

Type PF

Bearings type PF can support horizontal loads in both longitudinal and transverse directions and don't allow any movement.

H1



Bearings according to Euronorm EN 1337

BEARING TYPE	V MAX ULS (kN)	H MAX ULS (kN)	V MAX SLS (kN)	H MAX SLS (kN)	V min SLS, ULS (kN)	Aprox. Weight (kg)
PF 100/70/H1 EN	977	105	700	70	350	29
PF 200/140/H1 EN	1953	210	1400	140	700	42
PF 300/220/H1 EN	3069	330	2200	220	1100	59
PF 390/280/H1 EN	3906	420	2800	280	1400	76
PF 490/350/H1 EN	4883	525	3500	350	1750	94
PF 630/450/H1 EN	6278	675	4500	450	2250	124
PF 700/500/H1 EN	6975	750	5000	500	2500	139
PF 840/600/H1 EN	8370	900	6000	600	3000	176
PF 900/650/H1 EN	9068	975	6500	650	3250	200
PF 1000/700/H1 EN	9765	1050	7000	700	3500	215
PF 1100/800/H1 EN	11160	1200	8000	800	4000	250
PF 1200/850/H1 EN	11858	1275	8500	850	4250	273
PF 1320/950/H1 EN	13253	1425	9500	950	4750	317
PF 1400/1000/H1 EN	13950	1500	10000	1000	5000	346
PF 1535/1100/H1 EN	15345	1650	11000	1100	5500	381
PF 1700/1200/H1 EN	16740	1800	12000	1200	6000	464
PF 1800/1300/H1 EN	18135	1950	13000	1300	6500	506
PF 2000/1400/H1 EN	19530	2100	14000	1400	7000	551
PF 2100/1500/H1 EN	20925	2250	15000	1500	7500	622
PF 2200/1600/H1 EN	22320	2400	16000	1600	8000	723
PF 2400/1700/H1 EN	23715	2550	17000	1700	8500	805
PF 2500/1800/H1 EN	25110	2700	18000	1800	9000	918
PF 2650/1900/H1 EN	26505	2850	19000	1900	9500	975
PF 2800/2000/H1 EN	27900	3000	20000	2000	10000	1048
PF 3000/2200/H1 EN	30690	3300	22000	2200	11000	1125

Bearings have been designed with the following parameters :

Concrete on Deck is H40 (fck = 40 Mpa)

Concrete on Piers and Abutment is H30 (fck = 30 Mpa)

Maximum Horizontal load is 10% of the Vertical load

Minimum load at SLS and ULS is 50% of Maximum Vertical load at SLS

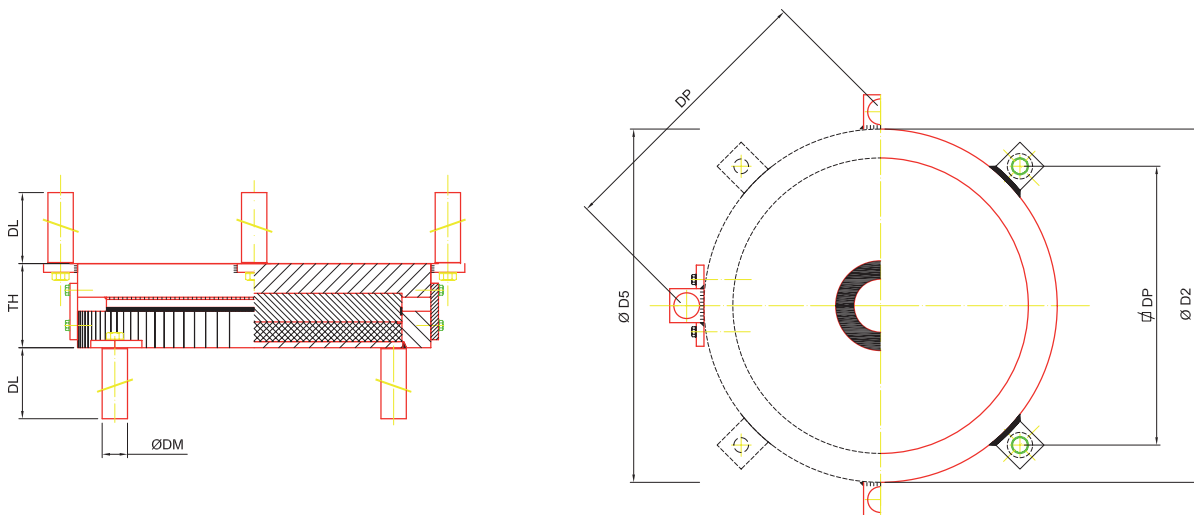
Rotation 0,01 rad

Other models are available under request



Main Dimensions

BEARING TYPE	Pot \varnothing D2 (mm)	Total height TH (mm)	Top Plate Dimensions \varnothing D5 (mm)	Recommended Pier \varnothing (mm)	DM \varnothing (mm)	DL (mm)	DP (mm)
PF 100/70/H1 EN	230	76	230	368	30	150	205
PF 200/140/H1 EN	295	76	295	472	30	150	251
PF 300/220/H1 EN	352	80	352	563	30	150	291
PF 390/280/H1 EN	404	83	404	646	30	150	328
PF 490/350/H1 EN	450	85	450	720	30	150	361
PF 630/450/H1 EN	514	88	514	822	30	150	406
PF 700/500/H1 EN	543	90	543	869	30	150	426
PF 840/600/H1 EN	592	98	592	947	30	150	461
PF 900/650/H1 EN	617	104	617	987	30	150	479
PF 1000/700/H1 EN	638	105	638	1021	30	150	494
PF 1100/800/H1 EN	682	108	682	1091	30	150	525
PF 1200/850/H1 EN	713	109	713	1141	30	150	547
PF 1320/950/H1 EN	751	114	751	1202	30	150	573
PF 1400/1000/H1 EN	771	115	771	1234	40	200	588
PF 1535/1100/H1 EN	806	117	806	1290	40	200	612
PF 1700/1200/H1 EN	842	129	842	1347	40	200	638
PF 1800/1300/H1 EN	876	131	876	1402	40	200	662
PF 2000/1400/H1 EN	910	133	910	1456	40	200	686
PF 2100/1500/H1 EN	943	139	943	1509	40	200	709
PF 2200/1600/H1 EN	985	142	985	1576	60	300	753
PF 2400/1700/H1 EN	1010	153	1010	1616	60	300	771
PF 2500/1800/H1 EN	1037	154	1037	1659	60	300	790
PF 2650/1900/H1 EN	1066	156	1066	1706	60	300	810
PF 2800/2000/H1 EN	1104	158	1104	1766	60	300	837
PF 3000/2200/H1 EN	1134	160	1134	1814	60	300	858



The dimensions given are indicative. Designs and dimensions can be modified by VSL-CTT without prior notification.



VSL – CTT POT BEARINGS

Type PF

Bearings type PF can support horizontal loads in both longitudinal and transverse directions and don't allow any movement.

H2



Bearings according to Euronorm EN 1337

BEARING TYPE	V MAX ULS (kN)	H MAX ULS (kN)	V MAX SLS (kN)	H MAX SLS (kN)	V min SLS, ULS (kN)	Aprox. Weight (kg)
PF 100/70/H2 EN	977	210	700	140	350	29
PF 200/140/H2 EN	1.953	420	1.400	280	700	44
PF 300/220/H2 EN	3.069	660	2.200	440	1.100	70
PF 390/280/H2 EN	3.906	840	2.800	560	1.400	102
PF 490/350/H2 EN	4.883	1.050	3.500	700	1.750	124
PF 630/450/H2 EN	6.278	1.350	4.500	900	2.250	173
PF 700/500/H2 EN	6.975	1.500	5.000	1.000	2.500	231
PF 840/600/H2 EN	8.370	1.800	6.000	1.200	3.000	284
PF 900/650/H2 EN	9.068	1.950	6.500	1.300	3.250	319
PF 1000/700/H2 EN	9.765	2.100	7.000	1.400	3.500	340
PF 1120/800/H2 EN	11.160	2.400	8.000	1.600	4.000	389
PF 1200/850/H2 EN	11.858	2.550	8.500	1.700	4.250	423
PF 1320/950/H2 EN	13.253	2.850	9.500	1.900	4.750	484
PF 1400/1000/H2 EN	13.950	3.000	10.000	2.000	5.000	512
PF 1535/1100/H2 EN	15.345	3.300	11.000	2.200	5.500	637
PF 1700/1200/H2 EN	16.740	3.600	12.000	2.400	6.000	722
PF 1800/1300/H2 EN	18.135	3.900	13.000	2.600	6.500	832
PF 2000/1400/H2 EN	19.530	4.200	14.000	2.800	7.000	904
PF 2100/1500/H2 EN	20.925	4.500	15.000	3.000	7.500	971
PF 2250/1600/H2 EN	22.320	4.800	16.000	3.200	8.000	1.186
PF 2400/1700/H2 EN	23.715	5.100	17.000	3.400	8.500	1.248
PF 2500/1800/H2 EN	25.110	5.400	18.000	3.600	9.000	1.214
PF 2650/1900/H2 EN	26.505	5.700	19.000	3.800	9.500	1.538
PF 2800/2000/H2 EN	27.900	6.000	20.000	4.000	10.000	1.650
PF 3000/2200/H2 EN	30.690	6.600	22.000	4.400	11.000	1.783

Bearings have been designed with the following parameters :

Concrete on Deck is H40 (fck = 40 Mpa)

Concrete on Piers and Abutment is H30 (fck = 30 Mpa)

Maximum Horizontal load is 20% of the Vertical load

Minimum load at SLS and ULS is 50% of Maximum Vertical load at SLS

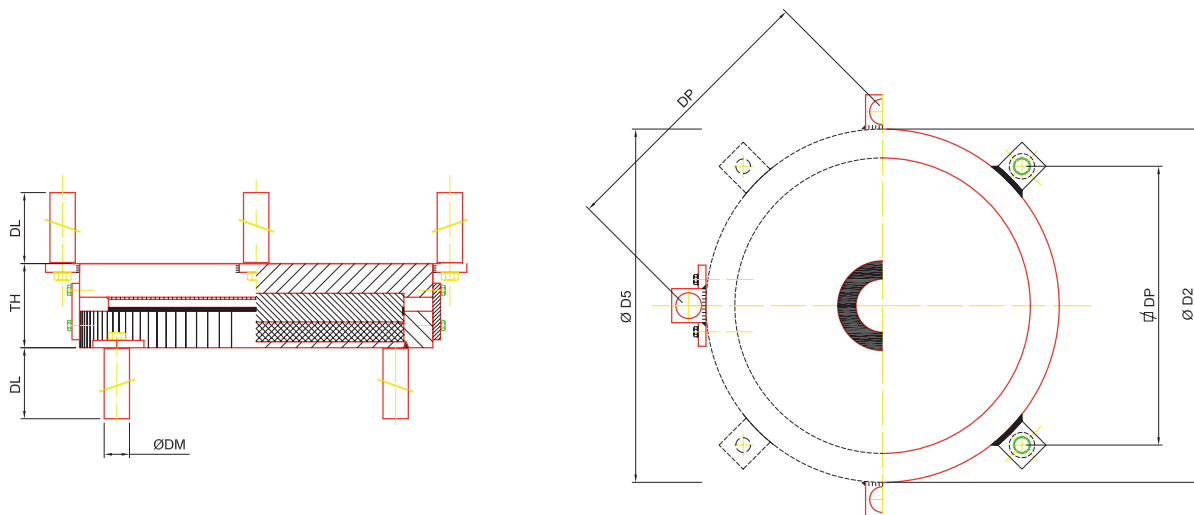
Rotation 0,01 rad

Other models are available under request



Main Dimensions

BEARING TYPE	Pot \varnothing D2 (mm)	Total height TH (mm)	Top Plate Dimensions \varnothing D5 (mm)	Recommended Pier \varnothing (mm)	DM \varnothing (mm)	DL (mm)	DP (mm)
PF 100/70/H2 EN	230	76	230	368	30	150	205
PF 200/140/H2 EN	302	76	302	483	30	150	256
PF 300/220/H2 EN	378	85	378	605	30	150	310
PF 390/280/H2 EN	434	88	434	694	40	200	349
PF 490/350/H2 EN	480	90	480	768	40	200	382
PF 630/450/H2 EN	550	101	550	880	40	200	431
PF 700/500/H2 EN	578	103	578	925	60	300	465
PF 840/600/H2 EN	624	116	624	998	60	300	498
PF 900/650/H2 EN	650	122	650	1.040	60	300	516
PF 1000/700/H2 EN	672	123	672	1.075	60	300	532
PF 1120/800/H2 EN	720	126	720	1.152	60	300	566
PF 1200/850/H2 EN	754	127	754	1.206	60	300	590
PF 1320/950/H2 EN	780	139	780	1.248	60	300	608
PF 1400/1000/H2 EN	802	140	802	1.283	60	300	624
PF 1535/1100/H2 EN	838	152	838	1.341	60	300	656
PF 1700/1200/H2 EN	878	159	878	1.405	70	350	684
PF 1800/1300/H2 EN	912	161	912	1.459	70	350	709
PF 2000/1400/H2 EN	950	163	950	1.520	70	350	735
PF 2100/1500/H2 EN	986	164	986	1.578	80	400	768
PF 2250/1600/H2 EN	1.028	177	1028	1.645	80	400	798
PF 2400/1700/H2 EN	1.054	178	1054	1.686	80	400	816
PF 2500/1800/H2 EN	1.082	184	1082	1.731	90	450	836
PF 2650/1900/H2 EN	1.114	196	1114	1.782	90	450	858
PF 2800/2000/H2 EN	1.156	198	1156	1.850	90	450	888
PF 3000/2200/H2 EN	1.200	200	1200	1.920	90	450	919



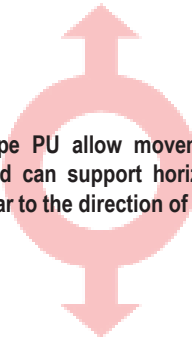
The dimensions given are indicative. Designs and dimensions can be modified by VSL-CTT without prior notification.



VSL – CTT POT BEARINGS

Type PU

Bearings type PU allow movement in one direction and can support horizontal loads perpendicular to the direction of movement.



H1



Bearings according to Euronorm EN 1337

BEARING TYPE	V MAX ULS (kN)	H MAX ULS (kN)	V MAX SLS (kN)	H MAX SLS (kN)	V min SLS, ULS (kN)	Aprox. Weight (kg)
PU 100/70/H1 EN	977	105	700	70	350	39
PU 200/140/H1 EN	1953	210	1400	140	700	55
PU 300/220/H1 EN	3069	330	2200	220	1100	74
PU 390/280/H1 EN	3906	420	2800	280	1400	92
PU 490/350/H1 EN	4883	525	3500	350	1750	111
PU 630/450/H1 EN	6278	675	4500	450	2250	144
PU 700/500/H1 EN	6975	750	5000	500	2500	161
PU 840/600/H1 EN	8370	900	6000	600	3000	234
PU 900/650/H1 EN	9068	975	6500	650	3250	260
PU 1000/700/H1 EN	9765	1050	7000	700	3500	281
PU 1100/800/H1 EN	11160	1200	8000	800	4000	323
PU 1200/850/H1 EN	11858	1275	8500	850	4250	354
PU 1320/950/H1 EN	13253	1425	9500	950	4750	405
PU 1400/1000/H1 EN	13950	1500	10000	1000	5000	439
PU 1535/1100/H1 EN	15345	1650	11000	1100	5500	481
PU 1700/1200/H1 EN	16740	1800	12000	1200	6000	532
PU 1800/1300/H1 EN	18135	1950	13000	1300	6500	577
PU 2000/1400/H1 EN	19530	2100	14000	1400	7000	630
PU 2100/1500/H1 EN	20925	2250	15000	1500	7500	745
PU 2200/1600/H1 EN	22320	2400	16000	1600	8000	898
PU 2400/1700/H1 EN	23715	2550	17000	1700	8500	947
PU 2500/1800/H1 EN	25110	2700	18000	1800	9000	999
PU 2650/1900/H1 EN	26505	2850	19000	1900	9500	1067
PU 2800/2000/H1 EN	27900	3000	20000	2000	10000	1187
PU 3000/2200/H1 EN	30690	3300	22000	2200	11000	1272

Bearings have been designed with the following parameters :

Concrete on Deck is H40 (f_{ck} = 40 Mpa)

Concrete on Piers and Abutment is H30 (f_{ck} = 30 Mpa)

Maximum Horizontal load is 10% of the Vertical load

Minimum load at SLS and ULS is 50% of Maximum Vertical load at SLS

Movement ± 50 mm

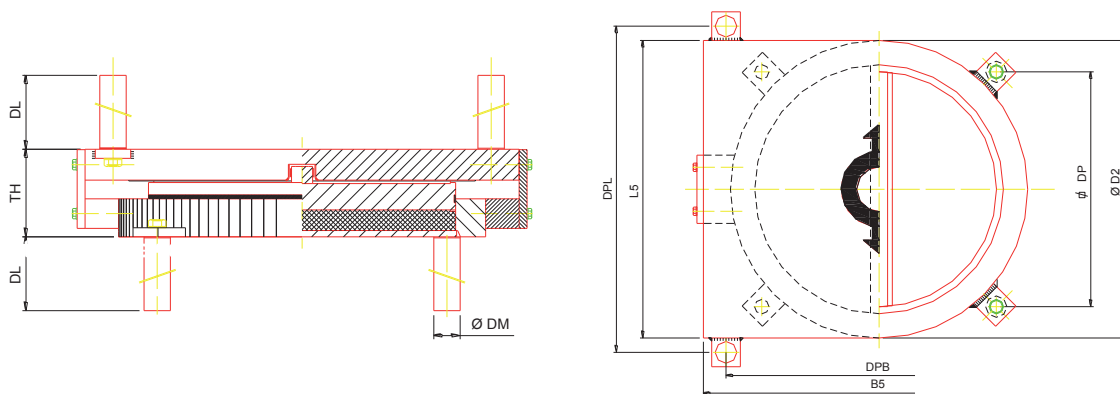
Rotation 0,01 rad

Other models are available under request



Main Dimensions

BEARING TYPE	Pot \varnothing D2 (mm)	Total height TH (mm)	Top Plate Dimensions L5 x B5 (mm)	Recommended Pier \varnothing (mm)	DM \varnothing (mm)	DL (mm)	DPL (mm)	DPB (mm)	DP (mm)
PU 100/70/H1 EN	250	83	290 x 250	400	30	150	200	310	219
PU 200/140/H1 EN	307	84	347 x 307	491	30	150	257	367	260
PU 300/220/H1 EN	360	87	400 x 360	576	30	150	310	420	297
PU 390/280/H1 EN	406	90	435 x 406	650	30	150	345	466	330
PU 490/350/H1 EN	452	92	468 x 452	723	30	150	378	512	362
PU 630/450/H1 EN	516	95	518 x 516	826	30	150	428	576	407
PU 700/500/H1 EN	546	97	546 x 546	874	30	150	456	606	429
PU 840/600/H1 EN	600	115	600 x 600	960	30	150	510	660	467
PU 900/650/H1 EN	620	121	620 x 620	992	30	150	530	680	481
PU 1000/700/H1 EN	642	122	642 x 642	1027	30	150	552	702	496
PU 1100/800/H1 EN	685	125	685 x 685	1096	30	150	595	745	527
PU 1200/850/H1 EN	716	126	716 x 716	1146	30	150	626	776	549
PU 1320/950/H1 EN	752	131	752 x 752	1203	30	150	662	812	574
PU 1400/1000/H1 EN	774	132	774 x 774	1238	40	200	684	834	590
PU 1535/1100/H1 EN	806	134	806 x 806	1290	40	200	716	866	612
PU 1700/1200/H1 EN	846	136	846 x 846	1354	40	200	756	906	641
PU 1800/1300/H1 EN	877	138	877 x 877	1403	40	200	787	937	663
PU 2000/1400/H1 EN	914	140	914 x 914	1462	40	200	824	974	689
PU 2100/1500/H1 EN	948	156	948 x 948	1517	40	200	858	1008	713
PU 2200/1600/H1 EN	988	169	988 x 988	1581	40	200	898	1048	741
PU 2400/1700/H1 EN	1013	170	1013 x 1013	1621	40	200	923	1073	759
PU 2500/1800/H1 EN	1038	171	1038 x 1038	1661	40	200	948	1098	776
PU 2650/1900/H1 EN	1070	173	1070 x 1070	1712	40	200	980	1130	799
PU 2800/2000/H1 EN	1108	175	1108 x 1108	1773	60	300	998	1188	840
PU 3000/2200/H1 EN	1138	177	1138 x 1138	1821	60	300	1028	1218	861



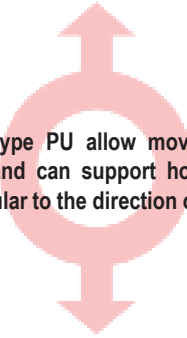
The dimensions given are indicative. Designs and dimensions can be modified by VSL-CTT without prior notification.



VSL – CTT POT BEARINGS

Type PU

Bearings type PU allow movement in one direction and can support horizontal loads perpendicular to the direction of movement.



H2



Bearings according to Euronorm EN 1337

BEARING TYPE	V MAX ULS (kN)	H MAX ULS (kN)	V MAX SLS (kN)	H MAX SLS (kN)	V min SLS, ULS (kN)	Aprox. Weight (kg)
PU 100/70/H2 EN	977	210	700	140	350	40
PU 200/140/H2 EN	1.953	420	1.400	280	700	57
PU 300/220/H2 EN	3.069	660	2.200	440	1.100	101
PU 390/280/H2 EN	3.906	840	2.800	560	1.400	135
PU 490/350/H2 EN	4.883	1.050	3.500	700	1.750	172
PU 630/450/H2 EN	6.278	1.350	4.500	900	2.250	249
PU 700/500/H2 EN	6.975	1.500	5.000	1.000	2.500	320
PU 840/600/H2 EN	8.370	1.800	6.000	1.200	3.000	377
PU 900/650/H2 EN	9.068	1.950	6.500	1.300	3.250	421
PU 1000/700/H2 EN	9.765	2.100	7.000	1.400	3.500	450
PU 1120/800/H2 EN	11.160	2.400	8.000	1.600	4.000	515
PU 1200/850/H2 EN	11.858	2.550	8.500	1.700	4.250	559
PU 1320/950/H2 EN	13.253	2.850	9.500	1.900	4.750	633
PU 1400/1000/H2 EN	13.950	3.000	10.000	2.000	5.000	670
PU 1535/1100/H2 EN	15.345	3.300	11.000	2.200	5.500	843
PU 1700/1200/H2 EN	16.740	3.600	12.000	2.400	6.000	926
PU 1800/1300/H2 EN	18.135	3.900	13.000	2.600	6.500	1.042
PU 2000/1400/H2 EN	19.530	4.200	14.000	2.800	7.000	1.150
PU 2100/1500/H2 EN	20.925	4.500	15.000	3.000	7.500	1.287
PU 2250/1600/H2 EN	22.320	4.800	16.000	3.200	8.000	1.428
PU 2400/1700/H2 EN	23.715	5.100	17.000	3.400	8.500	1.559
PU 2500/1800/H2 EN	25.110	5.400	18.000	3.600	9.000	1.677
PU 2650/1900/H2 EN	26.505	5.700	19.000	3.800	9.500	1.780
PU 2800/2000/H2 EN	27.900	6.000	20.000	4.000	10.000	1.913
PU 3000/2200/H2 EN	30.690	6.600	22.000	4.400	11.000	2.367

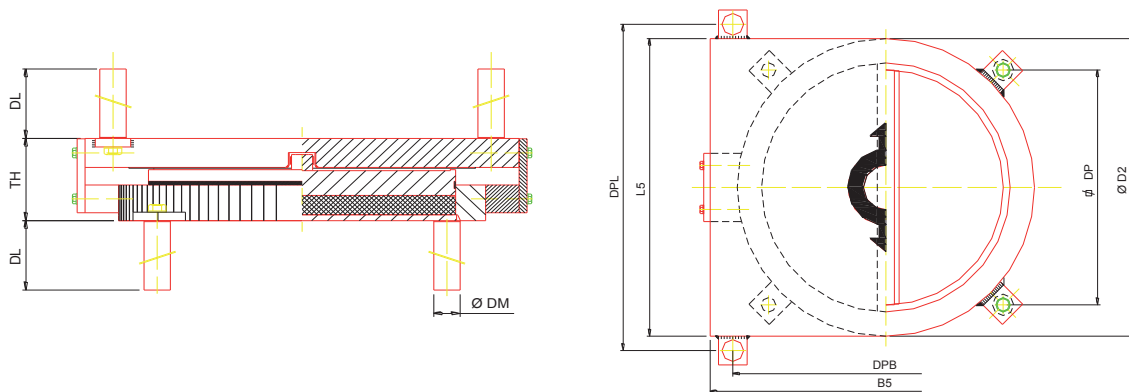
Bearings have been designed with the following parameters :

- Concrete on Deck is H40 (fck = 40 Mpa)
- Concrete on Piers and Abutment is H30 (fck = 30 Mpa)
- Maximum Horizontal load is 20% of the Vertical load
- Minimum load at SLS and ULS is 50% of Maximum Vertical load at SLS
- Movement ± 50 mm
- Rotation 0,01 rad
- Other models are available under request



Main Dimensions

BEARING TYPE	Pot \varnothing D2 (mm)	Total height TH (mm)	Top Plate Dimensions L5 x B5 (mm)	Recommended Pier \varnothing (mm)	DM \varnothing (mm)	DL (mm)	DPL (mm)	DPB (mm)	DP (mm)
PU 100/70/H2 EN	250	83	290 x 250	400	30	150	200	310	219
PU 200/140/H2 EN	312	84	347 x 312	499	30	150	257	372	263
PU 300/220/H2 EN	390	103	405 x 390	624	30	150	315	450	318
PU 390/280/H2 EN	439	105	440 x 439	702	40	200	350	499	353
PU 490/350/H2 EN	492	113	492 x 492	787	40	200	402	552	390
PU 630/450/H2 EN	553	129	553 x 553	885	40	200	463	613	433
PU 700/500/H2 EN	588	130	588 x 588	941	60	300	478	668	472
PU 840/600/H2 EN	624	143	624 x 624	998	60	300	514	704	498
PU 900/650/H2 EN	651	149	651 x 651	1.042	60	300	541	731	517
PU 1000/700/H2 EN	673	150	673 x 673	1.077	60	300	563	735	532
PU 1120/800/H2 EN	721	153	721 x 721	1.154	60	300	611	801	566
PU 1200/850/H2 EN	754	154	754 x 754	1.206	60	300	644	834	590
PU 1320/950/H2 EN	782	166	782 x 782	1.251	60	300	672	862	610
PU 1400/1000/H2 EN	804	167	804 x 804	1.286	60	300	694	884	625
PU 1535/1100/H2 EN	838	184	838 x 838	1.341	70	350	718	928	656
PU 1700/1200/H2 EN	880	186	880 x 880	1.408	70	350	760	970	686
PU 1800/1300/H2 EN	914	188	914 x 914	1.462	80	400	784	1014	717
PU 2000/1400/H2 EN	944	200	944 x 944	1.510	80	400	814	1044	738
PU 2100/1500/H2 EN	978	201	978 x 978	1.565	90	450	848	1078	762
PU 2250/1600/H2 EN	1.022	214	1022 x 1022	1.635	90	450	892	1122	793
PU 2400/1700/H2 EN	1.048	215	1048 x 1048	1.677	90	450	918	1148	812
PU 2500/1800/H2 EN	1.077	221	1077 x 1077	1.723	90	450	947	1177	832
PU 2650/1900/H2 EN	1.108	223	1108 x 1108	1.773	90	450	978	1208	854
PU 2800/2000/H2 EN	1.151	225	1151 x 1151	1.842	90	450	1021	1251	885
PU 3000/2200/H2 EN	1.286	234	1286 x 1286	2.058	90	450	1156	1386	980



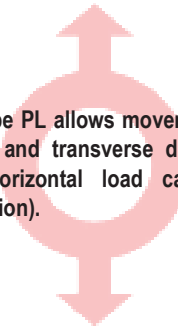
The dimensions given are indicative. Desings and dimensions can be modified by VSL-CTT without prior notification.



VSL – CTT POT BEARINGS

Type PL

Bearings type PL allows movements in both longitudinal and transverse directions and have no horizontal load capacity (only nominal friction).



Bearings according to Euronorm EN 1337

BEARING TYPE	V MAX ULS (kN)	H MAX ULS (kN)	V MAX SLS (kN)	H MAX SLS (kN)	V min SLS, ULS (kN)	Aprox. Weight (kg)
PL 100/70 EN	977	29	700	21	350	34
PL 200/140 EN	1953	59	1400	42	700	51
PL 300/220 EN	3069	92	2200	66	1100	70
PL 390/280 EN	3906	117	2800	84	1400	86
PL 490/350 EN	4883	146	3500	105	1750	101
PL 630/450 EN	6278	188	4500	135	2250	126
PL 700/500 EN	6975	209	5000	150	2500	140
PL 840/600 EN	8370	251	6000	180	3000	176
PL 900/650 EN	9068	272	6500	195	3250	192
PL 1000/700 EN	9765	293	7000	210	3500	205
PL 1100/800 EN	11160	335	8000	240	4000	236
PL 1200/850 EN	11858	356	8500	255	4250	259
PL 1320/950 EN	13253	398	9500	285	4750	296
PL 1400/1000 EN	13950	419	10000	300	5000	323
PL 1535/1100 EN	15345	460	11000	330	5500	354
PL 1700/1200 EN	16740	502	12000	360	6000	402
PL 1800/1300 EN	18135	544	13000	390	6500	438
PL 2000/1400 EN	19530	586	14000	420	7000	476
PL 2100/1500 EN	20925	628	15000	450	7500	538
PL 2200/1600 EN	22320	670	16000	480	8000	591
PL 2400/1700 EN	23715	711	17000	510	8500	662
PL 2500/1800 EN	25110	753	18000	540	9000	699
PL 2650/1900 EN	26505	795	19000	570	9500	745
PL 2800/2000 EN	27900	837	20000	600	10000	841
PL 3000/2200 EN	30690	921	22000	660	11000	911

Bearings have been designed with the following parameters :

Concrete on Deck is H40 (fck = 40 Mpa)

Concrete on Piers and Abutment is H30 (fck = 30 Mpa)

Minimum load at SLS and ULS is 50% of Maximum Vertical load at SLS

Movements $\pm 50/ \pm 20$ mm

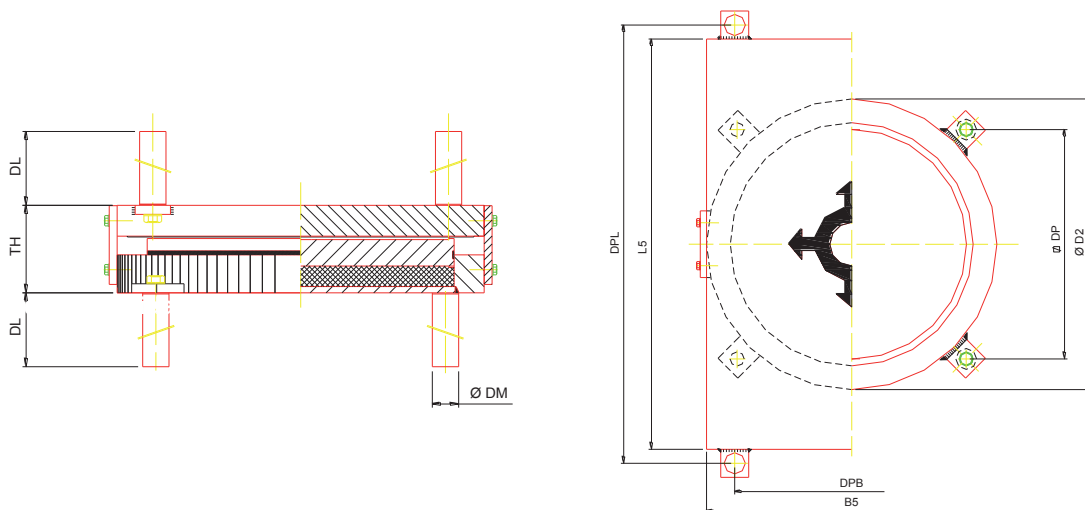
Rotation 0,01 rad

Other models are available under request



Main Dimensions

BEARING TYPE	Pot \varnothing D2 (mm)	Total height TH (mm)	Top Plate Dimensions L5 x B5 (mm)	Recommended Pier \varnothing (mm)	DM \varnothing (mm)	DL (mm)	DPL (mm)	DPB (mm)	DP (mm)
PL 100/70 EN	230	83	270 x 230	368	30	150	180	290	205
PL 200/140 EN	295	83	335 x 295	472	30	150	245	355	251
PL 300/220 EN	352	87	392 x 352	563	30	150	302	412	291
PL 390/280 EN	395	90	435 x 395	632	30	150	345	455	322
PL 490/350 EN	428	92	468 x 428	685	30	150	378	488	345
PL 630/450 EN	482	95	518 x 482	771	30	150	428	542	383
PL 700/500 EN	508	97	540 x 508	813	30	150	450	568	402
PL 840/600 EN	556	105	584 x 556	890	30	150	494	616	436
PL 900/650 EN	581	106	605 x 581	930	30	150	515	641	453
PL 1000/700 EN	600	107	620 x 600	960	30	150	530	660	467
PL 1100/800 EN	643	110	656 x 643	1.029	30	150	566	703	497
PL 1200/850 EN	674	111	683 x 674	1.078	30	150	593	734	519
PL 1320/950 EN	707	116	710 x 707	1.131	30	150	620	767	542
PL 1400/1000 EN	728	117	728 x 728	1.165	40	200	638	788	557
PL 1535/1100 EN	760	119	760 x 760	1.216	40	200	670	820	580
PL 1700/1200 EN	792	126	792 x 792	1.267	40	200	702	852	602
PL 1800/1300 EN	824	128	824 x 824	1.318	40	200	734	884	625
PL 2000/1400 EN	857	130	857 x 857	1.371	40	200	767	917	648
PL 2100/1500 EN	888	136	888 x 888	1.421	40	200	798	948	670
PL 2200/1600 EN	928	139	928 x 928	1.485	40	200	838	988	699
PL 2400/1700 EN	946	150	946 x 946	1.514	40	200	856	1006	711
PL 2500/1800 EN	971	151	971 x 971	1.554	40	200	881	1031	729
PL 2650/1900 EN	1.000	153	1000 x 1000	1.600	40	200	910	1060	750
PL 2800/2000 EN	1.036	155	1036 x 1036	1.658	60	300	926	1116	789
PL 3000/2200 EN	1.076	157	1076 x 1076	1.722	60	300	966	1156	817



The dimensions given are indicative. Designs and dimensions can be modified by VSL-CTT without prior notification.





MAURER Swivel-Joist Expansion Joint



MAURER Swivel-Joist Expansion Joint

The MAURER Swivel-Joist Expansion Joint is an enhancement of the Girder Grid Expansion Joint, considerably adding to the range of application of the MAURER Modular Expansion Joints. When large and complex movements are required then for geometrical and economic reasons the use of Swivel-Joist Joints are to be preferred rather than Girder Grid Joints.

Also in the case of restricted space, for instance in steel bridges and with the replacement of old rolling leaf type joints, the application of the watertight Swivel Joint is advisable.

The MAURER Swivel-Joist Expansion Joint's versatile movability makes it suitable for variable deformations along the bridge structure. The joint cannot only follow the main movement of the bridge in carriage-way direction but also distinctive movements in the 2 spatial directions perpendicular to the main direction. Even rotations of the bridge about the three spatial axes are easily coped with.

The edge beams run parallel to the structural edges. In order to avoid material fatigue, the traffic loads are transmitted to the adjoining reinforced concrete structure via anchor plates which are rigidly connected to the edge beams.

Dependent on the size of movement numerous centre beams are arranged between the edge beams. The center beams slide on obliquely arranged swivelling support bars, resting on elastic sliding bearings. Lift-off from the sliding bearing is prevented by means of a prestressed sliding spring that is arranged in the support stirrup underneath. Only in the joist-box (i.e. at the edge), the sliding spring is placed above the support bar. Stirrups provide constant prestressing that is geometrically controlled.

Vehicles travelling over the expansion joint transmit vertical and horizontal loads to the centre beams. The section forces resulting from the eccentric wheel loads are transmitted to the support bars (via prestressed sliding bearings) by means of the centre beams that act as continuous girders with torsionally elastic support. From there the forces are transmitted into the edges of the structure.

The bulbous-shaped EPDM strip seal is installed in a claw in the edge beam and centre beams without the need for additional clamping bars. The connection is watertight, with the sealing element set below the road surface level. This way it is protected against direct wheel or snowplough contact. As a rule, the admissible horizontal displacement of the strip seal in carriageway direction is 80 mm. With its preformed articulated sec-

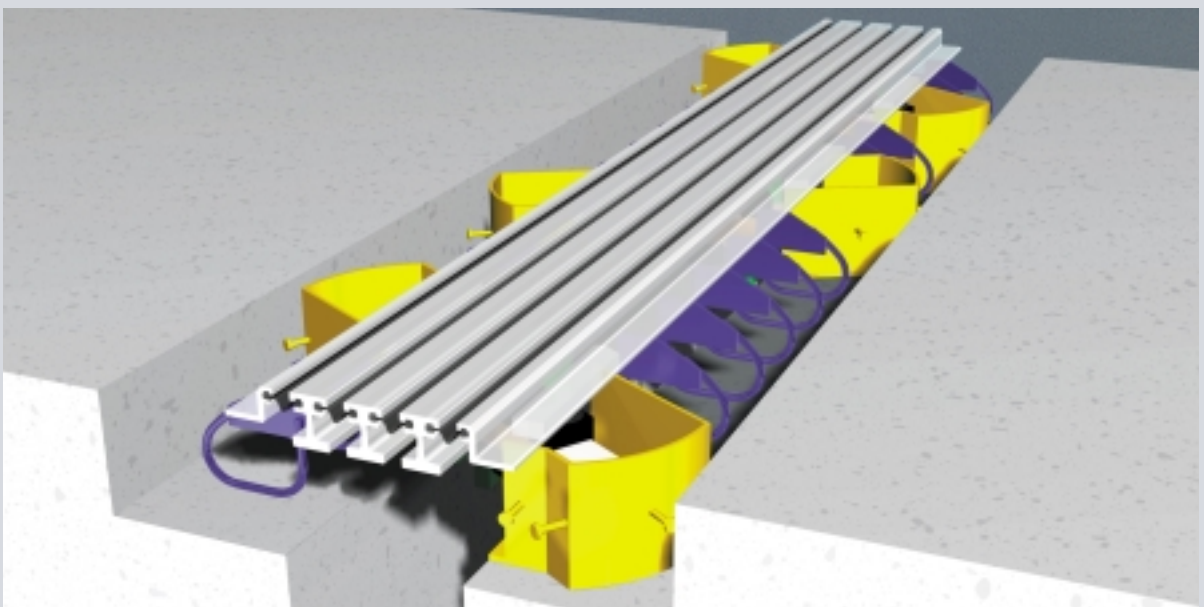


Replacement of a Roller Leaf Joint by a MAURER Swivel Joist Expansion Joint

tion it is possible to move the strip seal in direction of the carriageway without any appreciable strain.

Installation of the expansion joints is carried out in total length (i.e. in 1 piece) into the prepared recess. The structural connection shall be made in accordance with the rules of reinforced concrete construction and/or steel construction. The installation is completed with the connection of the waterproofing, followed with asphaltting.

Type DS 320 displacement of the support bar on both sides



Design Principles and Main Components

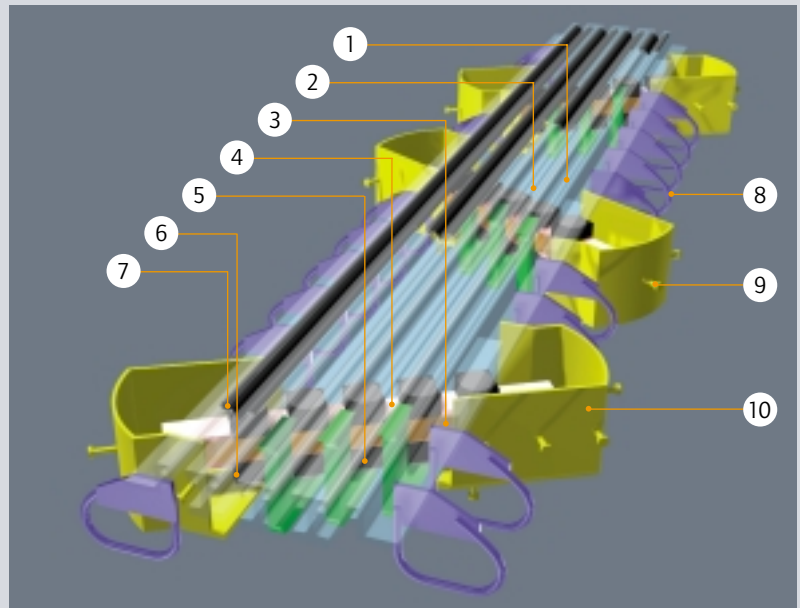
Technical approval and independent periodical inspection acc. to TL/TP-FÜ



Continuous in-house and field quality control, the use of high-grade materials, a quality assurance system in complying to DIN EN ISO 9001 as well as an environmental management system according to DIN EN ISO 14001 ensure the high standard of MAURER Swivel-Joist Expansion Joints.

All design elements of MAURER Expansion Joints are engineered in high-quality materials. All synthetics employed feature excellent resistance to ageing, wear, and show a superior performance to all kinds of environmental impacts. Relaxation of the bearing elements is insignificant even after decades of service. The sealing elements are insensitive to physical stress.

National regulations are to be taken into account in the choice of the corrosion protection system. We recommend using two-coat zinc-rich paint as the primer and epoxy-based micaceous iron ore as the finishing layer.



Designation	Description
Supporting Elements	
1 edge beam	hot-rolled steel grade S 235 JR G2 with precision tolerances combining good weldability with notch toughness. Can be both shop and site butt-welded.
2 centre beam	hot-rolled steel grade S 355 J2 G3 with precision tolerances combining good weldability with notch toughness. Can be both shop and site butt-welded by a patented system.
3 support bar	steel grade S 355 J2 G3, machined for precision tolerances.
Supports	
4 sliding plate	stainless steel in bridge bearing quality material-no. 1.4401, sliding surfaces ground and polished.
5 sliding spring	natural rubber with vulcanized steel plates. Sliding surfaces of high strength PTFE sliding material.
6 sliding bearing	chloroprene-rubber reinforced with vulcanized steel plates, according to Bridge Bearing Standard DIN 4141, part 14. Sliding surfaces of high strength PTFE sliding material.
Sealing elements	
7 strip seal 80	EPDM or chloroprene-rubber with high resistance to tear propagation, resistant to salt water, oil and ageing, available in any desired length. Hot vulcanization on site possible.
Anchorage elements	
8 carriageway anchors at the edge beams	flat and round steel made of S 235 JR G2
9 anchor studs at the support boxes	St37 K
10 support box	S 235 JR G2, to accommodate the sliding bearings, sliding springs, as well as providing the space required for the support bars in motion.

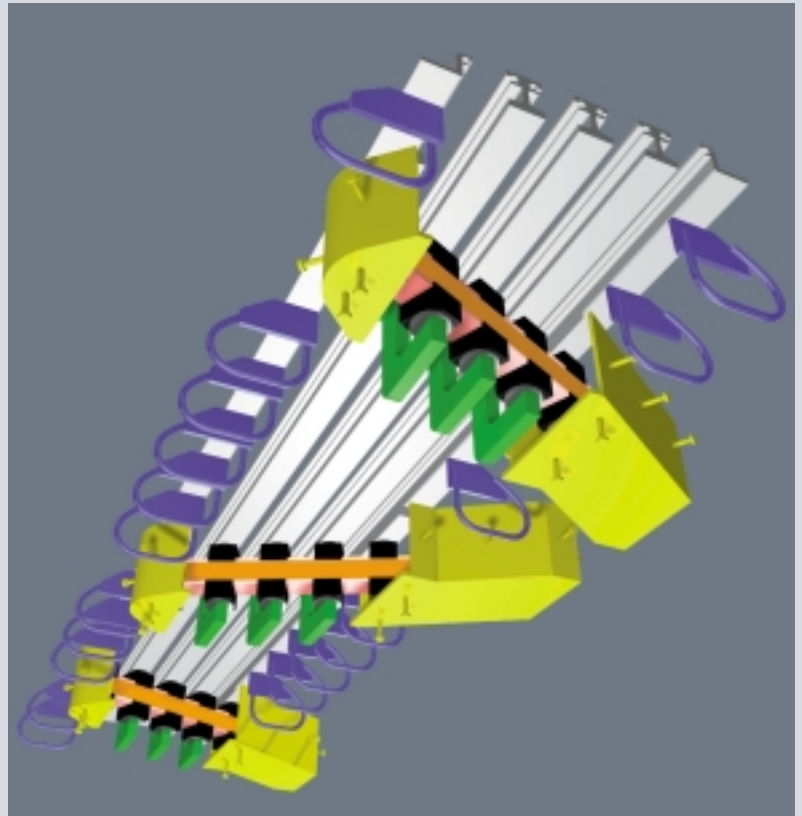
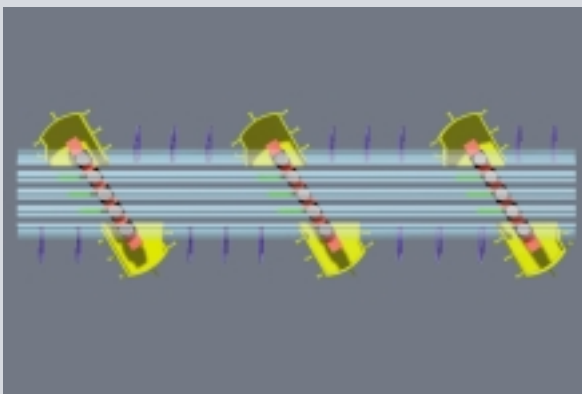
Functional Principles

Type DS320 displacement of a support bar that is fixed at one side view from below

The centre beams of the Swivel-Joist Expansion Joint can slide on support bars with the help of sliding bearings. By means of the geometrical arrangement of the support bars the position of the centre beams is controlled such that the overall width of the joint opening is equally subdivided to the joint gaps between the centre beams and between the centre beams and edge beams respectively.

This both simple and effective control mechanism means an important advantage of the Swivel-Joist Expansion Joint. Unrestrained absorption of movements and simultaneous transmission of traffic loads is safeguarded without additional control elements and without any defined direction of movement.

In case of larger movements, in order to avoid large spans the support bars are arranged in parallel. In this case an additional restraint is required or the positioning of parallel support bars in the two neighbouring traffic directions must be arranged such that they are inclined to each other.



The resilient bearings in respect to torsion enable horizontal and also vertical displacements of the structure as well as differences in height of the joint edges in case of a longitudinal slope.

The ample space in the joist-boxes serves to accommodate the motion sequence of the swivelling support bars in motion. The total movement of a support bar can be allocated to the two edges of the joint arbitrarily. Quite frequently the movement of the support bar is absorbed at one side, for example at the abutment, whereas at the opposite edge the support bar can rotate but is fixed in its displacement.

It will also be possible that for geometrical reasons, e.g. because of prestressing cables, the one-side displaceable support bars can be arranged in an alternating way.

The total movement can be distributed to both edges of the joint as per requirement or desire, for instance in equal parts. In steel bridges the edge structure is supported on cantilevers or supporting girders parallel to the end cross girder. As a rule the cantilever plates that are fixed to the edge structure in the manufacturing site are then welded to the steel end cross girder.

In shifting the movement to the opposite abutment, the eccentricities of the traffic loads that are introduced can be reduced to a minimum.

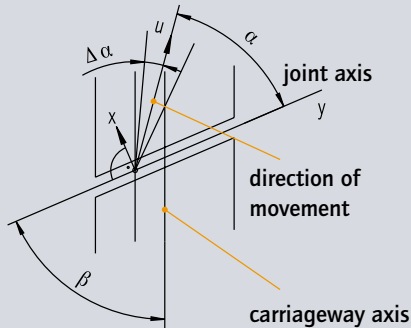
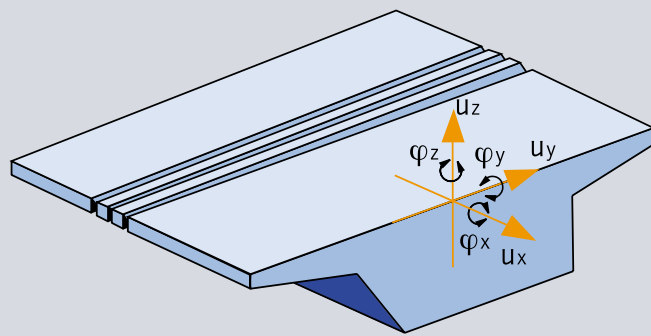
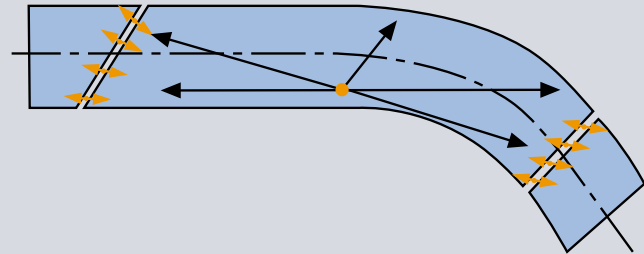
Contrary to the Girder Grid Joint, this type of Expansion Joint can accommodate the largest movements applied in bridge construction so far, which is facilitated by the fact that all centre beams are commonly supported by one support bar.

Versatility

MAURER Swivel-Joist Expansion Joints can absorb all movements customary in bridge construction. The versatile mechanism of this type makes it suitable for variable skew angles along axes centred on a fixed point and also for complex hybrid movements and rotations about the spatial axes x, y and z.

The recess sizes given in the following pages will give the planner of the bridge structure some assistance for designing. The distribution of a support bar movement to each joint edge can be settled as per requirement or liking, other solutions than those shown below can be designed as well. All dimensions given are without obligation to the planner. For every project all dimensions will have to be determined case by case.

Geometrical restrictions which might be the consequence of the geometry of the boxes and support bars, can be changed by special design any time.



Due to the high standardisation expenditure resulting from Technical Test Specifications according to TL/TP-FÜ only applications of frequent use had been considered (please also refer to the appertaining documents). In Germany the admissible movement per joint gap in transverse direction to the joint-axis has been restricted to

65 mm. However, all expansion joints are designed to take movements of 80 mm. The following table shows the admissible movements for standard designs of the individual types.

type	weight [kg/m]	type	weight [kg/m]
DS160	270	DS720	930
DS240	350	DS800	1030
DS320	440	DS880	1140
DS400	530	DS960	1260
DS480	620	DS1040	1380
DS560	720	DS1120	1500
DS640	820	DS1200	1620

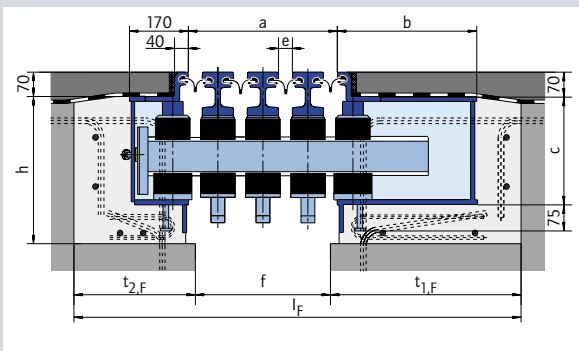
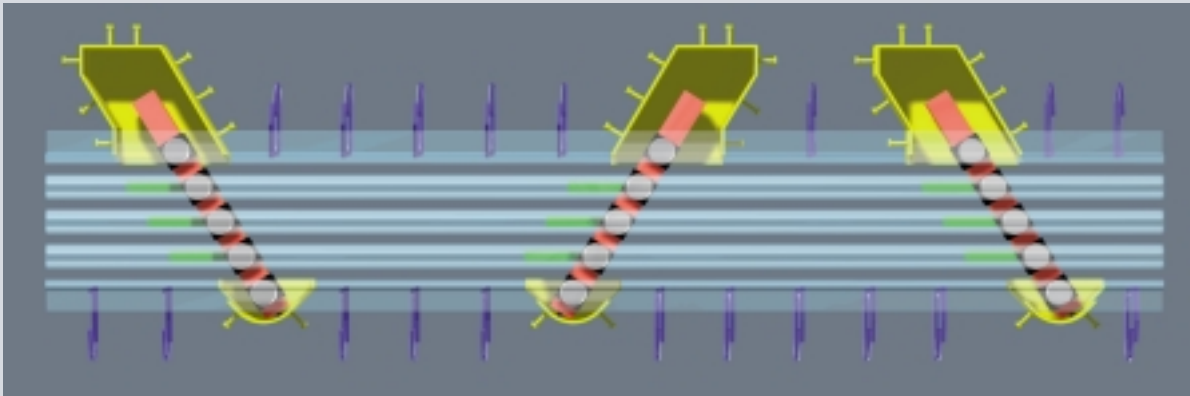
The given numbers of the weight of joints is only to calculate the size of cranes and lifting devices.

n	type	u_x [mm]	u_y *) [mm]	u_z *) [mm]	α [°]	$\Delta\alpha$	β [°]
2	DS160	130 (160)	± 80	± 10			
3	DS240	195 (240)	± 120	± 15			
4	DS320	260 (320)	± 160	± 20			
5	DS400	325 (400)	± 200	± 25			
6	DS480	390 (480)	± 240	± 30			
7	DS560	455 (560)	± 280	± 35			
8	DS640	520 (640)	± 320	± 40	$90^\circ \pm 45^\circ$	any	any
9	DS720	585 (720)	± 360	± 40			
10	DS800	650 (800)	± 400	± 40			
11	DS880	715 (880)	± 440	± 40			
12	DS960	780 (960)	± 480	± 45			
13	DS1040	845 (1040)	± 520	± 45			
14	DS1120	910 (1120)	± 560	± 45			
15	DS1200	975 (1200)	± 600	± 45			

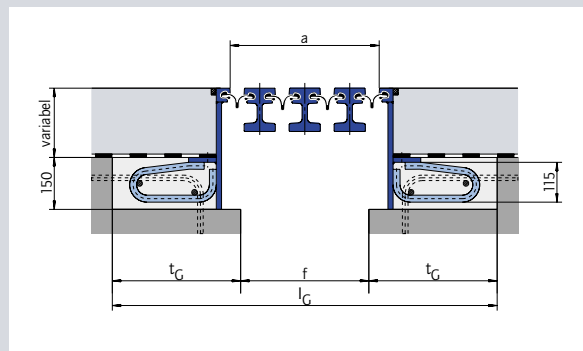
*) Values apply to standard design, bigger values are possible, too.

Movement of support bars to one side only

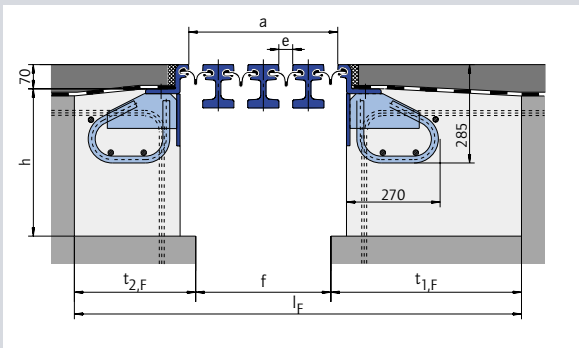
Recess dimensions



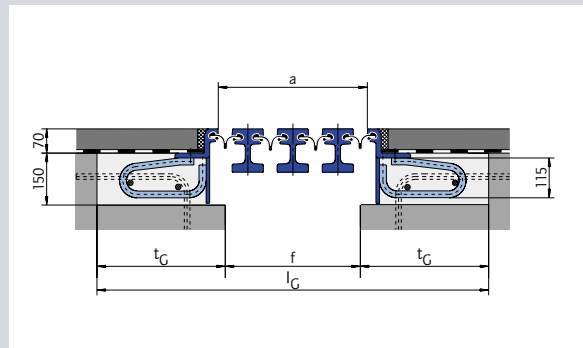
cross section through support box at carriageway



footway cross section - version 1



carriageway cross section at anchorage



footway cross section - version 2

Presetting of gap dimension $e = 30 \text{ mm}$

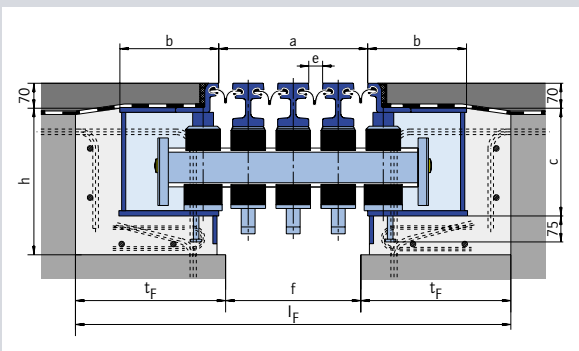
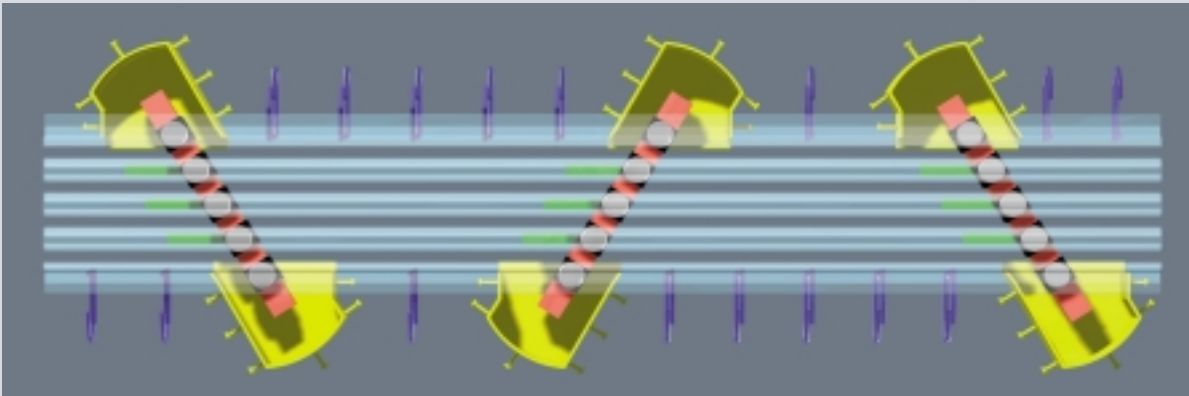
MAURER exp. joint	structural dimensions			concrete recess dimensions			concrete gap dimensions				
	n	type	a [mm]	b [mm]	c [mm]	h [mm]	$t_{1,F}$ [mm]	$t_{2,F}=t_G$ [mm]	f_{\min} [mm]	f_{\max} [mm]	l_F [mm]
2	DS160	150	260	290	420	400	350	115	130	865	815
3	DS240	270	310	300	430	450	380	225	250	1055	985
4	DS320	390	360	310	440	500	390	300	370	1190	1080
5	DS400	510	410	320	450	560	400	410	490	1370	1210
6	DS480	630	460	330	460	620	410	520	610	1550	1340
7	DS560	750	510	340	470	680	420	630	730	1730	1470
8	DS640	870	560	350	480	740	430	740	850	1910	1600
9	DS720	990	610	360	490	800	440	850	970	2090	1730
10	DS800	1110	660	370	500	860	450	960	1090	2270	1860
11	DS880	1230	710	380	510	920	460	1070	1210	2450	1990
12	DS960	1350	760	390	520	980	470	1180	1330	2630	2120
13	DS1040	1470	810	400	530	1040	480	1290	1450	2810	2250
14	DS1120	1590	860	410	540	1100	490	1400	1570	2990	2380
15	DS1200	1710	910	420	550	1160	500	1510	1690	3170	2510

- All dimensions are rectangular to the joint axis y .
- n = number of sealing elements
- a , f and l apply to a presetting dimension $e = 30 \text{ mm}$ for every joint gap and must be adjusted by $n \times \Delta e$ in case of deviating presetting dimension e .
- recesses for footway joists, restraints and tube openings as a rule require prior consent between the planner of the structure and the manufacturer of the expansion joint.
- Smaller recess dimensions are possible by special design of MAURER.

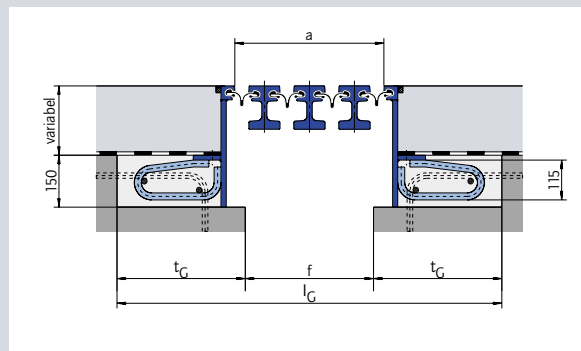
For structures acc. to directives TL/TP-FÜ you must also observe the details given in the standard testing specifications

Movement of support bars to both sides

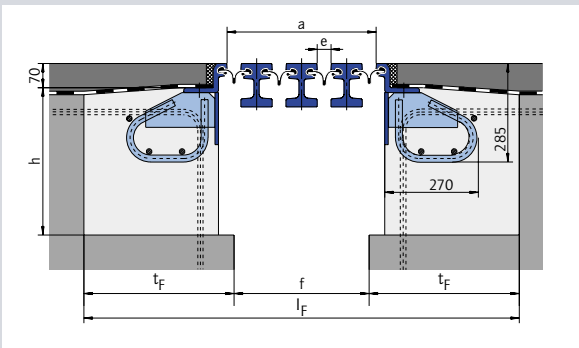
Recess dimensions



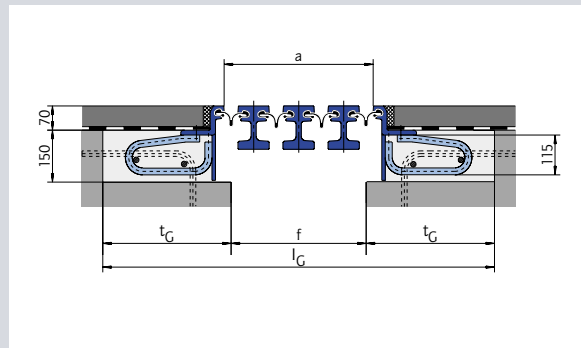
cross section through support box at carriageway



footway cross section - version 1



carriageway cross section at anchorage



footway cross section - version 2

Presetting of gap dimension $e = 30 \text{ mm}$

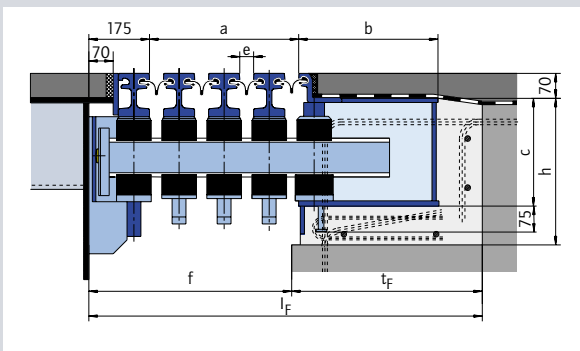
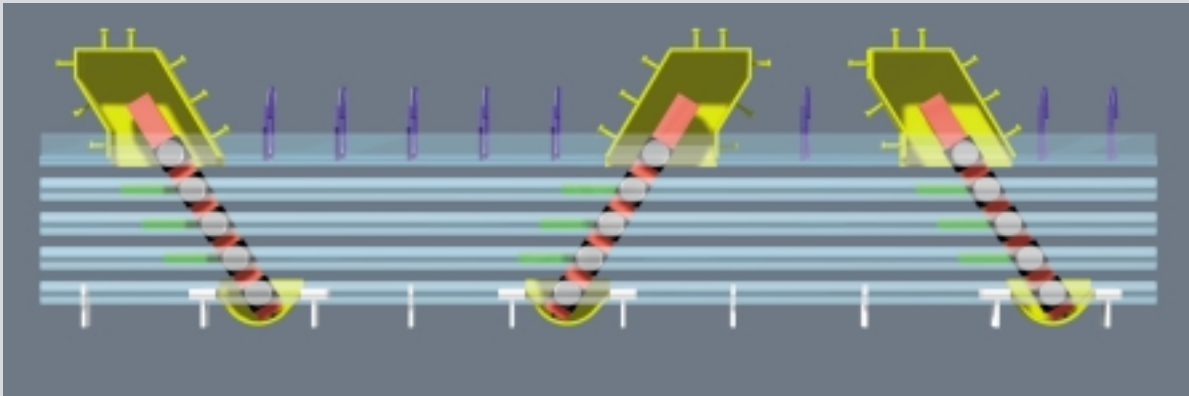
MAURER exp. joint		design data			concrete-recess dimensions			concrete-gap dimensions			
n	type	a [mm]	b [mm]	c [mm]	h [mm]	t _F [mm]	t _G [mm]	f _{min} [mm]	f _{max} [mm]	l _F [mm]	l _G [mm]
2	DS160	150	215	290	420	350	350	115	130	815	815
3	DS240	270	255	300	430	395	380	225	250	1015	985
4	DS320	390	285	310	440	435	390	300	370	1170	1080
5	DS400	510	355	320	450	510	400	410	490	1430	1210
6	DS480	630	380	330	460	550	410	520	610	1620	1340
7	DS560	750	410	340	470	590	420	630	730	1810	1470
8	DS640	870	430	350	480	620	430	740	850	1980	1600
9	DS720	990	460	360	490	660	440	850	970	2170	1730
10	DS800	1110	490	370	500	690	450	960	1090	2340	1860
11	DS880	1230	515	380	510	730	460	1070	1210	2530	1990
12	DS960	1350	550	390	520	770	470	1180	1330	2720	2120
13	DS1040	1470	585	400	530	820	480	1290	1450	2930	2250
14	DS1120	1590	615	410	540	860	490	1400	1570	3120	2380
15	DS1200	1710	645	420	550	900	500	1510	1690	3310	2510

- All dimensions are rectangular to the joint axis y.
- n = number of sealing elements
- a , f and l apply to a presetting dimension $e = 30 \text{ mm}$ for every joint gap and must be adjusted by $n \times \Delta e$ in case of deviating presetting dimension e .
- recesses for footway joints, restraints and tube openings as a rule require prior consent between the planner of the structure and the manufacturer of the expansion joint.
- Smaller recess dimensions are possible by special design of MAURER.

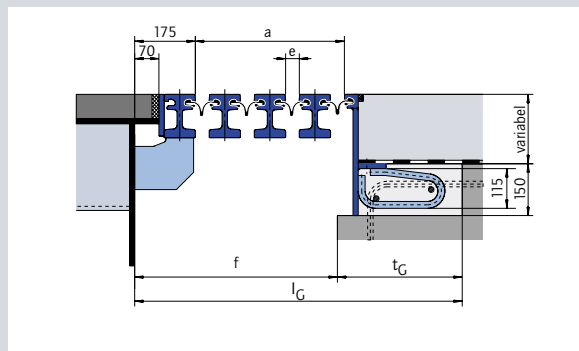
For structures acc. to directives TL/TP-FÜ you must also observe the details given in the standard testing specifications

Steel connection

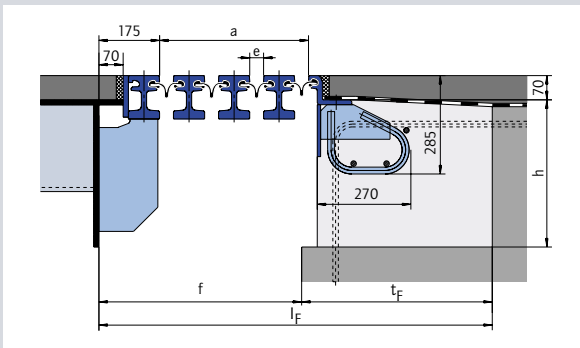
Recess dimensions



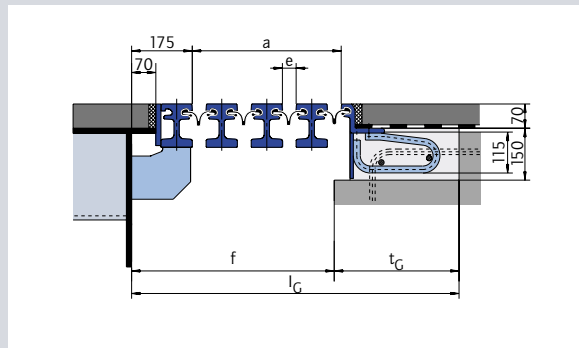
cross section through support box at carriageway



footway cross section - version 1



carriageway cross section at anchorage



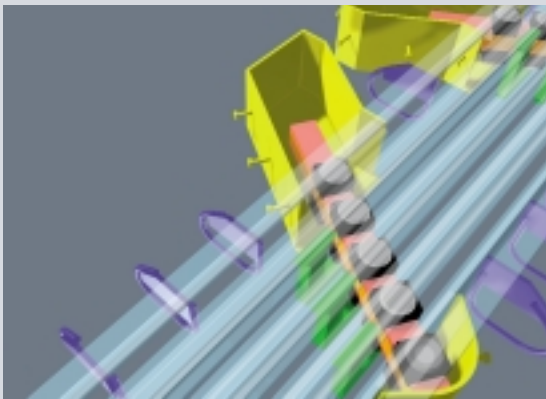
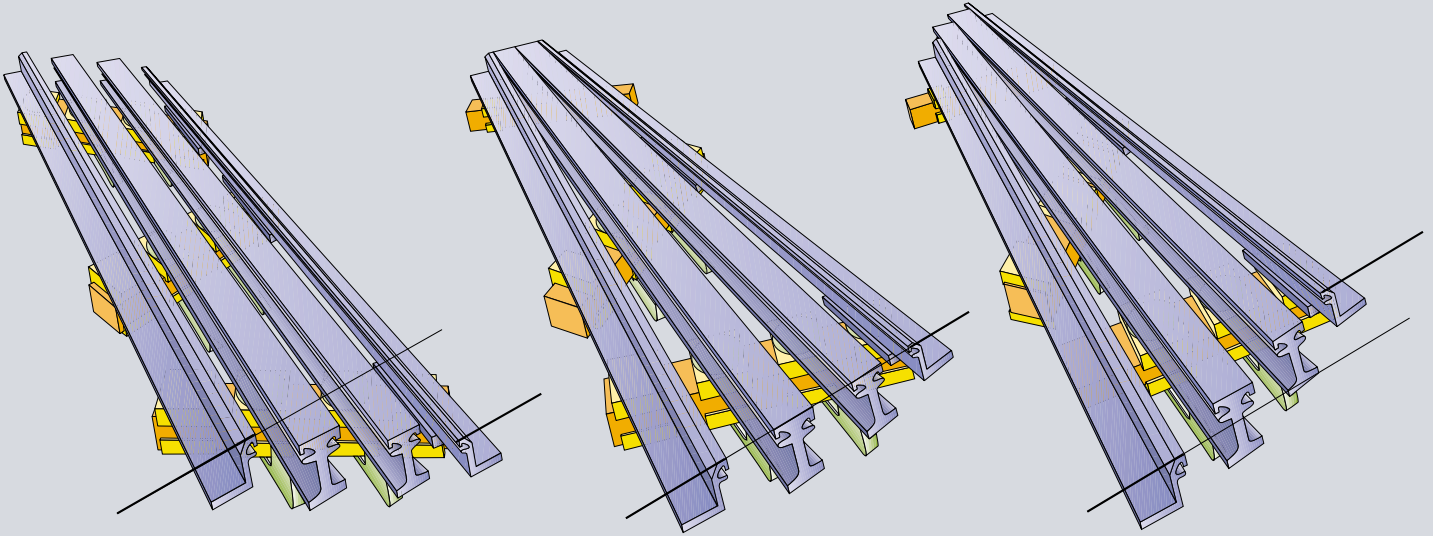
footway cross section - version 2

Presetting of gap dimension $e = 30$ mm											
MAURER exp. joint		structural dimensions			concrete recess dimensions			concrete gap dimensions			
n	type	a [mm]	b [mm]	c [mm]	h [mm]	t _F [mm]	t _G [mm]	f _{min} [mm]	f _{max} [mm]	l _F [mm]	l _G [mm]
2	DS160	150	260	290	420	400	385	300	310	700	685
3	DS240	270	310	300	430	470	400	350	430	820	750
4	DS320	390	360	310	440	540	410	460	550	1000	870
5	DS400	510	410	320	450	610	425	570	670	1180	995
6	DS480	630	460	330	460	680	440	680	790	1360	1120
7	DS560	750	510	340	470	750	450	790	910	1540	1240
8	DS640	870	560	350	480	820	470	900	1030	1720	1370
9	DS720	990	610	360	490	890	480	1010	1150	1900	1490
10	DS800	1110	660	370	500	960	500	1120	1270	2080	1620
11	DS880	1230	710	380	510	1030	520	1230	1390	2260	1750
12	DS960	1350	760	390	520	1100	530	1340	1510	2440	1870
13	DS1040	1470	810	400	530	1170	550	1450	1630	2620	2000
14	DS1120	1590	860	410	540	1240	560	1560	1750	2800	2120
15	DS1200	1710	910	420	550	1310	570	1670	1870	2980	2240

- All dimensions are rectangular to the joint axis y.
- n = number of sealing elements
- a, f and l apply to a presetting dimension $e = 30$ mm for every joint gap and must be adjusted by $n \times \Delta e$ in case of deviating presetting dimension e.
- recesses for footway joints, restraints and tube openings as a rule require prior consent between the planner of the structure and the manufacturer of the expansion joint.
- Smaller recess dimensions are possible by special design of MAURER.

For structures acc. to directives TL/TP-FÜ you must also observe the details given in the standard testing specifications

Control of Swivel-Joist Expansion Joints

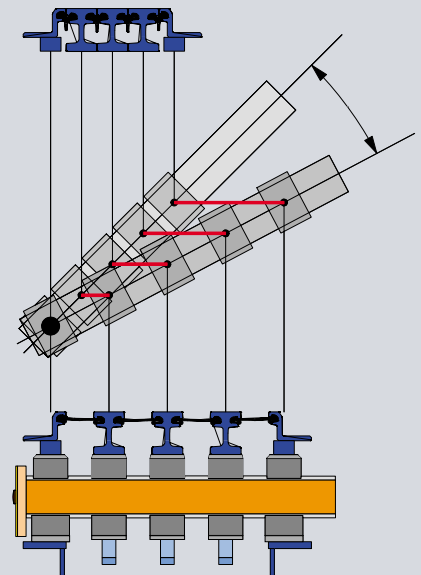


Type DS320
Control of the movement of support bars to one side

On the one hand, rigid control mechanisms guarantee an exact allocation of the total movement to the individual gaps, and this mechanism also employs a clearly defined support system. But on the other hand such a rigid control is prone to strains that are caused by unplanned and unexpected movements, such as dimensional tolerances, difference in temperature in the respective members of the joint, and deviations from the designed movement. Any support system that neither accepts dimensional tolerance nor is prestressed resiliently, gives

cause to strong noise emission and high wear. For this reason, modern modular joints employ a resilient control system. Usually this is achieved by plastic springs that are either being deformed along their longitudinal axis or by means of shear deflection. The individual center beams are connected by such springs. Thus we have several chains of sequentially arranged springs. As it is the case with such a system, the total resulting stiffness is a function of the number of center beams, or modules that are connected by this way.

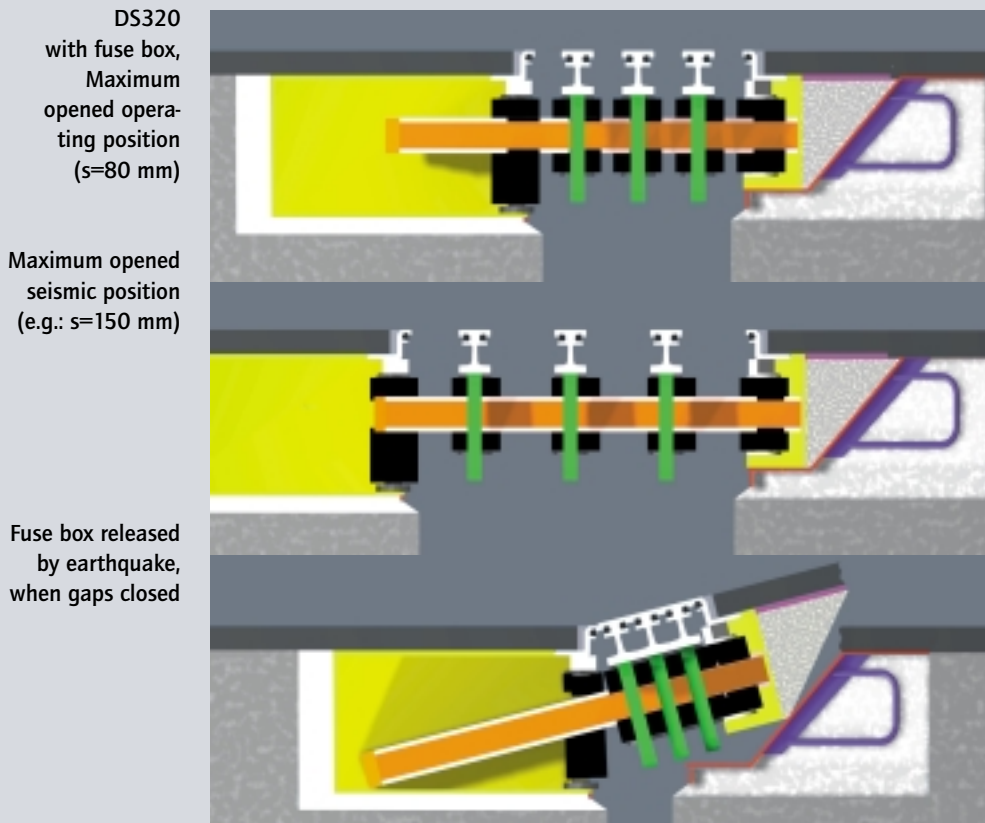
One exception is the swivel joint system that is being controlled by guided and shear-resilient torsion hinges. This system has all the advantages of the exact scissor control system, but, due to its shear resilience, in addition the swivel joint system can also compensate dimensional tolerances and strains. Because each center beam is controlled individually, the stiffness of the horizontal support system is independent of the number of modules, or center beams. A swivel joint system employs a control mechanism with parallel arranged springs.



If the superstructure moves, the support bars will be pushed through the swivelling guiding bearings and thus experience a swivel movement. Due to the fixed distances of the torsion elements, this swivel movement gives rise to an almost even allocation of the total movement to the individual gap openings.

For large and irregular movements (e.g. from earthquake) there is no alternative to the MAURER Swivel-Joist Expansion Joint.

MAURER Seismic Expansion Joint



DS320
with fuse box,
Maximum
opened opera-
ting position
($s=80$ mm)

Maximum opened
seismic position
(e.g.: $s=150$ mm)

Fuse box released
by earthquake,
when gaps closed

Earthquakes can generate structural movements which are considerably larger, many times quicker and much more complex in their direction than those under normal operational conditions. That is why applications of that kind require particular adaptation of the expansion joint.

The conventional requirements set to the operating condition are irrelevant during seismic action. Of particular importance is, however:

- maintaining the serviceability of the structure after the earthquake at least for emergency vehicles as well as
- protection of the structure from impact damages caused by closing movements during the earthquake.

As a rule, conventional expansion joint systems can not fulfil these requirements. They are designed for movement sizes and directions under service condition. Whereas surpassing the admissible single gap widths during the quake is not dangerous in itself, this will cause the control system to be destroyed, as well as the mechanical gap width delimiters and the supporting elements. During seismic action the horizontally and/ or vertically undefinable direction of movement will eventually result in a blockage and destruction of the expansion joint. Due to high accelerations during a quake the sliding support elements are destroyed. The result will be a service breakdown of the bridge which is of vital importance for all emergency vehicles.

Employing a long and superior performance history in normal service conditions, the Swivel-Joist Expansion Joint had been further enhanced such as to also fulfil the aforementioned seismic requirements.

a.) General

There is a demand for reliable and economic solutions to cope with seismic strains. For operating condition the MAURER-SeismicExpansion Joint is dimensioned like a Swivel Joist Expansion Joint, geometrically adapted to the seismic movements. By this, the number of sealing elements as well as the wearing parts and finally the price are minimized. All movements are transmitted without constraints or damages.

b.) Direction of movement

The direction of movement is only restricted by geometrical obstacles in the support box. The unique Swivel Joist design allows for all kind of adaptations.

c.) Acceleration

Conventional modular expansion joints are controlled by springs that are arranged in series. Due to the mass inertia of the centre beams, seismic accelerations bring about inadmissible gap width deviations which finally destroy the supporting structure. In case that gap width delimiters should be provided here, the admissible opening of the Expansion joint is then however restricted to operating conditions only. The centre beams of MAURER-Seismic Expansion Joints are arranged in parallel, which means that each centre beam moves independently and hence it follows that there only minor additional gap width deviations will occur.

d.) Opening movements

The admissible gap width, which as a rule is 80 mm, can be exceeded during seismic action. The control elements, following the "theorem on intersecting lines", enable every opening condition of the expansion joint. By adapting the length of the support bars, opening conditions of whatever magnitude can be accommodated without strain. The sealing element will be adapted such as to follow the combined earthquake movements without the risk of unfolding. If for economic reasons the working range of the sealing element shall be limited, then by simple means this original limit can be restored again after the quake is over.



University of
Berkeley/ California
Testing equipment

e.) Closing movements

When the expansion joint or the structural gap closes, there might result damages or even breakdown of the structure. For better protection of the bridge structure, MAURER SÖHNE has developed a so-called "fuse box" in addition to the new-style Seismic Expansion Joint. If the expansion joint should close in case of a quake, predetermined breaking points will be activated. The anchorage system disengages alongside a ramp according to a defined failure load and will return to its original position as soon as the quake is over. Stoppers provide temporary fixation of the position. Emergency vehicles can pass the joints. However, the anchorage will have to be reconstructed. An application of a fuse box can - as the case may be considerably reduce the number of sealing elements required.



maximum
transverse
displacement

f.) Proof by testing

The behaviour of the MAURER Seismic Expansion Joint was tested at the University of Berkeley / California, actually the only institution capable to do such tests. A test specimen of type DS 560 in scale 1:1 was subject to displacements of extremely high velocity and changing directions, at the same time simulating a variety of recorded seismic patterns.

Simultaneously longitudinal and transverse displacements of 1120 mm, coupled with a vertical offset of up to 6 %, were applied at resulting velocities of up to approx. 1600 mm/s. Even after imposing 30 full seismic patterns, no damages could be detected.

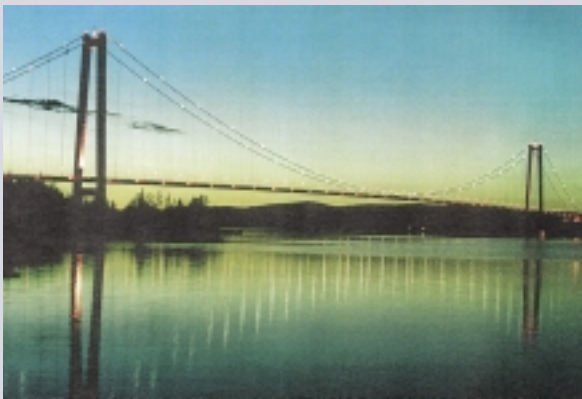
Bridges with MAURER Swivel-Joist Expansion Joints



Vasco da Gama Bridge, Portugal
with fuse box for
earthquake movements
built: 1997
Cable-stayed bridge
main span: 829 m
type of joint:
DS1440 59.00 lin. metres



Storebælt East Bridge, Denmark
built: 1996
Suspension bridge
main span: 1624 m
type of joint:
DS2000 51.40 lin. metres
DS1520 25.70 lin. metres
DS1200 25.70 lin. metres
DS960 25.70 lin. metres
DS800 25.70 lin. metres



Höga Kusten Bridge, Sweden
built: 1997
suspension bridge
main span: 1210 m
type of joint:
DS1840 36.80 lin. metres



Stura di Demonte, Italy
built: 1999
Composite steel bridge
length of bridge: 2750 m
type of joint:
DS1200 24.50 lin. metres



Maurer Söhne Head Office
Frankfurter Ring 193, D-80807 München
P.O. Box 44 01 45, 80750 München/Germany
Phone ++49/89/32394-0
Fax ++49/89/32394-306
e-mail ba@mchn.maurer-soehne.de
Internet www.maurer-soehne.de

Maurer Söhne Main Branch Office
Zum Holzplatz 2, D-44536 Lünen
P.O. Box 63 40, D-44520 Lünen
Phone ++49/2 31/ 4 34 01-0
Fax ++49/2 31/4 34 01-11

Maurer Söhne Subsidiary Plant
Kamenzer Str. 4-6, D-02994 Bernsdorf
P.O. Box 55, D-02992 Bernsdorf
Phone ++49/3 57 23/ 2 37-0
Fax ++49/3 57 23/2 37-20